公益財団法人 立石科学技術振興財団

# 助成研究成果集

2025年(令和7年)



# 助成研究成果集

第 34 号

2025年(令和7年)

公益財団法人 立石科学技術振興財団

Tateisi Science and Technology Foundation

# 設 立 趣 意 書

今日、日本の科学技術の進歩・発展は著しいものがありますが、エレクトロニクス及び情報工学の分野における技術革新も、いまでは社会的・経済的にきわめて大きな影響を及ぼしています。たとえば、工場では各種工程のオートメーション化が進むとともに、オートメーション機器をコンピュータや通信機器とつなぎ、工場全体を統合的に動かすシステムの実現へと向かっています。

一方、オフィスでは、ワークステーションやパソコンなどの OA 機器の普及が 目覚ましく、また通信技術を利用することにより、データベースへのアクセスや 情報交換も盛んになりつつあります。さらに、家庭においても、いわゆるホーム オートメーション機器が浸透しはじめています。

このように、人間が働き生活する環境に、エレクトロニクス技術に支えられた 各種機器がどんどん入ってきており、しかもその技術は年々高度化・システム化 してきています。しかしながら、その技術革新のスピードが速いだけに、技術革 新がそれら機器やシステムを使う主体である人間に及ぼす影響が十分考慮されな い傾向があります。このため、本当に使いやすい機器・システムの開発が大きな 課題になっています。

一方,今後の技術の飛躍的な発展のためには,人間の素晴らしい知識能力を規範にしたファジィなどの人工知能技術を確立し,使いやすい機器・システムの提供はもちろん,人間がより楽しく創造的な活動をするのに広く役立たせることが期待されます。

このような情勢に鑑み、オムロン株式会社、立石一真及び立石孝雄の醵出資金により「立石科学技術振興財団」を設立し、エレクトロニクス及び情報工学の分野で、人間と機械の調和を促進する研究及び国際交流に対し助成をおこない、技術革新を人間にとって真に最適なものとすることに寄与せんとするものであります。

# 助成研究成果集

[本研究成果集は当財団ホームページより PDF で閲覧可能です] https://www.tateisi-f.org/research\_r/books/list.html



# 目 次

1.	立石文雄(理事長)	C
2.	<b>財団関係者寄稿</b> ······ 難波啓一(理事) 大阪大学大学院生命機能研究科 特任教授	7
3.	研究室訪問・・・・・・・・・・・・・・・・・・・・・・・・・・・・・・・・・・・・	8
4.	研究助成成果報告 (51 件) 研究助成(S)  1. 運動と知覚の時空間拡張に基づく手づたえ教示システムの開発・・・・・・・・・・・・・・・・・・・・・・・・・・・・・・・・・・・・	13
	研究助成(A) 1. 触診技術伝承を目指した耳小骨可動性計測訓練シミュレータの開発・・・・・・ 李 信英 大阪大学	18
	2. 無給電状態で静的および動的な圧力センシングが可能な編み手袋の開発・・・・・・・・・・・ 石井 佑弥 京都工芸繊維大学	24
	3. 咬合力エナジーハーベスティングによるバッテリーレスマウスガード型デバイスの開発・・・・・・・・・・・・・・・・・・・・・・・・・・・・・・・・・・・・	29
	4. VR を用いた小児弱視訓練用プログラム医療機器の社会実装に向けた橋渡し研究・・・・・・・・・・・・・・・・・・・・・・・・・・・・・・・・・・・・	34
	5. 柔軟触覚センサによって浮腫の状態を計測するウェアラブルデバイスの開発 · · · · · · · · 大西 · 鮎美 · 神戸大学	37
	6. オンチップテラヘルツ分光システムを用いたラベルフリーバイオセンシング ·················· 大道 英二 神戸大学	41
	7. 人間と機械の相互影響度の計量にもとづく他者への配慮の実現 · · · · · · · · 奥田 裕之 名古屋大学	46
	8. 未病検知を目指した画像診断機器による臓器の生理機能評価及び加齢性機能低下の検証 · · · · · · · · · · · · 尾崎 公美 浜松医科大学	51
	9. 実現場での階段昇降時動作データに基づいた転倒を検知するための機械学習的アプローチ・・・・・・・・・・ 加藤 貴英 豊田工業高等専門学校	57
	10. バーチャルリアリティ空間における脅威刺激認知の脳波による定量評価・・・・・・・・・・・・・・・・・・・・・・・・・・・・・・・・・・・・	62
	11. 基盤モデルに基づく手話対話システムの構築・・・・・・・・・・・・・・・・・・・・・・・・・・・・・・・・・・・・	67
	12. EMS を用いた位置制御・力制御の統合アプローチと制御性能の評価・・・・・・・・・・・・・・・・・・・・・・・・・・・・・・・・・・・・	72

13.	人間機械協調型複合現実融合技術を用いた手術支援基盤技術の開発・・・・・・・・・・・・・・・・・・・・・・・・・・・・・・・・・・・・	75
14.	災害現場での救援活動を支援する超小型3次元再構成センサの開発・・・・・・・・・・・・・・・・・・・・・・・・・・・・・・・・・・・・	80
15.	ワイヤメッシュ回路と深層学習の融合によるシート型触覚インターフェースの開発・・・・・・・・・・・・・・・・・・・・・・・・・・・・・・・・・・・・	85
16.	マイクロモータを用いた触覚情報伝達インタフェース · · · · · · · 芝軒 太郎 岡山大学	88
17.	筋シナジーを用いた随意運動誘引手法による自発的動作に寄り添う正常歩行訓練装置 · · · · 中後 大輔 関西学院大学	93
18.	Mixed Reality と慣性センサを用いた空間認知と運動機能の定量化システム・・・・・・・・・・・・・・・・・・・・・・・・・・・・・・・・・・・・	97
19.	複合現実空間における漫符を活用したロボットによる自己表現生成 AI に関する研究 · · · · · · 藤井 綺香 産業技術総合研究所	102
20.	非侵襲的な振動感覚刺激を用いたうつ病症状緩和システムの基盤構築 · ・・・・・・・・・・・・・・・・・・・・・・・・・・・・・・・・・・・	107
21.	MRI・CT 画像下治療のための多自由度空圧ステッピングモータの開発・・・・・         部矢       明       名古屋大学	112
22.	高分子ゲル超薄膜を用いた指先に貼付可能な全貼付型触覚センサの開発・・・・・・・・・・・・・・・・・・・・・・・・・・・・・・・・・・・・	117
23.	学習者の主体的な行動を促すグループワーク支援ロボットの研究・・・・・・・・・・・・・・・・・・・・・・・・・・・・・・・・・・・・	122
24.	Advanced Vector DB — データ構造ドリブンな LLM 知識注入 — 松井 勇佑 東京大学	127
25.	サイバー空間におけるラポール形成へ向けたシステム開発・・・・・・ 宮田 紘平 理化学研究所 研究員	132
26.	熟練技能者の技術の継承を支援する人協調型 AI システムの開発・・・・・・・・・・・・・・・・・・・・・・・・・・・・・・・・・・・・	137
27.	光弾性を利用した力覚変色表示ソフトアクチュエータの研究開発・・・・・・ 山田 泰之 法政大学	141
28.	超低消費電力リアルタイム学習を可能にする二次元半導体光電子メモリの開発・・・・・・ 山本 真人 関西大学	145
29.	微小針電極による超高密度脳波計測	150
30.	ロボットアーム錯覚は可能か ・・・・・・・・・・・・・・・・・・・・・・・・・・・・・・・・・・・・	155
31.	AI を用いた顕微授精アシストシステムの開発・・・・・・・・・・・・・・・・・・・・・・・・・・・・・・・・・・・・	159
研究	光助成(B)	
1.	超音波ゲルレンズの開発と高速光計測技術への展開 ・・・・・・・・・・・・・・・・・・・・・・・・・・・・・・・・・・・・	163
2.	歌唱による嚥下機能保持・向上のための人工知能と脳科学の融合システム基盤の開発・・・・・・・・・・・ 八木 直美 兵庫県立大学	168
研究	出助成(C)	
1.	高齢者の自然発話における特徴量を用いた認知機能推定手法の開発・・・・・・・・・・・・・・・・・・・・・・・・・・・・・・・・・・・・	173
2.	高次元空間における力覚フィードバックを用いたインタラクションに関する研究 · · · · · 五十嵐治雄 早稲田大学	176

	3.	身体動作と感情の再現を目指すヒューマノイドロボットの開発WANG YIWEI電気通信大学	182
	4.	不確実複雑システムの見通しを向上させる設計モデルの構築・・・・・・・・・・・・・・・・・・・・・・・・・・・・・・・・・・・・	187
	5.	実世界における直観に反した運動の予測と言語生成 ・・・・・・・・・・・・・・・・・・・・・・・・・・・・・・・・・・・・	192
	6.	片麻痺歩行に対する足関節ロボット治療における適応者および非適応者の特徴分析・・・・・・・・・ 桑原 嵩幸 関西医科大学	197
	7.	eスポーツ熟練者の情報処理能力を司る神経機構の解明とトレーニング法の開発 ・・・・・・・・・・・・・・・・・・・・・・・・・・・・・・・・・・・・	204
	8.	ポストコロナ時代における商業・公共施設のための空間管理システムの基盤構築・・・・ 須崎太久弥 北海道大学	209
	9.	脳下垂体腺腫の摘出手術のための三次元誘導技術の開発・・・・・・・・・・・・・・・・・・・・・・・・・・・・・・・・・・・・	213
	10.	iPS 細胞を用いた糸球体 MPS による高血糖,脂質異常症,高血圧の相乗効果の評価 ・・・・・・・・・・・・・・・・・・・・・・・・・・・・・・・・・・・・	218
	11.	単語単位ラベルを考慮したテキストデータ拡張手法の研究 · · · · · · · · · · · · · · · · · · ·	220
	12.	サービス動的個人適応に向けた対話型ユーザニーズ外化システムの研究開発・・・・・・・・・・・・・・・・・・・・・・・・・・・・・・・・・・・・	223
	13.	機械学習を用いた低侵襲かつ汎用的な腎臓病診断支援モデルの構築・・・・・ 野田竜之介 聖マリアンナ医科大学	228
	14.	高 MHz 帯域の強力超音波を用いた小型光流体レンズの開発とマシンビジョンへの応用・・・・・・・・・・・・・・・・・・・・・・・・・・・・・・・・・・・・	231
	15.	対人間同期が走パフォーマンスに及ぼす影響とその影響範囲の解明・・・・・ 古川 大晃 東京大学	236
	16.	原子ビームとねじり振り子による気体原子から固体へのスピン移行の汎用的な検出・・・・・・・・・・・・・・・・・・・・・・・・・・・・・・・・・・・・	241
	17.	荷重制御した周期的圧縮刺激を印加可能な骨-癌共培養装置の開発・・・・・・・・・・・・・・・・・・・・・・・・・・・・・・・・・・・・	246
5.		祭交流助成一覧(28 件) ※交流助成(国際会議発表)(14 件)・・・・・・・・・・・・・・・・・・・・・・・・・・・・・・・・・・・・	251
		※交流助成(短期在外研究)( 3 件)·······	
		会会議開催助成 (11 件)	

# ごあいさつ

助成研究成果集第34号の発行にあたり、ご挨拶申し上げます。

公益財団法人立石科学技術振興財団は、オムロン株式会社創業者・立石一真が卒寿を迎えたことを機に、「人間と機械の調和」の促進を趣意として、1990年(平成2年)に設立されました。以来、設立趣意に沿った研究課題への助成を継続的に行ってきており、これまでの助成件数は約1,700件、累計助成金額は34億円を超えるほどになりました。これもひとえに皆様からのご支援とご協力の賜物であり、深く感謝申し上げます。



本成果集は、助成対象となった研究成果を広く共 有し、財団が掲げる理念のさらなる普及と、研究者間の交流・連携の促進を目的 として、毎年発行しております。本号にご寄稿いただきました研究者の皆様、ま たご協力いただいた関係者の皆様に、心より御礼申し上げます。

本年5月に開催された助成金贈呈式は、オンライン形式ではありましたが、助成を受けられた皆様から熱意あふれる研究の抱負が語られ、大いに刺激を受けました。皆様が未来を見据え、夢と志をもって研究に邁進されることを心から期待しております。

さらに、11月には研究成果の共有と研究者同士のネットワーク形成を目的とした「研究助成 成果発表会」を京都で開催いたします。この場が、研究のさらなる発展と学術的交流の契機となり、科学技術による社会課題解決に貢献することを期待しております。

設立から35年目を迎える今,日本を取り巻く環境はかつてないスピードで変化しております。生成AIやロボティクスといった先端技術の進展に加え,気候変動やエネルギー問題,SDGsの達成に向けた国際的な取り組みなど,私たちが直面する課題はますます複雑化しています。とりわけ、少子高齢化という国内の喫緊の課題にも、科学技術による創造的なアプローチが求められています。

当財団はこれからも、民間の立場から、挑戦的かつ独創的な研究を支援し、日本の科学技術力の向上と、持続可能な社会の実現に向けて微力ながら貢献してまいります。研究者の皆様の夢と情熱を支えるパートナーとして、今後とも歩みを共にしてまいります。

引き続き、皆様のご支援とご指導を賜りますよう、心よりお願い申し上げます。

2025年10月 理事長 立 石 文 雄

# 2025 財団への期待 — 人間と自然と機械の共生をめざして

類人猿から始まり数百万年に及ぶ人類の歴史は常に自然との戦いであった。厳しい気候や他の動物との生存競争の中で水と食料を確保して生き延び子孫を残していくため、250万年前には石器を考案、100万年前には火の利用法を獲得し、道具を工夫して駆使しつつエネルギーを扱う術を得て、人類は地球上の生物界の盟主となった。その知能はますます発達して多様な文化や芸術を生み出し、近代的な社会体制を創り出して多くの人々が安心して暮らせる豊かな社会を構築してきた。



それでも近代的な機械が創出されて人類社会が大きく変革したのは18世紀に始まった産業革命以来

の300年ほど。さらに科学技術がめざましい進歩を遂げて原子力や半導体エレクトロニクス,ナノテクノロジー,コンピュータ,情報ネットワークなどのイノベーションにより社会が加速度的かつ劇的に変化したのは20世紀後半以降のわずか数十年である。

21世紀になり、今や地球上のどこにでも半日ほどで飛んで行き、世界中のどこにいる人とでもリアルタイムで画面越しに会話ができる。さまざまな情報や知識が瞬時に手に入り、日々の課題を解決する方法さえ人工知能(AI)が考えてくれる。そういう時代に我々は生きている。

現代社会の人類に豊かな生活と幸福をもたらしたように見える科学技術の進歩は、その一方で確実に制御あるいは解決できるかどうか不安になるほど困難な課題も産み出した。一つは地球温暖化である。地球の天然資源に頼りきり、その影響が自然に影響を与えることまで考えずに拡大してきた人間の経済産業活動は、この数十年という意外なほど短期間で大気の組成に変化を及ぼし、北極圏の海氷の縮小、世界各地の異常レベルの降水量や大規模森林火災など、異常気候を頻発させるまでに地球全体の温暖化を引き起こす結果となった。直径1万3千キロメートルの球体はそれなりの大きさではある。しかし、生物の生存環境を維持提供してくれる地殻と大気圏はそれぞれ40キロメートルと100キロメートルほどで、直径の100分の1ほどの薄皮でしかない。宇宙船地球号の生存可能空間は実はさほど大きくなかったのである。それに加えて、世界中に配備された核ミサイル、最先端情報ネットワーク技術の悪用、SNSによる無差別個人攻撃、加速度的に進化を続ける人工知能の潜在的脅威など、科学技術が直接産み出した課題も多い。

人間はこれまで自然と戦うために機械を創って活用し、機械と協働することで産業を発展させ豊かな社会づくりを目指してきた。立石財団の理念はその活動を一層高度化するための研究を支援することにある。ただこれからは、人間どうしはもとより、人間と自然、人間と機械が協調し共生して、人類社会の豊かな発展を支えるために我々が何をなすべきか真剣に考えなくてはならない時代になっている。現代社会に生きる我々が相対している数多くの困難な課題の解決を目指し、若い科学者たちの知恵と力を人類社会の発展に役立てられるよう、立石財団には一層視野を広げて支援の輪を拡大していただきたい。今後の活動に大きな期待がかけられている。

大阪大学大学院生命機能研究科 特任教授 難 波 啓 一 (理事)

# 研究室訪問

# 北海道大学 大学院文学研究院・文学部 田辺研究室

2025年7月,2018年度研究助成(A)の受領者\*である北海道大学大学院文学研究院准教授田辺弘子先生の研究室を、選考委員の椹木委員とともに訪問しました。これまで主に機能や性能を対象とした研究に触れる機会が多かった中で、魅力や美しさを対象とする研究の面白さと難しさに大いに刺激を受けるとともに、「美しさ」が単なる個人的な主観にとどまらず、性別や年代、さらには社会的・文化的背景や進化適応との関係からも考察されている点が非常に興味深く感じられました。どのお話も、当財団の今後の方向性を考える上で大きな示唆をいただく貴重な一日となりました。

† 受領時研究課題:「人間の心を動かすバイオロジカルモーション生成モデルの構築」

リポーター 事務局 橋本光博

# ――文学部の校舎に入るというのは、私たち初めての経験です。



北海道大学の文学研究院には大まかに2種類ありまして、日本文学や哲学、歴史のようないわゆる文学部としてイメージされる研究室が人文学専攻、もうひとつが私の所属する人間科学専攻で、心理学と行動科学、社会学、地域科学があります。こちらで学位を取ると文学博士ではなく、人間科学博士となります。現在の研究内容は、振る舞いや印象、スポーツ動作における巧みさ、音楽に関連する人の動きと心理などをテーマにしています。昨年度は着任1年目で学生も少なかったのですが、今年度は9名が研究室に所属しています。

──田辺先生がバイオメカニクス,運動制御生体工学の研究に取り組まれるようになった経緯などを教えて ください。

3回生のときに京都大学 総合人間学部の運動医科学研究室に配属され、「ラットの骨格筋におけるプーアル茶抽出物の取り込み促進効果」というテーマで研究を行っていて、その後は普通に就職する予定でした。当時、学問と同時に熱中していたのがクラシックバレエで、プロと一緒にレッスンを受けたり舞台に立つ機会があり、ダンサーの動きの美しさに感動することがたくさんありました。たしか3回生の終わり頃、その後の指導教員となる神﨑素樹先生と立ち話をしていて「プロのダンサーはただ立っているだけできれいなんです」と話したら、それを研究したら面白いんじゃないかと言われ、動きの美しさを科学的に解明できるかもしれないと大興奮して進路変更し、人間・環境学研究科の運動生理学研究室に移りました。

体の動きを見て感動することには、運動制御や認知科学、さらにバレエでは音楽も含まれますので音や身体表現、芸術など多岐にわたる学際的なテーマです。4回生の時点で先行研究を見ても誰も調べておらず、未知の課題だとわかり、研究に着手しました。「美しさ」の対象を決定することが難しかったため、まずは「立っているだけで美しい」という姿勢の制御に注目して立位制御メカニズム(運動制御)を解明するところからスタートし、バレエダンサーのつま先立位時の下肢の関節協調運動を検討しました。立位姿勢を制御するときに連続的な制御ではなく、状態の安定性/不

安定性に基づいて能動的に筋活動を切り替える間欠的な制御(フィードバック制御)が提唱され始めた時期で、倒立多重振子モデルを用いた立位制御シミュレーションや表面筋電図による ON/OFF 判別を行って、シミュレーションの結果と生体信号とを比較しました。また、中枢神経系のメカニズムに着目した健常成人での実験も行いました。

――姿勢の美しさと聞くと、一般的に猫背はよくないなど静的なものかと思ってしまうのですが、ダイナミックな制御系が関係するのですか?

バレエで「膝をロックする」といわれる膝を動かさずに大腿部と下腿部を同期して動かすというミクロな動きを計測すると、動的か静的かの違いがはっきりとわかりました。バレエの基本姿勢であるポジション6種類のうち、3番、4番、5番の足をクロスした立ち方では、より膝をロックして膝関節が動かない状態で揺らいでいます。

──いわゆる「体幹がしっかりしている」ようなものではないのです ね。

静止しているけれども非常に制御され安定していて, ちょっとした揺らぎに対しても体幹がしっかりと維持できているという, 動的な姿勢です。



#### ――どの段階で制御工学を学ばれたのでしょうか。

M2 (大学院修士課程 2 年生) の頃です。現在,愛知県立大学におられる鈴木康之先生が似たテーマを研究しておられたので,論文を読んで質問をしたところからやり取りが始まり,シミュレーションのやり方等いろいろと勉強させていただきました。その他にも先輩方やそのお知り合いにも助けていただくことができて,環境に恵まれていましたね。2016 年度に学位を取得後,東京大学大学院総合文化研究科で助教に就任し,そこで立石財団の研究助成(A) に採択していただきました。テーマは「人間の心を動かすバイオロジカルモーション生成モデルの構築」です。その翌年に青山学院大学理工学部情報テクノロジー学科に移ったため,実際に研究を行ったのは青山学院大学でした。

# ――助成対象となった研究課題と成果は、どのようなものだったのでしょうか。

美しさや魅力というものは動作主体と観察者の間に発生するものと考えて、対象に選んだのが歩容です。バレエやダンスでの先行研究はありますが、バレエでは回転やジャンプ、アラベスク(バレエにおける基本的なポーズ)などたくさんの動きがあるにもかかわらず、それを対象にする理由がどの論文にも書かれていない。どうも芸術動作を対象にするのは得策ではないなと感じたことから、快楽情動に関連する魅力について日常動作の歩容における美しさの法則性を探ることにしました。



最初に取り組んだのが、歩行による女性の魅力表現ストラテジーの検討です。一般女性とファッションモデルで魅力表現をする歩容の特徴を比較しました。表現側からは身体運動による魅力要素を計測し、鑑賞側の印象評価で魅力を計測する印象評価実験を同時に行い、歩容のパラメータと魅力の評価の因果関係を示すモデルを作りました。視覚情報処理プロセスで魅力の認知と男女にとって魅力の意味を追求する実験、歩容の魅力の視覚情報処理プロセスのモデル化をまとめた論文<sup>†</sup>が成果となります。

† Hiroko Tanabe, Kota Yamamoto. 2025 "Gender differences in attentional processes and attractiveness evaluation models during gait observation" Frontiers in Psychology

──歩容は個人認証に使えるほど属人的なものだと聞きます。一方で,ファッションモデルの歩き方を学習 して一般の人が表現するような傾向はないのでしょうか。

一般女性は身体表現の経験がないにもかかわらず「魅力的な歩き方」のイメージは持っていて、データの平均値を比較すると統計的にも有意に「魅力的に歩こうとした歩容」は評価者から魅力的と捉えられ、バイオロジカル・モーションレベルでも魅力的だという結果でした。ファッションモデルと一般女性では頭部前傾、上腕テイクバックは共通するものの、胸腰関節・股関節の運動エネルギーと頭部の水平回転は逆行する結果になりました。腰椎カーブを強調する動きや股関節の運動エネルギー増加、胸部の強調に繋がる動きは生殖機能と、膝伸展は健康さの評価に関連することがわかり、個体の健康状態、若さや女性らしさの表現の鍵になります。モデルの歩容は文化的な美と商業・産業的な美の教師になりえますが、生物として魅力的な歩容とは矛盾する部分があることから、一般女性がモデルの歩容をイメージしていたわけではない可能性が高い。また、最近はモデルのジェンダーレス化、キャットウォークをしない傾向等があることも関係しているでしょう。腰椎カーブの増加が魅力的に見える理由のひとつに、妊娠中の女性の腰椎角度と一致するという報告があるので、文化的、商業・産業的な美の基準は変化していく一方で、生殖機能に関連する美の基準は文化や産業等の時間単位では変わらないと考えられます。

#### ――印象評価では、評価者の年齢でばらつきがありましたか。

そう予想していたのですが、20代から60代の評価者10人ずつに参加してもらいましたが、ばらつきは見られませんでした。ファッションモデル7名と一般女性10名にトレッドミル上を裸足/ハイヒールで歩いてもらい、モーションキャプチャーで全身の関節角度を算出してパラメータを通常歩行と魅力的な歩行で比較、さらにモデルと一般女性との比較を行った結果、評価者の年代による差は出なかったのです。さらに視覚情報処理プロセスやその男女差について、神経美学的な視覚情報処理モデルでも検討したところ、視線分析で男女差、すなわち異性間選択と同性内選択があることが確認できました。男性観察者は対象の体幹部を注視する割合が50~60%だった一方で、女性は体幹部を見た後に視線が下に遷移して脚部を見ており、より全身の情報を捉えていることがわかりました。

# ――今後の展望を教えて下さい。

今年度は振る舞いの美しさに自己ブランディング、見られたい自分を表現する要素があると考えて「大学生の就職活動時の自己ブランディングと個人属性・振舞いの関係性」という研究を行っています。就活では「ガクチカ」(学生時代に力を入れたこと)が注目されますが、対策としての自己ブランディングやセルフプロデュースといったキーワードも含めています。就職活動を終えた大学生515名(日本人のみ)にオンライン調査をしたところ、大学生のブランディング因子は概ね3つあり、協調性・真面目さ、冷静さ・理性、外交性・元気・積極性が算出されました。そこから性

格・目標志向性の関係性や業種・職種の関係性、面接時に意識した振る舞いの関係性、ガクチカのトピックの関係性を検討しました。今後の課題として、音響的要因・動作等の非言語情報の影響や、成功した場合の採用担当者の印象評価等を検討する必要があります。

# ――応用研究へと向かっておられるのでしょうか。

そうかもしれません。これまで本質的な美や生物としての魅力を追求してきましたが、日常生活における動作との間に社会的な課題があるのではないかと感じており、ようやく社会実装に目が向き始めました。産学連携の研究に携わった経験から、ノウハウや社会に還元されていく方向性などはだいたい把握しています。特に名古屋大学で産学連携の講座で「ヒューマンマシンインターフェースを用いた ADAS(先進運転支援システム)の評価」に関わったことは大きかったですね。これから自己ブランディングと装い、歩容の関係性に注目しようと考えています。ファッションによって歩き方は変わるので、衣服という要素はかなり大きいはずなのですね。しかし、従来のモーションキャプチャー技術では自由度の高いスカートの中の足の動き等を計測することはできず、スカートをはくからおしとやかな動きをするのか、あるいは服のシルエットだけでおしとやかさが演出できる(足の動きは関係なく)のか等の違いはわかりませんでした。最近、ウェアラブルな装置が登場したので、服の中の動きを計測してみたいと考えていて、実験でどういう場面を設定するのかを悩んでいるところです。また、運動学習を促すようなアプリ開発や、コロナ禍で問題になった子どもの体力不足が未だに改善していないことから、子どもの身体運動を促すICT活用システム等の研究も視野に入れています。



研究室では部活等でスポーツに取り組む学生が入ってスポーツ心理学関連も加わりましたし、パイプオルガンが学内にあることから演奏者の視覚と運動の連関を知りたいというオルガン研究会の3年生、ゲーム好きな学生はゲームプレイの動機づけを研究していますし、椅子の座り心地を研究している学生はレビュー論文を書こうとしているところです。音楽を聞いたときに体を動かしたくなる感情と身体運動に関するグルーヴ感を研究している4年生は、音に合わせたアクティブな体の制御と音の知覚変化を乗力とコンキャプチャーシステムを用いて実験するなど、学生たちが多様な研究を展開しています。

# ――研究を続けながらの出産、育児経験についてお聞かせください。

2019年3月に双子を出産し、同時にコロナ禍になったものですから、もう本当に大変です。出生の事情で2人とも持病があり、そうした配慮のいる乳児2人を預けられる保育園が見つからず(医師からは本当は3歳になるまで自宅でお世話することを勧められていました)、勤務先は子の誕生日に関係なく年度末までに復帰というルールだったので、本当に仕事を辞めなければいけないのではないかという状況になりました。幸運にも近所に保育園が新設されて入ることができたのと、オンライン授業が可能になったことで復帰することができました。自宅で双子が交互に泣く中で授業をしていましたね。なので、子どもたちが3歳になる頃までの記憶がほとんどないです…。

対面授業が再開すると、週3回は4限と5限に実習があるため18時半頃まで仕事、保育園は19時までに迎えに行かなければならない。これは職場を変えるしかないと、公募が出ていた名古屋大

学に応募しました。トヨタ自動車株式会社の寄附講座で学内業務が一切なく,裁量労働制のため実験や会議に支障をきたさなければ勤務時間は自由,学内に認可外保育園があるという環境で,どうにか仕事と育児を両立させることができました。けれども共同研究はできない,科研費を取ることもできない契約だったため,自分自身の研究に関してはもどかしい状態になり現職の北海道大学の公募に応募し,その後すぐに夫も近くに職を得ることができて現在に至ります。まさに決死の覚悟で北海道にたどり着いた感じです。双子は今年から小学生になり元気に暮らしていますが,2人だと子連れの学会参加などが難しいなど、まだまだ問題は山積みです。

最後に、採択していただいたことで動きの魅力を解明するための一歩を踏み出すことができました。本当にありがとうございました。



# 研究助成成果報告

# 運動と知覚の時空間拡張に基づく手づたえ教示システムの開発

#### 2228001



研究代表者 (助成金受領者) 共同研究者

慶應義塾大学	教 授	桂		誠一	一郎
東京女子医科大学	准 教 授	吉	澤	浩	志
慶應義塾大学	准 教 授	板	口	典	弘
慶應義塾大学	専任講師	大	澤	友絲	己子
広島大学	准 教 授	村	松	久	圭
ラトガーズ大学	教 授		Jing	ang	Yi

# [研究の目的]

モーションコントロール技術の発展により、人間の動作を記録し、ロボットにより自動再現させることが可能になっている。加速度制御により速度や力をロバストに制御することが動作再現の本質であり、人工知能(AI)と統合した研究が多くなされている。我が国は少子高齢化が進んでおり、熟練技能の伝承や、リハビリ・医用応用など、人から人へ動作を伝える手づたえ教示の必要性が高まっている。この問題の解決のためには、従来の人からロボットへの動作再現に加えて、人から人への動作再現に拡張していく必要がある。

本研究は人間の運動と知覚を時空間に拡張して,革新的な手づたえ教示を実現することを目的としている。これにより,個人個人に適した動作解析,予測,適応,さらにはロボットを用いた支援へとつながる「人間と機械の融和スパイラル」が形成できる。

本研究で開発する「手づたえ教示システム」 (図1) は、これまでの視覚、聴覚によるマルチメディアデータに加え、人間の動作という物理データベースとヒューマンインタフェースを

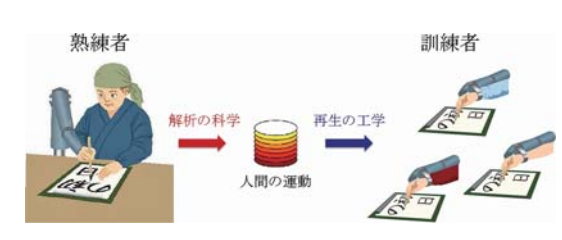


図1 「手づたえ教示システム」の概念図

融合させるもので、社会全体へ与える影響は大変大きい。人間の身体と身体をつなぐネットワーク技術は、電話やテレビと同等のインパクトを持つ可能性がある。特に、熟練技能者のスキル伝承や高度技能保存に基づいた新たなサービスの創出を目指しており、革新的な成果が期待できると予想される。

本研究で得られた成果を社会実装することにより、熟練技能者の持つスキルやノウハウを解析して抽象化し、手づたえ教示の実現性を高めることが可能になるばかりではなく、リハビリテーション、医療・介護、スポーツ、芸術分野などの様々な分野において、効率的かつ遠隔でトレーニングを行うための支援サービスを提供することが可能になる。これは機械との融和に基づく人間の身体性の拡張・進化に他ならない。

# 「研究の内容. 成果]

# 1. 「手づたえ教示システム」の開発

本研究では、従来のバイラテラル制御を基本 とした「モーションコピーシステム」を拡張し、 以下のような手づたえ教示を実現するための方 式を確立し、学術的・技術的に体系化すること に成功した。

・モーションコピーシステム (バイラテラル制御方式)(図 2)

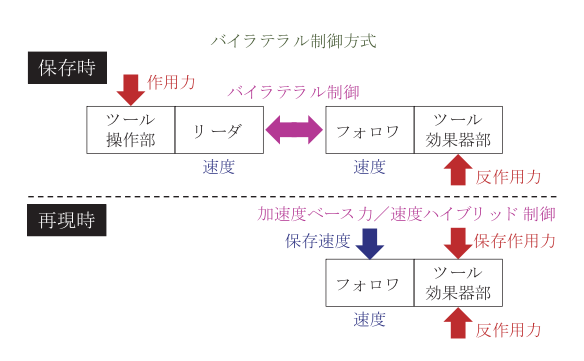


図2 モーションコピーシステム (バイラテラル制御方式)

タスクを行うツールを操作部と効果器部の2つに分割し、それぞれにモータとアームを取り付けてリーダ・フォロワ構成とする。動作を保存する際には、リーダ・フォロワ間にバイラテラル制御を構成し、動作中の作用力と速度を抽出する。動作再現時にはフォロワのみ用い、保存作用力と保存速度をロバストに再現するための加速度ベース力/速度ハイブリッド制御を構成する。

本方式により世界で初めて書道の達人の動作を忠実に再現することに成功し、そのデモンストレーションは多くの注目を集めた。学術的には、力と速度の同時再現が人間動作の再現における十分条件であることを明らかにした。

# ・モーションコピーシステム

# (インツールセンシング方式)(図3)

バイラテラル制御方式によるモーションコピーシステムは、ツールに取り付けるモータやアームにより慣性の増加を招くため、動作抽出時においてタスクへ与える影響が大きいことが

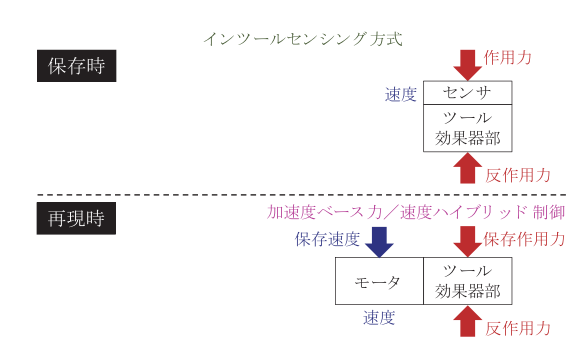


図3 モーションコピーシステム (インツール センシング方式)

# 課題となっていた。

インツールセンシング方式はツール内に力や 速度を抽出するセンサを埋め込むことにより、 上記課題の解決に成功している。本研究では、 バイオリンの駒と弓に歪ゲージを貼ることで (図 4)、ボーイング動作の抽出ならびに再現に 成功した。



図4 バイオリン動作抽出のためのインツールセンシング

・モーションコピーハンド (指先力センシング方式)(図5)

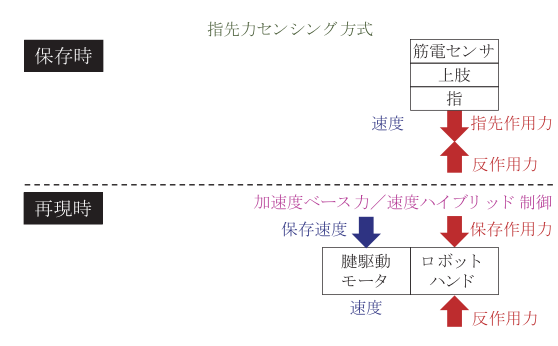


図5 モーションコピーハンド(指先力センシング方式)

上記のモーションコピーシステムはツールを 使用したタスクの抽出・再現は行えるものの、 指先で直接行うタスクに適用することができない。そのため、上肢に筋電センサを貼付し、指 先力との入出力関係を AI によりモデル化する ことで、指先力を筋電から推定する手法を開発 した。

抽出された指先力と指先の速度はロボットハンドにより再現可能である。狭空間にいかに多くの自由度を持たせるかが重要となるが、減速機の使用はバックドライバビリティの低下につながり、力制御の性能が劣化することになる。そのため、ダイレクトドライブモータと腱駆動を統合したハンド機構を新たに設計し開発を行った。

・ヒューマンコピーシステム (機能的電気刺激方式)(図 6)

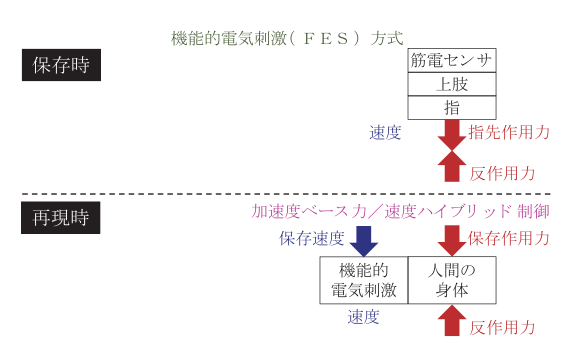


図6 ヒューマンコピーシステム (機能的電気刺激方式)

手づたえ教示を効率よく実施するためには、 運動主体感の向上が欠かせない。そのため、外 骨格型システムによる身体の間接駆動ではなく、 直接駆動である機能的電気刺激を用いることが 望ましいとの結論に至った。

機能的電気刺激をヒューマンインタフェースに用いる研究は多く行われているものの、モータやロボットと異なり、ロバストな制御に関してはあまり研究が行われていない。研究代表者の桂はモーションコントロールへの造詣が深く、機能的電気刺激向けの新たな二自由度制御系の開発を行い、基本特許の出願につながった。二自由度制御により、位置制御(制御剛性∞)から力制御(制御剛性ゼロ)まで、ロバストに実現することが可能になる。

曲げセンサに基づく人間の手指動作のセンシングと機能的電気刺激による手指の直接駆動制御を統合した「手づたえ教示システム」の開発を行った。図7に示すように、背側骨間筋に電極を貼付し刺激することで、第2~5指を独立に制御することに成功した。さらに図8に示すように、第2~5指を使用した鍵盤楽器の手づたえ教示が行えることを検証した。

このように、身体と身体をつなぐ手づたえ教 示という新たなインタラクションを実現することに成功した。「手づたえ教示システム」により、これまでの視覚、聴覚などのマルチメディ ア情報に加えて、遠隔地にいる他者と身体を接続し、共有化できる新たな体験が可能になる。

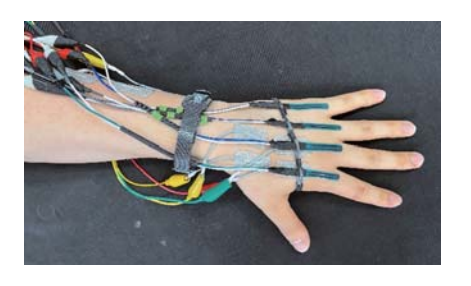


図7 機能的電気刺激による手指の直接駆動



図8 鍵盤楽器の手づたえ教示

# 2. 「手関節筋緊張評価システム」の開発

手関節の掌屈・背屈運動ならび尺屈・橈屈運動における粘弾性の物理量を計測する「手関節筋緊張評価システム」を開発し、研究協力者の所属している医療機関(平塚共済病院、宇治徳洲会病院)において、理学療法士の協力の下で評価を行った。開発した「手関節筋緊張評価システム」を使用する様子を図9に示す。また図10に示すように、本システムにより Modified

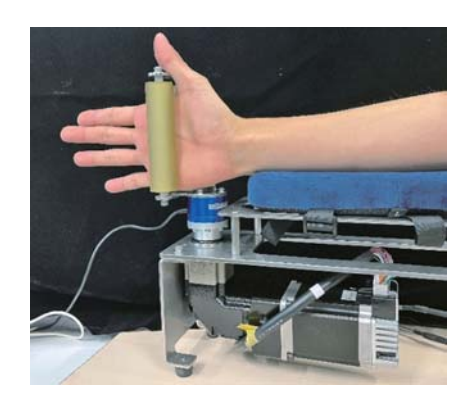


図9 「手関節筋緊張評価システム」

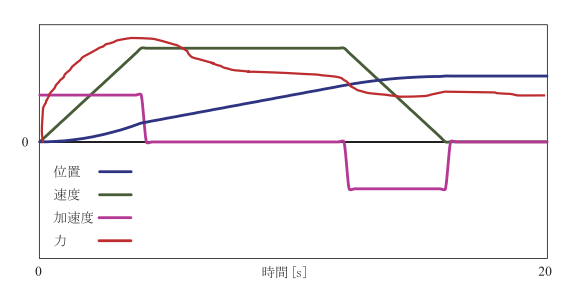


図10 手関節粘弾性の抽出による筋緊張の測定

Ashworth Scale に代わり、定量的な診断やリハビリテーション効果の記録が可能になる。

また、手関節の運動に連動したゲーム型の操作インタフェースを開発した。ゲームの各パラメータを個人ごとの症状に合わせて変更することが可能であるため、スパイラル構造に基づいたリハビリテーション支援につなげることが可能である。

# 3. 国際シンポジウムの実施

2024年3月6日~7日に慶應義塾大学にて国際シンポジウム (International Symposium on Applied Abstraction and Integrated Design, AAID) を主宰し、本研究で得られた成果を広く公表するとともに、国際連携や社会実装など今後の進め方を議論した。

# [今後の研究の方向, 課題]

本研究の出口として、遠隔やセルフでのリハビリテーションなど「手づたえ教示システム」 によるスマート医療の新たなサービス創成を目 指しており、医療機関において評価を行うため の準備を進め、開発技術の検証および設計への フィードバックを行いながら社会実装を行って いく。

#### [主な発表論文]

- [1] Kodai Fujisaki, Seiichiro Katsura: "Motion-Copying System with In-Tool Sensing," *IEEJ Jour*nal of Industry Applications, Vol. 12, No. 4, pp. 793– 799, July, 2023.
- [2] Masaki Takeuchi, Seiichiro Katsura: "Robust Velocity Control for Electromagnetic Friction Brake Based on Disturbance Observer," *IEEJ Journal of Industry Applications*, Vol. 12, No. 5, pp. 876–884, September, 2023.
- [3] Shunichi Sakurai, Seiichiro Katsura: "Singularity-Free 3-Leg 6-DOF Spatial Parallel Robot with Actuation Redundancy," *IEEJ Journal of Industry Applications*, Vol. 13, No. 2, pp. 127-134, March, 2024.
- [4] Kosuke Shikata, Seiichiro Katsura: "Wave Dynamics Intrinsic in Symmetric Four-channel Bilateral Teleoperation: Mutual Impedance-based Motion Control," *Mechatronics*, Vol. 102, No. 103209, 13 pages, June, 2024.
- [5] Daiki Socenaga, Issei Takeuchi, Daswin De Silva, Seiichiro Katsura: "Force Estimation from Surface-EMG Using Element Description Method," *IEEE Journal of Emerging and Selected Topics in Industrial Electronics*, Vol. 6, No. 1, pp. 447–454, January, 2025.
- [6] Sora Yamaguchi, Yuki Tanaka, Seiichiro Katsura: "Contactless Environmental Impedance Estimation: Image-Based Approach Using Confidence Scores of Object Detection Model," *IEEJ Journal of Industry Applications*, Vol. 14, No. 2, pp. 152-160, March, 2025.
- [7] Yuki Tanaka, Seiichiro Katsura: "Sensorless Reaction Torque Regulation of Multi-DoF Industrial Manipulator Using Gated Recurrent Unit-Based Virtual Environment Quarrier," *IEEJ Journal of Industry Applications*, Vol. 14, No. 2, pp. 169–176, March, 2025.
- [8] Aina Kojima, Shunichi Sakurai, Seiichiro Katsura: "In-Hand Manipulation Using Interaction Mode Control in Polar Coordinate System," *IEEJ Journal* of Industry Applications, Vol. 14, No. 2, pp. 177–187, March, 2025.
- [9] Kei Ueda, Seiichiro Katsura: "Passive Tension

- Adjustment of Tendon-Driven Mechanism for Improvement of Drivability," *IEEJ Journal of Industry Applications*, Vol. 14, No. 2, pp. 277–284, March, 2025.
- [10] Yusaku Kuroki, Seiichiro Katsura: "Three-dimensional Motion Mechanism with Tendon-Driven Gravity Compensation," *IEEJ Journal of Industry Applications*, Vol. 14, No. 3, pp. 413–422, May, 2025.
- [11] Kazuma Morikawa, Seiichiro Katsura: "Realization of Advanced Contact Motion with Low Moment of Inertia Using In-Link Actuators," *IEEJ Journal of Industry Applications*, Vol. 14, No. 3, pp. 423–430, May, 2025.

# [主な受賞]

- [1] The Best Paper Award, The 15th International Conference on Human System Interaction, HSI2022-MELBOURNE, 2022 年 7 月 30 日
- [2] Outstanding Paper Award, IEEJ International Workshop on Sensing, Actuation, and Motion Control, and Optimization, SAMCON2023–NANJING, 2023 年 3 月 26 日
- [3] 総務省 戦略的情報通信研究開発推進事業 研究 開発奨励賞, 2024年1月23日
- [4] IIFES2024 学生テクニカルアカデミー コンテ スト 特別賞, 2024年1月28日
- [5] Istvan Nagy Award, 2024年10月2日

# 触診技術伝承を目指した耳小骨可動性計測訓練シミュレータの開発

# 2241001



研究代表者 (助成金受領者) 共同研究者

大阪大学 大学院基礎工学研究科 李 信英 助教 之 山梨大学 大学院総合研究部 教 授 野田 善 国立病院機構東京医療センター 品 室 長 神 崻 聴覚・平衡覚研究部聴覚障害研究室 電気通信大学 卓 二 池 教 授 /\ 大学院情報理工学研究科

# [研究の目的]

世界保健機関 (WHO) によると 2050 年まで に難聴者は世界全体で25億人にまで増加する 見込みであり、難聴は認知症やうつ病の罹患リ スクを上昇させるため1). 世界的に難聴の予防 や治療法が求められている。耳小骨(中耳の3 つの小さい骨)の固着による難聴は、耳科手術 により聴力回復の見込みがある疾患の一つであ る。耳小骨固着による難聴は耳小骨周囲の靭帯 が硬化し、耳小骨の動き (可動性) を妨げるこ とが原因である。非侵襲的検査法では正確な病 変部の確認が困難であるため、手術中に耳科用 探針を用い、耳小骨を直接加振させ耳小骨可動 性の触診を行う(図1)。術後の聴力改善には 耳小骨の可動性評価が重要であるが、術者の経 験や感覚に依存する可能性がある。また、内耳 などへの副損傷に注意し、微小な力で触診する

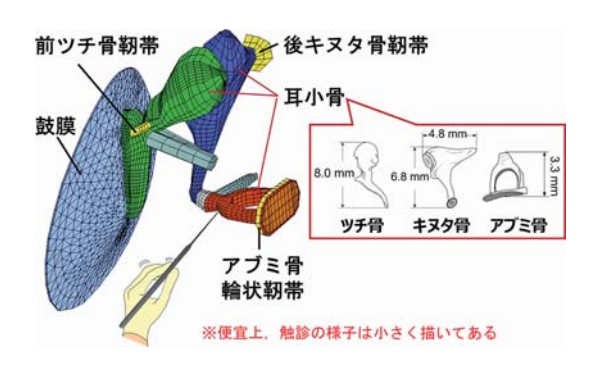


図1 中耳の有限要素モデルと触診の様子

必要がある。そのため、経験の浅い外科医でも 正確かつ効果的な触診を行えるように、定量的 な評価と再現性のある訓練が可能なトレーニン グシステムが必要と考えられる。本研究では、 仮想現実 (VR) における中耳モデルと連動し た力覚提示を活用した耳小骨可動性触診のト レーニングシステムを構築し、効率的かつ確か な手術手技の伝承を目指す。これにより、経験 や感覚に頼っていた治療法の選択を、明確なエ ビデンスに基づいて術中に行うことで、術後成 績を向上させ、再手術リスクを低減することが 期待できる。このように、人間の繊細な感覚を 機械で再現する「感覚と経験に基づく診断技術 を数値化し、診断支援と技術伝承を行う手法」 は、耳科領域のみならず他診療科の触診・打診 にも拡張可能であると考えられる。

# [研究の内容,成果]

我々の研究グループは、耳小骨の可動性を定量的に測定するための術中測定システム<sup>2)</sup>を開発している。さらに、ヒト中耳の有限要素モデル(図 1)を用いて様々な病状における可動性をシミュレートし、そのデータを機械学習で分類することで、各病変部における効果的な触診法を提案している<sup>3)</sup>。本研究では、耳小骨の可動性を触診時の変位と反力の比(コンプライア

ンス,図2)として表し、これまでの研究成果を活かした耳小骨可動性触診の訓練システムを構築・評価した。さらに、新たな非侵襲的な触診法のシミュレーションも行った。



 $compliance = \frac{displacement (mm)}{load (N)}$ 

図2 耳小骨の可動性 (コンプライアンス) の定量評価

# 耳小骨可動性の触診トレーニングシステム の構築(研究成果 [1~2])

#### 1.1 構築方法

耳小骨コンプライアンス (図 2) は、ばね定数の逆数として考えられる。計算やプログラムを単純化するため、トレーニングシステム上の耳小骨可動性はコイルばねとしてモデル化した(図 3)。本研究では、正常耳と、アブミ骨周囲に固着が生じる耳硬化症(otosclerosis)をモデル化した。病態の有無やその程度に伴うコンプライアンスの変化は、耳小骨可動性計測システム<sup>2)</sup>による側頭標本での計測値と、ヒト中耳の有限要素モデルによる計算値<sup>3)</sup>をを参考に選定した(表 1)。モデルのコンプライアンス値の妥当性は、側頭骨標本で歯科用セメントなどを用いて耳小骨を人工的に固着させた場合の耳小骨の挙動変化に関する文献値<sup>4)</sup>と比較して確認した。これらのコンプライアンス値に基づき、

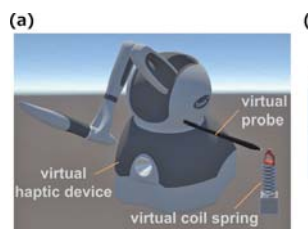






図3 (a) 触診トレーニングシステムの画面 (b) 耳小骨のばねモデルの寸法

表1 正常耳と耳硬化症におけるアブミ骨の コンプライアンス

Measurements	FE-model			
Normal (mm/N)	Normal (mm/N)	Mild otosclerosis (mm/N)	Moderate otosclerosis (mm/N)	
$1.5 \pm 0.9$	1.3	0.48	0.10	

表2 仮想耳小骨モデルのコイルばねの特性

	wire diameter (mm)		free length of spring (mm)	number of total coils	compliance (mm/N)	mass (mg)
JA-15	0.23	2.5	7.5	8.5	3.2	22.2
JA-49	0.35	3.0	7.5	8.5	0.93	61.7
JA-52	0.40	3.0	7.5	9	0.56	85.3
JA-55	0.45	3.0	7.5	9	0.34	108

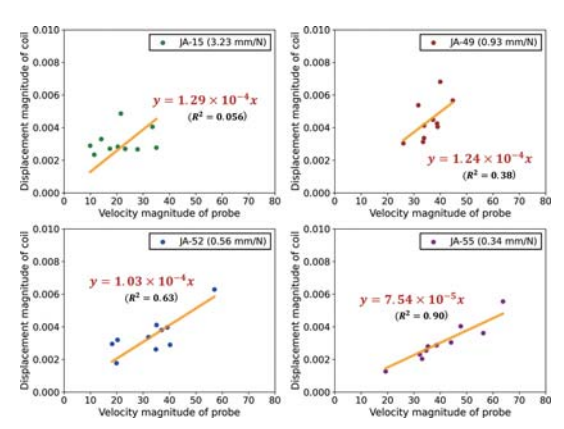
表2のコイルばねを選定し、Autodesk Inventor Professional 2025 を用いて 3D モデルを作 成した。さらに、中耳有限要素モデルに基づい てアブミ骨の 3D モデルも作成した。アブミ骨 の 3D モデルとそれぞれのコイルばねを用いて, 3D の仮想現実のコンテンツ制作可能な汎用ソ フトウェア Unity (Ver. 2022) における仮想耳 小骨モデルとして組み込んだ。各コイルばねの 剛性を調整し、正常耳から軽症・重症の耳硬化 症までを表現した。また、触覚フィードバック を実現するため、市販のハプティックデバイス (Touch TM. 3D SYSTEMS) と Unity のプロ グラムを連動させた。実際にデバイスを操作す ると、プログラム上の仮想デバイスや仮想プ ローブ(耳科用短針)が動き、仮想プローブが 仮想耳小骨に触れた際の反力がフィードバック される (図3)。

# 1.2 システム駆動結果と考察

システム評価のため、触診訓練で得られる反力の主観的感覚による定性的評価と、Unity のアニメーション上で動きの定量的な評価を行った。

システムから得られる反力フィードバックを 用いて、正常耳モデル(JA-15、JA-49)と軽 度耳硬化症のモデル(JA-52)、重度耳硬化症 のモデル(JA-55)の耳小骨可動性を識別でき た。また、実際に表2のコイルばねを耳科用短 針で触診した際の感覚との主観的評価の比較に より、概ね一致することか確認できた。ただし、 本報告では対象が1人のみであるため、今後は 評価対象者を増やし、より多様な耳小骨コンプ ライアンスをモデル化することで、訓練システ ムの精度評価を進める必要があると考えられる。

触診時の仮想プローブ先端の3次元変位から 求めた速度量と、触診による仮想アブミ骨頭部 の3次元変位量を調べ、Unity のアニメーショ ン上の仮想モデルの動きを評価した。計10回 の触診を行った結果を図4に示す。実験対象者 は Unity の画面を見ながら同じ力を加えること を心掛けているものの、触診を行う速度にはバ ラツキが認められた。変位量と速度量には比例 関係があると考えられるため、図4に線形近似 の式および決定係数をまとめた。特に、コンプ ライアンスが低いモデル(JA-15, JA-49) ほ ど線形近似時の決定係数が小さく、正常耳の方 が触診の不安定性が増すことが示唆された。仮 想耳小骨の変位量と仮想プローブ速度の比の分 布を図5に示す。この比は、仮想耳小骨モデル の見かけ上コンプライアンスを反映していると 考えられ、コイルばね間の相対的な大きさの関



プロットは10回の測定結果を表し、回帰直線はその式と決定係数とともに示す。

図4 仮想耳小骨の変位量と仮想プローブの速度量の関係

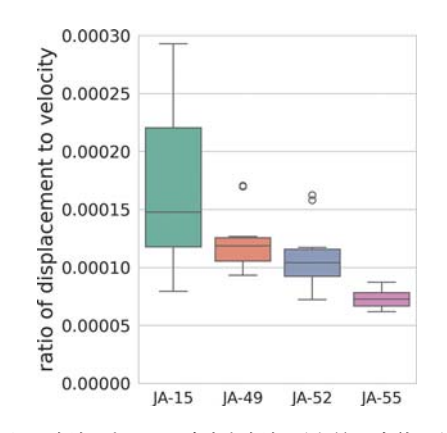


図5 仮想プローブ速度と仮想耳小骨の変位の比

係(表2)と一致していた。そのため、設計されたコンプライアンス変化を再現できており、視覚的フィードバックとして有効であると考えられる。また、触覚フィードバックの再現性向上のためには、実際のコイルばねや仮想耳小骨モデルを触診する際に一定の変位量を与え、その際の反力を計測して比較する必要があると考えられる。

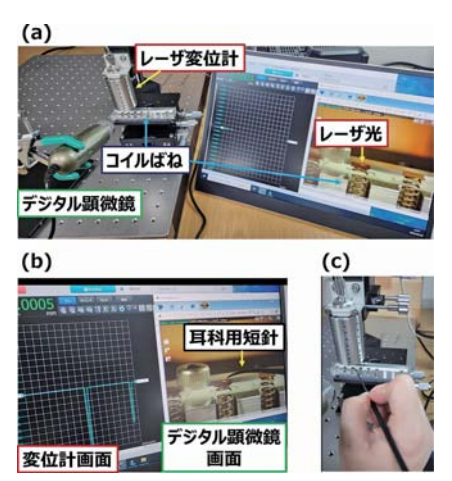
以上の結果から、本研究で構築した耳小骨可動性計測トレーニングシステムは、実際の触診時の耳小骨の動きを概ね再現できていると考えられる。なお、耳小骨固着における様々な病態を正確に診断する技術の獲得のためには、先行研究から得られた知見(定量的測定・コンピュータシミュレーション)に基づく効果的な触診方法を訓練できるようにする必要がある。

# 2. 触診力の評価

# 2.1 方法

耳小骨可動性を触診する際には、 通常の音刺 激による振動より大きな変位を与える可能性が ある。残存聴力保存のために、内耳の蝸牛に副 損傷を与えない安全な範囲内の力を負荷する必 要がある。我々の先行研究50では、耳科手術の 経験が異なる医師32名(耳小骨触診の経験が ない医師や熟練医までを含む)が術中計測シス テムを用いて正常耳を模したコイルばね (コン プライアンス 0.3 mm/N) を触診し、その力を 推定した結果, 130±64 mN と大きなばらつき が認められた。さらに、そのうち21名の医師 に対して異なるコイルばね(コンプライアンス 0.2~3.3 mm/N) を触診させ、耳小骨固着の有 無を判断させた結果、 コンピュータシミュレー ションに基づく正常値基準 (0.26~0.5 mm/N) と一致した判断ができた医師は約50%にとど まり、触診力との明確な関連性は見られなかっ た。これらの結果から、安全かつ正確な診断の ためのトレーニングシステムの必要性が示唆さ れた。そこで、本研究ではトレーニングシステ ム使用後に、耳科用短針を用いて表2に示すコ

イルばねを触診し、触診力を評価した。コイルばね上部に薄い金属板を接着し、実験対象者にはできるだけ一定の力で金属板の中央を触診するように指示した。レーザ変位計(CL-S015、株式会社キーエンス)を金属板の中央に当て、変位を計測した(図 6a)。また、正確な触診のため、デジタル顕微鏡(Dino-Lite AM4113T、ANMO Electronics Corporation)で観察しながら(図 6b)、5回ずつ計測した(図 6c)。



(a) 計測スキーム (b) 計測時の画面 (c) 触診の様子 図 6 コイルばね触診時の変位計測システム

# 2.2 結果および考察

レーザ変位計による5回の計測結果を図7の 箱ひげ図に示す。コンプライアンスが大きいコ イルばね(JA-15, JA-49)では、計測結果の バラツキが大きかった。一定の力で触診すると、 コンプライアンス値が大きいほど大きな変位を

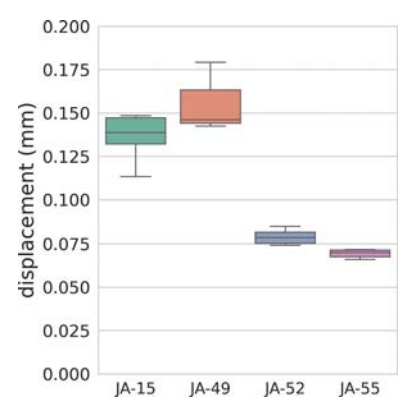


図7 耳科用探針を用いたコイルばねモデル触診時の変異

示すことが考えられるが、JA-15 と JA-49 では、変位の平均値に大きな差がみられず、コンプライアンスが比較的小さい JA-49 の方の変位が大きい分布を示した。これは、コンプライアンスが大きいコイルほど訓練システムと同様に短針のコントロールが難しく、さらにレーザ変位計は鉛直方向の変位のみを測定しており、ばねの柔らかさによる回転運動を十分に捉えていない可能性があると考えられる。実際の中耳も触診位置や角度によって複雑な動きを示すため、訓練や計測時にその影響をさらに詳細に検討する必要がある。

ばね定数と変位から触診力を算出し、表3に示す。ヒト蝸牛モデルを用いた耳小骨可動性計測のシミュレーションを行った結果から、アブミ骨が正常であれば、約40 mN以下で蝸牛への安全性が確保できると考えられた。今回の計測結果、正常耳モデル(JA-15)の触診力は42±4.4 mNであり、安全な触診力の習得が可能であったと考えられる。一方、固着の有る他のコイルばねは、コンプライアンス値が低いため、触診時の反力が感じにくく、触診力が強くなった可能性がある。今回の計測結果は、我々の先行研究における医師の触診力の範囲内であるものの、蝸牛モデルのシミュレーションにより安全性を裏付けする必要があり、訓練システムによって改善の予知があると考えられる。

今後は、医師を対象にトレーニングシステム 使用前後で診断精度や適切な触診力の習得状況 を評価する必要があると考えられる。

表3 コイルばねの特性と計測した変位から算出した 触診の力

JA-15	JA-49	JA-52	JA-55
(3.2 mm/N)	(0.93 mm/N)	(0.56 mm/N)	(0.34 mm/N)
42±4.4 mN	92±9.4 mN	140±8.2 mN	

# 3. 低侵襲的なコンプライアンス計測による耳 小骨固着診断法の検討(研究成果[3])

中耳機能評価は一般的にティンパノメトリー を用いて行われる。しかし、ティンパノメト リーは鼓膜全体の平均的な可動性(コンプライ アンス)を測定する方法であるため、耳小骨が 具体的にどの部位で固着しているかを判断する ことは難しい。従来、我々が行ってきた耳小骨 可動性の評価に関する研究では、中耳の鼓室内 で直接耳小骨を触診する侵襲的な方法を主に用 いてきた。一方、外耳道を経由して、鼓膜に付 着している耳小骨の一つであるツチ骨の特定の 位置にてコンプライアンスを評価できれば、よ り非侵襲的に耳小骨の固着を診断できる可能性 がある。そこで本研究では、中耳有限要素モデ ルを用いて, 鼓膜の特定位置を直接振動させ, その位置ごとのコンプライアンスをシミュレー ションし、耳小骨固着の診断精度を検討した。 その結果、耳小骨の固着部位によって、コンプ ライアンスの測定場所や、コンプライアンス値 の低下パターンが異なることが確認できた。ツ チ骨の特定位置における可動性計測に基づく検 証および訓練シミュレータ開発により、新たな 低侵襲的触診法の提案が可能になると考えられ る。

# 「今後の研究の方向、課題]

耳小骨触診の訓練には、3D プリンタなどで 製作した耳小骨模型を用いる方法も考えられる が、大きな力で損傷を受けやすく、固着を含め た多様な耳小骨の可動性 (0.3~3.9 N/mm) を 精度よく再現することは困難である。そのため, 本研究で構築したトレーニングシステムは有用 であると考えられる。また, 中耳有限要素モデ ルのシミュレーション結果を基に、 各病態にお いて効率的に耳小骨固着を診断できる位置や方 向に対して、安全で適切な力で触診する技術を 習得可能な耳小骨可動性計測訓練システムを本 研究では目標としている。このシステムは、耳 小骨可動性の変化を理論的な裏付けの下で訓練 が可能であり、学術的および臨床的にも意義が 高く、医療教育の分野にも貢献できると考えら れる。

今後の研究方向としては、より臨床現場に即

したリアリティ度の高い再現を目指す。そのため、今回の研究成果から明らかになった課題を解決するとともに、熟練医から操作感のフィードバックを得て、システムを改善する必要がある。さらに、臨床現場では患者の病態によって手技が異なり、術野と触診可能な位置や角度が変化するため、中耳全体の動きをリアルタイムでシミュレーションし、耳小骨連鎖の一連の動きをAR(拡張現実)化して、触診の方向や位置、耳硬化症など病態による動きの違いを自由に三次元で観察可能な技術を確立する必要がある。また、耳科用探針の先端部は細長く、しなりやすいため、これらもモデル化することで、よりリアルな操作感の再現を目指すことも重要である。

#### [参考文献]

- G. Livingstone et al.: Dementia prevention, intervention, and care: 2020 report of the Lancet Commission, The Lancet, 396 (2020)
- 2) T. Koike et al.: Development of intra-operative assessment system for ossicular mobility and middle ear transfer function, Hear. Res., 378 (2019)
- S. Lee et al.: Classification of ossicular fixation based on a computational simulation of ossicular mobility, Sci. Rep., 14 (2024)
- H. H. Nakajima et al.: Experimental ossicular fixations and the middle ear's response to sound: Evidence for a flexible ossicular chain, Hear. Res., 204 (2005)
- 5) S. Kanzaki et al.: Individual differences in surgeons' procedures and judgements of ossicular conditions during palpation, AAO-HNSF Annual Meeting (2023)

#### [成果の発表, 論文など]

- [1] Sinyoung Lee, Sho Kanzaki, Takuji Koike, Yoshiyuki Noda, "Development of Ossicular Palpation Training Simulator Using Haptic Device", Association for Research in Otolaryngology 48<sup>th</sup> Mid-Winter Meeting, Orlando, USA, February 2025
- [2] Sinyoung Lee, Sho Kanzaki, Takuji Koike, Yoshiyuki Noda, "Development of ossicular palpation training simulator", The Korean Scientists and

Engineers Association in Japan 16<sup>th</sup> Meeting, Tokyo, Japan, March 2025 イアンスの直接計測による新たな耳小骨固着診断法 開発:数値シミュレーションによる検討」、『日本耳

(バイオエンジニアリング部門 学術優秀賞 受賞)

[3] 李信英, 神崎晶, 小池卓二, 「ツチ骨柄コンプラ

イアンスの直接計測による新たな耳小骨固着診断法 開発:数値シミュレーションによる検討」,『日本耳 科学会 第34回学術講演会』,名古屋,2024年10 月

# 無給電状態で静的および動的な 圧力センシングが可能な編み手袋の開発

2241002



研究代表者 京都工芸繊維大学 繊維学系 准教授 石 井 佑 弥

# [研究の目的]

『人間と機械(特にロボット)の調和の促進』を思い描く上で、人間と機械の物理的接触を伴うヒューマンマシーンインターフェース(HMI)は欠かせない。特にこのような HMIには、人間がロボットに触れた、握ったなどを電気信号で検知する電子スキンも含まれる。このような HMI ではこれまでに、MEMS 圧力センサなどの従来の無機系のデバイス群や、フレキシブルハイブリッドエレクトロニクスに代表される機械的に柔軟な樹脂系の薄膜フィルム状デバイス群が用いられてきた。

他方で、糸からなる編物、織物、組物(ここでは、テキスタイルと総称)は、古来より人間と常時物理的接触を伴いながら愛用されてきた。これは、テキスタイルの肌触りの良さやしなやかに曲がる点など、人間目線からの優れた点を有するためと考えられる。したがって、テキスタイルからなる HMI は、人間と機械の物理的接触が伴う利活用において、優れた適合性を示す。筆者は、無機系のデバイス群と樹脂系の薄膜フィルム状デバイス群と並ぶ第三極として、テキスタイルからなる HMI が積極的に利活用される未来を思い描く。

テキスタイルに電子的な機能を付与し利活用 しようとする、電子テキスタイルが知られてい る。筆者は、繊維系三学会が共同運営するス マートテキスタイル研究会の副委員長(2025 年4月現在)として、この電子テキスタイルの 分野に携わるが、テキスタイルを電子機器として開発、利活用するときの技術的なハードルの高さに直面し、この研究分野事態が低迷しているのが現状である。特に、無機系のデバイス群や樹脂系の薄膜フィルム状デバイス群と比べると、再現性や精度がどうしても劣ることが課題である。

上記の課題は認めつつも、テキスタイルと人間の親和性は特筆すべきであるため、キラーデバイス群の研究開発が電子テキスタイルの研究分野、業界から渇望されている。そこで本研究では、このキラーデバイスの有望な一例として、「無給電状態で静的および動的な圧力センシングが可能な編み手袋」を発案し、この開発を世界に先駆けて推進した。

「無給電状態で静的および動的な圧力センシングが可能な編み手袋」は、例えばロボットハンドがこの手袋を着用し、人間が触れた(タッチ)、握った(圧力印加)を無給電状態にもかかわらず電気信号として検出することを目指した。さらに、圧力を印加したその瞬間の(動的な)検知のみならず、静的な圧力印加状態での検知も可能とすることも目指した。これら双方を同時に実現する電子テキスタイルの基礎的な動作を、申請者らは世界に先駆けて発明および論文発表している「22」。しかしこの報告は、「無給電動作可能なスペーサーファブリック型タッチ/圧力センサ」(図1)を報告しており、5層構造の複雑な編物であるため、編み手袋のような複雑な構造体への1回での編み込みは困難で



図1 筆者らが新規開発した無給電動作可能なスペーサーファブリック型タッチ/圧力センサの(a) 概説図と(b) 断面写真

ある。そこで本研究では、このスペーサーファブリック型タッチ/圧力センサの構造を抜本的に見直し、HMIを見据えた編み手袋状構造に発展させる。

ここで、類似技術としてこれまでに、テキスタイル型のタッチ/圧力センサとして、「①圧電方式と摩擦帯電方式」、「②圧抵抗方式と静電容量方式」が主に報告されていた。しかし、①については無給電状態でのセンシングは可能であるものの、静的な圧力印加状態の圧力センシングは原理的に困難である。②については、静的な圧力センシングは可能であるが、無給電状態での圧力センシングは原理的に困難である。したがって本研究では、無給電状態で静的および動的な圧力センシングが可能なユニークなテキスタイル型のタッチ/圧力センサ(編み手袋)を開発する。

# [研究の内容,成果]

これまでに開発した、5層の編み構造からなる「無給電動作可能なスペーサーファブリック型タッチ/圧力センサ」(図1)の特性評価を深めていったところ、ヒトが触れる側の非導電性糸層(綿糸層)と導電性糸層の2層だけでもタッチおよび圧力センシングが可能であることが分かってきた。このため、動作実証の第一検討として、非導電性糸層と導電性糸層の2層のみからなる平編物を作製した。

導電性糸には、導電性銀メッキミシン糸 (AGposs®, 143/2 dtex, ミツフジ株式会社) を用い、非導電性糸には綿 50%, アクリル 50% の紡績糸 (ドラロン綿®, 295/2 dtex) を

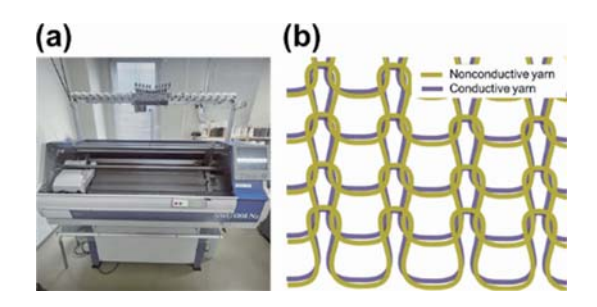


図2 (a) 横編機の外観と(b) プレーティング編みの概説図

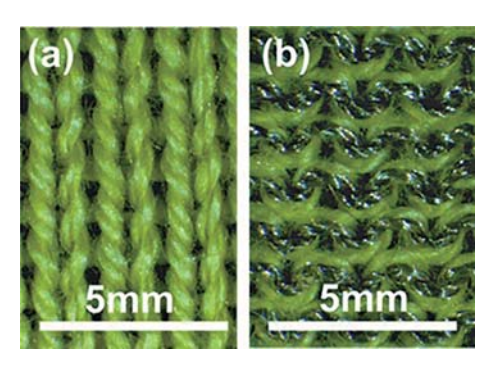


図3 編みあげた2層構造の編物のマイクロスコープ像: (a) 表面, (b) 裏面

使用した。横編機 (SWG091N2, 株式会社 島精機製作所) [図 2 (a)] を用いたプレーティング編み [図 2 (b)] により, 非導電性糸がヒトの触れる側, 導電性糸がその反対側に位置するように編みあげた。

図3に実際に編みあげた2層構造の編物のマイクロスコープ像を示す。表面では導電性糸が非導電性糸で覆われており、裏面では導電性糸どうしが接触している。これにより、非導電性糸層と導電性糸層の2層構造が実現していることが分かる。

この2層構造の編物にヒトの指が触れたとき、および押し込んだときの導電性糸層から出力される電圧を測定した(図4)。当該編物にヒトの指が触れると、無給電状態にもかかわらず周波数約60 Hzの交流電圧が出力された(京都府京都市内で測定)。さらに、指で当該センサを押し込むと、タッチしたときよりも出力電圧が増加した。なお、このときの温度は25.3℃、湿度は64.2 %RHであった。この結果から、当該編物は出力電圧の大小によってヒトの指によるタッチおよび押し込み(圧力印加)を無給電

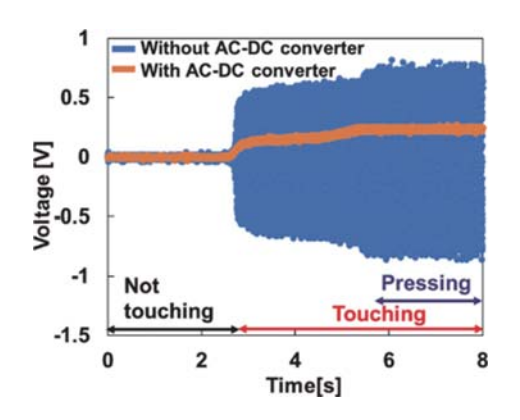


図4 2層構造の編物にヒトの指が触れたとき、および 押し込んだときの導電性糸層から出力される電圧

状態で検知できることが示された。また、ヒトの指が接触している間、常に電圧が出力されている。したがって、当該センサは印加圧力が変化しない静的状態の連続センシングも可能であることが示された。なお、この交流の出力電圧は、ダイオードブリッジ整流器とコンデンサからなるシンプルな AC-DC コンバーター回路を出力側に付加することにより、直流電圧としても取り出すことも可能である。

無給電状態にもかかわらず当該編物から交流 電圧が出力されるメカニズムとして次のような モデルを考えている<sup>1)</sup>。商用交流電源で動作す る電気機器や配線ケーブルなどから放散された 電磁波が,人体内で商用交流電源の周波数の静 電誘導が生じさせる。この人体内での静電誘導 が,非導電性の鞘糸層を隔てて,導電性の芯糸 層に静電誘導を生じさせる。この芯糸層での静 電誘導が,交流電圧として出力される。印加負 荷の増加に伴う出力電圧の増加の原因について は,負荷の増加に伴う鞘糸の厚みの減少や抵抗 値の減少などを考えている。

2層構造の編み部分(タッチおよび圧力センシング部分)を10箇所導入して1回で編み上げた、無給電状態で静的および動的な圧力センシングが可能な編み手袋を図5に示す。手型に良好に着用させられる構造に至るまで、編みの条件を試行錯誤した結果、良好に着用させられる手袋が出来上がるに至った。この編み手袋の動作検証をしたところ、無給電状態で静的およ



図5 2層構造の編み部分を10箇所導入して編み上げた 無給電状態で静的および動的な圧力センシングが 可能な手袋

び動的な圧力センシングが可能であることが明らかになった。しかし、サンプル数を増やして動作検証を進めたところ、導電性の糸が、ヒトが触れる非導電性の糸側の表面に露出している箇所が散見されることが分かってきた。この課題を改善するために、編み条件を変化させるなどして、導電性の糸が非導電性の糸側の表面に露出しないように、編みの条件を検討していったものの、完全に導電糸の露出を抑える編み条件には至らなかった。このため、プレーティング編みを用いた2層編み構造自体を見直し、代替法を検討した。

上述の2層構造と等価な構造を有する芯鞘導電糸(図6)を企業様のご協力により、開発およびご提供いただいた。この芯鞘導電糸は、導電性の銀メッキ糸を芯糸として、この周りを覆うように非導電性の綿糸で撚られた芯鞘2層構造の撚糸である。すなわち、これまで導電性の糸と非導電性の糸の2本をプレーティング編み

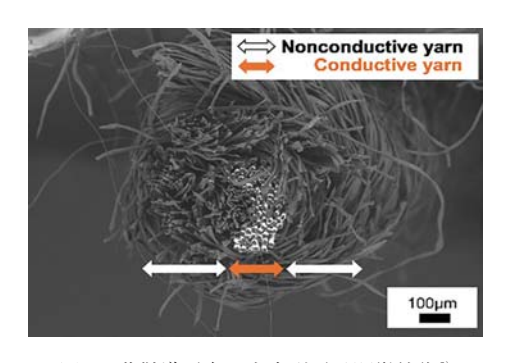


図6 芯鞘導電糸の走査型電子顕微鏡像3

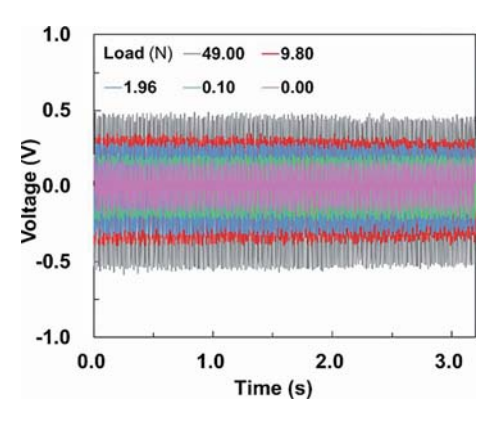


図7 ヒトが触れた状態の金属平端子を用いて,異なる 負荷を芯鞘導電糸に印加したときの芯糸で生じる 出力電圧<sup>3)</sup>

して、ヒトが触れる側に非導電性糸層、その反対側に導電性糸層を形成した編物 2 層構造を、1 本の糸の内部で実現している。この芯鞘導電糸を使用することにより、導電性の糸が非導電性糸層から露出する問題が解決された。加えて、1 本の糸で完結するために、編み上げられる構造の自由度が大きく広がった。

図7に、ヒトが触れた状態の金属平端子を用いて、異なる負荷を芯鞘導電糸に印加したときの芯糸で生じる出力電圧を示す。なお、負荷は当該単糸の短軸方向から垂直に印加した。無給電状態にもかかわらず周波数が約60 Hz の交流電圧が連続して出力されていることが分かった。また、印加する負荷の増加に伴いこの出力電圧の振幅は増加した。以上の結果から、開発した芯鞘導電糸が、無給電状態で静的および動的な連続圧力センシング可能であることが示された。なお、当該芯鞘導電糸に関する特許を前述の企業様と共同出願した。

続いて、前述の芯鞘導電糸のみを編んだセンサ部を7箇所部分的に編んだ編み手袋を作製した(図8)。手型に良好に着用されられる構造に至るまで、編みの条件を試行錯誤した結果、良好に着用させられる手袋が出来上がるに至った。この編み手袋も1回で編み上げることが可能である。芯鞘導電糸で編んだセンサ部に、ヒトの指がタッチし、さらに押し込んだときの出力電圧を図9示す。指がタッチすると、無給電

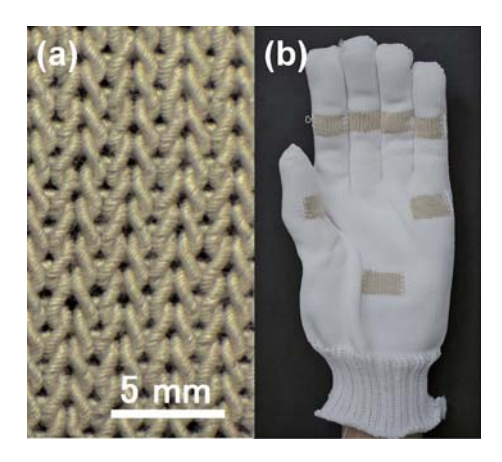


図8 (a) 芯鞘導電糸で編んだセンサ部のマイクロスコープ 像と (b) 芯鞘導電糸のみを編んだセンサ部を 7 箇所 部分的に編んだ編み手袋の外観<sup>4)</sup>

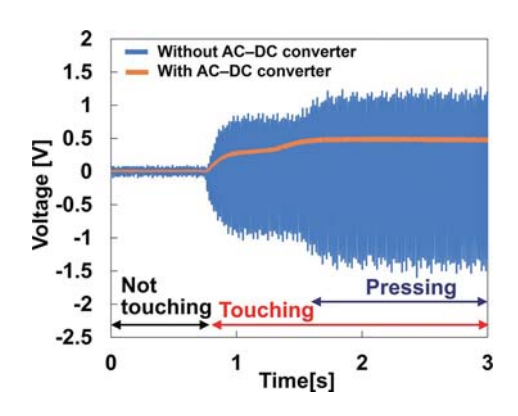


図9 芯鞘導電糸で編んだセンサ部に、ヒトの指が タッチし、さらに押し込んだときの出力電圧<sup>4)</sup>

状態にもかかわらず交流電圧が連続して出力された。さらに指で押し込むと、振幅が増加した。なお、この交流電圧の周波数は約60 Hz であり(京都府京都市内で測定)、AC-DC コンバータ回路を介した場合には直流電圧が連続して出力された。また、このときの温度は28.2℃、湿度は48.1 %RHであった。したがって作製した編物が、無給電状態にも関わらず出力電圧の大小で連続して静的および動的な圧力センシングが可能な圧力センサとして機能する可能性が示された。

最後に、作製した編み手袋を木製のハンドモデルに装着して、これとヒトが握手したときの出力電圧を測定した。この結果、7箇所全でで出力電圧が変化し、同時圧力センシングの可能性が示された。

[参考文献]

- 1) K. Tonomura et al. Smart Materials and Structures, 32(3), 035029, 2023.
- 2) 特願 2021-183160, 石井佑弥, ユーアニー, 外村 一樹, 発電部材およびタッチセンサ装置
- 3) 吉田他, 2024 年繊維学会秋季研究発表会, A15, 京都, 2024 年 11 月.
- 4) 梶谷他, 2024 年繊維学会秋季研究発表会, 2F15, 京都, 2024 年 11 月.

# [成果の発表, 論文など]

・梶谷芽衣, 曽我部利帆, 宮田千歌, 石井佑弥, 無給 電状態で静的および動的な圧力センシングが可能な

- 編み手袋の開発, 2024 年繊維学会秋季研究発表会, 2F15, 京都, 2024 年 11 月.
- ・吉田登, 梶谷芽衣, 宮田千歌, 石井佑弥, 無給電状態で静的および動的な圧力センシングが可能な糸, 2024 年繊維学会秋季研究発表会, A15, 京都, 2024年11月.
- ・曽我部利帆, 梶谷芽衣, 宮田千歌, 石井佑弥, 無給 電状態で踏圧の連続センシングが可能なインソール 型編物の開発, 2024 年繊維学会秋季研究発表会, A17, 京都, 2024 年 11 月.
- ・石井佑弥,無給電状態で連続センシング可能な編み 手袋型タッチセンサ,繊維機械学会誌月刊せんい, Vol. 78, No. 3, pp. 27-33, 2025.

# 咬合力エナジーハーベスティングによる バッテリーレスマウスガード型デバイスの開発

#### 2241004



研究代表者 (助成金受領者) 共同研究者 東京科学大学

東京科学大学

助教市川健太

教 授 三 林 浩 二

# [研究の目的]

ウェアラブルデバイスによって装着者の生体 情報を無拘束に計測するシステムは一般的とな りつつあり、今日ではより多様で高度な生体情 報を計測するべく新規計測技術や計測対象の開 拓が進められている。その中でも口腔は、 唾液 成分や咬合状態、口腔温など健康状態に関連す る多様な生体情報が存在し、これらを日常生活 中にて連続的に計測し、その変動を捉えること は、個人によるヘルスケアの促進や医療現場で のデータ活用へと大きな期待が寄せられている。 口腔内生体情報をモニタリングするため、マウ スガード (マウスピース) に各種センサ素子や その他計測用の電子機器を統合したウェアラブ ルデバイスの研究開発が進められているが、実 用化に際しデバイス駆動のための電源が大きな 課題となっている。現在普及しているウェアラ ブルデバイスの多くでは、バッテリーによる電 力供給が一般的に用いられている。一方、マウ スガード型をはじめとする口腔内デバイスの場 合. 誤飲時の重篤な健康リスクからバッテリー の使用は許容されず、実用化に際しては代替と なる電源が必要不可欠である。

本研究ではこのような現状に対し、身の回りの微小なエネルギー源を電気エネルギーへと変換・発電するエナジーハーベスティング技術を活用することにより、口腔内での電力の地産地消を実現し、バッテリーレス化を図った。特に、口腔内に存在する微小エネルギー源として、著

者らが以前より基礎的検討を進めてきた咬合力を利用することとし、マウスガード型口腔内生体情報センサデバイスの開発と咬合力エナジーハーベスティング技術の開発を相補的に進め、バッテリーレスなマウスガード型デバイスの実現を目指した。

# [研究の内容,成果]

# 1. エナジーハーベスティング機構の概要

マウスガード型デバイスと統合可能な形態で 咬合力エナジーハーベスティングを実現するためには、マウスガード咬合面に、装着者の自然 な咬合を阻害しない極薄形状でエナジーハーベスティング機構(エナジーハーベスタ)を実装する必要がある。本研究で開発する咬合力エナジーハーベスタを図1に示す。本エナジーハーベスタは、電荷を半永久的に保持する誘電体であるエレクトレットと誘電エラストマー、電極から成る、シンプルな積層構造を取る。図に示すように、エレクトレット表面に保持された負

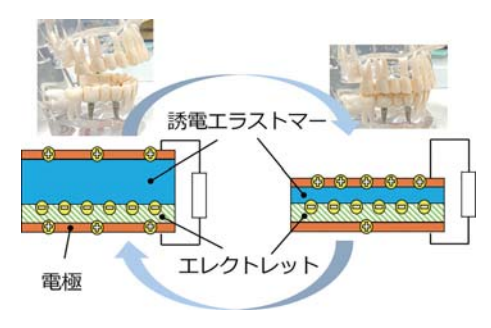


図1 咬合力をエネルギー源とする発電機構

電荷によって上下の電極には正電荷が誘導される。エナジーハーベスタに対し咬合力が作用すると,誘電エラストマー層が支配的に大変形し内部の静電容量のバランスが変化するため,外部負荷を通って電極間で電荷が移動する。この電荷の移動,すなわち誘導電流を利用することで外部への電力供給を実現する。

咬合力のような機械的エネルギーからのエナジーハーベスティングでは、エネルギー源の周波数に対し機械的に共振するような機構によって高効率な発電性能を得る。しかし、咬合力を含む生体の運動は、いずれも高々数 Hz と、従来のエナジーハーベスティングが対象としてきた機械類の振動と比較して低周波であり、マウスガードに実装可能な極薄形状で咬合力と共振駆動し、センサ素子への有効な電力供給を実現することは困難であった。提案するエレクトレットと誘電エラストマーによるハーベスタは、著者らの以前の検討より、咬合力を模擬した外力に対して圧電体と比較し最大数百倍の発電性能を有することが示されており、マウスガード型に適した発電機構と考えられる。

# 2. スパッタ薄膜電極に関するプロセス検討

上記エナジーハーベスタのマウスガードへの 統合・実装を志向し、電極層の製作プロセスに ついて検討した。

これまでの著者らの検討では、銅板や銅箔等の平面状の電極基材上にエレクトレット層、あるいは誘電エラストマー層を成膜後、両者を重ね合わせることでハーベスタを構築した。しかし、人間の歯列は複雑形状を有しており、それに沿って製作されるマウスガード咬合面も細かい凹凸を有している。従来のハーベスタ試作手法では、このような複雑形状に沿った実装は困難であり、また電極材料として用いていた銅についても口腔内での使用に際して安全上の懸念が存在する。そこで、両者に対応した新たな手法として、生体適合性に優れる銀薄膜を、マウスガード材料上に直接スパッタ成膜し、これを

電極層として用いることについて検討した。

銀薄膜のスパッタ成膜については、研究室に 敷設のスパッタ成膜装置を用いた。まず、市販 の一般的なマウスガード材料に対して、それぞ れ厚さ300 nm の銀薄膜を成膜し、その後クロ スカット試験法に従い銀薄膜のマウスガード材 料への密着性を評価した。なお、ハーベスタを マウスガードに実装する際には、2層のマウス ガード内部へと埋め込み、口腔内の湿潤環境か らの密閉することを想定している。このとき, ハーベスタに負荷される咬合力はマウスガード 層を介して伝達されるため、硬いマウスガード 材料の方がハーベスタへの力伝達に有利と考え られる。また、電極上に成膜するエレクトレッ トに関しては、その材料として検討しているア モルファス系フッ素樹脂 CYTOP (AGC Inc.) の成膜処理および帯電処理に際し、加熱プロセ スを要する場合がある。密着性試験にて優れた 性能が確認されたマウスガード材料については、 追加の試験として硬度および耐熱性を調査した。

硬度試験としてデュロメータ AM 硬度試験 を実施し、耐熱性試験としては、くびれ部の断 面積が3.5 mm<sup>2</sup>となるようにダンベル試験片状 に切り出したマウスガード材料の両端に50g の静荷重を負荷し、段階的に5℃刻みで温度が 上昇する恒温オーブン内に静置し、軟化点を調 査した。各設定温度に到達後、5分間おもりが 垂れ下がらなかった最大の温度を本試験での軟 化点の定義とした。これらマウスガード材料に 関する試験の結果、優れた密着性(クロスカッ ト試験法で残留率 99.7%), 高硬度(ショア AM 硬度 96.0), 優れた耐熱性 (軟化点 105℃, 検討した材料中で最高)を有した Copolyester 製マウスガード材料 (Essix® Plastic Sheet ACE) を用いることで、マウスガード上への 銀薄膜電極およびハーベスタの積層成形の可能 性が示された。

次に、上記検討で決定したマウスガード材料 およびハーベスタ試作プロセスが発電性能に及 ぼす影響について確認するため、従来の銅板で



図2 マウスガード材料上に成膜したスパッタ薄膜電極

の基礎検討と同様の直径 30 mm の円形とリー ド線部の凸形状にマウスガード材料を切り出し (図2、銀薄膜スパッタ成膜処理済み)、ハーベ スタを試作しその発電性能を実験的に確認した。 ハーベスタの試作では、先述の検討と同じく、 切り出したマウスガード材料上に厚さ300 nm となるよう銀薄膜をスパッタ成膜し、その後エ レクトレット材料 (CYTOP CTL-809M). あ るいは誘電エラストマー材料 (Dragon Skin 10Fast)をフィルムアプリケータで所望の厚さ に塗膜した。エレクトレットは105℃での加熱 処理、誘電エラストマーは室温乾燥により硬化 するが、この際の硬化前後の厚さの関係につい ては, 事前の実測調査により同定した。また, 硬化後の両層の厚さ設計値については、 ハーベ スタの等価電気回路に基づくシミュレーション を実施し決定した(エレクトレット: $11.5 \mu m$ , 誘電エラストマー: $70 \mu m$ )。なお、成膜した CYTOP 膜についてはコロナ放電処理を施しエ レクトレット化した。

試作したハーベスタの発電性能については、 従来と同じく咬合力を模擬した圧縮負荷装置で ある咬合力シミュレータにより、最大 0.85 MPa、周波数 1 Hz の条件で圧縮負荷を与え、 負荷抵抗での消費電力として発電量を計測した。 本発電実験の結果得られた発電量を図 3 に示す。 一般にエナジーハーベスティングの発電量は、 接続する負荷抵抗に依存し、ハーベスタの内部 インピーダンスと接続した外部インピーダンス が整合した際に最大化することから、本実験で は負荷抵抗として 10 M $\Omega$  から 1 G $\Omega$  までを接

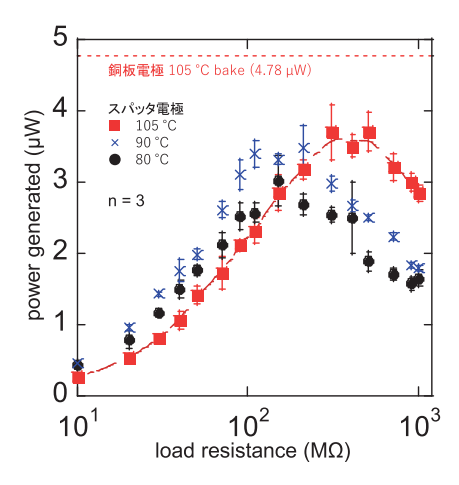


図3 スパッタ薄膜電極を用いた場合の発電量比較

続し、それぞれ発電量を計測した。図3中赤四 角プロットで示すように、スパッタ薄膜電極を 用いて試作したハーベスタは負荷抵抗 400 MΩ の際に発電量  $3.71 \mu W$  と最大の出力となった。 しかし、本出力を従来の銅板電極を用いて試作 したハーベスタと比較すると、最大発電量でお よそ20%程度の低下が確認された(銅板電極 での最大発電量: $4.78 \mu W$ )。この原因として、 マウスガード材料を介することによる CYTOP の加熱処理時の伝熱特性の変化に着目し、ス パッタ薄膜電極を使用する際にも加熱温度を変 更してハーベスタを試作し、発電量を評価した。 その結果、図3中青バツ印プロット(加熱温度 90℃) や黒丸プロット (加熱温度 80℃) に示 すように、加熱温度の変化に応じて最大発電量 も低下することが示された。本現象についてさ らなる検討のため、銅板電極上にてより広範な 温度範囲 (80-280℃) 設定でエレクトレットを 試作し、エレクトレット単体としての性能指標 である表面電位を計測した結果を図4に示す。 図からも明らかなように、加熱温度と正に相関 してエレクトレット表面電位は変動することが 明らかとなり、この表面電位の変化が発電量に 影響したものと考えらえる。なお、この温度ー 表面電位の関係についてはエレクトレット表面 の物理・化学的性状に由来するものと予想し. 現在更なる検討を進めている。

上記のような加熱温度依存性が明らかになっ

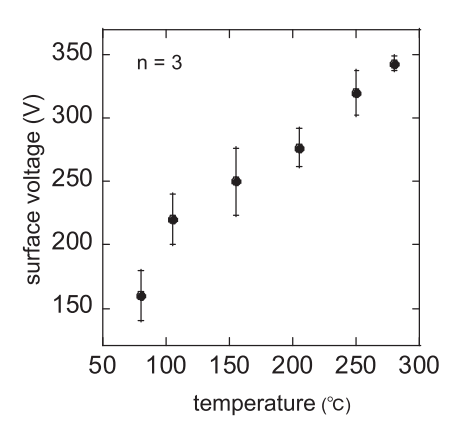


図4 各加熱温度でのエレクトレット表面電位計測結果

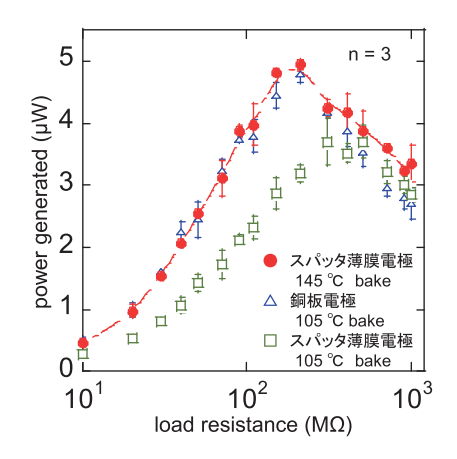


図5 ペルチェ素子併用での加熱処理の効果検証結果

たことから、より高温で CYTOP の加熱処理を実施し、高い発電量を得るための方策として、オーブンによる CYTOP の加熱プロセスと同時に、マウスガード材料側にペルチェ素子を接着し、強制的に冷却する手法を検討した。予備検討の結果、本方式を用いることでマウスガード材料の軟化点 105℃を超え、最大 145℃までの条件で熱変形を起こさずマウスガードおよびスパッタ薄膜電極上に塗布した CYTOP を加熱処理可能であることが確認された。本条件で改めて試作したハーベスタについて、同様に発電実験を実施した結果を図 5 に示す。スパッタ薄膜電極を用い、145℃で加熱処理を実施したハーベスタは、最大 4.94  $\mu$ W と銅板電極と同等の発電性能を有していることが確認された。

これらの結果より、マウスガード材料上に直接銀薄膜をスパッタ成膜し、電極層として利用可能であること、CYTOP加熱温度に依存して

エレクトレット表面電位が変動し、プロセスの 工夫により補償可能であること等が示された。 今後、マウスガード材料を歯列の複雑形状へと 加工した状態へと発展させ、マウスガード型デ バイスへの咬合力エナジーハーベスタの実装を 進めていく予定である。

# 3. 口腔内生体情報センシング技術の開発

上記咬合力エナジーハーベスティング技術に 関する研究と一部並行する形で、給電対象となる口腔内生体情報センシング技術についても検 討を進めた。

マウスガード型センサデバイスの活用先としては、唾液中成分等を対象とした電気化学的バイオセンシングが特に研究が盛んに進められている。一方このようなセンサデバイスはセンシングにバイアス電圧の供給が必要であるなど、比較的高い電力量の連続的な供給が必要であり、間欠的な動作である咬合力エナジーハーベスティングによる給電には、別途パワーマネジメント回路等の実装が必要となる。

咬合力負荷に連動した間欠的なオン/オフでセンシング可能な口腔内生体情報として、唾液 濁度の光学計測について検討した。本計測システムは、LEDとフォトトランジスタ素子をマウスガード内部に埋め込み、両者の間に存在する唾液の光透過率をもとに濁度定量をするものである。本研究期間では、濁度センシング部の形状について、唾液中懸濁物質の粒子を空間的に配置した光学シミュレーションにより、より高感度な計測が可能となるよう設計最適化に取り組んだ。今後、咬合力エナジーハーベスタとの統合により、バッテリーレスなシステムとしての実装を進める。

#### [成果の発表, 論文など]

・市川健太、川瀬源太郎、飯谷健太、三林浩二:無線 式マウスガード型光学センサによる唾液濁度の口腔 内連続計測、第41回「センサ・マイクロマシンと 応用システム」シンポジウム、2024.11.(優秀ポス

# ター発表賞ファイナリスト)

 Kenta Ichikawa, Seiya Fujino, Kumi Yokota, Kenta Iitani, Kohji Mitsubayashi: Effect of cure temperature on charge retention of amorphous fluorinated polymer for energy harvesting, 20th International Symposium on Electrets (IEEE ISE20), 2025. 9. (採 択済み発表予定)

# VR を用いた小児弱視訓練用プログラム医療機器の 社会実装に向けた橋渡し研究

#### 2241005



研究代表者 (助成金受領者) 共同研究者 順天堂大学 医学部眼科学講座 順天堂大学 大学院医学研究科 遠隔医療・モバイルヘルス 研究開発講座

順天堂大学 医学部眼科学講座

帝京大学 医療技術学部 視機能矯正学会 准教授 猪 俣 武 範

特任助教 奥村雄一

准教授 根岸貴志

准教授 広田雅和

# [研究の目的]

弱視は一眼あるいは両眼の視力不良を特徴とし、小児における発症率は約1-5%である。

弱視の治療は、完全矯正眼鏡の常用に加え、 アイパッチなどを用いた健眼遮閉による弱視訓 練を実施する。

しかし、人の視覚の感受性期は8歳までであり、この時期までに適切な治療をしなければ、十分な治療効果を期待できないばかりか、恒久的な視力障害を残す。健眼遮閉による弱視訓練は、患児の年齢が上がるほど一日あたりの遮閉時間を延長する必要があり、患児への心理的・物理的負担の増大による治療アドヒアランスの低下により弱視の治療効果の低減に繋がる。そのため、健眼遮閉に代わる心理的・物理的負担が少なく、治療効果の高い弱視訓練方法が望まれている。

そこで本研究では、バーチャルリアリティ (VR) を用いた小児弱視訓練用プログラム医療機器 (本製品、図1) の臨床的安全性ならびに効果を解明し、従来の弱視治療方法よりも患児への心理的・物理的負担が少なく、短期間での弱視治療を実現する。

本研究から、デジタルヘルスを用いた医療に おける破壊的イノベーションの創出とヒト中心 の医療を実現するとともに、視力にハンディ

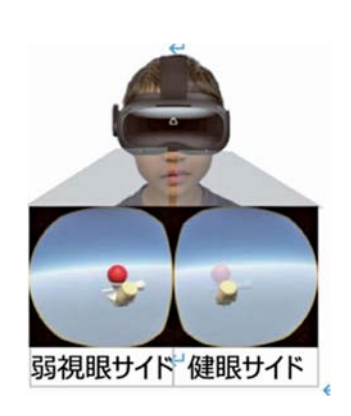


図1 本製品

キャップを背負う子どもがいない未来を創出する。

# [研究の内容,成果]

# 1. 本製品の成人に対する安全性評価試験

本製品の成人に対する安全性評価試験に向けたプロトコル策定と倫理承認(帝京大学 22-061)を取得した。成人に対する安全性評価試験として,20名の若年健常者を対象に,30分間の本製品使用前後による視覚負荷前後において,5段階評価の疲労に関するアンケート((図2)Q1限の疲れ,Q2視界のぼけや複視,Q3限の乾きや瞼の重さ,Q4肩凝り,Q5首の疲れ,Q6頭痛,Q7眠気,Q8手首や腕の疲れ,Q9映像酔い)を実施し比較検証した。

自覚的な眼症状(Q1-3)はいずれも視覚負

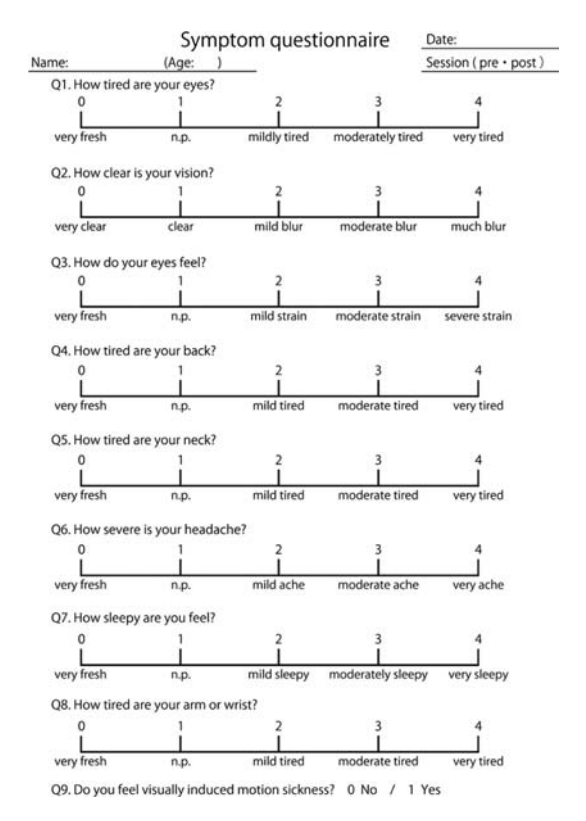


図2 疲労に関するアンケート

荷前後で有意差がなかった。自覚的な身体症状 (Q4-9) では、本製品による視覚負荷後に肩凝り (負荷前 vs 負荷後、 $0.92\pm0.64$  vs  $1.50\pm1.04$ , P=0.038) および手首や腕の疲れ  $(0.33\pm0.47$  vs  $2.58\pm1.04$ , P=0.003) が有意に増加した。このことから、本製品の 30 分の使用では、眼症状には影響を及ぼさないことが明らかになった。

一方、肩凝りといった症状が見られたから、 本製品の小児への利用には HMD の軽量化が必要と考えられた。

# 2. 本製品の治験機の開発

治験機には、けん玉透明度変更機能(図3), 医師用透明度変更機能、プレイログの記録機能(図4),ログイン機能、医師側管理画面、説明 資料(使用方法等)の表示機能、チュートリア ル表示機能(使用方法等),終了アナウンス機 能(過剰に長時間の利用を抑制するため),フ リープレイモード(透明度、課題のクリア状況 の制限なくプレイ可能)といった機能を実装し

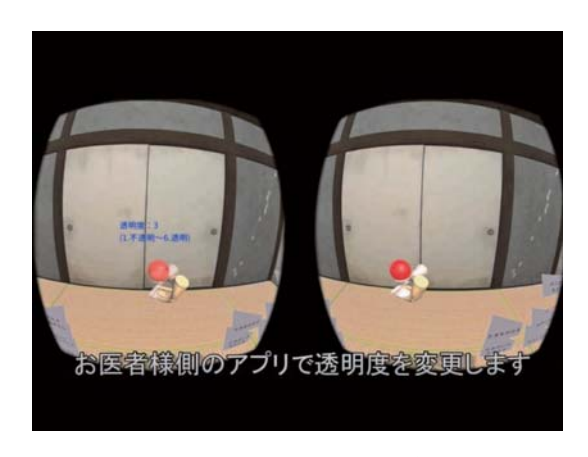


図3 けん玉透明度変更機能

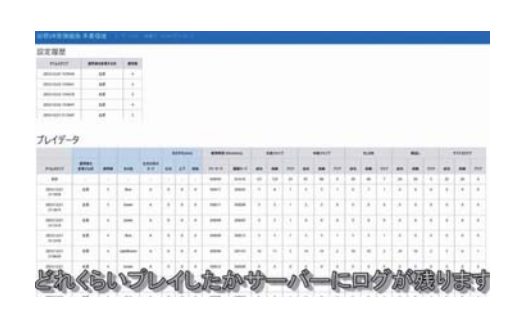


図4 プレイログの記録機能

た

また、プログラム医療機器としての開発・保守規格に基づくリスクマネジメント計画書、リスクマネジメントワークシート、設計開発計画書、設計開発に係る工程入力情報といった医療機器の基本要件基準に適合した JIS T 2304 (IEC 62304) に基づくソフトウェアライフサイクルプロセスならびにサイバーセキュリティ対策、リスク分析を実施した。

# 3. 本製品の効果に関わる特定臨床研究のプロトコル立案

VR を用いた小児弱視訓練プログラム医療機器の小児に対する効果に関わる特定臨床研究のプロトコル立案ならびに倫理申請を完了した。

東邦大学, 帝京大学, CS 眼科クリニックにおいて, 健眼遮蔽を必要とする小児弱視患者15名を対象に, VR を用いた小児弱視訓練用プログラム医療機器群 (15名), アイパッチ群(15名) で本製品使用後の4週,8週,12週,16週,20週,24週における最良矯正視力を比

較する。

# 4. 規制対応

PMDA 相談ならびに東北大学 CRIETO 相談を実施し、2 段階承認制度を利用するのではなく、本製品の小児に対する効果に関わる特定臨床研究の実施が妥当との結論になり、当該の研究プロトコルを作成した。

また、本製品の小児に対する効果に関わる特定臨床研究を実施後、本製品の小児に対する効果に関わる検証的医師主導治験を実施することで、PMDAより承認を得た。

#### [謝辞]

最後に、本研究に対する立石科学技術振興財団の研究支援に心より感謝申し上げます。

### [成果の発表, 論文など]

- Okumura Y, Hirota M, Midorikawa-Inomata A, Nagino K, Negishi T, Ogawa E, Nakao S, Inomata T. The visual fatigue and visually induced motion sickness of a Virtual Reality application for pediatric amblyopia therapy. The Association for Research in Vision and Ophthalmology 2024, Seattle, WA, USA. 2024 年 5 月 7 日.
- Hirota M, Okumura Y, Nagino K, Hayashi T, Negishi T, Nakao S, Kawasaki H, Inomata T. Safety Evaluation in Healthy Adults of Motion-Based Virtual Reality Dichoptic Training for Pediatric Patients With Amblyopia: Prospective Intervention Study. JMIR Form Res. 2025, 9, e69801.

# 柔軟触覚センサによって浮腫の状態を計測する ウェアラブルデバイスの開発

#### 2241006



研究代表者 (助成金受領者) 共同研究者

神戸大学 大学院工学研究科

助 教

大 西 鮎 美

神戸大学 大学院保健学研究科

教 授

石 井 豊 恵

# [研究の目的]

浮腫は、組織間隙に過剰な水分が貯留した状態であり、身体の「むくみ」として日常生活でもよく経験される症状である。とくに心不全、腎不全、リンパ浮腫など慢性疾患患者においては、急激な浮腫悪化が全身状態悪化の兆候となるため、日常的なモニタリングが重要である。

一方,従来の浮腫評価法は診断時に限られ,指で皮膚を押した際の戻り速度や圧痕,あるいは据え置き型機器による測定が主流であり,常時モニタリング可能なウェアラブル型デバイスは存在しない。

本研究では、柔軟触覚センサを用いて浮腫状態を推定するウェアラブルデバイスを開発し、日常生活中のモニタリングを実現することを目的とした。提案デバイスにより、たとえば「日常生活の中で着けていて、急激なむくみの悪化を検知した際に受診行動を促す」といった活用が期待される。

# [研究の内容,成果]

本研究では、皮膚を傷つけにくい柔軟な触覚 センサを用いて脚部の周径変化を取得すること で浮腫を計測するウェアラブルデバイスを設計、 実装した。

# 1. 柔軟触覚センサを備えたリング型デバイスの開発

提案システムの要件としては、皮膚を傷つけないこと、脚などの身体の浮腫が出やすい部分の体積変化が取得できることが挙げられる。本研究では、これらの要件を満たすように、皮膚を傷つけにくい柔軟な触覚センサを用いて脚部の周径変化を取得することで浮腫を計測するウェアラブルデバイスを設計した。

提案デバイスを図1に示す。提案デバイスには、図2のような接触部の3次元変位を取得可能なスポンジ状の柔軟な触覚センサが8つ、直径約12cmのリング状に等間隔で配置されている。この柔軟な触覚センサは、スポンジ内部



図1 柔軟な触覚センサを備えたリング型デバイス





荷重

光量:小

スポンジの密度が
大きくなり,光量

ジスタで受光

図2 柔軟な触覚センサと3次元変位の計測方法

に LED とフォトトランジスタを備えており、図 2 に示す計測原理で、スポンジ部の密度変化による光量変化量から、スポンジの形状変化を計測できる。1 つのセンサにつき 4 チャネルの値が取得可能で、提案デバイスでは8 つのセンサにより合計 32 個の値を取得できる。

リング状の外装は、ABS 樹脂を 3D プリントしたもので、デバイス自体に伸縮性はない。 提案デバイスで取得したセンサ値は、モバイル 端末に送信され、端末では得られたセンサ値に 基づき装着部の周径の状態を機械学習で推定する。

# 2. 計測方法の検討

本研究で対象とする身体がむくんだ状態の計測には、日常生活中の常時モニタリングが必要である。図3に提案デバイスを脚に装着して、座位で静止、歩行、座位で静止という行動をそれぞれ10秒ずつ行った際の左脚の計測データを示す。この図の8つのセンサ値は、図3のセンサ配置での計測時に各センサの4チャネル分のセンサ値を平均したものである。図3のような歩行時に加え、提案デバイスの装着時には、足首の角度を変えるといった動作時にも脚の形状が変化するため、動いている状況を排除した着座・静止時のような、安静時の状態から状態を推定する必要がある。

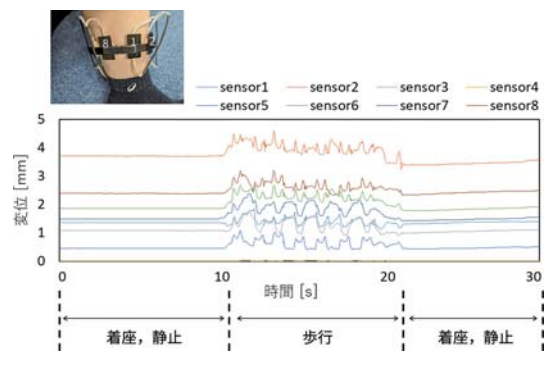


図3 装着した際のセンサデータ例

# 3. 浮腫の指標の検討

神戸大学大学院保健学研究科の専門家ととも に、提案するウェアラブルデバイスにおいて推 定対象となる、浮腫の正解データとして使用可能な指標を検討した。

指標の候補として、真皮弾力計、筋硬度計、 および柔らかさ計測用の押し込み試験機を用い て、軽度の浮腫傾向にある下肢と浮腫を認めない下肢、および浮腫モデルに対し、比較計測を 行ったところ、浮腫モデルおよび下肢ごとに値 が異なり、かつある程度専門家の診断とも一致 したのは、柔らかさ計測用の押し込み試験機 (テック技販製 YWS-50N)で測るヤング率で あった。図4に、浮腫モデルに対して、押し込 み試験機で計測したヤング率の値を示す。

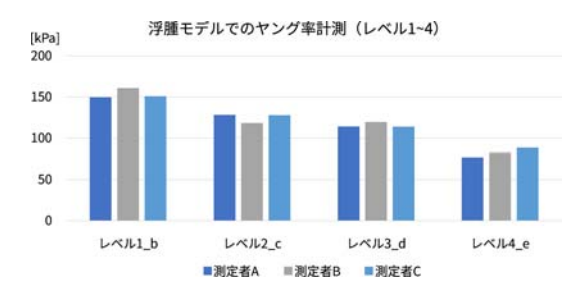


図4 浮腫モデルでのヤング率計測結果

浮腫は複合的な指標によって構成されると考えられ、このヤング率の値が浮腫と完全に対応しているわけではないが、図4の通り浮腫モデルの浮腫の度合いとの一定程度の対応及び計測者間の一貫性がみられたことから、本研究では、この下肢の柔らかさ・弾性が浮腫と関連すると仮定し、ヤング率を仮置きの正解データに決定した。また、この試験機ではヤング率と同時にヒステリシスも計測できるため、この値も同時に推定対象とした。

# 4. 浮腫状態推定アルゴリズム

浮腫の状態は通常「視診・触診」による定性 的評価が一般的だが、本研究では下肢の柔らか さ・弾性が浮腫と関連すると仮定し、ヤング率 およびヒステリシスを客観的指標として採用し た。これは、むくみによる皮下組織の状態をあ る程度反映した数値と考えられる。図5に示す 通り、この押し込み試験機の値と柔軟触覚セン サの値を同時に計測して対応づけ、教師あり学



図5 柔らかさ計測機器と提案デバイスによる計測の様子

習を用いることで浮腫の状態を推定する。

提案システムの構成を図6に示す。提案システムでは、柔軟な触覚センサを取り付けたリング型デバイスで得られた値をモバイル端末に送信し、抽出した特徴量から装着位置のヤング率とヒステリシスを推定する。特徴量は、1つのスポンジ状センサの中の4チャネルのセンサ値の瞬時値の平均値を合計8か所分(計8つ)である。推定アルゴリズムには、RamdomForest回帰を用いた。



図6 システム構成

# 5. 長時間モニタリング実験

# 実験方法

実験では、健常被験者1名にデバイスを7時間連続装着し、約30分毎に押し込み試験機でヤング率・ヒステリシスを測定し、変化傾向を観察した。実験中、被験者はデスクワークを中心に通常の日常生活動作(座位作業・歩行・軽い外出)を行った。

なお,押し込み試験機での計測方法は,保健 学研究科の専門家との予備検討実験により,測 定条件を統一するために、膝は伸ばし、足首関節は被験者にとって自然な角度に設定した。提案デバイスを装着した足とは逆の足の同じ高さの位置で、脛骨前面に押し込み試験機を押し当てた。

#### 実験結果

実験で取得したデータを図7に、そのときのセンサ位置を図8に示す。時間経過にともない、被験者の自己申告でも「むくみ感」が出現していた。浮腫傾向の指標としたヤング率(図中の青線)は、やや不安定であったものの、ヒステリシスは時間経過とともに低下していることが観測された。一方、歩行や姿勢変化時には一時的なノイズが生じたため、静止時データ選別アルゴリズムを取り入れることが課題である。

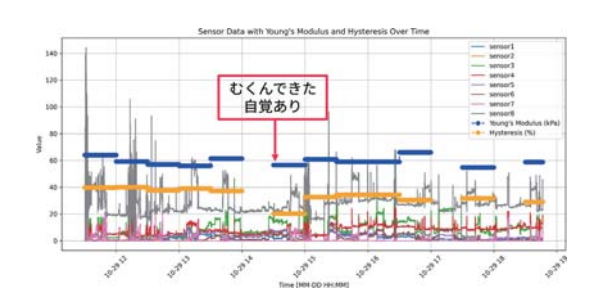


図7 取得した一日装着時のセンサデータとヤング率 およびヒステリシス



図8 実験におけるセンサ位置

取得したデータを学習データ 80%, テストデータ 20% で分割して RamdomForest 回帰にかけ, ヤング率とヒステリシスを推定した結果を図 9, 10 に示す。

図 9, 10 の結果より, ある程度推定できる可能性が示唆されたものの, 今後, 同一被験者の別日のデータ, 他の被験者データを集めて詳細

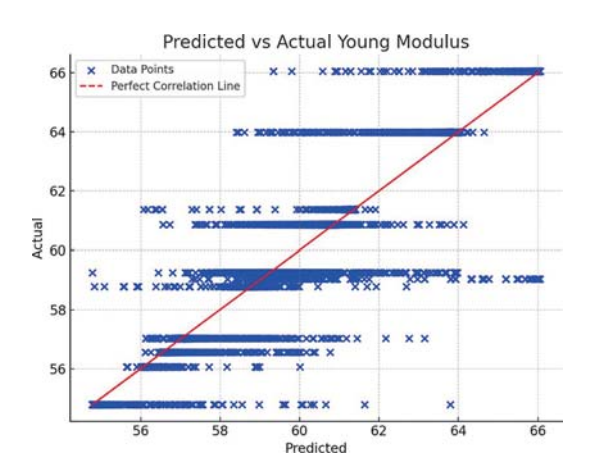


図9 ヤング率 (kPa) の推定結果

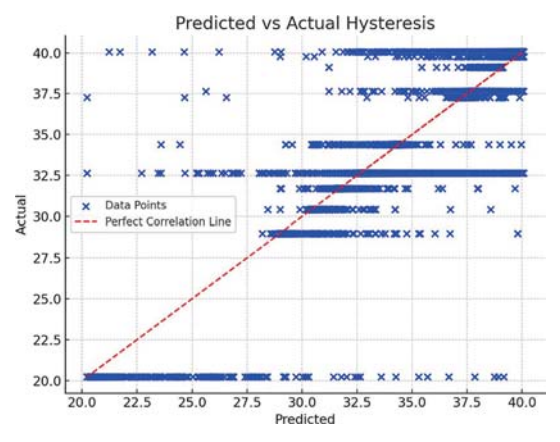


図 10 ヒステリシス (%) の推定結果

に評価する必要がある。

### **5**. まとめ

本研究では、皮膚を傷つけにくい柔軟な触覚 センサをリング状に配置して脚部の周径変化を 取得することで浮腫を推定するウェアラブルデ バイスを設計、実装した。

浮腫の程度を定量的に計測する方法を検討したのち,機械学習を用いて浮腫の指標としたヤング率およびヒステリシスの推定アルゴリズムを実装し,日常生活中の利用に向けた評価を行った。

今後は、推定精度を高めること、簡便な装着型デバイスへの発展(靴下型、衣服内蔵型)や、その他のセンサと組み合わせることの検討、および患者指導・在宅医療応用を目指す。

# [成果の発表, 論文など]

大西鮎美, 多鹿理絵, 石井豊恵, 寺田努: 柔軟な触覚 センサによって浮腫の状態を計測するウェアラブル デバイスの設計と実装, 第35回看護理工学会年次 大会(2024年11月).

# オンチップテラヘルッ分光システムを用いた ラベルフリーバイオセンシング

#### 2241007



研究代表者 神戸大学 大学院理学研究科

准教授

大 道 英 二

# [研究の目的]

来るべき超高齢化社会において、一人ひとりが健やかな生活を送るためには疾病の早期発見ならびに適切な疾病管理が重要になる。そのためにはいつどこでも素早く簡便に自身の健康状態をモニターできるような環境作りが重要になってくる。

そのような方法の一つとして期待されているのが、テラヘルツ波を用いたラベルフリーバイオセンシングである。テラヘルツ波とは0.1-10 THzの周波数をもつ電磁波の一種として知られており、高い物質透過性といった特徴を示す。また、テラヘルツ帯で観測される「指紋スペクトル」と呼ばれる分子固有の吸収スペクトルを利用すると、健康状態を反映する種々のバイオマーカーと呼ばれる有機分子をラベルフリーで検出することができる(図1)。

例えば、涙に含まれるグルコース量は糖尿病 患者の血糖値と強い相関を示すことが知られて いる(図2)。そのため涙の中に含まれる微量

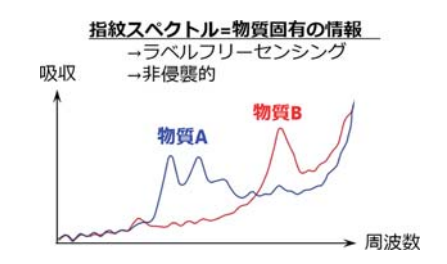


図1 テラヘルツ領域における物質固有の「指紋スペクトル」による物質同定。指紋スペクトルは分子の巨視的な構造に由来するため、赤外線よりもエネルギーの低いテラヘルツ領域において観測される。

# バイオーカー(汗、涙)

# 非侵襲的検査

- ・グルコース(糖尿病)
- 尿酸(痛風)
- ・ラクトフェリン(炎症反応)→QOLの向上、健康管理

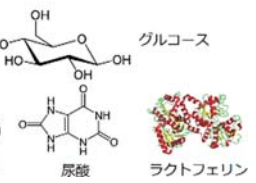


図2 非侵襲的検査に用いられるバイオマーカーの例

なグルコース量を検出することが可能になれば、 簡便で非侵襲的な糖尿病検査が可能になる。他 にも、バイオマーカーの例として尿酸やラクト フェリンと呼ばれる物質も知られている。前者 は痛風、後者は炎症反応に関わっていることが 知られている。こういったバイオマーカーを非 侵襲的かつ簡便に検出することができるように なれば長期間にわたる健康管理や生活の質の向 上につなげることが可能になる。

しかし、涙や汗などに含まれるバイオマーカーの場合、一度に採取できる検体の量が限られていることに加えて、ふくまれているバイオマーカーの濃度は希薄であることが多い。そのため、バイマーカー検出には低濃度で微量な検体に対する高い検出感度が求められる。そのため、現時点で広くテラヘルツ分光に用いられている時間領域テラヘルツ分光装置は感度的にも不向きであると考えられる。また、時間領域テラヘルツ分光装置では大型かつ高価なフェムト秒パルスレーザーを必要とすることから、装置のサイズ面やコスト面では実用化にむけたハードルが高い。

本研究ではこれらの課題を解決し, 微量検体 に対する高感度なテラヘルツ分光測定を実現す るため,熱的検出と呼ばれる新しい検出原理に 着目する。熱的検出とは,試料によって吸収されたテラヘルツ波のエネルギーを試料自体の温度変化として検出する方法である。通常の透過法とよばれる実験配置では,試料にテラヘルツ波の強度をモニターすることで吸収の大きさを評価している。そのため,テラヘルツ波の入射パスと透過パスが必要となり装置の大型化を避けることができない。また,検出器の検出感度は一般に測定周波数に依存するため,測定可能な周波数範囲に制限が加わる。

一方, 熱検出では試料と一体化した温度計を 用いてテラヘルツ波の吸収エネルギーを検出す るので, 透過側の経路が不要になり, 装置の小 型化が可能になる。また, 試料が吸収したエネ ルギーを熱に変換してから温度計で検出するた め, 測定感度が周波数に依存せず, 広帯域の測 定を行えるという利点がある。しかし, これま で熱検出によってテラヘルツ分光が行われた例 は無く, 新規性の高い研究テーマとなっている。

本研究ではテラヘルツ波光源としてフォトミキシング光源とよばれる連続波光源を用いる(図3)。この光源ではわずかに周波数の異なる2種類のレーザー光をフォトミキサーと呼ばれる半導体デバイスに照射する。その結果、素子間を流れる光電流の強度が2つのレーザー光の差周波数で変調され、テラヘルツ波が発生する。広帯域にわたって発生周波数を連続的にチューニング可能であり、また、スペクトル分解能が高いことからテラヘルツ分光に適した光源である。





図3 テラヘルツ波の発生に用いる連続テラヘルツ波 フォトミキシング光源。(左)励起用の半導体 レーザーと(右)フォトミキサー本体。

また、本研究では、MEMS(微小電気機械システム)技術を用いて作製された示差熱検出デバイスを用いる点が特色に挙げられる。示唆熱検出では試料を載せた試料セルと何も載せていない参照セルの温度差に比例した電圧信号を検出するため、高感度な熱検出が可能になる。また、この方法では検出器と試料が一体化しており、測定装置のサイズを大幅に小型化することが可能である。

本研究では、最終的には光源と検出器を合わせたプローブ部分のサイズを  $\phi$ 25×60 mm まで小型化したプロトタイプ分光装置を自作し、最大で 3 THz までの周波数範囲におけるラベルフリーテラヘルツ分光測定を可能にすることを目指す (図 4)。さらに、微量検体中に含まれるバイオマーカーの検出を可能にするため、微量試料に対するオンチップテラヘルツ分光測定を行い、装置の有用性を実証するとともに実用化に向けた課題を洗い出す。

将来的には微小な熱検出デバイスを用いたオンチップテラヘルツ分光によるユビキタスなラベルフリーバイオセンシングの実現を目指す。その結果、一人ひとりの健康状態を非侵襲的な方法で短時間にモニタリングすることが可能になり、健康増進や疾病の早期発見につなげることが可能になる。

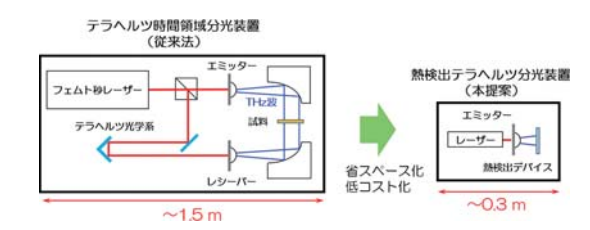


図4 本研究で提案する高感度で省スペースのテラヘルツ 分光装置。検出器側の光学パスが不要になることに加 え、小型の半導体レーザーによる駆動が可能になる。

# 【検出原理】

本研究では交流比熱測定法と類似した熱的モデルを考える(図5)。後述するように,本研究のセットアップでは測定試料が微小な温度計の上に直接載っており,熱的に強く結合してい

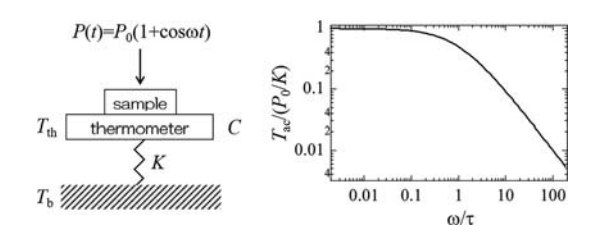


図5 簡略化した熱検出モデル(左)。モデルから期待 される熱応答の周波数挙動(右)。縦軸と横軸は 規格化して示している。

ると考えてよい,一方,温度計は非常に薄いメンブレン上に形成されているため,メンブレン 周辺部の熱浴とは弱く結合されていると考える ことができる。そのため,試料が吸収した熱量 は速やかに温度計に熱緩和し,試料と温度計は 熱平衡状態にあると考える。

以下、温度計の温度を  $T_{th}(t)$  (=試料の温度  $T_{s}$ )、熱浴の温度を  $T_{b}$ :、温度計と熱浴の間の熱コンダクタンスを K、試料と温度計を合わせた熱容量を C とする。試料がテラヘルツ波を吸収しない状態では温度計と熱浴が同じ温度にある。テラヘルツ波の強度を周波数  $\omega$  で変調すると、試料のテラヘルツ波吸収に伴い試料が受け取る熱量は時間的に

$$P(t) = P_0 (1 + \cos \omega t) \tag{1}$$

という式に従う。従って、試料が吸収する熱量 と熱浴に緩和していく熱量の間に成り立つ関係 式

$$P(t) = CdT/dt + K(T - T_b)$$
 (2)

を解くことによって温度計の温度変化を求めることができる。ここで右辺の第1項は吸収した熱量によって試料と温度計の温度が上昇する効果、第2項は熱浴へと緩和していく熱量を表す。この式を解くと、

$$|T_{ac}| = (P_0/K) (1 + \omega^2 \tau^2)^{-1/2}$$
 (3)

という振幅で温度計と試料の温度が周期的に変化することがわかる。ここで、 $\tau = C/K$  である。従って、変調の周期( $=2\pi/\omega$ )が  $\tau$  よりも十分に長い( $\omega\tau \ll 1$ )場合、温度計の温度上昇が

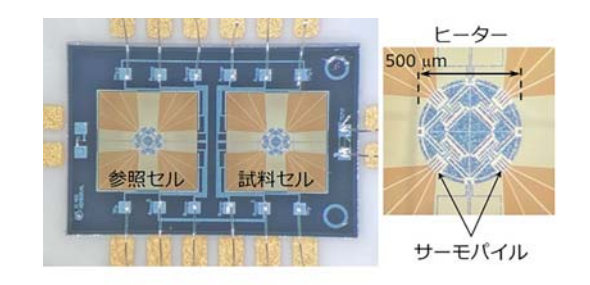
 $T_{ac}=P_0/K$  に近づくことがわかる。一方,変調の周期が短かい場合,熱緩和が温度変化に追随することができないため,温度変化は  $T_{ac}\sim P_0/\omega C$  に従って減少する。従って,高い熱検出感度を得るためには, $\omega \tau < 1$  の条件で測定を行うことが望ましい。

本研究では、マイクロ熱検出デバイスを用いることから、典型的な $\tau$ の値はミリ秒オーダーとなっており、高速での応答が可能になっている。一般的な熱的検出では応答速度の低い点がしばしば問題となるが、マイクロデバイスを用いることで測定時間の課題を回避することが可能になる。

# 【研究実施内容】

本研究では、市販の示差熱測定装置に使用されている示差熱検出デバイス(メトラートレド社 Flash DSC 用センサー UFS2)に着目し、新しい検出原理に基づくテラヘルツ吸収スペクトル測定法の原理検証実験を行った。

測定に用いたデバイスを図6に示す。このデバイスは微細加工技術によって作製された微小な示差熱検出デバイスである。同じチップ上に



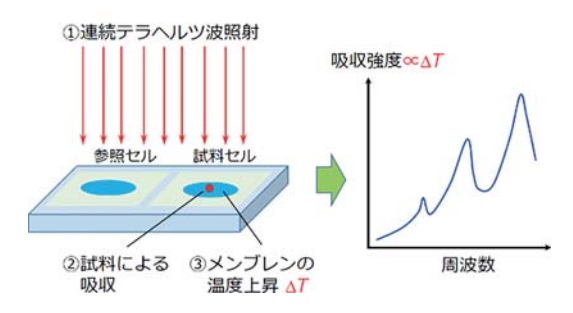


図6 測定に用いる示差熱検出デバイス(上)。左は装置の 全体写真、右は熱検出部分の拡大写真を示す。 示差熱検出デバイスを用いた測定原理(下)。試料セルの試料が吸収したエネルギーは熱に変換され、最 終的にセンサーの温度上昇として検出される。

参照セルと試料セルが設置されており、いずれのセルも非常に薄いメンブレン構造の中央部に直径 500  $\mu$ m の試料搭載部が設けられている。試料搭載部には温度計測用のサーモパイルが 8 対設置されており、高感度な温度計測が可能になっている。メンブレンの厚さは数  $\mu$ m 程度となっており、熱伝導を介した外界との熱接触はよく絶縁されている。

試料セルと参照セルのサーモパイルは逆接続されており、2つのセルの間で温度差が生じたときにのみ、温度差に比例した電圧信号が出力される(ヌル検出)。そのため、試料セル側に試料を搭載しておくと、試料によって吸収されたテラヘルツ波のエネルギーは測定用セルのメンブレンへと熱緩和し、最終的には測定用セルのサーモパイルの温度上昇として検出される。示差熱検出デバイスでは出力電圧が2つのセルの温度差のみに依存している。そのため、外気温変化のように時間とともに一様に変動する温度変化を排除することができる。そのため、高い検出感度と高い長時間安定性を実現できるという利点がある。

このような新原理に基づくテラヘルツ吸収分光装置はこれまでに例がないことから、本研究ではまず、その原理検証のための装置作製を行った。測定に用いる光源には、InGaAsフォトミキシング光源を採用した。この光源では、1550 nm 帯の2つのレーザー光のビート周波数にあたるテラヘルツ波を得ることができる。半導体レーザーの高い波長チューニング性能により、0.05-1.1 THz の広い周波数範囲を連続的かつ高い分解能で周波数掃引できる。

テスト測定では、実体顕微鏡下においてラクトース試料粉末(図 7)を試料セルのメンブレン上に設置した。ラクトースはガラクトースとグルコースが結合した 2 糖類の一種であり、化学式は  $C_{12}H_{22}O_{11}$  によって与えられる。これまでの報告から、f=0.5 THz 付近に 1 本の指紋スペクトルが観測されることが知られている。試料の大きさから見積もった測定試料の重量は



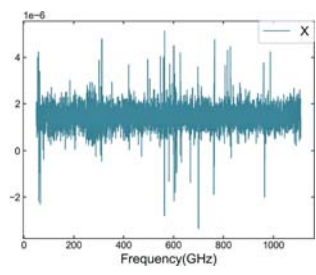


図7 (左)メンブンレンの中央部に載せたラクトース試料 の写真(5個見える白い粒状のもの)。 (右)実際に周波数掃引を行った際の温度変化に対応 する電圧信号のデータ。ラクトースの場合,0.5 THz

付近に吸収が期待される。

およそ数  $\mu g$  程度であった。テラヘルツ波は チップ上方からテラヘルツレンズを介して試料 に集光するように照射した。チップからの電圧 信号をプリアンプで増幅し、ロックインアンプ とフィルター回路をもちいて雑音低減を図った。 研究期間内に測定試料の量や照射条件、変調周 波数等の測定パラメータを変えて繰り返し測定 を行った。しかし、室温、大気圧の条件下では ラクトースの吸収に起因する信号を検出するま でに至らなかった(図 7)。

ラクトースのテラヘルツ吸収に由来する信号 が得られなかった結果について考察を行った。 その結果、検出可能な温度変化が得られなかっ た原因として以下の2点が考えられた。

1つ目の原因として、測定セルが大気圧環境に置かれていたため、試料の吸収した熱量がセル上のサーモパイル以外にも大気中に熱緩和している可能性が挙げられた。また、2つ目の原因として室温では試料や温度計の比熱が大きく、試料からの熱緩和によって十分なサーモパイルの温度上昇が得られていない可能性が挙げられる。実際に格子による比熱成分は $T^3$ に比例することから、室温での熱検出は低温での測定に比べて感度的に不利な条件となっている可能性が挙げられる。また、フォトミキシング光源の出力は $10-100~\mu$ W程度となっていることから、室温環境下では試料に対して十分な温度上昇をもたらすだけの熱量が供給できてない可能性もあげられる。

以上のような考察から、現在、低温、真空下

での測定に向けた測定系の構築を進めている。 ステンレス製の真空容器内に液体窒素溜めを備 えたクライオスタットを用意し、この中に測定 用セルを設置することでより高感度な熱検出を 行いたいと考えている。低温下ではサーモパイ ルの検出感度が室温に比べて減少することが知 られているが、室温と液体窒素温度における熱 起電力の減少は数分の1程度にとどまると考え られる。一方、測定温度の低下による比熱の減 少、吸収スペクトルの先鋭化、ジョンソンノイ ズの低減といった効果を考慮に入れると、真空 中かつ液体窒素温度の環境下ではより高感度な 測定結果が期待できるので、今後も引き続き実 験的な検証を続ける予定である。

また、現行のフォトミキシング光源では周波数発生領域が 0.05-1.1 THz となっているが、 実際のテラヘルツ吸収スペクトルの多くはより 高い周波数範囲で観測されることが知られている。そのため、本研究では並行して、波長可変レーザー光源とDFBレーザーを組み合わせることでフォトミキシング光源の広帯域化を行った。その結果、発生周波数範囲を2.7 THzまで拡張することができた。この光源と本研究で製作した測定系を組み合わせることにより、より広範囲でのテラヘルツ吸収分光測定が可能になる。このことは、装置の実用的な観点からも、重要な改良点に挙げられる。

#### [成果の発表, 論文など]

小路悠斗, 大道英二, 高橋英幸, 太田仁, 「フィード バック制御を用いた高速・高分解能周波数掃引型テ ラヘルツ分光法の開発」[講演番号:19p-A34-13], 第85回応用物理学会秋季学術講演会(2024.9.16-20)

# 人間と機械の相互影響度の計量にもとづく他者への配慮の実現

#### 2241008



研究代表者 (助成金受領者) 共同研究者

名古屋大学 大学院工学研究科 准教授

准教授 奥田裕之

名古屋大学 大学院

教 授 鈴 木 達 也

名古屋大学 大学院

助教山口拓真

# [研究の目的]

近年、空港、駅、ショッピングモール、病院、さらには住宅街など、さまざまな公共空間や生活環境において、自律移動ロボット(Autonomous Mobile Robots: AMR)や電動車椅子、パーソナルモビリティなど、知能的に行動する移動体が急速に普及しつつある。これらの移動体は、移動手段としての利便性を提供するのみならず、物流、サービス、介護などの分野において人間の活動を支援・拡張する存在として期待されている。

しかしながら、これまでの移動体設計では、 周辺の人間、すなわち歩行者や自転車、他の車 両などを「移動する障害物」として捉え、主と して衝突回避の観点からその動きを予測・制御 するアプローチが一般的であった。これは、移 動体を動かす移動知能が他者に対して常に保守 的であり、人に優先度を与える、という意味で は一つの方向性ではあるものの、人と人とが通 常行うような相互の譲り合いやネゴシエーショ ン、または、相手を慮るような行動とは異なる。

これはある程度以上の交通密度において問題になる場合があり、移動体が単に人に譲るばかりでは、多数の人の中で移動が不可能になる場合がある。これは Freezing Robot Problem として知られ、近年問題になっている。たとえ安

全を重視した結果であっても、過度な保守性により移動体がその目的を達成できない場合、移動体のユーザビリティの低下を招く。

これに対して本研究では、人と機械が互いに 影響を及ぼし合う存在であるという前提に立ち、 機械の行動が周囲の人間にどのような心理的・ 行動的影響を与えるか、またその逆も含めて、 相互の関係性を定量的に評価する指標を構築す ることを目指す。また、このような指標を確立 することで、他者の存在や意図を配慮した協調 的な行動計画が可能となり、周囲の人々にとっ てもより安心・快適な空間の創出が期待される。

# [研究の内容,成果]

本研究では、その最終的な目標として AMR のふるまいが人間に「どのように影響するか」という影響度、すなわち "行動の相互作用の強さ" に焦点をあてる。

ただし、本研究ではその前段階として、より深く人の相互作用を研究するために、まずは AMR を用いず、人と人との相互作用を観測し、その影響度を計量する理論、方法について研究を行うことにした。その詳細な理由は後述する。また、当初、提案する可制御性を AMR の行動計画に応用するところまでを目的としていたが、その導出にはいくつかの解決すべき問題があり、

当初の予定より時間がかかったことにより、 AMR の行動計画への応用よりも、今回の提案 の中心的概念である可制御性の解析を中心に研 究を行った。本研究では、下記の手順で研究を 進めた。

- ① 人間同士の歩行インタラクションにおける「相互影響」を実験により観測した。 実験では歩行者の挙動のみではなく、手 持ち入力デバイスを用い、意図と判断の タイミングを観測した。
- ② 得られた歩行データをもとに、歩行者の 判断、動作の数理モデル化を行った。
- ③ 得られた歩行者の行動モデルから、制御 理論で用いられる可制御性の考え方を適 用し、ある歩行者が他者に与える影響度 を計量するための理論を確立した。
- ④ 観測データに対して可制御性を評価し、 その物理的な意味やどのような状況で可 制御性が大きく、あるいは小さくなるか、 解析した。

### 【可誘導性の考え方】

本研究では、ある交通エージェント(歩行者 や移動ロボット)が、周囲の歩行者に対して与 える影響度を、行動モデルを通して評価する。 これは、ある意味で、互いの相互影響の強さを 表す指標となると考える。

例えば、図1のような歩行者と移動ロボットが交差するような環境を考える。このとき、一見歩行者 A は移動ロボット(AMR)に物理的に近いが、A は速やかに通過するため、A はロボットの挙動の影響を受けにくい。一方で、

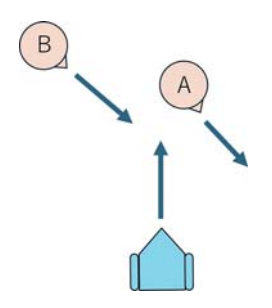


図1 移動ロボット (AMR) と歩行者の交差

Bはロボットの挙動変化の影響を大きく受ける と考えられる。

この違いを定量化するためには、単に物理的な距離ではなく、ロボットの挙動変化に対して、歩行者がどのような応答(リアクション)をするか、その応答の大きさに着目して評価すべき、と考えた。これを実現するために、

- 歩行者のインタラクティブな行動のデータ観測
- ② エージェントの挙動に対する歩行者の応 答の数理モデル化
- ③ 得られた数理モデルからの可誘導性の導出

以下ではこれらの流れに沿って紹介する。

# 【インタラクティブな歩行行動の観測】

本研究では、歩行者の応答を観測するため、 図2のような実験を実施し、歩行者対歩行者の 相互影響のモデル化を行う。



図2 歩行者実験

本来であれば、ロボット等の将来的に制御したい対象に対して、応答する歩行者の行動を観測するのが望ましいが、まずは上記のように、安全を考慮して人対人の歩行行動を観測したデータを用いる。

人対人の行動観測を行う場合、その参加者間の対称性から、行動モデル推定を行う際には効率的にデータを用いることができる。例えば、A、Bの二者間実験であれば、1回の試行でAに対するBの応答、Bに対するAの応答、の2つの学習データを作成することができ、学習精度の向上が期待できる。

実験では、参加者に小型のハンドヘルドデバイスを持っていただき、実験を行った。手持ちデバイスには、ジョイスティックと、小型のLEDディスプレイが装着されており、実験では、歩行開始の直前に手持ちのディスプレイにより自分が歩行するべき開始点と目的地を指示することで、他者にはわからない形で目標経路を与え、自由歩行していただいた。

実際に歩く際の各歩行者について、モーションキャプチャシステムで頭部・背部の動き、ならびにジョイスティックによる判断入力(Ahead, Behind, Undecided)を記録している。



図3 実験参加者が持つ手持ちデバイス

この3種類の意図(Ahead, Behind, Undecided)は、ある歩行者が他の歩行者のいずれかに対して、先行したい(Ahead)、相手に進路を譲りたい(Behind)と判断した時点で、ジョイスティックを前、あるいは後ろに入力していただく。Undecided はこれら2つの意図を持っていない状態、と定義している。歩行の観測データからこの意図ラベルを推定しなかった理由は、一般に人間は認知・判断をしたからといって、すぐさま行動にでない場合があるからであり、人間の内部的な意図を、できるだけそれに違いタイミングで直接観測するために、このデバイスを用いた。

# 【歩行者の行動モデルの構築】

次に、歩行者同士の相互影響を定量化するために、モデルの構築を行った。モデルとしては、 人の判断と動作とを明示的に数理モデル化する、

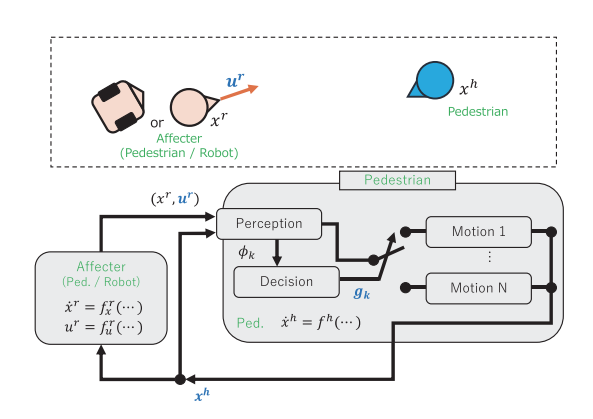


図4 周辺歩行者の行動の HDS モデル

ハイブリッドダイナミカルシステム (HDS) 表現を用いた (図 4)。

まず判断モデルとしては、観測データをもとに、他の歩行者との相対関係を説明変数(入力)とし、先述の3つの意図(Ahead, Behind, Undecided)を結果編集(出力)とした、ロジスティック回帰により判断モデルを構築した。

次に、上記で求めた判断確率を参照し、それぞれの意図に応じた速度を持つ動作モデルを構築した。これらの意図の推定確率を重みとする、各意図の速度を加重平均することで、歩行者の速度を予測する。

このようなモデルを用いて、各歩行者の観測 点にて歩行者の意図を推定した結果を図5にし めす。

ここで、図のカラーの点は、Ped. 0 が各データ点の位置に存在する際の、Ped. 1 の判断をモデルによって推定した結果である。各地点でのPed. 0 の歩行速度、方向がまちまちであるため、

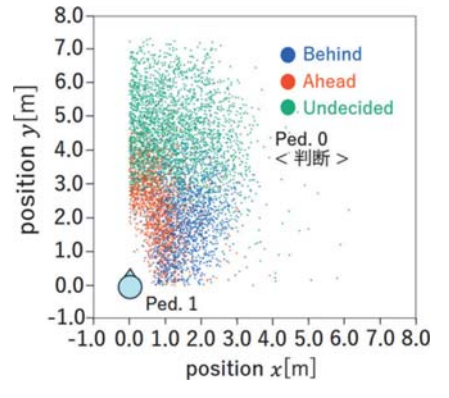


図5 判断モデルの推定結果

類似の位置でも色が異なるように見える点が混 ざっているので注意されたい。

ここでは動作(歩行速度)の予測結果は割愛するが、このときの判断モデルの推定精度はおよそ80%程度であった。

# 【可誘導性の定義と数理モデル化】

提案する可誘導性は、「あるエージェントの行動が、他者の判断や行動にどの程度影響を与えるか」を定量的に表現する概念であり、上記の場合、Ped.0の歩行速度の変化が、Ped.1の判断や動作にどの程度の影響を与えるか、を計量すれば良い。

そこで、Ped.0 の速度を入力とみなし、下記の2つの指標を提案した。

- ・判断感度指標(Sensitivity): 他者の速度変化などの入力に対して、自分の判断確率 (例: 先に行く・後に行く) がどの程度変化するかをロジスティック回帰モデルの偏微分係数として評価したもの。
- ・可制御性指標(Controllability):歩行者の 状態空間モデルを構築し、相手の行動入力 (速度など)が自分の状態(速度・位置)に 与える影響度を、可制御性グラミアンの大き さを用いて定量化したもの。

正確な定義は、発表論文[1] に譲るが、これらにより、データに基づいて同定した他者の判断や動作の数理モデルをもとに、自ら(Ped. 0)の速度を変化させた場合に、他者(Ped. 1)の判断や、その状態をどの程度誘導することができるか、を定量化できた。

### 【可誘導性指標を用いた行動解析】

まず、上記で提案された判断感度について、 左記の例における判断感度の分布を図6に示す。

図5と同様に各点はPed.0(行動を誘導する側)の観測された分布を示しており、その速度が変化したときの非誘導側(Ped.1,座標原点に位置)がBehindと判断する確率への影響度の大きさを色で示している。赤色は判断感度が

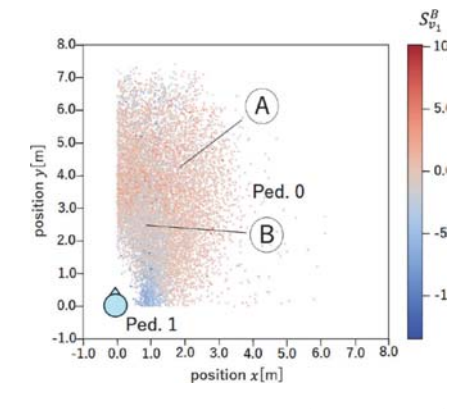


図6 判断感度指標マップの例 (Behind への影響)

正に大きい点であり、Ped. 0 が速度を増すと、Ped. 1 が Behind と判断する確率が増加することを示している。

A の領域は、図5では Undecided、つまり先に行くか後に行くか決めていない領域であるが、この領域は赤色となっており、Ped.0が加速することで、Ped.1を Behind、すなわち Ped.0 に道を譲る判断へと誘導できることが定量的に示せている。

一方で、Bの領域は、非常に近いにもかかわらず、判断感度の大きさは淡色で示されており、Ped. 0 が加速、減速しても Ped. 1 の判断確率に大きな影響を与えないことがわかる。このとき、すでに Ped. 1 は、図 5 に示されるようにAhead と判断する確率が高い状態であり、このような状況に一度なると、Ped. 0 が加速しても Ped. 1 を Behind の判断をするように誘導ができないためである。

次に,可制御性指標を評価した結果を図7に

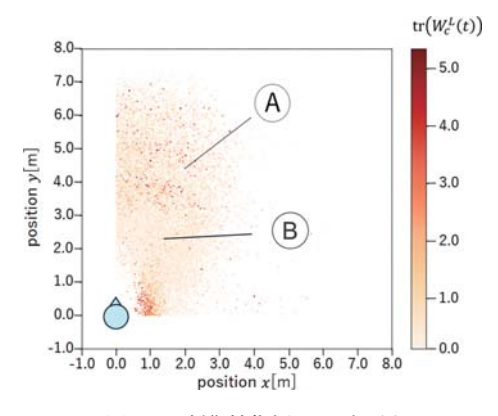


図7 可制御性指標マップの例

示す。

図7のAの領域では、中間付近のBの領域に比べ可制御性が高いことがわかる。これは先述のように判断が影響されることで状態変化にもつながっていることが原因である。一方でBの領域は、Ped.1の判断が変化しない領域で、状態に関する可誘導性も低く出ることがわかった。

# 【まとめ】

観測データからシステム同定的に得られる HDS型の行動の数理モデルに対して、制御分 野で用いられる可制御性の考え方にもとづいて、 他者の挙動を誘導・制御できる量を定量化する 2つの可誘導性指標を提案した。

得られた2つの可誘導性指標を解析した結果, 歩行者の行動の定性的な分析と一致する結果が 得られており,説明性の高いモデルを用いなが ら,歩行者間のインタラクションの強さを計量 することができた。

本研究では最後に AMR の行動計画への応用を検討・準備した。たとえば、可誘導性が高く、かつ歩行者が Undecided な状態であれば、AMR は積極的に先導的な行動を取ることで歩行者の判断を後押しできる。逆に可誘導性が低い場合には、AMR の挙動変化は他者に対して限定的な影響しか与えないため、無理にインタラクションを制御しようとせず、静的・受動的なふるまいを選択すべきであると考えられる。ただし、本研究期間内では移動ロボットへの実装までは達成できなかった。

今後の研究の展開としては、本研究期間内で 達成できなかった移動ロボットの行動計画への

応用である。また、別の発展として、本研究では歩行者の1対1でのインタラクション強さの計量を行ったが、複数の歩行者が歩行する場合でも、同様に評価が可能であるのか、検証が必要である。

また、さらなる発展としては、本研究では空間における連続的な位置、速度等の物理情報をもとに可誘導性を定義したが、eHMI(外部ヒューマンマシンインタフェース、音声や画像提示、音声提示等)のように異なるモーダルを用いて人に対して働きかけるような場合にも、その働きかけでどのように判断や行動が変化するかを定量化できれば、同じ可誘導性の概念を導入することができる。

このように、情報提示による可誘導性を評価することで、移動ロボットが、人に情報提示をする際にも、不要なタイミングで提示することを抑止し、"人にわかりやすい提示のし方"を設計することにつながるのではないか、と期待している。

#### [成果の発表, 論文など]

- Kentaro Sugiura, Hiroyuki Okuda, Mizuho Aoki, Kazuma Uchida, Tatsuya Suzuki: Inducibility Analysis of Pedestrian's Interactive Behavior, Proc. of IEEE/SICE Int'l Symp. on System Integration (SII), pp. 1–8, 2025
- 2. 杉浦健太郎, 奥田裕之, 鈴木達也, "可誘導性:歩 行者間インタラクションにおける判断感度と可制御 性に基づいた評価", 計測自動制御学会システムイ ンテグレーション部門講演会 (SSI2024), pp. 1-6, 2024

#### (SSI 最優秀論文賞受賞)

# 未病検知を目指した画像診断機器による臓器の生理機能評価 及び加齢性機能低下の検証

2241009



研究代表者 浜松医科大学 放射線診断学講座 准教授 尾 崎 公 美

# [研究の目的]

「未病」は発病には至らないものの健康な状態から離れつつある状態で、「未病」検知は医療が最終的に目指すべき領域である。「未病」は発病していないがために現在は検知ができないが、人類の発展のためには人は健康である必要があり、これを検知できれば人類全体のよりよい未来に直結する。「未病」の検知が困難な理由は、生体に生じている軽微な変化を現在の医療機器で捉えることができなかったためである。

しかし、近年の画像機器の進歩とビッグデータ解析可能な人工知能の発達により未病検知の可能性を模索できると考えらえる。画像は生体の内腔を客観性と再現性をもって描出可能であり、人間の目では検知し得ない軽微な変化や臓器の状態を定量的に可視化できる。かつ、剖検解剖や手術検体では評価し得ない生体のリアルタイムでの評価が可能である。本研究の目的は画像診断機器で得られたビッグデータの解析により、生体臓器の生理的状態変化を評価し、これらからわずかに逸脱した状態を検知することで「未病」を検知する指標を確立することである。『人間と機械(画像診断機器)の調和』による近未来の健康『促進』を思い描いている。

# [研究の内容,成果]

# 1. 肝動態解析法の開発

磁気共鳴画像 (Magnetic Resonance Imaging, MRI) の技術革新により、自由呼吸下での MRI 撮像が可能となった。この自由呼吸下で肝臓の 動態を連続性をもってとらえる動態画像を用い て、未病検知を試みる方針とした。Tagging や optical flow 法などの肝動態解析法は、特別な シーケンスや入手困難な特殊なプログラムが必 要である。古典的なレジストレーションを使っ たモーション補正技術も利用可能であるが、特 徴量・類似度尺度のチューニングや、高い計算 コストが必要である。一方, 近年の深層学習 (Deep Learning: DL) ベースの画像処理技術の 向上により、教師データがない状況での画像レ ジストレーションが可能になりつつある。画像 レジストレーションでは、画像内のオブジェク トの変形場も副次的に計算される。これをダイ ナミック MRI データに適用すれば、動態解析 を精緻かつ高速に行える可能性がある。そこで 本研究では、DL ベースの画像レジストレー ションを使った肝動態解析法を提案し、自由呼 吸下のボランティア撮像データを解析して、提 案手法の妥当性を検証した。

# 1-1 方法の検証

MR 画像から変形場を算出する流れを図1に示す。最初の時刻の画像を基準画像 (fixed image) として、後の時刻の画像と基準画像とでレジストレーションを行い、その際に出力さ

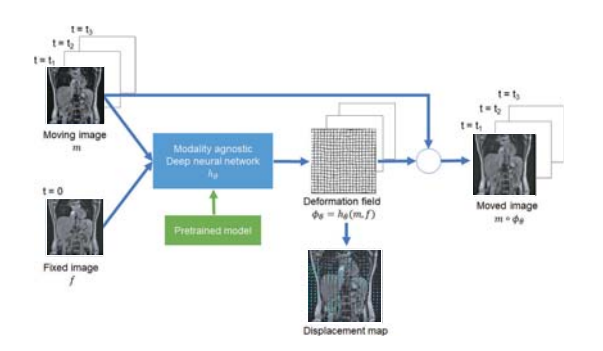


図1 教師なし画像レジストレーションを利用した変 位画像 (displacement map) 算出の流れ。レジ ストレーションモデルからは deformation field (変形場)と moved image (レジストレーション 後の画像)が出力される。

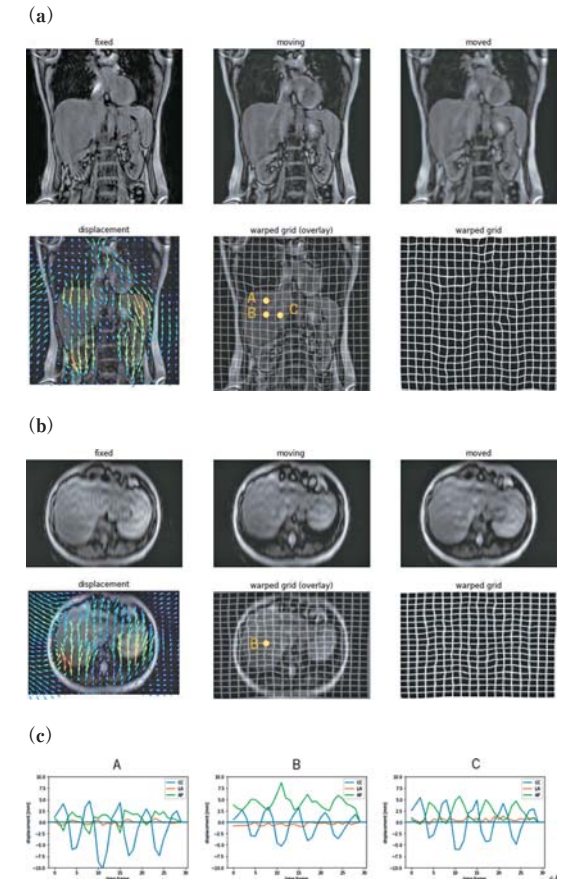
れる変形場から、組織の変位量 (displacement) マップを計算した。この作業をすべての時刻のデータに対して行った。

教師データを必要としない unsupervised型のレジストレーションモデルとしてSynthmorph3を使用した。これは、画像コントラストや形状情報への依存性が低くなるように改良されている。今回は、手続き簡略化のため、スクラッチからの学習を行わずに、公開されている pre-trained モデルである shapes variant モデルを用いた。レジストレーションの計算時間は1症例当たり10分程度であった (rtx3090使用)。

3 次元 b-FFE シーケンス(FOV= (36 cm) 2, slice thickness/gap=7/3.5 mm, 30 phases)を用いて健常ボランティアにおける検証を行った。

# 1-2 ボランティアにおける初期検証結果

最大吸気時(11th phase)の解析結果を図 2 (a), (b) に示す。基準画像(fixed image)とレジストレーション後の画像(moved image)はよく一致しており、レジストレーションは正確に行われていた。図 2(a) の coronal 面を見ると、肝臓内の変位場が頭尾(CC)方向に向いており、呼吸に伴って大きく移動している様子が分かる。図中 A, B, C の地点の変位量を時間に対してプロットすると(図 2(c))、肝臓の変形に伴い、地点によって移動量が異なっていた。また、axial 断面や経時プロットを見ると、



fixed:時刻0の基準画像, moving:時刻tの画像, moved:レジストレーション後の画像, displacement:カラーコード化した変位ベクトル, warped grid:変形されたグリッド。 (c) のグラフは画像中の点 A, B, C の変位を時間に対してプロットしたもの。

図2 最大吸気時(11フレーム目)の解析結果(a,b)と変位量の経時変化(c)

AP 方向にも大きく動いていた。このように、 肝臓が三次元的に変形する量を定量化すること ができた。

他のシーケンスや症例についても、本手法で 肝臓の3次元的な変位の経時変化を定量できる ことも確認した。ただし、画像コントラストに よっては、変位量の正確性が低下する場合も あった。今回は、利便性の高い手法の構築を目 指して、公開されている学習済のモデルを使っ たが、このモデルを改良することで汎化性能を 向上できると判断した。

# 1-3 肝疾患を有さない人を対象とした加齢における変化の検証

上記の方法論で、20-30代の若年者を中心に約20名の健常ボランティア撮像を施行した。

コントロールデータとして利用予定である。

# 1-4 慢性肝疾患を有さない患者を対象とした加齢における変化の検証

浜松医科大学生命科学・医学系研究倫理委員会の承認を得て、同意を得た慢性肝障害を有していない患者に対し前向きに上記で確立した撮像パラメーターでデータ収集を進めている。幅広い年齢と性別からデータを収集し、総合解析することで、まずは加齢に伴う機能低下を把握する必要がある。

# 1-5 慢性肝疾患を有する患者を対象とした病的変化の検証

浜松医科大学生命科学・医学系研究倫理委員会の承認を得て、同意を得た慢性肝障害を有する患者に対し前向きに上記で確立した撮像パラメーターでデータ収集を進めている。慢性肝障害を背景とした肝細胞癌の発生は最大の予後不良因子である。肝細胞癌の発生率は慢性肝障害により実質の線維化が進行すると上昇する。線維化の進行とともに、肝実質高度が上昇し、それとともに肝動態は制限されるという仮定し、臨床的肝線維化進行度の指標と肝動態の相関を解析し、現在の臨床的指標よりも早期段階での検知、すなわち「未病」検知の予定である。

# 1-6 今後の課題

現状では1症例の解析時間は約10分程度だが、解析結果と臨床所見の相関関係を解析するにはかなり時間を要している。データ収集は蓄積されているが、現状では解析が追い付いていない。解析の簡略化と収集データ量がトレードオフになっており、今後の現実的な臨床応用の足かせの1つとなっている。

# 2. リン酸化合物可視化システムによる肝エネ ルギー代謝による検証

MRI の技術革新の別側面として,2024年3月より薬事承認を得たコイルを用いた生体内のリン酸(³¹P)化合物を評価可能となった。この³¹P-MRスペクトロスコピー(³¹P-MRS)を用いることで、肝エネルギー代謝及びリン脂質

膜の構成成分を可視化し、肝細胞内の代謝物の 濃度や酵素反応速度を非侵襲的に解析可能であ る。

エネルギー代謝の変化は病態においては必須の変化である。リン脂質膜は生体におけるあらゆる細胞膜の構成成分の1つであり、腫瘍性病変で正常とは異なる組成や細胞分解サイクルを呈することが報告されている。これまでこの変化を捉えるには採取された生体組織の質量分析が必要であった。侵襲的であり、かつ時間とコストがかかる検査であり、主に基礎研究でしか用いられていない。

<sup>31</sup>P-MRS は非侵襲的に繰り返し生体内のリン酸化化合物を可視化可能であり、このデータを「未病」検知へと応用できる指標の確立を試みた。

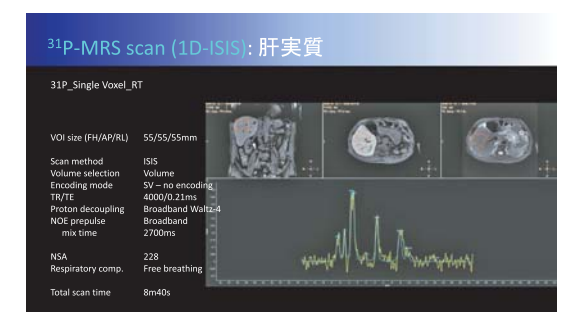
### 2-1 至適撮像方法の検証

<sup>31</sup>P-MRS を撮像可能なコイルは薬事承認を 得たものだが、ほぼ世界同時リリースであり、 実際の至適撮像法は確立されていない。<sup>31</sup>P (リン) の受診感度は<sup>1</sup>H(プロトン) を1とす ると 0.066 しかなく、適切で安定した信号を得 るために、まずは至適撮像条件の検証を行った。

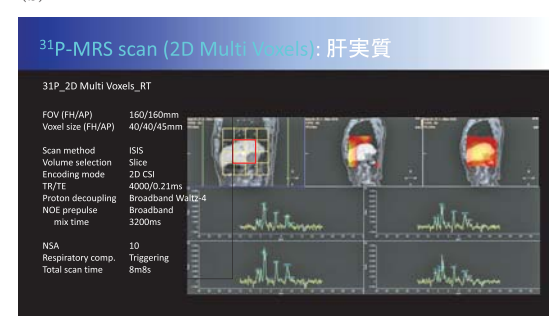
撮像条件には無数のパラメーターが存在し、テストスキャンにて複数のパラメーターの組み合わせを変更しながら検証を行った(図 3(a) (b))。具体的なパラメーターは、ポジショニング、2D-chemical shift spectroscopic imaging (2D-CSI) もしくは 1D-image selected in vivo spectroscopy (ISIS)、呼吸停止か呼吸同期か、single voxel か multi-voxel か、field of view の調整、proton decoupling 併用の有無の検証、B1 磁場補正の調整、などである。定量評価を見据えると、高い空間分解能を有する画像が望ましいが、撮像時間延長トレードオフである。臨床応用可能な撮像時間としては 10 分前後と考えており、この制限時間でできるだけ良好なデータを得る検証を行った。

複数のテストスキャンにより、最終的には 1D-ISIS を主軸としてその他のパラメーターを

(a)



(b)



(c)

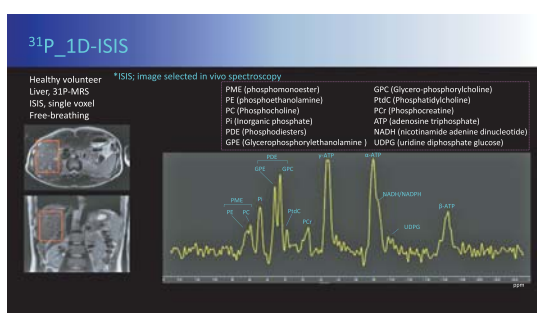


図3

変更する検証を施行した。

# 2-2 肝実質信号取得における至適撮像方法の健常 ボランティアによる検証

1D-ISIS を用いた肝実質からの信号取得を呼吸同期,自由呼吸下の双方で検証した(表1)。対象は21名の健常ボランティア(表2)である。呼吸同期撮像は上腹部において一般的に利用され,高いSNRが期待できる。一方で,自由呼吸下では呼吸の乱れや呼吸の深さの個人差に影響を受けやすい。

肝実質で対象となるリン酸化合物は phosphoethanolamine (PME), phosphocholine (PC), inorganicphosphate (Pi), glycerophosphorylethanolamine (GPE), glycerophosphorylcholine (GPC), phosphocreatine (PCr), 表1

Parameters	Respiratory triggering	Free breathing		
Scan method	IS	IS		
Volume selection	Volume			
Encoding mode	Single-voxel-	no encoding		
Voxel size (FH/AP/RL)	55/55/	55 mm		
Repetition time (ms)	40	00		
Echo time (ms)	0.09			
Proton decoupling	broadband Waltz-4			
NOE prepulse mix time (ms)	Broadband 2700			
Respiratory comp.	Respiratory trigger	Free breathing		
NSA	128 192			
Decouple duration (ms)	234			
Expected examination time (min)	13			

表 2

Number of the subjects21Age $30.0\pm6$ Sex; male/female $15/6$ Body composition $168.1\pm7$ Hight (m²) $168.1\pm7$ Body weight (kg) $57.2\pm9$ Body mass index (kg/m²) $20.2\pm2$ Body surface area (m²) $1.64\pm0$ Liver enzymes
Sex; male/female         15/6           Body composition         168.1±7           Body weight (kg)         57.2±9           Body mass index (kg/m²)         20.2±2           Body surface area (m²)         1.64±0
$\begin{array}{ccc} \text{Body composition} & & & & \\ \text{Hight } (\text{m}^2) & & 168.1 \pm 7 \\ \text{Body weight } (\text{kg}) & & 57.2 \pm 9 \\ \text{Body mass index } (\text{kg/m}^2) & & 20.2 \pm 2 \\ \text{Body surface area } (\text{m}^2) & & 1.64 \pm 0 \\ \end{array}$
Hight $(m^2)$ $168.1\pm7$ Body weight $(kg)$ $57.2\pm9$ Body mass index $(kg/m^2)$ $20.2\pm2$ Body surface area $(m^2)$ $1.64\pm0$
Body weight (kg) $57.2\pm 9$ Body mass index (kg/m²) $20.2\pm 2$ Body surface area (m²) $1.64\pm 0$
Body mass index $(kg/m^2)$ $20.2\pm 2$ Body surface area $(m^2)$ $1.64\pm 0$
Body surface area (m²) 1.64±0
Liver enzymes
Alanine aminotransferase (U/L) 16.5±7
Aspartate aminotransferase (U/L) 19.9±4
$\gamma$ -glutamyltransferase (U/L) 24.0±1
Serum lipids
Triglycerides (mmol/L) 73.5±3
High-density lipoprotein cholesterol (mmol/L) 66.7±2
Low-density lipoprotein cholesterol (mmol/L) 111.0±2
Glycemic parameters
Plasma glucose (mmol/L) 83.2±6
Glycosylated hemoglobin (%) 5.2±0
Completebloodcount
Hematocrit (%) 44.7±3
Hematocrit (g/dL) 14.7±1

nicotinamide adenine dinucleotide phosphate (NADPH), uridine diphosphoglucose (UDPG),  $\gamma$ -adenosine triphosphate (ATP),  $\alpha$ -ATP, and  $\beta$ -ATP (図 3(c)), とこれらから計算可能 な以下の比率である;PME/PDE, NADPH/PME+PDE, PME/ $\gamma$ -ATP, Pi/ $\gamma$ -ATP, PDE/ $\gamma$ -ATP,  $\alpha$ -ATP/ $\gamma$ -ATP, NADPH/ $\gamma$ -ATP である。更には信号取得の指標として下記の計算 式から算出される signal-to-noise ratio (SNR)

がある。SNR=the maximum magnitude of the signal estimate in the frequency domain per noise standard deviations in the frequency domain。

これらの指標に関して、2種の撮像法の比較 検証したところ、ほぼ同等のデータが自由呼吸 下ではより短い検査時間で得らえることが判明 した(表 3. 図 4)。

呼吸同期では、個人によって呼吸感覚が異なり、呼吸パターンが乱れると、その時間の撮像がスキップされることがある。その結果「実際の撮像時間」は延長し、撮像終了時間を予測できず、ワークフローが煩雑になる可能性があること判断した。自由呼吸では常にデータを取得し続けるため撮像時間の延長はない。総合的には自由呼吸下において、類似のデータが呼吸同期での撮像よりも短時間で得らえた。

# 2-3 慢性肝疾患を有さない患者を対象とした加齢における変化の検証

上記で確立した撮像パラメーターを持ちいて, 浜松医科大学生命科学・医学系研究倫理委員会 の承認を得て,同意を得た慢性肝障害を有して いない患者に対し前向きデータ収集を施行して いる。幅広い年齢と性別からデータを収集し, 総合解析することで,まずは加齢に伴う機能低 下を把握する必要がある。

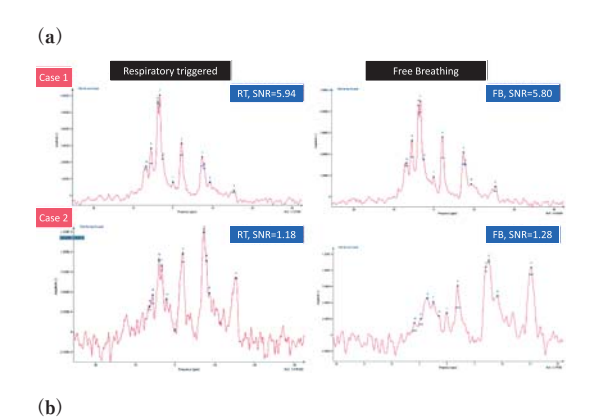
# 2-4 慢性肝疾患を有する患者を対象とした病的変化の検証

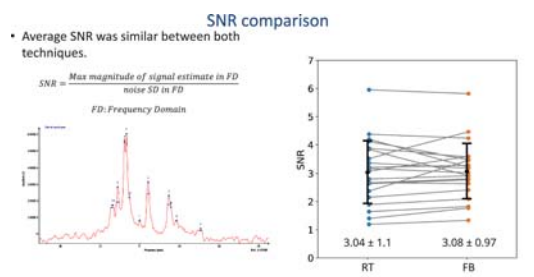
浜松医科大学生命科学・医学系研究倫理委員会の承認を得て、同意を得た慢性肝障害を有する患者に対し前向きに、上記で確立した撮像パラメーターでデータ収集を進めている。慢性肝障害でのデータ収集の理由は肝動態解析における検証と同様である。すなわち、慢性肝障害を背景とした肝細胞癌の発生は最大の予後不良因子である。肝細胞癌の発生率は慢性肝障害により実質の線維化が進行すると上昇する。線維化の進行とともに、細胞膜には変化がもたらされ、リン脂質にもその変化が生じる。リン脂質の変化は線維化の進行に先立って生じる可能性があ

表3

	Respiratory triggering	* "				
Ratio of metabolite peak area						
PME/PDE	$0.434 \pm 0.314$	$0.489 \pm 0.291$	0.046			
NADPH/PME+PDE	$0.312 \pm 0.216$	$0.391 \pm 0.396$	0.931			
PME/γ-ATP	$0.76 \pm 0.64$	$0.72\pm0.52$	0.556			
Pi/γ-ATP	$0.70\pm0.34$	$0.74 \pm 0.31$	0.931			
PDE/γ-ATP	$1.68 \pm 0.47$	$1.35 \pm 0.41$	0.003			
α-ΑΤΡ/γ-ΑΤΡ	$0.66 \pm 0.39$	$0.67 \pm 0.35$	0.332			
NADPH/γ-ATP	$0.64 \pm 0.29$	$0.59 \pm 0.33$	0.394			
SNR	$2.941 \pm 1.151$	$2.989 \pm 1.052$	0.570			

Peaks of GPE and PDE (the sum of GPE and GPC) of RT are significantly larger than those of FB. Whereas, there are no significant differences of peaks of others in between RT and FB. PME=phosphomonoester, Pi=inorganic phosphate, GPE=glycerophosphoethanolamine, GPC=glycerophosphocholine, PDE=phosphodiester, PCr=Phosphocreatine, ATP=adenosine triphosphate, NADPH=nicotinamide adenine dinucleotide phosphate UDPG=uridine diphosphoglucose, SNR=signal-to-noise ratio.





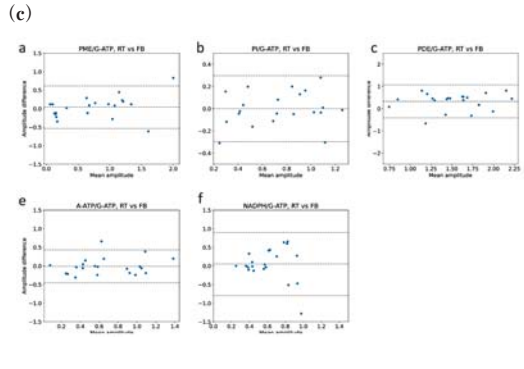


図 4

ると仮定し、<sup>31</sup>P-MRSで得られる各リン酸化 合物と臨床的肝線維化進行度の指標と肝動態の 相関を解析し、現在の臨床的指標よりも早期段 階での検知、すなわち「未病」検知の指標確立 を目指している。

# 3. その他の画像を用いた解析

肝動態解析及び<sup>31</sup>P-MRS はこれまでにない 全く新しい指標から確立しようという試みであ る。その他,既存の使いやすい指標を用いた検 証も行った。当初は CT 画像を用いた肝容量解 析も考慮していたが,プレリミナリーデータ検 証では,容量変化は実質の変化がかなり進行し てから顕在化することが判明した。そこで,CT で計測可能な他の定量値を用いた検証を試みた。

# 3-1 Dual-energy CT による定量解析

Dual-energy CT 装置は2管球からデータを取得することで物質弁別手法によって,肝内脂肪量,炎症の程度,線維化量などの定量化できる。

これまで報告がある物質弁別手法に加えて、 元素の質量減弱係数を混合物にも適用したもの で実効原子番号画像は基準物質画像の比率をカ ラーコード化して表した指標である実効原子番 号(Z effective)検証を行った。

# 3-2 実効原子番号の肝実質における計測

臨床例を中心に後方視解析を施行した。肝機能異常を有さない症例 30 例,慢性肝障害を有する症例 60 例(ALBI grade 1, 2, 3 各約 20 例)の計測を行ったが,実効原子番号と肝障害の相関は現時点では判明しなかった(7.23±2.63 vs 7.12±3.17, p>0.05)。CT機器,機器に応じた解析手法,撮像条件にも影響を受ける値である可能性があるが,CT は放射線被曝を伴うために健常ボランティアでの撮像パラメーターの検証が難しい。本件に関しては指標として組み込んでいくかどうかも含めた再検証が必要と考えている。

## [今後の予定と展望]

現状今回の1年という短期間では未病検知の ための手法確立の検証にとどまっている。各手 法でのデータ収集と解析による未病検知への指 標の確立,またより至適な手法の模索を続ける 予定である。

#### [成果の発表, 論文など]

- 1. 教師なし深層学習ベースのレジストレーションを 用いた新しい肝動態解析法の提案。寺田康彦,藤田 直人,尾崎公美,五島聡。第52回日本磁気共鳴医 学会大会2024年9月20日(金)~22日(日)(幕 張)
- 2. 肝実質における single voxel 31P-MRS のための至 適撮像方法の健常ボランティアによる検証。<u>尾崎公</u> 美,権池勲,勝又康友, Marc Van Cauteren,大石 直樹,山田洋次,米山正巳,舟山慧,棚橋裕吉,五 島聡。第53回日本磁気共鳴医学会大会 2025 年8月 29日(金)~31日(日)(姫路)にて発表予定
- Tanahashi Y, Kubota K, Nomura T, Ikeda T, Kutsuna M, Funayama S, Kobayashi T, Ozaki K, Ichikawa S, Goshima S: Improved vascular depiction and image quality through deep learning reconstruction of CT hepatic arteriography during transcatheter arterial chemoembolization. Jpn J Radiol. 1243–1254, 42(11), 2024.
- 4. Ozaki K, Ohtani T, Ishida T, Takahashi K, Ishida S, Kutsuna M, Kubota K, Funayama S, Tanahashi Y, Ichikawa S, Goshima S: Hepatic extracellular volume fraction obtained by dual-energy CT: a comparison of 3 and 5 minute delayed phases and correlation with clinical data. Br J Radiol. 2025 Apr 12, in press.
- Miyake K, Ozaki K, Maehigashi A, Yamada S: Adjusting Doctor's Reliance on AI Through Labeling for Training Data and Modification of AI Output in a Muscle Tissue Detection Taske. 837– 844, 2025
- Komura K, <u>Ozaki K</u>, Yamada S: Robot can reduce superior's dominance in group discussions with human social hierarchy. Proceedings of the 12th International Conference on Human-Agent Interaction 242-249, 2024.

# 実現場での階段昇降時動作データに基づいた転倒を検知するための 機械学習的アプローチ

#### 2241010



研究代表者 (助成金受領者) 共同研究者

豊田工業高等専門学校 一般学科 准教授 加藤貴英 豊田工業高等専門学校 早 坂 教 授 太一 情報工学科 愛知医科大学 医学部 川越 講 師 降 国立長寿医療研究センター 大須賀 洋 祐 副部長 フレイル研究部 豊田工業高等専門学校 校 長 山田陽滋

## [研究の目的]

加齢に伴い、転倒の頻度は増加する(WHO, newsroom "Falls", 2021)。今日の超高齢社会において、転倒による骨折や転倒後症候群(精神的なダメージ)は医療費と要介護者の増加に拍車をかけ、延いては我が国の経済的負担をさらに増幅させることとなる。この様な医療介護の負のスパイラルに歯止めをかけるためにも、科学的エビデンスに基づいた転倒検知システムを構築することは社会的にも重要な意義を持つ。事実、諸外国だけでなく我が国においても高齢者の身体機能データと転倒履歴(Hasegawa et al., 2023)や自己報告式問診票データ(Ikeda et al., 2022)を基に機械学習を用いた転倒診断モデルの検証が進められている。

転倒の発生率が高い場所の1つに階段があげられる。階段昇降時は、片足で踏み昇る動作と 片足で踏み降りる動作を左右交互に、かつバランスを保持しながら行わなければならない。また、視覚からの踏み位置情報を即座に、かつ自動的に処理して動作する必要がある。この様に歩行動作よりも複雑なメカニズムを持つ階段昇降動作の3次元解析は、転倒検知の観点から欠かせない課題である。しかしながら、解析機器 の仕組み上、屋外や実現場での階段昇降時の3 次元動作解析は寡少である。また、加齢に伴う 筋力やバランス能力の低下、視覚認知機能の低 下が転倒リスクの増加に起因していることから、 あらゆる世代の階段昇降時の動作データを収集 し、比較・検証する必要がある。

そこで、本研究では体力テストによる客観データと問診による主観データから見た転倒リスクに対する加齢の影響を検証するとともに、幅広い年齢層の階段昇降時の3次元動作データを収集して機械学習的アプローチによる解析を行い、階段昇降時の動作パターンの識別を行うことを目的とした。そのために60歳代(高齢者),40歳代(中年者),20歳代(若年者)を対象に形態計測と体力測定、および転倒に関する問診を実施した。さらに最新の9軸慣性センサ式モーションキャプチャーシステムを用いて実現場での階段昇降時の3次元動作データを収集し、動作パターンの識別を試みた。

# [研究の内容. 成果]

# 1. 研究参加者

本研究は、「ヘルシンキ宣言」および「人を 対象とする医学系研究に関する倫理指針」(文 部科学省,厚生労働省,経済産業省制定)を遵守し,豊田工業高等専門学校「ヒトを対象とする研究倫理審査」より承認を得て実施した。

参加者は、高齢者群 10 名 (65±3歳)、中年 者群 10 名 (45±2歳)、若年者群 12 名 (25±2歳)の計 32 名であった。研究参加者には事前 に実験によって生じる負担や予測されるリスク 等を口頭および書面にて説明し、研究参加者か ら同意書に署名を受けた。

# 2. 問診, 形態計測および体力テスト

研究参加者は、転倒ハイリスク者の発見のた めの問診(鳥羽ら, 2005)に回答した。この問 診は、「過去1年間に転んだことはありますか」、 「つまずくことはありますか」等、22の設問に 対し、「はい、いいえ」の2件法で回答するも のである。 問診後、 自動血圧計による安静時血 圧(収縮期,拡張期,脈拍),身長,体重,イ ンピーダンス法による体脂肪率の測定を行った。 その後,体力測定として握力,開眼片脚立ち, 5 m 歩行速度, Timed up and go test (TUG) を測定した。握力は立位姿勢で左右2回ずつ測 定し、それぞれ良い値の平均値を評価値とした。 開眼片脚立ちは2回計測し、平均値を評価値と した。ただし、180秒を上限とし、1回目で 180 秒に達した場合は評価値を 180 秒とした。 5 m 歩行速度は, 両端に 3 m の加速路と減速路, 計測区間を5mとした11m歩行を通常速度で 2回,最大努力で2回計測した。それぞれ平均 値を評価値とした。TUGは、背もたれにもた れた状態で椅子に座り、手は膝の上に置いた状 態を初期姿勢とした。最大努力速度で初期姿勢 から立ち上がって、3m 先に設置してあるコー ンでUターンし再び初期姿勢に戻るまでの時 間を2回計測し、平均値を評価値とした。

# 3. 階段昇降動作データ収集

研究代表者の所属先校内にある階段を利用した。研究参加者は、専用ストラップおよびアンダーラップテープを使用して身体 17 箇所(①

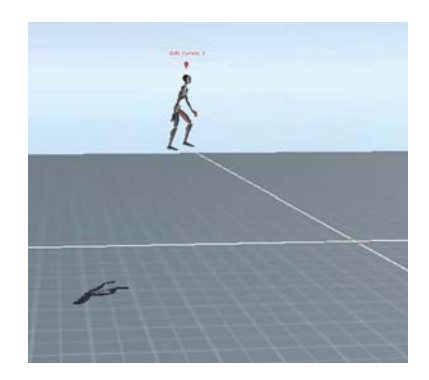
頭,②右肩,③右上腕,④右前腕,⑤右手,⑥左肩,⑦左上腕,⑧左前腕,⑨左手,⑩右大腿,⑪右下腿,⑫右足,⑬左大腿,⑭左下腿,⑮左足,⑯胸,⑰腰)に9軸慣性ワイヤレスセンサ(Movella 社製, Xsens MVN Awinda,通信距離 50 m, 出力レート 60 Hz)を装着した(画像 1)。

センサ装着後、キャリブレーションを行いセンサが良好状態であることを確認して計測を2回行った。研究参加者は校舎3階から4階までの階段を昇り、4階廊下でUターンした後、4階から3階まで階段を降りた。階段の段数は3階から途中の踊り場まで10段、同様に踊り場から4階まで10段であった。1段の高さは18cmであった。専用レシーバを介して階段昇降時のデータを取り込み、専用解析ソフトウェア(Movella 社製、Xsens MVN Analyze Pro)で1次処理を行った。得られた加速度・角速度・方位情報を3次元身体モデルに反映させ、数値データはCSVファイル形式で、3次元身体モデル動画はMPEG-4ファイル形式で保存した(画像2)。





画像1 センサ装着の様子



画像2 階段昇降動作中の3次元身体モデル

4. 機械学習手法

まず、動作識別の機械学習に利用できるオー プンデータセット (Anguita, et al. 2013, Human Activity Recognition Using Smartphones: HAR) を用いて歩行動作予測モデルを構築し た。HARデータセットでは、協力者が腰部に スマートフォンを着用し、3軸の加速度が50 Hzのサンプリング周波数で計測されている。 各データは、Walking, Upstairs, Downstairs, Sitting, Standing, Laying の 6 つの動作別に ラベリングされている。これらのセンサデータ を128点ごとに、50%のオーバーラップを設 けて抽出した。さらに、3軸の加速度を直列に 結合し、384次元のデータとすることで、学習 用およびテスト用データとした。機械学習は, Python 3.7, Scikit-learn 1.0.2 ライブラリを用 いた決定木 500 本のランダムフォレストによっ て行った。

HAR データセットのセンサデータについて、 構築した歩行動作予測モデルのテスト結果は、 全体の F1-score が 0.819 となったものの、動 きの小さい Sitting、Standing、および Laying では誤分類が多い結果となった(表 1)。し かしながら、本実験で取得したデータは、 Walking、Upstairs、Downstairs の動作が主で あるため、歩行動作予測に十分利用できると判 断した。

表1 推論モデルの学習結果

	Walk	Up	Down	Sit	Stand	Lay	F1-score
Walking	489	2	5	0	0	0	0.90
Upstairs	87	378	6	0	0	0	0.86
Downstairs	10	22	388	0	0	0	0.95
Sitting	0	2	0	279	177	33	0.61
Standing	3	0	0	71	441	17	0.75
Laying	0	0	0	71	26	440	0.86
全体							0.819

テストデータ: 2,947 件

# 5. 体力テストと問診から見た転倒リスクに対 する加齢の影響

高齢者群,中年者群,若年者群の身長,体重, BMI (Body Mass Index),体脂肪率を対応の 無い1元配置分散分析および Bonferroni 法に よる多重比較検定を行った結果,3群に有意差 はなかった。

次に、過去1年間に転倒したと回答した転倒群9名と転倒は無かったと回答した非転倒群23名に群分けした。そして、形態計測と体力測定データについて群間比較するために対応のないt検定を行った。結果、形態計測項目である身長、体重、BMI、体脂肪率は両群間で有意差はなかった。体力テスト項目については、転倒群において安静時収縮期血圧が有意に高く、開眼片脚立ち時間が有意に短かった(表 2)。

表 2 形態計測および体力測定データの比較

	転倒群 n=9	非転倒群 n=23	対応のないt判定
年齢(歳)	53±18*	40±15	t <sub>(30)</sub> =2.206, p=0.035, d=0.833
身長 (cm)	171.3±4.2	170.8±3.6	t <sub>(30)</sub> =0.398, p=0.693, d=0.151
体重 (kg)	$70.2 \pm 12.1$	71.0±11.6	t <sub>(30)</sub> =0.167, p=0.868, d=0.065
$BMI \; (kg/m^2)$	$24.0 \pm 4.6$	24.3±3.6	t <sub>(30)</sub> =0.204, p=0.840, d=0.075
体脂肪率 (%)	$20.9 \pm 9.7$	20.5±5.5	t <sub>(30)</sub> =0.124, p=0.902, d=0.043
収縮期血圧 (mmHg)	135.3±26.2*	$118.6 \pm 12.1$	t <sub>(30)</sub> =2.495, p=0.018, d=0.819
拡張期血圧 (mmHg)	84.4±19.4	74.7±9.0	t <sub>(30)</sub> =1.953, p=0.060, d=0.642
脈拍 (beats/min)	$72.7 \pm 14.2$	67.5±9.9	t <sub>(30)</sub> =1.179, p=0.248, d=0.424
握力 (kg)	39.2±5.3	40.3±6.0	t <sub>(30)</sub> =0.498, p=0.622, d=0.201
開眼片脚立ち (sec)	104.5±79.0*	158.2±48.4	t <sub>(30)</sub> =2.345, p=0.026, d=0.818
5 m 通常歩行速度 (sec/m)	0.72±0.12	0.68±0.08	t <sub>(30)</sub> =1.227, p=0.229, d=0.431
5 m 最大動力歩行速度 (sec/m)	0.43±0.09	0.41±0.07	t <sub>(30)</sub> =0.727, p=0.473, d=0.271
Timed up and go test (sec)	5.30±0.92	4.85±0.60	t <sub>(30)</sub> =1.672, p=0.105, d=0.592

平均值±標準偏差 \*p<0.05, 転倒群 vs. 非転倒群

問診結果については、転倒歴の有無および各質問項目の回答からクロス集計を行い、Pearsonのカイ2乗検定を行った。しかなしながら、期待度数が条件を満たしていなかったため、Fisherの直接法による確率値を確認した。結果、転倒歴と有意な関係性を示す質問項目は確認できなかった。

これらの結果から、過去1年間の転倒経験率は高齢になるほど高まることが明らかとなり、これまでどおりの見解と一致した(WHO、newsroom "Falls", 2021)。転倒経験率と体格との間に関係はみられなかった。そして、転倒経験者は安静時の血圧が高く、バランス能力が衰えていることも確認できた。一方、問診デー

夕間に統計的有意性を示す結果は得られなかったため、今後の研究ではさらなる検証を目的とした追加実験が必要である。

# 6. 機械学習的アプローチによる階段昇降動作 パターンの識別

構築した歩行動作予測モデルについて,9軸 慣性センサ式モーションキャプチャーシステム によって収集したデータにおける腰部の3軸加 速度のみを抽出し,予測を行った。これは, HAR データセットが腰部にスマートフォンを 着用して3軸加速度を計測していることから, 1箇所のセンサで動作パターンの識別が可能で あるかを確認するためであった。

図1に高齢者,図2に中年者,図3に若年者, それぞれ動作パターン識別の推定結果の代表例

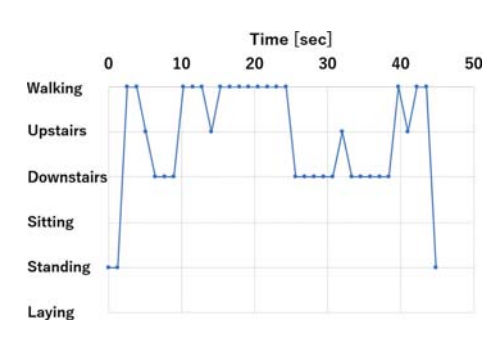


図1 高齢者群参加者 A の動作パターン識別

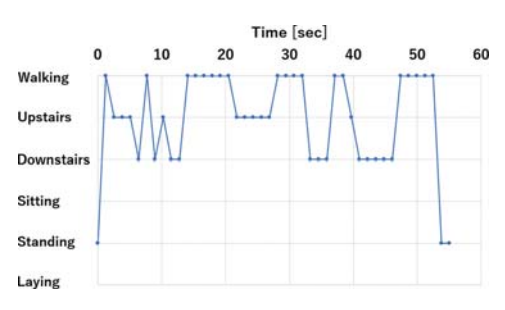


図2 中年者群参加者 B の動作パターン識別

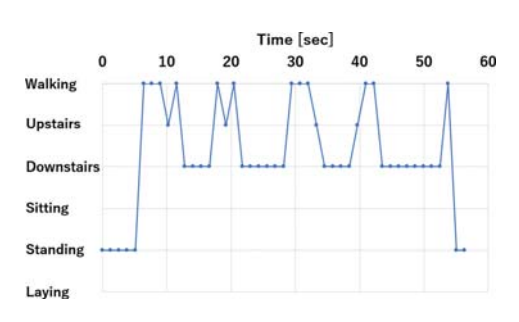


図3 若年者群参加者 C の動作パターン識別

を示す。機械学習に用いたデータは、19 歳から 48 歳までの 30 名の協力者のものであったが、本実験においては、そうした年代に含まれない高齢者群( $61\sim71$  歳)の参加者に対するWalking、Upstairs、Downstairs 状態の推定結果が比較的良好であった。

推定結果により参加者を2群に分け、各質問項目の回答からクロス集計を行い、Fisher の直接法による確率値を確認したが、有意な関係性を示す質問項目は確認できなかった。本研究における機械学習的アプローチによって、中年者および若年者のデータから構築されたモデルにより、高齢者の動作をある程度予測できることがわかった。しかしながら、腰部の3軸加速度データのみでは、問診および形態計測データや体力テスト結果との連関を見出すことはできなかった。今後は、他の16箇所のセンサデータや、それらの中の角速度および地磁気データを参照することで、動作パターンのさらなる予測精度向上を目指すとともに、転倒リスクの有無を判別できるモデルの構築に繋げていく。

#### [謝 辞]

本研究の実施にあたり、公益財団法人立石科学技術 振興財団から格別のご支援を賜りましたことに、心よ り感謝申し上げます。また、機械学習的アプローチに 多大なるご協力をいただいた豊田工業高等専門学校専 攻科情報科学専攻修了生の山田活樹さん、ならびに現 専攻科生の川原遼介さんには、深く感謝の意を表しま す。

# [参考文献]

- ・World Health Organization, newsroom "Falls", 2021. https://www.who.int/news-room/fact-sheet s/detail/falls/(最終アクセス日:2025年5月26日)
- Hasegawa S, Mizokami F, Kameya Y, Hayakawa Y, Watanabe T, Matsui Y. Machine learning versus binomial logistic regression analysis for fall risk based on SPPB scores in older adult outpatients. Digit Health. 2023, 11; 9: 20552076231219438.
- Ikeda T, Cooray U, Hariyama M, Aida J, Kondo K, Murakami M, Osaka K. An Interpretable Machine Learning Approach to Predict Fall Risk Among

Community-Dwelling Older Adults: a Three-Year Longitudinal Study. J Gen Intern Med. 2022, 37(11): 2727–2735.

- · 鳥羽研二, 大河内二郎, 高橋泰, 松林公蔵, 西永正 典, 山田思鶴, 高橋龍太郎, 西島令子, 小林義雄, 町田綾子, 秋下雅弘, 佐々木英忠. 転倒リスク予測 のための「転倒スコア」の開発と妥当性の検証. 日 本老年医学会雑誌, 2005, 42(3): 346-352.
- · Anguita D, Ghio A, Oneto L, Parra X, Reyes-Ortiz JL. A Public Domain Dataset for Human Activity Recognition using Smartphones, Proceedings of

European Symposium on Artificial Neural Networks, Computational Intelligence and Machine Learning, 2013, pp. 437–442.

# [成果の発表, 論文など]

・加藤貴英、早坂太一、近藤雅哉、川越隆、大須賀洋祐、体力テストによる客観データと問診による主観 データから見た転倒リスクに対する加齢の影響. 日本体育・スポーツ・健康学会第75回大会. 2025年 8月(発表予定)

# バーチャルリアリティ空間における脅威刺激認知の 脳波による定量評価

2221009



研究代表者 国立研究開発法人 産業技術総合研究所

主任研究員 金山範明

# [研究の目的]

近年バーチャルリアリティ(以下 VR)技術 が進展し、我々は実空間ではできない様々な体 験をすることができるようになった。しかしな がらその体験は、時には危険なこともある。例 えば VR 上でギロチンを体験すると実際に体が 麻痺する報告などがあり、やみくもに VR 体験 を行うことで人体に悪影響が出る可能性が否め ない。人間にとって、VR という新しい技術を 適切な形で活用していくためには、VR上での 体験が実身体にどの程度の影響を与えるかの基 礎的なデータが必要である。これを、脳波を用 いて明らかにすることで、主観報告だけではな く、脳生理反応からその影響を客観的に示すこ とができる技術を開発する。これにより、VR 技術の適切な活動についてのガイドラインを作 る一助としたい。

上記の目的を達成するためには、VR空間上に提示された身体(アバター)に何らかの刺激を与え、その刺激が生体反応においてどのように評価されているかを計測する必要がある。頭皮上脳波には、侵害刺激に対して反応する脳波成分があることが分かっており、刺激が生体にとってどれほど脅威かを定量的に図ることができる。本研究課題では脳波成分の大きさが、VR空間上の侵害刺激の視覚的な提示によってどのように調節を受けるのかを明らかすることを目的とした。しかし VR 映像を閲覧する場合、VR 映像の解像度は現実空間とは大きく異なり、

その質が VR シーンへの十分な没入を妨げている可能性がある。本検討では、VR 環境における疑似痛覚を検討するのに、どの程度の解像度が必要かという技術的課題をクリアしたうえで、侵害刺激が惹起する脳波成分の計測を行い、主観的な侵害度合いを定量的に明らかにする。

## [研究の内容,成果]

# 1) VR 刺激を利用した脳波計測

VR シーン中に呈示される刺激に対する脳反 応を計測する試みはさまざま行われている。申 請者の先行研究においては、ヘッドマウント ディスプレイ (Head-Mounted Display: HMD) を装着し、VR 空間に自身の身体を提示した場 合. その身体モデルに対しての接触を示す視覚 的情報と, 実際の自分の身体に対する接触であ る体性感覚的情報が時空間的に一致していると 高い身体所有感・臨場感を感じることが明らか にされた (Kanayama et al., 2021)。しかしな がら、HMDの解像度は実空間に比べて低く、 疑似痛覚を感じるレベルに十分かは不明である。 本研究では、目的の実験に入る前に、十分な没 入感を担保する解像度を明らかにするため、ま た解像度を変更した際に実空間と脳活動が大き く異なってしまわないか確認するための検証実 験を行い、「VR上の手のモデルに対する身体 所有感が VR 解像度により変化するのか」(研 究1)、「その際の脳情報処理は解像度によって 変わるか | (研究 2) という点について検証を

行った。

# 2) 【研究 1】VR 刺激の解像度が身体所有感に 与える影響

VR 刺激呈示を行う HMD の解像度は、公表 されているものといないものがある上. レン ズ形状等複雑な要因で変化するため、正確な 数値については明らかではないが、 先行研 究(Kanayama et al., 2021)で使用したもの が約 10 PPD, 当時のコンシューマモデルとし てポピュラーな Meta Quest2 で約 20 PPD と, ヒトの肉眼に対して非常に低い。先行研究 (Kanayama et al., 2021) で得られた実環境と VR 環境における脳情報処理および主観的体験 の違いは解像度に起因する可能性がある。これ に対して本研究では中心視野 (27x27 degree) に限定して人の肉眼で実環境を見る際と同等の PPD を提示可能な Varjo XR3 を用いて、ヒト の多感覚情報処理に影響する主観的な体験に関 する評定が解像度に依存してどの程度変化する のか検討した。

方法 21 名の参加者を募集し、女性 9 名、男性 12 名(平均年齢 25.43 歳、標準偏差 4.50)が参加した。参加者は全員、眼鏡またはコンタクトレンズによる視力矯正後、または矯正なしに正常視力を有し、右利きで、神経学的または精神医学的疾患の既往歴はなかった。本実験は、倫理審査番号「人 2023-0877」の計画に基づいて実施され、すべての参加者は自らの意思で実験参加に同意し、同意書に署名した。

実験参加者が実験中に閲覧した VR 空間内のシーンは、低解像度の VR 空間(約 30 PPD 程度)、高解像度の VR 空間(約 70 PPD 程度)、パススルーによる実空間のビデオ映像の 3 種類であった(図 1)。それぞれのシーンにおける実験を、1 セッションずつ行った。各セッションでは、視覚刺激と触覚刺激の空間的位置が一致するブロックと不一致になるブロックが交互に2回ずつ提示された。これらの順序はカウン

# Low resolution



# High resolution



図1 実験で使用した映像の解像度の異なり

ターバランスが取られていた。各ブロックは 60 試行で構成され、各試行は50ミリ秒の刺激 提示期間、550ミリ秒の反応受付期間、および 1600~2000ミリ秒の試行間隔で構成されてい た。参加者は、提示された振動による触覚刺激 が人差し指に感じられたか薬指に感じられたか を、ボタンを押して示すように教示された。こ の間、目の前のタスクとは無関係であり触覚に 基づいてのみ押すボタンを判断するように伝え られたうえで、人差指と薬指の先端背面に取り 付けられた点滅するLED(VR の場合それに 似せた球体)の発光を見ているように指示され た。

実験参加者は、各ブロックの終了後、ラバー ハンド錯覚に関する主観的な感覚を口頭で報告 した。実験参加者は、錯覚体験の強さを1から 100の尺度で評価した。1は錯覚が全くないこ と、100 は最も強い錯覚があることを示すこと とした。質問項目は5つでそれぞれ、項目1 「ラバーハンドがまるで自分の手のように感じ た」、項目2「LEDの光が自分の手の位置で 光っているように感じた」、項目3「振動がラ バーハンドの位置で起こっているように感じ た」項目4「自分の手がラバーハンドの位置に あるように感じた | 項目 5 「自分の手がゴムっ ぽくなったように感じた」であった。項目1-4 で、どの程度 VR 上の偽の手を自分の手だと 思ったかに関する評価を行い、項目5は統制と してのダミー項目として用いた。

結果 統計的検定として、ウィルコクソンの符号順位検定を採用し、p 値は FDR 法を用いて補正した。身体所有感に関わる項目 1 と 4 では、すべての VR シーンにおいて、一致した視触覚

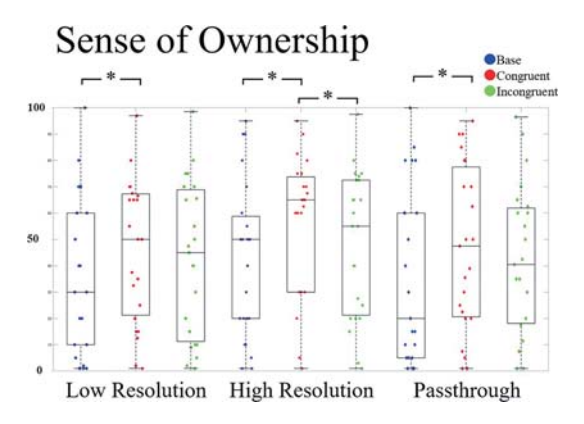


図2 項目1の質問に対する条件ごとの評価値

刺激後に刺激前に比べて身体所有感に関する錯覚の強度が有意に増加した(p<.05;図2)。項目5では、VRシーン閲覧条件において、有意な実験刺激による効果が見られなかったため、項目1と4にみられた効果が要求特性によるものではないことが示唆された。不一致な視触覚刺激条件では、いずれのシーンにおいても実験刺激による有意な身体所有感の変化は観察されなかった。

考察 本検討の結果,解像度が低い条件であっても,解像度の高い条件と同様に,視触覚刺激の空間的に一致した刺激の呈示をアバターの手と自身の手に呈示することで,あたかも VR 上のアバターの手を自分の手であると感じさせる効果が表れることが明らかになった。

# 3) 【研究 2】VR 解像度が頭皮上脳波に与える 影響

研究1で明らかになった解像度による主観的な感覚の異なりに対し、その際の脳反応がどのように異なるかを明らかにするため、研究1の実験セッティングにおいて頭皮上脳波を計測した。既に同様のセッティングで頭皮上脳波を計測した先行研究の知見と比較し、解像度により脳情報処理の異なりが現れるかどうか確認した。

方法 32名の参加者を募集し, 男女 16名ずつ (平均年齢 25.03歳. 標準偏差 4.10) が参加し た。参加者は全員、眼鏡またはコンタクトレンズによる正常視力または矯正視力を有し、右利きで、神経疾患または精神疾患の既往歴はなかった。本実験は、倫理審査番号「人 2023-0877」の計画に基づいて実施され、すべての参加者は自らの意思で実験参加に同意し、同意書に署名した。

実験セッティングについては研究 1 と同様で、課題中に、頭皮上脳波を取得した。基準電極は Cz に、接地電極は Fpz に配置した。サンプリングレートは 1000 Hz、記録波形はハードウェアフィルタでフィルタリングされ、低周波カットオフは 0.016 Hz、時定数は 10 秒であった。各電極のインピーダンスは少なくとも 20 k $\Omega$ 未満、典型的には 10 k $\Omega$  未満に維持した。

頭皮上脳波解析 EEGLAB v14 1 1b31, 32, Matlab R2018a (Math-Works, Natick, MA, USA) を使用し、記録された波形に、1 Hz の デジタルハイパスフィルタ, 50 Hz と 100 Hz でクリーンラインプラグインが使用された。次 に、データはセグメントに分けられた。セグメ ントのゼロ時点は、視覚触覚刺激の開始(0 ms) と定義され、セグメントの範囲は刺激の 開始に対して -600~1200 ミリ秒であった。独 立成分分析 (Independent Component Analysis; ICA) により、各参加者 63 個の独立成分 (IC) が取得された。これらの IC に対してダイポー ル推定が行われた。得られたすべての IC のう ち、ダイポール推定時の残差分散が15%以下 である IC のみ選択し、k 平均法を用いてクラ スタリングした。各 IC の波形の周波数ごとの パワー値は、刺激後 -100~800 ms および 3~ 60 Hz で、Morlet Wavelet を用いて計算され、 時間周波数マップを可視化した。刺激前50~ 300 ms のパワー値をベースラインとして計算 し、刺激後データをデシベルに変換するために 使用した。前頭葉クラスタと頭頂葉クラスタの 2つのクラスタについて、一致/不一致条件間 の ERSP の差をクラスタ補正を使用したモン

テカルロパーミュテーション法にて統計検定を 行った。

結果 一致条件と不一致条件の間には、頭頂葉 クラスタにおけるガンマ/シータ帯域のパワー において統計的に有意な差が認められた(図 3)。特に、先行研究(kanayama et al., 2007; 2021)では  $200\sim400~\mathrm{ms}$  の間に認められたガンマ帯域のパワー差は、 $\mathrm{VR}$  シーン閲覧条件では時間的に遅れて認められた。

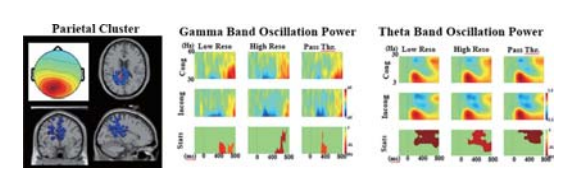


図3 感覚間統合を起こし、VR 上の自己身体モデルへの 投影を引き起こすと考えられる頭皮上脳波成分

考察 VR シーンにおいて自分の身体がそこにあると感じる没入感に関連する情報処理を反映すると考えられる脳波成分の計測を試みたところ,先行研究と同様の反応が少し時間的に遅れて出現することがわかった。またこの成分については,解像度を変化させても大きな変化はみられず,映像の解像度に依存しない可能性が高いことが明らかになった。これらの知見から,侵害刺激を用いた実験も,一般に利用されている特別な高解像度出力を持たないコンシューマモデルを用いて検討しても問題ないことが示唆された。

# 4) VR 環境における疑似侵害刺激が惹起する 脳波成分の検討

研究1および研究2によって確認した解像度の影響はほとんどないものと考えられることから、特殊な装置ではなく一般によく出回っている機器で、疑似侵害刺激の影響を検討しても、解像度によって臨場感が損なわれたために得られた結果が評価できない可能性は非常に低いことがわかった。よってここではちょうど一般に販売され普及し始めている Meta Quest 3 を対象の HMD (25PPD) とした。

方法 25名の参加者を募集し、女性10名、男性15名(平均年齢25.04歳、標準偏差6.17)が参加した。参加者は全員、眼鏡またはコンタクトレンズによる視力矯正後、または正常視力を有し、右利きで、神経学的または精神医学的疾患の既往歴はなかった。本実験は、倫理審査番号「ヒ2023-529」の計画に基づいて実施され、すべての参加者は自らの意思で実験参加に同意し、同意書に署名した。

実験は研究2と同等で、LEDの明滅の代わりに注射器のオブジェクトの針部分が、VRシーン中の自身の手にあたるハンドモデルにささる映像に代わったのみであった。視覚刺激と触覚刺激の空間的位置が一致するブロックと不一致になるブロック、また注射器が動かず振動だけ起こる触覚のみ条件、注射器が動くが振動が来ない視覚のみ条件の4条件が、ランダムに提示され、提示順はカウンターバランスが取られていた。参加者は、提示された振動による触覚刺激が人差し指に感じられたか薬指に感じられたかを、ボタンを押して示すように教示された。視覚のみ条件では、動いた注射針をボタン押しで回答した。

実験参加者は、各ブロックの終了後、ラバーハンド錯覚(RHI)に関する主観的な感覚を口頭で報告した。実験参加者は、錯覚体験の強さを1から100の尺度で評価した。質問項目は5つでそれぞれ、項目1「ラバーハンドがまるで自分の手のように感じた」、項目2「注射針がラバーハンドに刺さるとき痛いように感じた」、項目3「注射針がラバーハンドに刺さるとき不快だった」項目4「自分の手がラバーハンドの位置にあるように感じた」項目5「自分の手がゴムっぽくなったように感じた」であった。項目1で、どの程度 VR 上の偽の手を自分の手だと思ったかに関する評価を行い、項目2-3で疑似痛み感覚が起こるかを検討した。

また同時に脳波計測を行った,測定条件,解析は研究2と同様であった。

**結果** 研究1と同様の統計検定を用い、各項目 の条件差を確認した。結果項目1では、刺激前 に比べ視触覚刺激の空間的位置が一致している 条件でのみ、錯覚強度が刺激後に高まった (p<.01)。このことは、侵害刺激を想起させる 映像においても、視触覚刺激の空間的一致によ る統合処理が、自分が VR の中におり、 VR の 中のハンドモデルが自分の手のように感じると いう没入感を惹起することがわかった。項目2 および3については、一致条件と不一致条件の 差が統計的に有意となり、一致条件においてよ り侵害感覚を疑似的に感じることが明らかに なった (p<.01)。また頭皮上脳波においては, 直接的に体性感覚野に対応するクラスタが得ら れなかったが、頭頂連合野クラスタにおいて、 条件の差が有意に見られ、一致条件で最も反応 が大きくなった(図4)。

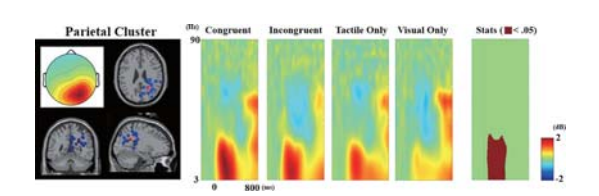


図4 最も疑似痛覚の高かった一致条件でもっとも高まる 感覚関連脳波成分

考察 項目1における VR上のハンドモデル「がまるで自分の手のように感じた」という錯覚が、先行研究や研究1と同様に、空間的一致条件で見られたことは、侵害刺激の臨場感が高まっていることを示している。平均値はちょうど研究1の低解像度条件と同等であり、身体所有感に関する錯覚が再現された。さらに侵害刺激感覚についての項目2も空間的に一致していることで高まることがわかった。これは、VR上の自身のアバターを傷つける体験をする場合、感覚位置情報が適切であるほど、その強度が高まる可能性を示唆している。一方で不快感を洗わず項目3の数値は同様に、一致条件で高まる

ものの、100点中平均で16.5点と非常に低く、 ゼロ点も半数近くいたことを考えると、問題に ならないレベルといえそうだ。頭皮上脳波計測 においても、そもそも侵害刺激に対応すると考 えられる部位に信号源を持つ反応は観測されず、 その解釈を担うと考えられる部位で条件差が見 られたことも直ちに危険の及ばない範囲での臨 場感にとどまっている可能性を示唆している。

結論 VR上での侵害刺激の臨場感を挙げることで、痛みの疑似的な感覚を強めることができる可能性が示されたが、不快感は低く、健康を害さない適切な範囲での刺激にとどめることが十分にできることが示唆された。

#### [成果の発表, 論文など]

- N. Kanayama, N. Morishita, Y. Sobue, M. Hara Previous virtual reality experiences impact cortical oscillations during rubber hand illusion in virtual reality environment. 21st World Congress of Psychophysiology, 2023. 6. 26 Geneve.
- N. Kanayama, M. Miyakoshi, M. Machizawa (2023). Evaluation of neural response recorded using scalp EEG in virtual reality environment. 2023 APSIPA ASC (IEEE Xplorer)
- N. Kanayama, N. Morishita, Y. Sobue, M. Hara Impact of visual resolution in VR scene on the sense of body ownership. 27th Association for the Scientific Study of Consciousness 2024. 2024. 7. 2 Tokyo.
- 金山範明・守下奈那・祖父江祐太・原正之 VR 経験が VR 空間上の身体認知に及ぼす影響。日本心理学会第88回大会、2024.9.6 (熊本城ホール)
- N. Kanayama, N. Morishita, Y. Sobue, M. Hara EEG responses to visuo-tactile stimulation around body in high-resolution VR scene. Neuroscience 2024. 10. 6 Chicago, USA
- N. Kanayama, A. Imai, T. Tsuchimochi, N Morishita, Y. Sobue, M. Hara Neural Correlates Correlations of Vicarious Pain Induced by Nociceptive Stimulation Presented on Virtual Avatar. 28th Association for the Scientific Study of Consciousness 2025, 2025. 7.6 Crete, Grece

# 基盤モデルに基づく手話対話システムの構築

#### 2241011



研究代表者 (助成金受領者) 共同研究者 
 東京科学大学
 (旧:東京工業大学)

 東京科学大学
 教授

 中臺一博

 東京科学大学
 教授

 田中正行

 東京科学大学

 准教授

 船越

# [研究の目的]

日本には約6万から7万人の手話ユーザーがおり、彼らへの技術的な支援の充実が求められている。本助成では、基盤モデルを活用して手話の解析を行い、言語的理解を深めることで、手話を用いる方々をサポートする対話システムの構築に向けた基礎技術の確立を目指す。

手話は、主に聴覚障がい者同士や聴覚障がい者とのコミュニケーション手段として発達し、音声言語とは異なる言語体系を持つ自然言語である。手話は聴覚障がい者がありのままで自由にコミュニケーションができる手段であり、聴覚障がいがある子どもの言語的・社会的発達にも重要な役割を果たすため、できるだけ早期での習得が推奨されている。一方で、手話を話せる(健聴)者は限られているため、たとえば、教育現場や公的機関、道案内など手話が必要とされる場面で、工学的技術がサポートできる部分は大きい。ろう学校の減少に伴い日本手話は消滅の危機にあり、環境整備が急務である。

手話認識は主に自然言語処理よりも画像認識の分野で発展してきたが、これまではグロスという手話セグメント(手話における単語に相当)の認識が主であり、手話ビデオからテキストへの対訳がついたコーパスはドイツ手話やアメリカ手話などの小規模なものに限られていた。

コーパスが小規模なほど翻訳性能が低くなる傾向にあるが、手話データセットで大規模なものは少なく、事前知識を活用しなければ翻訳の性能を実用段階に近づけられない。

そこで、本研究では、手話のコーパス不足を 基盤モデル(主に大規模言語モデル)の知識を 活用することで補い、手話と音声言語間の変換 における基盤技術の構築を目指す。大規模言語 モデルのメカニズムの理解は研究の途上である が、ある程度言語の意味空間を獲得していると 考えられ、意味空間を介したテキスト空間と手 話の相互変換が学習しやすくなると予想される。

# [研究の内容,成果]

# 手話研究に関する文献調査

手話翻訳,手話生成,および,それらにおける基盤モデルの活用について,現時点での課題を明確化するため,大規模な文献調査を行った。結果を調査論文としてまとめ,出版した[成果1]。論文の特色は,手話の単語認識,翻訳,生成について網羅的に調査している点と,基盤モデルを用いた研究に関する章を設けている点の二点である。

主な知見として、非言語的な手がかりを捉え きれないグロス(単語的)アプローチの限界や、 データセット間の大きなばらつきが、頑健な SLP (Sign Language Production) システムの 開発を妨げていることを示した。さらに、評価 指標の一貫性がないことを指摘し、手話と言語 の両方の特性を考慮した標準化アプローチの必 要性を強調した。最後に、既存のデータセット について、その関連性と手話研究を進展させる 可能性を評価した。

大規模言語モデルについては、BERT-style と GPT-style の二種類のアーキテクチャについて調査し長短を論じた。また、言語モデルを利用するものが主流であるが、大規模視覚言語モデルなどマルチモーダルなモデルの利用の可能性についても議論した。手話生成では言語モデルを利用したものはまだ事例がないことから、一般的な動作生成やビデオ生成について調査し、方法論についてまとめた。

## 大規模言語モデルを用いた手話生成

手話研究の調査 [成果1] から,手話翻訳と 手話生成が独立して研究されていることや,手 話生成は手話翻訳に比べて半分以下の研究事例 しかないことが判明した。一方で,相互翻訳の ためには手話生成に取り組む必要がある。そこ で,大規模言語モデル (LLM) を用いた手話 生成に取り組んだ。成果は [成果2] として発 表予定である。内容を以下に示す。

これまでの手話生成はグロスを用いるのが一般的であるが、グロスと手話表現が一対一対応でないことから、グロスの正確さに性能が律速されてしまう。また、動作生成では動作を表現するトークンをLLMに推論させ、そのトークンを別のデコーダで動作に変換させるアプローチが性能がよいが[成果1]、どのように手話動作のトークンを学習すればよいかは自明でない。また、1~2Tパラメータ規模のLLMはある程度の手話知識を有していることが事前調査から分かっていたが、これの手話生成への活用は著者らの知る限り試験されていなかった。

そこで、LLM が持つ手話知識と強力な推論 能力を活用する手話生成手法 Teach Me Sign (TEAM-Sign)を提案した [成果 2]。TEAM-Sign は、LLM を活用し、自己回帰的に手話ポーズ列を生成する。具体的には、1~2Tパラメータ規模の大規模 LLM (GPT-4o) にプロンプトを与えて、補助シーケンスを生成させる。これを追加学習する数 B パラメータ規模の LLM に補助的に与え、手話とポーズ列の組からなる訓練データから教師あり学習を行う。グロスは用いずにテキストから直接手話を生成するアプローチを選択する。

補助シーケンスには、手話の語順や各単語を表現するのにかかる時間といった情報が含まれており、追加学習用 LLM に正確なステップを教える役割を果たす。手話トークンは、VQVAE (Vector-Quantized Variational Auto Encoder)を用いて、ポーズの再構成を学習させることで獲得する。VQVAE によるトークン学習は動作生成の既存研究に倣っている。

図1に手法の概要を示す。事前に、動画から抽出されたポーズ列の再構成を VQVAE で学習しておき、ポーズからトークンのコードを生成するエンコーダ  $(z_e)$ 、および、コードからポーズを生成するデコーダ  $(z_d)$  を得ておく。追加学習 LLM(図1の LLaMA)への入力は、翻訳テキスト(図1の Text 部分)、補助シーケンス(図1の Assistance 部分)、プロンプト(You are a sign language expert. Generate a sequence of number tokens to express the following sentence in {American/German} sign language.)、の三つである。

追加学習用 LLM は、正解ポーズ列に対応するコードを予測するように交差エントロピー (CE) 損失で学習を行う。学習には LoRA (Low-rank adaptation)を用い、LLM の重みを凍結させつつ、全体の数%程度の学習可能パラメータを追加してそれのみを学習させることで学習を効率化する。この学習の際は、VQVAE のエンコーダ、デコーダ、コードは凍結されている。

Phoenix14T (ドイツ手話), および, How2Sign

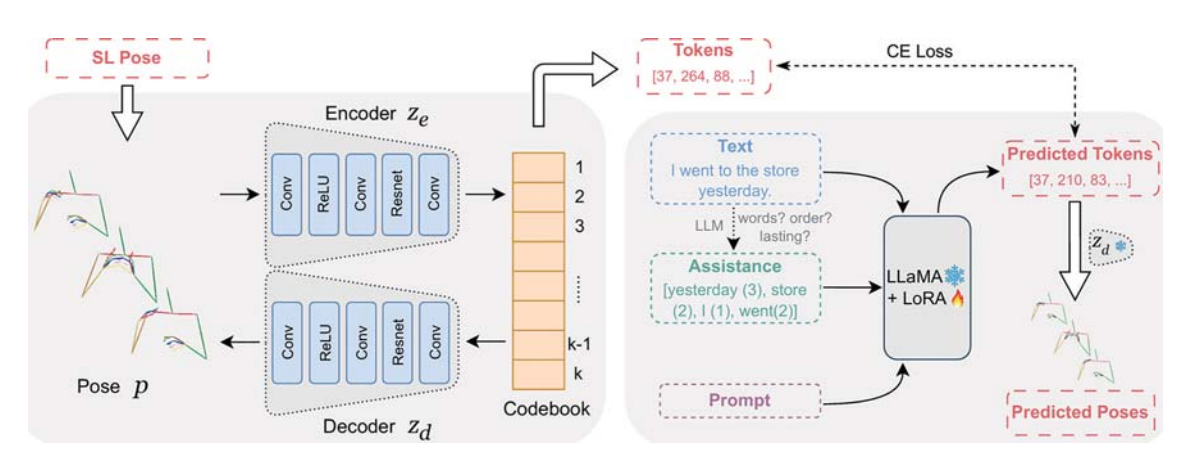


図1 LLM を活用した手話生成手法の概要

Table 1 Quantitative results on Phoenix14T dataset

	DTW-MJE	BLEU-1	BLEU-2	BLEU-3	BLEU-4
PT (w/o data augmentation)	0.1383	9.583	3.787	1.642	0.692
PT	0.1276	11.388	5.782	3.569	2.077
Proposed - LLaMA3 (w/o assistance)	0.1204	12.861	6.105	3.719	2.636
Proposed - LLaMA3	0.1056	13.366	6.462	4.239	3.151
Proposed - Qwen2 (w/o assistance)	0.1051	12.950	6.129	3.865	2.813
Proposed - Qwen2	0.1038	13.022	6.131	4.136	3.107
Groundtruth	0.0000	30.730	20.995	15.522	12.298

Table 2 Quantitative results on How2Sign dataset

	DTW-MJE	BLEU-1	BLEU-2	BLEU-3	BLEU-4
PT (w/o data augmentation)	0.1905	4.609	2.351	1.108	0.561
PT	0.1733	5.490	2.744	1.262	0.628
Proposed - LLaMA3 (w/o assistance)	0.1406	9.963	5.044	2.476	1.058
Proposed - LLaMA3	0.1371	10.419	5.264	2.348	1.116
Proposed - Qwen2 (w/o assistance)	0.1422	9.971	5.041	2.329	1.097
Proposed - Qwen2	0.1397	10.532	5.278	2.415	1.140
Groundtruth	0.0000	11.230	5.469	2.500	1.228

(アメリカ手話)という二つのデータセットで定量評価を行った。先行研究に倣い、DTW-MJE、BLUE-nを評価指標として用いた。前者は、二つの時系列をできる限り揃えたあとに、真値のポーズとの関節間の差の総和を計算する。BLUE-nは生成したポーズを機械翻訳に通し、翻訳された文章の正確さを評価する。生成したポーズ列を翻訳するモデルが公開されていなかったため、これも著者らで実装した。すべてのコードは研究室のウェブサイトで公開予定である。

定量評価の結果を Table 1, および Table 2 に示す。PT (Progressive Transformer) の行は先行研究の結果を示しており、提案法では.

追加学習 LLM に LLaMA3 を用いた場合, Qwen2 を用いた場合の双方で、PT を上回る 結果を得た。図 2 は、Phoenix14T と How2Sign での定性評価を示す。視覚的にも、提案法の方 が、PT よりも真値の動きに近い。

一方で、翻訳結果のBLUE-nスコアはBLUE-4で最大で3程度であり、実用には不足している。これは、翻訳機の性能によるところもあるが、データセットの性能によって指の表現の正確さが不足している点や、表情が利用できない点も起因している。今後、学習をより大規模化させる必要がある。



Der Donnerstag wird dann richtig krass, da erwarten wir Unwetter in Deutschland und große Temperaturunterschiede, sechs bis zwanzig Grad (Thursday is going to be very intense and we expect bad weather in Germany with a big temperature difference between 6 and 20 degrees.)

What you're going to do is you're going to take both your arms and they're going to come underneath your legs.

図 2 Phoenix14T (左) と How2Sign (右) データセットにおける定性評価

# その他周辺技術の確立

多言語手話翻訳において、Sign2 (LID+Text) という新しい多言語グロスフリーモデルを提案した [成果 5]。トークンレベルの手話言語識別 (Sign2LID) と手話からテキストへの CTC アラインメント (Sign2Text) を組み合わせることで、異なる手話言語間の衝突やアラインメントの困難さを克服している。このモデルは、一対一、多対一、多対多の様々な翻訳シナリオをサポートし、10 種類の手話言語に対応している。

Table 3 に示す通り、Phoenix14T、CSL-Daily で既存の SOTA 手法を上回る性能を示した。また、SP-10 では SOTA 手法に匹敵する

性能を示した。この研究は統一された手話基盤 モデルの構築に向けた重要な一歩と位置づけら れる。

[成果 5]は、CTC アラインメント[成果 6]に関する知見が活かされている。[成果 6]では、手話ビデオと音声言語間のアラインメントを CTC と Attention の組み合わせによって達成する。CTC と Attention の利用は、一般的な機械翻訳からヒントを得ている。具体的には、エンコーディングの際、グロスの CTC 損失をエンコーダの出力で計算し、テキストの CTC 損失をテキストに翻訳するためのエンコーダの出力で再度計算する。このように段階的に CTC 損失を計算することで、手話における異

Table 3 Experimental results on PHOENIX14T and CSL-Daily dataset for gloss-free SLT (one-to-one SLT)

	PHOENIX14T				CSL-Daily			
Methods	Dev		Test		Dev		Test	
	BLEU	ROUGE	BLEU	ROUGE	BLEU	ROUGE	BLEU	ROUGE
Gloss-free								
NSLT+Luong ( <u>Camgoz et al., 2018</u> )	10.00	32.60	9.00	30.70	7.96	34.28	7.56	34.54
CSGCR (Zhao et al., 2022)	15.08	38.96	15.18	38.85	_	_	_	_
GFSLT-VLP (Zhou et al., 2023)	22.12	43.72	21.44	42.49	11.07	36.07	11.00	36.44
Sign2GPT (Wong et al., 2024)	_	_	22.52	48.90	_	_	15.40	42.36
Fla-LLM (Chen et al., 2024)	_	_	23.09	45.27	_	_	14.20	37.25
SignLLM (Gong et al., 2024)	25.25	47.23	23.40	44.49	12.23	39.18	15.73	39.91
Baseline	22.59	49.88	22.52	49.85	12.23	36.39	11.76	36.25
Ours w TxtCTC	24.18	51.74	24.23	50.60	13.66	39.33	14.18	40.00

なる長さの単語や語順の変更に対応できる。定量評価では、特に CSL-Daily で高い性能を示し、SOTA を達成した。

ほかにも、手話翻訳のためのデータ拡張 [成果7]、手話生成における、Multimodal Gated Attention の利用 [成果10] や、実時間で手話生成を行う手法 [成果9]、動きのフレーム補間を行う手法 [成果4]を開発した。ろう者を招いて、会話のデータ撮影も行い、データセット構築の準備を進めている。学習における基礎技術としては、損失関数が平坦である局所解を探すオプティマイザ向けの交差エントロピー損失を代替する損失関数を提案した「成果11]。

#### [成果の発表, 論文など]

- [1] Tan, S., Khan, N., An, Z., Ando, Y., Kawakami, R., & Nakadai, K. (2024). A Review of Deep Learningbased Approaches to Sign Language Processing. Advanced Robotics, 38 (23), 1649–1667
- [2] An, Z. Kawakami, R. (2025). Teach Me Sign: Stepwise Prompting LLM for Sign Language Production. In Proc. IEEE International Conference on Image Processing (ICIP). To appear, Oct. 2025, Anchorage, USA.
- [3] S. Tan, K. Itoyama, & K. Nakadai. (2024). Advancing Human-Computer Interaction: End-to-End Sign Language Translation. ヒューマンインタフェース学会論文誌, 26(4) pp. 391-398.
- [4] N. Khan, S. Tan, K. Itoyama, K. Nakadai. (2024). Motion Inbetweening Based on Body Parts Integration for Sign Language Generation. ヒューマンインタフェース学会論文誌, 26(4) pp. 431-442.
- [5] Tan, S., Miyazaki, T., Nakadai, K. (2025). Multi-

- lingual Gloss-free Sign Language Translation: Towards Building a Sign Language Foundation Model. In Proc. of the 63rd Annual Meeting of the Association for Computational Linguistics (ACL) (Acceptance rate ~21%)
- [6] Tan, S., Miyazaki, T., Kahn, N., & Nakadai, K. (2025). Improvement in Sign Language Translation Using Text CTC Alignment. In Proc. of the 31st International Conference on Computational Linguistics (COLING), pp. 3255–3266, Abu Dhabi, UAE, Jan. 2025. (Acceptance rate ~28%)
- [7] S. Tan, T. Miyazaki, K. Itoyama, and K. Nakadai. (2024). SEDA: Simple and Effective Data Augmentation for Sign Language Understanding. In Proc. LREC-COLING 2024 11th Workshop on the Representation and Processing of Sign Languages: Evaluation of Sign Language Resources, pp. 370-375, Torino, Italia. ELRA and ICCL.
- [8] N. Khan, S. Tan, K. Nakadai. (2025). Towards Online Sign Language Expression for Real-Time Human-Robot Interaction, IEEE International Conference on Robot and Human Interactive Communication (RO-MAN), to appear (Aug. 2025).
- [9] N. Khan, B. Wu, C. T. Ishi, and K. Nakadai, (2025). MultiGAU: Real Time Sign Language Generation using Multimodal Gated Attention, The 38th International Conference on Industrial, Engineering & Other Applications of Applied Intelligent Systems (IEA/AIE 2025), to appear (July 2025).
- [10] Khan, N. & Nakadai, K. (2025). End to End Text to Sign Language Generation using MultiGAU, IEEE International Conference on Multimedia & Expo (ICME 2025), To appear, July 2025.
- [11] Ratchatorn, T., Tanaka, M. (2025). Adaptive Adversarial Cross-Entropy Loss for Sharpness-Aware Minimization. In Proc. IEEE International Conference on Image Processing (ICIP). To appear, Oct. 2025, Anchorage, USA.

# EMS を用いた位置制御・力制御の統合アプローチと制御性能の評価

2241012



研究代表者 東京理科大学 創域理工学部 電気電子情報工学科

助教北村知也

# [研究の目的]

本研究は、筋電気刺激(Electrical muscle stimulation: EMS)を用いた身体制御において、位置制御と力制御を統合的に扱う制御手法を構築し、その妥当性と有効性を検証することを目的とする。EMS は筋に電気刺激を加えることで筋収縮を誘発する技術であり(図1)、軽量・小型かつ関節近傍に直接作用できる点から、従来のアクチュエータに比して優れた制御特性を持つ「ロ」。また、動作とは位置制御と力制御の重ね合わせであり、モータを用いて人間の動作を再現する場合には位置制御と力制御の両方が性能を向上させることが報告されている「21[3]。しかし、既存の EMS 研究では位置制御と力制御を明確に区別せず、筋刺激の設計が経験則に頼ってきた。

たとえば、上腕の屈曲動作では主動筋と拮抗筋が協調して動作を制御している<sup>[4]</sup>。こうした生理的な機構を再現するには、位置制御には拮抗筋の同時刺激を、力制御には単一筋の刺激を適用するなど、制御目的に応じた刺激設計が必

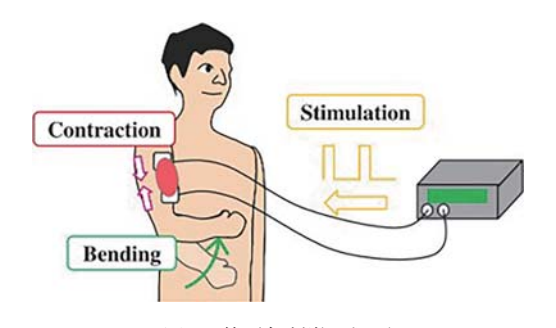


図1 筋電気刺激の概要

要である。本研究ではこの視点に基づき, EMSによる刺激対象筋の使い分けにより,動 作の特性がどう変化するかを検証する。

手首関節の単自由度動作を対象とした実験により、位置制御と力制御で再現される動作や感覚の違いを評価し、さらに3軸リニアステージを用いた上腕の多自由度運動の抽出と再現を試みる。これにより、制御対象の性質に応じた刺激方法の選択という新たな設計原則を提示する。

#### 「研究の内容. 成果]

# ・研究の内容

本研究では、EMSによる位置制御および力制御の統合的な手法を確立することを目的とし、複数の技術的要素を組み合わせたシステムの構築と、2段階の被験者実験を通じた評価を行った。具体的には、電気刺激回路と3軸リニアステージの製作、ならびに2種の被験者実験(単自由度・多自由度)を実施した。

まず、EMS信号の高精度かつ安全な印加を可能とするための電気刺激回路の製作を行った。刺激出力の安定性と双方向性を確保するため、双方向電流供給が可能なHブリッジ構成と、一定の電流を維持するための定電流回路を組み合わせた設計を採用した。さらに、誤作動や異常動作が発生した際に備えた出力制限機構を回路上に実装することで、安全性にも配慮した。回路は電極配置や刺激パラメータの調整を柔軟に行えるように設計した。

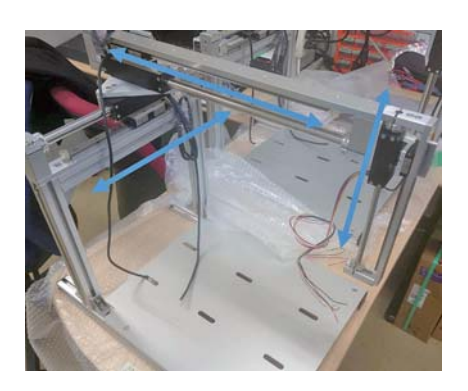


図2 製作した3自由度リニアステージ

次に、人の動作情報を高精度に計測し、かつ力制御によるフィードバックを可能とするために、3軸のリニアステージを製作した(図 2)。本ステージは3台のリニアモータを組み合わせて構成され、各軸に独立した制御系を構築した。また、反力推定オブザーバ<sup>[5]</sup>を各軸に実装することで、力センサを用いることなく反力を高精度に推定可能とした。これにより、ステージ全体としての力制御が可能となり、被験者の運動中に生じる力の計測および制御への反映をリアルタイムで行える環境を整備した。

その後、位置制御と力制御の違いによって筋刺激のあり方が変化するかどうかを検証するため、実験Iを実施した。対象とした動作は、手関節の屈曲運動であり、被験者に対して EMSを用いて該当動作を誘発させた。実験では、単一の筋(主動筋)のみを刺激する条件と、主動筋と拮抗筋の両方を同時に刺激する条件を設定し、それぞれを位置制御および力制御の枠組みで比較する形式とした。これにより、刺激方法の違いが運動制御や感覚に与える影響を系統的に分析する体制を構築した(図 3)。

さらに、より複雑な運動を対象とした実験Ⅱ

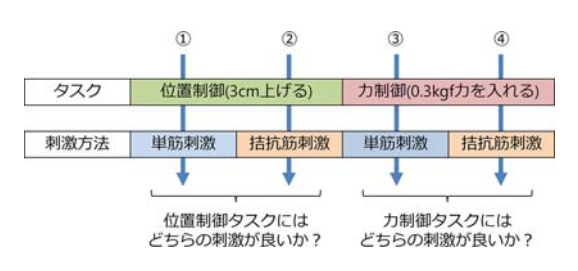


図3 実験 I の検証内容

を実施し、多自由度運動における EMS 制御の可能性を検討した。実験IIでは、3軸リニアステージを用いて人の上腕における運動軌跡を記録し、そこから抽出された動作情報を基に EMS 刺激指令値を生成した。これにより、単一関節ではなく複数関節の連動を伴う運動を、EMS によってどの程度まで再現できるかを評価するための条件を整えた。しかし、後述するようにリニアステージで記録した多自由度の動作を EMS で再現することが困難であったため検証を行うことはできなかった。

# ・研究の成果

本研究では、EMS による位置制御および力制御の特性を明確に比較するため、被験者実験(実験 I)を実施した。被験者は健常な20代男性6名であり、すべての実験は東京理科大学の倫理審査委員会による承認を得た上で実施され、事前にインフォームドコンセントを取得した。

実験では、リニアモータを用いて疑似的にバネを再現し、そのバネを電気刺激によって駆動された筋力によって押し込むことで動作を誘発した。被験者には、運動中に筋の随意収縮を行わず、できるだけ脱力した状態を保つよう指示した。運動の種類は、刺激方法(単筋刺激または拮抗筋刺激)とタスクの種類(位置制御タスクまたは力制御タスク)の2×2、計4条件で構成された。

位置制御タスクとは、バネの剛性にかかわらず、関節を常に同じ位置(3 cm)まで曲げることを目的とした運動である。一方、力制御タスクでは、常に同じ力(約 3 N, 0.3 kgf 相当)を出力することで関節を押し込む運動を行う。各条件において、被験者は異なる5種類のバネ剛性に対して EMS により誘発された運動を体験し、6回目の試行では EMS を停止した状態で、被験者に自らの意思で同じ動作を再現するよう求めた。この6回目のバネ剛性はすべての被験者で100 N/m に統一されており、再現性を評価する基準とした。

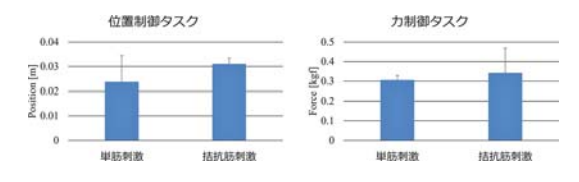


図4 実験Iの実験結果

評価指標としては、6回目の動作と1~5回目における制御目標との乖離を測定し、再現精度を比較した。具体的には、位置制御タスクでは最終的な関節位置と目標位置の誤差を、力制御タスクでは押し込み時の接触力と目標力の誤差を評価指標とした。

実験の結果,位置制御タスクでは拮抗筋を同時に刺激する条件のほうが,単筋刺激に比べて関節位置の再現精度が高いことが確認された(図4)。一方,力制御タスクでは,主動筋のみを刺激する単筋刺激条件のほうが,目標とする力をより正確に再現できる傾向が見られた。すなわち,制御目的に応じて刺激方法を選択することで,EMSによる運動誘発の再現性を高めることができることが示された。

これらの結果は、従来のEMS研究において十分に検討されてこなかった「位置制御と力制御の概念的区別」および「刺激設計の適応的切り替え」の重要性を裏付けるものであり、EMSによる触覚フィードバックの高精度化に向けた技術的基盤を提供するものである。特に、拮抗筋を活用した拮抗駆動による安定した位置制御と、単筋による直感的な力の伝達という二つの特徴は、今後のEMS応用設計において極めて重要な設計指針となる可能性を持つ。

# ・考察

本研究では、EMSによる制御において刺激 方法と制御目標の対応関係を検証した。実験 I の結果から、位置制御には拮抗筋刺激、力制御 には単筋刺激が有効であることが示された。拮 抗筋刺激による関節位置の再現精度の向上は、 関節両側からの制動によって動作が安定すると いう生理的制御戦略と一致しており、EMS に よってその再現が可能である点は極めて意義深 い。一方,力制御では単筋刺激の方が良好な結果を示した。

また、被験者が EMS で誘発された動作を模倣するという課題において、刺激方法が運動の記憶形成や再現性に影響したことから、EMSが力覚フィードバックとしても有効に機能し得ることが示された。これは、VR や遠隔操作における触覚提示への応用にとって重要な知見である。

一方、実験IIでは、EMSによる多自由度運動の再現を試みたが、計画通りの遂行には至らなかった。単自由度制御で得られた知見を拡張するには、上腕全体の複数関節運動を3軸の空間運動に変換する逆運動学的処理が必要であり、加えて各軸の干渉(他軸干渉)も確認された。これらの課題に対処するには、単関節単独の制御を前提としたモデルでは不十分であり、システム全体としてのモデル化と制御系の再設計が必要であることが明らかとなった。多自由度運動への展開は今後の重要な課題である。

#### [参考文献]

- [1] Lopes, P., Baudisch, P.: Immense power in a tiny package: Wearables based on electrical muscle stimulation, IEEE Pervasive Comput., 16, 3, 12–16, 2017.
- [2] Sasagawa, A., Sakaino, S., Tsuji, T.: Motion generation using bilateral control-based imitation learning with autoregressive learning, IEEE Access, 9, 20508–20520, 2021.
- [3] Kitamura, T., Saito, Y., Asai, H., Ohnishi, K.: An Environment-Adaptive Position/Force Control Based on Physical Property Estimation, IEEE Access, 2025.
- [4] Bazzucchi, I., Sbriccoli, P., Marzattinocci, G., Felici, F.: Coactivation of the elbow antagonist muscles is not affected by the speed of movement in isokinetic exercise, Muscle Nerve, 33, 2, 191–199, 2006.

# [成果の発表, 論文など]

実験 I の成果について, the 12th IEEJ international workshop on Sensing, Actuation, Motion Control, and Optimization (SAMCON2026) @ 韓国に投稿予定。

# 人間機械協調型複合現実融合技術を用いた手術支援基盤技術の開発

2241014



研究代表者 東京大学 大学院医学系研究科 医用情報工学

特任教授

太 太 一

[研究の目的]

# 1. 研究の目的と意義

外科手術支援では、仮想空間(医用画像)と 現実空間(手術野)との座標系を一致させて両 者を比較する必要がある。しかし、両者の性質 (解像度や手術進行に伴う変化) が大きく異な るため、AI(人工知能)技術による自動位置 合わせは不可能であるといわれている。よって. 現状では医師が頭の中で医用画像と手術野との 対応関係を推定しており、客観性、他者との情 報共有性、および再現性の観点から大きな課題 となっている。本研究では人間がインタラク ティブに AI 処理を修正するという、人間と AIとの協調作業によって仮想空間(医用画像) と現実空間(手術野)とを高精度に空間的に対 応付けし、更に現実空間情報を歪ませて仮想空 間情報へ融合させるという革新的な複合現実可 視化技術を開発する。提案手法よって, 人間の 最小限の介入によって AI の精度や信頼性が飛 躍的に向上し. 仮想空間上に本物そっくりの手 術野のデジタルツインが構築されるので、これ までにない革新的な手術支援を提供できる可能 性があり、メタバース医療や脳機能解明研究な どにも貢献する可能性を有する。

# 2. 研究目標

研究期間中に、人間機械協調型複合現実融合技術を用いた手術支援の基盤技術を開発し、その技術的精度および臨床的有用性を評価する。

そのために下記の5つの技術的課題を解決する。

- 医用3次元コンピュータグラフィックス (3DCG) 構築; MRI を入力データとして 脳3DCGを出力する AI モデルを開発する。
- ② 医用画像と手術野写真との位置合わせ処理;手術野情報(写真)をバッチ処理したAIモデルによって擬似的な非剛体変換として上記①の脳 3DCG へ手術野情報を位置合わせする技術を開発する。
- ③ Human-computer interaction 技術による 位置合わせ補正技術;上記②の AI 処理に 対して人間のインタラクティブな操作介入 を可能とさせるユーザインターフェース技 術を開発する。
- ④ 複合現実技術を用いた医用画像と手術野との融合可視化技術の開発;上記③によって座標系が一致した手術野情報と医用画像情報とを複合現実技術を用いて融合し,デジタルツイン手術野を完成させる。
- ⑤ システムの精度検証と臨床評価;脳腫瘍手 術症例にて提案システムの精度や臨床的有 用性を評価する。

# 3. 本研究の特色・独創的ポイント

① 現実空間を歪ませる複合現実技術;現実空間と仮想空間との情報融合に関する先行研究では、両者を変形させないままか、仮想空間情報のみを変形させて融合させる報告はあるが、提案手法のように現実空間を歪ませて仮想空間上で高解像なデジタルツイ

ン手術野を再構築する報告はなく,メタ バース医療など様々な用途での活用が見込 まれる。

② 人間と AI の協調作業による高精度な位置合わせ技術; 医用画像と手術野との空間的対応付けは, 両者のデータの性質が大きく異なるために, AI による自動処理は不可能とされている。一方で人間が用手的にこの空間的対応付けを実施することはできるが, 膨大な時間と手間を要する。提案手法では AI 処理に対して任意のタイミングで人間が介入し, その精度を向上させるものであり, 人間と機械の協調処理を活かした独創的な試みである。更にその介入には2Dと3Dの異次元間をdual cursor 法によってリンクさせるというユーザーインターフェース技術を用いる先行研究のない独創的なものである。

# 4. 学術研究としての位置付け

- ① 複合現実技術による手術支援;類似研究である拡張現実技術(AR)は医用画像を現実空間へ投影する技術であり,対象物の表面に情報が投影されるので,奥行き情報がない。また,対象物の裏側や内部を観察することもできない。提案手法は,現実空間情報を歪ませて仮想空間上で手術検討を実施するもので,どのような角度・視野でも対象物を観察できる独創的な技術であり,研究代表者が所属する研究室以外からの報告は皆無である。
- ② 人間と AI の協調作業による高精度な位置合わせ技術; 先行研究の位置合わせ技術としては, 自動処理, 用手的処理, 剛体, 非剛体など様々なものが提案されているが, いずれも自動のみ, 用手的処理のみ, もしくは両者を交互に独立して行うものである。人間とコンピュータが同時進行的にインタラクティブに共同作業をおこないつつ非剛体位置合わせをする提案手法に類似した技

術は存在しない。

# [研究の内容,成果]

# 1. 研究計画

下記の順番通りに実施する。

① 倫理委員会承認(1ヶ月間)

本研究では実際の手術患者のデータを使用するので、研究に先立って東京大学医学部倫理委員会の承認を得る。東京大学医学部附属病院脳神経外科での手術患者から同意を得た医用画像データのみを試料として用いる。本研究で使用する医療情報は、一般の術前検査として必須のCTやMRIなどの医用画像データのみを用いるので、今回の研究に対して新たに検査そのものを追加することはなく、研究対象者への侵襲は一切ない。また研究期間中は、本研究成果が実際の医療の診断や治療方針に介入することはない。

- ② 深層学習技術を用いた医用 3D 画像構築技 術の開発(2ヶ月間)
  - 本研究申請者が既に研究開発している深層 学習技術を用いた医用画像データからの 3DCG 自動構築法をブラッシュアップして、 医用画像データから患者固有の脳 3DCG を出力する深層学習モデル(3D U-Net を 改良したアルゴリズムを予定)を開発す る。学習データは T1 強調画像データ(約 40000 枚)とし、脳をセグメンテーション した教師データを作成する。更に新規技術 として生成 AI(PTNet を予定)を用いた 3DCG のノイズ処理技術も開発する。達成 目標は Dice 係数 98% を目指す。
- ③ 深層学習技術を用いた医用画像と手術野写真との位置合わせ処理技術の開発(2ヶ月間)

現実空間の実際の手術を写真撮影したデータをミニバッチ処理によって数百の正方形の画像データに再分割し、AIアルゴリズ

ム ResNet を用いて、3DCG と位置合わせ処理する。写真データを再分割することによって、擬似的な非剛体位置合わせ処理が可能となる。高精度な位置合わせは困難であることがわかっているので、位置合わせ誤差3mm程度を目指し、下記④の処理によって精度を向上させる。

- ④ Human-computer interaction 技術による 位置合わせ補正処理技術の開発(2ヶ月間) 上記③による手術野写真と脳 3DCG との 位置合わせ処理の修正機能として dual cursor 法による支援技術を開発する。 Dual cursor 法とは本研究申請者が有して いる独自技術であり、 具体的にはユーザー が手術野写真と脳 3DCG との一致対応点 を探索する際に、手術写真上の2次元のマ ウスカーソルと脳 3DCG 上の 3 次元のマ ウスカーソルとが異次元的にリンクして動 くことによって両者の一致点を設定する処 理を効率化させたユーザーインターフェー ス技術である。本法を上記③の AI 処理の 前後や途中で介入できるようにすることに よって位置合わせ精度を向上させる。達成 目標は提案手法を用いない AI 位置合わせ 処理よりも有意に (2 mm 以上) 精度が向 上すること, ユーザーの作業時間は1分以 内,手術野写真と脳 3DCG との最終誤差 が1mm以内を目指す。
- ⑤ 複合現実技術を用いた医用画像と手術野との融合 3DCG 構築技術の開発(2ヶ月間)上記③④で座標系を一致させた手術野写真と脳 3DCG とを融合可視化する技術を開発する。具体的には上記③④で非剛体変換された手術野写真情報をテクスチャマッピング法を用いて脳 3DCG ヘテクスチャする。本研究申請者は、本法の先行研究として、AI を用いない用手的な複合現実技術に関して既に複数の論文を報告しており、本研究ではそれを AI と human-computer interaction 技術を用いることによって精

- 度向上および効率化を目指す。達成目標は 提案複合現実 3DCG と実際の手術所見と の誤差 1 mm 以内, 用手的操作も含めた処 理時間が 1 分以内を目指す。
- 6 提案手法を有するアプリケーション開発 (1ヶ月間)
   上記③~⑤の機能を有するモバイルアプリ (iPad アプリ)を開発し、アプリ上での複 合現実 3DCG の回転・平行移動・ズーム などの操作が 30 fps 以上を達成目標とする。
- (7) 臨床症例での有用性を確認(1ヶ月間) 上記⑥で開発したアプリを用いて,実際の 手術症例を用いて精度と有用性を評価する。 脳腫瘍覚醒下手術3症例に使用する。医用 画像から得られた脳機能情報(言語機能) と手術野の脳を電気刺激して得られた脳機 能マッピングの空間的ズレを調査する。精 度は1mm以下を目指す。またコントロー ル群として市販手術ナビゲーションシステ ムを用いた手術支援と比較し,両者の誤差 や有用性を比較する。
- ⑧ 成果取りまとめ(1ヶ月間) 上記研究終了後に成果や課題を取りまとめて、研究期間終了後の更なる研究開発について計画を策定する。

#### 2. 成果

計画通りの進捗であり、研究期間中のマイルストーンは全て達成した。研究開発項目毎の進 捗は下記の通り。

- ① 倫理委員会 東京大学医学部倫理委員会の承認を得た後 に本研究を開始した。
- ② 深層学習技術を用いた医用 3D 画像構築技術の開発
   T1 強調画像データからセグメンテーションした大脳の精度は Dice 係数 0.982 であった。生成 AI を用いた 3DCG のノイズ処理技術の精度は Dice 係数 0.962 であっ

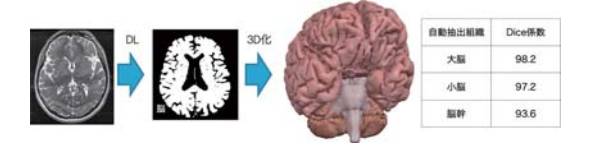


図1 脳自動セグメンテーション

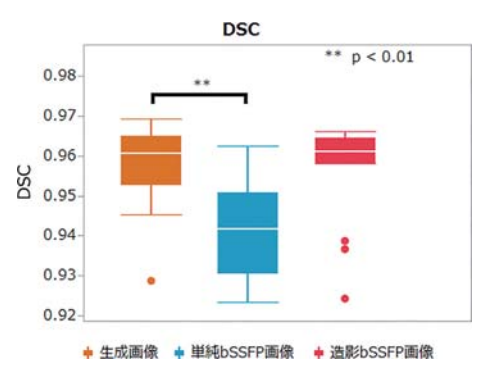


図2 ノイズ (静脈) 処理

た。

③ 深層学習技術を用いた医用画像と手術野写真との位置合わせ処理技術の開発 AIアルゴリズム ResNet を用いて,手術写真と 3DCG と位置合わせ処理した。精度に関しては下記④に記載。



図3 ResNet によるレジストレーション処理

④ Human-computer interaction 技術による 位置合わせ補正処理技術の開発 手術野写真と脳 3DCG との位置合わせ処理の修正機能として dual cursor 法による 支援技術を開発した。10 症例の検討にて 誤差は 1.32±0.17 mm (mean±SE) であり、提案手法を用いない AI 位置合わせ処理よりも有意に精度が向上することを確認した。ユーザーの作業時間は 60 秒であった。

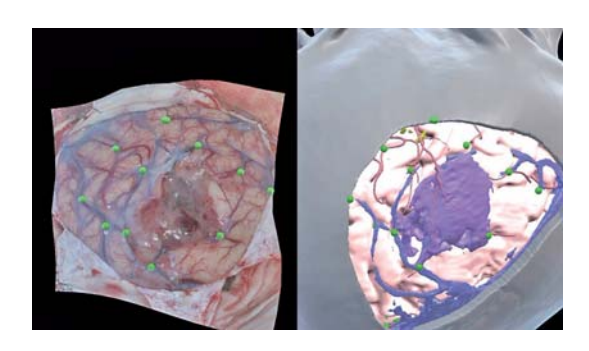


図4 Dual cursor 法よる補正処理

⑤ 複合現実技術を用いた医用画像と手術野と の融合 3DCG 構築技術の開発

上記④で座標系を一致させた手術野写真 と脳 3DCG とを融合可視化する技術を開 発した。10 症例の検討にて、提案複合現 実 3DCG と実際の手術所見との誤差は、 1.04±0.14 mm(mean±SE)であり、用手 的操作も含めた処理時間は平均 90 秒で あった。

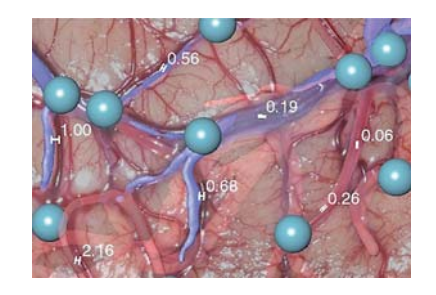


図 5 複合現実技術 3DCG

⑥ 提案手法を有するアプリケーション開発 上記③~⑤の機能を有するモバイルアプリ (iPad アプリ)を開発した。アプリ上での

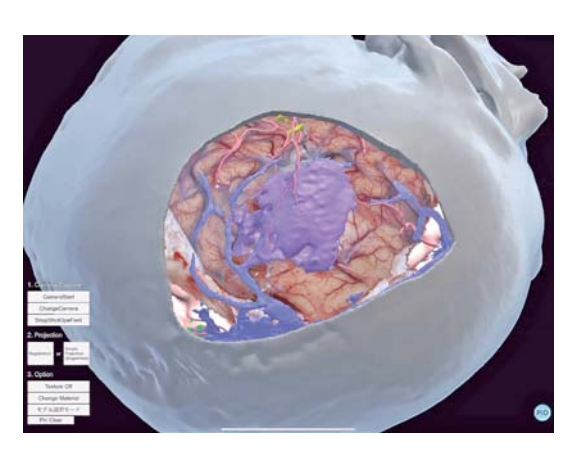


図6 開発したモバイルアプリケーション

複合現実 3DCG の回転・平行移動・ズームなどの操作を実装し、36.2 fps を達成した。

⑦ 臨床症例での有用性を確認

開発したアプリを用いて,脳腫瘍覚醒下手術3症例に使用した。開発アプリは実際の手術にて不具合なく使用することが可能であった。腫瘍摘出のための腫瘍境界の同定,脳機能画像との高精度な比較,ブレインシフトに対応した医用画像との高精度な比較が可能であった。



図7 臨床活用 (悪性脳腫瘍)

#### [成果の発表, 論文など]

2025年5月20日時点で2編の論文を投稿中,1編を 投稿準備中である。本研究に関して学会発表を2回実 施した。

# 【論文】

- 1. 自動セグメンテーション処理に関して投稿中
- 2. 生成 AI を用いた医用画像ノイズ処理に関して投稿中
- 3. 臨床的有用性に関して投稿準備中

# 【学会発表】

- 1. 「手術検討を中心とした脳神経外科領域における画像処理やその活用」第 15 回お茶の水 Neuroimaging Conference. 8月27日. 東京
- 2 . 「Augmented reality and virtual reality in surgical training and practice」 JKJC 2024. 9 月 4 日. ソウル

# 災害現場での救援活動を支援する超小型3次元再構成センサの開発

#### 2241015



研究代表者 (助成金受領者) 共同研究者

法政大学

東京工科大学

教授 小西克巴

講師 佐々木 亮 平

# [研究の目的]

災害発生時に災害現場の被災状況を早急に把 握することは、救援活動における重要課題であ る。特に人が立ち入ることが困難な屋内等の災 害現場では、二次災害を避けるためにも必要不 可欠である。近年では、カメラ映像や深度セン サ等のセンサ情報から周囲の3次元地図を作成 する技術が発展してきており、災害現場にド ローンやロボットを投入することで3次元地図 を作成し、災害対応計画を作成することが可能 となる。しかしながら、詳細な3次元地図を作 成するには、カメラを搭載したロボットやド ローンが必要となり、コストが高く準備に時間 も要するため、実際の災害現場での導入の障壁 となっている。そこで本研究では、災害現場に 人の手で投げ込むだけで、高精度な3次元地図 を作成する安価で使い捨て可能な手のひらサイ ズ以下のボール型3次元再構成センサの開発を 目指す。災害現場において、人による救援活動、 および、人と自律ロボットが協働した救援活動 を実現するには、災害現場の詳細な情報を知る ことが必要不可欠である。超小型3次元再構成 センサの実現により、容易に3次元地図が作成 され、迅速な災害対応計画の立案が可能となる。

本研究で開発を目指す超小型3次元再構成センサは、手のひらサイズ以下の小型のボール型カメラで、災害現場に複数個を投げ入れて動画を取得し、その動画像群から超解像度3次元地図を生成するものである。本研究の目標は、

ボール型カメラから得られる動画像群から 3次元地図を作成するソフトウェアを開発するための数理基盤の確立である。カメラ映像のみから 3次元地図を作成する技術は SLAM と呼ばれ,多くの手法が開発されている。しかし,これらの手法は自動車やロボット等に設置されたカメラで撮影された滑らかに動く映像を想定されている。本研究の目的は、時間方向にも空間方向にも疎にサンプリングされたデータから 3次元地図を作成する手法の確立である。

# 「研究の内容. 成果]

# 提案手法の概要

本研究では、災害現場で疎にサンプリングされたデータから3次元地図を作成する手法の確立を目指すため、赤外線画像を用いて照明が少ない条件下でも安定した深度補完を行う手法を提案する。RGBガイド付き手法に着目し、ガイドにRGB画像ではなく赤外線画像を入力に用いて深度補完手法を構築した。提案手法の全体アーキテクチャ以下に示す。

ネットワーク構造は PENet を参考にし、一

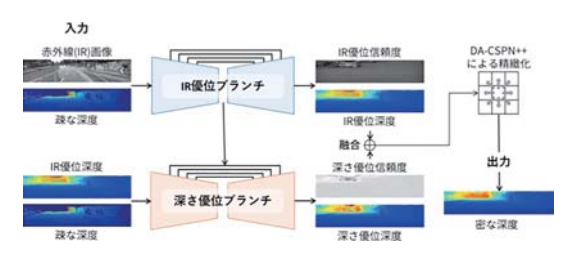


図1 提案手法のアーキテクチャ

方のブランチを赤外線情報に依存した深度を予測する IR 優位ブランチとすることで赤外線画像をガイドに用いた補完を実現した。具体的には、入力チャンネルを RGB+深度の4チャンネルから赤外線+深度の2チャンネルに減らし、計算の効率化を図った。また、実際のハードウェアに組み込まれることを想定して、実行時間の短縮を目指している。学習データには、深度のグランドトゥルースおよび赤外線画像を使用した。実験では、様々な照明条件下で取得されたデータセットを用いて、既存の RGB ガイド付き手法との精度および実行時間の比較を行い、本手法の優位性を示した。

#### 2分岐バックボーン

2分岐バックボーンは、それぞれのブランチ から得られる IR (赤外線) 優位の情報と深さ 優位の情報を徹底的に利用し、2つのモダリ ティの融合を効果的に行う方法である。2つの ブランチでは、同様なエンコーダ・デコーダ ネットワークを構築し、IR 優位の深度予測と 深さ優位の深度予測を行う. IR 優位のブラン チは、まず赤外線画像から高密度の深度マップ を予測することを目的とする。深度予測の有効 性を高めるために、疎な深度マップも入力され る、このブランチは、スキップ接続を持つエン コーダ・デコーダ構造のネットワークである。 エンコーダは1つの畳み込み層と10個の基本 残差ブロック、デコーダは5つの逆畳み込み層 と1つの畳み込み層を持つ。すべての畳み込み の後に BatchNorm と ReLU を行う。このブラ ンチには赤外線画像と疎な深度マップの両方が 入力されるが、このブランチは深度予測のため に IR 優位の特徴を抽出し、赤外線画像の構造 情報を利用してオブジェクト境界付近の深度を 学習できるようにする。深さ優位のブランチは. まず疎な深度マップをアップサンプリングする ことで、密な深度マップを予測することを目的 とする。このブランチでは、同様のエンコー ダ・デコーダネットワークが構築される. さら

に、このブランチに IR 優位ブランチの特徴量を融合させる。具体的には、IR 優位ブランチのデコーダ特徴を深さ優位ブランチの対応するエンコーダ特徴と連結する。さらに、IR 優位ブランチで得られた深度予測結果もこのブランチに入力される。このようにして赤外線と深度の特徴が複数の段階で融合される。最後に2つのブランチで予測された密な深度画像を融合する。

# 幾何学的畳み込み

提案手法では、先行研究と同様に 3D 幾何学的情報を符号化するために幾何学的畳み込み層を採用している。この手法によって、カメラ座標における 3 次元位置をレイヤーの入力に連結することで、従来の畳み込みレイヤーを単純に補強することができる。位置マップ (X, Y, Z)は、元の疎な深度マップから導出される。この手法により、3 次元幾何学的情報を 2 つのブランチ特徴により効率的に符号化することができる。

# CSPN++の拡張と高速化

深層ニューラルネットワークによって生成された深度画像は、入力深度値があるピクセルにおいて入力値を保持しない可能性がある。SPNは有効なピクセルにおける深度値を回復するために隣接画素間の親和性を学習することで、推定された深度画像の精緻化を行う。本手法では、SPNに基づく畳み込み精緻化手法であるCSPN++を採用し、バックボーンによって予測された深度マップを改良する。さらに、CSPN++をベースにより効率を上げるための伝播近傍の拡大と伝播の並列実装を行い、伝搬手順を大幅に高速化したDA-CSPN++を採用する。

# 実験

#### ・環境

実装は Pytorch で行い, NVIDIA GeForce

RTX 3090 で学習を行った。オプティマイザには Adam を用いた。PENet, 提案手法は重み減衰は 10<sup>-6</sup> とする。バッチサイズ 6, 初期学習率 0.001, 10 エポックで学習する。画像を 576×288 にランダムクロップする。モデルの学習には約 20 時間を要する。

#### ・学習方法

ネットワークのトレーニングには、データセットから取得したガイド画像と深度画像を使用する。ガイド画像にはカラー画像、モノクロ画像、赤外線画像を用いる。疎らな深度画像は、従来の研究と同様にグランドトゥルースの有効画素から70%の画素を欠損させて生成する。疎らな深度画像には1.25%、グランドトゥルースには4.17%の有効深度値が含まれている。

#### ・データセット

提案する方法でネットワークを学習するためには、同一シーンで撮影された RGB、深度、赤外線データを含むデータセットを必要とする。 提案手法が Visual SLAM や行動認識などのタスクに応用されることを想定し、本研究では ViViD++ データセットを使用する。

# ・ViVID++ データセット

ViViD++データセット[6] は、ロバストな Visual SLAM を開発するために作成され、手持ち式または自動車のセンサーから、異なる条件で繰り返し記録されたデータセットである。センサーは RGB、赤外線、深度、イベント(輝度の瞬間的な時間変化)を測定することで、可視光強度に左右されないデータを得ることができる。データセットは、異なる照明条件をもつ屋内シーケンスと屋外シーケンスを持つ。

#### ・データセット生成

ViViD++データセットは ROSbag 形式で 提供されているため、前処理を行い点群データ から学習データセットとテストデータセットを 生成する。まず LiDAR による点群データをカ メラ行列、歪み行列を用いて変換し、カラー画 像または赤外線画像とマッチする深度画像を 生成する。その後リサイズとクロップを行う。 具体的には 1/2 にダウンサンプリングした後, 640×320 にクロップする。本研究で使用する 屋外データセットには 8 シーン 55987 フレーム が含まれ, そのうち 44782 フレームが学習データに, 11205 フレームがテストデータに用いられる. また, 使用する全 8 シーンのうち昼に撮影された 4 シーケンスを昼間シーン, 夕方と夜間に撮影された 4 シーンを夜間シーンとし, 各シーンのみでも実験を行う。

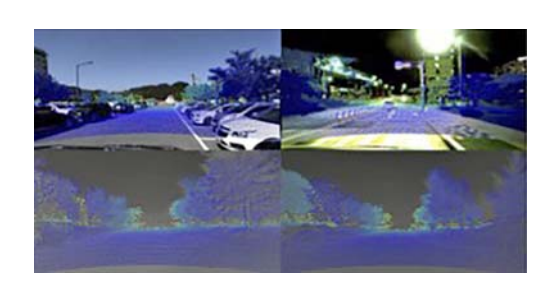


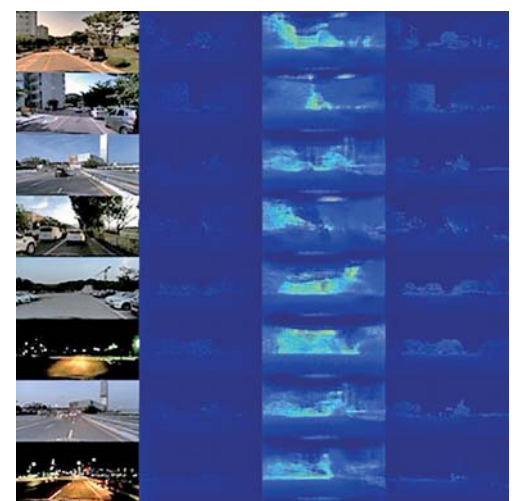
図2 ViVID++データセットから生成した深度画像

# ・評価指標

性能の評価は、PENet をはじめとした多くの論文で採用されている KITTI 深度補完ベンチマークと同じく、平均二乗誤差(RMSE)、平均絶対誤差(MAE)、平均相対誤差(REL)の3つの指標を採用する。

# 実験結果と考察

実験における定性的結果を図3と図4に示す。 左から順に、ガイド画像、疎な深度画像、補完 した深度画像、グランドトゥルースである。こ れらの図から分かるように、どちらの手法も極 めて少ない深度情報から、ガイド画像に従って 深度補完が行えていることがわかる。しかし、 どちらの結果も空などの深度が欠落している領 域にノイズが発生している。この原因は、使用 したデータセットのデータ数や深度サンプル数 が少なかったことだと考えられる。深度補完分 野の研究に広く用いられている。KITTI 深度 補完データセットに含まれる有効画素の割合は 約16%であるのに対し、本研究で作成した深 度画像は 4.17%である。また、KITTI データ セットのデータ数は約 9.5 万であるのに対し、



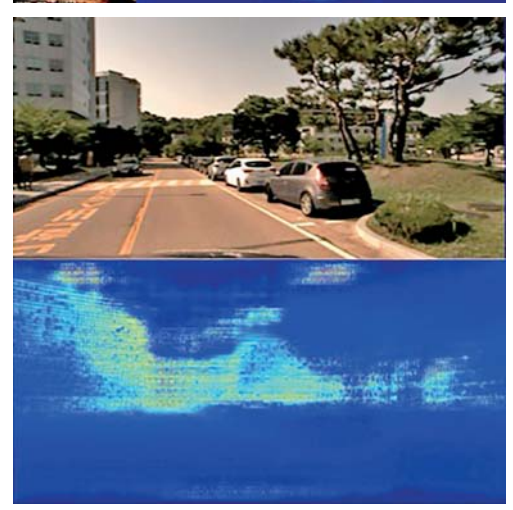
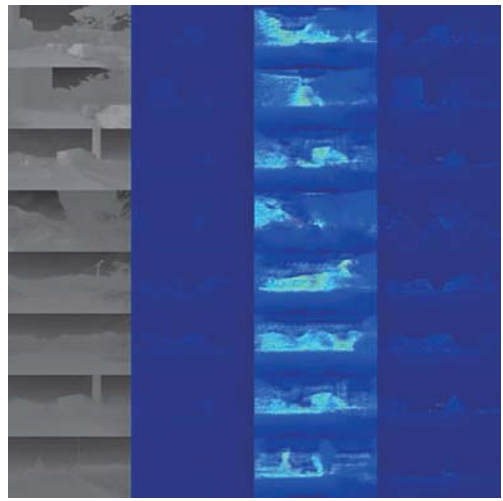


図3 定性的結果 (PENet, RGB)

作成したデータセットのデータ数は約5万である。したがって、ノイズの少ない補完を行うためには、より高密度なデータセットを用いる必要があると考察する。

実験における定量的結果を表1に示す。RMSEにおいては、どのシーンにおいても赤外線を入力した提案手法が最もよい結果を示している。カラー画像を入力したPENetと比較すると昼間のデータでは7.18%、夜間のデータでは8.75%、全体では7.93%RMSEが改善した。しかし、MAE および REL では、どのシーンにおいても赤外線を入力したPENet が最もよい結果を示している。MAE や REL と比較して、RMSE は外れ値に左右されやすい性質がある。このことから、提案手法における結果はPENet と比較するとノイズが多く発生してい



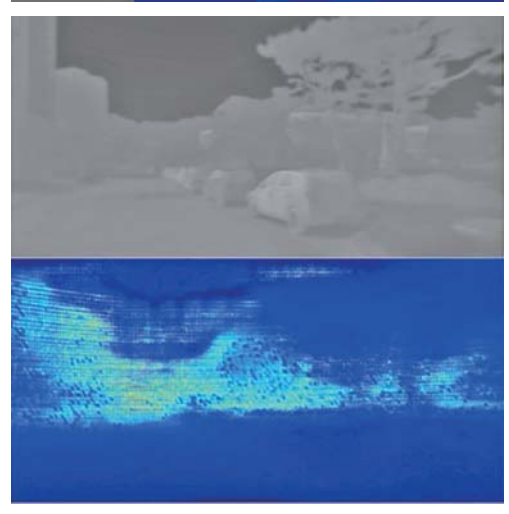


図4 定性的結果(提案手法, Thermal)

表1 定量的結果

シーン	手法	入力	RMSE ↓	MAE↓	REL↓	sec/itr
全て	PENet	RGB	924.663	251.880	0.043	0.020
		GRAY	930.393	251.220	0.042	0.020
		Thermal	853.985	230.731	0.038	0.024
	提案手法	GRAY	915.527	246.907	0.044	0.023
		Thermal	851.344	233.865	0.040	0.022
昼間	PENet	RGB	888.982	245.666	0.045	0.020
		GRAY	891.149	244.817	0.044	0.019
		Thermal	827.432	226.792	0.040	0.020
	提案手法	GRAY	874.117	240.801	0.046	0.020
		Thermal	825.171	230.198	0.042	0.019
夜間	PENet	RGB	967.145	259.279	0.041	0.020
		GRAY	977.116	258.820	0.040	0.020
		Thermal	885.599	235.421	0.035	0.020
	提案手法	GRAY	964.830	254.175	0.042	0.020
		Thermal	882.505	238.229	0.038	0.020

ると考えられる。しかしながら、どの誤差指標でも赤外線を入力に用いたモデルが最もよい結果であり、ガイド付き深度補完における赤外線情報の有用性を示しているといえる。

#### おすび

本研究では時間方向にも空間方向にも疎にサンプリングされたデータから3次元地図を作成する手法の導出を行なった。災害現場で疎にサンプリングされたデータから3次元地図を作成する手法の確立を目指すため、赤外線画像を用いて照明が少ない条件下でも安定した深度補完を行う手法を提案した。

赤外線カメラからの画像と、それに対応した 低密度の深度データを入力し、高密度の深度 データを推定する深層畳み込みニューラルネットワークの実装を行った。提案手法は、2つの オートエンコーダから深度を推定する PENet に照明条件にロバストな赤外線情報を入力する ことで、撮影時のシーンの照明に左右されない 深度補完が可能となる。実験結果から、赤外線 画像を用いた深度補完手法は、カラー画像を用いたものよりも高い精度を達成した。特に、夜間のデータにおける補完では、昼間のデータの結果と比較して精度の改善率が高くなる結果となった。今後の課題としては、ノイズの発生を抑え、赤外線情報を最大限に利用するために、学習率などのパラメータの修正や多様で広範なデータセットを使用する必要がある。加えて、他のネットワークを適用することや、赤外線以外のモダリティを利用することや、赤外線以外のモダリティを利用することも検討の余地がある。本研究により、照明条件に影響されずに深度補完を行うことが可能となる。この手法をハードウェアに組み込むことにより、暗所での深度測定がより正確になり、ロボットやドローンの物体検知システムなどでの活用が期待される。

#### [成果の発表, 論文など]

清水大輔,小西克巳,"赤外線画像を用いた照明条件に とらわれない深度補完",電子情報通信学会総合大 会,2025年3月

# ワイヤメッシュ回路と深層学習の融合による シート型触覚インターフェースの開発

2221015



秋田工業高等専門学校 研究代表者 創造システム工学科 電気・電子・情報系

講師 佐藤貴紀

# [研究の目的]

ヒトが身に着けることによって失った・衰え た身体能力を再生・補助するウェアラブルロ ボットの開発は、介護やリハビリテーションの 必要な高齢者や障がい者の自活や社会復帰を促 進し、少子高齢化による人手不足、要介護者の 増加による介護者不足の両問題を一挙に解決し 得る重要な課題である。日常的に着用可能で個 人で所有可能なウェアラブルロボットの実現の ためには、生体親和性の高い柔軟・軽量な素材 で構成され、安全性とメンテナンス性のために 比較的単純な構造であることが望ましい。本研 究では、機械的構造を持たない次世代の動力と して期待されているソフトセンシングアクチュ エータに着眼した。ソフトセンシングアクチュ エータとは柔軟・軽量なシート状の圧電素材で. 触覚センサ機能とアクチュエータ機能を併せ持 つソフトマテリアルである(図1)。理論的に

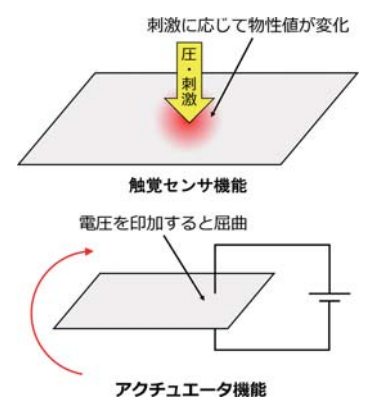


図1 ソフトセンシングアクチュエータの概略図

はシート面上のあらゆる部位にセンサ・アク チュエータ機能が偏在していることから、シート材のみでロボットを構成することが可能であ る。

本構想の問題は、ソフトセンシングアクチュエータのシート面上に偏在する機能を空間分解して計測・制御する技術が未だ存在しないことである。現状のソフトセンシングアクチュエータはシート全体を1つのセンサ・アクチュエータとした利用しかされておらず、シート面上に偏在する機能を活用しきれていない。

本研究では特にセンサ機能について,シート 面内を空間分解して多チャンネル計測する手法 と,多チャンネル計測値から応力分布を推定す るシステムの検討を目的とする。

# [研究の内容,成果]

1. ワイヤメッシュ回路による多チャンネル計測 通常のソフトセンシングアクチュエータでは、 シート面全体を電極で挟み込む構造をしている ことから、面上のどの位置を刺激しても面全体 で1 ch の計測となる。本研究では、ワイヤ メッシュ回路を用いたシート面内の多チャンネ ル計測を検討した。ワイヤメッシュ回路とは計 測試料を縦横のワイヤ状電極で挟み込む構造で、 縦横のワイヤの組合せを切り替えながら計測す ることで、各メッシュ交点位置における値の計 測が期待できる。

測定対象として高分子圧電素子であるピエゾ

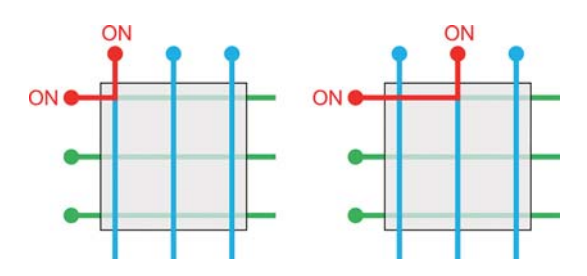


図2 ワイヤメッシュ回路の概略図

フィルムシート( $20 \mu m$  厚,  $5 cm \times 5 cm$ , 電極なし)を、ワイヤ状電極として銅テープ(1 cm 幅)を使用した。ワイヤメッシュ電極間の計測にはマルチファンクション I/O デバイス(USB-6229-BNC, National Instruments)を使用し、電極間の電圧の経時変化を計測した。

ワイヤメッシュ電極によって任意の位置の計測が可能であることを検証するために、1×1 chの電極構造での計測を行った。シート形状が変形しない条件下で刺激(硬い台上で圧力を印可)した場合は、刺激位置にかかわらず計測信号に変化は見られなかった。一方、形状変形を伴う刺激(柔らかいスポンジ上で圧力を印可、曲げ等)の場合には計測信号に変化が見られたが、刺激に対して再現性のある信号変化は得られなかった。

# 2. 深層学習による分布推定シミュレーション

ワイヤメッシュ回路の計測値からメッシュ交点部位の値を推定可能であることを検証するために、図3に示す2×2chのワイヤメッシュ回路で抵抗値計測を行った場合のシミュレーションを行った。

ワイヤメッシュ回路で計測される 4 ch の抵

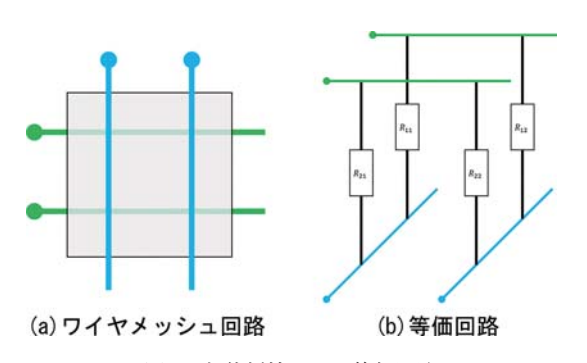
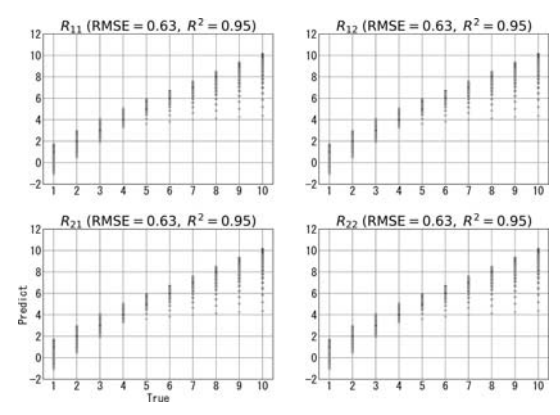


図3 部位抵抗による等価回路

抗値ベクトル Zは、4つのメッシュ交点部位抵抗値ベクトル Rの合成抵抗である。刺激に応じて Rが変化すると仮定して、Rと Zのシミュレーションデータセットを作成した。計測値 Zから部位抵抗値 Rの推定には、一般線形モデル(GLM: General Linear Model)と多層パーセプトロン(MLP: Multi-Layer Perceptron)を使用し、推定精度を比較した。

図 4, 5 に訓練データにおける GLM と MLP の推定結果を、図 6 に両手法の推定誤差 (RMSE: Root Mean Squared Error) の比較を示す。図 4, 5 より、GLM の推定では真値から大きく外れる推定結果があるのに対して、MLPではどのデータセットでも高精度に推定できていることが分かる。また、図 6 に示すように、推定誤差の平均も分散も MLP の方が顕著に小さかった。

線形モデルである GLM での推定誤差が大き



(横軸:真値,縦軸:推定値,赤丸:真値)図4 GLMの推定結果(訓練データ)

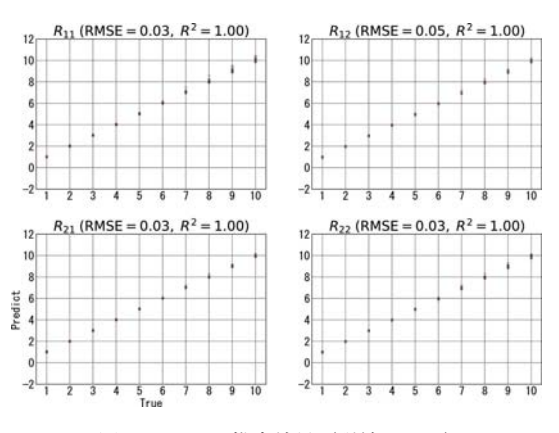


図5 MLPの推定結果 (訓練データ)

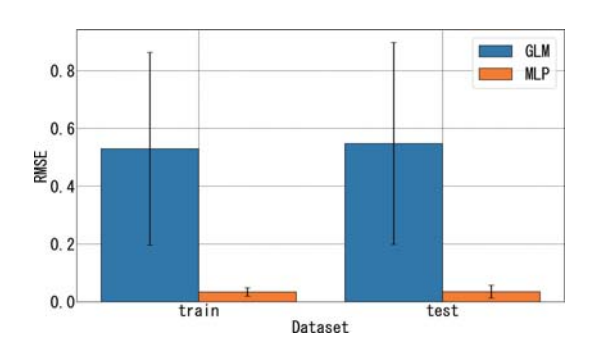


図6 GLM, MLP の推定誤差の比較

いことから、計測値Zと部位抵抗値Rの関係性は非線形であることがわかるが、MLPを用いることで非線形モデルも高精度に推定可能であることが確認できた。

# [今後の研究の方向性, 課題]

ピエゾフィルムシートに対して 1×1 ch のワイヤメッシュ回路による電圧計測を行ったところ,再現性のある計測方法・計測条件を同定することができなかった。今後は,シート面の法線方向への感度がより高いシート材の検討,抵抗値・静電容量等の別の物性値特性計測等により,引き続きワイヤメッシュ回路による計測方法・計測条件の確立を目指す。

ワイヤメッシュ回路による抵抗値計測を想定したシミュレーションによって、MLPを用いることで非線形な関係にある計測値と部位値も高精度にモデル化可能であることが示唆された。今回は単純な抵抗としてシミュレーションを行ったが、今後は実際の測定試料のデータシートをもとにしたシミュレーションを行うことで、最適なシート材・計測手法・計測条件の検討や、シミュレーションデータによる訓練データの拡張の検討を行う予定である。

# マイクロモータを用いた触覚情報伝達インタフェース

2231016



研究代表者 岡山大学 学術研究院 環境生命自然科学学域

准教授 芝軒 太郎

# [研究の目的]

近年、VR技術の発展はめざましく、エンターテイメントや教育、医療などの幅広い分野で活用が期待されている。人は視覚、聴覚、味覚、嗅覚、触覚などの多種多様な感覚器を用いて外界のさまざまな情報を取得しているがその大部分を視覚と聴覚に依存している。そのため、例えば VR体験において、主にヘッドマウントディスプレイなどを使用した視覚刺激や聴覚刺激が利用されているが、近年の VR技術の発展に伴い、触覚情報伝達に関する検討がさまざま行われるようになっている。

触覚には主に筋、腱、関節などで起こる深部 感覚と皮膚表面で起こる皮膚感覚があり、皮膚 感覚には触覚, 圧覚, 痛覚, 冷覚, 温覚などが 存在する。本研究では主に皮膚感覚、その中で も触覚と圧覚に着目する。従来、指先へ圧力を 生じさせることを目的とした研究や, 指先表面 の接線方向へ動作を生成する研究などが行われ てきた。また、Peizhi らによって全方向への連 続的な移動を指先にフィードバックするデバイ スや、Samuel らによる指腹面に3自由度の力 覚提示を実現するデバイスなどが開発されてお り、重量、摩擦、剛性などの情報を複数の方向 に提示できている。Maeda らは2個のDC モータを駆動に用いる2つの回転軸で指側面を 挟み込み、さらに爪側に振動モータを配置した デバイスを開発し、指側面のモータと爪側の モータの動作を組み合わせることで粗さなどの

表面の質感からスイッチなどの機械的な感覚までを提示可能なデバイスを開発している。このデバイスは、指腹面が開放されているため、タッチパネルとの併用ができるなどの利点がある。しかしながら、これらの研究ではデバイスの機構が複雑でありアクチュエータの数も多くなる傾向にあり、開発コストが高くなってしまう課題があった。

本研究では、単純な構造で複雑な指先触覚を 再現可能な新たなフィードバックデバイスの開 発および、指先感覚の再現を目的とする。

# [研究の内容. 成果]

# 1. デバイス設計のコンセプト

本研究では、複雑な触覚を再現するために主に指先で物体を押したときなどに感じる圧力、物体表面をこすったときの摩擦力、指先に伝わる微細な振動情報の伝達を行う。この3つの組み合わせにより、まず複雑な触覚を指先に再現することを試みる。

本研究で開発するデバイスは指先に装着できる程度に小型であり、かつ、操作者の動作を制限しないよう、軽量である必要がある。製作の難易度やコスト、メンテナンス性を考慮すると、アクチュエータやセンサの数は少なく、構造として単純であることが望ましい。

そこでまず、2種類の回転軸を指先の上下に 配置し、圧力、摩擦力、振動などの情報を提示 する構造を検討した(図1参照)。図1左に示

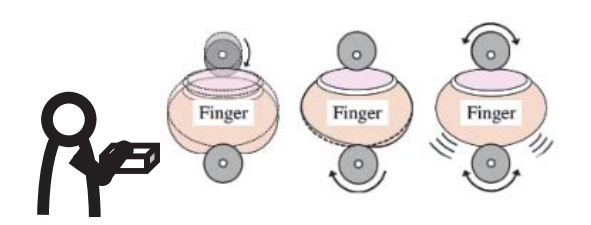


図1 触覚フィードバックデバイスの開発コンセプト

すように、爪側の回転軸を偏心軸とし、軸を回 転させることで指を指腹面側の軸へ押しつけ可 能とした。各回転軸で指先を挟み込むことで鉛 直方向への圧力を提示できる。指腹側の回転軸 の回転運動を行うと図1中央のように指腹面へ 摩擦力を提示可能である。また、図1右のよう に、各回転軸の往復運動により微細な振動情報 を提示できる。この構造では指腹面を完全に 覆ってしまうデメリットが存在するものの、指 腹面に対して正確に触覚を提示できるメリット がある。ここで、駆動軸に採用するアクチュ エータとしては小型軽量で発生トルクの大きい ものが望ましい。そこで、アクチュエータとし て市販のマイクロ DC モータとマイクロステッ ピングモータ. およびマイクロ超音波モータを 開発し検討を行った。図2には開発したマイク 口超音波モータの外観を示す。本報告では主に 定格電圧 3 V、直径 8 mm のバイポーラステッ ピングモータを使用した際の結果について述べ る。ステッピングモータには減速比約100の金 属ギアのギアボックスを装着しており、フィー ドフォワード制御によって各軸の回転角を制御 可能である。

次に、開発した触覚フィードバックデバイスの詳細と制御法について述べる。

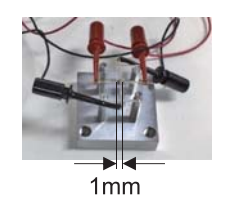


図2 マイクロ超音波モータ

# 2. マイクロ触覚フィードバックデバイス

図3は、触覚フィードバックデバイス実際の 写真である。指に装着する部分の大きさは幅 25 mm であり. 高さと奥行きが約 35 mm であ る。爪側の偏心軸の回転軸が 0.75 mm 偏心し ており. 最大で 1.5 mm の変位を発生させるこ とができる。ギアボックスに指先が干渉しない ように直径が 13.5 mm となっている。指腹側 の軸は底面の直径が11 mm, 側面と中心軸の なす角が20°である先端を丸めた円錐形として いる。また、ギアボックスの出力軸の軸間距離 は 20 mm である。各パーツは素材に PLA を 用い. 3D プリンターで制作した。指先に装着 する部分の重量は約25gとなった。各モータ の制御にはマイクロコントローラ、モータドラ イバを2つ用いることとし、電源は充電池を使 用し約3.2 V をマイクロコントローラとモータ に供給する。また、Bluetooth によるシリアル 通信で PC と接続し、各モータの動作を任意に 制御可能とした。

2つのステッピングモータは周期と振幅を指定し、独立制御することができる。触覚を提示する開始および終了時間を同時に指定できるため、各制御パターンを自由に制御できる。例えば圧力を提示する場合、爪側の回転軸の回転量 $\theta$ °(偏位量xmm)、摩擦力提示では指腹面側の回転方向と回転角速度 $\theta$ %、微細な振動提示では各軸往復回転運動の角速度および周期Tsを、任意のタイミングで任意の時間制御可能である。

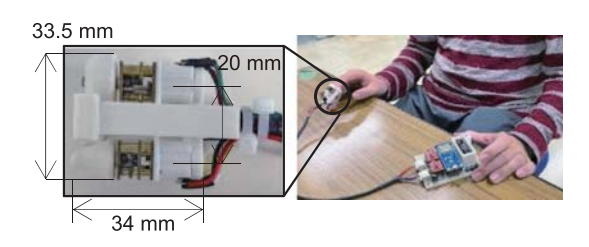


図3 触覚フィードバック装置の外観と詳細

# 3. 小型触覚フィードバックデバイスの検証

# 3.1. 振動パラメータの決定

開発したデバイスを用いて指先に物体表面の 微細な情報を提示するためには、指先への提示 振動を適切に設定する必要がある。そこでまず、 往復回転運動の振幅を一定にしてその周期を変 更した場合と、周期に比例して振幅を大きくし た場合との比較を行った。振幅一定の検証において、振幅は約 0.027 mm、振幅が周期に比例 する場合では、周期が 10 ms のとき 0.013 mm、 90 ms のとき 0.12 mm である。いずれの場合 でも周期を 10 ms から 90 ms まで 10 ms ずつ 刻んだ 9 段階をランダムで提示する。

被験者には振動の提示ごとにどのように感じたかを 0: ほとんど振動を感じない, 1: かすかに振動を感じる, 2: はっきり振動を感じる, 3: 強い振動を感じる, 4: 揺れを感じる, 0.5 段階で評価するよう指示した。

図4は各パラメータで最初に提示された10 回分の結果の平均である。図の左側は振幅一定 の結果であり、周期が大きくなるに連れて振動 を感じにくくなることがわかる。図の右側は振 幅が周期に比例している場合の結果であり、周 期が短い方が振動を感じにくい傾向にある。こ のとき、周期が長い場合でも(a)と異なり振 幅も大きくなるため、振動を感じなくなること はなかった。周期が短くなると振幅一定の場合 振動は感じやすくなるが、振幅が周期に比例す る場合、振幅も小さくなるので感じにくくなる。

振幅や周期が大きいと粗さなどの表面感覚を 提示するための振動としては適さない。また、 ステッピングモータの性能上振幅一定のまま周 期を短くすると必要な回転速度に届かず脱調し

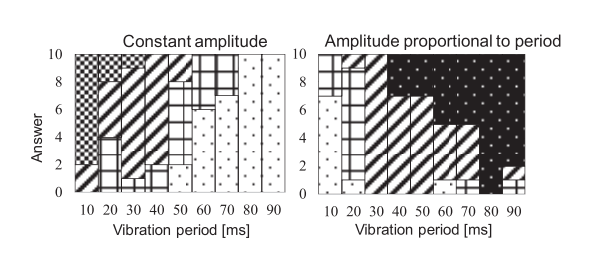


図4 振動パラメータの同定実験結果

てしまい,正しく振動を発生させられない。これらの結果より,物体の表面質感の提示に,20 ms~30 ms 程度の周期振動を用いることとした。

# 3.2. 機械的な触覚提示の評価

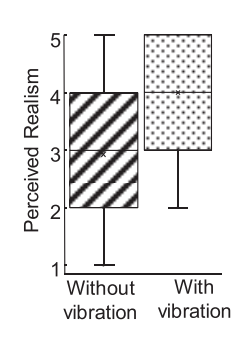
まずスイッチなどの機械的動作を再現可能か評価するため、被験者 4 名(27.75±5.93 歳)を対象に実験を行った。この実験では 2 種類のスイッチ:垂直に表面を押下するスイッチおよび、左右に切り替えるスイッチの動作を提案デバイスで再現する。(a) では、仮想空間内でオブジェクトに触れた際、偏心軸を圧力を加える向きに 150 ms 回転させ、離すとき同じ時間逆方向に回転させる。(b) ではスイッチを操作する方向に合わせて 200 ms 間下側の軸を回転させる。また、それぞれのスイッチの触覚提示中に周期 30 ms の振動提示を発生させた際の比較を行った。

図5は実験風景である。被験者は利き手の人差し指にデバイスを装着する。実験中被験者は画面を確認し、オブジェクトに触れる瞬間と離れる瞬間に仮想的にスイッチを操作するように人差し指を動作する。各実験は個々に実施し、振動ありと振動なしの触覚をそれぞれ10回ずつ交互に提示し、その感覚がどの程度現実のスイッチに近いかを7段階で評価させた。7段階の指標は従来研究との結果の比較のため、被験者がイメージした通りの触覚が最高評価の7となるように指示し、実際に提示された触覚の評価を数値で回答させる。

結果は図6に示す。左側押下するタイプのスイッチに置いては振動ありの場合の中央値は4



図5 提案デバイスを用いた触覚提示風景



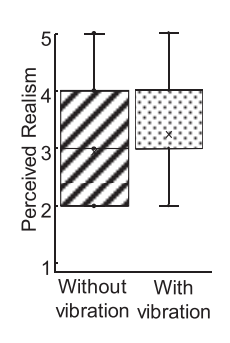


図6 2種類のスイッチ動作の再現検証結果

であった。また、左右切り替えを行う種類のスイッチでは、振動ありとなし両方の場合で中央値は3程度であった。Maedaらの研究に示される既存のデバイスと比較しても中央値が3から4と同程度であり、提案デバイスを用いて機械的動作の再現ができることを確認できた。

# 3.3. 表面粗さ提示の評価

つぎに物体の表面質感を提示可能か評価する ため、提案デバイスを用いて物体表面の粗さを 表現し、その違いの識別が可能かを評価した。 被験者は健常大学生 3 名 (29±6.38 歳)を対象 とし、画面上で3種類のオブジェクトのテクス チャを確認しながら提案デバイスで粗さの提示 を行う。このとき、1方向への回転運動と往復 運動を組み合わせ、振幅を、1. 振動なし、2. 約 0.024 mm, 3. 約 0.034 mm の 3 段階を用いて粗 さを表現する。また、振動の周期を25 ms お よび 30 ms の 2 種類で実験を行った。実験で は、接触を提示するために偏心軸で 0.2 mm の 変位を同時に与え, 指腹面側は 30 rpm で回転 させている。各振動周期で各被験者にそれぞれ 10 回ずつの計 30 回をランダムな順番で提示し た。

図7に結果を示す。図は各周期で3段階の粗さをランダムに提示した際の各被験者の回答を示している。周期30msの場合,正答率はそれぞれ83%,60%,50%であり,25msの場合,正答率はそれぞれ97%,83%,73%であった。結果には個人差があるが,全被験者に共通して同じ振幅の場合は周期が短い方が識別率はよくなる傾向であった。以上より、振動のパラメー

Period	Amplitude		А			В			С	
[ms]	[mm]	1	2	3	1	2	3	1	2	3
	(1) 0	8	2	0	6	4	0	5	5	0
30	(2) 0.024	0	7	3	2	5	3	4	3	3
	(3) 0.034	0	0	10	0	3	7	1	2	7
	(1) 0	9	1	0	7	1	2	9	1	0
25	(2) 0.024	0	10	0	1	8	1	0	7	3
	(3) 0.034	0	0	10	0	0	10	0	4	6

図7 3段階の粗さ提示検証結果

タを調整することで物体表面質感を提示できる 可能性を示した。しかしながら実験では物体の 識別可否にのみ着目しており、指先に目的の触 覚を再現するためには、より広い範囲での制御 パラメータを用いて検証する必要がある。現在 のデバイスではトルクや速度に制限があるため、 アクチュエータや減速機の変更を含むデバイス の再設計が今後必要である。

# 4. 前腕部における触覚再現

開発したデバイスを用いて指先触覚をある程度再現できる可能性を示したものの、上肢切断者などがデバイスを使用することは不可能である。そこで、指先触覚を前腕などの他部位で再現する方法として前腕部への刺激による指先触覚の再現性評価を行った。刺激提示には音声振動刺激および電気刺激を用い、DA変換を介した交流信号を用いて刺激波形を生成した。

本報告では振動刺激装置を用い,5種類の粗さの紙やすりを人手および義手を介してどの程度識別できるかを検証した結果について示す。図8は義手指先に指向性マイクロフォンを装着し,物体に触れた際に指先に生じる微細な振動w(t)を計測・再現している様子である。計測



図8 振動刺激による前腕部への触覚提示風景

した信号はアンプを介して振動装置の制御信号 A(t)=aw(t+d) として用いられる。ここでは、対象に人手および振動装置を用いた前腕部への触覚再現により、各紙やすりをどの程度判別か可能かを比較した。図9に計測波形の一例を示す。各条件において振幅に若干の違いが見られるものの全体にほとんど差が見られないことがわかる。実験では被験者1名を対象に、各粗さを2回ずつランダムに提示し、その正答率を評価した。なお、人手および前腕に装着した義手で実際に紙やすりに触れた際の結果と比較した。

図10に結果を示す。人手では60%強の正答率であるのに対し、義手を介した場合では20%を下回りほとんど判別ができていない。提案する振動刺激による結果では人手と比較して正答率は低いものの義手単体と比べ高い傾向となった。被験者は指先に生じる微細な振動情報を前腕部で感じることができ、各条件を判別できるようになったと考えられる。確率共振現象に基づき300 Hz のホワイトノイズを重畳した際の結果を示している。ホワイトノイズを加

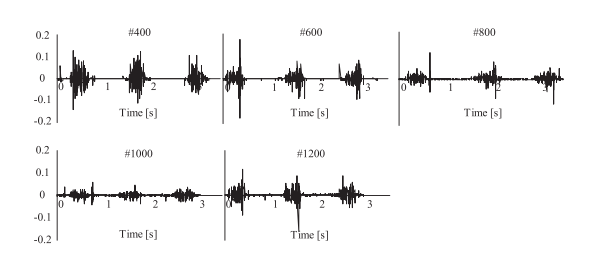


図9 5種類の紙やすりにおける計測波形の一例

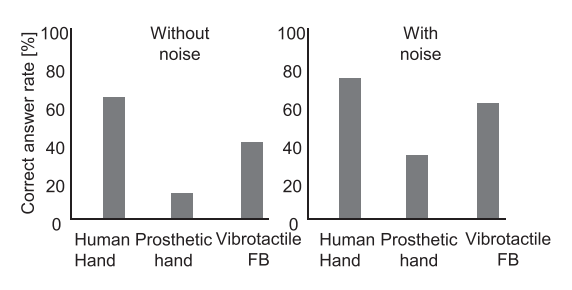


図10 人手および義手による判別精度検証結果

えた場合、全条件においてノイズを加える前よりも正答率は向上しており、提案法を用いて人手と同程度の結果が得られた。以上より、指先感覚を前腕部で再現できる可能性を示した。今後は身体他部位での温覚などを含む指先触覚の再現を目指す。

#### [成果の発表、論文など]

- 1. 徳島孝恒, 芝軒太郎, 錯覚現象を利用した移動ロボットのための仮想反力フィードバック法, ライフサポート学会第34回フロンティア講演会, 2025
- 2. 芝軒太郎: 筋電義手に代表される生体信号インタフェース, おかやま生体信号研究会 第41回例会, 2024
- 3. 芝軒太郎: 生体信号パターンの「学習」と識別およびその応用, 第29回パターン計測シンポジウム (第109回パターン計測部会研究会), 2024
- Taro Shibanoki, Takahisa Tokushima: Virtual Force Feedback Based on Phantom Sensation for Teleoperated Robot, 2024 IEEE 13th Global Conference on Consumer Electronics, 2024.
- Tomoya Shirai, Taro Shibanoki: A Compact Tactile Feedback Device for Fingertips Based on an Eccentric Mechanism, 2024 IEEE 13th Global Conference on Consumer Electronics, 2024.
- 6. Taro Shibanoki, Shunji Hashiguchi, Kosuke Jin: Myoelectric Prosthetic Hand with Sensory Feedback that Generates Discomfort, Journal of Robotics, Networking and Artificial Life, 10(3), 247–252, 2024.
- Yoshitaka Mizumoto, Taro Shibanoki: Haptic Sensation Enhancement via the Stochastic Resonance
  Effect and Its Application to Haptic Feedback for
  Myoelectric Prosthetic Hands, Proceedings of The
  2024 International Conference on Artificial Life and
  Robotics, 2024.
- 8. 水本祥宇, 芝軒太郎: 違和感フィードバックを内 包した 3D プリンタブル筋電義手, 第 34 回バイオ フロンティア講演会, 2023

最後に、本研究のご支援をいただきました公益財団 法人立石科学技術振興財団に深く感謝の意を示します。

# 筋シナジーを用いた随意運動誘引手法による 自発的動作に寄り添う正常歩行訓練装置

2241018



研究代表者 関西学院大学 工学部 知能·機械工学課程

教 授 中 後 大 輔

# [研究の目的]

脳卒中後片麻痺患者の歩行リハビリには各ステージ(急性期、回復期、維持期)があり、特に回復期に正常歩行を成す随意運動を獲得することが大事である。一方、我が国では理学療法士(PT)は回復期の患者に対して付添い時間が長く取れない実情があり、このことが、最低限移動が出来ることを第一とした実用歩行の獲得に主眼が置かれる原因であった。そのため患者の QOL(Quality of Life)を考えた場合、回復期において正常歩行に至る自立的訓練が可能なリハビリ機器が強く要望される。

一方, 先行研究に依ればエルゴメータが脳卒 中後片麻痺患者のリハビリテーションに有効で あること, ペダリング動作が下肢の歩行機能回 復を促進することが示唆されている。しかし, これらの研究は理学療法士による主観的な評価 に基づくものであり, エルゴメータによる補助 力と下肢の筋肉への寄与を定量的に分析した研 究はなかった。

そこで本研究の目的は、脳卒中後片麻痺患者を対象として、エルゴメータを用いた安全な座位ペダリング運動にて、正常歩行訓練を効果的に実現するための条件を明らかにすること、その条件を実現するペダル型リハビリテーションロボットを実現することである。

# [研究の内容,成果]

本研究の目的を達成するために, 主に以下の 二点について研究を実施した。一点目は, 健常 者と脳卒中片麻痺患者の歩行時の下肢の使い方 の違いを筋シナジー解析を用いて比較した。さ らに, これらの比較結果から正常な歩行に必要 な筋肉の使い方を明らかにすると共に, その筋 肉の使い方をペダリング運動で実現するための 条件を明らかにした。二点目は, エルゴメータ を用いたリハビリテーションロボットを提案し, 患者を通常の歩行に近い形で下肢の使い方に導 くアシスト機能を提案した。

# A. ペダリング運動のリハビリモデルの構築

人間の歩行は足を上げる、足を蹴るなどの役割の異なるいくつかの基本動作から構成されており、人間は複数の筋肉を協調させることでこれらの基本動作を実現している。各基本動作において各筋肉が発揮する筋力は筋電(EMG)を測ることで確認することができる。しかし、各基本動作は複数の筋の協調によって達成されるため、筋の協調性を評価する指標が必要になる。そこで本研究は、シナジー解析を用いて筋の協調関係を評価した。

まず最初に、健常者(図1(a))と脳卒中後 片麻痺患(図1(b))の歩行時の筋肉の働き方 を調べるため計測実験を行った。本歩行実験で は、健常者と脳卒中後片麻痺患者に歩いてもら い、図2に示す筋肉のEGMデータを測定した。

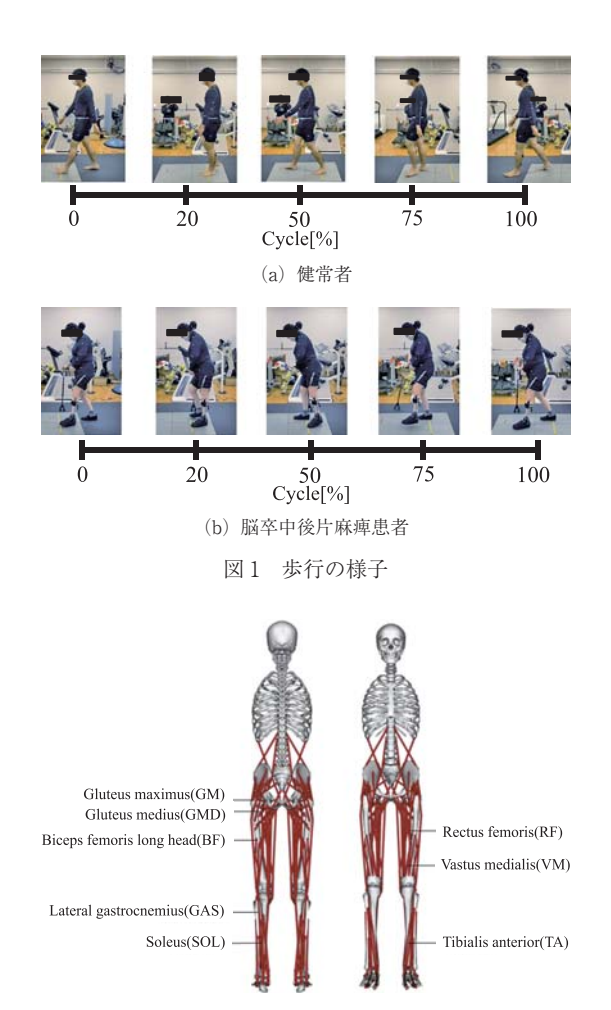
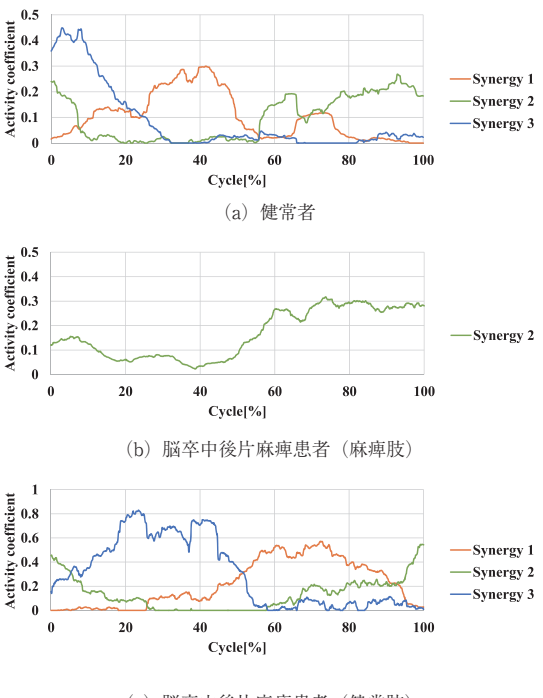


図2 解析対象とした下肢筋肉

これらの8つの下肢の筋肉は、とりわけ歩行動 作を生み出すと知られている筋肉である。また、 それぞれの歩行動作を構成する基本動作を比較 するために、筋シナジー分析を行った。

健常者の筋シナジーを図3(a) に、患者の麻痺肢側と健常肢側の筋シナジーを、それぞれ図3(b) と図3(c) に示す。図3(a) から、健常者の正常歩行は、足を後方に蹴る動作(シナジー1)、足を支持脚から遊脚に切り替えて後方から前方に戻す動作(シナジー2)、遊脚を接地して支持脚として体重を移動する動作(シナジー3) から構成されていることが分かる。図3(b) から片麻痺患者の歩行では、麻痺肢側にはシナジー2に相当する基本運動しか発生しておらず、これは麻痺肢が歩行動作に全く寄与していないことを示している。一方、図3(c)に示すように、健常肢側では健康者と同様に3



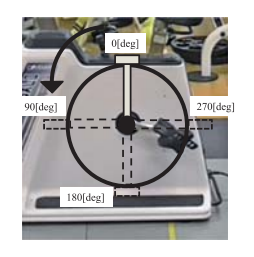
(c) 脳卒中後片麻痺患者 (健常肢) 図 3 抽出した筋シナジー (活性化係数)

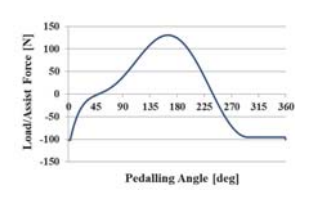
つの基本的な動作が発生しているが、麻痺肢側は庇うような動作が発生しており、そのタイミングは異なる。このことから、片麻痺患者でも適切なリハビリテーションを行うことで、これら3つの基本的動作を実現できる可能性を示している。

これらの結果から、正常の歩行に向けたトレーニングでは、足を後方に蹴り出すシナジー1の動作(主な筋肉:GAS、SOL)、足を前方に戻すシナジー2の動作(主な筋肉:TA、BF、RF)、足首を使って足を接地させるシナジー3の動作(主な筋肉:GMD、GM)を促すことが重要であることが分かった。

以上の議論を踏まえて、本研究では以下の方針にてエルゴメータの麻痺肢側ペダルに付加する支援力/負荷を以下の方針に基づいて図4のように設計した。

・シナジー1:患者は麻痺肢側で自発的に基本動作を行おうとした。そこで、自発的な基本動作をさらに訓練するために、蹴り出し動作に相当するペダリング動作(90~225[deg])時に、ペダルに負荷をかけた。





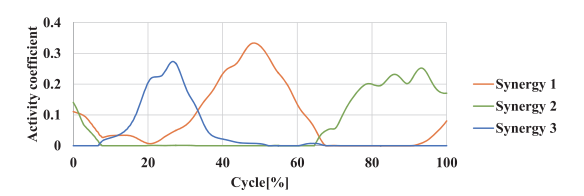
(a) 角度定義

(b) ペダル角度に応じた設計

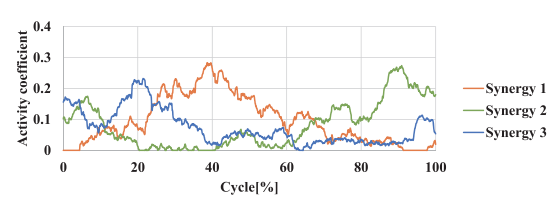
グラフ中の正の値がアシストカ, 負の値が負荷(ブレーキカ)を示す。 図 4 設計したアシストカ/負荷

- ・シナジー 2: 患者は麻痺肢側の足を前方に戻す基本動作を行っていない。そこで、被験者が足を前に出す動作を行えるように、ペダルを戻す動作(225~360[deg])でアシスト力を加えた。
- ・シナジー3:患者は麻痺肢側の足を安定させ体重を加え始める基本動作を行っていない。 そこで、まず足を安定させ体重を加え始める動作を行わせるために、足を下げながらペダルを漕ぐ動作(0~90[deg])でペダルにアシスト力を加えた。次にシナジー1の基本動作に向けて、ペダリングがしやすくなる45~90[deg]の間で、ペダルをアシストカから負荷に徐々に切り替えた。

設計した支援力は、患者を模擬する筋骨格シミュレーションにて目標となるシナジーを発生させること(図 5(a))、そのシナジーは、健常者に B にて開発したペダル型リハビリ装置を



(a) 患者を模した筋骨格シミュレーション



(b) 健常者が試作機を利用した場合

図5 ペダリング運動による筋シナジー (活性化係数)

使用して貰ったときに発生するシナジーに類似 していること(図5(b))を確認した。

# B. 支援力/負荷の可変制御機構を有するペダ リング訓練装置の開発

一般的なエルゴメータは、左右クランクが連結されているため、使用者は左右の足を同時に動かしてペダルを漕ぐ。しかし、片麻痺患者がエルゴメータを漕ぐ場合、動作の大部分を健常肢に頼ることになるため、トレーニングには不適切である。そのため、患者の麻痺肢の自発的な動きを促す必要がある。

そこで、本研究は左右独立式のペダリング装置を考案した(図 6、図 7)。各ペダルには、負荷・アシスト力を発生させるアクチュエータと回転角度を測定するエンコーダ、踏力を測定する力センサを搭載した。両ペダルのマスター・スレイブ制御により、麻痺肢側のペダルをマスター、健康肢側のペダルをスレイブとすることで、患者が麻痺肢側からペダルを漕ごうとすると、ロボットは通常のエルゴメータと同じように動作する。一方、健康肢側からペダルを漕ご



図6 開発した試作機 (使用例)





図7 開発した試作機

うとすると、ペダルはスレイブとなり、ペダル を漕ぐことができない。そのため、患者は麻痺 肢側からペダルを漕ぐことになり、正常歩行訓 練の効果向上が期待できる。

患者の健常肢側の踏力は健常者と同等の300 [Nm] が想定される。モータを用いてブレーキ力を発生させた場合,逆起電力によってモータ制御回路に過電圧異常が発生する恐れがあるため,モータ駆動用サーボアンプと回生抵抗器を組み合わせた回路構成とした(図8)。支援力の制御指令値は図4(b)を用いた。

左右ペダルの踏力を測定する力センサは現場での取り回しの良さ、配線によって患者の動作を妨げないことを考慮し、Bluetooth 通信にてメインコントローラに踏力情報を通信する方式とした。

本試作機を用いた被験者実験を実施した。本 実験では、健常者に我々の提案するロボットに 慣れてもらうため、約10分間、自分のペース で自由にペダルを漕いでもらった。被験者が本 ロボットに慣れたと申告した後、被験者が試作 ロボットを漕いでいる間の両脚のEMG信号を 測定した。一連の実験は理学療法士の指導のも と、安全に配慮して実施した。EMG信号より 抽出した筋シナジーを図5(b)に示す。被験者 の下肢に、シミュレーションと同様に正常歩行 に似た筋シナジーが発現したことを確認した。

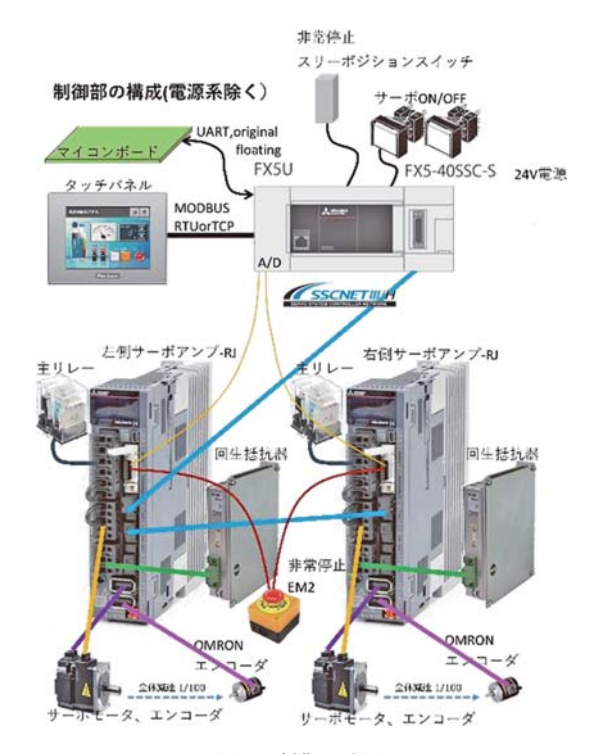


図8 制御回路図

#### [成果の発表, 論文など]

久保穂佳,中後大輔,村松聡,横田祥,佘錦華,石黒 圭応,橋本洋志,筋シナジーを利用した随意運動誘 導による正常歩行機能改善のためのエルゴメータ型 下肢リハビリテーションロボット,第25回計測自 動制御学会システムインテグレーション部門講演会, 2F5-06,2024.

# Mixed Reality と慣性センサを用いた空間認知と 運動機能の定量化システム

2241019



研究代表者 東北大学 大学院工学研究科 教 授 林 部 充 宏

# [研究の目的]

近年. 医療技術の進歩とグローバルな経済成 長により、世界的に急速な高齢化が進んでいる。 加齢に伴い、運動機能と認知機能の両方が低下 し、転倒などのリスクが高まることが広く知ら れている。その結果、これらのリスクを軽減す るためのリハビリテーションサービスの需要は, 高齢者人口の増加に伴って増加すると予想され ている。リハビリテーションは、要介護状態の 予防, 症状の緩和, 移動能力の維持に不可欠で ある。しかし、現在の運動機能評価は目視や主 観に頼るのもが多い。療法士の経験や知識に依 存するため、療法士によって判断が分かれる可 能性や正確な情報共有が難しい場合がある。ま たリハビリテーションは単調な動作を繰り返し 行うため、患者のモチベーション維持が難しい という課題が存在する。こうした背景から、患 者の意欲を保ちつつ自動的かつ定量的評価が可 能なリハビリテーション手法が求められている。

本研究の目的は、一般的なデバイスを使用したトレーニングゲームを通じて、シナジーの観点から歩行や指の運動機能を評価することである。また我々は Mixed Reality (MR) という技術に着目した。MR とは現実世界と仮想世界を融合させる技術として表現される。また認知機能と関わりがある手指機能の定量的評価を目的とするタスクと運動予測の評価を目的としたタスクをそれぞれ MR を用いて開発を目指した。MR 仮想物体操作ゲームを開発し、環

境の現実感を保ちながらトレーニング効果を高める効果を狙った。

# [研究の内容,成果]

# [実験1:手指運動評価のための物体把持タスク]

手指機能の評価にはシナジー解析を用いる。 運動に潜在する関節や筋肉の協調運動のことを シナジーと呼ぶ。手指運動には多数の関節・筋 肉が関わっており、冗長性が高いことから運動 の時系列データから解析を行うことは難しい。 そこでシナジーを用いることでデータの低次元 化を行って協調運動を抽出することとした。本 研究では空間的連動を表す Spatial Synergy を 用いた。

仮想空間上のオブジェクトを指定された 10 種類の把持方法で操作することが求められる (図 1)。MR 物体把持タスクでは、この仮想オブジェクト操作を MR 環境上で行う。MR 物体把持タスクの様子については図 2 に示す。画面右側に把持対象のオブジェクトが出現する。このオブジェクトを指定された把持方法でつかみ左側のゴールまで運ぶタスクである。オブジェクトをつかみ損ねて落とした場合には失敗



図1 VR空間を用いた把持タスクとシナジー解析



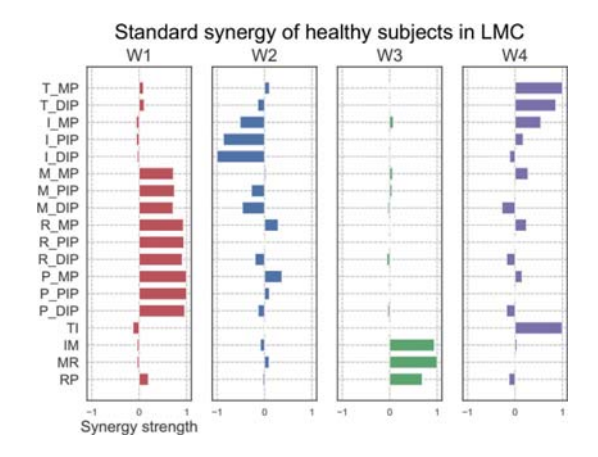
図 2 Mixed Reality を用いた物体把持操作の様子

となる。10種類の把持方法でそれぞれ3回成功するまでタスクを行う。MRを用いることでPC画面に投影する場合よりも空間的な配置を認識しやすくなる上に,仮想手と自身の手の位置が一致するためタスクに取り組みやすくなることが期待される。図1の物体把持タスクではオブジェクトの上方から把持することを求められた。一方,MRタスクではハンドトラッキング精度を向上させるためにオブジェクトを下方から把持することを求められる。HoloLens2では頭部のセンサでハンドトラッキングを行う。そのため下方からの把持にすることで手のひら側からトラッキングを行い,自身の手で指関節が隠れることを防ぐことで精度向上が期待できる。

MR 物体把持タスクを健常者 8 名に対して行った。得られた 8 人の把持動作中の関節角度データに対して PCA と Varimax 回転を適用して MR 物体把持タスクにおける標準シナジーを抽出した。こうして得られたシナジーと赤井田らの通常 VR 空間での Leap Motion Controller (LMC) 物体把持タスクで得られたシナジーを比較した。シナジーの比較には類似度を用いた。類似度の計算は以下の式で求められるコサイン類似度を用いた。

図3にLMCとMRの物体把持タスクで得られた把持動作データから抽出された標準シナジーを示す。W1, W2, W3では類似度が高くMRであってもLMCの場合と同様のシナジーが得られた。一方でW4は類似度が低くなる結果となった。

LMC では親指の協調運動を表すシナジーが 現れていたが、MR では親指の協調を表すシナ ジーは現れなかった。表1にLMC と MR での



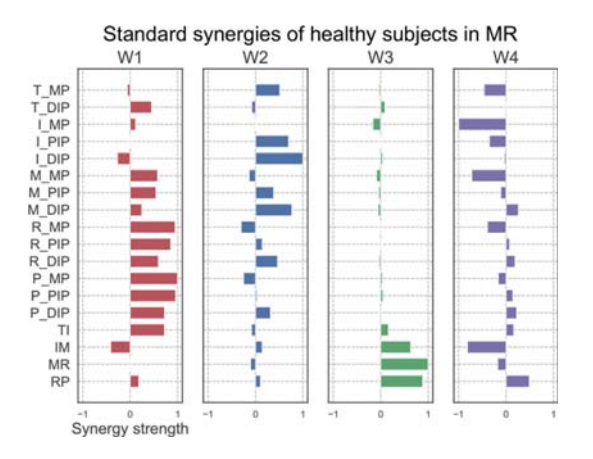


図3 物体把持タスクから抽出された標準シナジー

表1 タスクにかかった時間の平均とミス回数の平均

	平均時間 [s]	ミス回数
LMC	$220.9 \pm 67.7$	12.4±6.3
MR	$216.1 \pm 67.4$	$6.7 \pm 3.7$

タスク完了にかかった時間の平均とミス回数の 平均を示す。完了時間にはほとんど差は現れな かった。ゆえに MR 物体把持タスクでは LMC 物体把持タスクと同等の時間効率でタスクが行 えることが示された。一方でミス回数は MR の方が 5.7 回少ない結果となった。このことか ら MR タスクの方がミスしにくく、取り組み やすいタスクになったことが示された。

異なるシナジーが現れた要因としては大きく 二つの可能性が考えられる。一つ目はタスクを 変更したことで手の動きが変化した可能性であ る。オブジェクトをつかむ方向を下方からに変 更したことと、MR 空間でのタスクに置き換え たことで被験者の手の使い方が変化した可能性 がある。二つ目は HoloLens 2 のハンドトラッ

キング精度の問題である。MR 物体把持タスク では親指の協調運動を表すシナジーが現れな かった。ゆえに親指の関節位置を上手く認識で きていなかった可能性が考えられる。MR 物体 把持タスクでは LMC 物体把持タスクと比較し てミス回数が5.7回減少した。この要因として は MR 空間にオブジェクトを配置することで オブジェクトとの距離感をつかみやすくなった ことと、仮想手が被験者の手に重ねて表示され ることが考えられる。MR を用いて空間上にオ ブジェクトが存在するかのように見せることで, 二次元の PC 画面に仮想空間を投影するときと 比べて日常に近い環境でタスクに取り組むこと ができたと考えられる。また LMC では自身の 手から離れて表示される仮想手を MR で重ね て表示することでより直感的にタスクに取り組 むことができたと考えられる。これらのことか ら MR を用いることでより取り組みやすいタ スクを実現できたと考えられる。

# [実験2:運動予測能力評価タスク]

運動予測タスクでは、複数の物体の動きを見ながら適切な判断を下すことができるかについての運動認知能力評価することを目的とした。本タスクでは複数の異なる速度で移動するオブジェクトを適切なジェスチャーでタッチすることが求められる。ゲームの様子を図4に示す。

図4のように前方に6つの赤色と青色の仮想 オブジェクトが表示される。その中からいくつ かのオブジェクトが異なるタイミング,異なる 速度で被験者へ向かって動き出す。オブジェク

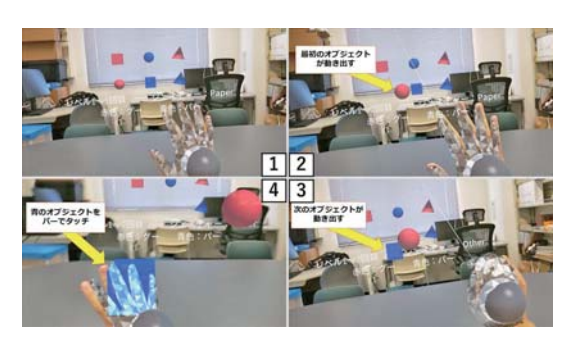


図4 Mixed Reality を用いた運動予測能力評価

トの動き出すタイミング、速度はランダムに決定されるが、後半に動き出すオブジェクトほど速いスピードで移動する。被験者はそのオブジェクトに対して赤色のオブジェクトにはグー、青色のオブジェクトにはパーのジェスチャーでタッチすることが求められる。ジェスチャーを間違えた場合、タッチできずに通過した場合は失敗となる。動くオブジェクトの数は Tasklでは2つ、Task2では3つ、Task3では4つとなる。オブジェクトの速度、位置を正しく認識してどのオブジェクトが先に自身のもとへ到達するかを予測する能力が求められる。これによる運動の認知と予測能力を評価する。

MR 運動予測タスクを健常者3名に対して 行った。3つのタスクをそれぞれ5回ずつ行い、 被験者、タスク別の成功率を測定した。成功率 は(正しいジェスチャーでオブジェクトをタッ チした回数)/(動いたオブジェクトの総数)で 計算される。またオブジェクトが動き出した順 番通りに被験者へ到達した場合と、後から動き 出したオブジェクトが先に動き出したオブジェ クトを追い越した場合での成功率についても比 較を行った。図5に被験者3名のMR運動予 測タスクのタスク別の成功率を示す。動き出す オブジェクトの数の違いによる成功率の傾向は みられなかった。この結果から健常者において 動き出すオブジェクトの数はタスク難易度には 影響しないことが示唆される。次に、タスク中 にオブジェクトの追い越しがあった場合とな かった場合での成功率を比較したグラフを図6 に示す。追い越しが発生した場合にはすべての 被験者において成功率が低下した。

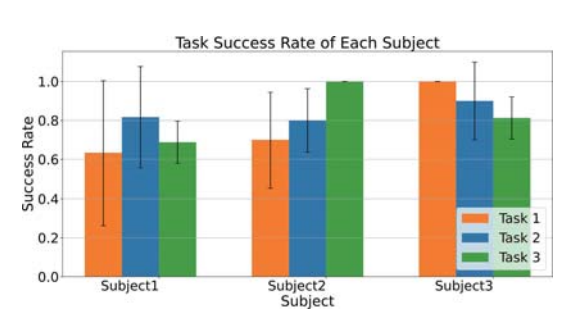


図5 MR 運動予測タスクのタスク別の成功率

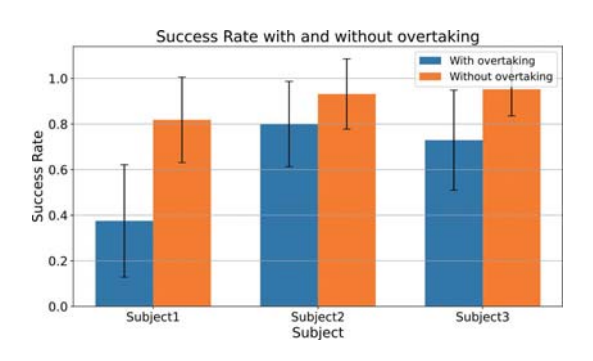


図 6 タスク中にオブジェクトの追い越しがあった場合と なかった場合での成功率

運動予測タスクでは、被験者間でタスク別の 成功率に一定の傾向はみられなかった。このこ とから動き出すオブジェクトの数はタスクの難 易度に大きな影響を与えないことが示唆される。 一方で、オブジェクトの追い越しがあった場合 となかった場合での成功率を比較するとすべて の被験者で追い越しありの方が成功率が低く なった。追い越しありの場合はそれぞれのオブ ジェクトの位置・速度を正確に認識して. どち らのオブジェクトを先にタッチするか判断する 必要がある。そのため、単純に動き出した順番 でタッチする場合よりも難易度が上がったと考 えられる。この結果から追い抜きの回数、タイ ミングを調整することでタスクの難易度を設定 し,運動予測,空間認知,判断能力などの認知 機能を評価できる可能性が考えられる。

# [実験3:慣性センサを用いた運動評価タスク]

手指評価と運動予測評価と共に,日常動作で 重要となる歩行評価についてのシステム開発も 行った。

2つの IMU センサのみを使用した下肢運動 学予測のための物理情報を取り入れた学習フレームワークを提案した。IMU 測定値と人間 の歩行バイオメカニカルモデルから導出された 幾何学的物理制約を、ディープラーニングネットワークの複合損失関数に組み込むことで、 データ駆動型計算を支援する。

システム開発の過程でロボットを活用した歩 行評価によりシステムの動作性, 実現可能性を 検証しながら開発を行った。またシステム開発 後は健常者と慢性期脳卒中患者を対象とした下 肢関節角度予測のための2つの異なるグループ での広範な実験により、物理法則埋め込みフ レームワークの実現可能性を確認した。提案フ レームワークは、学習データー部しか利用でき ない場合でも一定の精度を維持できるのに対し、 純粋な学習アプローチでは精度を保つために大 量のデータサイズが必要であった。この部分の 研究結果については現在 Journal 論文に投稿中 である。

# [まとめ]

本研究では、Mixed Reality を用いて手指機 能評価を目的とした物体把持タスクと認知機能 評価を目的とした運動予測タスクを開発した。 物体把持タスクでは先行研究と比較して一部異 なるシナジーが抽出された。タスクを変更した 点とデバイスのハンドトラッキング精度が要因 である可能性が挙げられる。一方で、被験者の ミス回数は先行研究と比較して減少した。現実 世界と仮想世界を融合し、オブジェクトを空間 的に配置されているように見せるという MR の特徴を活かすことで運動タスクへの取り組み やすさを向上させることができた。運動予測タ スクでは、オブジェクトの数ではなく、オブ ジェクトの追い越しの有無が難易度に影響を与 えることが示唆された。追い越しに着目した難 易度設定を行うことで、被験者ごとの運動認知 能力をタスクを通して評価できる可能性がある。

今後の課題として、物体把持タスクではデバイスのトラッキング精度の検証が挙げられる。デバイスのトラッキング精度を明らかにすることで、得られたシナジーが MR タスク特有のものであるか、認識精度の影響であるかを明確にする必要がある。運動予測タスクでは新たな難易度設定、評価指標を導入することで被験者の認知機能を定量的に評価することに取り組むことを考えている。

# [成果の発表, 論文など]

- Y. Sorimachi, H. Akaida, K. Kutsuzawa, D. Owaki, <u>M. Hayashibe</u>, Synergy-Based Evaluation of Hand Motor Function in Object Handling Using Virtual and Mixed Realities, Sensors, 25 (7), 2080, 2025.
- 2. 反町優平, 沓澤京, 大脇大, <u>林部充宏</u>, "Mixed Reality を用いた物体把持操作におけるシナジー抽出を介した手指運動機能評価", 第 25 回計測自動制 御学会 SI 部門講演会, Dec 2024
- 3. 鈴木俊輔, 反町優平, 沓澤京, 大脇大, <u>林部充宏</u>, "リハビリテーション応用に向けた複数人のイン タラクションが可能な Mixed Reality ゲームの 開発", ロボティクス・メカトロニクス講演会 (ROBOMECH2025), June 2025

# 複合現実空間における漫符を活用したロボットによる 自己表現生成 AI に関する研究

2241023



研究代表者 産業技術総合研究所

研究員 藤井 綺香

# [研究の目的]

近年、社会における様々な場所でロボットを 含めたエージェントが活躍を始めている。同じ 空間で活動する仲間としてエージェントと人の 親近感を高めるためには、情報伝達を行うだけ でなく、感情表現を伴うインタラクションが重 要であると考えられる。またロボットが、モー タの不調や認識機能のエラーなどの内部状態を. 人間に対してわかりやすく表現することも有用 である。本研究では、自己表現を提示するハー ドウェアを持たないロボットを含めた様々な エージェントに適用可能で、汎用的な感情表現 のインタラクション技術を構築することで,人 間とエージェントのより良い協調・共生関係を 構築することを目的とする。具体的には、漫符 表現(漫画でキャラクターの状態を表現するた めにシンボル的に用いられる手法)を活用して, 豊かな感情表現を実現することを目指す。

ロボットによる感情表現に関する研究において、表情や動作、音声など、多様な手法の有効性が示されている。しかし、ロボットの形態は、ヒューマノイド、動物型、車輪移動型、アーム型など多岐にわたるため、多様な外観に幅広く適用可能な感情表現の手法を構築する必要があると考えられる。そこで本研究では、漫画において登場人物やキャラクターだけでなく、動物や物体にも豊かな感情表現を与えることのできる漫符に着目する(図 1)。過去にも、ロボットにおいて漫符表現を用いることで、感情が伝

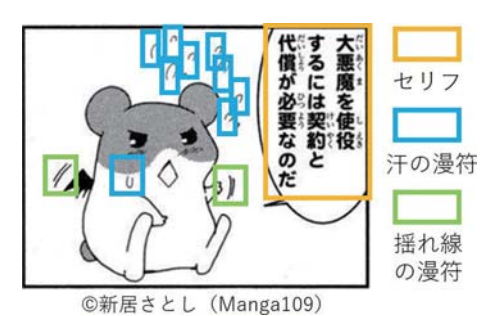


図1 漫画内で使用されている漫符の例

わりやすくなるという基礎実験が行われてきている<sup>□</sup>。しかし、漫符表現に関する体系化されたデータベースや、対話の文脈に合わせて漫符を生成するモデルの開発は行われていないため、本研究ではまずこれらに取り組む。また、漫符を用いた従来研究では、ロボットに LED ディスプレイなどの専用の表現デバイスを組み込むことで感情表現を実現している。しかし、全てのロボットに表現デバイスを組み込むのは現実的ではないと考えられるため、複合現実 (MR) 技術を活用した提示手法の検討を行う。

# [研究の内容, 成果]

漫符を用いたヒューマンエージェントインタラクションの実現に向け、本年度は、①漫画のデータセットを用いた漫符のアノテーション、②漫符を表示しながら対話インタラクションを行うエージェントのプロトタイプ開発、③複合現実内でロボットに合わせて漫符を提示するシステムの基礎検討、を実施した。

# 1. 漫画のデータセットを用いたアノテーション

# 1.1 漫符のアノテーション方法の検討

まずは、人物や人型のキャラクターに着目して、漫符のアノテーション方法の検討を実施した。漫符をエージェントに合わせて表示するためには、漫符の種類の分類と提示位置が大事であると考え、それぞれに関して、分類を行った。

漫符に関する文献<sup>[2]</sup>等を参考に、図2に示すような55種類の漫符を抽出した。オノマトペや、背景や風景に関連するもの、表情やジェスチャーに分類されるようなものは除外した。付与位置に関しては、2次元での位置に関して検討した従来研究<sup>[3]</sup>を参考にするとともに、最終的に3次元空間に存在するロボットにも適用することを想定し、人間の各身体部位の前、後ろ、外側、内側、などを含めた分類を行った。

また、実際に漫符を提示する上では、表示する個数も大事となる。例えば、汗を表現するときには、水しぶきの漫符が複数用いられる場合が多い。また、眠りのマークや気づき線などの、典型的に複数個の組み合わせで用いられるものに関しては、まとめて1つとみなして取り扱うこととした。



図2 分類を行った漫符一覧

# 1.2 アノテーションツールの開発及びアノテーション

漫符に関するアノテーションを行うデータセットとして、Mangal09<sup>[4,5]</sup>を利用した。これは、109冊の日本の漫画作品からなるデータセットであり、収録されている作品のジャンルは多岐にわたる。コマや、セリフなどのテキスト、キャラクターの顔や身体に関するアノテーションが付与されている。さらに、Mangal09



(アノテーション対象例としている漫画: ©よしまさこ (Manga109より))

図3 開発したアノテーションツール

内のセリフと発話者を対応づけたデータセット も存在する。しかし、漫符に関するアノテー ションは提供されていない。

本研究ではまず図3に示すように、漫画内で 描かれている漫符と、関連する登場人物の発話 を対応づけてアノテーションするためのツール を開発した。開発は、Python でグラフィカル ユーザーインターフェース (GUI) を作成する ためのツールキットである Tkinter を用いて 行った。GUI には、アノテーションの対象と するページとその前のページの漫画の画像を表 示した。漫画の画像内の対象となる漫符をバウ ンディングボックスでアノテーションできるよ うにするとともに、その種類と位置をクリック するボタンや、個数を入力する欄を配置した。 また、漫符が付与されているキャラクターの名 前とセリフの内容を選択するプルダウンボック ス及び、その前の文脈に関連するキャラクター の名前とセリフの内容を選択するプルダウン ボックスを設けた。そして、これらの漫符と対 話内容に関するアノテーション結果を csv 形式 で保存できるようにした。

開発したアノテーションツールを用いて、Mangal09 データセットのアノテーション作業を実施した。本年度はまず人物に関連する漫符に焦点を当て、データセットの一部に対してアノテーションを行った。今後は、動物や物体などに付与されている漫符等も含めてアノテーションを拡張していきたいと考えている。

2. 漫符を用いた対話インタラクションシステム

# 2.1 文脈に合わせた漫符の生成

会話の文脈に応じて適切な漫符を推定・出力するモデルを構築するために、大規模言語モデルのファインチューニングを行った。大規模言語モデルには、OpenAI の GPT4o (gpt-4o-2024-08-06)を採用した。また、漫符と発話内容を関連づけた csv 形式のアノテーションデータを、GPT-4o に対応する JSONL 形式に変換することで、ファインチューニング用のデータを作成した。そして、アノテーションの方針に沿い、会話内容に関連した漫符の種類、場所、個数を、OpenAI API の function calling 機能を用いて取得できるようにした。

# 2.2 漫符を提示可能な対話エージェントの開発

図4に示すように、3DCG エージェントが対話の文脈に合わせた漫符を提示することで、豊かな感情表現を行うことを目指した対話インタラクションシステムのプロトタイプ開発を行った。

システム構築基盤として、キャラクター制御 やユーザーインターフェースの設計に優れ、 MR アプリケーションも開発可能なゲームエン ジンである Unity を採用した。また、エージェ ントとして表示される 3D キャラクターモデル は、VRoidHub という 3D キャラクターの共有 プラットフォーム内で公開されているものを利 用した。

ユーザーインターフェースはシンプルな構成



図4 漫符を用いた対話インタラクションシステムの プロトタイプ

であり、ユーザーが任意の会話内容をテキストで入力すると、それに対するエージェントからの応答がテキストで出力される。同時に、その対話内容に応じた漫符がエージェントの3Dモデルに合わせて表示されるというものである。エージェントのテキストによる応答内容及び、表示される漫符の種類や表示位置、個数に関しては、前述のファインチューニングを行った大規模言語モデルを用いて決定している。

漫符の提示に関する具体的な実装としては、まず Unity のシステム内にあらかじめ漫符の画像データを準備しておくとともに、3D エージェントモデルの既存のボーンに対応付けた漫符表示ポイントを設定した。そして、大規模言語モデルからの出力に応じて、対応する表示ポイントに画像データを Unity の GameObject として追加したり削除したりすることで、インタラクティブに漫符を提示するシステムとしている。

#### 3. ロボットへの応用に関するシステム検討

実世界のロボットに漫符を用いた感情表現を 拡張するために、MR 空間でロボットの身体に 合わせて漫符を提示する手法の検討を実施した。 ロボットのモデル情報や、各関節角度の情

報, Simultaneous Localization and Mapping (SLAM) 等による位置推定情報が取得可能な場合は、ヘッドマウントディスプレイ (HMD) 装着者の座標系とロボット座標系を対応付けることで、ロボットの骨格に応じて漫符を配置して提示することができる。また位置情報に関しては、ARマーカーを利用することでも、HMD 装着者とロボットとの相対的な位置関係を取得可能である。

一方で、ロボットの位置情報や関節角度情報などを取得できない場合は、HMDのカメラなどで取得した画像からのロボットの骨格推定が必要と考えられる。初期検証として、人型に近い身体デザインを有するロボットの画像に対して、MediaPipe や MMPose などの従来は人間

の骨格推定に用いられているモデルを適用し、検討を行った。その結果、HRP-4やNAOなどの二足歩行ロボットでは主要関節を推定でき、既存モデルを適用可能であった一方で、Mirokiなどの車輪移動ロボットなどは上半身も含めてうまく推定できない場合が多かった。今後は、ロボット実機のデータやシミュレータ上でのデータを用いて既存モデルの転移学習などを行うことで、ロボットのための骨格推定器を構築することを検討している。

上記の事柄を考慮して、Unity を通じて Robot Operating System 2 (ROS2) と MR ヘッ ドセットを組み合わせたシステムの開発に着手 した。

#### **4.** おわりに

# 4.1 本研究のまとめ

本研究では、エージェントの感情表現を拡張 する技術として、漫画におけるシンボル表現で ある漫符を活用する新たなアプローチを提案し た。

まず、55種類の漫符を抽出するとともに、 人型のキャラクターにおける3次元空間への拡 張を視野に入れて付与位置の整理を行った。そ して、漫画のデータセット内の漫符と発話内容 を対応づけたアノテーションデータと大規模言 語モデルを用いて、会話の文脈に基づいて適切 な漫符を提示するためのシステムを構築した。

また、漫符を用いたエージェントとのインタラクションのプロトタイプとして、3DCG エージェントに合わせて漫符を表示しながら対話を行うアプリケーションを実装した。ロボット実機への応用に向けて、ロボットの骨格推定や位置推定情報を基に、MR の HMD を用いて漫符の表示を行う仕組みの検討を進めた。

# 4.2 今後の展望

今後はまず、現在開発中の MR 空間でロボットの身体に合わせて漫符を提示するシステムの 開発をすすめるとともに、対人実験を通じた評価を実施したいと考えている。 また現在は、人間に近い身体デザインのキャラクターを対象に、漫符のアノテーションを実施しているが、動物や物体に付与されている漫符に関しても分析を行いたい。そして、アーム型ロボットやロボット掃除機のような人型にも動物型にも該当しないエージェントの場合は、どのように漫符を提示するのが適切かということなども検討していきたい。

提示する漫符に関しても, 現在の画像データから 3D モデルに変更し, 動的エフェクトやアニメーションなどをつけることで, より豊かな表現を行うことができると考えている。

汎用的な感情表現手法である漫符と, 比較的 低コストで実装可能な複合現実技術を組み合わ せることで, 家電などの身近なものも含めたイ ンタラクション技術への拡張も可能であると考 えられる。本研究成果を発展させ, エージェン トとのより良い共生社会の実現に貢献したい。

# [参考文献]

- [1] T. Kishi, H. Futaki, G. Trovato, N. Endo, M. Destephe, S. Cosentino, K. Hashimoto, A. Takanishi: Development of a Comic Mark Based Expressive Robotic Head Adapted to Japanese Cultural Background, 2014 IEEE/RSJ International Conference on Intelligent Robots and Systems, pp. 2608–2613, 2014
- [2] こうの史代: ギガタウン漫符図譜, 朝日新聞出版, 2018.
- [3] 赤井友紀,盛山将広,松下光範:漫符を利用したコミック内の心情・行動描写検索システム,情報処理学会研究報告, Vol. 2017-DCC-15, No. 42, pp. 1-7 2017
- [4] Y. Matsui, K. Ito, Y. Aramaki, A. Fujimoto, T. Ogawa, T. Yamasaki, K. Aizawa: Sketch-based Manga Retrieval using Manga109 Dataset, Multimedia Tools and Applications, vol. 76, no. 20, pp. 21811–21838, 2017.
- [5] K. Aizawa, A. Fujimoto, A. Otsubo, T. Ogawa, Y. Matsui, K. Tsubota, H. Ikuta: Building a Manga Dataset "Manga109" with Annotations for Multimedia Applications, IEEE MultiMedia, vol. 27, no. 2, pp. 8–18, 2020.

# [成果の発表,論文など]

[1] Ayaka Fujii, Ken Fukuda: Development of a Human-Agent Dialogue Interaction System Using Comic Symbols for Enriching Agent Expression, HCI International 2025, 2025. (発表予定)

#### 非侵襲的な振動感覚刺激を用いたうつ病症状緩和システムの基盤構築

研究代表者 (助成金受領者) 共同研究者 2231024

聖マリアンナ医科大学 医学部

講 師 藤 岡 仁 美

聖マリアンナ医科大学 医学部 牛理学

師 藤原清悦

聖マリアンナ医科大学 医学部 生理学

研究技術員 鳴海 栄

#### [研究の目的]

日本では現在100万人以上がうつ病と診断され、治療を受けている。患者が受ける苦痛に加え、うつ病によって生じる社会経済的損失は大きい。うつ病の治療の基本は抗うつ薬を中心とした薬物療法であるが、およそ3分の1の患者は寛解に至らず、このような治療抵抗性を示すうつ病に対する新たな治療方法を開発することは急務である。

うつモデル動物を用いた基礎研究では外側手網核ニューロンの活動が健常ラットと比較して高い事が知られている。また、うつモデル動物の小脳皮質活動を人為的に上昇させるとうつ様行動が改善される(Baek, Elife 2022)。さらに、体性感覚情報は小脳にも入力している事が知られている。これより、我々は動物の体幹に慢性的に感覚刺激を与えれば、小脳皮質活動が増加し、その変化は前頭前野を経由して外側手網核の活動頻度を低下させて、うつ病様行動が改善される可能性があると考えるに至った(図 1)。

小脳皮質 外側手綱を 前頭前野 小脳核 視床 腕党入力

我々は上記可能性を検証するために、動物用

図1 想定される神経経路

振動刺激装置を新たに開発し、うつモデル動物に対して慢性的に振動刺激を与えて、うつ様行動の変化を観察した。さらに、振動刺激に対する当該動物の脳神経活動の変化についても検討した。

#### 「研究の内容. 成果]

#### 1. うつモデル動物の選定

うつモデル動物を作成するには、健常動物に 対して、慢性的なストレスを与えてうつ様行動 を発現させる手法が一般的に用いられている。 このモデル動物では、セロトニン再取り込み阻 害剤 (SSRI) 等の一般的な抗うつ剤の効果が 高く、新規薬剤の評価に頻繁に使用されている。 しかしながら、時間の経過による自然治癒の可 能性を考慮する必要があり、治療効果の判定に は慎重な対応が求められる。Wistar Kvoto rat (WKY rat) は先天的にうつ脆弱性を持ち、特 別な操作無しで、うつ様行動をとる事が知られ ており、うつ様行動の自然治癒の見込みはなく. さらに、SSRI 等の一般的な抗うつ剤の効果が 無いことが知られている。そのため、WKY ラットは、ヒトの抗治療性うつ病のモデルとし て使用されている。

先に述べたとおり、本研究では、治療抵抗性 うつ病を主なターゲットとする新たな治療法を 開発する事を目的としているため、WKY ラッ トを被験動物として使用した。

## 2. 慢性的な振動刺激による動物のうつ様行動の改善

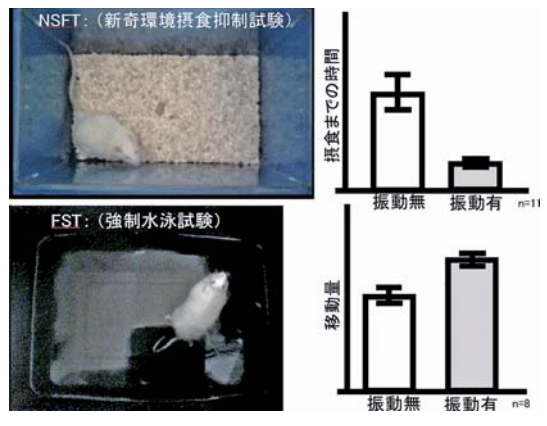
#### 2.1 慢性振動刺激

開発した動物用振動刺激装置を WKY ラットに装着し, 数週間程度, 慢性的に振動刺激を加えた (装置の諸元と詳細なプロトコルに関しては, 知的財産保護の観点から省略)。

# 2.2 新奇環境摂食抑制試験 (Novelty Suppressed Feeding Test; NSFT)

慢性振動刺激終了直後より、被験動物を 24 時間絶食した。その後、新奇環境下で中央に餌ペレットを1つ置いた状態の新規ケージ中に被験動物を入れて、摂食するまでの時間を計測した。この試験における摂食までの時間は、うつ様行動を発現している動物では長く、健常動物では短い事が知られている。

我々の実験結果では、慢性的な振動刺激を印加した群は、印加しなかった群と比較して摂食するまでの時間が有意に短縮した(図2上段右)。



上段左:新奇環境摂食抑制試験の様子

上段右:試験の結果(摂食までの時間)(合計11匹)

下段左:強制水泳試験の様子

下段右:試験の結果(移動量)(合計8匹)

(具体的な数値に関しては、知的財産保護の観点から省略)

図2 行動試験結果

#### 2.3 強制水泳試験 (Forced Swimming Test; FST)

前述した NSFT から約1週間後に、被験動物を温水で満たしたプールに入れて、上方より5分間ビデオ撮影を行った。記録されたビデオ

動画を解析して動物が泳動した累積移動量を求めた。この試験における累積移動量は,うつ様行動を発現している動物では短く,健常動物では長い事が知られている。我々の実験結果では,慢性的な振動刺激を印加した群は,印加しなかった群と比較して5分間の累積移動量が有意に長かった(図2下段右)。

#### 2.4 行動試験のまとめ

NSFT および FST の結果より、体幹への慢性的な振動刺激は、先天的なうつモデル動物である WKY ラットにおいて、うつ様行動を改善させる効果がある事が判明した。

#### 3. 振動刺激に対する前頭前野ニューロンの応答

前節で述べた慢性振動刺激によって,振動刺激に対する神経系の応答が変化している可能性を検討するために,慢性振動刺激を行った後の被験動物に対して,麻酔下で前頭前野に電極を刺入し,ニューロンからの細胞外記録を行いながら,体幹に対して振動刺激を行い,振動に対する反応の変化を記録した。

#### 3.1 実験系

被験動物にウレタン麻酔を腹腔内投与した後に開頭し、前頭前野にタングステン電極を刺入して細胞外記録を行った。慢性振動刺激に用いた振動刺激と同等なパラメータで刺激できる振動子を新たに作成し、本実験の振動刺激に用いた。当該振動子を被験動物の体幹に当てて、2sの刺激期間、2sの休止期間を持つ振動パターンを100回繰り返し、その間の神経活動を記録した。記録箇所を変更して、同様な刺激一記録を繰り返した。

#### 3.2 データ処理

記録された波形に対してカットオフ周波数 400 Hz でハイパスフィルタをかけて低周波成分を除去し、波形全体の平均と標準偏差を求めた。平均値から標準偏差の 3 倍の値(mean-3SD)を閾値とし、閾値より低いピーク値を示した箇所をスパイク(活動電位)として検出した(図 3)。

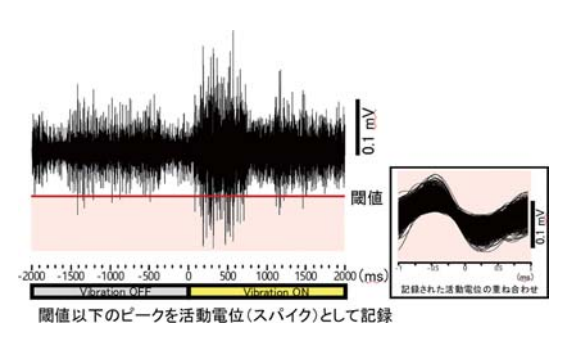


図3 記録された波形 (例)

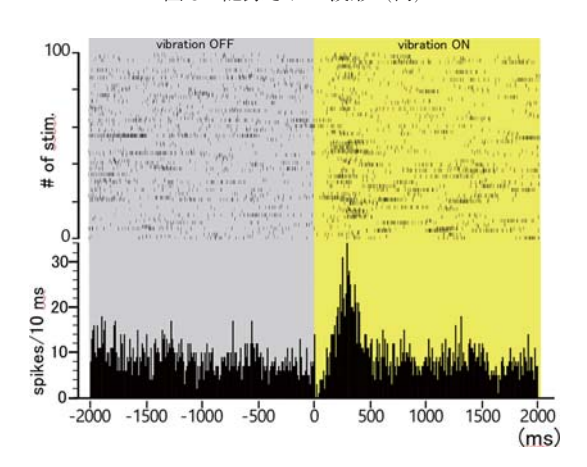


図4 スパイクのラスタープロット (上段) と ヒストグラム (下段) の例

検出したスパイクを1つの点として示したラスターグラムを作成し、それを100回繰り返したラスタープロットを作成した(図4上段)。さらに、このラスタープロットに対して、bin幅10msでスパイク数をカウントしたヒストグラムを作成して、これを振動刺激に対する神経活動の応答とした(図4下段)。

#### 3.3 振動刺激に対する反応

健常で慢性刺激を印加していない動物,うつモデルで慢性刺激を印加していない動物,うつモデルで慢性刺激を印加した動物(各1匹)それぞれに関してスパイクのヒストグラムを作成した(図5)。健常動物では体幹への振動刺激開始から500ms前後でピークが現れる記録箇所が多く見られ(図5上段),うつモデルで慢性刺激を印加した動物でも同様なピークが見られた(図5下段)。これを振動刺激に対する前頭前野ニューロンの反応として,この反応が観察された記録箇所をカウントし,全記録箇所に対する反応出現箇所の割合を算出したところ.

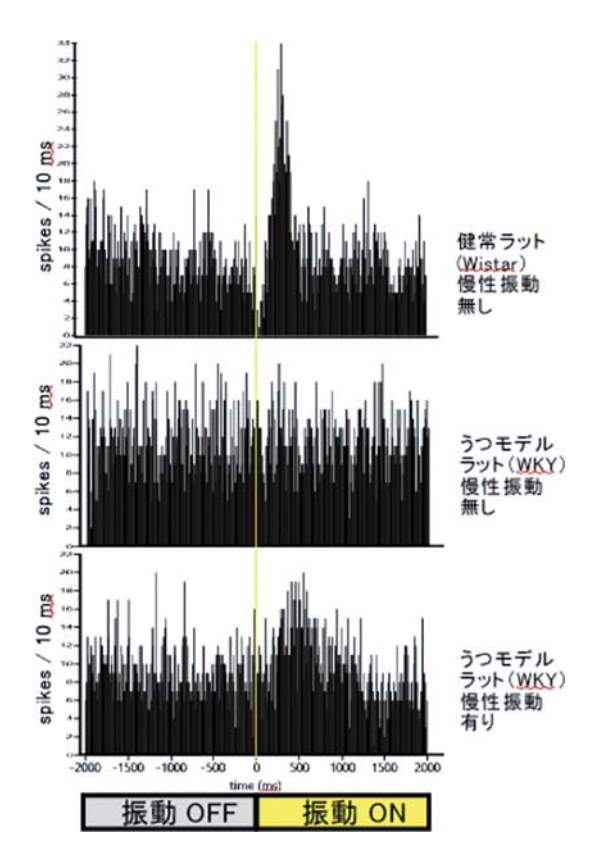


図5 スパイクのヒストグラム (代表例)

健常動物では 72.7%, うつモデルで慢性刺激を印加していない動物では 0%, うつモデルで慢性刺激を印加した動物では 43.8% となった (表 1)。

表1 振動刺激に対して反応を呈した箇所数とその割合

	健常 慢性振動無	うつモデル 慢性振動無	うつモデル 慢性振動有
A:全記録箇所数	47	25	16
B: 反応を呈した 箇所数	34	0	7
(B/A)×100 [%]	72.7	0	43.8

以上より,前頭前野の振動刺激に対する反応性は,健常動物は高く,うつモデル動物では反応しない,もしくは反応性が低いことが示唆される。さらに慢性的な振動刺激を与えられたうつモデル動物では,振動刺激に対する前頭前野の反応性がある程度回復していると考えられる。

### 4. 振動刺激に対する応答脳領域の免疫蛍光染 色による検討

2節で述べた慢性振動刺激により神経応答の変化する脳領域を検討するため、うつモデル動物に慢性振動刺激を行った後、脳組織切片を作成し、神経活動マーカータンパク質であるc-Fosに対する免疫組織蛍光染色を行い、うつとの関連が示唆される各脳領域でのc-Fosの発現の変化を観察した。

#### 4.1 免疫蛍光染色

被験動物またはコントロール動物をペントバルビタール深麻酔下にて、4%パラホルムアルデヒドよる灌流固定を行った後、脳を摘出した。摘出した脳からクリオスタットにて厚さ30  $\mu$ m の脳切片を作成した。作成した切片のうち、前頭前野、視床下部室傍核、外側手綱核を含む切片について、抗 c-Fos 抗体を用いた免疫染色を実施し、続いて脳領域を同定するため蛍光ニッスルによる対比染色を行った。

背側縫線核を含む切片については、縫線核領域を明らかにするためセロトニンニューロンのマーカーである抗-TPH 抗体と抗 c-Fos 抗体との二重蛍光染色を実施した。

#### 4.2 画像解析

正立光学蛍光顕微鏡を用いて、背側縫線核、室傍核および外側手綱核の画像を取得した。これらの領域に対応する関心領域(ROI)は、蛍光ニッスルまたは TPH2 免疫反応性の蛍光パターンに基づき、各画像から手動で描出した。

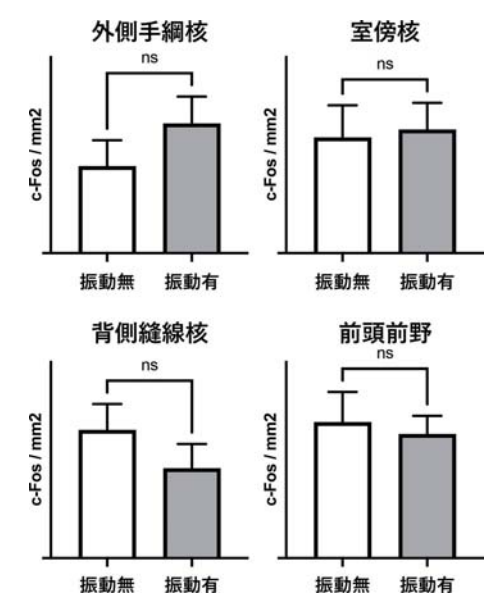
前頭前野の ROI は、共焦点レーザー走査型 顕微鏡と ZEN 3 blue edition ソフトウェアを用 いて取得した、前頭前野を含む切片全体のタイ リング画像から、蛍光ニッスル染色パターンを 指標に、Fiji ソフトウェアと ABBA プラグイ ンを使用して、Waxholm Space Atlas に照らし 合わせ決定した。

定義した各 ROI 内の c-Fos 免疫陽性細胞数は、SimpleCellCounter ソフトウェアを用いて自動的にカウントした。データはラット1匹あたり1領域につき3枚の脳スライスから取得し、

各群5匹のラットを使用した。

#### 4.3 慢性振動刺激による c-Fos 発現の変化

うつとの関連が示唆される各脳領域について、慢性刺激を印加した群と対照群における 1 mm² あたりの c-Fos 陽性細胞数を比較した。その結果、対象とした、前頭前野、室傍核、外側手綱核、背側縫線核のいずれの領域においても、統計的に有意な差は検出されなかった(図 6)。



(具体的な数値に関しては、知的財産保護の観点から省略)

図 6 各うつ関連脳領域における c-Fos 発現細胞数の比較 (n=5 each)

本報告書の3節で示した電気生理学的実験では、うつモデル動物への慢性振動印加により、振動刺激に対し前頭前野の応答が増加することが示唆された。しかしながら、本項目では、前頭前野における神経活動のマーカーである c-Fos 発現細胞数においては、慢性振動刺激の有無による差は観察されなかった。この差異については、特定の刺激への反復暴露がその刺激による c-Fos 発現誘導を減少させるという報告があることから、本実験でも振動刺激を繰り返し与えた結果、誘導される c-Fos 発現が、対照群のレベルまで減少していた可能性が考えられる。

5. 全体のまとめと今後の展望

うつモデル動物の体幹に対して慢性的に振動 刺激を加えたところ,うつ様の行動指標に改善 が見られた。また,慢性的に振動刺激を加えた 動物では,振動刺激に対する前頭前野ニューロ ンの反応性が高くなっている事が判明した。こ れらは,体幹に対する慢性的な振動刺激が,前 頭前野の活動性を変化させて,うつ様行動を改 善させた可能性を示唆する。一方,振動刺激に よるうつ様行動改善に関わる前頭前野以外の領 域については,今後さらなる検討を重ねる必要 がある。

本助成研究により得られた結果は,治療抵抗 性うつ病に対して慢性的な振動刺激が有効な治 療方法である事を示唆する事から,我々は次の 段階としてヒトへの適用を目指し,ヒト用振動 刺激装置の開発に着手している。振動刺激を用 いたうつ病治療装置が実現できれば,非侵襲的 で患者負担が少なく,容易に従来手法と併用可 能な治療機器となる。これによりうつ病の寛解 率の向上に貢献できる事から,本研究の結果は 医学的に重要であり,人間と機械(振動装置) の調和の促進に貢献すると考えられる。

#### [成果の発表, 論文など]

【特許出願】藤岡仁美,鳴海栄,藤原清悦,特願 2024-82629:振動刺激装置,振動刺激器具,及び治療方 法

### MRI・CT 画像下治療のための 多自由度空圧ステッピングモータの開発

2241024



研究代表者 名古屋大学

准教授 部 矢 明

#### [研究の目的]

MRI・CT 画像を見ながら術者が病変に針を 刺すのみで肝・腎・肺などのがん治療や病変採 取等を行う画像下治療が注目されている。画像 下治療は外科手術と比較して患者へのダメージ が小さいため、高齢化も相まってニーズが高 まっている。しかし、人が入った MRI・CT ガ ントリ内は狭小空間となるため、手技の空間が 狭く、アプローチが困難な場合がある。また、 MRI は強磁場による金属の吸引事故の危険性 があり、CT は X 線により患者だけでなく医師 も被ばくする。加えて、MRI・CT の撮像面に 金属が存在する場合, ノイズにより画像信号が 欠損(金属アーチファクト)し、画像診断が困 難となる問題がある。これらの背景から、術者 が手術室の外から遠隔操作する非金属性手術支 援口ボット<sup>(1)(2)</sup>が開発されている。しかし、従 来の MRI・CT 画像下治療用手術支援ロボット の針の姿勢変更機構は、1自由度空圧モータを 複数組み合わせており、大型化が課題となる。 加えて. 姿勢測定のためにはモータの数だけの 角度センサが必要となり、姿勢測定機構の小型 化にも課題が残る。そこで本研究では、MRI・ CT 環境で駆動可能な小型多自由度回転機構の 実現を目的として、樹脂のみで構成可能かつ1 台で多自由度回転を実現する多自由度空圧ス テッピングモータを提案する。

#### [研究の内容,成果]

#### 〈コンセプト〉

本研究で提案するモータのコンセプトを以下 に示す。

- ① 1台で2自由度回転
- ② 樹脂のみで製作可能
- ③ 角度センサを用いずに高精度位置決め

上記コンセプト①を満たすため、球状歯車を 回転子として採用し、複数方向から直動する歯 を微小にずらして噛み合わせることで2自由度 回転を実現できないかと着想した。そして、こ の歯の直動機構に空圧シリンダの構造を応用す れば、空圧力によって回転を生み出し、一般的 な電磁モータのように金属が必要なく、樹脂の みで製作できると考えた (コンセプト②)。さ らに、直動する歯を等間隔で固定して配置すれ ば、球状歯車に対して歯を噛み合わせた回数( =歯の直動回数) によって現在角度が決定する ため、ステッピングモータのように角度センサ が不要と考えた。また球状歯車の歯のピッチを 細かくすることで高精度化が可能なため、コン セプト③を満足すると予想した。以上のコンセ プトをもとに、 実際に検討した構造について次 に示す。

#### 〈基本構造〉

提案構造を図1に示す。回転子は内側に配置 された球状歯車であり、その外側には球状歯車 をヨー方向に回転させるためのヨーギアユニッ

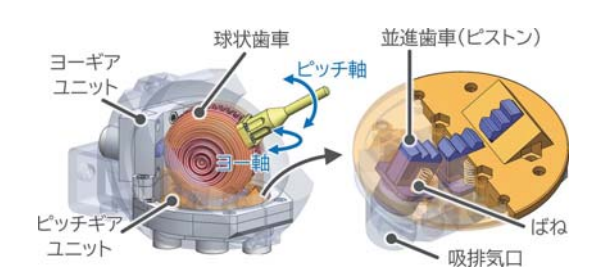


図1 2自由度空圧ステッピングモータ

ト, ピッチ方向に回転させるためのピッチギア ユニットが配置されている。

各ユニットの内部には先端に歯形を有する空 圧ピストン(並進歯車)が3つ配置されている。 ピストン内部には復動用のコイルばねを設置し ており、加圧することでピストンが直動し、開 放することでばね反力によって戻る。そのため、 加圧と開放を繰り返して往復運動が可能となっ ている。球状歯車は、図2に示すように、ヨー 回転用の同心円状の歯形と、中心にピッチ回転 用の歯を有している。従来の球状歯車は図2中 の左のように1方向からのみ歯形を有するもの であり、提案歯車は、図2右のように部分的に 2方向から切られた歯形を有することが特殊な 点である。

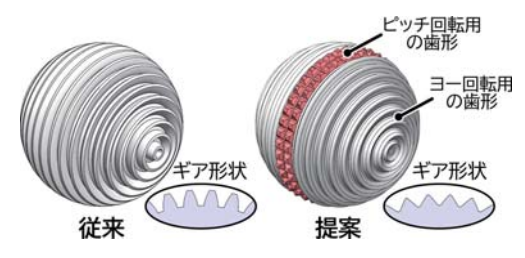


図2 提案モータにおける球状歯車

#### 〈動作原理〉

提案モータの動作原理について述べる。まず、1軸回転における動作原理を図3に示す。歯車のピッチ $\theta$ に対して、各回転軸周りに3つの並進歯車が $\theta$ /3の間隔で配置されている。そのため、並進歯車が空圧により押し出され、球状歯車と噛み合うことで $\theta$ /3回転することができる。この一連の動作を各並進歯車で順番に行うことによって、連続的に回転することができる。ま

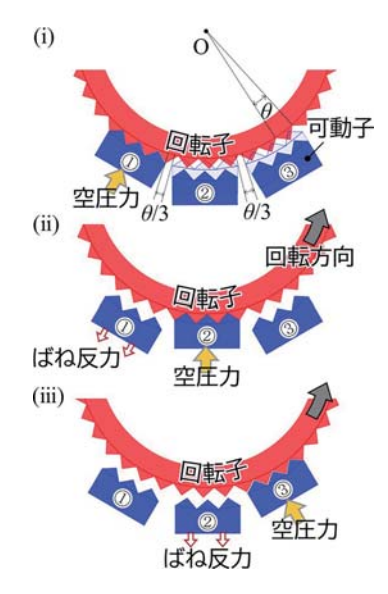


図3 1軸回転原理

た,並進歯車の駆動順序を変えることで回転の 方向を変えられるため,任意の方向へ回転が可 能である。

この1軸回転原理は既存の1自由度ステッピングモータ(Sajima et al., JRM, 2012)と同様である③。単純にこれを利用して2自由度回転を試みても、各軸が互いの軸に干渉し、幾何的に拘束されるため、2自由度回転は不可能である。そこで考案した2自由度回転原理を図4に示す。ピッチギアユニットは球面歯車に同期してヨー回転するため、常に球状歯車と同一平面となりピッチ回転用の歯との嚙み合いが保たれる。また、ヨー回転用の歯形は同心円状のため、ピッチ回転時にヨー回転用の並進ギアと干渉しない。このように、各軸で独立して回転を行うため、入力圧力波形の指定のみで2自由度回転

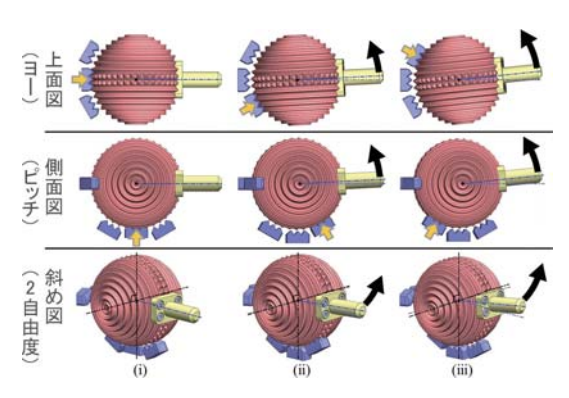


図4 2自由度回転原理

の位置決めが可能となる。

#### 〈試作機〉

製作した試作機を図 5 に示す。球状歯車の外径は 60 mm である。また、歯車のピッチは 9 deg. とし、ステップ角はヨー・ピッチ回転ともに 3 deg. である。図 6 に駆動ユニットと球状歯車の外観を示す。

駆動ユニットの内部構造を図7に示す。前述の動作原理に示したように、空圧ピストン内部にはばね定数kの復動ばねが組み込まれている。圧力Pをピストン受圧面Sにかけ、推力Fが発生し、変位xが起こる。この空圧ピストンに働く推力を力センサ(PFS080YS102U6S、レプトリノ社)により実測した。その測定環境を図8に示す。空圧シリンダ部にかける空圧は圧力制御バルブ(VP5010SBJ111H00、NORGREN社)を利用しており、バルブに与える電圧に応じて圧力を制御できる仕様となっている。0.1



図5 試作機





図6 駆動ユニットと球状歯車

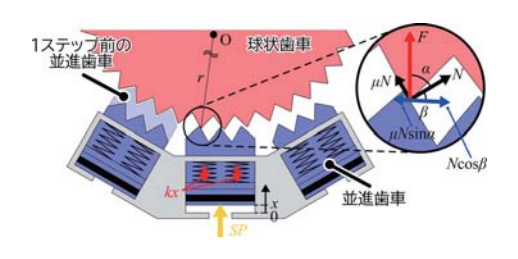


図7 駆動ユニット内部構造



図8 空圧シリンダの推力測定環境

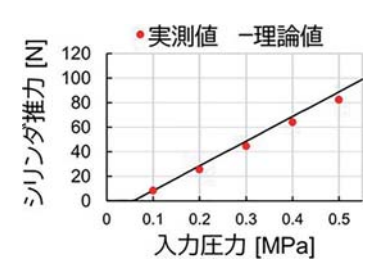


図9 空圧シリンダの推力

MPa ずつ圧力を上げた際の力センサによる推力測定結果と理論値を図9に示す。なお、最大0.5 MPa まで加圧した。理論値と実測値を比較して、その誤差は10%以下であったことから、両者の定性的な一致を確認した。

#### 〈動作精度検証〉

提案モータの動作精度を評価するため、図 10 に示す実験環境にて動作試験を行った。モータの出力軸は2つのガイドレールに接続されており、出力軸の回転によってガイドレールがそれぞれ1方向に回転する機構となっている。モータのヨー・ピッチ回転角度は、ガイドレールの回転角度をエンコーダによって測定することで取得する。なお、本実験においては、エン



図 10 動作精度検証の実験環境

コーダは角度検出のみに用いており、モータの制御には一切利用していない。2自由度同時回転を含む圧力指令を与えたときの回転角度を3回測定し、その平均値を求めた。本実験における圧力指令は回転速度が9deg./sとなるよう与え、入力圧力が0.2 MPaとなるパルス波とした。駆動システムを図11に示す。制御用PCからデジタルシグナルプロセッサシステム(sBox II, MIS社)へ指令を出し、圧力制御バルブにアナログ電圧信号が送られる。圧力制御バルブにはコンプレッサ(SLP-07EEDC6、ANEST IWATA社)から圧縮空気が供給されており、電圧に応じて圧力が変化し、提案モータの各空圧シリンダの圧力を変化させる。

動作検証結果について述べる。ヨー方向の角 度測定結果を図 12(a) に、ピッチ方向の角度 測定結果は図 12(b) に示す。赤線がエンコー ダによる測定結果であり、黒波線が圧力指令に

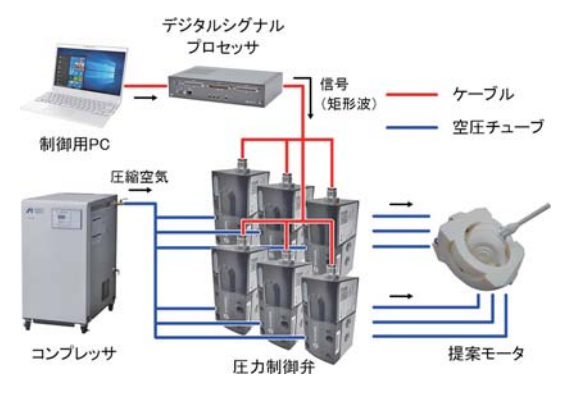


図11 駆動システム

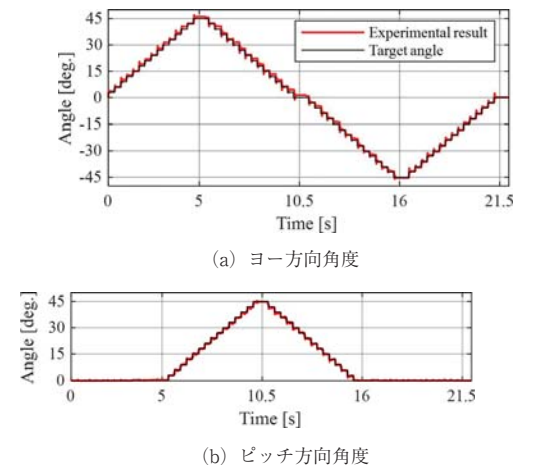


図 12 動作精度の検証結果

よる理想角度である。実験結果から、全時間においてモータが目標角度まで回転していることが確認できる。これは、2軸同時回転時にも動作原理通りに駆動していることを示している。目標角度との最大誤差は、ヨー角で1.64 deg... ピッチ角で0.97 deg.であった。駆動のために角度センサは利用していないため、角度センサなしで位置決めを実現できている。

#### 〈従来球状歯車機構との比較〉

文献<sup>(4)</sup>では、球状歯車を有する2自由度回転機構が提案されている。電磁モータを駆動源として、球状歯車型回転子の2自由度回転が実現されている。また、文献<sup>(5)</sup>では、球状歯車と鞍状歯車を噛み合わせ、球状歯車型回転子の3自由度回転が達成されている。いずれも電磁モータを駆動源とすることを想定しており、本研究とは方向性が異なる。また、球状歯車の形状においても差異がある。本研究では、球状歯車に対して部分的にピッチ・ヨーの両方向に歯形を構成している。この構造を採用することで、球状歯車に対して中間の変換用歯車なく直接噛み合いトルクを与え、2自由度回転を生み出すことができる。この点が本研究の独自性となる。

#### 〈まとめと今後の研究〉

本研究では、MRI・CT環境において撮影画像に影響なく駆動可能な樹脂製2自由度空圧ステッピングモータを提案した。球状歯車を採用した回転子に対して2方向から空圧駆動の並進歯車を嚙合わせることで2自由度回転が可能であることを試作機により実証した。また、並進歯車の直動回数によって現在姿勢が決定する動作原理により、角度センサなく任意姿勢への位置決めが可能であることを実験から示した。今後は、提案モータを複数製作し、それらを組み合わせて駆動するマニピュレータのMRI・CT環境での動作実験を予定している。

#### [参考文献]

- (1) A. Melzer et al., INNOMOTION for Percutaneous Image-Guided Interventions, IEEE Engineering in Medicine and Biology Magazine, vol. 27, no. 3, pp. 66-73, 2008.
- (2) Vincent Groenhuis et al., Design and Characterization of Stormram 4: An MRI-Compatible Robotic System for Breast Biopsy, 2017 IEEE/RSJ International Conference on Intelligent Robots and Systems, 2017.
- (3) H. Sajima et al., MR-Safe Pneumatic Rotation Stepping Actuator, Journal of Robotics and Mechatronics, vol. 24 no. 5, pp. 820-827, 2012.
- (4) 多田隈ら、2自由度を有する球状全方向駆動歯 車機構の研究、日本ロボット学会誌、vol. 36, no. 9, pp. 627-638, 2018.
- (5) K. Abe et al., ABENICS: Active Ball Joint Mecha-

nism With Three-DoF Based on Spherical Gear Meshings, IEEE Transaction on Robotics, vol. 37, no. 5, 1806–1825, 2021.

#### [成果の発表, 論文など]

- 1. 森田希, 部矢明, 井上剛志, MRI・CT 画像下治療 のための2自由度空圧ステッピングモータの動作検 証, 第33回日本コンピュータ外科学会大会, 24(5)-6, 2024/11/09
- 2. 森田希, 部矢明, 井上剛志, 球状歯車型空圧モータ, ロボティクス・メカトロニクス講演会, 1P1-A07, 2025/06/05
- 3. 世界初! MRI・CT 内で動く, 球状歯車型空圧 モータを開発, 名古屋大学研究成果発信サイト, 2024/11/08

## 高分子ゲル超薄膜を用いた指先に貼付可能な 全貼付型触覚センサの開発

2241025



研究代表者 東京科学大学

特任助教 堀井辰衛

#### [研究の目的]

手術などの医療行為や、自動車板金塗装の検 査のような. 熟達者の精緻な感覚や触覚を定量 化し触覚情報を共有することは、技術伝達の観 点から重要である。そのためには、装着者に対 して拘束感や不快感を与えない材料や構造を有 する装着型触覚センサの開発が急務である。近 年、高分子材料を基にした静電容量型触覚セン サの開発と高感度化が検討されている[1,2]。し かし. 一般的に誘電エラストマーは比誘電率が 10以下と低く、高感度化には不向きである。 一方で、ポリ塩化ビニル (PVC) ゲルは 10<sup>3</sup>以 上の高い比誘電率を持つ[3]だけでなく、印加力 に対して電位変化を示すことがわかってお り[45] 可塑剤の種類や含有比率によって物性 を制御可能である。PVC ゲルシートを平板電 極とメッシュ状電極で挟んだ単位構造体の膜厚 方向に圧力を印加すると二つの電極間に電位変 化が生じることが知られているが「4」、そのメカ ニズムには議論の余地がある。また、金属を電 極に用いるためにセンサ素子全体が硬質であり、 生体親和性の求められる装着型触覚センサには 不向きである。一方、電極を配置した PVC ゲ ルシートの表面に対して、人体のような誘電体 が触れたときに生じる電位変化を利用した PVC ゲルトライボエレクトリックナノジェネ レータが報告されおり[6.7]. タッチセンサとし ての評価系について詳細に議論されているが圧 力変化に対する検討や考察は乏しい。そこで私 は、ゲル表面への電極の接触状態の変化について着目した。

本研究では、柔軟な電極材料と PVC ゲルシートを組み合わせたファブリック様圧力センサの開発を目的とした。具体的には、Cu と Ni をコートしたポリエチレンテレフタレート (PET) モノフィラメントから成る導電布を電極として用いたときの、PVC ゲルシートの印加した力に対する電位変化を測定することで、センサ特性を評価した。電極構造と電位変化特性との相関に関する観点から、従来の SUSメッシュや平板金属、柔軟な導電織布を用いた PVC ゲルセンサの特性について検討した。

#### [研究の内容,成果]

#### 【実験】

図1に示すアルミ (AI) シート, SUS メッシュ (#150), さらに, 市販の導電布2種, 導電ニット (硬質タイプ), 導電フォームの合計6種類のファイバー幅やピッチ, 折り方の異なる導電材料を検討した。レーザーカッターを用いて直径30 mm に短冊状の配線部分を残した形状に切り出した。PVC 粉末 (平均 Mw~233,000) とアジピン酸ジブチル (DBA), テトラヒドロフランの重量比が1:4:10 となるように容器に量りとり, THINKY ARE-310 を用いて撹拌脱泡することで均一な PVC ゲル溶液を得た。この溶液を直径15 cm のテフロンシャーレに15 mL キャストし、室温で24 時間

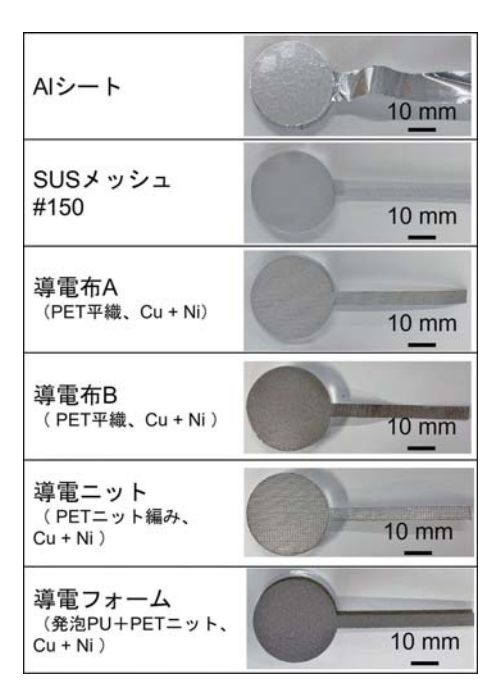


図1 本報告で用いた導電材料外観

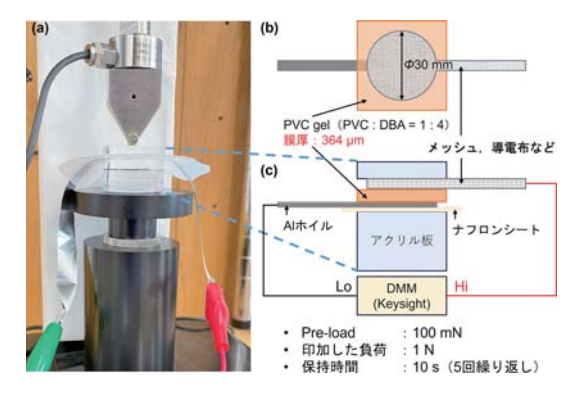


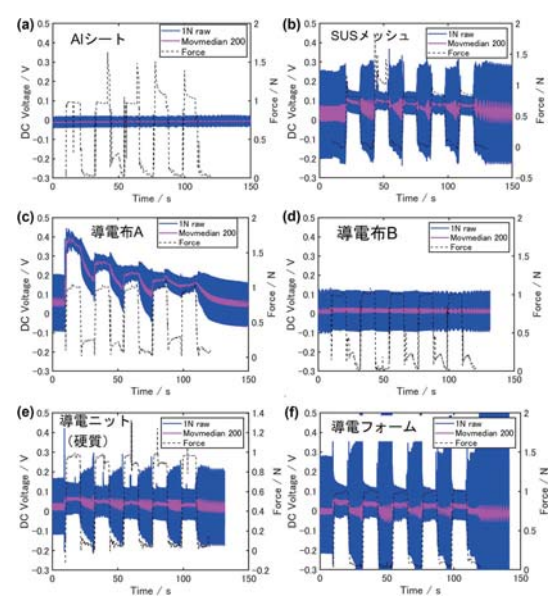
図 2 (a) PVC ゲルセンサのセンサ応答測定系外観, (b) PVC ゲルセンサの俯瞰図, (c) センサ応答試験におけるセンサの電位変化測定系の概略図

以上乾燥させることで膜厚約  $364 \mu m$  の PVC ゲルシートを作製した。図 2b, c に示すように,各導電材料を得られた PVC ゲルシート上に設置し,対極には Al シート電極を用いることで PVC ゲルセンサを作製した。圧縮試験機 (Univert, CellScale) を用いてセンサを圧縮する際に均一に力をかけるため膜厚 5 m m, 直径 30 m m のアクリル板 2 枚でセンサを挟み,測定を行った。電位変化は,デジタルマルチメータ(34461 A,Keysight)を用いて測定した。

#### 【結果・考察】

#### 〈電極表面形状の効果〉

それぞれの導電材料について5回繰り返し1 Nの力を10秒間ごとに印加した際の結果を図 3に示す。得られた電位変化の生データを青色、 移動平均(ウィンドウ数:200)で平滑化した 結果をピンク色, 印加した実際の力を黒破線で 示す。まず、Al シートと導電布 B (図 3a, d) は印加した力の変化に対してほとんど電位変化 を示さなかった。これに対し、他の導電材料は 生データに大きなノイズを含むものの、明確に 電位変化を示した。図4に示すように各導電材 料は様々な表面形状を有しており、Alシート や導電布 B は凹凸が少なく. ゲルとの接触状 態が変化しにくかったため電位変化がみられな かったと考えられる。一方で、メッシュや織布 構造により圧力印加時の電極/ゲルの接触状態 が変化しやすく電位変化を示したと考えられる (図5)。図3に示す平滑化曲線から、各導電材 料における繊維径(繊維束径)やピッチ(繊維 密度)と初期サイクルの電位変化幅を表1にま とめた。導電ニットや導電フォームは繊維が複 雑に編まれており、繊維径最も太い箇所、ピッ



(a) Al シート, (b) SUS メッシュ, (c) 導電布 A, (d) 導電布 B, (e) 導電ニット (硬質), (f) 導電フォーム

図 3 10 s ごとに 1 N 負荷を 5 回繰り返し印加した際の PVC ゲルセンサの電位変化



(a) Al シート, (b) SUS メッシュ, (c) 導電布 A, (d) 導電布 B, (e) 導電ニット (硬質), (f) 導電フォーム

図4 各導電材料の実態顕微鏡像(倍率:75)

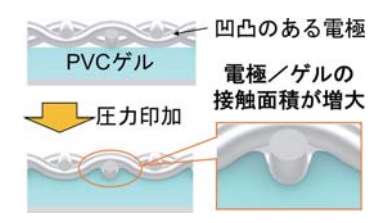


図 5 圧力印加時の電極と PVC ゲルとの接触状態変化に 関する概念図

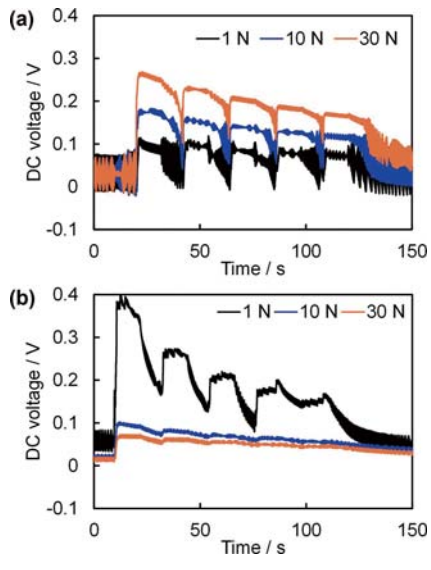
表1 各導電材料における繊維径(繊維束径), ピッチ, 初 期サイクルにおける電位変化

電極	線径/mm	ピッチ/mm	電位変化幅/V
SUS メッシュ (#150)	約 0.06	約 0.2	約 0.05
AI シート	N/A	N/A	ND
導電布 A	約 0.2	約 0.2	約 0.3
導電布 B	約 0.1	約 0.1	ND
ニット (硬質)	約 0.04 (横糸一束当り)	約 0.05 (横糸束間)	約 0.04
導電フォーム	約 0.2	約 0.3	約 0.05

チは大きい箇所で画像解析により算出した。現 段階では明確な仮説立案は難しいが、繊維径と ピッチの組合せが重要と考えられる。例えば、 繊維径が小さく密に織り込まれている(ピッチ 小)場合だと、圧力印加時にゲルが網目に入り にくく、電位変化は小さい。一方で、繊維径が 大きくゲルとの接触状態変化が大きい場合でも 疎に織り込まれていると電極全体での電極/ゲ ルの接触状態変化が起きずらいため、電位変化 は小さくなる可能性が考えられる。今後は、有 限要素法のようなシミュレーションによる電 極/ゲル界面の接触面積変化の予測が重要と考 えられる。

#### 〈印加力と電位変化との相関〉

SUS メッシュと導電布 A について、印加力を変化させたときの電位変化を図 6 に示す。SUS メッシュでは測定開始 20 秒後に力印加試験を開始し、導電布 A では 10 秒後に試験を開始した。SUS メッシュは初期サイクルにおいて 10,30 N でそれぞれ約 0.15,0.2 V の変化を示し、サイクル数が増加するとともにピーク電位は低下した。また、力除去後に電位は減少したが、測定開始時の電位には戻らなかった。これはおそらく、PVC ゲルの応力緩和時間が長いためと考えられる。そのため、2 サイクル以降の電極/ゲル接触面積変化が減少し、電位変化幅の低下につながったと考えられる。一方で、導電布 A では 1 N 印加時の 1 サイクル目の電位変化幅は約 0.3 V と SUS メッシュよりも大



(a) SUS メッシュ, (b) 導電布 A  $1\,\mathrm{N},\,10\,\mathrm{N},\,30\,\mathrm{N}$  の順番で測定。 $10\,$  秒間力を印加  $\rightarrow$   $10\,$  秒間力を除去  $(0.1\,\mathrm{N})$  を  $1\,$  サイクルとして, $5\,$  サイクル実施。

図6 印加力を変化させたときの電位変化

きいが、サイクル回数の増大とともに減少した。また、SUSメッシュと対照的に、印加力が増大するとともに電位変化幅は減少した。これは、ゲルの応力緩和も考えられるが、力印加による導電布Aの表面構造変化によるものと考えられる。導電布AはCuとNiがコーティングされたPETモノフィラメントで構成されるため、SUSメッシュと比較して柔軟であり、繊維同士の滑りや座屈によって繊維束内部や繊維束間の構造変化が起こりやすいと考えられる。今後は、PVCゲルシートの動的力学特性や応力印加時の電極構造変化についての検討や、導電フィラーやイオン導電体を含有させたエラストマーの単繊維のように構造変化の起きにくい構造の検討が必要不可欠である。

#### 【まとめ】

PVC ゲルから成る装着型触覚センサ開発の 足掛かりとして、PVC ゲルシートの電位変化 特性について電極構造の観点から検討した。 AIシートや密に織り込まれた導電布は力印 加に対する電位変化はほぼ示さなかったのに 対して、ゲルが入り込む目開きがある電極材料 (SUS メッシュ, 導電布 B, 導電ニット, フォー ム)では電位変化を示し、繊維径とピッチの組 合せに相関があることが示唆された。また、導 電布 A は繊維同士の滑りや座屈による繊維束 内部,繊維束間の構造変化が起こりやすく,そ のため SUS メッシュよりも大きな電位変化を 示したと考えられる。以上から、電極/ゲル接 触面積を最大化する電極構造と. 外部応力に対 する電極構造の維持または変形のヒステリシス の低減が重要であることが示唆された。

本研究助成にて購入した設備を用い、今後は電位変化応答の再現性も含め、系統的に電極構造と電位変化との相関、PVC ゲルシートの応力緩和特性や応力印加時の電極構造変化について調べることで、センサ特性の向上やメカニズム解明に繋げる。さらに、圧力に対する構造変化のヒステリシスが小さくなるような繊維構造





図 7 (a) PVC ゲル芯鞘導電ファイバー, (b) 身体装着 可能な PVC ゲルファブリックセンサの概念図

(例: 導電フィラーやイオン導電体を含有させたエラストマーの単繊維の利用) の開発や, 図7に示すような PVC ゲル芯鞘導電ファイバーや身体装着可能な PVC ゲルファブリックを開発する予定である。

#### [謝辞]

本研究を助成いただいた,公益財団法人 立石科学技術振興財団様へ感謝いたします。東京科学大学生命理工学院 藤枝俊宣教授の研究室内設備や試薬を一部使用して研究を推進しました。藤枝俊宣教授へ感謝申し上げます。

#### [参考文献]

- [1] B. Ji et al., "Gradient Architecture–Enabled Capacitive Tactile Sensor with High Sensitivity and Ultrabroad Linearity Range," Small, vol. 17, no. 43, p. e2103312, Oct. 2021.
- [2] H. Niu, Y. Chen, E. -S. Kim, W. Zhou, Y. Li, and N. -Y. Kim, "Ultrasensitive capacitive tactile sensor with heterostructured active layers for tiny signal perception," Chem. Eng. J., vol. 450, p. 138258, Dec. 2022.
- [3] T. Hirai, "Dielectric Gels," in Soft Actuators: Materials, Modeling, Applications, and Future Perspectives, K. Asaka and H. Okuzaki, Eds. Singapore: Springer Singapore, 2019, pp. 245–258.
- [4] M. Hashimoto, "Application of electroactive polymer," J. Robot. Soc. Jpn., vol. 31, no. 5, pp. 457–460, 2013
- [5] J. Neubauer, H. Jeremy Cho, and K. J. Kim, "Tunable polyvinyl chloride (PVC) and thermo-

- plastic polyurethane (TPU)-based soft polymer gel sensors," Smart Mater. Struct., vol. 31, no. 11, p. 115025, Oct. 2022.
- [6] M. Kim et al., "Stretching-insensitive stretchable and biocompatible triboelectric nanogenerators using plasticized PVC gel and graphene electrode for body-integrated touch sensor," Nano
- Energy, vol. 107, p. 108159, Mar. 2023.
- [7] H. Park et al., "Plasticized PVC-Gel Single Layer-Based Stretchable Triboelectric Nanogenerator for Harvesting Mechanical Energy and Tactile Sensing," Adv. Sci., vol. 9, no. 22, p. e2201070, Aug. 2022.

#### 学習者の主体的な行動を促すグループワーク支援ロボットの研究

#### 2241026



研究代表者 (助成金受領者) 共同研究者

富山県立大学

富山県立大学

教 授 増 田 寛 之

教 授 小 柳 健 一

#### [研究の目的]

近年、アクティブラーニングの重要性が高まり、少人数でのグループワークによる主体的な課題解決活動が教育現場に導入されている。グループワークでは、発言や参加意欲にばらつきが生じやすく、教員や支援者による個別支援が学習効果の向上に重要である。一方、教育現場では教員数が限られており、各チームの進捗管理や個別指導には大きな負担がかかるという課題がある。

本研究では、グループワークにおいて、少人 数でペアを組んだチーム毎にコミュニケーショ ンロボット(以後、アシストロボット)を配置 し、ロボットが学習者との対話を通じて学習の モチベーション向上を目指すとともに、情報収 集を行うことで教員にとって有効な支援環境の 構築を目的とする。この目的達成に向けて、ま ず第1段階では、アシストロボットの導入に よってチーム単位での学習支援を実現し、学習 者の主体性や協働的な取り組みの促進に繋がる かを明らかにする。さらに、学習者の主体性や 共同的取り組みを効果的に促すロボットコミュ ニケーションのあり方を議論する。次に第2段 階では、ロボットが収集したチームの学習進捗 や行動データを教員と共有する仕組みを構築し. 教員がグループワーク全体の進捗を容易に把握 できる教育支援システムの実現を目指す。これ により、学習者の成果向上と教師の負担軽減を まとめて期待できると考えている。

本報告書では、まず第1段階に焦点を当てる。対象は、小学生向けロボットプログラミング教室におけるグループワークとし、アシストロボットによるチームごとの支援を通じて、主体的な学習の促進として機能することを実証的に検証することが目標である。従来の研究では、e-Learning などの個別学習支援において、ロボットによるモチベーション向上や学習効果が報告されているが、グループワークにおいてチームごとに状況を把握しながら支援を行う事例は乏しく、その有効性や行動変容に関する知見は十分ではない。これを踏まえて、本研究では以下の2点の技術課題に取り組む。

- ① チーム毎の応答に基づいたアシストロボットのコミュニケーション機能の開発
- ② 学習者の進捗状況を自然な形で記録するシステムの構築

①については、親しみを感じさせる外観と表現に加え、音声認識・チームの学習進捗に基づいた動作の実現が重要となる。②については、記録されていることを学習者が過度に意識しない仕組みとすることが重要となる。

#### [研究の内容,成果]

#### 【グループワークにおける課題設定】

本研究では、小学生が LEGO SPIKE を用いて移動ロボットを製作し、図1で示すようにアシストロボットを移動ロボットに搭載して、目的地まで移動させるという課題を設定した。課



図1 グループワークにおける課題設定

題は、目的地到達、経由地点通過、マップの周回といった異なる難易度の課題を用意し、チームの進捗状況に応じて柔軟に提示できるよう構成した。進捗の早いチームには追加課題を提示することで、学習が途切れることを防ぎ、学習機会を最大限に活用できるよう設計した。

プログラミング教育の進行は、開始から 20 分程度でマニュアルを見ながら LEGO ブロックを用いて移動ロボットを製作する。続いて、LEGO SPIKE を動かすために Scratch ベースのプログラミング環境の基本を学ぶため、モータの動作、センサとの連動、及びライントレースのプログラムを学ぶ練習課題を 3 つ実施する。その後、走行マップ上でアシストロボットを目的地まで運ぶ課題に取り組む構成とした。

#### 【アシストロボット「小ドンマス」の開発】

図2に開発したアシストロボット「小ドンマス」の構造を示す。小ドンマスは、可動箇所として肩・肘・腰の合計5軸を有し、学習者との対話的インタラクションを実現する複数の機能



図2 アシストロボット「小ドンマス」の構造

を備えている。視線表現には超小型 LCD を用い、目の表情を動的に変化させることで状態を伝える。マイクは手元に配置し、手挙げ動作と連動した音声認識を実現しており、使用者にとって直感的な操作が可能である。さらに、IMU によりロボットの持ち上げ動作を検出し、NFC リーダにより移動ロボットへの搭載状態を認識できる構成とした。センサ・モータ制御は Arduino で実装し、音声認識やネットワーク通信など高機能な処理は Raspberry Pi 4B を用いて実装した。

外装は、富山県立大学の PR キャラクター「ドンマス教授」をベースとし、小学生から親しみを持って受け入れられるデザインとした。また、子供っぽさを感じられる音質の音声合成ツールを搭載した。教室でのグループワーク実施に対応するため、同一仕様のロボットを計5台製作した。

アシストロボットのコミュニケーションにお ける方針として、フランクル心理学に基づく手 法を適用した[i]。既存研究において, フラン クル心理学に基づくロボットコミュニケーショ ンは、ロボット自身が弱さを示す発話や行動を することで、被験者が得られる価値に気付か せることによって自発的な行動を促すことを 示している。そこで、ロボットの発話として、 「○○(目的地)まで自分で行きたい」や「もっ と早くいけないかな」といった自身ができない 弱みを示す発話を行うことで、学習者に「助け たい」という感情や責任感を喚起させることに 繋がる。これにより、ロボットとの関係性を通 じて学習者の内発的動機づけを高め、プログラ ミング教育におけるモチベーションの向上に繋 がることを期待している。

#### 【行動・進捗計測システムの構築】

ロボットが学習状況に応じた適切な支援を行うために、図3のような複数のデバイスが連携するシステムを構築した。各チームに配付したPC (Chromebook) にはマニュアルアプリを搭

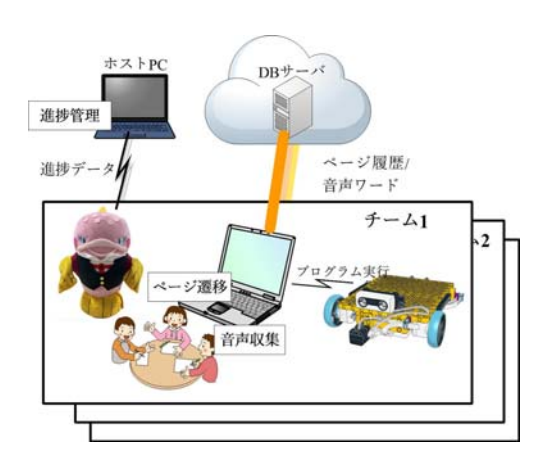


図3 ロボットを用いたプログラミング教育のシステム構成

載し、開いたページ番号を IoT サーバへ随時記録する。加えて、音声認識 API を用いて発話内容(主語・動詞・形容詞)を定期的に収集・解析して、MySQL DB に記録する仕組みとした。ホスト PC では DB に集約したデータをもとに、チーム毎に現在の学習フェーズ、学習時間、及びチーム内の会話の傾向をリアルタイムに分析する。ソフトウェアとしては、既存のシステム構成を元に、モジュール分割した構成とし、問題が起こっても常にロボットが動作し続けることを優先した構成とした「ii」。

実証実験に向けた最初の段階として、音声データより過去5分間における否定的語彙(例:「~ない」「だめ」等)の頻出度合がしきい値を超えた時や、マニュアルのページが一定時間変化しない状況が継続した場合に、対応するチームのアシストロボットへコマンドを送信する。ロボットは、指令に基づいて、マニュアルの現在ページに関連する補足発話を行うことで、学習者の自律的な問題解決を支援するよう設計した。

#### 【実証実験と評価】

実証実験として、連携している学童施設にてロボットプログラミング教室を実施した。ロボットありにて実施した際の実証の様子を図4に示す。参加した児童は小学3~6年生であり、2024年1月にはロボットを使用しないグループワークを行い参加者は18名(8チーム).



図4 実証実験の様子

2025年3月には本研究のロボットシステムを 導入したグループワークを行い参加者は13名 (5チーム),いずれも1チームあたり2~3名 とし,同じ教育課題で実施した。本実験にあ たっては,富山県立大学倫理審査委員会の承認 のもと,保護者の同意を得てデータの収集を 行った。

実験結果において、客観的な指標に基づく比較として、チーム毎のマニュアルのページ送りの推移を図5(ロボット無し)、図6(ロボットあり)に示す。ページを切り替えた時間でマーカーを表示しており、マーカーの区間が長い箇所は同じページを開き続けたことを示している。マニュアルのページとしては、30ページまで

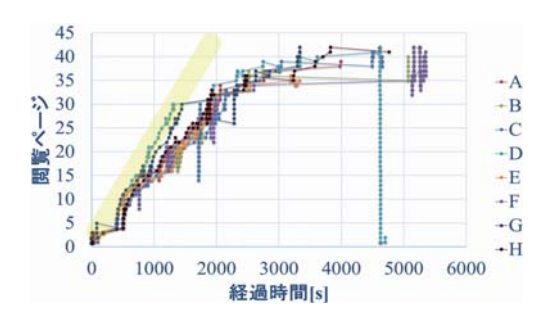


図5 ロボット無しのマニュアル進捗

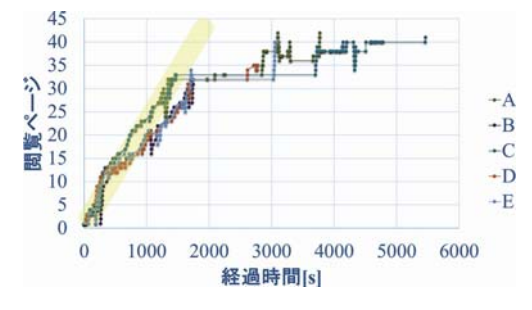


図6 ロボットありのマニュアル進捗

がロボットの組み立て、34ページまでがロボットの動作のためのプログラミングの基礎、35ページ以降はセンサと連携したプログラムなど小学生には難易度高めの内容となっている。ロボット無しの状況では、34ページに到達するのに30~40分かかっているのに対し、ロボットありの状況では25分~30分と進行が早かった。

取組中の発話内容の分析として、発話内容を各チームのPCで録音し、Whisper APIで文字起こしをした後、MeCabを用いて品詞分類を通して検出頻度の高いワードを抽出した。図7にロボットありの時に頻繁に検出されたキーワードを示す。「いい」「回」の検出頻度が高く、ロボットの無しと異なる点はなかった。ただし、環境音として収集したため、ノイズや音量の小ささから文字起こしの精度が低くなり適切な仕分けができなかった点が課題となった。

主観的な評価として、教室終了後にアンケートを行った。図8にアンケートの集計結果を示す。各項目でロボットありと無しにおいてカイニ乗検定を行ったが、有意差は確認されなかった。しかし、基本的に配付したマニュアルを各自で読んで進めるスタイルながら、ロボットありでは教室の進行や説明の分かりやすいと感じる傾向が分かった。特に、小学生には難しめの課題設定としているが、むずかしい問題に対して、ロボットありでは、より友達と相談する傾向が強い事が分かった。自由コメントでは「プログラミングは難しいけれど、動かすのは楽しかった」と回答するなど、難しいと感じていた

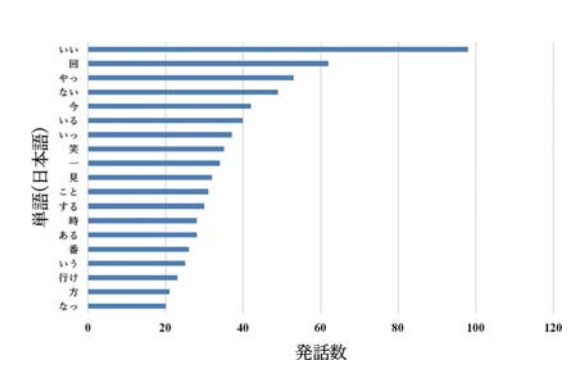


図7 ロボットありの発話キーワード

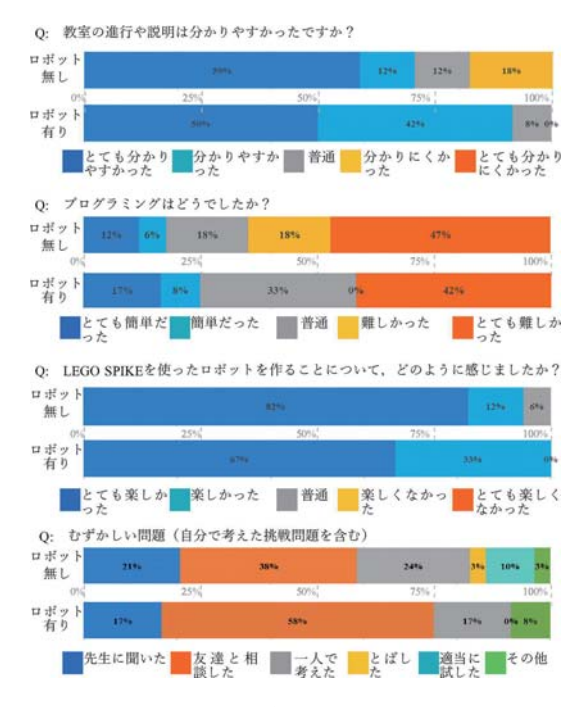


図8 主観評価の結果

がロボットを動かしたりみんなで相談して楽しいと感じる学習者が多かった。

教員による観察・評価について、ロボット無しのときは進捗が停滞したチームにつきっきりになることがあり、他のチームの進捗が停滞するなど、進捗停滞と教員の負荷の大きさが問題となった。ロボットありのときは、子供達がロボットの発話するキーワードに反応し、チーム内で様々な議論、試行を重ねることに繋がる様子を観察できた。ロボットの発話内容は、進捗に対して適切とは限らないケースも観察されたが、チーム内では気になるキーワードを議論のきっかけとして、チーム内での工夫を相談し、より充実した試行錯誤をしていた。結果として、教員のサポートが特定のチームに集中する場面が減少したと感じた。

#### 【まとめ】

本研究では、小学生向けのグループワーク教育におけるチーム単位の学習支援を目的とし、アシストロボット「小ドンマス」と進捗計測システムを統合した教育支援環境を構築した。

実証実験の結果. ロボットの導入により学習

の進捗が促進され、児童の自発的行動やチーム 内の相談が増加したことが確認された。また、 教員の観察からは、支援の偏りが減り、学習者 の自発的な活動が促進される可能性が示された。

今後の課題として、収集したデータからより 状況に適した支援タイミングの推定など、理解 促進を促すコミュニケーション手法のあり方、 教師と共同で支援を行うための仕組みの構築を 検討している。

#### [成果の発表, 論文など]

[1] 堀江悠生,増田寛之,布施陽太郎,小柳健一, 澤井圭,李豊羽,アルマスリアハメド:"グループ ワークでのチーム支援を目的としたコミュニケー ションロボット「小ドンマスロボット」の開発", 第 42 回日本ロボット学会学術講演会 RSJ2024, 3A1-05, 2024.

[2] 増田寛之: "教育支援ロボットに求められる機能とシステム構成",知能と情報(日本知能情報ファジィ学会誌), Vol. 36, No. 4, pp. 105-110, 2024.

#### [参考文献]

- [i] 増田寛之, 松尾優成, 林憲玉: "フランクル心理 学に基づくパートナーロボットの知的インタラク ション", 日本知能情報ファジィ学会誌, Vol. 26, No. 1, pp. 549-558, 2014.
- [ii] H. Masuta, E. Hiwada and N. Kubota: "Control Architecture for Human Friendly Robots Based on Interacting with Human", 4th International Conference on the 2011 International Conference on Intelligent Robotics and Applications, Part II, LNAI 7102, pp. 210–219, 2011.

## Advanced Vector DB

#### --- データ構造ドリブンな LLM 知識注入 ---

2241027



研究代表者 東京大学 大学院情報理工学系研究科

講師 松井勇佑

#### [研究の目的]

ChatGPT といった Large Language Model (LLM) は社会を変革する力を持つが、「自分の持つ情報をLLMに読み込ませる」という極めて単純かつ重要な操作について、どうするのが一番よいかという明確な答えがまだ無い。例えば小説を一冊分 LLMに読み込ませ、LLMに「太郎の友達は誰?」と質問し返答させたいとする。このとき、小説の情報をLLMに読み取らせる最も簡単かつ有力な方式はベクトル探索(Vector Database; Vector DB)を元にしたものと言われている。ところが、この Vector DB による探索は現在「色々な人が色々なことをやってみている」という状況にある。私はこの Vector DB に対しデータ構造の深化という方向で取り組んだ。

Vector DB による LLM 知識注入は次のステップからなる:①自分が持つ文章情報を細切れにし、それらを文章特徴量抽出器に入力し、特徴量ベクトルたちを得る。② LLM への質問文も同様に特徴量ベクトルに変換する。③質問に似ている特徴量を探す。④ その結果を質問文に追記し、質問する。ここにおける技術的課題は、上記の既存探索アプローチは極めてナイーブな「似てるもの探し」であり、少し複雑な状況になると途端に対応できないという点にある。例えば小説の例で「太郎にはたくさん友達がいるが、特に花子と親しく、花子に会ったシーンがたくさんある」とする。この時、「太

郎の友達は誰?」という質問に対し、上記既存 探索アプローチは花子シーンばかりを探してき てしまい、「太郎の友達は花子です」としか答 えられないかもしれない。

このようなナイーブな似ているもの探しを脱却するために、申請者は探索部分のデータ構造・アルゴリズムレベルで、複雑な探索をサポートする方式を提案する。上記の例でいうと、「検索結果がうまく散らばる(花子ばかりではなく、花子・次郎・ケンジとする)」ように探索データ構造レベルで対応した。

#### [研究の内容. 成果]

以下に、本計画の主たる成果である「多様な探索」の方式を記す。本方式はコンピュータビジョン分野に関する国内最大の会議「画像の理解・認識シンポジウム(MIRU)」にて、査読を経てオーラル発表に選定された。加えて、オーラル発表の各セッション中、投票で一位のものに与えられる「オーディエンス賞」を受賞した。

#### ■はじめに

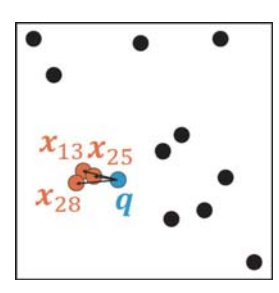
近似最近傍探索とは、クエリに近いベクトルをベクトル集合から高速に探す処理である<sup>[23]</sup>。近似最近傍探索は様々なシステムの構成要素であり、画像検索や情報推薦など広い分野で用いられている。近年は、大規模言語モデルに情報を入力する Retrieval Augmented Generation

(RAG)方式のために近似最近傍探索は注目されている<sup>[3]</sup>。

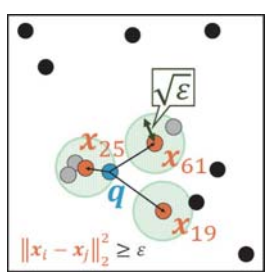
近似最近傍探索は有用だが、探索結果が必ずしも多様ではない。例えば猫画像をクエリとすると、その猫に似た画像が多数存在する場合、探索結果上位に同じ猫が並んでしまい、均一な結果となる。このような状況では、ただクエリに似ているだけでなく、探索結果がお互いに似て「いない」、すなわち多様な結果が好まれる場面がある。そのような探索問題は多様近傍探索「10.32.38]と呼ばれるが、多くの既存の多様近傍探索方式は以下の理由により遅い。(1)最新の近似最近傍探索方式の知見が取り込まれていない、(2)組み合わせを計算する必要がある。(3)元のベクトルそのものにアクセスする必要がある。

我々は、超高速な多様近傍探索を実現する。 提案方式は、事前に準備した足切り表を用い、 近似最近傍探索結果に対し貪欲に候補を絞り込 み、多様な探索を実現する。提案するデータ構 造および探索方式はシンプルであり、高速であ る。その概念図を図1に示す。我々の貢献は以 下である。

- ・提案方式は近似最近傍探索結果に対する「後 処理モジュール」である。そのため、最新の 超高速な近似最近傍探索方式をブラックボッ クスとして利用出来る。
- ・パラメータである閾値 $\epsilon$ を事前に学習する方式を提案する。提案方式は煩雑なパラメータ調整が無い。
- ・提案方式は大規模データ(106本の96次元







(b) 提案する多様近傍索

図1 提案方式の概要図

ベクトル) にも有効であり, 0.05[ms/query] しかかからない。

#### ■事前準備

N本のD次元ベクトル $\{x_n\}_{n=1}^N$ があるとする。 クエリ $\mathbf{q} \in \mathbb{R}^D$  が与えられた際、 $\mathbf{q}$  に近くかつ 多様なK本のベクトルを得たい。得られた結 果は、 $\mathrm{ID}$  の集合として $\mathcal{H} \subseteq \{1,...,N\}$  かつ  $|\mathcal{H}| = K$ で表す。

探索は2ステップから成る: (1) クエリに対して近似最近傍探索を実行し、クエリに近いS本のベクトルを得る。これを初期候補集合 $\mathcal{S}$ とする。2つ目のステップは、候補集合 $\mathcal{S}$ から、部分集合 $\mathcal{X}$ を選び取ることである。これは評価関数 $f:2^{\mathcal{S}} \to \mathbb{R}$ を最小化する、部分選択問題として定式化される:  $\underset{\mathcal{X} \subseteq \mathcal{S}_{\mathcal{X}}|\mathcal{X}|=K}{\operatorname{argmin}} f(\mathcal{X})$ ここでfは ID 集合が「クエリへの近さ」と「多様性」の両方を考慮してどれほど良いかを示す指標である。これを、我々は次のように立式する。

$$f(K) = \frac{1-\lambda}{K} \sum_{k \in \mathcal{X}} \|\boldsymbol{q} - \boldsymbol{x}_k\|_2^2 - \lambda \min_{i, j \in \mathcal{X}, i \neq j} \|\boldsymbol{x}_i - \boldsymbol{x}_j\|_2^2 \subset$$

こで第一項は選択されたベクトルたちとクエリがどれほど近いかを示す、最近傍探索そのものである。第二項はベクトルたちの多様度を示す指標である。ここでは[1],[16]に習い、ベクトル同士の中で最も近い距離とした。ここでんは2つの項を調整するパラメータであり、0であれば最近傍探索に、1であればクエリを考慮せず集合の多様度を評価する MAX-MIN 多様化問題[31]となる。

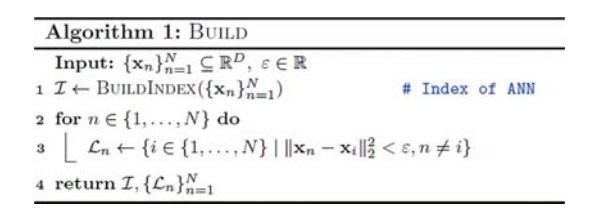
#### ■提案方式

提案方式は各点から距離が近いものを事前に調べIDを表に保存し、探索時にIDを表引きして候補から除外する。これをOrderedSetというデータ構造で高速に実現する。

#### 前机理

前処理をアルゴリズム 1 に示す。データと、 二乗距離の閾値  $\varepsilon$  を入力とする。L2 において、 まず近似最近傍探索のデータ構造(インデク ス)I を構成する。I には任意のもの(例えば HNSW  $^{[22]}$ )を使用して良い。次に L2-3 で足切り表を構成する。各点について,自身との二乗距離が $\varepsilon$ 未満のベクトルの ID の集合 $\mathcal{L}_n$ を記録する。これを足切り表(整数配列の配列)と呼ぶ。足切り表を計算するには各点をクエリに範囲探索を実行する。この計算量を合計 O(NT)とする。この処理は最近傍探索ではなく範囲探索だが,簡単のため近似最近傍探索と同じO(T)とした。後に表 2 で示す通り  $N=10^6$  の場合このステップの実行時間は最大 10 秒程度である。

足切り表の要素数の平均値をLとすると、 足切り表に必要な素朴なメモリ量は、要素に 64 bit 整数を用いて 64 LN[bit] となる(表 2より、L は 100 以下程度)。

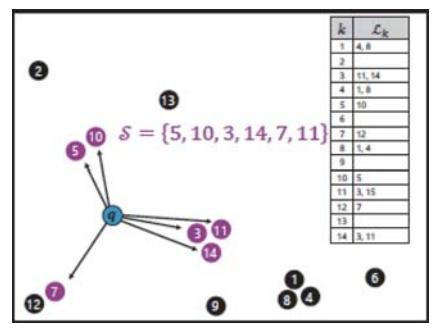


#### 探索のアルゴリズム

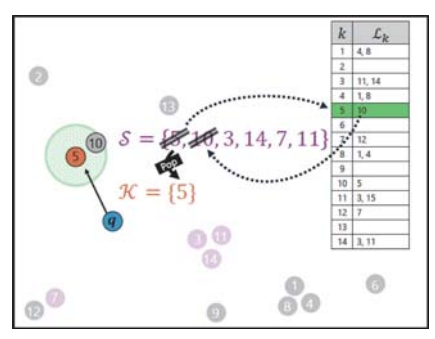
アルゴリズム2と図2で探索について述べる。 入力は、クエリ、初期探索の結果個数、最終的 な結果個数、インデクス、足切り表になる。

まず L1 (図 2a) にて近似最近傍探索を実行し候補集合を得る。次に L2 にて最終結果のための整数集合を準備する。L3-6 では、要素数が K になるまで集合  $\mathcal{H}$  に要素を追加する。L4-5 では、候補集合から、最もクエリに近い(配列の先頭にいる)ID を k として取り出し、くわえる。L6 が収容である。現在注目してい

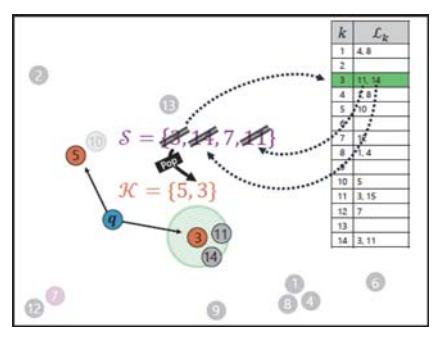
1	nput: $\mathbf{q} \in \mathbb{R}^D$ , $S(\leq$	$\leq N$ ), $K(\leq S)$ , $\mathcal{I}$ , $\{\mathcal{L}_n\}_{n=1}^N$
1 8	$S \leftarrow \mathcal{I}.Search(\mathbf{q}, S)$	# $S \subseteq \{1, \dots, N\}$
2 K	$C \leftarrow \emptyset$	
3 V	vhile $ \mathcal{K}  < K$ do	# At most $K$ times
4	$k \leftarrow \text{Pop}(S)$	# O(L)
5	$\mathcal{K} \leftarrow \mathcal{K} \cup \{k\}$	# O(1)
6	$\mathcal{S} \leftarrow \mathcal{S} \setminus \mathcal{L}_k$	# Remove as applicable. $\mathcal{O}(L)$
r	eturn K	# $\mathcal{K} \subseteq \mathcal{S}$ where $ \mathcal{K}  = K$



(a) 初期探索の実行 (S=6)



(b) 第一候補を採用。表で足切り。



(c) 次の候補を採用。表で足切り。 図 2 提案方式の流れ

る k に関して、 $x_k$  に近いベクトルたちの ID は  $\mathcal{L}_k$  に保存されている。よって、これを候補集 合から除去することで、候補集合中から似たものを消すことができる(図 2b)。このステップを繰り返すことにより、最終的に得られる  $\mathcal{H}$  の要素はお互いに少なくとも $\sqrt{\varepsilon}$  は離れているものとなる。

#### ■実験

性能を評価する。全実験は AWS EC2 インス タンス (3.2 GHz Intel Xeon CPU, 仮想 32 コア, 64 GiB メモリ) で実行した。前処理はマルチス レッドで、探索部分はシングルスレッドで実行 した。近似最近傍探索部分は faiss ライブラ リ<sup>[8]</sup>中の HNSW 方式<sup>[22]</sup>を用いた。提案方式は, c++ コードを nanobind <sup>[17]</sup>で python から呼ん

だ。

Deep $1B^{[4]}$ の一部である Deep1M を探索対象 とした。これは、 $10^6$ 本の 96 次元ベクトルから 成る。104 本のクエリ、および訓練のために訓 練セットの先頭 1000 本を用いた。

表1にて方式を比較する。比較対象は近似最近傍探索単体のHNSW,および,Sに対しお互いが遠くなるように貪欲に結果を更新するGMM<sup>[1,31]</sup>を選んだ。

- ・提案手法は HNSW 単体に比べてより多様な 結果(小さい多様化項)を実現している。 GMM は最も多様な結果を得ているが、その 分探索項が犠牲となっている(クエリに似て いない結果となっている)。
- ・提案方式は高速(0.047 [ms/query])であり、初期探索(0.273 [ms/query])の1/6程度しかかからない。そのため、多様化無しのHNSW単体と同程度の時間しかかからない。一方、GMMは全対を計算するため、提案の30倍である10.1 [ms/query] の時間がかかる。

表1 比較実験の結果

	精度(↓)		実行時間 [ms/query] (↓)			
手法	探索項	多様化項	最終性能(f)	初期探索	多様化	合計
HNSW [22]	0.559	-0.162	0.199	0.207	_	0.207
HNSW [22] + GMM [31]	0.652	-0.479	0.086	0.280	9.87	10.1
HNSW [22] +足切り表 (提案)	0.585	-0.280	0.153	0.273	0.047	0.320

#### ■まとめ

多様な探索を実現するための「後処理モジュール」を提案した。提案方式は足切りを実現するテーブルを用いる。実験により、提案方式は最新の近似最近傍探索と同程度の時間で多様な探索を実現した。

#### 参考文献

- [1] Amagata, D.: Diversity Maximization in the Presence of Outliers, Proc. AAAI (2023).
- [2] André, F., Kermarrec, A.-M. and Scouarnec, N.

- L.: Quicker ADC: Unlocking the Hidden Potential of Product Quantization With SIMD, IEEE TPAMI, Vol. 43, No. 5, pp. 1666–1677 (2021).
- [3] Asai, A., Min, S., Zhong, Z. and Chen, D.: ACL2023 Tutorial on Retrieval-based Language Models and Applications.
- [4] Babenko, A. and Lempitsky, V.: Efficient Indexing of Billion-Scale Datasets of Deep Descriptors, Proc. IEEE CVPR (2016).
- [5] Baranchuk, D., Babenko, A. and Malkov, Y.: Revisiting the Inverted Indices for Billion-Scale Approximate Nearest Neighbors, Proc. ECCV (2018).
- [6] Chen, D., Li, W., Li, Y., Ding, B., Zeng, K., Lian, D. and Zhou, J.: Learned Index with Dynamic  $\epsilon$ , Proc. ICLR (2023).
- [7] Ding, J., Nathan, V., Alizadeh, M. and Kraska, T.: Tsunami: A Learned Multi-dimensional Index for Correlated Data and Skewed Workloads, Proc. VLDB (2020).
- [8] Douze, M., Guzhva, A., Deng, C., Johnson, J., Szilvasy, G., Mazaré, P.-E., Lomeli, M., Hosseini, L. and Jégou, H.: The Faiss Library, arXiv, Vol. 2401. 08281 (2024).
- [9] Douze, M., Sablayrolles, A. and Jégou, H.: Link and code: Fast indexing with graphs and compact regression codes, Proc. IEEE CVPR (2018).
- [10] Drosou, M. and Pitoura, E.: Search Result Diversification, Proc. SIGMOD (2010).
- [11] Drosou, M. and Pitoura, E.: DisC Diversity: Result Diversification based on Dissimilarity and Coverage, Proc. VLDB (2012).
- [12] Ferragina, P., Lillo, F. and Vinciguerra, G.: Why Are Learned Indexes So Effective?, Proc. ICML (2020).
- [13] Ferragina, P. and Vinciguerra, G.: Learned Data Structures, Springer International Publishing (2020).
- [14] Ferragina, P. and Vinciguerra, G.: The PG-Mindex: a fully dynamic compressed learned index with provable worst-case bounds, Proc. VLDB (2020).
- [15] Fu, C., Xiang, C., Wang, C. and Cai, D.: Fast Approximate Nearest Neighbor Search with the Navigating Spreading-out Graph, Proc. VLDB (2019).
- [16] Hirata, K., Amagata, D., Fujita, S. and Hara, T.: Solving Diversity-Aware Maximum Inner Product Search Efficiently and Effectively, Proc. RecSys (2022).
- [17] Jakob, W.: nanobind: tiny and efficient C++/ Python bindings (2022). https://github.com/wjako b/nanobind.
- [18] Jégou, H., Douze, M. and Schmid, C.: Product

- Quantization for Nearest Neighbor Search, IEEE TPAMI, Vol. 33, No. 1, pp. 117-128 (2011).
- [19] Kochenderfer, M. J. and Wheeler, T. A.: Algorithms for Optimization, The MIT Press (2019).
- [20] Kraska, T., Beutel, A., Chi, E. H., Dean, J. and Polyzotis, N.: The Case for Learned Index Structures, Proc. SIGMOD (2018).
- [21] Liu, Q., Zheng, L., Shen, Y. and Chen, L.: Stable Learned Bloom Filters for Data Streams, Proc. VLDB (2020).
- [22] Malkov, Y. A. and Yashunin, D. A.: Efficient and Robust Approximate Nearest Neighbor Search using Hierarchical Navigable Small World Graphs, IEEE TPAMI, Vol. 42, No. 4, pp. 824–836 (2020).
- [23] Matsui, Y., Aumüller, M. and Xiao, H.: CVPR2023 Tutorial on Neural Search in Action.
- [24] Matsui, Y., Imaizumi, Y., Miyamoto, N. and Yoshifuji, N.: ARM 4-bit PQ: SIMD-based Acceleration for Approximate Nearest Neighbor Search on ARM, Proc. IEEE ICASSP (2022).
- [25] Matsui, Y., Yamaguchi, T. and Wang, Z.: CVPR 2020 Tutorial on Image Retrieval in the Wild.
- [26] Mitzenmacher, M.: A Model for Learned Bloom Filters, and Optimizing by Sandwiching, Proc. NeurIPS (2018).
- [27] Nathan, V., Ding, J., Alizadeh, M. and Kraska, T.: Learning Multi-dimensional Indexes, Proc. SIGMOD (2020).
- [28] Oguri, Y. and Matsui, Y.: General and Practical Tuning Method for Off-the-Shelf Graph-Based Index: SISAP Indexing Challenge Report by Team UTokyo, Proc. SISAP (2023).
- [29] Ono, N. and Matsui, Y.: Relative NN-Descent: A Fast Index Construction for Graph-Based Approximate Nearest Neighbor Search, Proc. MM (2023).
- [30] Rao, V., Jain, P. and Jawahar, C.: Diverse Yet

- Efficient Retrieval using Locality Sensitive Hashing, Proc. ICMR (2016).
- [31] Ravi, S. S., Rosenkrantz, D. J. and Tayi, G. K.: Heuristic and Special Case Algorithms for Dispersion Problems, Operations Research, Vol. 542, No. 2, pp. 299–310 (1994).
- [32] Santos, R. L. T., Macdonald, C. and Ounis, I.: Search Result Diversification, Foundations and Trends in Information Retrieval, Vol. 9, No. 1, pp. 1–90 (2015).
- [33] Sato, A. and Matsui, Y.: Fast Partitioned Learned Bloom Filter, Proc. NeurIPS (2023).
- [34] Subramanya, S. J., Devvrit, F., Simhadri, H. V., Krishnawamy, R. and Kadekodi, R.: DiskANN: Fast Accurate Billion-point Nearest Neighbor Search on a Single Node, Proc. NeurIPS (2019).
- [35] Vaidya, K., Knorr, E., Mitzenmacher, M. and Kraska, T.: Partitioned Learned Bloom Filters, Proc. ICLR (2021).
- [36] Wang, M., Xu, X., Yue, Q. and Wang, Y.: A Comprehensive Survey and Experimental Comparison of Graph- Based Approximate Nearest Neighbor Search, Proc. VLDB (2021).
- [37] Wu, J., Zhang, Y., Chen, S., Wang, J., Chen, Y. and Xing, C.: Updatable Learned Index with Precise Positions, Proc. VLDB (2021).
- [38] Zheng, K., Wang, H., Qi, Z., Li, J. and Gao, H.: A Survey of Query Result Diversification, Knowledge and Information Systems, Vol. 51, pp. 1–36 (2017).

#### [成果の発表, 論文など]

(1) 松井勇佑, "学習型足切り表による高速な多様近 傍探索", 画像の認識・理解シンポジウム, (MIRU), オーディエンス賞, Oral, 2024.

#### サイバー空間におけるラポール形成へ向けたシステム開発

#### 2241028



研究代表者 (助成金受領者) 共同研究者 理化学研究所

研究員

宮 田 紘 平

東京大学 大学院総合文化研究科

教 授

工藤和俊

お茶の水女子大学 文理融合 AI・ データサイエンスセンター

講師

田 修 平

#### [研究の背景]

新型コロナウィルスの感染拡大により、三密の回避、ソーシャルディスタンスが推奨され、私達の交流の場は対面からオンラインへの移行を余儀なくされた。この取り組みは一定の効果を持ち、感染者数を抑えることに成功してきたが、感染拡大の長期化は孤独感・孤立感を高めることになった(コロナ下での人々の孤独に関する調査、2022年2月、JST)。オンラインによる空気という媒介物の喪失、それを感じとる身体性の制約は私たちのインタラクションの質、対人関係にどのような影響を与えたのだろうか。

同様の問題は、当該研究分野においても存在する。模倣・運動同期はラポール(心が通じる状態)形成を促すが、その神経メカニズムを明らかにするために、機能的磁気共鳴画像法(fMRI)や脳波(EEG)といった脳機能イメージング手法を使って、インタラクション中の2人の脳活動を同時記録する試みが行われてきた(Dumas et al., 2010; Miyata et al., 2021)。これまで個人間で脳活動が同期することが報告されてきたが、fMRIとEEG研究で一貫した知見に達していない。この背景として、イメージング手法で捉えられる神経活動の側面の違いに加えて、インタラクションの空間が異なることも要因として考えられる。EEG研究では基本的に対面だが、fMRI研究では装置の制約上オン

ラインによるインタラクションにせざるを得ない。これら空間の違いが脳活動に与える影響は未だ不明である。また、メタバースのようにサイバー空間が次世代のインタラクション空間として期待されているが、アバターという新しい身体性を得た時、対面と同じようにインタラクションできるのか。インタラクション空間がコミュニケーションの質や人間関係に及ぼす影響を理解することは、ヒトの社会性の理解、情報技術の開発、そして感染症との共存社会・デジタル社会におけるWell-beingに重要であるが、未だ不明である。

#### [研究の目的]

本研究の大きな目標は、ヒトのインタラクション空間がコミュニケーション及びラポール 形成に与える影響を明らかにすることである。 最終的に、サイバー空間でもフィジカル空間と 同様のインタラクションを生む諸条件を同定し、 未来のコミュニケーションにおける機械とヒト の調和を目指す。

インタラクション空間の影響を明らかにする ためには、インタラクション空間そのものを系 統的に操作する必要がある。そこで本申請研究 では、インタラクション空間を自由自在に操作 可能なサイバー空間およびフィジカル・サイ バー空間両方で同等に実施可能な実験課題の選 定など、実験実施のためのシステム開発を目的 とした。

#### [研究の内容]

本申請期間内での目標は、フィジカル空間と 同等のサイバー空間および実験課題を開発する ことである。インタラクション空間の影響を検 討するためには、課題、視野、聴覚情報など空 間以外の諸条件を統制する必要がある。この統 制が本研究において大きな課題であり、最終目 標達成において非常に重要である。申請者はこ れまでにヒトと AI の絆形成を目的とした技術 開発に携わり、アバターを介した模倣インタラ クション研究を行った経験をもつ(Numata et al., 2020)。対面での模倣は、意図が模倣者と被 模倣者間で共有され、一体感や相手への親近感 といったラポールが形成されるインタラクショ ンである (Cirelli et al., 2014) 。しかし、この ときはモニターに映し出されるアバターとのイ ンタラクションであった。今回は、より空間へ の没入感.身体性の高い仮想空間やアバターに よる模倣インタラクションを課題として用いる。 サイバー空間構築には、ヒューマン・コン ピュータ・インタラクション分野を専門とする 土田修平氏の協力を仰ぎ、実験課題については 身体性研究を専門とする工藤和俊教授の協力を 仰いだ。

#### 開発方針と機材選定

当初、Meta Quest 3 と Unity を用いた自作システムの構築を想定していたが、より自然な刺激提示と課題動作の実現のため、採択後に発売された Apple Vision Pro を採用する判断を下した(図 1)。 Vision Pro は、空間内での自然なハンドトラッキングと高精度な視線認識機能を備えており、従来のコントローラ型 VR よりもユーザーの没入感と操作直感性に優れている。これにより、実験参加者のシステム操作に対する学習コストを最小限に抑え、自然な動作を引



図1 開発に使用した Apple Vision Pro

き出すことが期待される。開発環境については、 Xcode を用いて開発を行った。

#### フィジカル空間と同等のサイバー空間の開発

フィジカル空間については、所属研究室の実験室をモデルとした。実験室は心理実験用の部屋で、およそ30平米の部屋にシールドルーム2部屋や机などの家具が配置されている。サイバー空間をフィジカル空間に合わせて一からデザインすることは労力がかかるため、空間を3次元スキャンする方法を用いた。空間をLight Detection And Ranging (LiDAR)センサーとApple 社が提供するRoomPlan APIを用いて、壁・床・天井・家具などの空間を3Dスキャンする。このスキャンしたデータを元に仮想空間を構築した(図2)。



図2 再構築された実験室全体のイメージ

スキャンによって取得した実空間の3Dデータを、Vision Pro上でイマーシブ(没入型)表示できるように Xcode 上でシステム構築した。ユーザーが VR ゴーグルを装着すると、現実世界を置き換えるかのように仮想空間が360度の視界に広がり、あたかもその場所にいるかのような体験が得られる。さらに視点の移動や首の

回転に応じて、リアルタイムで視界が変化する ようにし、ユーザーが空間内を自由に見回した り、歩き回ったりすることができるようにした。 基本的にビデオシースルー機能で見られる空間 とサイバー空間が近くなるように設定した。

#### サイバー空間での実験課題の開発及び動作記録

VR ゴーグルをつけた状態で動き回ることは可能であるものの、しばしば VR 酔いが生じることが知られている(Chang et al., 2020)。 VR 酔いは乗り物酔いに似た症状であり、不快感、吐き気、倦怠感が引き起こされ、申請者自身も開発中に幾度も苦しめられた。一般的には、乗り物酔いと同様に、三半規管の平衡感覚と目から入る視覚情報の間の不一致によって生じると考えられている。そのため激しい動きや長時間の装着は VR 酔いを引き起こしやすくなる。実験課題の選定にあたっては、ある程度自然かつダイナミックな運動ではあるものの、視野が大きく変化することのない課題である必要がある。

そこで実験課題として、2人の参加者が鏡のように動きを合わせるミラーゲームを手の動きで行うこととした。ミラーゲームは先行研究で開発・確立されている課題であり(Noy et al., 2011)、近年では仮想空間内でアバターを用いたミラーゲーム実験も行われている(Llobera et al., 2022)。この課題は先行研究との比較が可能であることに加え、フィジカル空間とサイバー空間で同等に実施することができるという条件を満たし、手の動きに限定することで視野の変化を最小限にすることができる。また、動作計測も Vision Pro 内蔵のセンサーで完結できるというメリットがある。

両手の動作を Vision Pro で記録・保存できるように開発を行った。 Vision Pro 内蔵センサーを用いて手指の検出を行い, JSON ファイルで出力できるようにした。 Vision Pro 上では,手の検知は映像のリフレッシュレートに依存し,60-90 Hz とその時々で変わってしまう。また高頻度でのデータ保存はシステムに負荷をかけ

るため、サンプリングレートは十分に手の動作 を認識でき、安定してデータを取得できる30 Hzとした。

#### [今後の展望と課題]

今回のフィジカル空間のスキャン方法ではサイバー空間に多少の歪みが生じていた(図 3)。 今回の実験室は、空間的に複雑な情報であった ため、実際の運用にあたってはよりシンプルな 実験室を利用することで、歪みを抑えられると 考えられる。



図3 実際の実験室との比較

より精度の高い仮想空間の構築に加え、空間 内で相手をどのように表示させるかというのが 残された大きな課題である。フィジカル空間と の比較を行うことを考慮すると、相手の見た目 はそのまま表示できたほうが好ましい。Vision Pro にはユーザーの手の背景を切り取り、サイ バー空間内にユーザーの実際の手を表示させる 機能がある。同様の方法を用いて、目の前の人 を切り出して、サイバー空間に切り出すことを 試みたが、公式にサポートされた API がない ため現状では困難であった。直接的なフィジカ ル空間とサイバー空間の比較を諦めて、アバ ターを利用することでサイバー空間内での比較 が現実的な解決方法であると考えられる。アバ ターという身体性の影響を調べるためにも、実 際の人の姿から徐々にかけ離れていくようなコ ントロール可能なアバターの作成を今後行う必 要がある。

一方で、今回の開発中に Apple 社から Spatial Persona 機能のベータ版が公開された。 Spatial Persona とは、Apple 社の Facetime といったビデオ通話機能を発展させた機能であり、 Vision Pro を装着しているユーザーの空間内に相手のアバター(現時点では頭部と手のみ)を表示させる機能である。相手が実際には存在しない場合でも、より空間を共有している感覚を味わうことができる。

また、同じ部屋にいる人が Vision Pro を装着している場合は相手の視線や表情をみることができないが、 Vision Pro でユーザーの視線や表情を読み取り、ゴーグルを装着している人の上にスキャンしたユーザーのアバターを重ねて表示させ、視線や表情を反映させることができる。これらの機能を応用することができると考えられる。

これらの課題を解決したのち、今後行動実験を実施し、EEGの2個体同時記録実験を実施する予定である。以下に現在計画している具体的な実験例をあげる。

#### 計画している実験例

2人の参加者が空間内で向かい合い,手を自由に動かすミラーゲーム課題を行う。各試行は1分として,最初と最後の20秒は相手の動きが見えないようにし,中間の20秒で相手の動きが見えるようにする。この中間の20秒については,参加者AとBがお互いに合わせる条件,参加者Aが参加者Bに合わせる条件,参加者Bが参加者Aに合わせる条件の3条件とする。

空間については被験者間条件として,フィジカル空間(VRゴーグルなし)条件,シースルー(フィジカル空間がそのまま見える)条件,仮想フィジカル空間(フィジカル空間ベースとした空間)条件,サイバー空間(フィジカル空間情報から色などの情報を除いた無機質な空間)条件を設定する。

行動データは Vision Pro 内蔵センサーを用

いて手指の動作を検出, 記録を行う。お互いの空間内に動きを反映させるために光学的 3 次元動作解析装置を用いて外部カメラによって記録し, その情報を相手の空間内に反映させる。行動データの記録と合わせて EEG の同時計測を行う。ラポール形成については, インタビューと主観的評価尺度(例:相手への親近感, 理解感, 一体感)を用いる。

仮説として、実際に空間を共有しているフィジカル空間条件で、ラポール関連の指標は最も高く、サイバー空間条件になるに従って、場の共有感が減少し、ラポール関連指標も低下すると予想される。同様のパターンが、「手の軌跡の重なり度」といった運動協調のパフォーマンスや2人の脳活動間の機能的結合の強さにも見られることが予想される。

これら空間の統制による行動・神経活動変容, 主観的評価との関係性を明らかにし,離れた場 所にいながら場の共有感をつくる環境構築に資 する研究へ発展させる。

#### [引用文献]

- Chang, E., Kim, H. T., & Yoo, B. (2020). Virtual reality sickness: a review of causes and measurements. International Journal of Human-Computer Interaction, 36(17), 1658-1682.
- Cirelli, L. K., Einarson, K. M., & Trainor, L. J. (2014).
   Interpersonal synchrony increases prosocial behavior in infants. Developmental science, 17 (6), 1003–1011.
- Dumas, G., Nadel, J., Soussignan, R., Martinerie, J., & Garnero, L. (2010). Inter-brain synchronization during social interaction. PloS one, 5(8), e12166.
- Llobera, J., Jacquat, V., Calabrese, C., & Charbonnier,
   C. (2022). Playing the mirror game in virtual reality
   with an autonomous character. Scientific Reports,
   12(1), 21329.
- Miyata, K., Koike, T., Nakagawa, E., Harada, T., Sumiya, M., Yamamoto, T., & Sadato, N. (2021).
   Neural substrates for sharing intention in action during face-to-face imitation. NeuroImage, 233, 117916
- Noy, L., Dekel, E., & Alon, U. (2011). The mirror game as a paradigm for studying the dynamics of

two people improvising motion together. Proceedings of the National Academy of Sciences, 108(52), 20947-20952.

— Numata, T., Sato, H., Asa, Y., Koike, T., Miyata, K., Nakagawa, E., Sumiya, M., & Sadato, N. (2020). Achieving affective human-virtual agent communication by enabling virtual agents to imitate positive expressions. Scientific reports, 10(1), 5977.

[成果の発表, 論文など]

該当なし

#### 熟練技能者の技術の継承を支援する人協調型 AI システムの開発

2231029



研究代表者 北九州市立大学 国際環境工学部 教 授 村 上 洋

#### [研究の目的]

近年、少子高齢化に伴う製造業の人手不足に より熟練技能者の技術伝承が困難となりつつあ る。そこで産業界では人手不足を補うためス マートファクトリー化が進展し、生産工程の自 動化や加工中の異常の検知・予測技術に関する 関心が高まってきている。スマートファクト リー構築において機械加工工程の自動化は生産 工程全体を自動化する際の重要な問題の一つで ある。特に主軸や工具状態の監視技術は適切な 時期に工具交換することによる工具コストの低 減、加工面品位の向上や工作機械ダウンタイム の低減による生産性向上などに寄与する。実際 に製造現場において工具交換を行う際は、熟練 技能者が五感を駆使して工具寿命を判断する場 合や、一度加工を止めて測定して判断する場合 などがある。同じ形状を大量に加工する場合は, 一定個数加工後あるいは一定時間加工後に工具 を交換することが多く、まだ使用可能な工具も 破棄していることが多い。同一の加工条件、工 具,工作物においても工具摩耗の進行は大きく 異なるため、かなり安全を見て工具交換するこ とが多く、工具の有効利用率は現状高くはない。 したがって、生産性、加工表面性状の向上のた めには熟練技能者に頼らなくても加工中の切削 工具の状態を監視することが可能な加工状態監 視システムを構築し、切削工具を適切な時期に 交換することが重要となる。生産性向上やコス ト低減の他にも機械の破損や故障、消耗品劣化

などを防ぐ予知保全効果も期待できる。工具摩 耗の進行には様々な要素が影響しているため、 同じ加工条件でも摩耗量は加工毎に大きく異なる。さらに、AE 信号や切削力は工具摩耗だけ でなく切込み量や切削速度が変動しても変化するため単体のセンサで工具摩耗状態を信頼性高 く推定することは困難である。そこで、本研究 では、ソフト(人工知能技術)とハード(複数 のセンサ)を融合させることで熟練技能者の技 術の伝承を支援する人協調型 AI システムを開 発することを目的とする。

#### [研究の内容. 成果]

スピンドルや工作機械ステージなどに複数の センサを取り付けて加工実験を実施し、その データを用いて信号処理技術および工具摩耗を 予測する機械学習モデルの開発を行った。リニ アモータステージ上に多成分動力計を設置し, その上に工作物をボルトで固定した。多成分動 力計は加工中の X. Y および Z 方向の切削抵 抗を計測するために用いる。動力計のトッププ レート側面には高感度 AE センサを取り付けて おり、切削加工の際に工作物とエンドミルの摩 擦や塑性変形により発生する AE 波を取得する。 スピンドルのハウジング部には3軸加速度セン サを取り付けており、スピンドルの X. Y およ びZ方向の振動を測定する。マイクロフォン はマグネットベースを用いて工具先端に向けて 設置されており、切削加工で生じる音を記録す

る。各センサ信号はサンプリング周波数  $1\,\mathrm{MHz}$  で取得した。また,NC の制御装置から XYZ 軸駆動用モータのトルク,モータ電流,主軸トルク,主軸消費電力の信号をサンプリング周波数  $1\,\mathrm{kHz}$  で取得した。

工作物の材料には S50C, SKD11 および NAK55 を用いて, 2 枚刃のスクエアエンドミルにて加工を行った。送り速度, 切削速度, 軸方向切込み量, ドライ・MQL 加工など切削条件を変えて加工実験を実施し, 合計 21 回分のデータを取得した。工具摩耗を測定する際は工作機械を一時停止し, 主軸から取り外した工具先端のマイクロスコープ画像から逃げ面摩耗幅を計測した。

機械学習を用いて高精度な予測を行うために は生データから工具摩耗や表面粗さと相関の高 い情報を抽出・選択することが重要となる。今 回は時間領域、周波数領域のそれぞれから特徴 量を求めた。今回は得られた生データから9種 類の時間領域特徴(平均値,分散,尖度,歪度, 波形率,など),FFTにより求めた周波数スペ クトルから21種類の周波数領域特徴(平均. 分散, 歪度, 尖度, 50 kHz 毎のパワースペク トルの平均、工具切れ刃通過周波数のパワース ペクトルなど), 計30種類の特徴量を求めた。 上記 16 のセンサ信号それぞれに対して,30 個 の特徴量を計算し、合計 480 個の特徴量を得た。 これまでに機械学習を用いた様々な工具摩耗量 の予測手法が提案されてきたが, 教師データが 必要であるために、膨大な加工実験を実施す る必要があった。そこで、本報では従来の教師 あり学習法 (Random forest, GBTD (Gradient boosting decision tree). SVR (Support vector regression), Deep learning, LightGBM (Light Gradient Boosting Machine), XGBoost (eXtreme Gradient Boosting)) と大量の教師データを必 要としない教師なし学習(One-class SVM)に よる新しい摩耗予測法の性能を比較検討した結 果について報告する。

複数のセンサ信号から得られた上記特徴量と

機械学習モデルの一つである One-class SVM を用いて工具摩耗の予測を行う。One-class SVM とは Support Vector Machine を用いる外 れ値検知手法である。One-class SVM は正常 データを囲むような境界を作成し、この境界か らの距離を異常度として計算する。今回は各実 験の最初のデータの特徴量のみを用いてモデル の境界を作成した。その後、取得した加工中の データをそのモデルを使用して異常度 a を算出 した。この異常度に加工条件のパラメータ(切 削速度, 送り量, 切込み深さの累乗) と工具と 工作物の組み合わせによる係数、切削液に関す る係数を乗じることで摩耗を算出する。パラ メータ指数の同定には複数の実験結果を必要と する。また、One-class SVM などの機械学習 の評価関数には一般的に RMSE (Root Mean Squared Error) が用いられることが多い。し かし、今回のような加工において工具摩耗を予 測する場合,加工条件によっては構成刃先など が発生し、その影響で各種センサ信号が変動す ることで予測した摩耗量に大きな変動が生じる ことがある。そこで、今回は摩耗予測の大幅な 変動を抑制させるために新たな評価関数 NEF を式(1)のように定義して用いることにした。

NEF = 
$$\sqrt{\frac{1}{N}\sum_{i=1}^{N}(\hat{y}_i-y_i)^2} + \alpha$$
  $\sqrt{\frac{1}{N-1}\sum_{i=2}^{N}(y_i-y_{i-1})^2}$  RMSE 調整係数 摩耗の不連続性 (1)

 $y_i$  は切削回数 i 番目における摩耗量の予測値を示しており、前回の予測値との不連続性を少なくすることによる変動の抑制が期待できる。

図1に工作物(S50C)を加工した際にOneclass SVM を用いて予測した結果を示す。実線 が実験で測定した工具逃げ面摩耗幅,破線が評 価関数に RMSE を用いて予測した工具逃げ面 摩耗幅,一点鎖線が評価関数に NEF を用いて 予測した工具逃げ面摩耗幅を示す。新しい評価 関数を用いることで予測値の変動が抑制可能で あることが確認できる。

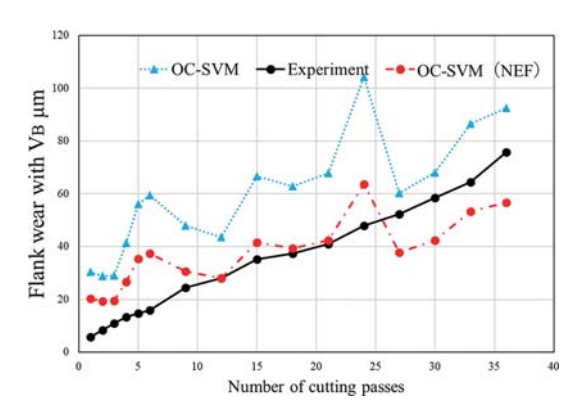


図1 One-class SVM を用いた工具摩耗量予測結果

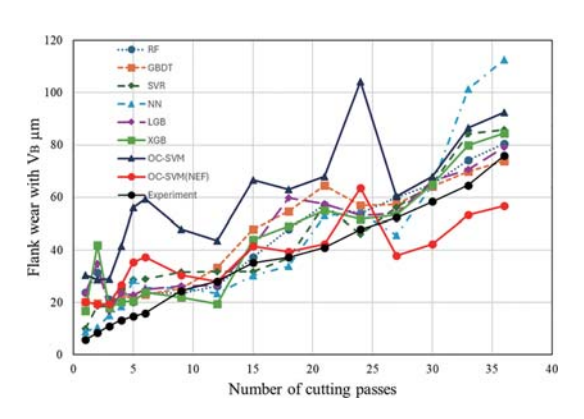


図2 各機械学習モデルによる工具摩耗予測結果

表1 予測結果の比較 (RMSE: µm)

21- 1001471-17017		
	S50C, Dry Axial	
	depth of cut: 1.5 mm	
Random forest	8.5	
GBDT	7.6	
SVR	4.2	
Deep learning	13.9	
LightGBM	11.9	
XGBoost	12.0	
One-class SVM	27.4	
One-class SVM (NEF)	12.3	

図2に教師ありおよび教師なしの各機械学習 モデルによる予測結果を示す。また、表1に予 測結果の RMSE を示す。教師なし学習である One-class SVM でも教師あり学習法と同等の 予測が可能であることを確認した。

表2に工作物S50Cを加工した場合のドライ加工とMQL(Minimum Quantity Lubrication)加工の比較(工具摩耗予測結果のRMSE)を示す。ドライ加工においては他の教師あり学習と同等の精度で予測ができているが、MQL加工の場合は誤差が4倍近く大きくなっている。

表2 ドライ加工と MQL 加工の予測結果 (RMSE: µm)

	S50C, Dry Axial depth of cut: 3 mm	S50C, Dry Axial depth of cut: 1.5 mm	S50C, MQL Axial depth of cut: 3 mm
Random forest	12.7	8.5	13.3
GBDT	10.1	7.6	14.3
SVR	9	4.2	11.1
Deep learning	10.9	13.9	11.4
LightGBM	16.0	11.9	12.3
XGBoost	12.8	12.0	13.6
One-class SVM	27.5	27.4	33.3
One-class SVM (NEF)	19.7	12.3	43.8

表3 SKD11と NAK55の予測結果 (RMSE: µm)

	SKD11, Dry Axial	NAK55, Dry Axial depth of cut: 3 mm
Random forest	27.5	24.4
GBDT	27.9	20.9
SVR	36.7	21.8
Deep learning	32.7	35.6
LightGBM	27.4	18.2
XGBoost	30.7	19.7
One-class SVM	32.1	37
One-class SVM (NEF)	42.4	28.7

今後は工具摩耗の予測式を改良する等の対策を 行い MQL 加工の場合の予測精度を向上させる 必要がある。参考までに特徴量重要度(どのセ ンサが予測に寄与したかの指標)を算出したと ころ、軸駆動用モータ、加速度センサの順に重 要度が高くなっていた。

One-class SVM を用いた教師なし学習手法においてはワークピース材料と工具の組み合わせが変わった場合は、最低1回加工実験を実施して、データを取得し係数を決定する必要がある。表2および表3より一度ワークピースと工具との間の係数を決めることができれば切削条件が変わっても適切に予測可能であることが確認できた。

次に図3に示すセンサビルトインスピンドルの製作を実施した。軸受には空気静圧軸受を使用し、エアータービンにより駆動する。主軸内部、タービン部、工具先端部に主軸内蔵型光ファイバ式 AE(Acoustic Emission、アコースティックエミッション)センサ、光ファイバ式

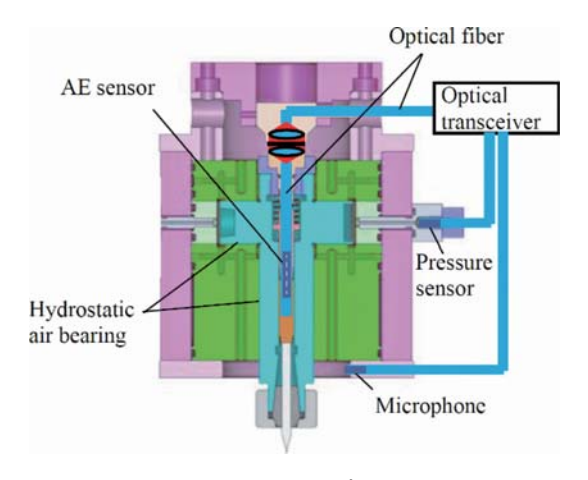


図3 センサビルトインスピンドルの概略図

圧力センサおよび光ファイバ式マイクロフォンの各センサを設置する。本研究では新たに小型で低ノイズの各種センサを作成するために、レーザによりファイバ端面の高精度加工に取り組んだ。図4に示すように加工に最適なレーザパワー、波長、使用するレンズNA、を決定するために加工実験を実施した。

加工実験の一例として、図5にパルスエネルギーと加工穴直径の関係および図6にパルスエネルギーと加工穴深さの関係を示す。

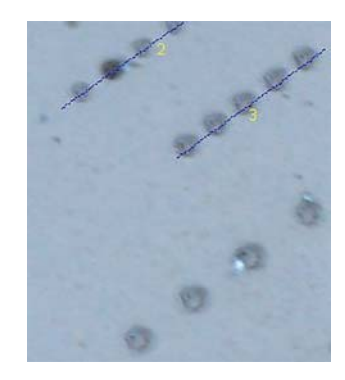


図4 レーザ加工痕の写真

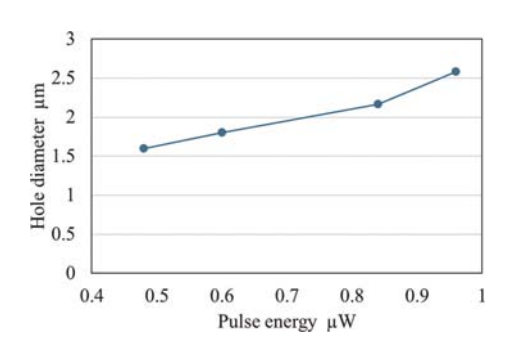


図5 パルスエネルギーと加工穴直径の関係

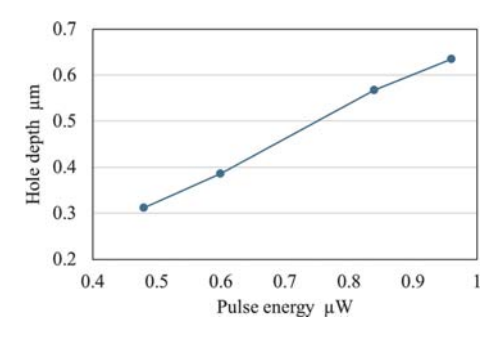


図6 パルスエネルギーと加工穴深さの関係

本研究では、複数のセンサ信号を用いて教師 あり学習法 (Random forest, GBTD (Gradient boosting decision tree), SVR (Support vector regression), Deep learning, LightGBM (Light Gradient Boosting Machine), XGBoost (eXtreme Gradient Boosting)) と大量の教師データを必 要としない教師なし学習(One-class SVM)に よる新規摩耗予測法の性能について比較検討し. ワークピースの材料や切削条件が変わった場 合でも工具逃げ面摩耗量を予測可能であること を確認した。また、教師なし学習手法 (Oneclass SVM) においても教師あり学習手法と同 程度の精度で予測が可能であることを確認した。 今後は工具摩耗の予測式を改良し、MQL 加工 の場合等, 各種条件における予測精度向上に取 り組む予定である。本研究は公益財団法人立石 科学技術振興財団の研究助成を受けて行ったこ とを記し、謝意を表す。

#### [成果の発表, 論文など]

- (1) 村上洋, 甲木昭雄, 佐島隆生, 松田智大, 岩下悠 人, 吉積孝紘, "One-class support vector machine を用いた教師なし工具摩耗予測法の開発", 2024 年 度精密工学会春季大会講演論文集, p. 106, 2024.
- (2) 吉積孝紘,村上洋,甲木昭雄,松田智大,"エンドミル加工における教師ありおよび教師なし工具摩 耗予測法の開発",日本機械学会第15回生産加工・工作機械部門講演会講演論文集,p.75,2024.

#### 光弾性を利用した力覚変色表示ソフトアクチュエータの研究開発

2241030



研究代表者 法政大学

准教授 山 田 泰 之

#### [研究の目的]

さらなる人間と機械の調和の促進を考えた場合,人と機械の共同作業,人がいる空間での機械の作業などのインタラクションを考えた場合,直感的に機械の状況を人間が認識できることが望ましい。例えば、多くのロボットや機械は、位置制御にもとづいた移動や作業を行うが、これは人間のパントマイムに近いものがありる。つまり、そのロボットや機械の動きから、重いものを運んでいるのか、硬いものを掴んでいるのか、力をいれて動いているのかなどを視覚的に判断することは難しい。

このような場合、例えばロボットの状況をセンシングして、数値化して、アラートを出すことは技術的には容易であるが、そのような複雑システムによる方法が様々な環境下で効果的に活用できるかは疑問が残る。

そこで、本研究では、人間が人間に直感的に感じるように、例えば力こぶや、躍動感のようなもののように、ロボットや機械の外観的な要素からその状況が理解できるほうが、人間と機械の調和の促進をさらに飛躍させることができると考え、目的とする。そこで本研究ではロボットや機械の構造を、人が色に関して感じる軽重感などに合わせて変色するパッシブな機械要素の実現を目指す。その第一段階として、人と機械のインタラクションで着目されているソフトアクチュエータに対して、その状況を色で可視化する方法の実現を目指す。

#### [研究の内容,成果]

#### 研究の内容

本研究のサブゴール(本申請の研究成果目標)は、光弾性を利用した力覚変色表示ソフトアクチュエータの研究開発を実現するための具体的な取り組みについて説明する。技術的な課題は①ソフトアクチュエータと一体化された構造の実現(従来のソフトアクチュエータ、例えばマッキベン型や軸方向繊維強化型人工筋肉などと融合)と、②より可視光で判別しやすい色の発色である。③再現性のある製作と記録。研究概要と現在の知見や実験環境について説明したうえで、それぞれについて詳しく説明する。

本研究では、図1のように、ロボットや機械の色を人間が色に対して感じる軽重感等と一致させることで、人間と機械の調和(状況の直感的な伝達)を目指すものである。様々な環境でこのインタラクションを成立させるために、電気的なセンシングなどを用いずに、かつ安定的に発生するように、光学特性の1つである光弾性の応用を行う。光弾性は図2のように、高分子材料内の光の分光による色の変化である物理現象であるため可視光させあれば様々な環境で

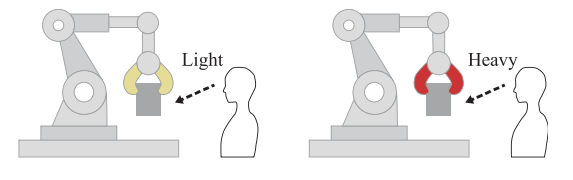


図1 外観色による状況伝達

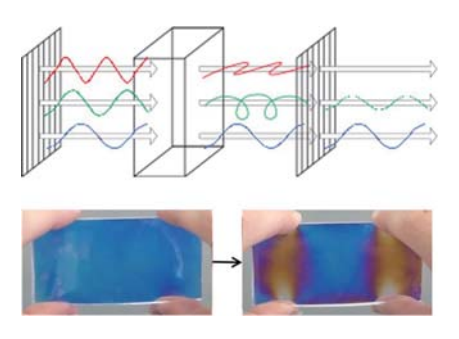


図2 光弾性の概念図

安定的に機能する。基本的原理は、光弾性を発生しやすい軟質塩化ビニルシート(以下 PVCシート)等の透明素材(光造形、FDM 造形含む)を偏向板で挟んで、透過した可視光から観察される。研究代表者らは、これまでの研究の成果から、この光弾性を応用して透明樹脂シートの厚みや重ね枚数、織、溝や切欠きなどが、構造体に対して加わる力と色変化、表面の模様変化に及ぼす特性を明らかとした。また、光弾性による色発生を機械やロボットなどの構造体として応用する方法として、例えば図3のようなロボットハンドとして試作した。さらに、色の発色と人の軽重感を一致させる機構開発図4





図3 把持対象によるハンドの色変化



図4 軽重感と一致させる機構

を研究開発してきた。しかし、アクチュエータ 自体の色や模様を変化させたり、それを発生し ている荷重や、変形と関係させて変化させる ことも実現できたいない。そこで、1)ソフト アクチュエータと一体化された構造の実現と、 2) 再現性のある製作と記録方法の確立を目指 した。

1) ソフトアクチュエータと一体化された構造の実現これまでの研究では、PVC等の透明素材に力を加えた際の変色について検討してきた。一方で、これらをソフトアクチュエータとしてインテグレーションできていない。そこで、ソフトアクチュエータであるマッキベン型空気圧人工筋肉、ワルシャワ型人工筋肉、折り紙アクチュエータ、パウチモータと光弾性による変色や模様変化について融合を試みた。

#### 2) 再現性のある製作と記録

光弾性現象は可視光のように幅広い可視光範囲の波長を含む光の下による PVC 材料等の透明高分子素材に発生する現象である。そのため、材料や製作方法による素材自体あるいはソフトアクチュエータの個別のものづくりによる個体差と、撮影環境の違いによる色の変化が発生する。より具体的に説明する。提案方法でソフトアクチュエータを変色させると、偏向板により光量が半減するため、薄暗い色となる。人間の目は高い感度があるため、問題なく見えるが、実験として色を量的に比較する上では、照明が必要になる。この場合用いる照明や配置方法で、撮影される対象の色の量的な数値が変化してしまう。

そこで、なるべく個体差が出にくい作り方、 つまり手作りではなく、機械化による再現性の 確保を目指す。具体的にはカットマシンやレー ザカッタを用いて透明柔軟素材のサイズを一定 にたもつ。

また、撮影環境も記録される数値が変化しないように、自然光の遮蔽と照明の管理を行い、 撮影による色変化の誤差を抑制することを目指 した。

# 研究の成果

ソフトアクチュエータは柔軟な材料を使用し て構成されている場合が多い。そのため、透明 な樹脂素材で構成できれば、光弾性による変色 や模様変化を発生させられる可能性がある。ソ フトアクチュエータには、空気圧や電気、ジャ ミングなど様々な駆動方式がある。その中でも 内部構造が透明としやすい空気圧式アクチュ エータに着目した。折り紙式アクチュエータ, マッキベン式人工筋肉,パウチモータ,ワル シャワ型人工筋肉を対象とした。

光学的特性は、光の伝播、屈折、反射、分散 等の物理的現象によるもので、表1のような種 類がある。本研究では力学特性である光弾性を 利用する。

表1 光学現象の例

1	力学要素による変化	光弾性特性		
2		モアレ		
3	光学要素による変化	二色性		
4		フォトクロミズム		
5	温度による変化	サーモクロミズム		
6	機械的刺激による変化	メカクロミズム		

様々な種類や厚みの透明樹脂素材や、それら の重ね合わせの組み合わせを用いて、どのよう な光弾性特性を示すかを材料検討した。そえら の中で、同じ撮影環境において、より明るく発 色する素材(の組み合わせ)や,加工性を考慮 して材料を選定した。

選定した透明樹脂素材を用いて、図5~図8 のように、折り紙アクチュエータ、パウチモー タ. マッキベン式人工筋肉. およびワルシァワ 型人工筋肉を作成した。それぞれの図は、無加 圧状態と加圧(減圧)状態を併記した。

折り紙式アクチュエータは、視覚方向に関し て各面の角度方向が変化することで、観察者か らの色の見え方が変わることが分かる。

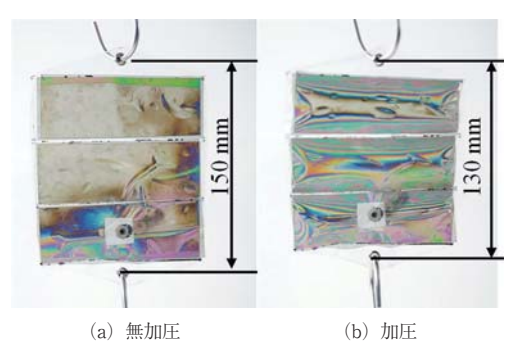
パウチモータは、基本的にのびにくいフィル ム素材を用いて構成するインフレータブルアク チュエータであるため、色というより模様の変 化が観察された。



(a) 無加圧

(b) 減圧

図5 光弾性を応用した折り紙アクチュエータ



(a) 無加圧

図6 偏光弾性を応用したパウチモータ



図7 偏光弾性を応用したマッキベン式人工筋肉



(a) 無加圧

図8 偏光弾性を応用したワルシャワ型人工筋肉

マッキベン型アクチュエータは,透明素材を 均一な角度で編み込むことに苦慮して,発色で きている部分が少ない。今後は,光弾性素材で 編み組チューブをつくる編み機もつくる予定で ある。

ワルシャワ側人工筋肉は、内部の透明樹脂 チューブの変色を明確に確認できた。特に無加 圧状態で色は見られず、加圧とともに、色が変 化していき、最大変化時は写真のように赤い部 分が増えるため、アクチュエータの変化(加 圧)と視覚的な変化の関係性を管理しやすい可 能性が高いと考えられる。

本研究では、光弾性特性を応用してソフトア クチュエータの可視的な変色や模様の変化について実験的に検証した。素材や厚み、組み合わせや使い方などの基礎的な検討から、各アクチュエータでの光弾性特性の発生状態について も、試作により確認した。今後は、それぞれの アクチュエータについて、さらにパラメトリッ クな実験を行い、物理的特性変化と、可視的な (色など)の変化を対応でけられるソフトアク チュエータを目指す。

### [成果の発表, 論文など]

- ・松田潮音, 財部真輝, 山田泰之, 光弾性特性を用いて変色するソフトアクチュエータ ―マッキベン型 人工筋肉/ワルシャワ型人工筋肉の変色の検討 ―, ロボティクス・メカトロニクス講演会 2025, 2A2-C04, 日本機械学会, (2025, 6)
- ・松田潮音,大塚瞭,山田泰之,光弾性特性を用いて変色するソフトアクチュエータ ― 非伸縮性フィルム素材を用いたソフトアクチュエータの検討 ―,ロボティクス・メカトロニクス講演会 2025, 1A2-N02,日本機械学会,(2025,6)

# 超低消費電力リアルタイム学習を可能にする 二次元半導体光電子メモリの開発

2241031

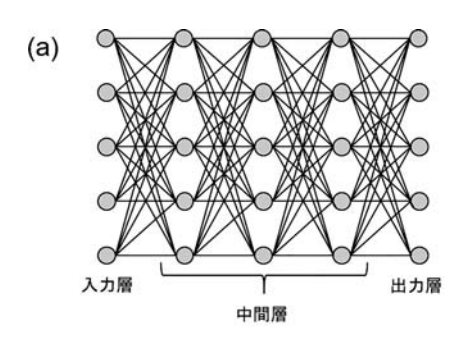


研究代表者 関西大学

准教授 山 本 真 人

# [研究の目的]

近年の人工ニューラルネットワークに基づく 深層学習の発展は、人間の認知機能を凌駕する 情報処理を可能にした。一方で、深層学習は学 習プロセスにおいてビッグデータの利用が必要 不可欠であり、その電力コストと時間的コストの高さが課題となっていた。深層学習における エネルギーコストの高さは、ニューラルネットワークの中間層を構築するにあたり膨大な量の 積和演算を繰り返す必要があることに由来する (図 la)。したがって、リアルタイムかつ低エネルギーコストでの学習を実現するためには、膨大な量の積和演算を必要としない機械学習手



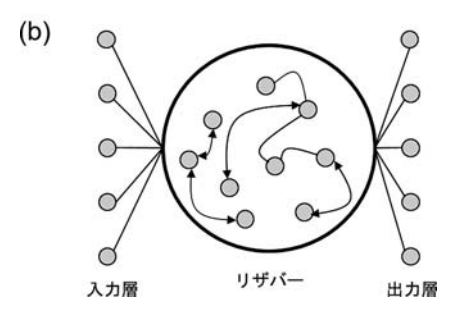


図1 (a) 深層学習と (b) リザバーコンピューティングの 概念図

法が必要となる。

近年、時系列データを用いて学習が可能なリザバーコンピューティングが注目を集めている。リザバーコンピューティングは、深層学習における中間層の代わりに短期記憶性と非線形性を有するリザバー層を置き、入力データを高次データに変換する。その結果、リザバーコンピューティングにおける学習はリザバー層と出力層の間のみで行えば良く、学習におけるコストを大幅に低減させることが出来る(図1b)。

リザバー層は、短期記憶性と非線形応答を示すデバイスによって物理実装が可能である。また、リザバーデバイスがセンサーの機能を有すれば、それ自体が入力層の役割も果たすこともでき、人間のように感知から学習までをリアルタイムかつ低消費電力で行える AI エッジデバイスへの応用が期待できる。

本研究では、超低消費電力リザバーデバイスと超高感度光センサーとしての機能を併せ持つデバイスを創出することで、視覚情報からリアルタイム学習が可能なインセンサーリザバーコンピューティングの実現を目的とした。

## [研究の内容,成果]

本研究では、原子レベルの薄さに由来して非常に表面敏感な性質を持つ二次元半導体の一種である黒リンを用いることでインセンサーリザバーデバイスの作製を試みた。黒リンは図2に示すように、リン原子から成る屈曲したシート

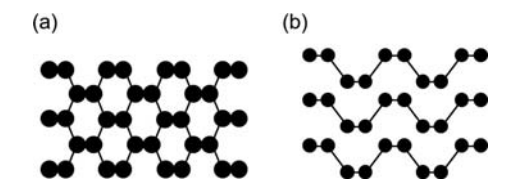


図2 黒リンの結晶構造の (a) 上面図と (b) 側面図

状の結晶がファンデルワールス力によって積み 重なった、層状物質である。

黒リンは層数によってバンドギャップの大き さが 0.3 eV から 2.0 eV まで変化する直接遷移 型の半導体である。また、黒リンは代表的な二 次元半導体である遷移金属ダイカルコゲナイド を凌駕する高い移動度を示すことから、様々な 波長の光に対して高感度かつ高速で応答するセ ンサーへの応用が期待されている。一方、リザ バーとしての機能は多値電荷トラップメモリ構 造において実現可能である。電荷トラップメモ リはトラップ層に電荷を蓄積させることで書き 込みを行う不揮発性メモリであるが、トラップ 準位が多岐に渡る場合は読み出し電流が非線形 的かつ多値的に変化する。そこで本研究では, 黒リン表面に自然酸化膜 (PO<sub>r</sub>) を形成し電荷 トラップ層として利用することで多値電荷ト ラップメモリの作製を試みた。

まず、多層黒リンをバルク単結晶から  $Si/SiO_2$  (90 nm) 基板上に機械剥離した。その後、フォトリソグラフィーと抵抗加熱蒸着によって黒リン上に Ni(20 nm)/Au(50 nm) 電極を形成し、Si をゲート、 $SiO_2$  をゲート誘電体とするバックゲート型の電界効果トランジスタを作製した(図 3a)。その後、フォトリソグラフィーによって黒リンチャネル上にウィンドウを形成し、室温でオゾン( $O_3$ )に曝露することで黒リン表面を酸化した(図 3b)。

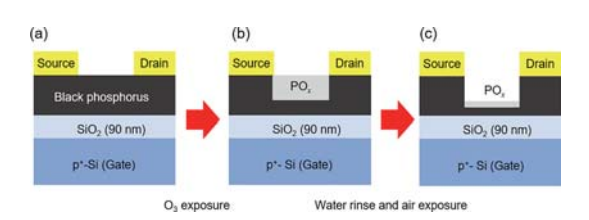


図3 黒リン電荷トラップメモリの作製プロセス

そして、黒リンを純水でリンスし表面酸化膜を除去することで、局所的に薄膜化した(図 3c)。その後、黒リンを大気に曝露することで電荷トラップ層となる表面酸化膜を形成した。黒リン FET の特性は室温、暗所、真空中  $(\sim10^{-2}\,\mathrm{Pa})$  中で測定した。また、黒リンへの光照射はハロゲンランプを用いて行った。

図4は、オゾン酸化と純水リンスによる処理を行った前後の光学顕微鏡像である。処理前後で黒リンのコントラストが変化しており、黒リンがエッチングされていることが分かった。また、図5はエッチング前後での黒リンFETの伝達特性を示している。エッチング前は高いホール電流を示し、その値は -20 V から 20 V のゲート掃引においておよそ 20% しか変化しなかった。一方、エッチング後は電流値が大幅に減少し、ゲート掃引に対してドレイン電流が2桁以上変化した。これらの実験結果は、エッチングによる薄膜化で黒リンのバンドギャップが増大したことを示唆している。

エッチング直後の黒リン FET はゲート掃引 に対してヒステリシスを示し、そのヒステリシス幅は 1.5 V であった。黒リン FET の伝達特性におけるヒステリシスは、黒リン表面に形成

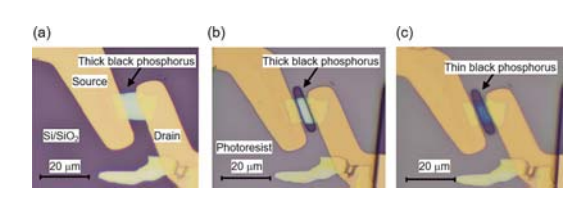


図4 黒リンのエッチング前後の光学顕微鏡像

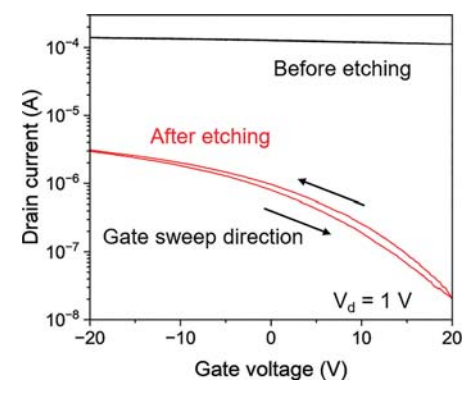


図5 黒リン FET のエッチング前後の伝達特性

された酸化膜が電子トラップとして機能していることによると考えられ、黒リンFETがリザバーデバイス応用に必要な電荷トラップメモリとして機能することが分かった。しかし、実際に黒リン電荷トラップメモリをリザバーデバイスとして応用するためには、より密度の高い電子トラップ層を形成し多値動作させる必要がある。そこで次は、黒リンFETを大気に曝露させることで更なる酸化膜形成を試みた。

図 6 に、エッチングした黒リン FET の大気 曝露時間ごとの伝達特性を示す。10 分間の大 気曝露によってドレイン電流値が減少し、オン・オフ比が 10<sup>4</sup> まで増大した。また、ヒステリシス幅も 8.1 V まで増加した。これらの結果は、大気曝露によって黒リン表面の酸化が進行したことを示唆している。その後、大気曝露時間を 40 分まで増やしても電流値とヒステリシス幅に大きな変化は見られなかった。これは、表面酸化膜が保護膜として機能し、黒リンの更なる酸化の進行が抑制されたためと考えられる。

次に、黒リン電荷トラップメモリの多値メモリ特性を評価した。図 7a に、大気曝露後の黒リン FET の伝達特性の最大ゲート電圧 ( $V_{g,max}$ ) 依存性を示す。印加するゲート電圧の最大値を 0 V から 20 V まで増加させると、ヒステリシス幅も増加することが分かった。この結果は、黒リン表面酸化膜中には多数のトラップ準位が存在していることを意味している。図 7b にトラップ密度の最大ゲート電圧依存性を

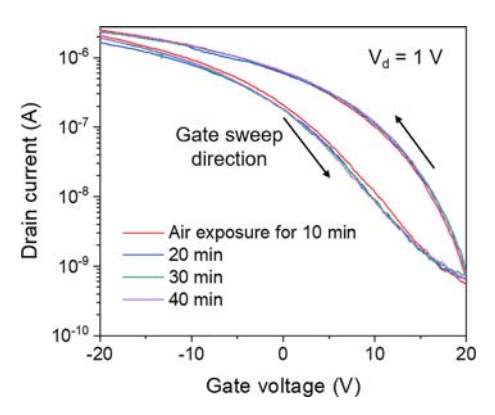


図 6 黒リン FET の伝達特性の大気曝露時間依存性

示す。 $V_{\rm g,max}$ =20 V のときのトラップ密度はおよそ  $1.4 \times 10^{12}$  cm<sup>-2</sup> と見積もられ,酸化膜中に多くの電子トラップが存在することも分かった。以上の結果より,表面酸化した黒リン FET が,多値電荷トラップメモリ動作することが分かった。

次は、黒リン電荷トラップメモリの保持特性の評価を行った。図 8 は、黒リン電荷トラップメモリに  $\pm 20 \text{ V}$  のゲート電圧を 4 s 印加し、書き込みと消去を行った際の保持特性を示している。書き込み後の電流は 10 s 後に 90% まで減少し、さらに 1000 s 後には 67% まで減少し

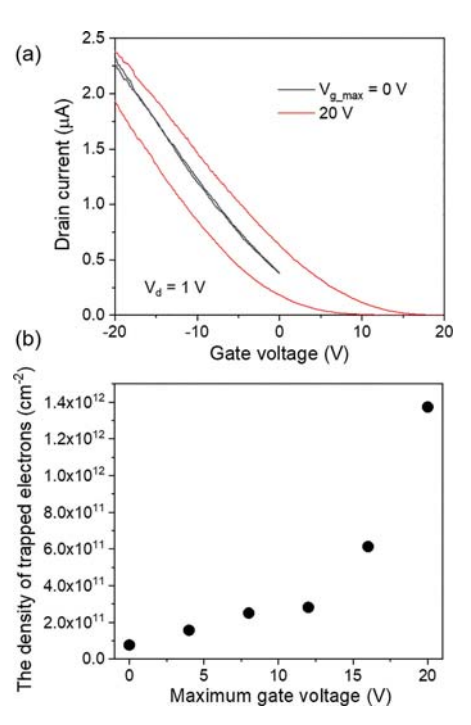


図7 (a) 黒リン FET の伝達特性の最大ゲート電圧依存性 (b) トラップ電子密度の最大ゲート電圧依存性

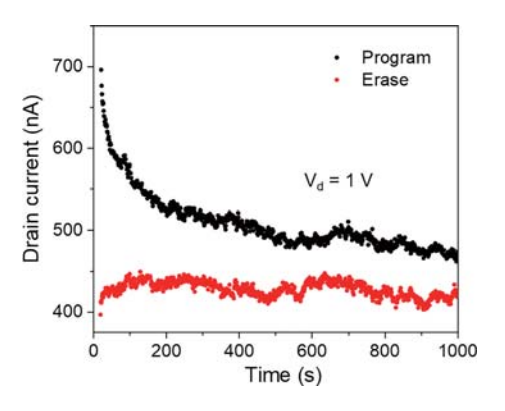


図8 黒リン電荷トラップメモリの短期記憶特性

た。一方、消去後の電流は 1000 s で 5 % 増加 した。これらの結果は、黒リン表面酸化膜中の トラップ準位は比較的浅く、トラップされた電 子は室温においても簡単にデトラップされやす いことを意味している。以上の結果より、黒リ ン電荷トラップメモリがリザバーコンピュー ティングに必要な短期記憶性を有することが示 された。

次は、黒リン電荷トラップメモリにゲートパルスを連続的に印加した際のドレイン電流値の変化を調べた。図 9 に示すように大きさ 20 V、パルス幅 100 ms のゲートパルスを印加すると、パルス数とともに電流値が非線形かつ可塑的に増加する様子が見られた(シナプス増強)。一方で、大きさ -5 V、パルス幅 100 ms のゲートパルスを印加すると電流値は可塑的に減少した(シナプス抑制)。したがって、黒リン電荷トラップメモリはリザバーコンピューティング応用において必要な非線形性も示すことが分かった。

最後に、黒リン電荷トラップメモリの光応答特性を調べた。図10に示すように、黒リン電荷トラップメモリにハロゲンランプ光を照射すると、ドレイン電流が時間とともに増大した。この光電流は、光照射によって黒リン中に生成された電子が表面酸化膜中でトラップされ、ゲートとして作用する光ゲート効果によるものと考えられる。100sのハロゲン光照射による電流増加率は3倍以上であり、黒リン電荷トラップメモリが良好な光センサーとして機能す

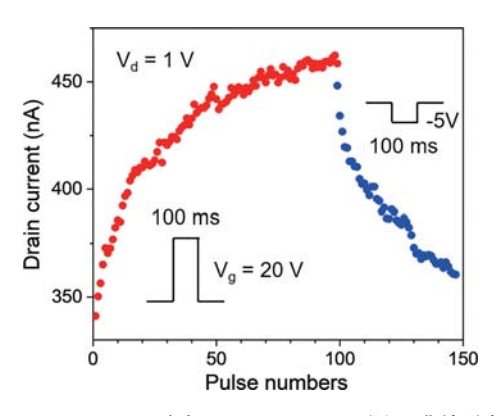


図9 ゲートパルス印加によるドレイン電流の非線形変化

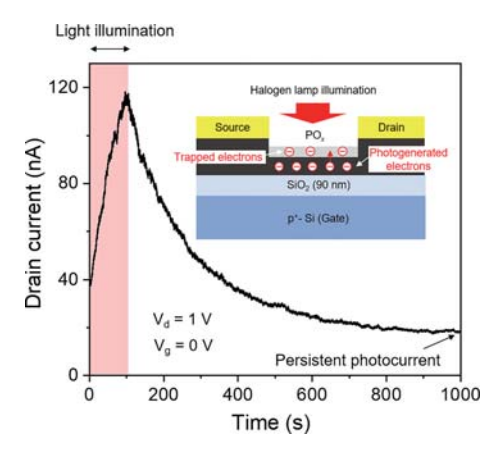


図 10 黒リン電荷トラップメモリの光応答特性

ることが示された。

ハロゲン光照射後、光電流は緩慢に減少し 1000 s 後も持続することが分かった。これは光 照射によって生成され電子が酸化膜中にトラッ プされていることを示してる。つまり、黒リン 電荷トラップメモリが光照射に対しても短期記 憶性を有する、不揮発性光メモリとして機能す ることが分かった。

次に、黒リン不揮発性メモリ光メモリの非線 形性の評価を行った。図11 は、黒リン FET に100 s のハロゲン光照射を断続的に4回行っ た際のドレイン電流の変化を示している。ゲー トパルスを印加した際と同様に、黒リン FET に光を照射した後の持続電流は、照射回数とと もに非線形的に変化することが分かった。

以上より, 本研究ではインセンサーリザバー コンピューティングへの応用を視野に入れ, バ

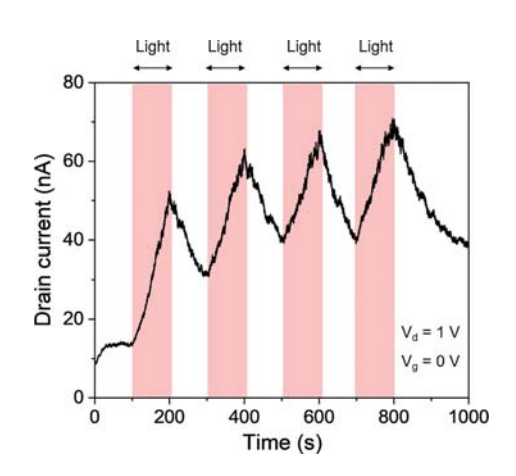


図 11 光照射によるドレイン電流の非線形変化

ンドギャップと表面状態をエンジニアリングした二次元半導体黒リンを用いて電荷トラップメモリを作製した。実際に作製した黒リン電荷トラップメモリは、インセンサーリザバーコンピューティング応用に必要不可欠な、短期記憶性、非線形性、高光感度性を有することが分かった。今後は、本研究で得られた実験データを元にリアルタイム学習における効率性をシミュレーションし、そのAIエッジデバイスとしての実用性を評価する。

### [成果の発表, 論文など]

- 1. 長田庄平, 小田太一, 稲田貢, 佐藤伸吾, 山本真 人, 局所オゾン酸化による層数の異なる黒リン面内 ホモ接合の形成, 第72回応用物理学会春季学術講 演会, 東京理科大学, 2025年3月.
- 2. 山本健嗣,小田太一,稲田貢,山本真人,オゾン処理によって薄膜化した黒リンの電荷トラップ特性,第72回応用物理学会春季学術講演会,東京理科大学,2025年3月.

# 微小針電極による超高密度脳波計測

# 

### 2241032



研究代表者 (助成金受領者) 共同研究者

東京農工大学 大学院工学研究院 先端健康科学部門	准教授	横	Щ		光
東京大学 大学院総合文化研究科	教 授	中	澤	公	孝
東京大学 医学部	教 授	緒	方		徹
東京農工大学 工学研究院	准教授	倉	科	佑	太
東京大学 総合文化研究科	助教	金	子	直	嗣
マイアミ大学	Assistant professor	Ma	tija N	/lilose	evic

### [研究の目的]

直近の厚生労働省の大規模調査(平成28年)によると、本邦では脊髄損傷、脳卒中、脳性麻痺などにより、身体運動が障害されている人の数は約200万人と推計されている。障害された機能を補うための革新的な医療技術を開発し実用化することは、本人の日常生活の自立を助け、生活の質を高め、社会参加を促すだけでなく、社会全体の医療・介護に係わる負担を軽減するうえで重要な課題である。

Brain-Computer-Interface (BCI) は脳により外部機器を操作する技術のことであり、傷害された運動機能の代行・支援が可能な技術である。BCI 関連技術の革新は障害を持つ方々にとって大きな福音となりうる。現状の失われた運動機能を代行するBCI は、外科手術で電極を脳内に留置し高品質な脳信号が得られる侵襲型BCI がほとんどである(Rapeaux et al, 2021)。もし、外科手術が不要でも高精度な運動意図の解読に基づき運動を支援する簡便なBCI が開発できれば、BCI 導入のハードルが格段に下がる。これによりBCI が特別なものではなく広く普及し、運動障害に苦しむ多くの患者

を助け、さらに福祉・介護など社会全体に大き く貢献できる。

非侵襲 BCI で頻用される脳波は空間解像度 が低いため、従来の高密度測定では 2-3 cm 程 度の電極間距離が使用され、それ以上短くし ても意味がないとされてきた。しかし近年、電 極間距離が1cmより短い超高密度化により 得られる情報が増えることが理論的に示され (Glover et al, 2016), 実際に運動情報の解読に 有用であることが実験的に示された(Lee et al. 2022)。しかし、現状の超高密度脳波計測には 電極-皮膚の接触抵抗を下げるためにゲルの使 用が必須であり、短い電極間距離で生じてしま うゲル同士の接触を防ぐためにウレタンシート に穴を空け、ゲルを注入し、髪を剃った頭皮に 貼り付ける必要がある。剃髪は被験者への心理 的負担が大きく、簡便な手法での超高密度脳波 計測が技術的課題と言える。

そこで、本研究では簡便な手法での超高密度 脳波計測という技術的課題を解決するために、 本研究ではゲル無しで高品質な生体信号を計測 できる微小針電極を応用し、革新的な超高密度 脳波計測を目指す。

脳波計測では電気抵抗の高い角質層が原因と

なり信号の質が劣化する。そこで本研究では、 微細な針で電気抵抗が高い角質層を貫くことで、 前処理無しで低抵抗化を実現する微小針電極を 製作し、簡便な超高密度脳波計測を実現する。 なお微細な針(長さ 600 μm, 直径 200 μm)は ほとんど痛みを与えない。さらに、皮膚ー電極 の接触抵抗値を劇的に低減する導電性ポリマー (PEDOT: PSS)を針電極の上に成膜すること で更なる低抵抗化を実現する。このような革新 的な超高密度脳波計測を提案し、簡便であるが 高精度に運動意図を汲み取れる脳情報解読技術 を利用した BCI 開発に挑む。

本研究ではまず、PEDOT: PSS 被膜微小針電極の性能検証を行い、その後に超高密度計測への応用を目指す。

# [研究の内容. 成果]

### 〈微小針電極の製造方法〉

図1に微小針電極製作の流れを示す。

微小針電極は、柔軟性と強度、耐熱性を持ち 電極の基盤となるポリイミド層(図1A)、導 電性を付与する金層(図1B)、電気抵抗を劇的 に下げる導電性ポリマーの PEDOT: PSS 層

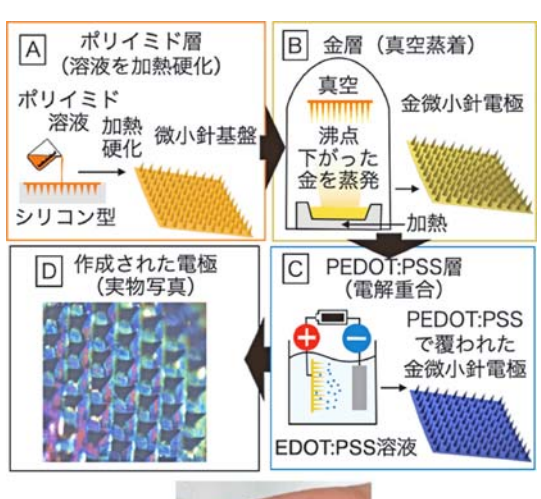




図1 微少針電極の製作の流れ

(図1C) の三層からなる。

シリコン型にポリアミック酸溶液(ポリイミド前駆体)を流し込む。ポリイミド溶液は粘度が非常に高く、シリコン型の針部分にまで浸透しないため。遠心分離器に 3000 rpm で 15 分かける。そしてホットプレートで 30 分 100℃で加熱し溶液の溶媒を蒸発させた.次に 30 分かけ徐々に 200℃まで温度を上昇させ、30 分200℃で加熱しポリアミック酸溶液をイミド化をさせポリイミドとして硬化させた。

完成したポリイミド層の上に導電層として金を真空蒸着装置によって 200nm の厚さで成膜した。なお直接金をポリイミドに蒸着すると接着性が悪いため間に 10 nm のクロム層を接着層として成膜した。

そして、電解重合法で金層の上に PEDOT: PSS 層を成膜した。PSS を 2.5 wt%, EDOT を 0.01 M で重合した。EDOT: PSS 溶液に陰極として Pt 電極棒,陽極として金層を蒸着した微小針電極を入れ電流を印加した。過大な電流の印加による急激な重合速度は PEDOT: PSS 層の欠けや密着性の弱さが生じるため,段階的に 50, 100, 150, 200  $\mu$ A の電流の強さで 150 秒ずつ電解重合させ,最後に 300  $\mu$ A で 600 秒重合した。電流の強さの制御ソフトウェアにはMatlab を,定電流装置には NI-9265(National Instruments 社,アメリカ)を使用した。

図2に作成した微小針電極と従来の金カップ 電極の例を示す。

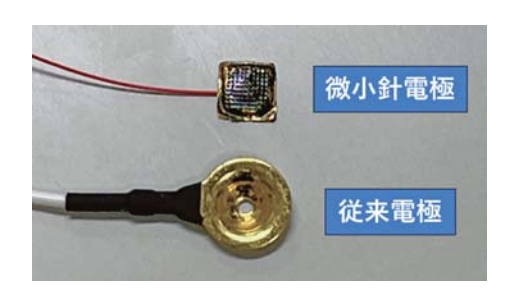


図2 微小針電極と金カップ電極

### 〈微小針電極の性能評価ーインピーダンス計測〉

腕部に5cmの距離で種類ごとの2つの電極

を配置し、2点の間を流れる電流の周波数ごとの抵抗値を計測した。電極を配置した位置は印をつけすべての電極で同じ位置になるようにした。

皮膚に接触する電極の面積によって抵抗値は変化するため、抵抗値に面積を乗算して正規化した。抵抗値が小さいほど高品質な信号や高いSignal-to-Noise ratio (SNR) が計測できることを示唆する。

図3に従来の湿式電極,ドライ電極,今回作成した微小針電極のインピーダンスを示す。微少針電極は生体電位の周波数帯である1000 Hz以下の帯域で低いインピーダンスであった。

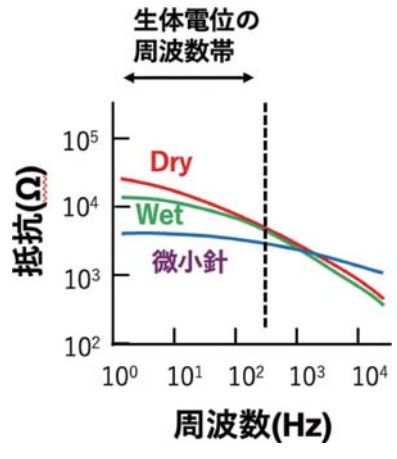


図3 各電極のインピーダンス

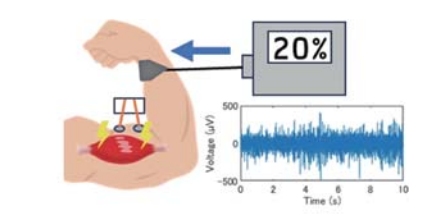
# 〈微小針電極の性能評価-筋電図計測〉

微小針電極と従来電極(乾式電極,湿式電極)において、計測した筋電図の信号の質を評価した。肘関節の屈曲に働く上腕二頭筋を対象に、最大の力の20%を出力してもらう課題時の筋電図を計測し、安静時の電位との比率で信号-ノイズ比(Signal-to-Noise Ratio: SNR)を算出した。

筋電図の SNR は微少針電極では有意に他の 従来電極より高かった。

### 〈微小針電極の性能評価-脳波計測〉

微小針電極と従来電極(乾式電極,湿式電極)において,記録した脳波の質の評価を体性



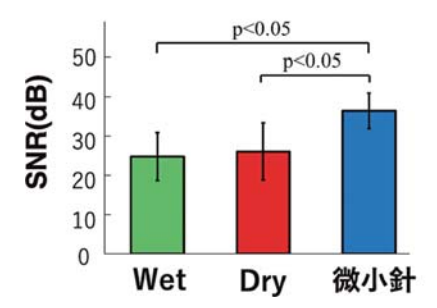


図4 筋電図実験の概要と結果

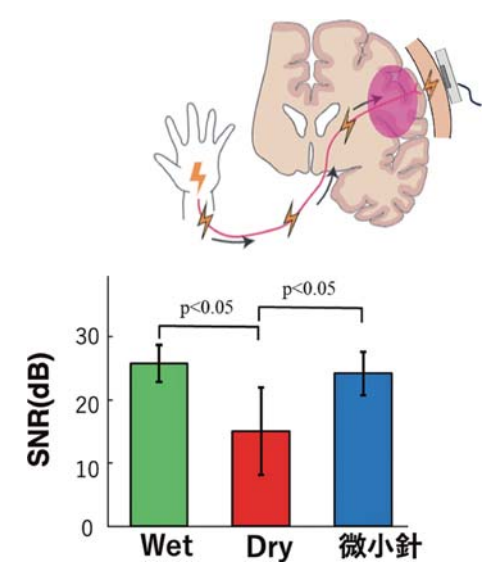


図5 脳波実験の概要と結果

感覚誘発電位の SNR を求めることで試みた。 体性感覚誘発電位とは、図5上段のように手首 の感覚神経に加える電気刺激への脳活動応答を 調べるものである。電気刺激タイミング前後の 信号を切り取り重ね合わせる加算平均法によっ てノイズを減らし、電気刺激由来の脳活動であ る刺激応答電位を抽出する。刺激応答電位と電 気刺激前の信号の大きさの比を SNR として算 出した。

結果として、湿式電極と微小針電極はドライ電極より SNR は高かったが、湿式と微小針電極では差がないという結果であった。筋電図とは以下の違いがあった:1) 微小針電極と湿式

が同等になった、2)ドライ電極と湿式電極で差が生じた。これらの要因として髪の毛の上からの計測となりジェルを使わない場合は抵抗値が増大し、信号の質が低下したと考えられる。それでも微小針電極はドライ状態での計測にも関わらず湿式電極と同等であったことは簡便性と信号の質という観点ではアドバンテージは大きい。

## 〈高密度計測への応用〉

作成した微小針電極の高密度計測(電極間距離 10 mm)への応用を試した。図 6A の青丸の位置に微小針電極を配置し、体性感覚誘発電位を計測し、高密度計測が可能かどうかを試した。計測された電位の大きさは、電極位置に従い滑らかに変化していた。この変化は感覚情報が到達する部位からの電位の広がりを示すものと想定され、高密度に配置した電極から、意味のある信号を計測できたことを示すものである。

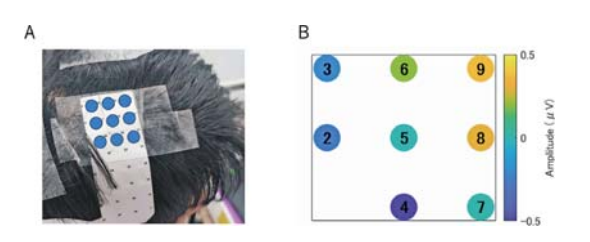


図6 高密度計測による体性感覚誘発電位評価

# 〈高密度脳波から手の開閉動作の解読〉

最後に高密度に配置した微小針電極から得られた脳波信号から手の開閉動作を解読できるか調べた。健常成人を対象に、被験者の C3 付近に電極間距離 10 mm でグリッド状に 20 ch の電極を配置し脳波を計測した(図 7)。被験者は5 秒間の手を開く動作  $\rightarrow 5$  秒間の安静  $\rightarrow 5$  秒間の手を閉じる動作  $\rightarrow 5$  秒間の安静, を 50 回繰り返した。脳波信号から課題 5 秒間のシータ帯(4-7 Hz)、アルファ帯(8-12 Hz)、ベータ帯(13-25 Hz)、ガンマ帯(26-40 Hz)のパワーを算出し、これらを目的変数とし、1)開く動作、2)閉じる動作、を目的変数とする判別モデルをナイーブベイズ分類器で作成した。精度

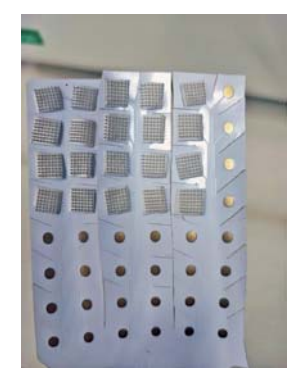


図7 高密度に配置した微小針電極

の検証は 10 fold cross validation で行った。結果として、約 65% の判別精度であった。50% がチャンスレベルとするとそれよりは良好であるが、BMI への応用を考えると更なる精度の向上が望まれる。

### 〈今後の課題〉

当初は脊髄損傷患者の運動意図解読を実施する予定であったが、電極製作やその精度検証に想定より時間がかかり、健常者での手の動作を脳波から解読することしかできなかった。またその精度は65%と、更なる向上がBMIへの応用には必要である。今回の実験では運動の回数が50回ずつと少なかったため、モデルの信頼性が低かった可能性がある。

また、電極の量産化に難があり、16 チャンネルでの計測にとどまってしまった。高密度に計測できるものの限定した範囲の脳情報した計測できていなかったため、高精度な運動情報解読に繋がらなかった可能性がある。

それでも、微小針電極での高密度配置で脳波を計測した例は世界にまだなく、剃毛なしでも高密度脳波計測が可能であることを示すことができたのは本研究の成果であり、さらなる電極製作の効率化により多チャンネル化を実現できれば、運動意図の高精度解読につながると想定される。

# [成果の発表, 論文など]

# 〈国際学会〉

Yamaguchi T, Kurashina Y, Kaneko N, Nakazawa K, Yokoyama H. "Easy to use and High Quality EEG Measurement Using Conductive Polymer coated Microneedle Electrodes as Assessed by Somatosensory Evoked Potentials". IEEE EMBC 2024, Orlando, USA, July 2024.

# 〈論文〉

Yamaguchi T, Kurashina Y, Kaneko N, Nakazawa K, Yokoyama H. "PEDOT: PSS-Coated Microneedle Electrodes for EEG and EMG recordings: Quantitative Assessment of Signal Quality and Usability". 投稿中.

# ロボットアーム錯覚は可能か

2241033



研究代表者 東京科学大学

准教授 葭 田 貴 子

# [研究の目的]

来る将来の人手不足への対策の一つとして. 日本では産業場面や日常生活へのロボットの導 入が求められている。しかし、実際のロボット の適用可能領域はまだ限られている。ロボット が環境を認識する自律制御にも様々な限界が見 えてきており、想定外の状況などへの対応のた めに. 人間が遠隔制御でロボットができない作 業を補完することが有効なのではないかと期待 されている。遠隔地からこのような対応を実施 するには、既存の情報通信を介した対応も望ま れている。そこで、インターネットで遅延や変 動が発生する状況において、ユーザである人間 が感じる遅延・変動の影響を抑え、安定したリ アルタイム遠隔操作を可能とする通信システム の研究開発が始まっており、本研究室も名古屋 や神戸との遠隔通信によるロボット操作の実証 実験を始めている。このようにロボット・通信 領域に加え、心理学や脳科学者といったエンド ユーザ側の人間に関する研究者を交えて. より 科学的・客観的に使いやすい遠隔制御のシステ ムを提供する研究開発体制は極めて限られてい る。本研究はこのようなロボットの社会展開に 伴う問題に、脳科学/心理学者の立場から答え ることを大目的とした。

# [研究の内容,成果]

ゴム (ラバー) の手のように自分自身の身体 ではないものを、自分の手と同様に触覚刺激を 与えられながら見たり, 自分の手指と同期する ゴムの手を見たりすると、やがて自分自身の手 腕のように感じられる錯覚を「ラバーハンド錯 視」と呼ぶ。この錯覚は、CGのアバターやロ ボットの義手など、生身の身体ではないものを、 あたかも生身の身体の一部であるかのように錯 覚させながら操作する技術の基盤とみなされ. 脳科学の見地からは広く研究されている。しか し、実物のロボットアームや義手を用いた実証 研究は多くはない。ここではインターネット越 しに遠隔操作される産業用ロボットアームをゴ ムの手の代わりとし、これをバーチャルリアリ ティ技術によってロボットの一人称視点で観察 しつつ、ロボットが接触するのと同様の触覚 フィードバックをユーザの手に与えた場合に, ロボットアームがユーザの身体の一部のよう に感じられ(身体所有感, Ownership, 図1), ユーザ自身がそれを操作しておりロボットが勝 手に動いているわけではない感覚 (操作主体感, Agency, 図1)が発生するか検証した。これ ら一連の研究により、ロボットアーム遠隔操作 時に機械の手腕が「自分の身体の一部になる」 ような操作感を生成すると同時に、最小限の練 習や教示で誰でも直感的に自分自身の四肢のよ うに使える遠隔ロボットアームの操作・設計方 法の確立に寄与することを小目的とした。

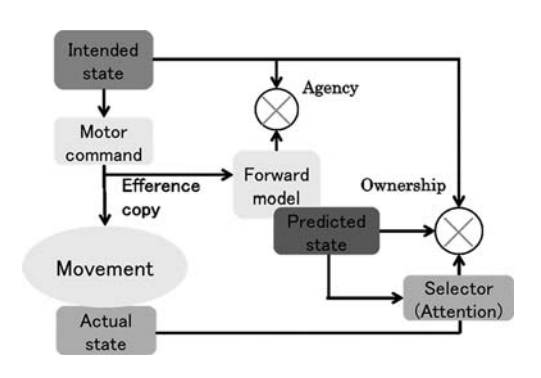


図1 Gallagher (2000) の哲学的考察による2種類の 自己身体感覚に関するブロック線図

本研究提案で用いるような産業用ロボットは、 図2左に示すようなティーチングペンダントと 呼ばれる一種のキーボードで操作されるのが一 般的である。しかし、ただでさえ初心者や一般 人に3次元空間内でロボットを思うように動か すことは難しい作業であるのに、このように直 感的ではないインターフェースを用いてロボッ トを操作することが今後も続くことは、ロボッ トの一般市場への普及への妨げとなりかねない と考えるのが、心理学や脳科学の立場である。 また、身体所有感や操作主体感覚を伴いながら ロボットを操作するとどのような利益が市場に もたらされるのかは謎のままである。最終的に はロボットの手腕が自分自身の手腕のように感 じられたとして、その時市場にとって何が良い のか、操作精度が上がるのか、疲労感が軽減さ れるのか、達成感が上がるのか、等々といった 副次的な問題にも取り組んだ。このような検証 を大規模に試みた研究は前例をみない。

自己身体感覚に関するモデルは幾つか提案さ



図2 左:従来産業用ロボットの操作に用いられてきた ティーチングペンダント。右:今回用いる産業用 ロボットと、それをバーチャルリアリティを介し て遠隔操作する操作者の概念図。

れているが、現在議論の中心となっているの は、哲学領域から提案された Gallagher (2000) のモデルである (図1)。このモデルをバー チャルリアリティの CG の身体に拡張した研究 は、数多くあり、Slater らによる多数の報告例 が知られている (例えば、Slater, 2009)。 触覚 を備えた高機能な義手を対象とした研究はごく 近年少数ある (e.g., Zbinden & Ortiz-Catalan, 2021)。「ロボットハンド錯視」と名付けられた 論文は過去に存在するが (Ismail & Shimada. 2016), 厳密にはロボットではなくロボットを 模した CG を使った研究であり、さらに本研究 提案のように通信遅延にジッタがある実物のイ ンターネットや、実物のロボットを用いた研究 ではない。実際のロボットの手首部部分を用い た研究は少数存在するが(Vu HuynhI, et al., 2019, Casper, et al., 2015), 本研究のように遠隔 操作を想定した実験ではなく、ラバーハンド錯 視のラバーハンド部分をよく似せたロボットハ ンドに置き換えただけのものであった。本研究 提案ではバーチャルリアリティによる視覚情報 提示や. インターネットを通じた視覚や触覚情 報の転送に伴うアーチファクトを含んだ状態で アーム型の産業用ロボットを用いるもので、必 ずしもサイズや機能、見た目が人間とは同じと は限らないものを用いている点において先行研 究とは異なる。

実際には、研究は以下のような項目に沿って 実施された。

1. 研究室保有の産業用ロボットアームの CG モデルを、ヘッドマウントディスプレイを 用いて、バーチャルリアリティ内で一人称 視点で操作できるようなものを作成する。 また、触覚デバイスを用いてアームの触力 覚がユーザの手腕にフィードバックされる ようなシステムを組む。ヘッドマウント ディスプレイには全天周カメラから取得していると想定した 360 度映像をリアルタイム提示することで、被検者の頭部運動に同期して視覚映像が上下左右に回転するよう

にする。

- 2. 1で作成したものを用いて、バーチャルリアリティ内で実時間操作されるロボットアームに対して、ユーザが身体所有感や操作主体感が感じられるかどうかを、心理物理学的測定方法や質問紙法、アイトラッキングや心拍計測を用いて、多角的に検証する。この際、この後実施する実験3のために、無線のインターネット越しにこれらのシステムを操作する状況を模して、視覚や触覚の提示情報にジターを伴う時間遅延を挿入する。
- 3. 2と並行して、無線のインターネット越しに実物の産業用ロボットアームを遠隔操作するための研究室保有のシステムを用いて、ユーザにとって1で製作されたものと極力同様に感じられるシステムを組む。即ち、1で利用したカメラ映像と類似した位置に全天周カメラを設置し、1でロボットアームが観察されたのと同じ位置、同じサイズでロボットアームが観察されるように視覚映像を提示する。触覚デバイスも極力1で使用したものと同様のものを用いる。
- 4. 製作した実世界のロボットアームを用いて、操作者がバーチャルリアリティの視覚画像越しに一人称視点から触覚デバイスを用いながら実時間操作する際に、身体所有感や操作主体感が感じられるかどうかを、心理物理学的測定方法や質問紙法、アイトラッキングや心拍計測を用いて、多角的に検証する。

1と2に関して、制作したバーチャルリアリティ内のロボット操作システムの操作中の1場面を図3に示す。

市販のバーチャルリアリティ用のヘッドマウントディスプレイを用い(Meta Quest 3 ヘッドセット,Meta 社),被験者は頭部を自由に動かせる状態で,画面内のロボットアームの先端部を手にした Touch Plus コントローラーで操作した。事前に被験者は、ロボットのアーム



図3 VR内で再現されたロボットアーム操作場面の一例

の位置が自分の肩から出ているような感覚になる位置に、自分の着座位置とバーチャル空間内の視覚映像位置をキャリブレーションした。アームを動かすと、3次元空間内に、線画が描画できる課題を用いて、様々な時間遅延の下で、操作者の操作感覚や身体感覚、操作精度等を検証した。結果は本報告書作成時においてまだ解析途中である。

遅延が最も短い条件、即ち、プログラム上では遅延ゼロの状態において、多くの体験者から、自分の腕がロボットそのものになっている臨場感があるという趣旨の主観報告が得られた。このことから、本研究で制作したバーチャルリアリティ用のシステムを用いて、操作者の身体の一部がロボットになったかのような身体感覚がある程度生成できていると考えられ、本研究の小目標である、ロボットアーム錯覚を検証するためのフィジビリティがある程度得られたと推察できる。

一方,いくつか技術的な問題が発覚したため、現在それらに対する対応を実施している。幾つかある問題の中で、大きなものの一つは、そもそも用いたバーチャルリアリティ用の視覚提示システムの画像描画に多少の遅延が備わっており、目視で確認した感触では、この種の身体感覚に関する研究の遅延量としては、看過できない量ありそうだという点である。これに関して、現在ハイスピードカメラを用いて、実際の遅延時間や、フレーム落ちの頻度などの細かい描画性能を計測している最中である。

他の大きな問題としては、被験者の肘の位置

とロボットの間接位置の位置合わせにインバースキネマティクス(IK: Inverse Kinematics)を用いたところ,被験者の姿勢によっては推定が安定しておらず,腕がぴょこぴょこと動きまわる不自然な映像が実験中にしばしば現れた点である。これを防ぐ目的で,現在被験者の肘位置に光学式のモーションキャプチャを設置し,インバースキネマティクスに頼らずに安定してロボットアームの映像が提示し続けられるよう,改変を行っている。

3に関して、この作業が完了していないため、 4まで研究実施期間中に移行できていない。従 来多くの類似研究の試みにおいて、カメラ位置 が種々のシステムと干渉し、視覚提示画面がう まく一人称視点に合わない技術的な問題が認め られてきたが、それに関しては本研究では天井 から全天周カメラを固定することで回避できた。 しかし、カメラから操作者への視覚情報の転送 に、目視で明らかに操作性や操作感の支障とな るとわかる大きな時間遅延が発生しており、こ れは様々なカメラやシステムを試したものの、 いまだ解決に至っていない。今後、ドローンに 設置されているカメラシステムを、これまで使 用してきた全天周カメラに置き換えて、どの程 度この問題が回避できるか検証する予定である。

なお、これらとは別途、研究室既存の設備や簡易的なロボット操作シミュレータを用い、操作主体感覚を伴いながらロボットを操作すると、操作精度や疲労感といった様々なヒューマンファクタに影響があるかどうかを、比較的大標本の被験者を対象に実験した。その際、眼球運動や心拍といった生理学的指標を同時記録したほか、被験者の疲労に関しては主観報告も採取した。結果はまだ解析途中であり、研究の途中経過を学会投稿して、採択結果待ちの状態である。途中経過としては、疲労に関する指標は、

主観報告,生理学的指標,どちらも操作主体感覚と目立った相関は認められなかった。一方,眼球運動は,操作主体感の強弱と,操作する対象の運動方向の先読みをする位置への固視の頻度に緩い相関が認められた,現在,このような結果が,操作主体感覚と,被験者が操作対象の将来の動きを予測する認知的過程の関係を示しているのかどうかという仮説に基づき,様々な追加解析と,追加実験を予定している。

このような研究を実施している期間中,本研究で使用したようなバーチャルリアリティ用のハンドヘルドデバイスで提示するための触覚情報の加工が飛躍的に容易になり,音の周波数を加工する感覚で触覚のデータを加工して提示できるようになった。今後はそのような技術を交えながら,ここで検討したような身体感覚の研究に様々な接触感覚を付加して,どのような触覚の付与が自分の身体のようなロボット操作に大きく寄与していくかも検証していきたいと考えている。



図4 VRのインターフェースを用いて、ロボットの操作をするために用いたモーションキャプチャシステムと、操作対象となった多関節ロボット

[成果の発表, 論文など]

なし.

# AIを用いた顕微授精アシストシステムの開発

#### 2241035



研究代表者 (助成金受領者) 共同研究者

山梨大学 准教授 若 山 清 香 発生工学研究センター 千葉工業大学 人工知能・ソフトウェア 竹 内 彰 所長・教授 技術研究センター(STAIR Lab) センター長・ 若 山 照 彦 発生工学研究センター 教 授 仁 千葉工業大学 STAIR Lab 新保 主席研究員 重 千葉工業大学 STAIR Lab 主席研究員 藤 優太郎 千葉工業大学 STAIR Lab 上級研究員 吉川友也 山梨大学 大学院生命環境学専攻 山地莞梧 **博**十課程

### 「研究の目的]

現在日本は少子化の深刻な課題に直面しており、出産年齢の高齢化に伴い不妊の患者数が増加している。また、保険診療の適用により不妊治療の受診者数も急増してきた。実際の不妊治療の現場では、医師の診察に加えて、胚培養士と呼ばれる専門職員が患者の卵子や精子を取り扱っている。胚培養士の技術は、妊娠成績に大きく影響するため、高度な研修と経験が必要であり、特に、顕微授精という不妊治療法では、顕微鏡下で卵子の中に精子を直接注入するという非常に難しい操作を行う必要がある。この操作を行うことができる胚培養士は限られており、不妊治療の需要に対して供給が追いついていないのが現状である。

本研究では、顕微授精法における胚培養士の 操作を AI・ソフトウェア技術により支援する 新規のシステムを開発することを目的とした。

本研究において具体的に行った項目は顕微授 精の簡便化を目指したアシストシステムの構築 である。

不妊治療の現場では、顕微授精を行う時、顕 微鏡下で卵子の中に精子を直接注入することで 受精をさせるが、卵子の核(母側核)を傷つけ ないように精子を注入する必要がある。なぜな ら卵子の核を傷つけると、受精後の胚の発育に 悪影響を及ぼす可能性が高まるからである。ま た, 卵子の核の位置を見つけるには, 卵子を回 転させたり触ったりする必要があるが、これも 卵子にストレスを与え, 出産率の低下につなが る。したがって、卵子の核の位置を素早く正確 に把握することは、顕微授精法の効率化や安全 性の向上に寄与すると考えられることから、本 研究において卵子の核の位置を AI・ディープ ラーニング技術により自動的に検出し, 画面上 で提示できるアプリケーションソフトウェアを 開発することにした。

このシステムは、マイクロマニピュレータという顕微授精法で使用される装置の操作を AI で補助することで、胚培養士の技術向上や作業 効率化に貢献できると期待する。

## [研究の内容,成果]

### 〈本研究の方法〉

セグメンテーションモデルに、マルチタスク 学習を取り入れ、精度を向上させる。すなわち、 卵子核検出モデルの訓練時に、同時に(より簡 単かつ訓練データの準備が容易な)卵子検出タ スクをサブタスクとして同時に解く。予備実験 において、その効果は確認済みである。ヒト用 モデルについては、訓練データ不足の影響軽減 のため、マウス用モデルからの<u>転移学習</u>を活用 する。また、下で説明する、<u>訓練データを効率</u> 的・自動的に収集するアプローチを採用する。

- ■学習データの収集方法 山梨大の専門家が核 位置を顕微鏡画像上にアノテーションした高品 質な手動作成データに加え、以下の方法 i),
- ii)によって自動的に訓練データを収集する。
- i) 蛍光染色による自動データ作成。蛍光タンパク質で核を染色し、紫外線照射して撮影した画像(=核が光る)と、非照射時の通常画像をアラインすることで、自動的に核位置をアノテートした訓練データを収集する(図1)。通常の顕微鏡では、紫外線照射画像と明視野画像の同時撮影ができないため画像間にずれがあり、蛍光輝度も撮影ごとにばらつきが生ずる。このため、これらを自動補正し、学習データ作成を完全自動化する技術を開発する。







図 1

ii) 偏光顕微鏡による自動データ作成。蛍光染色による上述の手法は、染色・紫外線照射により卵子が損傷をうけるため、たとえばヒト人工授精には使えないという制限がある。このため、アプローチを発展させ、偏

光顕微鏡で撮影した画像(核位置が見える)と通常画像をアラインし、非侵襲的に 核位置をアノテートした訓練画像を自動 的・効率的に収集する。

### 〈結果〉

本研究の目的は、卵子の核の位置を AI・ディープラーニング技術により自動的に検出し、画面上で提示できるアプリケーションソフトウェアを開発することである。このためには、卵子の核の位置を正確に判定できるマザーデータを収集することが必要となるが、卵子の核の位置は、顕微鏡写真の中に多くの "卵子以外のもの" が映りこんでいるため、容易に見つけることができず、さらに、卵子は球体であり、一方、核はラグビーボール状の形をしており、核の上下により形状が変わるため、卵子細胞質の枠の形で決定することは困難であるという点が卵子核を同定するためのハードルとなっていた。

そこで、image segmentation や anomaly detection などを用いて、卵子細胞質と透明体を見分けるセグメンテーションを行った。その結果、卵子細胞質を円とし、囲む手法をとることで、核が見えないときは真円に重なり、核があるときは細胞膜表面に丘のような盛り上がりがみられることが分かった(図2中)。しかしいくつかの卵は真円に見えるにも関わらず核が見えているものもあり(図2下)、結果。この手法だけでは核の位置を正確に検出することはできなかった。

次に、方法を変えて、顕微鏡操作者が核の位置を判断している"核の色の違い"をもとに ディープラーニングにかけてみることにした。

"核の色"とは、未受精卵はヒアルロニダーゼで卵丘細胞を取り除いたのち、倒立顕微鏡下で観察すると、核が存在する箇所は少し周りの細胞質と色が薄く透明に見える。熟練した顕微鏡操作者は人の目でその微妙な色の違いを瞬時に読み取り、核の位置を同定する。

そこで、その手法と全く同じ方法を AI に学



核が見えないときは細胞 輪郭が真円とほぼ完全に 重なる



核が赤道上にある場合はその 周辺が局所的に膨らむ 細胞輪郭と円のズレで核の存 在を検出可能



核が赤道より内側に入って くると膨らみが少なくなり 前述の方法による検出は難 しくなる

図 2

習させるために,数百枚の卵子の手動作成データ,すなわち,専門家による核位置のアノテーションを卵子の顕微鏡画像に行ったものを供試データとして AI に読み込ませることにした。

教師データには、卵子の元画像と、それに対応するセグメンテーションマスク(背景、細胞質、紡錘体)を使用した。セグメンテーションには、Segment Anything Model(SAM)を用い、円検出を基に各卵子を識別し、マスク画像を生成した。

作成した教師データセットを用いて分類モデルを訓練し、IoU スコアを指標として評価を行った。segmentation\_models\_pytorch ライブラリ内の複数のモデルを訓練し、その中で本モデルに最も適したものを選択した。

## ○実証実験結果

初期のモデルでは、極体を紡錘体と誤認識する事例が確認されたが、モデルの改良を重ねた結果、すべての卵子において紡錘体を正確に識別できるようになった。さらに、映像取得から推論、結果の出力までの一連の処理を最適化することで、タイムラグを感じることなく、リアルタイムで紡錘体の位置を特定しながら ICSI を実施することが可能となった。また、ピントが大きくずれてしまわない限り、紡錘体の正確

な認識が可能であった。

また、AI が特定した紡錘体位置に基づいて 実施した ICSI の生存率 (85%) および産仔率 (45%) は、熟練者が AI を用いずに実施した場 合(生存率 82%、産仔率 50%) と同程度であ り、AI の使用が卵子の生存および発生能に与 える影響は認められなかった。

本研究では、マウス卵子の紡錘体を迅速かつ 正確に識別する AI モデルを開発し、その実用 性を検証した。実証実験の結果、初学者が本 AI モデルを用いることで、熟練者と同等の精 度で紡錘体を識別し、ICSI の生存率や産仔率 に悪影響を与えないことが確認された。

現在、生殖補助医療のICSI時における紡錘体の視認にはPolScopeを用いた偏光顕微鏡観察が主流となっている。しかし、PolScopeは高価で導入可能な施設が限られるうえ、映像の判読には熟練を要する。これに対し本研究では、明視野画像のみを用いて紡錘体を識別する AI モデルを開発し、比較的安価な PC を導入するだけで実装可能なシステムを構築した。さらに、卵子の経時的な品質低下を最小限に抑えるため、リアルタイム推論を可能とした。

また、近年、生殖補助医療における AI 技術の応用例として、精子や胚の品質分類、胚盤胞の異数性診断などが報告されている。しかし、ICSI に特化したリアルタイム支援システムの開発は進んでいない。本研究は、AI を用いた安価なリアルタイム紡錘体識別を実現した点で、既存研究にはない新たなアプローチを提供できるだろう。

今後は、本研究を継続し、実際の倒立顕微鏡に搭載し、アシストシステムを構築することで、 最終的に、新たに顕微授精を学ぶ初心者に、顕 微授精の技術を学ぶ時間の時間の短縮になるか の実証実験を行う。

現在はマウスの顕微授精においての教師データ,並びにシステムの構築までであるが,今後はヒトの不妊治療クリニックの協力の元,ヒト

卵子の紡錘体検出のシステムの構築を目指したい。そして、不妊治療の現場において、高度な技術を学ぶための近道となることを希望する。

[成果の発表,論文など]

2025年8月 日本受精着床学会にて発表予定

# 超音波ゲルレンズの開発と高速光計測技術への展開

### 2231901



研究代表者 (助成金受領者) 共同研究者 同志社大学 理工学部

教 授

小山大介

同志社大学 理工学部

教 授 松 川 真 美

# [研究の目的]

将来的な車輌の自動運転技術の発展のためには、高速かつ広範囲に周囲情報を取得する技術が必須である。従来のカメラで画面奥行き方向に高速で移動する物体に常にピントを合わせて撮影する場合、アクチュエータを通じて連続的かつ高速にレンズを光軸方向へ移動させて、レンズの焦点を移動させなければならず、走査速度と走査範囲はアクチュエータの機械的性能によって決定づけられる。本研究では、音速で伝搬する超音波によって、透明ゲルの形状および屈折率を高速かつ大振幅で変化させることにより、従来手法の限界を超えた、光を空間的・時間的に高速制御可能な光デバイスと、これを利用した光計測技術について検討する。

我々人間の眼の水晶体は自身の形状を変形することにより焦点位置を制御している。本研究ではこれにヒントを得,第一段階として,超音波による透明ゲル材料の形状制御技術を検討すると共に,これを利用した高速光計測に適したゲル材料の選定を行う。第二段階として,本技術を利用した光学デバイスとして,焦点位置を3次元的に高速に制御可能な光学レンズを開発する。本レンズは従来技術の様に,焦点変化時にレンズの位置を動かすのではなく,超音波の放射力によって自身の形状を変化させ,その焦点位置を任意位置に高速に変化可能な可変焦点レンズである。また,レンズ内に非軸対称な圧力分布を発生することで,その焦点位置を軸上

のみならず径方向にも制御する。提案するレンズはレンズの役割を果たす透明ゲル材料と超音波を発生させる圧電素子のみで構成される機械的可動部を持たない簡素な構造であるため、小型・薄型化可能であり、車輌用デバイスに求められる耐震性にも優れる。また、レンズ中を音速で伝搬する超音波の放射力によりその形状が変化するため、従来技術の機械式レンズと比較して1桁程度短い時間応答が期待でき、応答時間10msを目指す。

### 「研究の内容. 成果]

## 1. 超音波ゲルレンズの開発

本研究では、焦点位置を制御可能な超音波ゲルレンズを開発した(図 1)。レンズは円形ガラス基板(直径 30 mm, 厚み 1.1 mm), 厚み方向に分極したアニュラ型圧電超音波振動子(内径 20 mm, 外径 30 mm, 厚み 1 mm, PZT, C-213, 富士セラミックス), レンズの役割を果たす透明なゲル膜で構成される。レンズへの

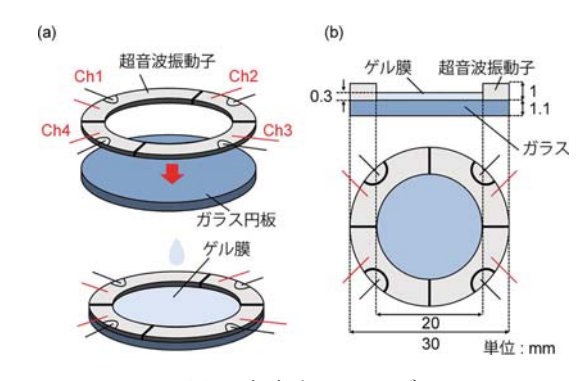


図1 超音波ゲルレンズ

入力信号によってレンズ形状を制御するため、超音波振動子は周方向 90°ごとに 4 分割されており、それぞれが電気的に独立している(Ch 1~4 とする)。透明ゲルとして粘弾性体であるシリコーンゲル(KE-1052(A/B)、信越化学工業)を使用した。気泡を含まない様に主剤と硬化剤を 15 分間混合し、脱気後にガラス円板上の凹部に 250 ml のゲルを塗布し、24 時間乾燥を行った。レンズの姿勢によらずゲル膜表面(すなわちレンズ表面)形状は安定しており、重力による影響はほとんど受けない。

### 2. レンズ径調整機能の評価

機械的可動部を持たず有効レンズ径を調整可 能な可変焦点レンズを開発した。本レンズは周 波数 20~250 Hz の範囲において複数の共振 モードを有し、本研究では節円のみが存在する 軸対称な同心円状の共振モードを利用した。図 2はこれらの振動モードを示しており. (a) 41. (b) 102. (c) 189 kHz の 4 つの振動子を同相 駆動して発生する凸レンズモードと. (d) 26. (e) 66. (e) 148. (f) 233 kHz の各振動子の駆 動位相差を90°とした凹レンズモードを利用し た。レンズのガラス円板にこれらの振動モード が励振されると、その上に塗布されたゲル膜の 表面に超音波の静圧である音響放射力が作用す ることでゲルは静的に変形する。図3はゲルレ ンズ表面の変形形状断面図の一例であり、周波 数 41 kHz の振動モードで駆動した場合の結果 である(実際はゲル膜の付加質量の影響により 39 kHz で共振する)。同図より、非駆動時(0 V) はゲルの表面張力によって凹形状であるが.

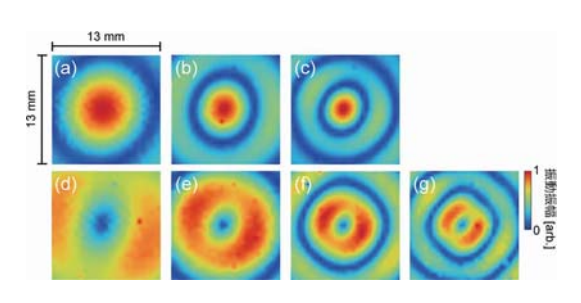


図2 ゲルレンズの各振動モード

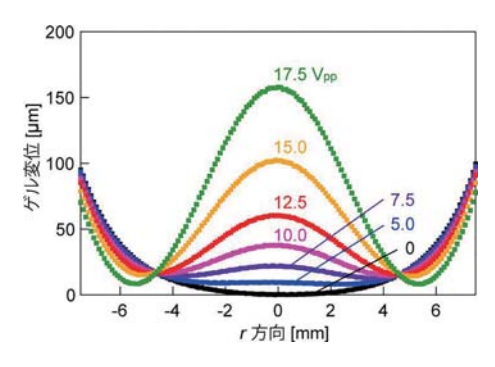


図3 ゲルレンズの振動分布

超音波駆動によって図 2(a) の振動分布と同様にレンズ中心部分 (r=0 mm) が凸状に変化することがわかる。入力電圧振幅と共に振動振幅が増加し、ゲル表面に作用する音響放射力も増加することから、それによってゲルの変位も非線形的に増加する。また共振周波数が高いほど(すなわちモード次数が大きいほど)、ガラス円板に発生する超音波たわみ振動の波長が短くなるため、ゲル表面に発生する凸レンズの有効径は小さくなる。すなわち、共振モードの切替によって離散的に可変焦点レンズの有効径を制御できる。

図4は超音波振動子への入力電圧振幅を変化させた時のゲルレンズの焦点距離の変化を表しており、ここでは図2(a),(b),(c)に示した3つの凸レンズモードの結果を示している。いずれの共振モードにおいても入力電圧の増加と共に焦点距離は小さくなる。これは図3に示した通り、電圧の増加に伴い凸レンズの曲率半径が小さくなるためである。本結果より、いずれの共振モードにおいても入力電圧によって焦点距離を制御可能であることがわかる。また、光線

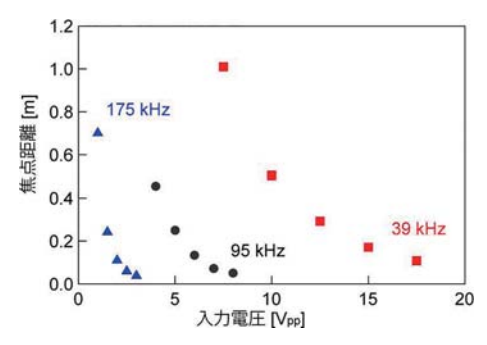


図4 入力電圧と焦点距離の関係

追跡によってレンズの光学性能を定量的に評価した。球面収差はレンズの光学性能を表す最も重要な指標のひとつであり、レンズを透過する光線が1点に集束する度合いを表すパラメータである。この値が小さいほど凸レンズとしての光学性能は優れていることを意味する(0%の場合、レンズを透過する全ての光線が1点に集束する)。図5は各凸レンズモードにおける入力電圧とレンズの平均球面収差の関係を表している。同図に示す通り、いずれの共振モードにおいても入力電圧の増加と共に平均球面収差は減少する結果となった。

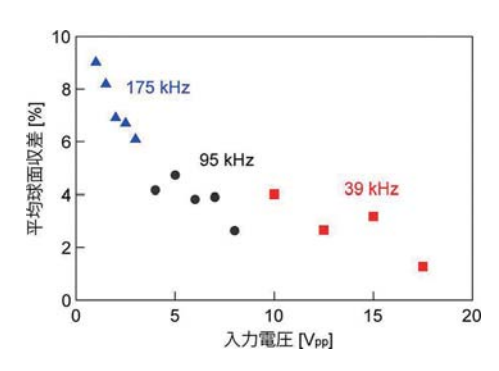


図5 入力電圧と平均球面収差の関係

## 3. 径方向焦点制御の評価

光軸方向(画面奥行き)のみならず、径方向(画面横方向)にも焦点制御可能なゲルレンズについて検討した。本機能はカメラの手振れ補正機能に活用することが可能である。図 6 は  $Ch1\sim4$  への電圧振幅の和を 36  $V_{pp}$  一定とし、

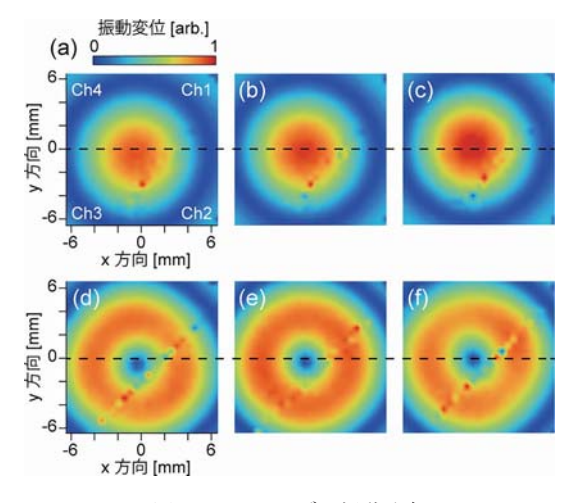


図6 ゲルレンズの振動分布

それらの比を変化した時の振動分布であり,同図 (a)  $\sim$  (c) は各振動子を同相で駆動した凸レンズモードの場合の振動分布を,同図 (d)  $\sim$  (f) は駆動位相差を  $90^{\circ}$  とした場合の凹レンズモードの結果を表している。全ての振動子を 9 V で駆動した時 ((9,9,9,9)  $V_{pp})$  において両駆動方式のいずれにおいても振動中心とレンズの中心が一致し,電圧比を変化させると振動腹部および振動節部は低電圧入力の振動子側に近づく方向に移動する。これらの結果は,各振動子への入力電圧比を制御することによってゲルレンズの径方向形状制御が可能であることを意味している。

図7は実際にCh1~4への電圧振幅の和を一定とし、それらの比を変化した時の焦点位置であり、同図(a) は凸レンズモード時、同図(b) は凹レンズモード時の結果を表している。図6の振動分布と同じ様に、両駆動方式のいずれにおいても、電圧比を変化させると焦点位置は径方向(y方向)の低電圧入力の振動子側に近づく方向に移動することがわかる。特に、焦点の径方向制御時において、光軸方向(z方向)には焦点距離はほとんど変化していないことから、焦点距離はほとんど変化していないことから、焦点距離は径方向に水平移動していると理解出来る。これらの結果より、4つの各振動子への入力電圧比を制御することによってゲルレンズ

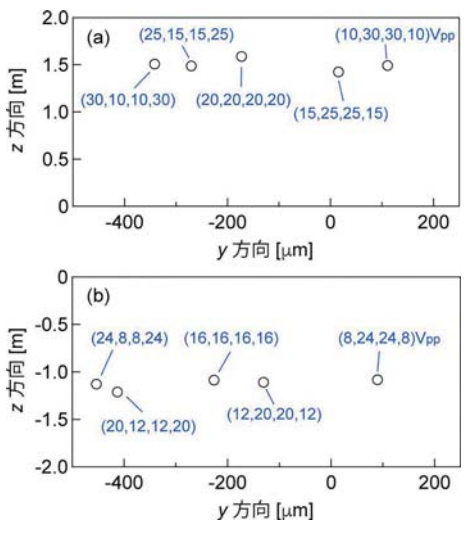


図7 径方向への焦点移動特性

の径方向焦点制御が可能であることがわかる。

### 4. 応答時間の改善

焦点変化時のレンズの応答時間は可変焦点レンズの性能として極めて重要な指標である。ゲルレンズの応答時間はゲルの粘弾性に強く依存する。そのため本研究では、従来のゲル膜に加えてその内部に液体を有するゲル・液体のハイブリッドレンズを開発した。

図8はハイブリッドレンズの構造を表しており、円筒型の圧電超音波振動子の一端にガラス円板を接着し、振動子中央部を液体(水)で満たし、その上にゲル膜で蓋をした構造である。ゲル膜厚 d に対する応答時間の変化を評価するため、本研究では厚さの異なる3つのハイブリッドレンズを試作した。

周波数  $190 \, \mathrm{kHz}$  において、ハイブリッドレンズのゲル膜部分に最低次のたわみ振動が励振された。これにより 3 つ全てのハイブリッドレンズが可変焦点凸レンズとして動作することが確認できた。図 9(a) はゲル膜厚が異なる 3 つのハイブリッドレンズとゲルレンズ (d=2 mm) の時間応答を表している。グラフ縦軸はレンズを通して観測した顕微鏡画像の画像輝度値示しており、t=0 s においてそれぞれ超音波駆動を開始している。同図より、ゲル膜厚 d が小さいほど画像輝度が定常状態に達するまでの時間が短い、すなわち応答速度が速いことがわかる。ここではこれらの応答曲線を指数関数

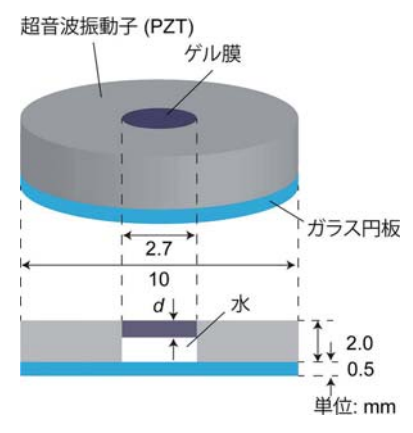


図8 ハイブリッドレンズの構造

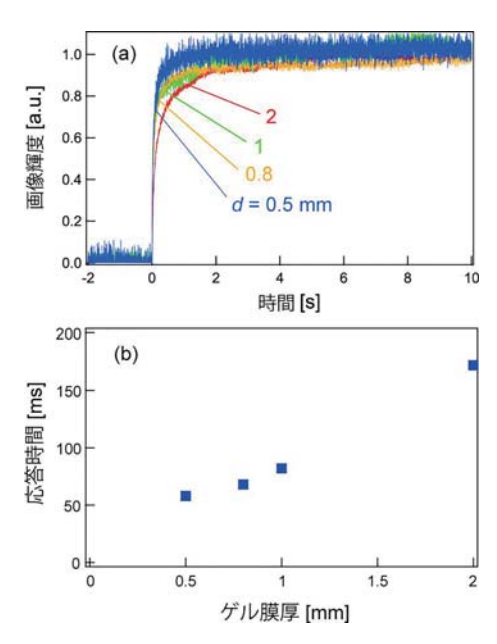


図9 (a) ハイブリッドレンズの時間応答と (b) ゲル膜厚と応答時間の関係

で近似し、その時定数を応答時間と定義した。図 9(b) はハイブリッドレンズのゲル膜厚 d と応答時間の関係を表している。ゲル膜厚 d=1, 0.8, 0.5 mm のレンズの時定数はそれぞれ 82, 68, 58 ms であり、ゲル膜厚が薄いほど応答時間は減少した(ゲルレンズ(d=2 mm)と比較して d=0.5 mm のレンズの応答時間は 34% 短縮された)。これらの結果より、ハイブリッド構造によって、ゲルレンズの問題点であった応答時間を改善できることが明らかとなった。

### [謝辞]

本研究の一部は立石科学技術振興財団による研究助成によって行われた。

## [成果の発表, 論文など]

### 原著論文

- K. Nakamura, Y. Harada, H. Miki, K. Tagashira, M. Matsukawa, D. Koyama: Ultrasonic aperture-tunable gel lens, Appl. Opt. Vol. 63, No. 21, pp. 5778–5784 (2024)
- K. Tagashira, Y. Harada, K. Nakamura, H. Miki, M. Matsukawa, D. Koyama: Focus control of a concave-convex ultrasonic gel lens in the radial direction, J. Appl. Phys., Vol. 136, No. 11, p. 113101 (2024)

H. Miki, K. Nakamura, Y. Harada, M. Matsukawa, D. Koyama: Ultrasound liquid-gel hybrid lens using acoustic radiation forces, Appl. Opt. Vol. 64. No. 4, pp. 821–827 (2025)

### 国内学会発表

- ・三木陽斗,原田裕生,中村光佑,松川真美,小山大 介:粘弾性ゲル膜と音響放射力を用いた超音波液体 レンズ,電子情報通信学会 超音波研究会 (2023.6)
- ・田頭幸吉,中村光佑,三木陽斗,小山大介:凹型超 音波ゲルレンズの径方向制御,日本音響学会第150 回(2023年秋季)研究発表会(2023.9)
- ・中村光佑,原田裕生,三木陽斗,黒田悠真,小山大介:超音波ゲルレンズの光学特性評価,日本音響学会第150回(2023年秋季)研究発表会(2023.9)
- ・田頭幸吉,中村光佑,原田裕生,小山大介:凹凸両 用超音波ゲルレンズの径方向焦点制御,電子情報通 信学会 超音波研究会 (2023.12)
- ・三木陽斗,原田裕生,中村光佑,小山大介:粘弾性 ゲル膜と音響放射力を用いた超音波液体レンズの フォーカシング特性,日本音響学会第151回(2024 年春季)研究発表会(2024.3)
- ・三木陽斗,中村光佑,原田裕生,小山大介:超音波 ゲルレンズの透過光波面解析,日本音響学会第 152 回 (2024 年秋季)研究発表会 (2024.9)
- ・ 富田理紗子, 岩青葉, 小山大介: 円筒のたわみ進行

- 波によって発生する流体中の旋回流と光デバイスへ の応用,電子情報通信学会 超音波研究会 (2024. 12)
- ・小山大介:超音波による可変焦点光学レンズ,電子 情報通信学会 超音波研究会 (2025.2)

### 国際学会発表

- H. Miki, Y. Harada, K. Nakamura, M. Matsukawa, D. Koyama: Ultrasound Liquid Lens Using a Viscoelastic Gel Film and Acoustic Radiation Force, IEEE International Ultrasonics Symposium 2023 (2023.
- K. Tagashira, Y. Harada, K. Nakamura, D. Koyama: Focus control of a concave ultrasonic gel lens, 185th Meeting of the Acoustical Society of America (2023, 12)
- H. Miki, Y. Harada, K. Nakamura, D. Koyama: Focusing Characteristics of Ultrasound Liquid Lens Using a Viscoelastic Gel Film and Acoustic Radiation Force, 21st International Workshop on Piezoelectric Materials and Applications (2024.7)
- H. Miki, K. Nakamura, Y. Harada, M. Matsukawa, D. Koyama: Optical Characteristics of an Ultrasound Gel Lens, 2024 IEEE Ultrasonics, Ferroelectrics, and Frequency Control joint Symposium (2024.9)

# 歌唱による嚥下機能保持・向上のための人工知能と 脳科学の融合システム基盤の開発

### 2221905



研究代表者 (助成金受領者) 共同研究者 兵庫県立大学 先端医療工学研究所 関西医科大学 リハビリテーション学部

准教授 八木直美

准教授 前澤仁志

# [研究の目的]

肺炎は、超高齢化社会で大きな死亡原因になっている。肺炎の原因である誤嚥を歌唱によって防止したい。従来、医療従事者が咽頭運動の評価を行うため多大なコストを要す。また、嚥下機能保持・向上の方法もない。本研究では、喉周辺の AI による動画像処理で新規特徴量を発見し、嚥下機能評価の新指標・方法を解明することを目的とする。次に、脳磁図計測により嚥下運動の中枢制御機構から誤嚥誘発のメカニズムを解明して、歌唱による咽頭筋強化が中枢に与える可塑性変化を明確にし、歌唱が有効である医学的根拠を確立する。このように、歌唱による喉・脳の動態を機械により見える化して、嚥下機能の保持・向上システムを研究する。これが人間(歌唱)と機械の調和の促進である。

嚥下障害の評価・診断は、言語聴覚士や耳鼻咽喉科医、リハビリテーション科医等の主観的評価にゆだねられている。先行研究では、歌唱者は声帯健康状態が良いと報告されているが、嚥下能力への影響は一定の見解が得られていない。以前に、新型コロナウイルスの蔓延で、日本嚥下医学会は嚥下障害診断指針の中で詳細な感染予防策を作成しているが、解決可能な遠隔診断システムは存在しない。更に、いくつかの動態解析が試みられているが、患者と医療従事者双方の身体、心理的負担を軽減されたものは、未だ臨床上広く使用されている現状にはない。

一方、歌と声のトレーニングは、咀嚼、嚥下、呼吸機能に大きな影響を与えると言われている。歌唱者が嚥下反射の惹起性おいて統計的に優れているという医学的根拠立証することを研究デザインし、これを検証することを目指す。

### [研究の内容,成果]

## 1. 動態解析

歌唱経験者と非歌唱経験者を分類し,反復唾液嚥下テスト(repetitive saliva swallowing test: RSST)を評価基準として,喉頭部の動態解析および動画像診断が嚥下評価に有効であることを解明する。次に,脳機能計測による大脳皮質運動野の可塑性を評価し,これによって歌唱が嚥下機能を保持・向上させうることの根拠を調査する。

## 1.1 計測方法

歌唱経験と嚥下機能の関係を解明し、歌唱による影響を RSST で定量化する。誤嚥のスクリーニングとして最も簡便な方法である RSST を実施する。言語聴覚士が被験者の喉仏・舌骨に人差指と中指の腹を軽くあてた状態で 30 秒間唾液を飲み込む様子を確認する。1 種類のデバイス(可視光カメラ GoPro)を用いて、被験者の正面と側面から嚥下動作を計測する。

さらに、歌唱者と非歌唱者の臨床データを用いて、遠隔 AI 動画診断の有効性を評価する。 ゴックンと飲みこむとき、甲状軟骨(喉仏)は 前上方に移動する。近年、モーションキャプチャ技術の進歩により、身体にマーカを装着することなく、人間の行動を正確に計測することが可能である。しかしながら、例えば喉頭(皮膚表面)にマーカを装着したとしても、甲状軟骨の動態解析をすることは不可能である。そこで、本研究では動画像からマーカーレスで位置推定、トラッキングすることができる人工知能技術 DeepLabCut を基本として、喉仏の動きを自動追跡する(図 1)。





(黄丸:喉仏の位置)

図1 動画自動計測方法

嚥下時は喉仏が前上方に移動することが解剖学的に知られている。各対象者について、教師用データとして20フレーム程度のラベリングし、学習する。高齢者になるほど喉の動きが不明瞭で、正確に自動追跡ができないため、最新のAI、画像処理、信号処理等の方法を用いて、全ての動態に対して喉の状態を解析できるロバストな手法を研究開発する。言語聴覚士が実際に実施するRSSTでは、嚥下動態の様子、回数等を観察している。

本研究では、嚥下回数に加えて、喉頭の空間 的な座標の変化、スピードなどの特徴量を取得 する。嚥下評価の指標として新たな特徴量を発 見し、嚥下機能評価の新しい指標・方法を解明 する。

## 1.2 対象者および解析方法

40歳以上の健常者を対象に臨床試験参加者を募集する。事前に RSST やスクリーニングテストである簡易嚥下評価ツール EAT-10等を実施し、嚥下機能に大きな問題がないことを確認済である。対象者に、30秒間にできるだけ多くの唾液嚥下をしてもらうように指示し、

2回の実験を実施する。1回目は言語聴覚士が触診で検査を行い、2回目は可視光カメラGoPro (GoPro 社) でその様子を撮影する。画像サイズは、1920×1440 pixels (内 6 データ1920×1080 pixels)、フレームレート 60 fps (内 2 データ 30 fps) とする。

対象者は、それぞれの歌唱経験の程度により3群(非歌唱経験者グループ、一般歌唱経験者グループ)に分類する。一般歌唱経験者グループは歌唱レッスン等を受けて日常的に歌唱している人、プロ歌唱経験者グループは声楽家としてプロ活動を行っている人と定義する。非歌唱経験者グループおよび一般歌唱経験者グループの2群においては、統計解析ソフトウエア SPSS v29 (IBM 社: International Business Machines Corporation)を用いて、傾向スコアマッチングにより各群の対象者の背景因子を揃える。対象者の詳細を表1に示す。

表1 対象者の詳細

歌唱経験 グループ	年齢 [歳]	歌唱経験 年数[年]	対象者数[名]	嚥下回数 [回]
非歌唱経験	$60.6 \pm 14.0$	0	27	105
一般歌唱経験	$58.7 \pm 9.8$	$9.7 \pm 12.9$	27	136
プロ歌唱経験	58.2±9.8	$42.8 \pm 10.3$	6	33
合 計	_	-	60	274

本研究は、兵庫県立大学先端医療工学研究所 倫理審査(承認番号 22-001)等の承認を得て 実施している。

本研究には、i7 64-bit CPU (Windows 10 Home ベース)、GeForce RTX 2060/2080 Ti の GPU を搭載したコンピュータを使用して機械 学習を行う。信号処理は、MATLAB R2024a (Signal Processing Toolbox、Statistics and Machine Learning Toolbox 等、MathWorks 社、USA) 数値解析ソフトウエアを用いる。

## 1.3 解析結果

計測した嚥下動画に対して、マーカーレストラッキング技術 DeepLabcut を適用し、嚥下時の動態波形を抽出後、外れ値処理、固定部減算、

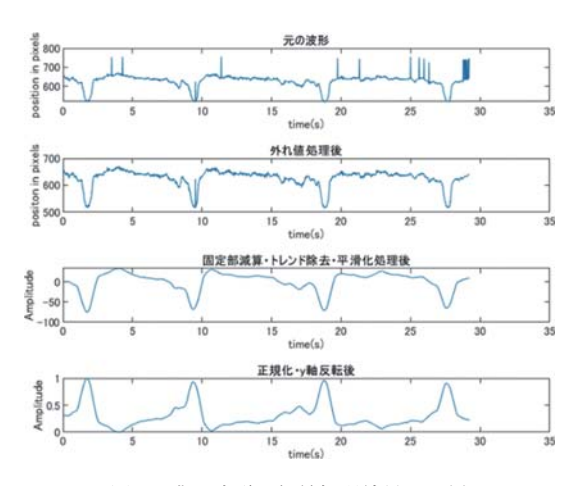


図2 嚥下波形の信号処理結果の一例

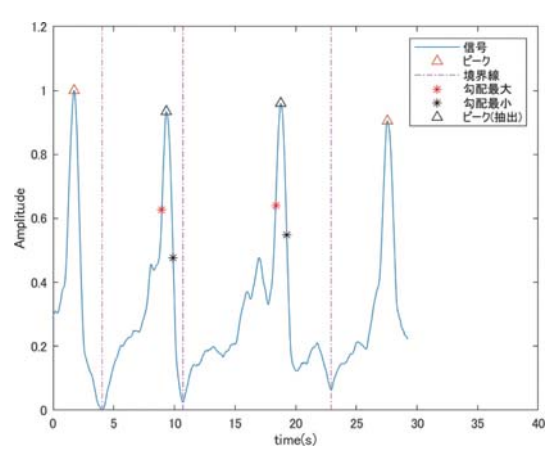


図3 嚥下波形解析の一例

トレンド除去,平滑化,正規化等の信号処理および特徴量抽出を行った。解析結果の一例を図2および3にそれぞれ示す。

3 群全体において、RSST との相関を調査した結果、言語聴覚士の目視および動画解析において、それぞれ相関係数 0.752 および 0.749 と高い相関が得られた。この結果より、言語聴覚士の目視検査および動画解析は有用であると考えられる。RSST との相関関係および歌唱経験グループによる 3 群比較を行なった結果を表 2 に示す。非歌唱経験者グループに対して、一般

表 2 嚥下回数の比較結果

計測方法	非歌唱 経験者	一般歌唱 経験者	プロ歌唱 経験者
RSST [回]	$6.1 \pm 1.9$	$7.5 \pm 2.0^*$	$6.5 \pm 1.9$
言語聴覚士の目視 [回]	$5.8 \pm 1.3$	$6.7 \pm 2.1$	$7.7 \pm 3.1$
動画解析 [回]	$5.9 \pm 1.4$	$7.0 \pm 1.9^*$	$7.5 \pm 2.1$

<sup>\*</sup>p<0.05 (vs 非歌唱経験者)

歌唱経験者は RSST および動画解析結果に有意な差が認められた。

嚥下特徴量時間は.「①1回の嚥下波形の傾 きが最大の時点から喉頭が最大位になる時点 | 「②1回の嚥下波形の傾きが最大の時点から 波形の傾きが最小の時点|、「③1回の嚥下波 形の傾きが最大の時点から嚥下終了時点 | 「④ 1回の嚥下開始時点から喉頭が最大位になる時 点」とそれぞれ定義した。RMS(Root Mean Square:振幅を二乗した値の平均値の平方根) の値が大きいことは、喉仏を高い位置で保って いることを示唆している。波形の形状を表して いる。また、プロミネンス(他のピークに対し て相対的に内部的な高さと場所によってどの程 度顕著であるかを示す) において、非歌唱経験 者と比較して一般歌唱経験者の方が優位に高値 を示し、嚥下がスムーズに行われていることが 考えられた。嚥下計測の特徴量の比較結果を表 3に示す。

表3 嚥下計測の特徴量の比較結果

計測特徵量項目	非歌唱 経験者	一般歌唱 経験者	プロ歌唱 経験者
嚥下継続時間[s]	$3.64 \pm 1.83$	$3.15 \pm 1.84^*$	$3.07 \pm 1.59$
嚥下特徴量時間① [s]	$0.55 \pm 0.54$	$0.42 \pm 0.44$	$0.42 \pm 0.22$
嚥下特徴量時間② [s]	$1.00 \pm 0.69$	$0.76 \pm 0.52^{\#}$	$0.80 \pm 0.33^*$
嚥下特徴量時間③ [s]	1.96±1.21	$1.84 \pm 1.31$	$1.50 \pm 0.92^*$
嚥下特徴量時間④ [s]	2.22±1.15	$1.75\pm0.96$ #	$1.99 \pm 1.16$
RMS	$0.47 \pm 0.11$	$0.45 \pm 0.10$	$0.56 \pm 0.10$
プロミネンス	$0.61 \pm 0.17$	$0.67 \pm 0.18**$	$0.57 \pm 0.22$

<sup>\*</sup>p<0.05, \*\*p<0.01, \*p<0.005, \*\*p<0.001 (vs 非歌唱経験者)

# 2. 嚥下造影検査 (Video Fluorography: VF) との比較検証

嚥下機能評価においてゴールドスタンダードとされている検査は VF である。VF 検査時に、可視光カメラ GoPro で嚥下の様子を同時撮影し、VF 動画と可視光カメラ動画の解析結果を比較することで、可視光カメラでの解析の有効性を検証する。具体的には、GoPro と VF の同時撮影した動画の喉頭部の動きを DeepLabcutにより追跡する。抽出した波形データを同期させて解析結果を確認する。さらに、数値計算ソ

フトウエア Matlab を使用して、嚥下波形のピーク、嚥下区間、喉頭の最大挙上のタイミング等を特定する。1回の嚥下区間に対して、4種類の時間特徴量を抽出し、範囲の相関関係を確認する。共同研究機関において、対象者6名(男性3名、女性3名)の臨床試験の結果、特徴量毎に高い相関が認められ、可視光カメラを用いた嚥下評価は有効な方法であることが示唆された。

# 3. 脳機能計測

Eセンサーを用いて圧変動に伴うリズムと 脳反応との脳反応 — 圧コヒーレンス解析 (Cortico-force coherence, CFC) システムを構 築した。従来の脳反応 — 運動コヒーレンス 解析 (Cortico-kinematic coherence, CKC) では、加速度計測装置 (ACC) を対象とする身体部位に設置し運動のリズムを評価している。しかし、臨床では、大きな反復運動を行うことが困難な患者も多く、微弱な力でも評価できる手法が求められている。そこで、われわれは、微弱なリズミカルな圧変化を圧センサーで検出し、脳信号と圧とのコヒーレンス解析を行った。

## 3.1 対象者および解析方法

健常成人 14 名(女性 7 名,年齢 22~40歳)が参加した。被験者は、右人差し指または右つま先を用いて、能動的な条件(随意運動)と受動的な条件(検者による受動運動)の 2 つの異なる条件下で、リズミカルな押圧課題を行うよう指示された。押圧は圧センサーで計測し、運動のダイナミクスを捉えるために、表面筋電図と加速度計による記録も追加された。脳波(EEG)は国際 10-20 システムに準拠した 32チャンネルキャップで記録された。コヒーレンス解析は脳波信号と対応する力、筋電図、または運動信号(ACC)との間で施行した。

## 3.2 解析結果

すべての被験者および条件において, コヒーレンススペクトルは, 被験者の運動リズムと一致する周波数において, 有意なピークを示した。

これらのピークは、EEG-圧力(CFC)だけで なく、EEG-ACC (CKC) および EEG-EMG で も観察された。また、能動的な押圧条件と受動 的な押圧条件において CFC ピークの振幅に統 計的に有意な差が認められなかった。さらに. コヒーレンスの強度は指とつま先を押す課題間 で差がなかったことから、CFC は身体部位を 問わず臨床応用が可能なことが示唆された。親 指と足の運動と脳反応とのコヒーレンスは左半 球(対側半球)に認められた。本 CFC 手法は、 大きな運動や強い力を必要とせず、四肢や口腔 領域の感覚運動障害の患者に広く適応すること が可能という利点がある。CFC は、従来の加 速度計を用いた CKC 計測とは異なり大きな運 動を行う必要がなく、微弱な圧での計測が可能 なため、計測部位(脳)と距離の近い口腔領域 の脳機能解析には特に有利である。今後は. CFC 計測を口腔領域に適応し、歌唱者のコ ヒーレンス値を解析することで、歌唱の口腔運 動制御における影響を明らかにしたい。

### 4. まとめ

本研究では、深層学習を用いた動画解析による、簡易かつ定量的な嚥下の動態評価システムを構築した。ゴールドスタンダードとされるVFとの同時計測および解析を行うことで、評価結果の同等性を示すことができた。さらに、脳機能計測において、脳信号と圧センサーで検出した圧変化とのコヒーレンス解析により、特定の周波数で有意な特徴量を捉えることができ、口腔領域の脳機能解析の有効性が示唆された。今後も嚥下リハビリテーション促進に貢献することを目指す。

### [謝 辞]

本研究を実施するにあたり、多大なる御支援を頂きました立石科学技術振興財団に厚く御礼申し上げます。

## [成果の発表, 論文など]

- [1] 八木直美, "人工知能による嚥下ヘルスケアシステムの開発 (生体信号計測と解析)," 日本バイオレオロジー学会誌 (B&R), 37(2), 9-14, 2024. 4. 雑誌
- [2] <u>N. Yagi</u>, S. Nagami, <u>H. Maezawa</u>, Y. Hata, "Medical trends and developments in system of systems engineering for dysphagia," Studies in Systems, Decision and Control, Springer Nature (in press) 書籍
- [3] <u>N. Yagi</u>, "Medical support system with bioinformation," and "Healthcare monitoring by AI and signal processing," Taichung Veterans General Hospital, 2023. 9. 16. 招待講演
- [4] 八木直美, "人工知能で嚥下を科学する," 第 44 回バイオレオロジー・リサーチフォーラム, 2023.6.3. 招待講演
- [5] <u>八木直美</u>, "人工知能によるリハビリテーション 評価システムの開発," はりま産学交流会 6 月創造 例会, 2023.6.16. 招待講演

- [6] A. Yoshida, N. Yagi, Y. Fujii, H. Shibutani, Y. Kobayashi, Y. Saji, Y. Sakai, Y. Hata, "A Visible Camera Approach to Motion Tracking based Swallowing Evaluation," ICMLC & ICWAPR 2024, 2024.
- [7] T. Ueyama, N. Yagi, Y. Fujii, H. Shibutani, Y. Kobayashi, Y. Saji, Y. Sakai, Y. Hata, "Aspiration Detection System with Video Fluoroscopic Examination of Swallowing Testing," ICMLC & ICWAPR 2023, pp. 376–380, 2023.
- [8] 八木直美,中村朱里,川村直子,<u>前澤仁志</u>,酒 井良忠,柏岡秀紀,平田雅之,柳田敏雄,畑豊, "DeepLabcut を用いた嚥下動態解析方法の検討," 人工知能学会第二種研究会,2024.
- [9] H. Maezawa, M. Wakida, M. Matsuhashi, "Cortico Force Coherence of the Finger and Toe with Slight Rhythmic Pressure on Force Sensors using Electroencephalography." Scientific Reports, pp. 1– 12, 2025.

# 高齢者の自然発話における特徴量を用いた認知機能推定手法の開発

2247005



研究代表者 東京大学 大学院 新領域創成科学研究科

後期博士課程

五十嵐 俊 治

# [研究の目的]

近年、家具や室内など周辺環境に配置された アンビエントセンサ等を活用したスマートハウス技術への意識が高まっている。人が居住する 環境を電子化することによって、居住者の活動 を記録して遠方に住む家族に共有し、電力消費 量のマネジメントを行うことなどが可能になっ ている。また、場合によっては居住者に行動変 容を促すなどの情報推薦を行うケースもある。 本プロジェクトは、アンビエントセンサーを活 用し、高齢者の生活支援および認知機能モニタ リングを行うスマートハウスエージェントの開 発を目的としている。

提案者らの研究では、世界的にも例を見ない 9ヶ月間の長期介入研究を実施したが、会話内 容を日毎に変えたとしても、次第に使用頻度が 落ちていくことが確認された。

介入終了後に、研究参加者を集めたグループディスカッションを実施し、意見を集めたところ、「会話の内容がこちらの状況を把握したものではないため会話のモチベーションがあがらない」「適時適切な受け答えができない」といった意見が挙げられた。これは ChatGPT のAPI を活用した会話型エージェントでも同様であり、システム応答性の高い最新の対話エージェントである Cotomo を用いても超えられていない課題である。しかし、リザバーコンピューティングは、主に出力層でのみ学習が行われるため、大規模なデータセットに対しても

高速に学習を行うことができる。この特性を活かし、リアルタイムまたはリソース制限のある 環境での応用が可能となると考えている。

### [研究の内容,成果]

本システムは、高齢者の聴覚・認知特性に最 適化された対話を実現するため、複数の技術要 素を統合した設計となっている。

本システムは、クラウド環境とローカルア プリケーションを組み合わせたハイブリッド 構成を採用している。ユーザーの音声はローカ ルアプリケーションで処理され, Amazon API Gateway を経由して AWS クラウドに送信さ れる。クラウド側では、AWS Lambda および Amazon ECS を活用し、音声データの解析と 適応処理を実施する。解析結果は Amazon Simple Storage Service (S3) に格納され、管理 画面 (Next.js 14 を用いた AWS Amplify べー ス)を通じてモニタリングが可能となっている。 更に、Echo State Network (ESN) は音声の 高低・音量調整をリアルタイムに行い、適切な 話速 (mora 単位) への調整を可能にする。ま た、音声から推定された感情ラベルをプロンプ トに挿入し、LLM(Amazon Bedrock や Azure GPT) を通じて対話の自然さを向上させる。 これにより、従来の固定的な音声合成と比較し て、話者に応じたダイナミックな発話が可能と なる。

### 1. 開発構想・計画

まず、要件定義のために、暗黙知化されている医療・介護現場での形式化を行った。現場で10年以上の経験を持つ言語聴覚士および看護師にインタビューを行い、現場の知見を活かして寄り添った応対に最適化できるように、会話の[速度][大きさ][周波数]、使用する言葉づかい、対話構成(傾聴/質問/情報提供)についての調整を行うようにした。

本システムは、高齢者との対話を支援し、より円滑なコミュニケーションを実現するために設計を行った。本システムは AWS を基盤とし、音声対話、センサデータの統合、およびクラウドベースの処理を組み合わせることで、リアルタイムな対話の最適化を目指している。機能としては下記の機能を持つシステムとして要件を作成した。

本プロジェクトの目的は、高齢者を含む様々なユーザーに適応可能な対話型エージェントシステムを開発することである。対話型エージェントは音声特性のリアルタイム調整により、話速・音量・周波数を適応的に調整し、高齢者にとって聞き取りやすい対話を実現する。また、認知特性に配慮した対話構成を取り入れることで、傾聴・質問・情報提供を組み合わせた自然な会話の流れを作り、対話の継続性を向上させる。さらに、センサーを活用し、室温や時間帯に応じた発話を生成することで、生活環境に適応した対話システムを実現することを目指す。

プロジェクトの目標を下記のように設定した。 [1]. 家庭内での居住者の活動状況のモニタリ ング

温湿度、照度、電流、赤外線といった複数のセンサを包含したマルチセンサを開発し、自宅内のコンセントに設置したセンサーから居住者の活動情報を収集し、「ユーザーが今どういう状態であるか」を推定するシステムを開発する。

# [2]. エージェントのインタラクションシステ ムの開発

スマートスピーカーなどのような受動的なシステムではなく、リアルタイムで室内環境を反映した会話を行うリザバー・エージェント・インタラクション・システムを開発する。

# [3]. 実証実験の実施

開発したシステムの応用・実用化にあたっては、協力の許可を得られている有料老人ホームやサービス付き高齢者向け住宅などに導入を行い、ユーザーや施設管理者からのフィードバックを得ることを最終目標とする。

# 2. センシングデータ, 発話履歴のデータベー ス設計

センサデータおよび会話されたデータをサーバー内に取り込むためのバックエンドの開発とAWSでの設定を行った。本システムは、クラウド環境とローカルアプリケーションを組み合わせたハイブリッド構成を採用している。ユーザーの音声はローカルアプリケーションで処理され、Amazon API Gateway を経由して AWSクラウドに送信される。クラウド側では、AWSLambda および Amazon ECS を活用し、音声データの解析と適応処理を実施する。解析結果は Amazon Simple Storage Service (S3) に格納され、管理画面(Next.js 14を用いた AWSAmplifyベース)を通じてモニタリングが可能となっている。

さらに、データベースは管理画面で一覧とし て確認できるように設計を行った。

### 3. ユーザーの健康状態推定システムの開発

本研究では、広島市立大学感情音声コーパス (HCUDB) を用い、音声データから抽出した MFCC 特徴量を入力として、ESN (Echo State Network) によるリザバーコンピューティング 手法で処理し、話者の発話感情とパラ言語(話速、音量)を検出し、応答で自動調律するシステムを構築した。

ユーザーの発話中に特定のフレーズが検出された場合、その結果に基づいて koeiromap のパラメーターを動的に調整する仕組みを実装している。LSM (Liquid State Machine) もリザバーコンピューティングの一手法として知られており、生物学的神経回路の動的特性を模倣する点に特徴がある。しかし、LSM はスパイキングニューロンなどを用いた複雑な内部ダイナミクスを持つため、実装やチューニングが困難である。一方、ESN は連続値を扱う単純なニューロンモデルを採用するため、実装の容易さと高速な学習、さらにリアルタイム処理への適性が高い。これらの理由から、本研究ではLSM ではなく、ESN を採用した。

# 4. 電流センシングデバイスの改良

センサ要件を下記のように設定し,基盤設計 を行った。

- ・温湿度、照度の計測ができること
- · ESN が走るマイコンが実装できること
- ・wifi connect されたら、確認できること

本システムでは、電流センサ、照度センサ、音声センサ、赤外線送受信機、リレースイッチを搭載したコンセント設置型のマルチセンサを用い、カメラを使用せずに居住者の活動を推定する。また、エージェントは単なるスマートスピーカーではなく、リアルタイムで居住環境を反映した対話を行うリザバー・エージェント・インタラクション・システムとして設計されている。

プロジェクトの成果として,

(1) 居住者の活動状況のモニタリング可能なセンサの開発, (2) エージェントによるインタラクション・システムの開発, (3) 高齢者施設などでの実証実験の計画が挙げられる。特に, システムがユーザーの設定や入力を待つのではなく, エージェントから能動的な関与を可能にすることで, ユーザーに対する対話の質と継続性を向上させる点が特徴的である。高齢者の社会

的孤立を軽減し、認知機能のモニタリングを可能にすることで、医療機関との連携による認知症の早期発見・予防にも貢献できると考えられる。

本システムの Echo State Network (ESN) は音声の高低・音量調整をリアルタイムに行い、適切な話速 (mora 単位) への調整を可能にする。また、音声から推定された感情ラベルをプロンプトに挿入し、LLM (Amazon Bedrock やAzure GPT) を通じて対話の自然さを向上させる。これにより、従来の固定的な音声合成と比較して、話者に応じたダイナミックな発話が可能となった。

### [成果の発表, 論文など]

### 【著書】

Toshiharu Igarashi, Estimating Cognitive Function Using Spontaneous Speech in Older People Living in the Community, Pages: 105, Published: 2024-09-25, ISBN: 978-99993-2-042-9, ELIVAbooks.

### 【査読あり論文誌】

- O Toshiharu Igarashi, Katsuya Iijima, Kunio Nitta, Yu Chen. Qualitative Analysis of Responses in Estimating Older Adults Cognitive Functioning in Spontaneous Speech: Comparison of questions asked by AI agents and humans. Healthcare. Vol. 10. No. 10. MDPI, 2024.
- 3. O Toshiharu Igarashi, Katsuya Iijima, Kunio Nitta, Yu Chen. Detailed Analysis of Responses by Interviewers in Estimating Cognitive Function of the Elderly through Natural Speech: Comparison of Questions by AI Agents and Humans. International Journal of Environmental Research and Public Health 2024.
- 4. O Toshiharu Igarashi, Yoichi Ochiai. Comparative Analysis of Wine Taste Augmentation: Artificial Climate Room Versus General Meeting Room in Evaluating Temperature and Humidity Effects. International Journal of Augmented Human 2024.
- 5. Toshiharu Igarashi, Katsuya Iijima, Kunio Nitta, Yu Chen. Estimation of Cognitive Functioning of the Elderly by AI Agents: A Comparative Analysis of the Effects of Psychological Burden of Intervention. Healthcare. 2024.
- 6. O Toshiharu Igarashi, Yu Chen. Analysis of Intervention Effects of Prototyping Utilizing UI Stencils in Elementary School Students. Journal of Science Education and Technology 2024.

# 高次元空間における力覚フィードバックを用いた インタラクションに関する研究

2237001



研究代表者 早稲田大学 大学院先進理工学研究科

博士後期課程

五十嵐 治 雄

# [研究の目的]

近年,ビッグデータ及び人工知能の普及や測定技術の発展によって,高次元データが至るところに現れるようになった。こうしたデータは次元削減によって可視化されるが,次元削減はデータの欠落やブラックボックス化を伴う。そこで,高次元データをより直接的かつ直感的に提示し観察するためのシステムに関する研究が盛んに進められている。

高次元データを直接提示する標準的な方法が, 幾何学的投影による可視化である。3次元空間 の情報を2次元の写真や映像に投影するメカニ ズムを高次元に適用することで,高次元データ を,その幾何学的特徴を維持したまま3次元や 2次元の映像として可視化できる。こうした投 影図に幾何学的回転を加え様々な方向から観察 することで,観察者は高次元データの幾何学的 特徴を把握することができる。

幾何学的投影による可視化が抱える課題の一つは、投影図を理解することの困難さである。 高次元データに幾何学的回転が加わると、投影 図は幾何学的投影が定める法則に従って、自然 現象や他の可視化手法には見られない変形を見 せる。こうした映像をユーザに理解させるため に、これまでインタラクティブなインタフェー ス構築や VR 技術の活用といったアプローチが 試みられてきた。

本研究では、ユーザが高次元空間に定義されたデータ構造との接触を力覚によって知覚でき

るマルチモーダルインタラクションシステムを 構築し、システムを用いた実験によって人の高 次元空間認知能力を検証することを目的とする。 人は3次元の物体に対して、触れたり掴んだり して物体の輪郭をなぞり、反力を力覚で知覚す ることで物体の形状を把握している。そこで本 システムでは、左右の手に一つの4次元座標を 制御させることで4次元の力覚フィードバック を実現し、4次元データに手で触れるかのよう なインタラクションによって4次元形状を知覚 することを可能にする。本研究の活用によって、 高次元データを扱う様々な分野における研究の 加速が期待される。

## [研究の内容, 成果]

# 1. システム概要

本システムの構成を図1に示す。ユーザは HMD (Meta Quest 2)を被り両手にハプティックインタフェース (Phantom Omni)のスタイラスを握って3次元 VR 空間に没入する。システムは4次元空間 (x, y, z, w) をシミュレートし、

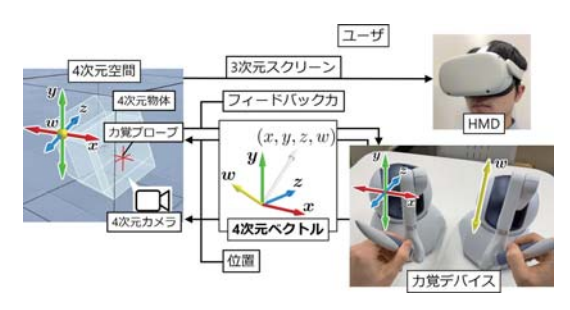


図1 システム構成

w 軸に沿った 3 次元空間 (x, y, z) への投影によって 4 次元空間を 3 次元スクリーンに描画する。ユーザが 4 次元空間の 3 次元投影を観察しながら左手のスタイラスを動かすと、4 次元空間内の力覚プローブが追従して 4 次元空間の (x, y, z) 部分空間を移動する。更に、ユーザが右手のスタイラスを上下に動かすと、プローブは投影によって隠れた w 軸方向へ移動する。プローブと 4 次元オブジェクトとの接触によって生じる 4 次元オブジェクトとの接触によって生じる 4 次元フィードバック力 (x, y, z, w) は、x, y, z 成分と w 成分に分解されそれぞれ左右のスタイラスに反映される。このようにして、ユーザは両手のスタイラスによって 4 次元プローブを制御する。

## 2. 4次元空間の表現と可視化

まず、4次元空間をシミュレートし描画する方法について述べる。4次元座標は、3次元空間を2次元空間に投影する標準的な透視投影の手法とほとんど同じやり方で3次元座標に変換できる。4次元空間に設定する視点座標系 $x_ey_ez_ew_e$ において視点 $p_f$ から注視点 $p_a$ の方向、距離hの位置に3次元スクリーン座標系 $x_sy_sz_sw_s$ を定義すると、式(1)により4次元ワールド座標系のデータ $(x_w,y_w,z_w,w_w)$ を3次元スクリーン座標系のデータに変換することができる。

$$V_{s} = [X_{s} Y_{s} Z_{s} W_{s} v_{s}]$$

$$= [x_{w} y_{w} z_{w} z_{w} 1] T_{v}(p_{f}, p_{a}) T_{p}(k, h, f) \quad (1)$$

ここで、 $X_s=x_sv_s$ ,  $Y_s=y_sv_s$ ,  $Z_s=z_sv_s$ ,  $W_s=w_sv_s$ ,  $-1\leq x_s$ ,  $y_s$ ,  $z_s\leq 1$ ,  $0\leq w_s\leq 1$ であり、 $T_v$  は 4 次元 視野変換行列、 $T_\rho$ は 4 次元透視変換行列である。

可視化対象となる高次元データの形式として,本システムでは4次元凸多胞体を扱う。多胞体は,2次元の多角形,3次元の多面体を任意の次元に一般化した概念である。図2に,それぞれの次元における多胞体の例を示す。可視化に







2次元多胞体 (多角形)

3次元多胞体 (多面体)

4次元多胞体

図2 多胞体の例

おいては、多胞体の各頂点を投影によって3次 元空間座標に変換し、頂点情報から多胞体の辺 及び面を描画する。

### 3. 力覚フィードバック提示

次に、触覚プローブを介した力覚フィードバックを伴う 4 次元物体との接触インタラクション手法について述べる。触覚プローブの制御に用いる 4 次元座標は、2 本のスタイラスの座標  $(x_1, y_1, z_1)$ ,  $(x_2, y_2, z_2)$  を統合した座標  $(x_1, y_1, z_1, y_2)$ として得られる。接触インタラクションによって生成される 4 次元フィードバック力ベクトル (x, y, z, w) は、逆変換によって 2 本のスタイラスの反力 (x, y, z), (0, w, 0) に反映される。接触インタラクションの制御アルゴリズムは、従来の 3 次元インタラクションによる手法を任意の次元に拡張し、4 次元インタラクションに適用したものである。

### 3.1. 概要

ユーザの触覚インタフェースによって制御される入力座標は、4次元空間内の仮想カーソルの座標に反映され、これらの座標は触覚プローブによって追跡される。カーソルの座標を $p_c$ 、プローブの座標を $p_\rho$ とする。カーソルが4次元空間内の多胞体の表面を通過しようとすると、プローブの挙動は多胞体表面に拘束され、フィードバック力が $p_c-p_\rho$ として計算され、触覚インタフェースに提示される。

# 3.2. 点と多胞体の衝突検出

多胞体の胞集合をFとし、各胞f  $\in$  F に対応する法線と閾値をそれぞれ $n_f$ 、 $t_f$  とする。ここで、法線は多胞体の外側を向いている。空間内の任意の点x について、点x が胞f と同じ側に

ある場合.

$$d_f(x) = n_f \cdot x - t_f \tag{2}$$

は負となる。したがって、最大値

$$d(x) = \max_{f \in F} d_f(x) \tag{3}$$

は、点xが多胞体の内側にある場合のみ負となる。図 3 に 2 次元空間において点x と三角形  $(n_1, t_1)$ ,  $(n_2, t_2)$ ,  $(n_3, t_3)$  の位置関係を、外側にある場合と内側にある場合計算する例を示す。O は空間の原点で、 $d_1 = d_1(x)$ ,  $d_2 = d_2(x)$ ,  $d_3 = d_3(x)$  である。

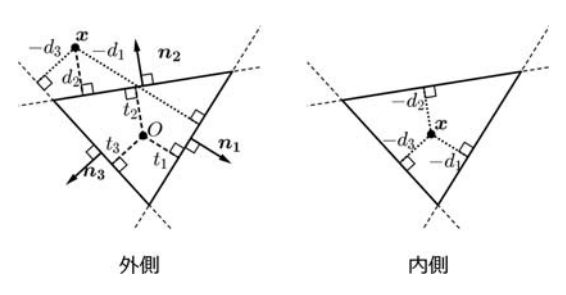


図3 点と多胞体の衝突検出

### 3.3. 線分と多胞体の衝突検出

胞 f と、d(x) <  $0 \land d(y)$  > 0 となる 2 点 x, y に対して、胞 f を含む超平面が x と y を結ぶ線分と交差するとき。

$$s_f(x, y) = \frac{d_f(x)}{d_f(x) - d_f(y)} \tag{4}$$

は $0 < s_f(x, y) < 1$ を満たす。このとき、線分と超平面の交点は、

$$m(x, y, s_f) = s_f x + (1 - s_f)y$$
 (5)

で与えられる。

線分全体が多胞体の外側にあるのは、ある胞 f が存在し、 $d_f(x)>0 \land d_f(y)>0$  を満たす場合である。そうでない場合、

$$H(x, y) = \{ f \in F \mid d(x) < 0 \land d(y) > 0 \}$$
 (6)

$$l = \begin{cases} \max_{f \in H(y, x)} s_f(x, y), & \text{if } H(y, x) \neq \emptyset \\ 0, & \text{otherwise,} \end{cases}$$

$$r = \begin{cases} \min_{f \in H(x, y)} s_f(x, y), & \text{if } H(x, y) \neq \emptyset \\ 1, & \text{otherwise,} \end{cases}$$

とすると、l=m(x, y, l)と r=m(x, y, r) を結ぶ線 分は、l < r ならば多胞体と交差する。

図4に、4つの異なる位置関係のパターンを示す。

l>r の場合,線分全体が多胞体の外側に位置する (r)。l<r の場合,線分の一部が多胞体と交差しする (1)。y が多胞体の内側にある場合,r=1 であり,このとき r と y は一致する (1)0 x2 y3 が両方とも多胞体の内側にあるとき,t=0 かつ t=1 であり,線分全体が多胞体の内側に位置する (1)0

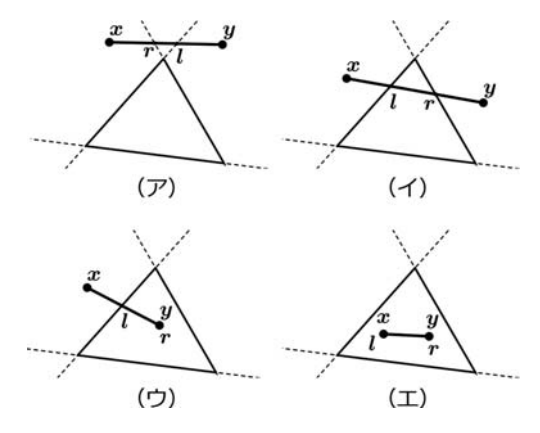


図4 線分と多胞体の衝突検出

# 3.4. 拘束の解決

毎フレーム,ごとにプローブとカーソルを結ぶ線分と多胞体との間で衝突検出が行われる。 衝突が発生した場合,プローブの新たな座標は 衝突した胞のすぐ外側に設定される。衝突が発生しない場合は,カーソルの座標がプローブの 新たな座標となる。衝突した胞の法線および閾値をそれぞれ n, t とすると、更新座標 b ú は

$$p_p' = p_c - (n \cdot x - t + \varepsilon) \cdot n \tag{7}$$

で得られる。

図5に、カーソルの移動によってプローブの

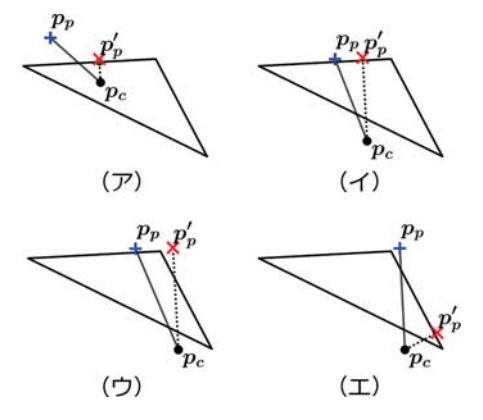


図5 拘束の解決

挙動が変化する一連の例を示す。(ア)カーソルが多胞体に入ると、プローブが胞に拘束され、フィードバック力が発生する。(イ)プローブが胞を離れない限り、フィードバック力は維持される。(ウ)プローブが胞から離れると、フィードバック力は変化する(エ)。

#### 4. 評価

力覚フィードバックが物体の形状を適切に表現できるか、評価実験を通して検証する。

#### 4.1. 手順

4次元空間やシステムに関する事前知識のない,21歳から24歳までの理系大学生10名の男性が本実験に参加した。被験者は4次元空間とシステムについて説明を受けた後、システムを用いて30分間、図6に示す6種類の正多胞体とのインタラクションを行い、それぞれの形状を把握した。この後、被験者はHMDを外し、

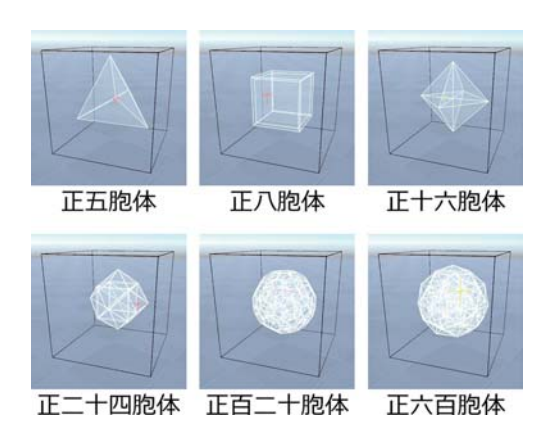


図6 6種類の正多胞体

視覚情報のない状態で、ランダムな姿勢で提示された多胞体とインタラクションし、その種類を識別した。提示は各被験者に対し30回ずつ行われ、6種類の多胞体がそれぞれ5回ずつ提示された。

#### 4.2. 結果

各多胞体との接触によって生じるフィード バック力は力覚デバイスに正確に反映され、被 験者は4次元多胞体との接触インタラクション を体験することができた。図7に実験結果を示 す。すべての多胞体について、平均正解率は7 割を超え、ランダムな確率を大きく上回った。

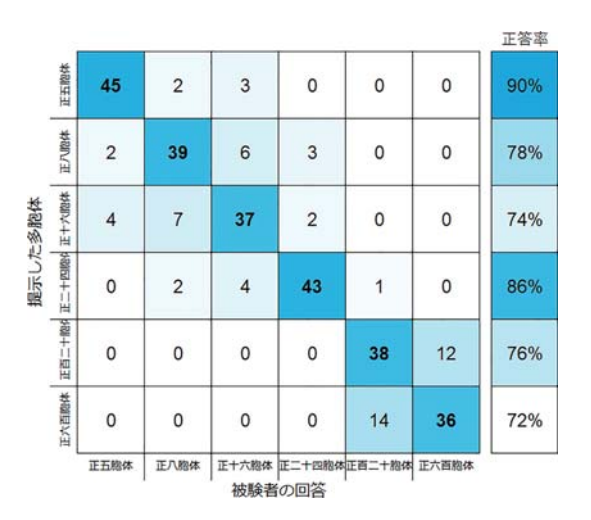


図7 実験結果

正八胞体と正十六胞体の組と,正百二十胞体と正六百胞体の組については,互いに間違って逆を答える回答が多かった。これらの組はそれぞれ双対の関係にあり,形状の複雑度が似通っており、それが混同の原因と考えられる。

被験者間では成績にある程度差異が見られた。 10 名中 3 名が全間正解だった一方,最も成績 の低い被験者の正解率は 53.3% であった。こ うした差異は,類似の実験と同様,4 次元空間 に対する理解度の違いが影響する他,各被験者 の触覚情報の感受性の違いなども関係すると考 えられる。一方,全員がランダム以上の正解率 を達成していた。

実験後のインタビューによれば,多くの被験 者は,デバイスを操作して触れている胞が別の ものに移ったときに感じるフィードバック力の 方向の変化に注目し、その頻度から大まかな形 状を判定していた。

また、被験者は、フィードバック力の方向が 1点を指す箇所を多胞体の頂点と判断して、頂 点の配置や数を調べた。ほとんどの被験者は、 練習でもタスク中でも、正五胞体にある5つの 頂点を確認できたと答えた。一部の被験者は正 十六胞体の8つの頂点を確認したと答えたが、 正八胞体やそれより複雑なオブジェクトの頂点 を確認できたと答えた被験者はいなかった。

体験全体の感想について、実際にオブジェクトに触れている感覚があったかという質問には被験者の全員が肯定的な回答をした。一方、4次元空間の物体に触れていると感じたかについては、10名中2名が肯定的な回答をした。否定的な回答をした被験者の一部は、単に右手を動かすことで左手に力が加わるシステムと捉えていた。

#### 4.3. 考察

実験結果の高い正解率は、被験者が接触インタラクションを通して4次元多胞体の形状を正しく認識できたことを示唆している。特に、一部の被験者が面や辺を辿ったと答えたことは重要である。辺や面はランダム回転によって xyz 空間にも w 軸上にもない斜め方向を向いているため、それらを辿るには左右の手でフィードバック力を感じながら力覚デバイスを同時に動かす必要がある。こうした操作を被験者がおこなったことは、彼らが4次元空間の探索を正しく身に付けることができたことを示唆している。こうした事実から、提案システムは4次元空間のオブジェクトとのハプティックインタラクションを想定通り実現していると結論付けられる。

一方で、正八胞体のような明確な構造を持つ オブジェクトについても、タスクのランダムに 回転されていた環境ではその全ての頂点を辿る ことのできた被験者はいなかった。また、多胞 体の胞の構造に関するコメントは被験者から挙 がらなかった。正多胞体は正多面体型の胞によって構成されており、正四面体以外の胞は対応する正多胞体を特定できる。一方で、胞は3次元構造をとるため、4次元空間をプローブの1点で探索しながらその構造を把握することは難しかったと考えられる。これらの限界の改善には、力覚デバイスの提示精度向上や接触点の増加が効果的と考えられる。

#### 5. 結論

本研究では、力覚提示を用いて接触感覚を表現する4次元空間マルチモーダルインタラクションシステムを構築した。本システムでは、2台の力覚フィードバックデバイスと、高次元に拡張した衝突判定アルゴリズムによって、高次元物体との力フィードバックを伴う接触インタラクションを実現した。

評価実験では、短い実験時間にもかかわらず 4次元物体との接触感覚を感じたという回答が 見られ、本システムが人の4次元空間認知能力 獲得に貢献する可能性が示唆された。一方、獲 得された認知能力の形態に関するより詳細な分 析には至らなかった。今後の研究では、システムの力覚提示精度を向上させるとともに、より 多様な手法で4次元空間を表現するシステムを 構築することで、人の高次元空間認知能力をより詳細に調査することを目指す。

#### [成果の発表, 論文など]

- [1] H. Igarashi and H. Sawada, "4D Exploring System for Intuitive Understanding of 4D Space by Extending Familiar 3D Interfaces," Proc. of International Conference on Artificial Reality and Telexistence, Eurographics Symposium on Virtual Environments, pp. 115–119, 2023.
- [2] 五十嵐治雄,澤田秀之:力覚による接触感覚提示を伴う4次元空間インタラクションシステムの構築,情報処理学会 第86回全国大会, Vol. 4, pp. 5-6, 2024.
- [3] Haruo Igarashi, Daiki Kido, Yutaka Ishii, Yasuhiro Niwa, Atsushi Okamoto, and Masao Kimura. Visualization of four-dimensional X-ray ab-

sorption fine structure data using a virtual reality system. Journal of Synchrotron Radiation, Vol. 32,

No. 1, pp. 162-170, Jan 2025.

# 身体動作と感情の再現を目指すヒューマノイドロボットの開発

#### 2227002



研究代表者 (助成金受領者) 共同研究者

電気通信大学 大学院 情報理工学研究科 電気通信大学 大学院 情報理工学研究科

博士後期課程

WANG YIWEI

教 授

姜 銀来

#### [研究の目的]

本研究の目的は、人間らしい身体動作と感情表現の再現を目指し、ヒューマノイドロボットにおける体幹の動作表現に適した機構を設計・構築することである。体幹は、日常的な動作における姿勢制御や動作の滑らかさに寄与するだけでなく、前屈・後屈・側屈・ねじれといった豊かな動きにより、人間の感情や意図を視覚的に伝達する重要な部位である。にもかかわらず、従来のヒューマノイドロボットでは、四肢の動作に比べて体幹の表現力は限定的であり、その構造や設計には十分な検討の余地がある。

本研究では、ロボットの体幹を単なる関節の連結としてではなく、「身体表現の中心としての構造」として捉え、人間の体幹が持つ柔軟性・可動性・連続性に着目した機構の設計を行う。特に、感情や内面的状態を反映するような姿勢変化を再現可能とするために、従来の剛体的な関節構成に加え、柔軟構造やワイヤ駆動、干渉駆動、重力補償の導入も検討する。

具体的な研究項目としては,

- (1) 人間の体幹動作における構造的特徴の分析 (関節配置, 可動範囲, 動作の滑らかさな ど).
- (2) これらの特徴を模倣するためのロボット体 幹の機構構成および可動部の設計,
- (3) 開発したロボット体幹の性能評価および上半身動作の確認.
- の3点を柱とし、人間らしい動作表現を可能に

する体幹の機構設計手法の確立を目指す。

本研究を通じて、ロボットにおける体幹動作の表現力を向上させ、将来的には人間との自然な非言語的コミュニケーションを支える身体的基盤技術の構築に貢献することを目的とする。

#### [研究の内容, 成果]

## 1. 人間の体幹動作における構造的特徴の分析

#### 1.1. モデル解析に基づく脊椎関節の最適分割数

ヒューマノイドロボットの脊椎モデル設計に おいて、関節の分割数が曲線の滑らかさおよび 形状の一貫性に与える影響を分析し、最適な分 割数の選定を目的とした。

脊椎構造の全長を 450 mm とし、これを 1~10 分割してモデル化した(図1)。各分割は等長・等角で回転し、全体の回転角度は 90°に統一した。各モデルにおける隣接する曲線間の類

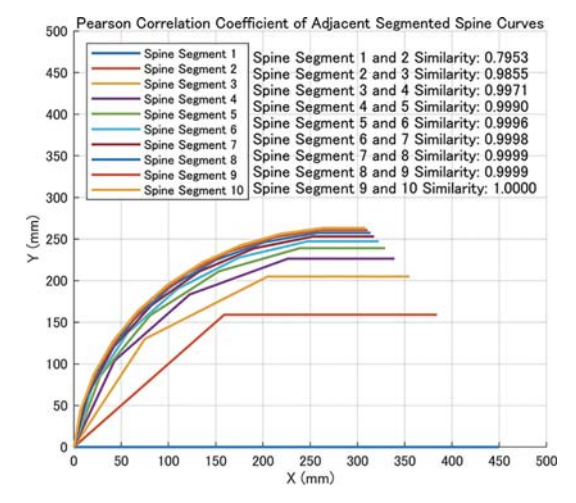


図1 隣接する脊椎セグメント間のピアソン相関係数

似度については、Pearson の相関係数を用いて 定量的に評価を行った。

その結果、分割数が増加するほど曲線の滑らかさと一貫性が向上し、特に分割数が3以上では相関係数が0.99を超え、自然な曲線形状の再現が可能であることが確認された。さらに、分割数が8以上では相関係数が0.9999を超え、非常に高い精度が得られた一方で、それ以降の改善はごくわずかであった。

以上より、動作性能と構造の複雑性とのバランスを考慮すると、脊椎関節の分割数は3~7の範囲が最適であると判断される。

#### 1.2. 体幹の自由度・可動域の設計

人間の体幹姿勢を参考に、ロボット体幹はPitch、Roll、Yawの3自由度で設計した。それぞれ、Pitch は屈曲・伸展、Roll は側屈、Yaw は回旋動作に対応する。特にPitch 方向については、脊椎関節の最適分割数に関する分析結果に基づき、3分割構造を採用したことで、自然な動作表現と構造・制御の単純化の両立が可能となり、さらに重力補償機構の適用にも適していることが確認された。本設計の概要を図2に示す。

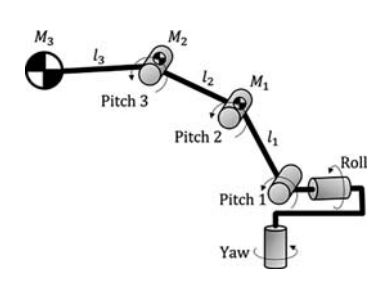


図2 ロボット体幹の自由度設計

可動域は構造と干渉の関係から制限されるため、人間に近い動作を実現しつつ、コンパクトな設計となるよう設定した。本研究では、Pitch 方向は  $-90^\circ \sim 90^\circ$  (各関節は  $-30^\circ \sim 30^\circ$ )、Roll 方向は  $-25^\circ \sim 25^\circ$ 、Yaw 方向は  $-45^\circ \sim 45^\circ$ とした。この構成により、体幹の柔軟性と自然な動作表現を両立している。

### 2. ロボット体幹の機構構成および可動部の設計 2.1. 全体設計

図 3 に開発したロボット体幹の構造を示す。 体幹は 3 つの Pitch 自由度, 1 つの Roll 自由度, 1 つの Yaw 自由度を持ち, Pitch 1, Roll, Yaw の回転軸は 1 点で交差する。寸法は 320×188 ×650.5 mm (長さ×幅×高さ), Pitch 1~3 リ ンクはいずれも長さ 150 mm で, 可動部全体の 長さは 450 mm である。

本体幹は、3モータによるワイヤ干渉駆動機構、3リンクの連結機構、バネ・ワイヤー・プーリーによる重力補償機構の3要素で構成される。干渉駆動機構は Pitch 1、Roll、Yaw を相互に干渉させて駆動し、連結機構は Pitch 1~3の動作をワイヤで連動させる。

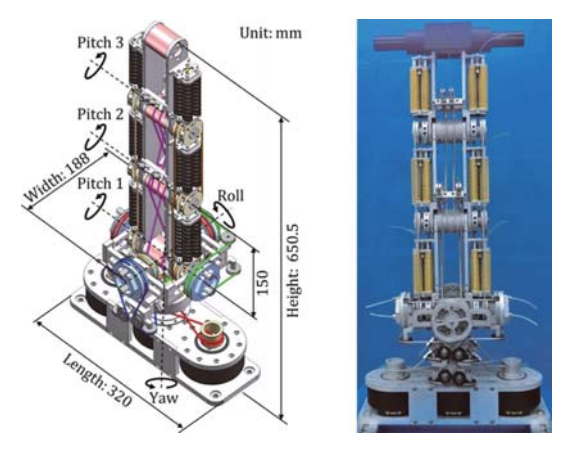


図3 ロボット体幹の全体設計

#### 2.2. 3モータ3自由度ワイヤ干渉駆動機構

図4に示すように、設計した3モータ3自由 度ワイヤ干渉駆動システムをロボット体幹に実 装した。3つのモータはすべて基部に固定され、 モータ3はYaw 関節と同軸、モータ1・2は その両側に配置している。

モータプーリと関節プーリは、中間プーリとワイヤを用いて接続されており、一部のプーリ径は25 mm、残りは50 mmである。中間プーリには直径17 mmのステンレスベアリングを用い、ワイヤにはSUS304製のナイロン被覆付きステンレスワイヤ(線径2.0 mm、引張強度2840 N)を使用し、サーキュラースリーブで固

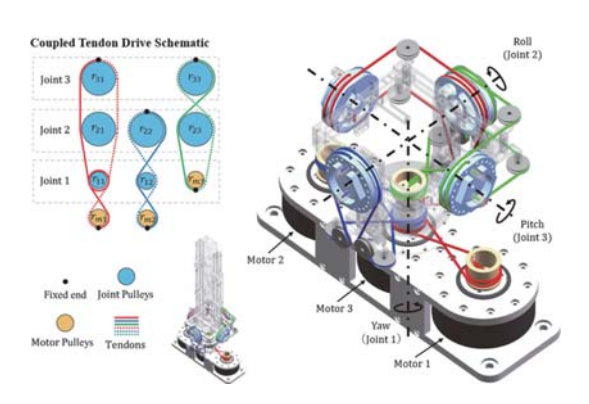


図4 3モータ3自由度ワイヤ干渉駆動構成

定した。モータは RMD-X8 Pro を採用し、構 造部品はアルミニウム合金 7075 製である。

#### 2.3. 3 リンク連結機構

ロボット体幹の動作をより人間に近づけるため、Pitch 方向を3自由度(Pitch 1~3)に分割した。しかし、自由度の増加に伴い、モータ数の増加や構造の複雑化が課題となる。

そこで、人間の脊椎のように各関節が連動して動作する仕組みに着目し、3つの Pitch 関節をワイヤとプーリで連結する3リンク連結機構を設計した(図5)。この機構では、Pitch 1の回転が Pitch 2、Pitch 3へと伝達され、3つの関節が同時に等角で回転するよう構成している。

プーリ半径はすべて同一とし、機構は体幹中央部に配置した。ワイヤ固定にはサーキュラースリーブ PT-75-3 を使用し、張力調整のために中空ボルトによる調整機構を組み込んでいる。

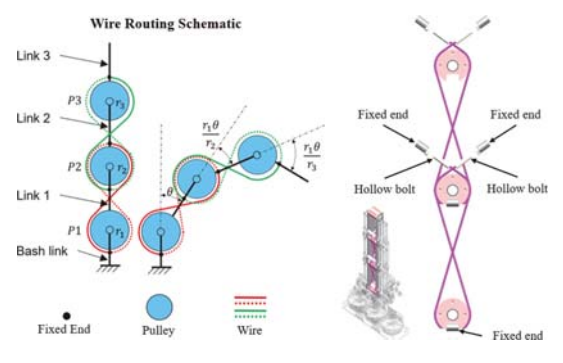


図5 3リンク連結機構の構成

#### 2.4. バネ・ワイヤー・プーリー系重力補償機構

#### 2.4.1. 新たな重力補償機構の提案

一般的な重力補償機構は、関節の回転をバネに伝達し、バネの反力によって重力を打ち消す構造を持つ。本研究では、ワイヤ、プーリ、バネを組み合わせた新たな重力補償機構を提案し、n-link-1-DOF(Pitch)ロボットだけでなく、n-link-2-DOF(Pitch-Roll)平行型ロボットにも適用可能であり、理論上は完全な重力補償が実現できることを示した(図6参照)。

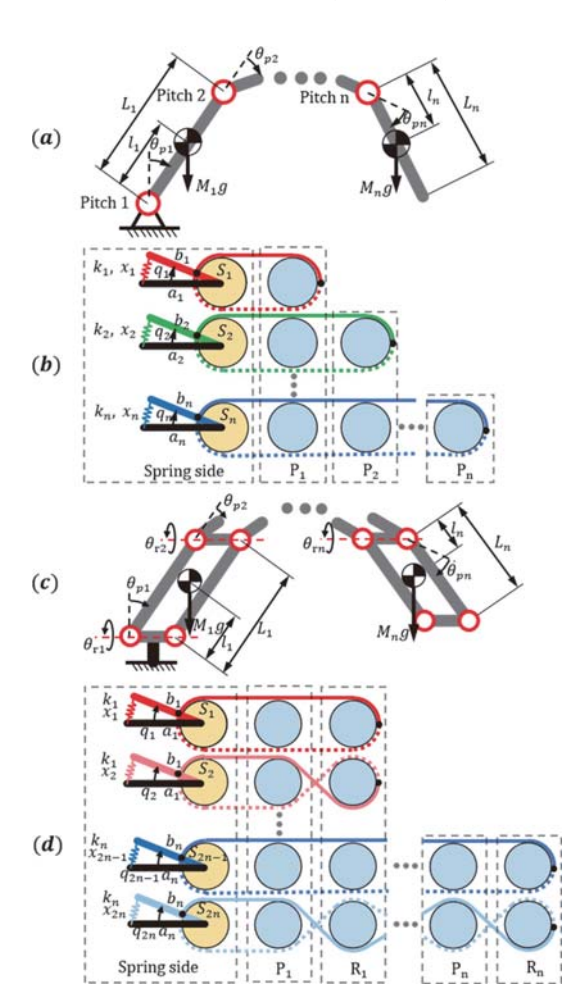


図 6 (a) n-link-1-DOF ロボットシステム, と (b) その 重力補償機構のワイヤ配線図: (c) n-link-2-DOF 平行型ロボットシステム, と (d) その重力補償機 構のワイヤ配線図

この機構では、関節とバネをワイヤとプーリで特定のルーティング形式で連結し、関節の回転角とバネの変位との間に一定の関係を持たせることで、安定した補償動作を可能にしている。

$$\begin{bmatrix} q_1 \\ q_2 \\ \vdots \\ q_n \end{bmatrix} = \begin{bmatrix} \theta_{p1} \\ \theta_{p1} + \theta_{p2} \\ \vdots \\ \theta_{p1} + \dots + \theta_{pn} \end{bmatrix} \begin{bmatrix} q_1 \\ q_2 \\ \vdots \\ q_{2n-1} \\ q_{2n} \end{bmatrix} = \begin{bmatrix} \theta_{p1} + \theta_{r1} \\ \theta_{p1} - \theta_{r1} \\ \vdots \\ \theta_{p1} + \theta_{r1} + \dots + \theta_{pn} + \theta_{rn} \\ \theta_{p1} - \theta_{r1} + \dots + \theta_{pn} - \theta_{rn} \end{bmatrix}$$

関節が異なる回転角にあるとき, ロボットシステムの総位置エネルギーが一定であれば, ロボットシステムの重力は完全に補償されていると考えられる。

$$V_T = V_g + V_k = \sum_{i=1}^n M_i g h_i + \frac{1}{2} \sum_{i=1}^n k_i x_i^2 = const.$$

以上, ロボットシステムが完全に静的平衡を 達成するために, 全てのバネのバネ定数が算出 できる。

2.4.2. 重力補償機構のロボット体幹への適用 提案した重力補償モデルに基づき,図7に示すようなロボット体幹用の重力補償機構を設計 した。本機構は,1つのRoll自由度と3つの Pitch自由度に対して同時に重力補償が可能で ある。補償バネは体幹方向に沿って左右対称に 配置されており,重心位置の最適化とバランス 性能の向上に寄与している。

ワイヤは Roll 関節から中間プーリを介して Pitch 方向に伝達され、各 Pitch 関節と連動するようにルーティングされている。バネ側では、ワイヤを複数のプーリに巻き付けて末端に固定し、中空ボルトによる張力調整機構を備えている。

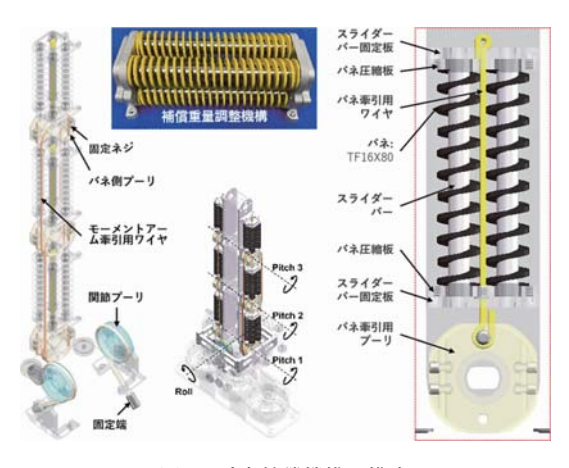


図7 重力補償機構の構成

また,バネモジュールはスライドバー付きの 圧縮機構で構成され,バネの動作を軸方向に制 限することで,安定したエネルギー伝達を実現 している。バネの本数は動作条件に応じて調整 可能であり,負荷に応じた柔軟な補償力の設定 が可能である。

#### 2.5. 性能評価および上半身動作の確認

#### 2.5.1. 重力補償率

ロボット体幹の重力補償性能を評価するため、外部トルクを直接測定し補償率を算出する手法を採用した。図8に示す実験装置では、Pitch軸を中心とした半径150mmのガイドプーリを3Dプリンタで作製し、ワイヤの作用点を一定に保つことで正確なトルク計測を可能とした。駆動ワイヤはガイドプーリから中間プーリを経由して、引張圧縮試験機(SVZ-200NB-100R3)に接続されており、体幹の動作中に張力をリアルタイムで測定できる構成とした。

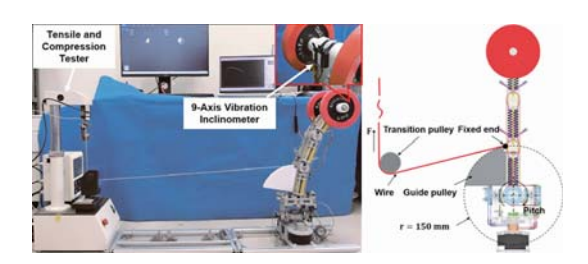


図8 重力補償測定実験の実験様子

実験では 5 kg の荷重を用い、Pitch 方向  $(90^{\circ} \rightarrow 0^{\circ})$  および Roll 方向  $(25^{\circ} \rightarrow 0^{\circ})$  の動作に対して、3 つの条件(① 補償なし、② 重力補償のみ、③ 重力補償+重量調整)で張力を測定した。得られた張力 F とプーリ半径 r を用いて関節トルク  $\tau = F \cdot r$  を算出し、補償率  $\sigma = ((\tau_{-}0 - \tau_{-}c)/\tau_{-}0) \cdot 100\%$  で評価した。ここで、 $\tau_{-}0$  は補償機構なしのトルク、 $\tau_{-}c$  は補償機構ありのトルクである。

図9に示す通り、Pitch および Roll 関節のど ちらにおいても、重力補償機構を動作させるこ とで関節トルクが大幅に減少し、補償効果が確 認された。さらに重量調整機構を併用すること でトルクはさらに低減したが、摩擦の影響によ

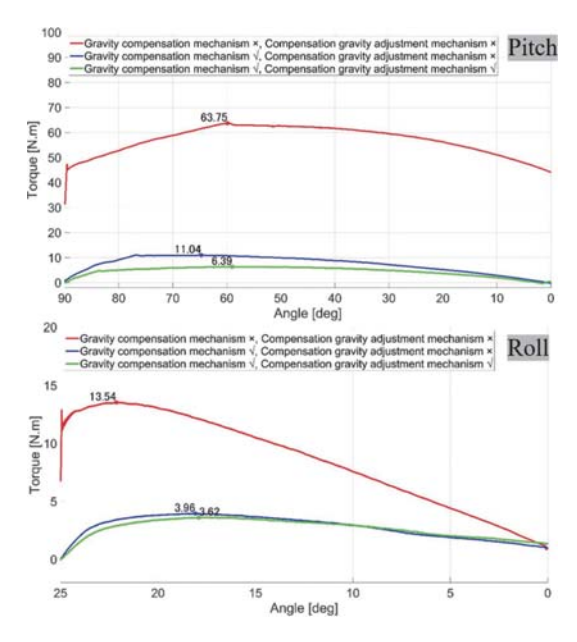


図9 重力補償率測定実験の実験結果

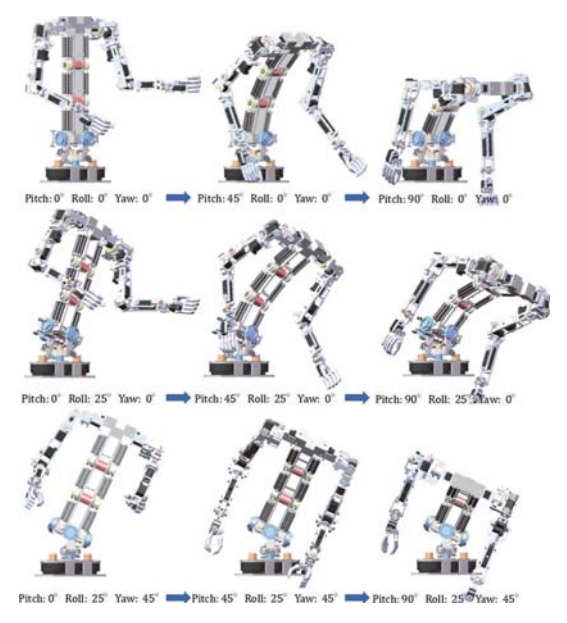


図10 体幹の姿勢変化における動作確認

りゼロには至らなかった。

補償率は、補償機構のみ動作時で Pitch 関節 82.7%, Roll 関節 70.8%, 重量調整併用時には 全関節のトルクが 7 Nm 以下に抑えられ、特に Pitch 関節では 90.0% の補償率を達成した。

#### 2.5.2. 上半身動作確認

図 10 に、SolidWorks 上で実施したロボット 上半身の動作シミュレーション結果を示す。体 幹は Pitch、Roll、Yaw の 3 自由度を有し、そ れぞれの関節に対して段階的に角度を変化させ ることで、全9パターンの姿勢を再現している。

各自由度は目標角度に対して正確に追従して おり、連続的な動作も滑らかに実現されている ことが確認できた。本結果から、提案した多自 由度体幹構造がシミュレーション上において正 常に機能していることが示された。

#### [今後の研究の方向、課題]

本研究では、ロボット体幹の多自由度構造と 重力補償機構の有効性をシミュレーション上で 確認した。今後は実機への動作実験を通じて、 摩擦やワイヤのたるみなど、実環境での影響を 評価する必要がある。

また、補償機構の他部位との連携動作の検討 に加え、人との協調動作を見据えた自然な動作 設計や印象評価も今後の課題である。

#### [成果の発表, 論文など]

- [1] Wang Yiwei, 李文揚, 東郷俊太, 横井浩史, 姜銀来: 3M3D ワイヤ干渉駆動に基づくヒューマノイド腰関節の開発, 日本ロボット学会誌, 42巻1号, pp. 78-81, 2024.
- [2] **Wang Yiwei**, 東郷俊太, 横井浩史, 姜銀来: 汎用性の高いバネ・ワイヤー・プーリー系重力補償 機構の提案, 第 42 回 日本ロボット学会学術講演会, 2024.

# 不確実複雑システムの見通しを向上させる設計モデルの構築

2227003



研究代表者 大阪大学 大学院工学研究科 博士後期課程 荻 尾 優 吾 機械工学専攻 石川·南研究室

#### [研究の目的]

制御工学の究極の目標は、さまざまなシステムのふるまいを自在に操ることである。システムを操るための手法はさまざまなものが存在するが、制御対象の数理モデルに基づく制御系設計はその中で最も用いられる手法の一つである。モデルベースの制御系設計では、制御対象のダイナミクスを数理モデルとして理解し、そのモデル情報を利用して制御器を設計することで、制御性能を達成することが可能である。

一般に、制御対象のダイナミクスを正確に理 解して利用するために、 さまざまな制御対象の ふるまいを再現する詳細なモデルを構築するこ とになる。しかし、制御系設計において重要な のは、制御対象のダイナミクスの再現ではなく、 制御対象の制御なので、必ずしも詳細なモデル が必要でない場合も存在する。例えば、非線形 な制御対象の平衡点周りの制御においては、平 衡点周りの線形近似モデルで十分に制御でき. 詳細な非線形モデルは必要ない。また、制御器 設計のコストや計算時間が制約されている場合 には、詳細なモデルを用いることができないこ とが多い。くわえて、詳細なモデルを構築でき たとしても、そのモデルを制御系設計に用いる ことが難しい場合もある。例えば、ニューラル ネットワーク (Neural Network: NN) モデル は高い表現能力を持つが、制御に必要な周波数 特性や逆モデルの取得が困難である。

以上より、制御系設計においては常に詳細な

モデルが必要ではなく、制御目的や制御仕様に 応じてモデル構築を工夫する必要がある。そこ で、本研究では、「制御にとって必要十分なモ デル構築とは何か」という問いに答えることを 目的とする。すなわち、単に制御対象のダイナ ミクスを再現するのではなく、制御目的や制御 仕様といった制御系の設計意図をモデルに反映 させて、制御にとって都合の良いモデルを構築 する手法を探る。この目的のため、本研究では、 まず問題の定式化を行い、制御系設計問題をモ デル探索問題に置き換えるという手法を提案す る。そして、具体例として、動的量子化器の設 計問題や、画像およびグラフ信号処理システム における量子化プロセスの設計に取り組み、提 案手法の有用性を検証する。

#### [研究の内容,成果]

前節で述べた通り、本研究では、制御系設計問題をモデル探索問題として捉え、設計意図をモデルに反映させることを目指す。この背景に基づき、本研究では、制御系設計のためのモデルチューニング手法を、モデルの最適化問題として取り扱う。具体的に本提案手法では、制御器設計の手順を固定し、制御器設計問題をモデル探索問題へと変換する。設計手順を固定することは、制御器を特定のモデルによって特徴付けることを意味する。本論文では、この制御器を特徴付けるモデルを「設計モデル」と定義し、設計仕様を満たす設計モデルを探索することで

制御器を設計する。すなわち、制御器設計問題を設計モデルの探索問題として定式化する。本 手法において、制御器の設計手順は数学的に 「モデルから制御器への写像」として表現される。この写像が与えられることで、探索対象は 制御器空間ではなくモデル空間となり、モデル が決定されると制御器は自動的に設計される。

設計意図を反映したモデルを構築するシステム設計手法の先行研究の一つとして、北森による PID 制御器のモデルマッチング法が存在する。モデルマッチング法では、まず閉ループシステムモデルのパラメータから制御器のパラメータを決定するための変換式を導出する。次に、設計仕様を満たす閉ループシステムの参照モデルを設定し、制御特性を得る。このように、モデルマッチング法は、制御器の設計手順を課すことで、制御器探索問題をモデル探索問題へと変換する。

モデルマッチング法以外にも、制御器の設計 手順に基づくモデルチューニング手法を用いた 制御系設計に関する研究が存在する。例えば、 Shikada らはポリトープ型の不確かさを持つシ ステムに対するオブザーバ付きのロバストな状 態フィードバック制御器の設計問題を扱い、モ デルとその線形変換を最適化することで, 従来 のノミナルモデルよりも優れた性能を得られる ことを示した。また、Okajima はポリトープ型 の不確かさを持つシステムに対するモデル誤差 抑制補償器の設計において、最尤推定モデルが 必ずしもノミナルモデルとして適切ではないこ とを確認した。さらに、Wada と Tsurushima は、モデル予測制御によるサーボシステム設計 において、目標信号への追従を達成するために モデルへ積分器を追加する手法を提案した。 Minami と Kashima は、非最小位相系に対す る量子化器の設計を行い、部分モデルを用いた 動的量子化器のフィルタ設計により出力の発 散を防ぐことができることを示した。この部 分モデルは、制御対象を不安定零点と最小位 相系に直列分解したときの最小位相系に当たる

モデルである。さらに、Kusui らは Minami と Kashima の研究を拡張し、MIMO の非最小位 相系に対する動的量子化器設計法を提案した。

これらの研究では、制御対象の特性を忠実に 再現するモデルを用いるのではなく、制御器や 量子化器の設計に合わせたモデル構築を行って いる。本研究はこれらの研究を一般化したアプローチを採用する。このアプローチは、モデル ベースではあるものの、従来のように、制御対 象のダイナミクスの再現を目指した手法ではない。また、実際のモデルの構築では、データを 用いた最適化問題としてモデルを探索するが、 従来の直接制御器を決定するデータドリブンな 手法とも異なる。したがって、提案手法は従来 のモデルベースの手法とも、データから直接制 御器を決定する手法とも異なり、モデルベース な手法とデータドリブンな手法の中間に位置す る点に特徴がある。

本研究では、これまでの研究をより一般化した問題設定として再定義し、モデルチューニングに基づくシステム設計手法を提案する。本手法では、対象とする制御対象および制御器の設計手順が与えられた場合に、設計意図を反映した設計モデルを探索する問題として定式化する。ここで、設計モデルは必ずしも制御対象のふるまいを忠実に再現する必要はなく、制御系設計に必要な特性を有するモデルとしてチューニングによって得られる。

従来のモデルベース設計では、この問題を解決するため、まずモデルを構築し、その後に制御器を設計するという手順が取られた、モデル自体は、システム設計に必要な情報として既知であり、システム設計において重要なのは制御器設計であった。すなわち、モデルベース設計では、モデルが与えられた後に制御器設計方法を見つけるという手順になる。

一方で、本研究では、モデルチューニングに 基づくシステム設計手法を提案する。この提案 手法では、制御器の設計手順が与えられ、その 上で設計モデルを見つけることを目的としてい る,ここで注目すべき点は、制御器のパラメータがモデルのチューニングによって変化しなければならないということである。したがって、 実際には、制御器設計の手順、すなわちモデルから制御器への写像が与えられている。この提案手法においては、モデルから制御器への写像が与えられるとめ、探索空間は制御器空間ではなくモデル空間となり、モデルが構築されれば制御器は自動的に設計される。

次に、制御器設計手順を固定する方法について説明する。1つの方法は、基本的な制御システム設計問題の解析結果を用いることである。例えば、制御理論においては、極配置や LQR 制御などの解析的に最適な制御器が導出される場合がある。解析的に導出された方程式を設計手順として固定し、その方程式に与えられたモデルをチューニングすることができる。言い換えれば、制御器設計手順を設計者の知識として用い、モデルを探索するアプローチである。

提案されたモデル探索手法に加えて、システムのパラメータを直接探索する方法も存在する。しかし、モデル探索は制御器の構造を知識として利用するため、より効率的に有効な解を見つけることが可能であると考えられる。さらに、直接探索とは異なり、モデル探索はシステムの構造を知識として利用し、制御システムの設計モデルを得るため、システム設計における説明可能性が高いと考えられる。

以上の位置付けに基づき、本研究の一般的な問題の定式化について述べる。ここで、図1に示すように、システム $\Sigma_1$ および $\Sigma_2$ を考える。

システム $\Sigma_1$ は制御対象のシステムであり、システム $\Sigma_2$ は制御器や量子化器などの設計対象と

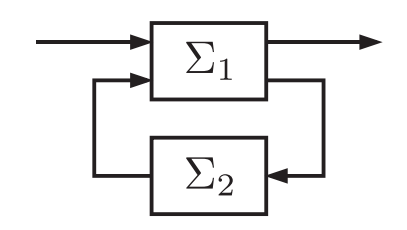


図1 提案手法の問題の定式化における一般的な ブロック線図

なるシステムである。その他のパラメータは以下のように定義する。チューニングする設計モデルを P, モデルからシステムへの写像を  $M:P\mapsto\Sigma_2$ , データなどのハイパーパラメータを  $\theta$ , 評価関数を J とする。本研究の提案手法では、システム設計手順 M を固定し、ある評価指標 J に基づいて設計モデル P を探索し、システム $\Sigma_2$ を構築する。まとめると、評価関数 J に基づいてモデル P を調整することで、最適なモデル $P^*$ を取得し、システム $\Sigma_2$ を設計することを目的とする。この関係は以下のように表される。

# $P^* = \underset{P}{\operatorname{argmin}} J(\mathcal{M}(P); \Sigma_1, \theta)$

つぎに、提案手法を具体的な問題に適用した際の問題の定式化について述べる。本研究では4つのシステムに提案手法を適用し、それぞれの場合のブロック線図は図2に示している。

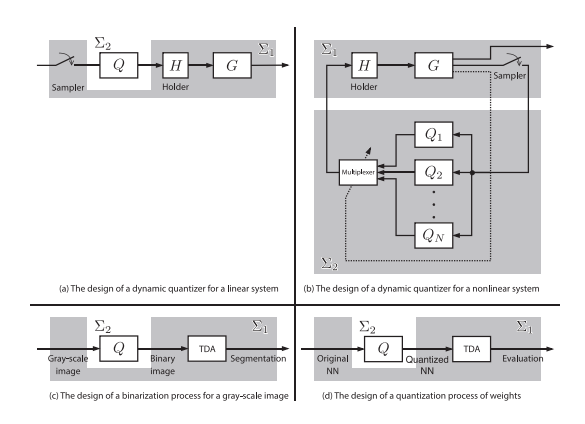


図2 提案手法を適用したそれぞれの具体的な問題の ブロック線図

量子化器 Q は線形フィルタを持つ動的量子化器である。図 2(b) では、連続時間システム G は非線形であり、量子化器 Q は切り替え型の動的量子化器であり、線形量子化器  $Q_1, Q_2, ..., Q_N$  から構成される。各サブ量子化器  $Q_1, Q_2, ..., Q_N$  に対して、それぞれの設計モデル $P_1, P_2, ..., P_N$  を求めた。

図 2(c), (d) では, 提案手法を TDA (Topological Data Analysis) と量子化処理からなる システムに適用した。ここで、サブシステムΣ1 は TDA による処理プロセスであり、サブシス テムΣ2は量子化プロセスである。本研究では、 量子化プロセスの設計手順が固定された条件の もとで、量子化プロセスΣ2を設計することを目 的とする。図2(c)では、システム全体はグ レースケール画像のセグメンテーションプロセ スであり、Σ」は二値画像のセグメンテーション のための TDA 処理プロセス,  $\Sigma_2$ はグレース ケール画像を二値画像へ変換する二値化プロセ ス Q である。ここでは、二値化処理の設計手 順 M を固定し、大津法やランダムディザリ ングなどの二値化アルゴリズム Pを求めた。 図2(d)では、システム全体は量子化ニューラ ルネットワーク (Quantized Neural Network: QNN) の評価プロセスであり、 $\Sigma_1$  は QNN の TDA 処理、 $\Sigma_2$  はオリジナルの 32-bit の重み を持つ NN の重みを量子化する量子化プロセ スQである。ここでは、NNの重みの量子化 プロセスの設計手順 M を固定し、量子化プロ セスに必要な誤差拡散フィルタ P を求めた。

ここでは、図 2(b) の結果について、詳しく述べる。

この具体例では、図3のような倒立振子及び振り上げ安定化制御器を含むシステム G に対し、切り替え型の動的量子化器 Q を設計する問題を考える。振り上げ制御器は $K_1$ ,  $K_2$ から構成され、それぞれ原点近傍での安定化のための状態フィードバック制御器とエネルギー法による振り上げ制御器である。同様に切り替え型動的量子化器も、サンプラ・ホールダ及びサブ量

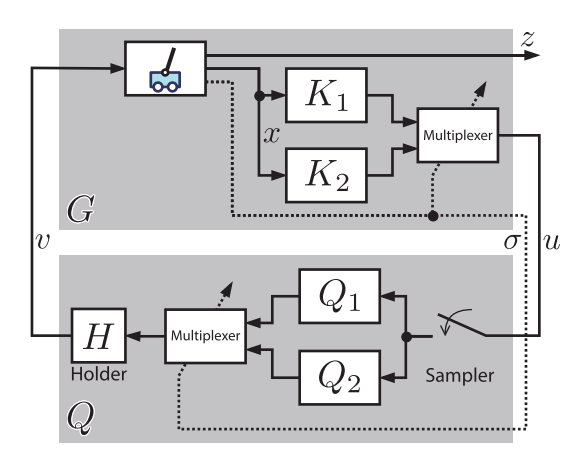


図3 倒立振子の振り上げ安定化システム

子化器 $Q_1$ ,  $Q_2$ から構成される。サブ量子化器 $Q_1$  は原点近傍で用いるので、与える設計モデルは原点近傍の線形近似モデルに固定し、振り上げフェーズで用いる量子化器 $Q_2$ の設計モデルを構築することを目指す。実際の設計には、以下の評価関数を最小化する設計モデルを求める。

$$J(Q) = \int_{0}^{T} \left\| \boldsymbol{z}(t) - \boldsymbol{z}_{\text{ref}}(t) \right\|_{2} dt$$

ただし、z(t) は量子化器を含むシステムの、 $z_{ref}(t)$  は量子化器を含まない理想システムの出力である。

実際に最適化した設計モデルを用いて量子化 器を設計した場合の結果は図4の赤線のように なり、理想システムの結果と同様に振り上げ安

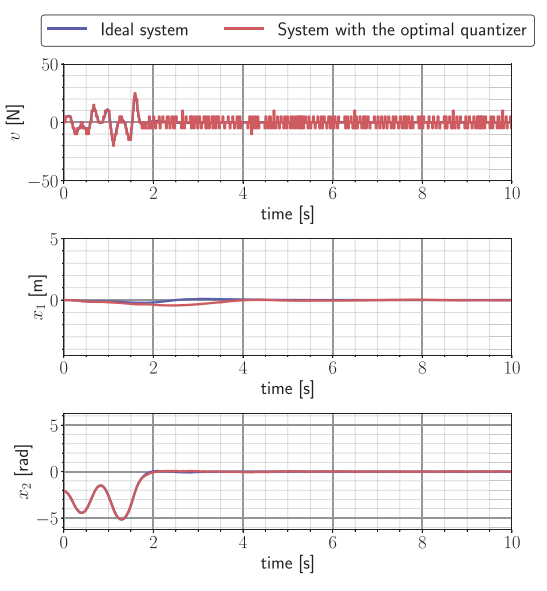


図4 倒立振子の振り上げ安定化の結果

表1 直接探索と提案手法の比較

方法	評価関数の値				
万任	最小値	最大値	平 均	標準偏差	
直接探索	0.318	56.6	9.32	13.3	
提案手法	0.212	3.24	1.09	1.26	

定化できている。

また、制御器の設計手順 M を経由して設計 する提案手法と直接動的量子化器のパラメータ を最適化する直接探索の最適化効率の比較を行 うと、表1のように、提案手法の方が優れてい ることがわかった。

#### [成果の発表, 論文など]

#### 学術雑誌掲載論文

- 荻尾,南,石川:モデル探索アプローチによるサンプ ル値駆動型動的量子化器の設計,計測自動制御学会 論文集, Vol. 59, No. 12, pp. 542-549 (2023)
- Y. Ogio, N. Tsubone, Y. Minami, and M. Ishikawa: A TDA-based performance analysis for neural networks with low-bit weights, Artif Life Robotics, Published, (2025)
- Y. Ogio, Y. Minami, and M. Ishikawa: A model-tuning approach to switching-type dynamic quantizer design for nonlinear systems: Int. J. Control Autom. Syst. Vol. 23, pp. 714-724 (2025)

#### 国際会議(査読有り)

- Y. Ogio, Y. Minami, and M. Ishikawa: A controller design method for continuous-time and discretevalued systems, SICE Annual Conference (SICE AC 2022), Japan, Sep., (2022)
- Y. Ogio, Y. Minami, and M. Ishikawa: Design of switching-type dynamic quantizers for continuoustime nonlinear systems, IFAC World Congress, Japan, Jul., (2023)
- Y. Ogio, N. Tsubone, Y. Minami, and M. Ishikawa: A TDA-based performance analysis for quantized neural networks, AROB 29th 2024, Japan, Jan., (2024)

#### 国内会議(査読無し)

荻尾,南,石川:離散値係数制御器の設計のための設計モデル,第66回システム制御情報学会研究発表講演会(SCI'22),京都,2022年5月

#### 受賞

第 66 回システム制御情報学会研究発表講演会 SCI 学 生発表賞受賞

2024年度計測自動制御学会関西支部 支部長賞 奨励賞 受賞

# 実世界における直観に反した運動の予測と言語生成

#### 2247010



研究代表者

お茶の水女子大学 大学院 人間文化創成科学研究科

博士後期課程

黒 田 彗 莉

#### [研究の目的]

過去10年の自然言語処理研究により、ヒト の活動や生活をサポートするような対話型ロ ボット(ヒトの発話を受け取り、内容に即して 回答するロボット)の開発が進んだ。また、大 規模言語モデル (LLM) の開発に伴い、今後 の対話型ロボットはより自然に返答できるよう になると期待される。しかし現在の LLM は. 答えのない問いへの回答や、ヒトの会話のよう に曖昧な表現を含んだ返答が苦手である。また. ヒト同士の会話と、ヒトとロボットのコミュニ ケーションは決定的に異なる。会話においてヒ トはただ相手の話を聞くだけでなく、相手の振 る舞いから次の発言を予測しながら発話する。 一方でロボットは、あくまでヒトからの一方的 な指示に答えるに過ぎず、相手(ヒト)の言動 を予測しているわけではない。ヒトからロボッ トへの一方的な命令という関係を超えて、今後 ヒトと機械が共存していくには、ロボットが自 律的に状況を判断できるようになる必要がある。 さらに、判断した状況から様々な将来を予測す ることで、ヒトの言動を先回りしてサポートで きるロボットの内部モデル構築を目指す。

たとえば、緑の円柱が青い立方体に近づいている状況があったとする。これらの物体は、この後どうなるだろうか。直観的には「緑の円柱が青い立方体にぶつかる」と想像できる。一方で、直観に反して「もし緑の円柱が止まった」とすると、「青い立方体と緑の円柱はぶつから

ない」と予測できる。このように直観に反した 状況でも、ヒトは柔軟に推論を変更することで、 その場面を画像として想像し、言語として発話 できる。しかし予測研究の多くは、環境にある 物体を視覚的(画像)もしくは物理的(物体の 速さなど)にとらえ、直観に即した予測をする にとどまっている。また、直観に反した予測を 扱う研究は、ほとんどの場合、物理シミュレー ターで実世界を表し、物理情報を直接修正する ことで仮想環境を生成している。そのため、ヒ トのように実世界からの情報をもとに柔軟に推 論を修正し、起こりえない予測を生成できるモ デルはまだない。

これまでの研究(例: Engelcke et al., 2020; Burgess et al., 2019)は、入力の系列情報に対する決まった(直観に即した)予測のみを扱ってきた。それに対し本研究では、直観に即した従来の予測だけでなく、直観に反する条件が与えられたときに、これまでの推論を柔軟に変更することで、状況に即したもっともらしい環境を予測できる推論モデルを構築する。与えられた条件に適合するように推論を修正して、新し

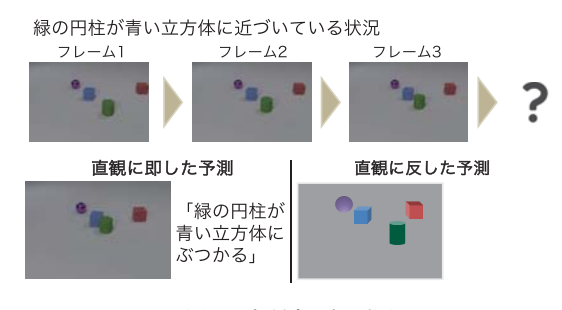


図1 本研究の概要図

い予測を生成するようなモデルはまだ提案されていない。

また、予測推論モデルから画像を生成する手法として、シーングラフから画像を生成する研究(Johnson et al., 2018)がある。しかし、環境にある物体の速度や移動方向といった物理的な特徴や物体同士の位置関係を表したグラフ構造から画像を生成した先行研究はいまだ存在しない。

このように自身の研究に適した形で従来の研究を改善する方法を独自に考え,新たな予測モデルの構築や画像生成手法を提案することで課題を解決する。

#### [研究の内容,成果]

#### 1. 提案手法

#### 1.1 物理特性を含んだ訓練データセット作成

本研究ではデータセットとして CLEVRER (Yi et al., 2019)をメインで用いた。CLEVRER は「画像内で3種類の物体が動き、物理的事象は衝突のみ」というシンプルなデータセットである。また、提案モデルの入力情報は画像だけでなく、画像から得られた物理情報(位置や速度など)の2種を想定している。そのため、元となるデータセットから物理情報のデータセットも新たに作成する。作成の手順を図2に示す。

#### (1) 画像内の環境の獲得

CLEVRER に写っている物体の種類や位置情報を考慮したグラフベースの訓練データを作成するために、YOLACT を用いた。YOLACT を用いて物体検知をし、画像内の2次元位置情報と物体の形状・色を取得する。検知可能な種類数は物体の色8種類・形状3種類・素材2種類の組み合わせ48種類で行った。

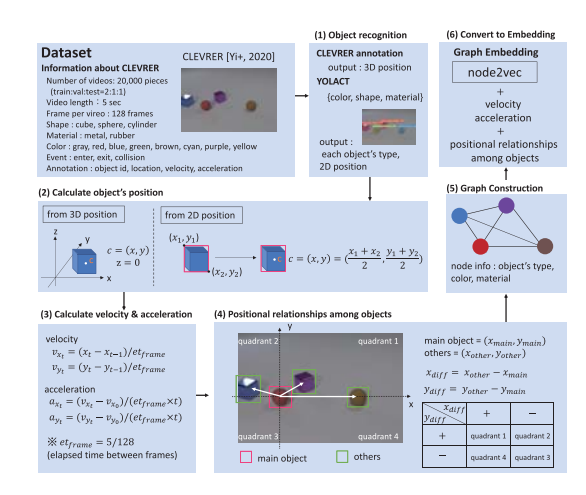


図2 訓練データセット作成の概要図

# (2) 物体の座標・環境を表現したグラフの 構築

獲得したバウンディングボックスの座標から物体の2次元位置情報を決定し、グラフを作成した。本研究ではグラフを構築した後、それらのグラフを埋め込みベクトルに変換した。グラフの埋め込みベクトル作成においては word2vec の Skip-gram から着想を得た node2vec と doc2vec の PV-DBOW から着想を得た graph2vec の2種類の手法を用いた。node2vec を用いた埋め込みでは1フレーム内に写っている物体一つずつをノードとみなし、構築したグラフのノードをもとに埋め込みベクトルを作成した。一方で graph2vec では、観測環境(CLEVRER1フレーム)を表したグラフ全体から埋め込みベクトルを作成した。

#### (3) 環境内の物体の速度と加速度の算出

環境に写っている各物体についての物理特性を捉えるために、物体の速度および加速度の算出を行った。時刻 $t_k$ における物体の位置を $x_{tk}$ ,  $y_{tk}$ とし、次の時刻 $t_{k+1}$ における物体の位置を $x_{tk+1}$ ,  $y_{tk+1}$ とする。また時刻 $t_k$ から次の時刻 $t_{k+1}$ の経過時間は、5秒の動画を 128 フレームに分割しているので、5/128 秒となる。加速度算出における初速 $v_0$ は、環境における各物体は停止しているところから始まるため $v_0$ =0と設定した。

#### (4) 物体間の位置関係の表現

環境内の物体に関して、物体同士の位置関係も重要な情報である。ヒトを例に上げると、自分を中心にして他の物体がどの位置関係にあるかを瞬時に捉えている。ここでは全ての物体同士の位置関係について、各物体が中心となったときの他物体の位置方向を算出した。

#### 1.2 予測モデル構築

本研究では、PredNet に対して画像特徴量の変化から環境の移り変わりのタイミングを捉える研究である Variational Temporal Abstraction (VTA) の機能を組み合わせ、環境中の視覚情報と物理特性の両方の変化から環境の移り変わりを予測する予測モデルを構築した。VTA は系列情報から階層的な抽象度を見つける状態空間モデルであり、入力情報の変化点を抽出することができる。

モデルの構造は、物体の動きなどの物理特性を予測する機構と、環境の画像情報を予測する機構の二つの階層構造を並列にし、各モデルのそれぞれの機構に VTA の機構である変化点判別フラグ m を取り入れて構築した。

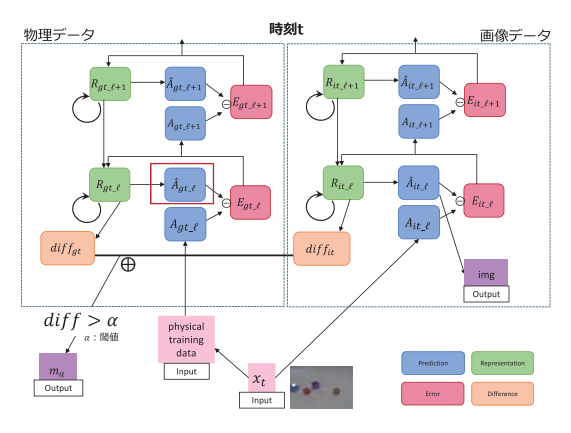


図3 提案する予測モデルの概要図

#### 1.3 言語データのレンプレート作成

変化点予測モデルを用いて予測した埋め込みベクトルから言語を生成するために、言語情報を新たに学習する必要がある。そのため言語データセットとして、物理特性を表すグラフ表現の埋め込みベクトルとそのときの状態を説明した文章のペアデータを作成した。グラフ表現

の埋め込みベクトルは、CLEVRERのアノテーションデータから作成した。またペアとなる文章は、3(衝突前・衝突・衝突後)×3(文章の種類)の9種類のテンプレートに当てはまるように作成した。テンプレートの詳細を以下に示す。衝突した2つの物体はA・Bと表し、AとBはそれぞれ「"灰、赤、青、緑、茶、水、紫、黄"色の"球、円柱、立方体"」の情報をもつ。また衝突のデータだけでなく、物体が衝突の前に近づくと衝突後に離れるときをデータセットとして作成した。近づくときは衝突の5フレーム前、離れるときは衝突の5フレーム後を対象とした。作成したペアデータの例は図4に示す。

文章テンプレート例:衝突する物体(青色の球・灰色の球)



「青色の球と灰色の球が近づく」 「青色の球が灰色の球に近づく」 「灰色の球が青色の球に近づく」



「青色の球と灰色の球がぶつかる」 「青色の球が灰色の球にはじかれる」 「灰色の球が青色の球にはじかれる」



「青色の球と灰色の球が離れる」 「青色の球から灰色の球が離れる」 「灰色の球から青色の球が離れる」

図4 言語データのテンプレート作成の例

#### 1.4 言語生成モデル

言語生成モデルは、Transformer の Decoder のみを用いた。図 5 に Decoder モデルを示す。従来の Transformer は Encoder-Decoder モデルで構築されているが、本研究では提案モデルの変化点予測モデルにおけるグラフの埋め込みベクトルの予測結果を Encoder における出力結果とみなし、この結果を Encoder から Decoder への入力とした。Decoder の学習は図4で作成したペアデータを用いた。学習データは 219303 個、テストデータは 10965 個とした。

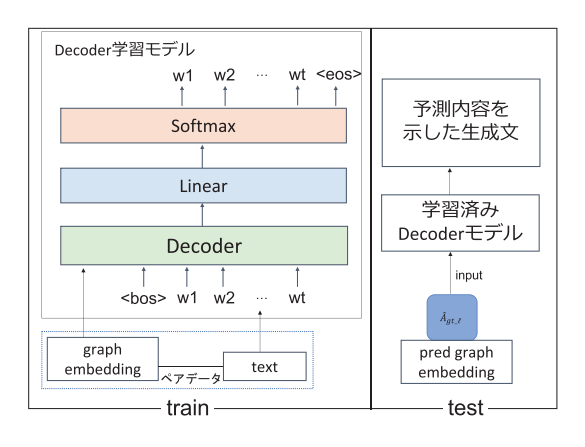


図5 言語モデル

#### 2. 実験

実験では、予測して物理情報の変化点を言語 情報として生成し、予測内容について解釈可能 にすることを目的とする。

#### 2.1 結果と考察

例1では、緑色の球と赤色の円柱がぶつかる 状況に対して、赤色の円柱が反対方向に動いた ときの動きを検証した。言語生成モデルを用い たときは「緑色の円柱が赤色の円柱からはなれ る」という文章になり、予測画像は図6に示す ものになった。これは想定する正解文に近い文





余什

青色の円柱が反対に動く

#### 正解文

「灰色の球と青色の円柱はぶつからない」 「灰色の球が青色の円柱からはなれる」 「青色の円柱が灰色の球からはなれる」

#### 生成文

**灰色の球と青色の立方体**が はなれる

> 物体の色○, 形状×, 状況○, 画像×

図6 実験結果

章が生成できたといえる。一方で、予測画像に ついては物体の物理特性を表すグラフ構造から 画像を作成したが、ノイズがかかり、また動き が大きく変わった画像を生成することはむずか しいことがわかった。

例2では、灰色の球と青色の円柱がぶつかる 状況に対して、青色の円柱が反対に動いたとき の動きを検証した。言語生成モデルを用いたと きは「灰色の球と青色の立方体がはなれる」と いう文章になり、予測画像は図6に示すものに なった。例1と同様に、生成文は正解文に近い 文章が生成できたが、予測画像については想定 していた画像とは異なるものが生成された。

#### 2.2 文章生成の評価

次に各モデルで生成した文章を自動評価指標を用いて精度を算出した。生成した文を自動評価指標で評価した結果を表1に示す。自動評価指標には、言語生成タスクで用いられているBLEU、キャプション生成タスクで用いられるMETEOR、CIDErを使用した。生成文1文に対し正解データは3文用意したため、各スコアの平均を生成文のスコアとした。予測推論内容から生成した生成文と正解文のスコアは全体を通して約75程度であり、観測環境の状況を高い精度で生成することができたといえる。

表1 文章生成の評価結果

モデル	BLEU@2	BLEU@3	BLEU@4	METEOR	CIDEr
PredNet ベース	79.3	75.1	72.3	70.4	73.1

#### 3. まとめと今後の課題

本研究では観測した環境を視覚的・物理的に 予測できるモデルを構築し、状況を説明できる モデルを提案した。また環境の物理的な特徴を 予測した結果を言語として生成し、モデルによ る予測内容を解釈可能にした。現実には起こり 得ない状況についての文章は高い精度で生成で きたが、そのときの場面を鮮明に描写すること には課題が残った。

また実験に使用したデータセットは、我々人

間が目にする実環境よりも簡単なデータになっているため、予測モデルとしても言語生成としてもまだ改善の余地はある。今後の課題としてより実世界に近いデータセットを利用した実験を考えている。

#### [成果の発表, 論文など]

Eri Kuroda & Ichiro Kobayashi: Predictive Inference Models for Real-world Physical Environments, Journal of Advanced Computational Intelligence and Intelligent Informatics, Vol. 29, No. 3, pp. 456-468 (2025).

- Eri Kuroda, & Ichiro Kobayashi. Verbal Representation of Object Collision Prediction Based on Physical CommonSense Knowledge. 2025 17th International Conference on Machine Learning and Computing (ICMLC2025), Long Paper, Oral, Guangzhou, China, Feb 14th–17th, 2025.
- 3. Eri Kuroda, Yuki Taya & Ichiro Kobayashi. Verbal Description Focusing on Physical Properties of Real-World Environments. 2024 Joint 13th International Conference on Soft Computing and Intelligent Systems and 25th International Symposium on Advanced Intelligent Systems (SCIS&ISIS2024), Long Paper, Oral, Hyogo, Japan, Nov 9th-12th, 2024.

# 片麻痺歩行に対する足関節ロボット治療における 適応者および非適応者の特徴分析

# 2227005



研究代表者 (助成金受領者) 共同研究者

関西医科大学 大学院医学研究科	博士	課程	桑	原	嵩	幸
関西医科大学 リハビリテーション学部	助	教	森		公	彦
国際電気通信基礎技術研究所 (ATR)	主任研	<b>f</b> 究員	野	田	智	之
関西医科大学 リハビリテーション医学講座	教	授	長	谷	公	隆

#### [研究の目的]

脳卒中後片麻痺患者では、下肢の麻痺により 歩行中に十分な推進力(床反力前方成分)を得 ることが困難となることで、歩行速度低下など の歩行障害ひいては生活範囲の狭小化に繋がる ことが報告されている。従って、片麻痺歩行に 対する歩行再建では、麻痺側推進力を最大限高 める治療が重要である。歩行中の足関節をアシ スト出来る足関節ロボットは、麻痺側推進力を 改善させる歩行介入エンジンとして近年注目が 高まっている。

しかし、足関節ロボットによるアシストを加えても麻痺側推進力が十分に改善する症例(Responders)と改善しない症例(Non-Responders)が存在することが報告されている。しかし、従来の研究では、Responders とNon-Responders の特徴の違いを十分に解明した報告はない。従って、全ての患者に効果的な足関節ロボット治療を展開するためには、Responders とNon-Responders の特徴を同定し、さらに治療前にNon-Responders を Responders に近付ける事前介入を行うことにより、ロボットリハビリテーションの効果を最大化できる可能性がある。

本研究では、「足関節ロボットの治療効果を 最大限引き出すためにはアシストだけでなく患 者の準備状態を最適化する必要がある」という アイディアに基づき、足関節ロボット治療にお ける Responders と Non-Responders の歩行の 特徴を人工知能も用いて解明し、ロボット治療 効果を最大化するための事前介入法を構築する ことにより人間と機械の調和を目指すこを目的 としている。

#### 「研究の内容. 成果]

第一研究:足関節ロボット治療における Responders と Non-Responders における歩行特徴の違いを同定

#### 1. 研究目的

足関節ロボット治療の Responders と Non-Responders における歩行の特徴の違いを教師なし学習によるクラスタリング手法を用いて同定すること。

#### 2. 研究対象者

医師により脳卒中片麻痺と診断された23名 (平均年齢59.7歳)を対象とした。除外基準は、 脳卒中以外に歩行に障害を来すと考えられる疾 患を合併している者や裸足で歩行困難な者とし た。

#### 3. 研究方法

対象者に対して、床反力内蔵トレッドミル (テック技販社製)上にて、空気圧人工筋肉付

き足関節ロボット (ATR 製) (図1) による足関節底屈アシストを対象者ごとに正規化した100% 歩行周期の40-60% (麻痺側下肢が後ろに引けているタイミング)に3分間加え、アシストなし条件およびアシスト条件における麻痺側推進力を計測した。

対象者の平地歩行の特徴は、肩峰、上前腸骨棘、上後腸骨棘、大転子、大腿骨外側上顆、大腿骨内側上顆、外果、内果、第一中足骨、第五中足骨、踵骨に赤外線マーカーを対象者それぞれに貼付し(図 2)、3 次元動作解析装置(アニマ社製)および床反力計(アニマ社製)(図 3)を用いて、平地歩行における関節角度などの運動学的指標および関節モーメントなどの運動力学的指標をそれぞれ算出した。

算出された歩行データの内, 麻痺側推進力と 関連すると臨床上予想される歩行指標として, 歩行中に麻痺側の爪先が離れるタイミング (TO) における股関節伸展角度および膝関節 屈曲角度, 足関節底屈角度を算出した。さらに 麻痺側足関節底屈モーメントを加えた4項目を





図1 足関節ロボットによる歩行練習場面





図2 赤外線マーカー貼付位置

それぞれ抽出した。

データ解析では、対象者においてそれぞれ抽出された歩行指標 4 項目を用いて K-means clustering を実装した。最適なクラスター数は先行研究を参考にシルエット法にて決定した。

統計解析では、両クラスター内における足関節アシストによる麻痺側推進力の変化をWilcoxon 符号付順位検定を用いて検討した。加えて、両クラスター間における、足関節アシストによる麻痺側推進力の変化量およびアシストなし条件における麻痺側推進力、抽出された歩行指標4項目と先行研究において麻痺側推進力と関連すると報告されている Trailing limb angle (TLA) (麻痺側下肢伸展角度) (図 4) との差を Mann-Whitney U 検定を用いて分析した。また各クラスター内において麻痺側推進力の変化量と歩行指標4項目および TLA との関連を Spearman 順位相関係数にて分析した。統計学的有意水準は5%未満とした。







図3 3次元動作解析



図 4 Trailing limb angle

#### 4. 研究結果

K-means クラスタリングにより対象者は Cluster A (10 例) と Cluster B (13 例) の 2 群 に類型化された。

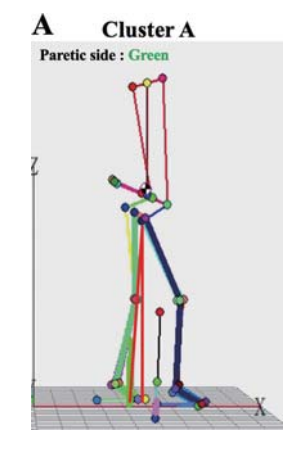
Cluster A および Cluster B における足関節 アシストによる麻痺側推進力の変化を表 1 に示 す。Cluster A では足関節アシストにより有意 に麻痺側推進力の向上を認めたが、Cluster B では足関節アシストによる麻痺側推進力の有意 な変化は認められなかった。

クラスター間における解析結果を表2に示す。 Cluster B は Cluster A と比べて平地歩行時に おける TO 時の膝関節屈曲角度および足関節 底屈モーメントと TLA が有意に大きかった。 足関節アシストによる麻痺側推進力の変化量お よび足関節アシストなし条件における麻痺側推 進力, TO 時の股関節伸展,足関節底屈角度に 群間差は認められなかった。Cluster A および Cluster B の代表的な患者の平地歩行を図5に 示す。Cluster B の患者では Cluster A の患者 と比べて麻痺側下肢伸展角度が大きい特徴があ

表1 各クラスターにおける麻痺側推進力の変化

Cluster A (N=10)	足関節 アシストなし <sup>1)</sup>	足関節 アシスト <sup>1)</sup>	P値 <sup>2)</sup>
麻痺側推進力 (N/BW)	0.54 [0.45, 0.88]	0.75 [0.61, 0.99]	0.027
Cluster B (N=13)			
麻痺側推進力 (N/BW)	0.74 [0.51, 1.20]	0.78 [0.57, 1.34]	0.146

- 1) 中央値 [四分位範囲]
- 2) Wilcoxon 符号付順位検定



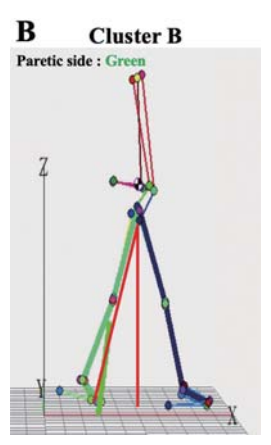


図5 各クラスターにおける歩行の特徴

ることが分かる。

各クラスター内における足関節アシストによる麻痺側推進力の変化量と平地歩行指標との関連性を表3に示す。Cluster A では足関節アシストによる麻痺側推進力の変化量と TO 時の股関節伸展角度および TLA との間に有意な正

表3 クラスターにおける麻痺側推進力の変化量と 関連する歩行指標

Cluster A (N=10)	麻痺側推進力の変化量1)	Ρ値
TO 股関節伸展角度	0.661	0.038
TO 膝関節屈曲角度	-0.042	0.907
TO 足関節底屈角度	-0.333	0.347
足関節底屈モーメント	0.515	0.128
TLA	0.685	0.029
Cluster B (N=13)	麻痺側推進力の変化量1)	P値
Cluster B (N=13) TO 股関節伸展角度	麻痺側推進力の変化量 <sup>1)</sup> 0.264	P値 0.383
	.,,,,,,,,,,,,,,,,,,,,,,,,,,,,,,,,,,,,,,	
TO 股関節伸展角度	0.264	0.383
TO 股関節伸展角度 TO 膝関節屈曲角度	0.264 0.314	0.383 0.297
TO 股関節伸展角度 TO 膝関節屈曲角度 TO 足関節底屈角度	0.264 0.314 0.501	0.383 0.297 0.081

<sup>1)</sup> Spearman 順位相関係数 (ρ)

表2 クラスターにおける歩行特徴の違い

	Cluster A (N=10) 1)	Cluster B (N=13) 1)	P 値 <sup>2)</sup>
アシストによる 麻痺側推進力変化量 (N/BW)	0.11 [0.07, 0.24]	0.06 [0.01, 0.14]	0.182
アシストなし条件の 麻痺側推進力(N/BW)	0.54 [0.45, 0.88]	0.74 [0.51, 1.20]	0.277
TO 股関節伸展角度(degree)	-6.18 [-11.99, -4.10]	-8.83 [-12.00, -4.16]	0.828
TO 膝関節屈曲角度(degree)	23.70 [15.33, 26.93]	47.37 [40.69, 49.34]	< 0.001
TO 足関節底屈角度(degree)	1.22 [0.20, 9.14]	3.71 [-5.97, 12.47]	0.925
足関節底屈モーメント (Nm/HT*BW)	5.15 [4.17, 5.77]	6.29 [6.09, 6.82]	0.003
TLA (degree)	12.61 [8.10, 16.19]	19.71 [12.78, 22.11]	0.007

<sup>1)</sup> 中央値 [四分位範囲]

<sup>2)</sup> Mann-Whitney U 検定

の相関関係を認めた。一方 Cluster B では、足 関節底屈モーメントのみ麻痺側推進力の変化量 との間に有意な正の相関関係を認めた。

#### 5. 考察

足関節アシストによる麻痺側推進力の変化量は、両クラスターで群間差は認めなかったが、Cluster A では足関節アシストにより有意に麻痺側推進力が増加した。一方で、Cluster B では麻痺側推進力に有意な変化は認められなかった。先行研究では、麻痺側推進力の変化における最小可検変化量(MDC)は、0.078 N/BWであると報告されている(Kesar et al, 2011)。Cluster A および Cluster B における足関節アシストによる麻痺側推進力の変化量の中央値は、それぞれ 0.11 N/BW、0.06 N/BW であり、Cluster A のみ MDC を超える変化を認めたことも考慮すると Cluster A の患者群が Responders、Cluster B の患者群が Non-Respondersである可能性が考えられた。

クラスター間の特徴に関する分析では. Non-Responders である Cluster B が Responders である Cluster A よりも平地歩行時におけ るTO時の膝関節屈曲角度および足関節底屈 モーメント、TLA が有意に大きい特徴を示し た。片麻痺歩行における麻痺側 TLA の拡大お よび足関節底屈モーメントの増加は、麻痺側推 進力の改善に貢献する要因であることが報告さ れており (Hsiao et al, 2015), 我々の仮説では, 平地歩行において TLA や足関節底屈モーメン トが大きい患者群ほど足関節アシストが伝達さ れやすいと予想されるため、Responders にな りやすいと考えていた。しかし、Responders の患者において Non-Responders の患者よりも TLA および足関節底屈モーメントが小さいこ とは我々の仮説に反する結果となった。加えて. 我々は Responders の特徴に近付ける事前介入 が足関節ロボット治療効果を最大化する上で重 要であると考えていたが、平地歩行において 推進力が伝達されやすい特徴を持つ Non-Responders を推進力が比較的伝達されにくい

特徴を持つ Responders に近付ける介入は臨床 上現実的ではないと考えた。本研究の各クラス ター内における麻痺側推進力の変化量と関連す る平地歩行指標における解析では、Responders である Cluster A では麻痺側の爪先が離れ るタイミングの股関節伸展角度と TLA が有意 な正の相関関係を、Non-responders である Cluster B では足関節底屈モーメントが有意な 正の相関関係を認めたことから、それぞれのク ラスターにおいて足関節ロボット治療の麻痺側 推進力の増加に寄与する平地歩行の指標は異な る可能性が考えられる。すなわち、足関節アシ ストの効果を最大限高めるためには、単に Non-Responder を Responders に近付ける介入 ではなく、Responders と Non-responders の それぞれに応じた事前介入が重要である可能性 が本研究の結果から新たに示唆された。

本研究の結果より、足関節ロボット治療を最大化させるためには、Responders には歩行時の麻痺側下肢伸展角度を拡大する事前介入が効果的であり、Non-Responders には麻痺側足関節底屈モーメントを増加させ、蹴り出しを改善する事前介入が有効である可能性が推察された。

第二研究:Responders および Non-Responders に対する事前介入が足関節ロボット治療に与える効果

#### 1. 研究目的

第一研究にて Responders 群および Non-Responder 群と同定された対象者それぞれに応じた事前介入が足関節ロボットの効果に与える影響を検証すること。

#### 2. 研究対象者

第一研究にて、Responders である Cluster A と判断された 50 歳代の右片麻痺男性(第一研究における麻痺側推進力の変化:0.094 N/BW)と Non-Responders である Cluster B と判断された 40 歳代の右片麻痺男性(第一研究における麻痺側推進力の変化:0.011 N/BW)とした。

#### 3. 研究方法

足関節ロボット治療前の事前介入として. Cluster A の対象者には、高速度でのトレッド ミル歩行練習(図6)により歩行中の麻痺側 TLA を増加させる治療介入を1度行った後. 再度足関節ロボットによるアシストが麻痺側推 進力に与える影響を検討した。Cluster B の対 象者には、麻痺側下肢片脚立位での踵挙げや歩 行中の蹴り出しを意識させ麻痺側足関節底屈 モーメントの向上を目指した歩行練習を週1-2 回の頻度で1ヶ月間行った後、足関節ロボット 治療による効果を再検討した。事前介入による 各歩行指標の変化は、Cluster A の対象者では、 マーカーレス動作分析装置(アニマ社製)を用 いて事前介入前後におけるトレッドミル歩行中 の麻痺側 TLA の変化を評価した。加えて、 Cluster Bの対象者では、第一研究と同様に3 次元動作解析装置を使用し、事前介入前後の平 地歩行における麻痺側足関節底屈モーメントの 変化を分析した。

足関節ロボット治療における計測項目は,第一研究と同様に,歩行中の麻痺側下肢に足関節底屈アシストを 40-60% 歩行周期のタイミングに加え,アシストなし条件および足関節アシスト条件における麻痺側推進力を対象者ごとにそれぞれ算出した。

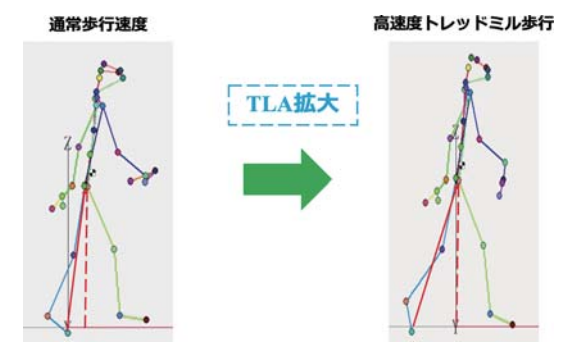


図 6 高速度トレッドミル歩行における麻痺側 TLA の変化

#### 4. 研究結果

Cluster A の対象者

1回の事前介入により対象者の麻痺側 TLA

は 23.0° から 24.2° まで拡大を認めた (図 7)。 また足関節アシストにより麻痺側推進力は, 1.183 N/BW から 1.354 N/BW に増加した (表 4)。

Cluster B の対象者では、1ヶ月間の事前介入により、歩行中の麻痺側足関節底屈モーメントは、5.52 Nm/HT\*BW から 6.13 Nm/HT\*BW まで増加し(図 8)、足関節アシストにより麻痺側推進力は、0.510 N/BW から 0.638 N/BW に改善を認めた(表 4)。

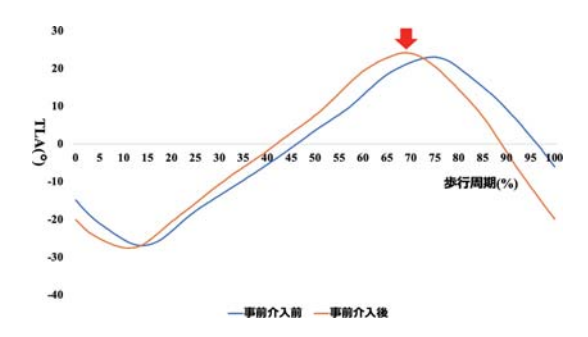


図 7 Cluster A の対象者における事前介入による TLA の 変化

表4 各対象者における足関節ロボット治療後の麻痺側 推進力の変化

Cluster A の対象者	足関節 アシストなし	足関節 アシスト	変化量
麻痺側推進力 (N/BW)	1.183	1.354	0.171
Cluster B の対象者	足関節 アシストなし	足関節 アシスト	変化量
麻痺側推進力 (N/BW)	0.510	0.638	0.128

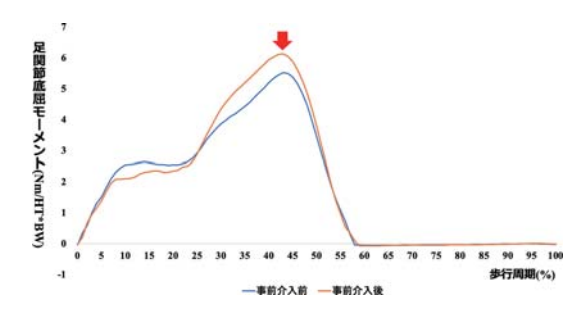


図8 Cluster B の対象者における事前介入による 足関節底屈モーメントの変化

#### 5. 考察

Responders である Cluster A の対象者および Non-Responders である Cluster B の対象者 に対して、それぞれのクラスターの特徴に応じた事前介入を行うことにより足関節アシスト

の効果を更に高めれる可能性があることが本 研究から示唆された。Cluster A の対象者およ び Cluster B の対象者に対する事前介入後の足 関節アシストによる麻痺側推進力の変化は、い ずれも第一研究における麻痺側推進力の変化 よりも大きな向上を示し、MDC である 0.078 N/BW を超える変化を両者共に認めているこ とから、各クラスターの特徴に応じた事前介入 は足関節ロボット治療において重要である可能 性が示唆される。加えて、特に第一研究におい て, Non-Responders であった Cluster B の対 象者が事前介入後のロボット治療では、MDC を越える麻痺側推進力の向上を示したことから. 患者の特徴に応じた足関節アシスト歩行練習前 の事前介入は、Non-Responders の患者を Responders に変化させる可能性があることも推 察された。

麻痺側推進力は、TLAおよび足関節底屈 モーメントで構成され (Hsiao et al, 2015), 脳 卒中患者においてはその貢献率は、TLA が足 関節底屈モーメントの約4倍であることが報告 されている。従って、脳卒中片麻痺患者におけ る麻痺側推進力の伝達には、歩行中の TLA の 拡大を目指すことが重要となる。一方で、歩行 速度の向上に伴う足関節底屈パワーの貢献度は、 歩行機能が高い患者群でのみ高く, 歩行機能が 低い患者群では貢献しないことも報告されてい る(Jonkers et al)。これらから、片麻痺患者 における麻痺側推進力の向上に伴う歩行機能改 善には、歩行機能が低い患者では、TLAの拡 大に着目し、歩行機能の高い患者では、TLA のみならず足関節底屈モーメントの改善を目指 した介入も重要であることが示唆される。本研 究において、Responders である Cluster A の 患者群は、Non-Responders である Cluster B の患者群よりも歩行機能が低い特徴を持つ。 従って、Cluster A においては、TLA の拡大を 目的とした事前介入により足関節アシストが推 進力として伝達されやすかったと考えられる。 一方. 歩行機能が比較的高い Cluster B では.

TLA ではなく、足関節底屈モーメントを高める事前介入が麻痺側推進力の改善に効果的であったと推察された。

本研究の結果から、足関節ロボット治療における Responders および Non-Responders の特徴に応じた事前介入によりその後の足関節アシストの効果をより高められる可能性が明らかになった。これらから、足関節アシスト歩行練習では、ロボット治療前の歩行状態を事前に調整することにより、Responders ではより治療効果を高めることができ、Non-Responders では、Responders に変化できる可能性が示唆された。

#### 6. 今後の展望

本研究では、「足関節ロボットの治療効果を最大限引き出すためにはアシストだけでなく患者の準備状態を最適化する必要がある」というアイディアに基づき、第一研究および第二研究を行った。第一研究では、足関節ロボット治療の効果を最大限高めるためには、単にNon-Responders を Responders に近付ける介入ではなく、Responders および Non-Responders のそれぞれの特徴に応じた事前介入が重要であることが示された。また、第二研究では、実際に、Responders および Non-Responders に対する事前介入により足関節アシストの効果をさらに高められる可能性が示唆された。

今後は、さらに被験者数を増やし、Responder および Non-Responders に対する事前介入が足関節ロボット治療に与える効果を検証し、体系的な足関節ロボット治療アルゴリズムの構築を行っていく必要がある。

#### [成果の発表, 論文など]

桑原嵩幸,森公彦,久保鳴峰,間野直人,中條雄太, 野田智之,長谷公隆:片麻痺歩行の麻痺側推進力を 増加させる高速度トレッドミルと併用した足関節ア シスト歩行練習の効果,第59回リハビリテーショ ン医学会学術集会,2022年6月22-25日,横浜

桑原嵩幸,森公彦,久保鳴峰,間野直人,中條雄太, 寺前達也,野田智之,長谷公隆:足関節ロボット歩 行練習において麻痺側推進力を増加させる底屈アシ

ストタイミングの検討, 第 20 回日本神経理学療法 学会学術大会, 2022 年 10 月 15-16 日, 大阪

Takayuki Kuwabara, Kimihiko Mori, Takanari Kubo, Naoto Mano, Yuta Chujo, Tatsuya Teramae, Tomoyuki Noda, Kimitaka Hase: Gait characteristics of patients with increased paretic propulsion during ankle-assisted gait training-Analysis using machine learning-, 第 20 回日本神経理学療法学会学術大会, 2022 年 10 月 15-16 日,大阪

桑原嵩幸, 森公彦, 久保鳴峰, 間野直人, 中條雄太,

脇田正徳, 寺前達也, 野田智之, 長谷公隆: 足関節 ロボット歩行練習において麻痺側床反力の特徴を用 いた底屈アシストタイミングの検討, 第48回日本 運動療法学会学術集会, 2023年6月17日, 大阪

桑原嵩幸,森公彦,久保鳴峰,間野直人,中條雄太, 寺前達也,野田智之,長谷公隆:片麻痺歩行の立脚 期後半における制動力が足関節ロボット底屈アシス トのタイミング設定に及ぼす影響,第60回日本リ ハビリテーション医学会学術集会,2023年6月29-7月2日,福岡

# eスポーツ熟練者の情報処理能力を司る神経機構の解明と トレーニング法の開発

#### 2237004



研究代表者 (助成金受領者) 共同研究者

東京大学 大学院総合文化研究科 博士後期課程

鄭 仁 赫

東京大学 大学院総合文化研究科 教 授

中澤公孝

#### [研究の目的]

eスポーツは「電子機器を用いて対戦する新しいスポーツ」と定義される(日本eスポーツ連合,2018)。eスポーツ産業はパソコン普及率の向上と共に年々発展してきた。この産業規模の拡大により、認知的なスキルを競うeスポーツプレイヤーは認知アスリートとして注目されている。そのため、スポーツ科学の観点からその特徴を調べる研究が進んでいる。

特に、長年eスポーツをプレイすることは人間の注意力や問題解決能力を向上させることで知られている(Thillier et al., 2023)。また、e スポーツ熟練者は優れた状況把握能力やプレッシャーを感じる環境下でも高い競技力を発揮できる(Sharpe et al., 2024)。これらの先行研究の結果から、eスポーツ熟練者は優れた認知機能(主に注意力や問題解決能力)をもっていることに加え、優れた競技力を有するアスリートであると言える。

しかし、従来の先行研究には3つの主な疑問点が存在する。疑問点その1)eスポーツ熟練者の優れた認知スキルの中で一つである「情報処理能力」を司る神経機構は未だに不明である。疑問点その2)従来の研究では、単純課題のみを用いてeスポーツ熟練者の能力を検証していたため、単純課題で観察されたeスポーツ熟練者の特徴が実際のeスポーツプレイ中にも観察されるかについては検証の余地が残る。疑問点その3)eスポーツ熟練者が優れた情報処理能

力を持っているとすれば、それらに関連する能力を高めることで eスポーツプレイヤーの競技力を向上させることができるか。

以上の3つの疑問点を解決するため、本助成研究では、実際のeスポーツ環境下で熟練者の情報処理能力を司る神経機構を解明し、それらの能力に基づいたトレーニング方法を開発することを研究目的とした。これらの研究を通じて、eスポーツアスリートの競技力を向上させることができ、人間(eスポーツアスリート)と機械(eスポーツ)の調和を最大に引き出すことができる。

#### [研究の内容. 成果]

本助成研究の目的を達成するため、計4つの 研究を実施した。

# 研究 1 eスポーツ熟練者特有の視覚情報処理 能力 (Jeong et al., 2024; *PLOS ONE*)

研究1では、Pupil-Labs 社の視線測定装置を用いて、League of Legends (LoL) 熟練者と初心者が実際のLoLをプレイする際の視線の動きを調べた。

11 名の LoL 熟練者と 9 名の LoL 初心者に協力してもらい,練習ゲーム中の視線のばらつきと固視時間を測定した。また,敵を倒した数を用いて行動指標を評価した。その結果,LoL の熟練者は初心者より有意に多くの敵を倒すことに成功した(p<.001)。この結果は,LoL 熟

練者の方が初心者より高い競技力を持っていたこと加え、適切に熟練者と初心者を分けることができたことを示唆する。また、視線データにおいて、LoL の熟練者は練習ゲーム中に初心者より視線の横縦方向のばらつきが有意に大きく (p<.05)、固視時間が短かった (p<.01)。

eスポーツにおける大きい視線のばらつきと 短い固視時間は優れた視覚情報処理能力を示す 指標として用いられている(Jeong et al., 2022)。 そのため、研究 1 の結果から、LoL 熟練者は 初心者より、画面上の広い領域から様々な視覚 情報を素早く処理していることがわかった。ま た、eスポーツ熟練者が持つ特有の視覚情報処 理能力が優れた競技力の根源であることが示 された(図 1)。研究 1 の結果は国際誌である  $PLOS\ ONE\ に受理された。$ 

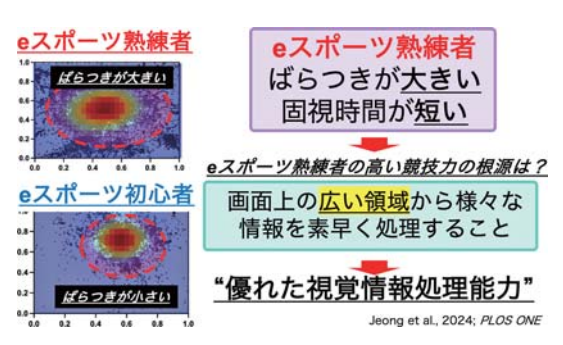


図1 実験1の結果の概要

# 研究 2 eスポーツ内での状況別の視線制御能力(Jeong et al., 2024; *GamiFIN*)

研究1を通じて、eスポーツ熟練者は優れた 視覚情報処理能力を持っていることがわかった。 しかし、eスポーツ内での状況は様々であり、 状況別に求められる視線制御能力が異なるのか について調べていなかった。また、状況別に求 めれれる視線制御能力を明らかにすることで、 eスポーツ内での状況に応じたトレーニング方 法を開発できると考えた。そこで、研究2では、 LoL 内での試合状況を5つのカテゴリーに分 類し、視線制御能力を状況別に比較した。試合 状況は以下の4つの状況に分類した。

状況1) キャラクターを移動させるシーン

状況 2) 敵と対戦を行うシーン

<u>状況 3)</u> AI によって操作されるものと対戦 するシーン

状況 4) 相手のプレイを観察するシーン

また、LoL プレイ時の視線のばらつき、関心領域と固視時間を試合状況別に測定した。

その結果, LoL 熟練者は中級者と比べて, プ レイ状況に関わらず視線分布が大きく(p< .01), 固視時間が短かった (p<.01)。また, 熟練度と中級者ともに、1つの情報に集中する 場面(状況2)より、全体の流れを掴む場面 (状況1と4)において、視線の分布が広かっ た (p < .001)。これらの結果から、広い視線分 布でeスポーツプレイ中の全体の流れに注目す ることが、eスポーツにおける高い競技力の源 泉となることが示された。また、複数の情報に 同時に集中する必要がある場面では、熟練度に 関わらず、他の場面よりも広い視線分布が観察 されたことから、状況別に求められる視線制御 能力が異なることが示された。これらの結果か ら、eスポーツプレイヤーのためのトレーニン グ方法を開発する際には、eスポーツ内での シーンの特性を反映させる必要があると結論 づけた(図2)。研究2の結果は国際誌である GamiFINに受理された。

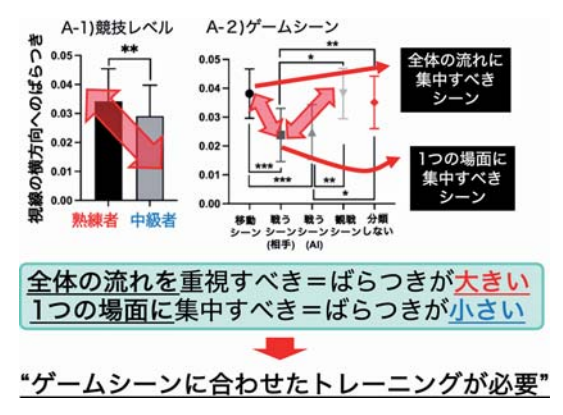


図2 実験2の結果の概要

# 研究 3 eスポーツ熟練者特有の神経機構について (Jeong et al., 2024; Neuroscience Letters)

研究3では、160ch 脳波計を用いてeスポーツ種目の中で一つである一人称シューティングゲーム (FPS) のプレイヤーの脳活動を実際のeスポーツに類似した環境下で調べた。9名のFPS ゲーム熟練者と8名の中級者を対象とし、eスポーツプレイ中における大脳皮質の活動を計測した。また、計測された皮質活動からパワースペクトル密度 (PSD) を算出し、行動指標である反応時間と正確性との関連性を調べた。

研究3の結果、FPS ゲームの熟練者は中級者と比べて、課題中の前頭葉における delta(1-4 Hz)と theta(4-8 Hz)の PSD が有意に低かった(p<.05)。また、課題中の正確性が高いほど、delta と theta の PSD が低かった(Kendal's Tau: -0.33、p<.05)。前頭葉の低い delta と theta の PSD は優れた持続的注意を反映しているため(Palaus et al., 2017; He et al., 2021),研究3の結果は、高い持続的注意は FPS ゲーム 熟練者の特徴であり、優れた競技力の根源であることが示された。

また、側頭葉の delta 波において、FPS ゲームの熟練者の方が中級者より有意に PSD が低かった(p<.001)。低い側頭葉の delta 波のパワーは高いターゲット探知能力を示していることから(Bledowski et al., 2004)、FPS ゲームの熟練者は高いターゲット探知能力を持っていることがわかった。

これらの研究結果から、注意力やターゲット 探知能力を向上させるトレーニングがeスポー ツプレイヤーの競技力の向上に貢献できる可能 性が示された(図 3)。また、研究 3 の結果を 国際誌である Neuroscience Letters に投稿し、 受理された。

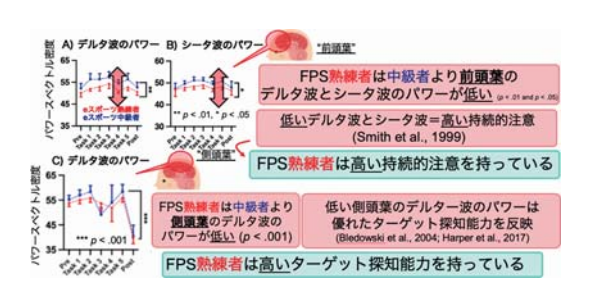


図3 研究3の結果の概要

# 研究 4 eスポーツプレイヤーに特化したトレーニング方法の開発 (Jeong et al., 2024; Computers in Human Behavior 誌での査読中)

研究 1-3 を通じて、eスポーツ熟練者は優れ た視覚情報処理能力と注意力を持っていること が明らかになった。そこで、視覚情報処理能力 と注意力を向上させるトレーニングを通じて, eスポーツプレイヤーの競技力(主に反応速度 や正確性)を向上させることができると考えた。 そこで、研究4では注意力(実験1)と視線 制御能力(実験2)を強化するトレーニングを 実施し、そのトレーニングが eスポーツプレイ ヤーの競技力向上に寄与するかを検証した。実 験1の注意力トレーニングでは、トレーニング 群は3ch 脳波計を着用し、頭頂葉の活動に合 わせた音フィードバックを受けた。注意力に関 連する皮質活動が高いほど、低い周波数帯の音 を提示した。実験参加者はランダムに振り分け られた10名のトレーニング群と11名のシャム 群の参加者(計21名)に協力してもらった。 実験1のシャム群には、皮質活動および視線の 位置とは関係のない偽のフィードバックを提示 した (図4の上段)。

実験2の周辺視トレーニングでは、トレーニング群には視線の位置が画面の中心から離れた際に警告音を提示し、周辺視で物を見る能力の向上を図った。また、実験2では、11名のトレーニング群と10名のシャム群の参加者に参加してもらった。実験2のシャム群にはフィードバックを提示しなかった(図4の下段)。

研究4-実験1 脳波の生波形から "アルファ波 (8-12Hz)" と "シータ波 (4-8Hz)" のパワーを分析

研究4-実験2



図4 研究4の実験様子

両実験の結果、トレーニング群はシャム群より反応時間が有意に短くなった(注意力トレーニング:Mdn=-27 ms、範囲:-73.3 ms~+19.3 ms, p<.05;周辺視トレーニング:Mdn=-49 ms、範囲:-155.4 ms~-19.2, p<.01)。シャム群の反応時間は有意に変化しなかった(全てp>.05)。この結果は、科学的根拠に基づいたトレーニングが eスポーツプレイヤーの競技力を向上させる可能性を示した(図 5)。

また、研究 4 の結果を論文としてまとめ、人間-コンピュータ相互作用(HCI)分野におけるトップレベルの国際誌である Computers in Human Behavior に投稿中である。

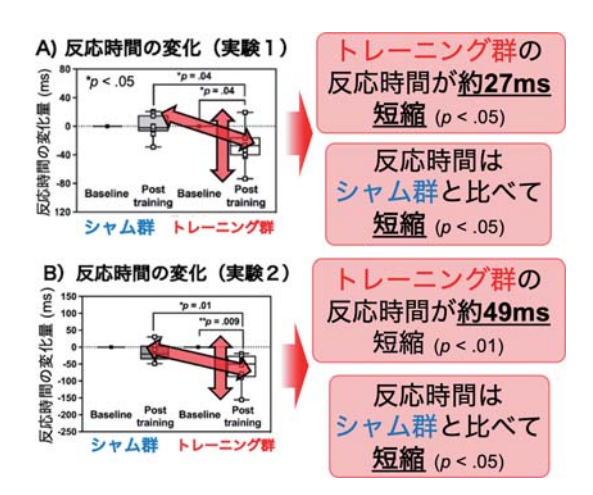


図5 研究4の結果のまとめ

#### まとめ・総合議論

研究 1-3 を通じて、eスポーツ熟練者の優れ た競技力を裏付ける特有の情報処理能力を観察 できた。これらの特徴はeスポーツ内での競技 力と有意な相関を示したことから、高い視覚情 報処理能力と注意力が eスポーツにおける高い 競技力を発揮するための鍵であると結論づけた。 研究4では、視線制御能力と注意力を向上させ るためのトレーニングを開発し、その効果検証 を実施した。その結果, eスポーツ内での正確 性を落とすことなく、反応時間を短縮させるこ とができた。これらの研究成果を通じて、人間 (eスポーツプレイヤー) と機械 (eスポーツ) の調和を一層深めることができた。これらの研 究成果は研究代表者が博士後期課程在学中に達 成できた成果であり、大学からの高い評価を受 け、首席に相当する一高記念賞の受賞に繋がっ た。また、本申請研究を通じて得られた知見は、 今後 eスポーツ現場でのトレーニングや一般の 認知症予防に応用できる可能性を有しており. 幅広い分野への波及効果が期待される。

#### [成果の発表, 論文など]

#### 原著論文

- 1. **Jeong I**, Kudo K, Kaneko N, Nakazawa K (2024) Esports experts have a wide gaze distribution and short gaze fixation duration: A focus on League of Legends players. *PLoS One* 19(1): e0288770. https://doi.org/10.1371/journal.pone.0288770 (査 読あり)
- 2. Jeong I, Kaneko N, Takahashi R, Nakazawa K (2024) High-skilled first-person shooting game players have specific frontal lobe activity: Power spectrum analysis in an electroencephalogram study. Neuroscience Letters. Vol 825: 137685. https://doi.org/https://doi.org/10.1016/j.neulet.20 24.137685 (査読あり)
- 3. <u>Jeong I</u>, Kim D, Kaneko N, Nakazawa K (2024) Gaze control ability of League of Legends players in various game situations: perspectives from soloranked match. *GamiFIN*. Page 1-9. https://ceurws.org/Vol-3669/paper1.pdf (査読あり)

#### 国際学会での発表

4. Jeong I., Kaneko N., Kim D., Takahashi R., Iwama

- S., Dohata M., Ushiba J., Nakazawa., K. "Does biofeedback training improve the performance of
  - esports players?; Development of training methods based on gaze movements and cortical theta-alpha activity" *Esports Research Network Conference* (*ERNC 2024*), London, UK, November 2024 (採択済み、ポスター発表)
- 5. <u>Jeong I</u>, "Revealing the superior behavioral and neurological characteristics of high-skilled esports players and develop the training method for them" 8<sup>th</sup> Annual International GamiFIN Conference 2024, Ruka, Finland, April 2024 (口頭発表)
- 6. <u>Jeong I.</u> Kim D, Kaneko N, Nakazawa K, "Gaze control ability of League of Legends players in various game situations: perspectives from soloranked match" 8<sup>th</sup> Annual International GamiFIN Conference 2024, Ruka, Finland, April 2024 (口頭発表)
- 7. <u>Jeong I</u>, Kaneko N, Nakazawa K, "Proposal for a new training method in esports using EEG feedback" *The 53<sup>rd</sup> NIPS International Symposium*, Okazaki, Japan, February 2024(ポスター発表) 国内学会で・セミナーでの発表
- 8. Jeong Inhyeok, 『eスポーツ選手のパフォーマン

- ス向上を目指したトレーニング方法の開発』、「第36回愛知・名古屋 eスポーツ研究会(一般社団法人 愛知 eスポーツ連合主催)」、名古屋、2024年9月(口頭発表、招待あり)
- 9. **鄭仁赫**, 金子直嗣, Kim Donghyun, 高橋涼吾, 岩間清太朗, 堂畑茉由, 牛場潤一, 中澤公孝, 「バイオフィードバックトレーニングは esports 選手のパフォーマンスを向上させるか? ~視線制御と大脳皮質の活動に着目したトレーニング法の開発~」, 『第 18 回 Motor Control 研究会』, 大阪, 2024 年 8 月 (ポスター発表)
- 10. <u>鄭仁赫</u>, 高橋涼吾, 金子直嗣, 堂畑茉由, 中澤公孝, 『eスポーツプレイヤーのパフォーマンスと筋活動の相関関係について』, 日本デジタルゲーム学会第14回年次大会, 大阪, 2024年2月(ポスター発表)
- 11. <u>鄭仁赫</u>, 延藤巧真, 金子直嗣, 加藤貴昭, 中澤公孝, 『実際のeスポーツプレイ場面におけるeスポーツ熟練者の視線制御能力について』, 2023 年度 運動神経科学研究会, 長野, 2023 年8月(口頭発表)

#### 受賞

12. 令和7年度東京大学一高記念賞(総合文化研究科)

# ポストコロナ時代における商業・公共施設のための 空間管理システムの基盤構築

2227006



研究代表者 北海道大学 大学院情報科学院 博士後期課程 須 崎 太久弥

#### [研究の目的]

本研究の目的は、ポストコロナ時代において施設内の安全を確保しつつ、日常生活や経済活動を円滑に維持・促進するための位置情報を取得する基盤技術を確立することである。新型コロナウイルスの感染拡大は、ショッピングモールなどの人が密集する施設に対し入場制限などの措置を強いることとなり、施設のサービスモデルは大きな転換を迫られた。

感染リスク軽減のため、政府や企業が推進するデジタルトランスフォーメーション (DX)の取り組みにより、施設内サービスの高速化・効率化を目的としてデジタル技術の積極的な活用が求められている。中でも施設内における人の位置情報は、混雑状況の把握、人流解析、購買行動促進などの行動分析に不可欠なデータであり、感染リスクを考慮した空間利用の最適化を図る上でも重要である。

このような位置情報に基づく管理システムを 実現するためには、誤差 10 cm 以下の精度で ありながら、低コストかつ簡便に運用可能な測 位技術が必要となる。そこで本研究では、高精 度が期待できる音響を利用した測位技術の開発 に取り組む。音響測位は、Wi-Fi や Bluetooth などの電波による方法と比較して高精度な測位 が期待できることで知られている。また、施設 に既存のスピーカを送信機として活用し、利用 者が所有するモバイル端末を受信機として活用 することで、追加設備費用が抑えられる点でも 優れている。

一方で、音響測位にはいくつかの技術的課題がある。本研究では特に重要とされる3つの課題に着目し、それぞれの解決手法を提案することで、より頑健な音響測位システムの実現を目指す。

[研究の内容,成果]

#### 研究1:設置スピーカ数の削減

#### ■背景

本研究では、測位に必要なスピーカの数を削減する手法の開発を目的とした。通常、2次元測位には最低3台以上のスピーカからの信号を受信する必要がある。これはスピーカとモバイル端末間で高精度な時刻同期が困難であることに起因するため、時刻同期が不要な到来時刻差(TDoA: Time Difference of Arrival)を利用した測位アルゴリズムが一般的に用いられる。しかし実環境では、障害物などにより常に3台以上のスピーカからの信号を安定して受信できるとは限らないため、より少ないスピーカでの測位が求められている。

#### ■手法

提案手法では、床面からの反射波に着目し、 高精度な時刻同期を実現する方法を提案した。 床からの反射波を鏡像法により仮想スピーカからの直接波としてモデル化することで、幾何学 的に送信時刻を推定することが基本概念となる (図1)。受信機側では、推定された送信時刻か

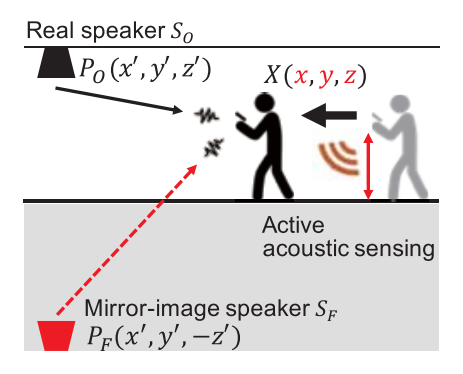


図1 時刻同期手法の概要

ら伝搬時間を求め、音速を乗じることでスピー カまでの距離を推定する。

受信信号はパルス圧縮技術を用いて受信時刻を検出しやすい波形に変換する。この際、床面以外の反射波も含まれるが、階層クラスタリングを用いて分類が可能であることを確認した。また、本手法に必要な床からの高さ情報についても、モバイル端末に搭載されたスピーカとマイクロフォンを利用したアクティブ音響センシングにより、高精度で測距可能であることを示した。

#### ■成果

評価実験の結果,提案手法による時刻同期誤差は平均 0.1072 ms となった。この同期誤差を音速に換算すると距離誤差は約 3.690 cm であり,目標精度の 10 cm 以内を達成できることを確認した。

さらに、本手法をロボットのトラッキング実験に適用した結果(図 2)、測位誤差の 90 パーセンタイル値は 28.8 cm となった。この誤差は系統的な要因による影響が大きく、キャリブレーションなどの最適化により大幅な精度向上が可能であると考える。

#### 研究 2: 測位領域の拡張

#### ■背景

本研究では、モバイル端末の測位可能領域を 拡張するための研究を行った。施設内でのス ピーカとモバイル端末は必ずしも正対している とは限らず、相対的な角度やスピーカおよび受

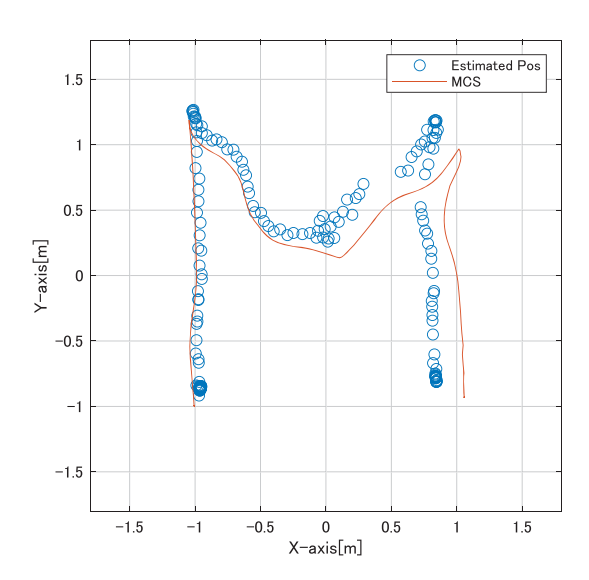


図2 ロボット移動時の軌跡

信機の指向性により受信信号が劣化し、測位精度が著しく低下することがある。そのため、実環境での運用を考慮し、指向性による影響を軽減して、安定して高精度測位が可能な領域を広げる必要がある。

#### ■手法

提案手法では送信方式に工夫を施し、図3に示すように各スピーカの送信帯域を動的に割り当てることで測位範囲を拡張した。本方式は、周波数分割多重(FDM: Frequency Division Multiplexing)と時間分割多重(TDM: Time Division Multiplexing)を組み合わせており、一巡するまでの送信時間をフレームとし、そのフレーム内の各送信タイミングをタイムスロットとしている。各タイムスロットでは帯域干渉

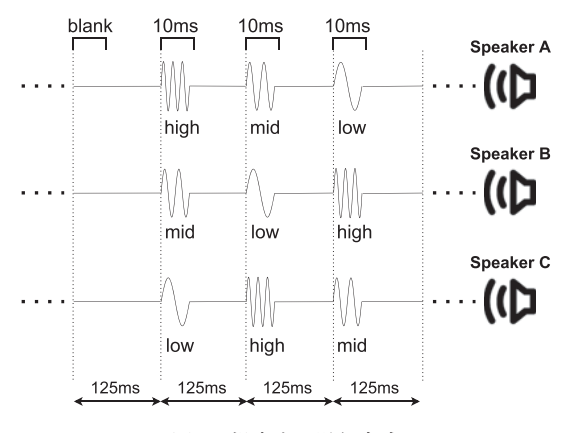


図3 提案する送信方式

を避けるよう設計されているため, 効率的な信号伝送が可能である。

この送信方式の利点として、複数のタイムスロットを使用することで実質的な帯域が広がり、指向性に起因する信号の劣化を抑制できることが挙げられる。また、もともと十分な測位精度が確保されている領域では、単一のタイムスロットのみを使用することも可能であり、運用の柔軟性も高い。

#### ■成果

提案手法の評価実験を行った結果, 誤差 1.0 m 以下の測位が実現する割合は従来手法の78.77% から 100% へと大幅に改善されることを確認した。この結果により, 本手法は音響測位システムの実環境への展開を促進する重要な基盤技術となることが期待される。

#### 研究3:BGM を用いた測位

#### ■背景

本研究では、ショッピングモールなど公共施設のBGMを用いた測位手法の開発を目的とした。一般的に広帯域信号を利用することで高精度な測位が可能となるが、モバイル端末のサンプリング周波数制限により非可聴帯域のみの使用は困難である。可聴域を用いる際には、利用者の不快感を抑える必要があり、BGMのような自然な音楽に信号を埋め込む手法が望まれている。

#### ■手法

提案手法では、人間が知覚しにくい微弱なエコーを BGM に埋め込む音響情報ハイディング技術を採用した(図 4)。具体的には、PN(擬似乱数)系列をエコー拡散法で埋め込み、スピーカの ID 識別に用いる。また、ケプストラム解析を用いて埋め込まれた信号を分離し、これにより複数スピーカの到来時刻差を検出し、TDoA アルゴリズムにより位置推定を行う。

埋め込み信号のカーネル k を以下の式で表す。

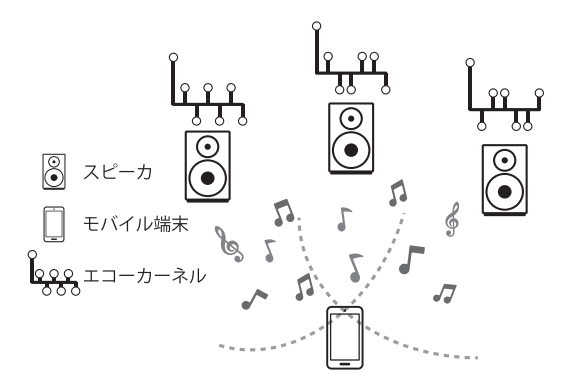


図4 BGM を用いた測位手法の概要

 $k(t) = \delta(t) + \alpha p(t)$ 

ここで $\delta$ はディラックのデルタ、 $\alpha$ は PN の振幅、pは PN 系列である。音質と測位精度はトレードオフ関係にあり、PN 系列が長いほどエコー持続時間が延び、振幅が大きいほどエコーが顕著になる。一方で到来時刻差の検出には PN 系列の検出性能が高いことが重要であり、そのため系列が長く、かつ振幅が大きいほど有利になる。しかし、音質劣化を防ぐためには、適切なバランスでパラメータを調整することが必要である。

#### ■成果

客観的音質評価指標 ViSQOL を用いた評価では、系列長と振幅の調整により音質が許容範囲内であることを確認した(図5)。

測位実験の結果, エコー拡散法を適用した BGM による高精度な測位が可能であることを 示し, 本手法が音響測位技術の新たな可能性を 拓くものであることを確認した(図6)。

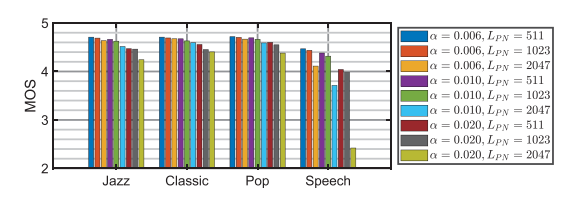
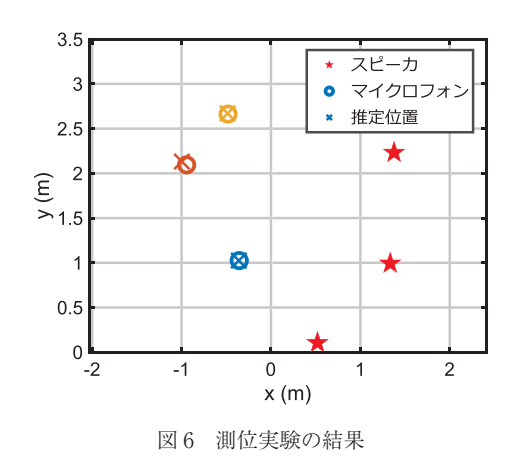


図5 音質の評価実験



#### [まとめ、今後の展望]

研究1では、床面の反射波を利用した高精度な時刻同期手法を開発し、必要なスピーカ数の削減を実現した。研究2では、送信帯域の動的割り当てを通じて測位領域を拡張し、指向性による精度低下を克服した。研究3では、人間が知覚しにくいエコーをBGMに埋め込むことで、可聴帯域を利用した測位手法を提案し、高精度化を達成した。

これらの研究成果は、実際の施設運営において重要な基盤技術になることが期待される。今後の展望としては、提案した音響測位手法をWi-Fi、Bluetooth、UWBなど他の測位技術と統合したハイブリッド測位システムを構築し、各技術の長所を相互補完的に活用することで、より頑健で実用的な測位システムの実現を目指す。

#### [成果の発表, 論文など]

- Suzaki, T., Murakami, H., Nakamura, M., Watanabe, H., Hashizume, H., Sugimoto, M.: PT-Sync: COTS Speaker-based Pseudo Time Synchronization for Acoustic Indoor Positioning, In Proc. of IEEE IPIN 2022, pp. 1-8, 2022.
- 須崎, 中村, 村上, 渡邉, 橋爪, 杉本:音響屋内測位におけるモバイルデバイスのための高精度測位領域の拡張手法, 情報処理学会論文誌, Vol. 64, No. 11, pp. 1525-1536 (2023).
- 一 須崎, 中村, 村上, 橋爪, 杉本: エコー埋め込みを 用いた BGM による屋内測位, 情報処理学会 UBI 研究会, 2024.

## 脳下垂体腺腫の摘出手術のための三次元誘導技術の開発

#### 2227007



研究代表者 (助成金受領者) 共同研究者 埼玉医科大学 大学院医学研究科

博士課程

髙 橋 優 太

埼玉医科大学 保健医療学部 臨床工学科

教 授

若 山 俊 隆

#### [研究の目的]

脳の下面中央に位置する脳下垂体およびその 周辺領域に腫瘍が発生した場合,主な治療法と して経鼻的内視鏡下手術が選択される。これは, 鼻腔からアプローチし,頭蓋底を経由して腫瘍 に到達する低侵襲手術であり,頭部を大きく開 く必要がないという利点を有する。特に下垂体 腺腫をはじめとする頭蓋底腫瘍に対して頻用されており,近年ではその安全性と有効性が広く 認知されつつある。しかしながら,これらの腫瘍は時に周囲の重要構造物,すなわち海綿静脈洞や視神経,内頚動脈などと密接に接して浸潤することが多く,腫瘍の全摘出は容易ではない。 わずかに腫瘍組織が残存した場合でも再発のリスクが高く,手術の成否は腫瘍の完全切除にかかっているといっても過言ではない。

現在,内視鏡技術の進歩に伴い,手術視野の拡大および術中操作の精緻化が進んでいる。特に三次元(3D)内視鏡の導入により,術者は奥行き感を得ながら手術を行うことが可能となった。しかし,現行の3D内視鏡は主にステレオ視方式に依存しており,その空間認識精度には限界がある。特に微細な解剖構造の識別や深部腫瘍へのアプローチにおいては,術者の経験と勘に頼る場面も多く,手術の安全性や正確性の向上にはさらなる技術革新が求められている。

そこで本研究では、同心円縞パターンの制御 技術、内視鏡的三次元形状計測を高精度化する キャリブレーション技術, 三次元内視鏡の誘導システムの開発を目的とする。

#### [研究の内容,成果]

#### 1年目:同心円縞パターンの制御

助成1年目はコロナ禍であり、申請者自身が 臨床工学技士として総合病院で医療に従事しな がらの研究開発であった。

申請者らはこれまでに光ファイバーのスキュー反射によって発生したコーンビームを用いた内視鏡的三次元形状計測手法について研究を進めてきた。しかし、この方法は機械的な走査を必要とするため、高速化に課題があった。そこで光ファイバーへ入射するレーザー光を空間的に制御することで同心円縞パターンを発生し、高速かつ高精度な手術野の三次元形状計測の実現を試みた。

まず光ファイバーを用いた細径の構造光発生装置を構築した。構造光は信号発生器によって周波数と位相を制御できる。構造光を評価するためにスクリーンに投影し CMOS カメラで観察した。このとき位相を 90° ごとに変化させると構造光が変化した。位相の異なる 4 枚の画像を位相シフト法によって解析しアンラッピング処理を施した結果、アンラッピングによって±180°で折りたたまれた位相が滑らかに接続された。今回は平板をサンプルとしたが、試料に段差や凹凸が存在する場合にはその形状の変化から位相分布に変化がみられる。

この結果より同心円縞パターンの制御技術は 確立できたが、この時点では十分な計測精度が 見込めなかった。そこで本技術の基盤となる コーンビーム投影における内視鏡的三次元形状 計測を高精度化するキャリブレーション法を開 発することで、同心円縞パターンによる計測精 度に生かそうと考えた。

本結果については特許化や論文化が完了していないため詳細は省略した。

# 2年目:内視鏡的三次元形状計測を高精度化するキャリブレーション法の開発

申請者らがこれまでに提案しているコーンビーム投影による走査型の三次元内視鏡は,内視鏡内部にあるレンズの収差から計測精度に課題があった。そこで距離 z に対するコーンビームの変化を 3 次関数でフィッティングして関数化し,精度の向上を図った。本キャリブレーションは,申請している三次元誘導技術の精度向上に繋がるものである。

図1に形状計測できる三次元内視鏡の実験装置を示す。三次元内視鏡の先端に搭載された光ファイバーから平板に対してコーンビームが投影される。三次元内視鏡をz方向に走査しながら光セクショニング面を CCD カメラで取得すると,図 2(a) のように距離によって同心円パターンが変化する。本来距離zに対してコーンビームは線形的に変化するはずだが,レンズ系の収差の影響で曲線を描く。試料板の距離zと半径 $\rho$ の関係は,角度 $\theta$ によって図 2(b) のような曲線を描くため,3次関数で近似した。一方,3次関数の係数 $a(\theta)\sim d(\theta)$  は図 2(c) に示すように変化するので、6次関数で近似した。

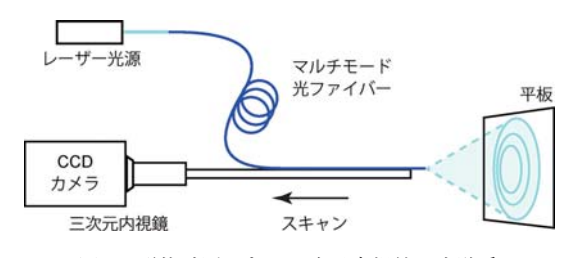


図1 形状計測できる三次元内視鏡の実験系

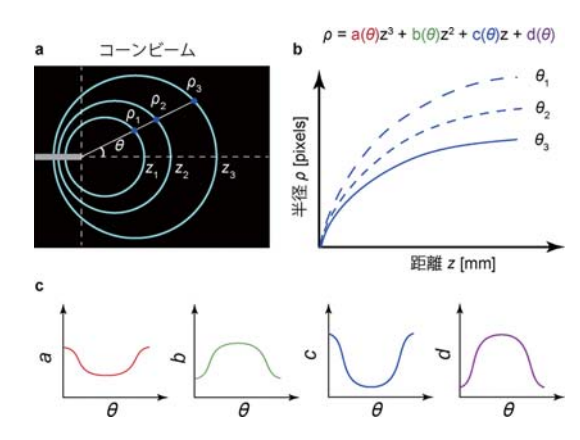


図 2 (a) 平板に投影されたコーンビームの距離 z に対する同心円パターンの変化。(b) 距離 z に対するコーンビームの半径  $\rho$  の変化を三次関数でフィッティングする。(c) 三次関数の係数  $a(\theta) \sim d(\theta)$  は角度  $\theta$  に対してさらに  $\theta$  次関数でフィッティングされる。

これらの関数化によって、撮像した光セクショニング画像から角度  $\theta$  毎に半径  $\rho$  を算出し、解の公式を解くことで距離 z を決定することができる。さらに三次元形状計測の結果に残る設定値とのわずかな差を補正するために、角度  $\theta$  毎に距離 z の設定値に対する実測値の関係も  $\delta$  次関数で近似した。 $\delta$  次関数の係数  $a(\theta) \sim g(\theta)$  のルックアップテーブルを作成して形状計測の数値を補正した。

図3(a) に精度検定のための平板の三次元形 状計測結果を示す。全体的に緑色のマップに なっており、ばらつきが小さいことがわかる。 赤波線で示したエリアはキャリブレーション前 の有効計測範囲であり、キャリブレーションに よって計測範囲が拡大した。また、図3(b) に 距離 z に対する点群のばらつきのヒストグラム を示す。距離 z に対する正確度は 0.02 mm、精

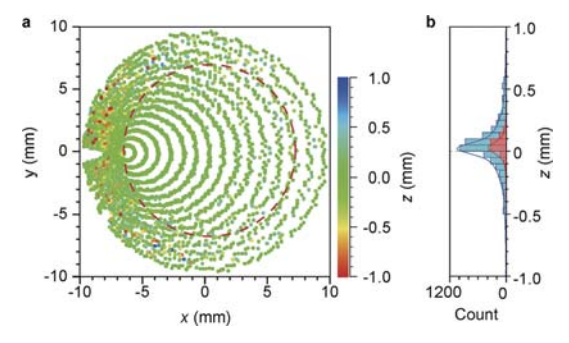


図3 (a) 平板を用いた精度検定の結果。カラーバーは距離 z に対するばらつきを示している。(b) 距離に対するばらつきのヒストグラム。

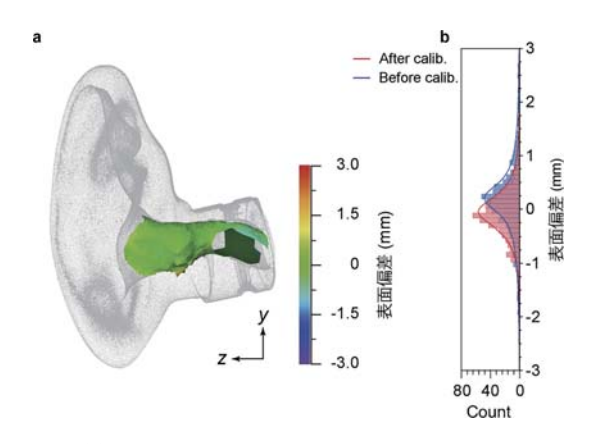


図4 (a) 医療応用としての外耳道の形状計測結果。グレーで示しているのはマイクロフォーカス X線 CT データ。またカラーマップは提案手法での計測結果であり、表面偏差をカラーで示している。(b) 表面偏差のヒストグラム。

度は ±0.06 mm であった。この結果は、申請者らの先行研究と比較して 88% 改善されており、キャリブレーションによる精度の向上が実証された。

次に、臨床応用の一例として外耳道サンプル の形状計測を行い、本手法の妥当性を評価した。 本手法による外耳道の形状計測は、 危険性のあ る印象材を用いたオーダーメイド補聴器の型取 りに代わるものである。図4(a) には申請者ら の外耳道の測定結果を、X線CTで測定した データとマッチングした結果を示す。ここでカ ラーマップは表面偏差を示している。図 4(b) に示す表面偏差のヒストグラムのピークは. キャリブレーション前後でそれぞれ 0.2 mm と  $-0.05 \, \text{mm} \, \tilde{\text{c}}$  obj.  $+ v \, \text{U} \, \tilde{\text{U}} \, \text{U} - \tilde{\text{U}} \, \text{E} \, \text{U}$ て正確度が向上した。さらに、ヒストグラムの 3σにおける精度は、キャリブレーション前後 でそれぞれ  $\pm 1.64 \, \text{mm} \, \text{と} \, \pm 1.17 \, \text{mm} \, \text{であり}$ . キャリブレーションによって精度は28.7%向 上した。

助成2年目には、コーンビーム投影による形状計測が可能な三次元内視鏡のキャリブレーションを実証した。今後、本手法を同心円縞パターンによる三次元内視鏡に適用することで、高速かつ高精度な手術野の三次元形状計測が可能になると考えられる。

本成果については、2023年3月の精密工学

会春季大会にてベストプレゼンテーション賞を 受賞した。また、2024 年 4 月に米国の Applied optics 誌に掲載された。

## 3 年目:三次元内視鏡の誘導システムの開発, および SpO₂マッピングの基礎実験

2年目に開発した内視鏡的三次元形状計測を 高精度化するキャリブレーション法によって. 高精度な三次元形状計測が実証された。この手 法を用いて脳下垂体腺腫の摘出手術のための三 次元誘導技術を構築することを考えると、内視 鏡の三次元姿勢計測が必要不可欠であった。そ のため申請時の予定には含まれていなかったが. 三次元姿勢計測技術の開発に注力した。三次元 姿勢計測を行うために、 ステレオカメラシステ ムを構築した。キャリブレーションボードには ドットパターンを使用し、実空間座標と計測座 標とを変換行列を用いて補正するアルゴリズム を構築した。図 5(a)  $\sim$  (d) には, 距離 z=400, 500, 600, 700 mm にキャリブレーションボード が設置されたときの、計測されたドットパター ンの距離に対する実空間座標からのばらつきを 示す。カラーバーは ±50 mm でばらつきを示 しており、現状では内視鏡を誘導できるだけの 精度は担保できていない。しかしながら、現状

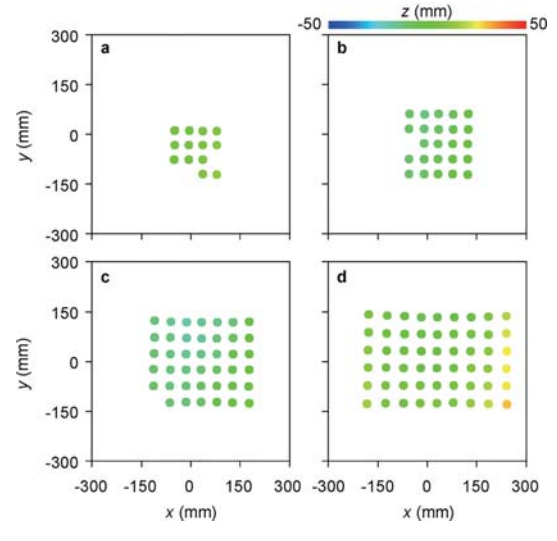


図 5 (a) $\sim$ (d) 距離 z=400, 500, 600, 700 mm のときの, 計測されたドットパターンの距離に対する実空間 座標からのばらつきを示す。

の精度で内視鏡の姿勢誘導のデモンストレーションを試みた。図6にはステレオカメラシステムによって撮影された3点マーカーのステレオペア画像を示す。これらの画像を解析することで、図 $7(a)\sim(d)$ に示すように実空間上でのマーカーの姿勢を取得することができている。今後、高精度に姿勢を推定可能なアルゴリズム



図 6 ステレオカメラシステムによって撮影された マーカーのペア画像

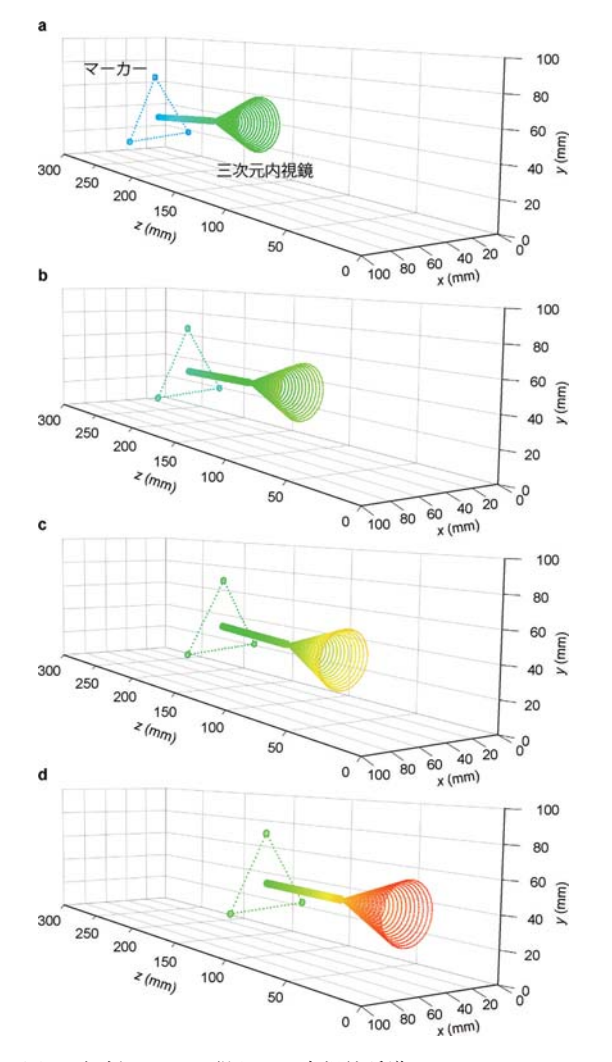


図 7 解析によって得られた内視鏡誘導のデモンストレーション。 (a)  $\sim$  (d) はそれぞれ z=250, 200, 150, 100 mm のときに計測された 3 点マーカーの位置座標。

の開発を目指す。

また、生体組織の  $SpO_2$ マッピングについては、申請当初の予定からは遅れをとっているが異なる 2 波長のレーザー光源を使用することで、同時に 2 色の同心円縞パターンを制御することに成功している。こちらも特許と論文化前のため詳細は省略した。今後、適正な波長のレーザー光源を導入しながら  $SpO_2$ マッピングを達成し、三次元内視鏡による形状計測との同時検出を行なっていく。

#### まとめ・今後の研究の方向

本研究では、鏡視下脳下垂体手術支援を目的 とした三次元誘導技術の実現を目指し、光ファ イバーによる同心円縞パターン制御。キャリブ レーション手法の開発, 三次元誘導システムの 構築を段階的に実施した。特に、内視鏡内部の レンズ収差を補正するキャリブレーション手法 が順調に進行したため注力した結果. 論文化に も成功した。加えて、構築したステレオカメラ システムによる三次元姿勢計測. および2波長 のレーザー光源を使用した2色の同心円縞パ ターンの同時投影も試行した。これらの進行度 合いはまだ途中段階であり、今後、三次元内視 鏡による SpO<sub>2</sub>と形状計測の同時検出を達成し、 同心円縞パターン制御、キャリブレーション手 法、三次元誘導システムと統合することで、脳 下垂体腺腫の摘出手術のための三次元誘導技術 の開発を目指していく。

#### [謝 辞]

研究を遂行する上で埼玉医科大学大学院医学研究科の若山俊隆教授には多大なるご指導・ご鞭撻をいただいたので感謝申し上げます。また、本研究の中でも三次元内視鏡は、埼玉医科大学保健医療学部臨床工学科4年生の中井川剛氏にご協力いただいた。ステレオカメラによる姿勢誘導においては、東京工科大学医療保健学部臨床工学科の由居駿一氏にもご協力をいただいた。本研究は、COVID-19の感染拡大防止の緊急事態宣言下において、総合病院で臨床工学技士として臨床に従事する申請者にとって通常通りの研究時間を確保

することが不可能であったにもかかわらず、共同研究

者の皆様の精力的な協力があって達成された。最後に 本研究を支援してくださった立石科学技術振興財団に は深く感謝いたします。

#### [成果の発表, 論文等]

#### ○論文

[1] Yuta Takahashi, Takeshi Higashiguchi, and Toshitaka Wakayama, "Calibration for endoscopic 3D shape measurement with cone beam projection," Applied Optics 63, 3058–3068 (2024).

#### ○学会発表

- [2] 髙橋優太,中沢優斗,東口武史,若山俊隆,「コーンビーム投影による三次元内視鏡のキャリブレーション」,精密工学会春季大会 (2023年,東京).
- [3] **髙橋優太**, 中沢優斗, 東口武史, 若山俊隆, 「コーンビーム投影による三次元内視鏡」, OPJ2023 (2023 年, 札幌).

#### ○受賞

髙橋優太,中沢優斗,東口武史,若山俊隆,「コーンビーム投影による三次元内視鏡のキャリブレーション」,精密工学会春季大会ベストプレゼンテーション賞(2023年,東京).

## iPS 細胞を用いた糸球体 MPS による高血糖、脂質異常症、 高血圧の相乗効果の評価

#### 2247013



研究代表者 (助成金受領者) 共同研究者

京都大学 大学院工学研究科

大学院生

田 渕 史

理化学研究所

生命機能科学研究センター

リーダー

髙

里 実

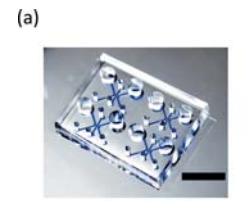
#### [研究の目的]

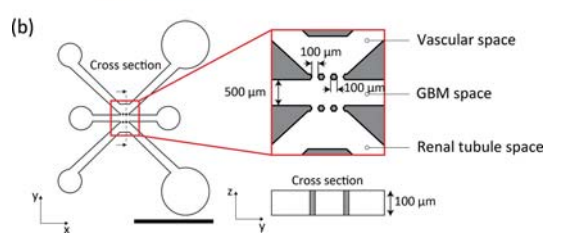
本研究は、生体外で糸球体濾過障壁の構造を 模倣したデバイスを開発し、その機能を評価す ることを目的とする。糸球体はヒトの腎臓にあ る組織であり、血液を濾過し尿の元となる原尿 を生成する機能を有する。この血液濾過の過程 において、生体から余分な水分や老廃物、各種 イオンなどを取り除くことによって、体内の恒 常性維持を担っている。しかしながら、一部の 薬物や生活習慣病などの病気によって糸球体を 構成する細胞が障害され、その機能が低下する ことが知られている。そのため、新薬開発にお いては、新薬候補物質が対象とする病態に有効 であることを確認するとともに、糸球体への毒 性が抑えられていることを確かめる必要がある。 しかしながら、現在の創薬プロセスにおいては 主に動物実験によって糸球体への毒性を評価す るが、ヒトと動物との種差が課題となり、正し く毒性が評価できない。そこで、本研究では、 ヒト由来の細胞を用いたオンチップ糸球体を構 築することによって、従来の種差という課題を 解決可能なデバイスを開発することを目的とし た。さらに、ヒトiPS細胞の細胞ソースとして の有用性を検証するため、これまで広く糸球体 研究に用いられてきたヒト不死化ポドサイトを 用いた。また、デバイスにおける濾過機能の評 価を定量可能な手法の開発をおこなった。開発 したデバイスにおいて、糸球体濾過機能の障害

性が知られている薬物の投与によってその機能 性が実際に低下するかどうかを評価することで. 今後の創薬の過程において動物試験の大体手法 として利用できる可能性を示すことを目的とし

#### [研究の内容,成果]

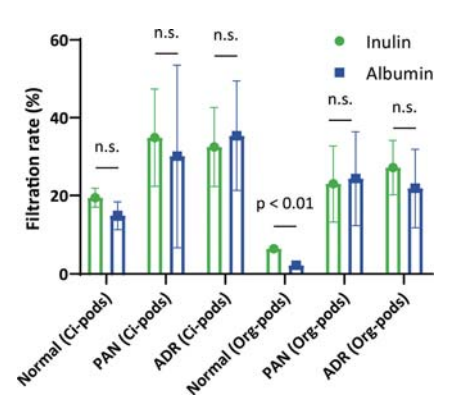
実験においては、まず CAD を用いてデバイ ス設計をおこない. 微細加工技術によって PDMS 製のマイクロ流路をもつデバイスを作 製した (図 la, b)。次に、デバイス中のマイク 口流路に細胞や細胞外マトリクスを模倣した物 質、培地などを導入することでデバイス中で細 胞培養を可能とした。本実験においては、糸球 体上皮細胞としてヒト iPS 細胞由来のポドサイ





(a) デバイスの外観. Scale bar: 10 mm (b) デバイス設計. Scale bar: 5 mm

図1 デバイス概要



Ci-Pods : ヒト不死化ポドサイト Org-Pods : iPS 細胞由来ポドサイト

図2 濾過機能の評価実験の結果

ト、血管内皮細胞としてヒト臍帯静脈内皮細胞 を用いた。これらの細胞を, 実際の糸球体の濾 過構造の様に層状となるようにデバイス内に配 置し、糸球体濾過障壁の構造を模倣した。数日 間の培養によってデバイスを安定させたのち. 濾過機能の評価実験をおこなった。ヒト生体に おいては、分子量の大きな物質は濾過障壁を透 過できない一方、比較的分子量の小さなものは 透過できることが知られている。そこで本研究 では、分子量の大きな血中タンパク質であるア ルブミンと、濾過機能測定に使われるイヌリン を指標物質として用いた。これらの指標物質に は蛍光タンパク質が付与されているため、デバ イス中の透過の様子を蛍光顕微鏡下で観察した。 さらに, 実際の糸球体薬物障害をモデル化可能 か検証するため、すでに糸球体への毒性が知ら れているピューロマイシンアミノヌクレオシド (PAN)とドキソルビシン(ADR)を用いた。 これらの薬物をデバイス中に投与し. 数日間培 養後、同様にアルブミンとイヌリンを用いて濾 過機能を評価した。

さらに、以上の実験においてiPS細胞由来ポドサイトのコントロールとしてヒト不死化ポドサイトを用いた実験をおこなった。

作製したデバイスの機能評価実験において, 通常の毒性薬物を加えていないデバイスにおい ては、アルブミンとイヌリンの透過に違いがみ られ、それらの透過には分子量依存的な差があ ることが確認できた。この結果は、構築した糸 球体模倣デバイスが生体と同様の選択的濾過機 能を持つことを示すと考えられる。また、PAN と ADR による薬物障害モデルでは、デバイス の濾過機能が低下するとともにアルブミンとイ ヌリンの濾過選択性もなくなる様子が観察され た。この結果は、薬物障害による機能低下をデ バイスを用いて表現できた結果であると考えら れる。さらにヒト不死化ポドサイトにおいては、 障害性物質を投与していない健常モデルにおい て、本来生体で見られるはずのアルブミンとイ ヌリンの間の選択性が見られないことが明らか となった。以上の結果より、糸球体の濾過機能 を模倣するデバイス構築には iPS 細胞由来ポド サイトが適することが示された。

本研究においては、微細加工技術と細胞培養技術を組み合わせ、生体の濾過機能を模倣するデバイスを開発してその実証をおこなった。デバイスの機能は濾過指標物質の透過を評価することで測定され、生体と同様の濾過選択性や、薬物による機能障害へ反応することを示した。一方で、その濾過機能は生体と同等とまでは至らなかった。これは、用いている細胞の成熟が低いことやデバイス中での培養期間の短さが一因として考えられる。今後は、これらの課題を工学的、生物学的両方の観点から解決へと取り組むことが必要であると思われる。

#### [成果の発表, 論文など]

Ayumu Tabuchi, Darryl Koh, Kensuke Yabuuchi, Yoshiki Sahara, Minoru Takasato, Kazuya Fujimoto, and Ryuji Yokokawa. "Enhanced Glomerular Filtration and Podocyte Expression in Human iPSC-Derived On-Chip Glomerular Barriers with Spontaneous GBM Formation". The 19th IEEE International Conference on Nano/Micro Engineered and Molecular Systems. May 2-5, 2024, Kyoto.

### 単語単位ラベルを考慮したテキストデータ拡張手法の研究

#### 2237007

教育研究センター



研究代表者 (助成金受領者) 共同研究者

同志社大学 大学院 博士後期課程 寺 本 優 香 文化情報学研究科 同志社大学 文化情報学部 教 授 波多野 賢 治 名古屋大学 数理・データ科学 孝 准教授 駒水 裕

#### [研究の目的]

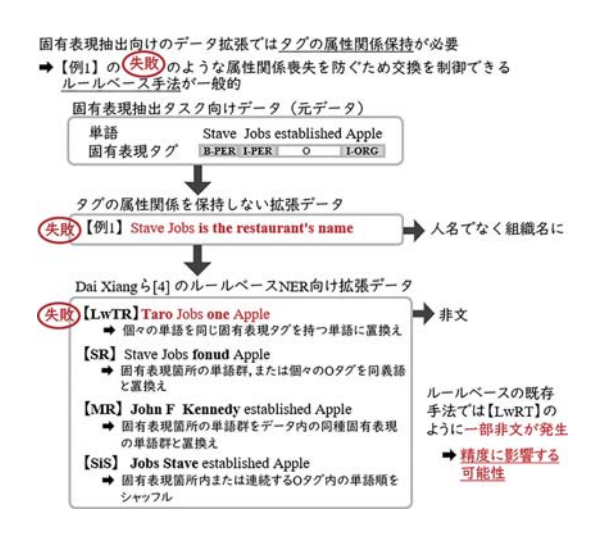
固有表現抽出とは、文中から人名や地名、組織名、日付表現、薬品名、遺伝子名といった特定の属性を持つ単語を抜き出す自然言語処理の基礎技術であり、医療・創薬分野での情報抽出やチャットボットなど様々な分野で利用されている。

このタスクでは教師ありの機械学習モデルが 頻繁に利用されており、近年は深層学習モデル が優れた性能を示している。しかし、その学習 には大規模かつ高品質なデータが必要であり、 特に分野固有の固有表現を扱う場合は、専門知 識を持つアノテータによるデータ作成が不可欠 であり、人的コストが課題となっている。

固有表現抽出タスクで中心的役割を果たしてきたデータセットに CoNLL2003 があるが、その固有表現カテゴリ(人名・地名・組織名)は比較的粗い粒度であり、分野やアプリケーションによってはより細かい粒度が求められる。近年では、Ding らによって提案された Few-NERD のように、政治家や作家など細粒なカテゴリに分けたデータセットも登場している。今後も使用目的に応じて多様な粒度・種類の固有表現カテゴリが求められることは自明である。

このようなデータ準備のコストを削減する方 法の一つにデータ拡張がある。データ拡張は、 小規模な学習データに対して加工や合成などの 処理を施し、新たなデータを生成して学習に用いる技術である。固有表現抽出タスクでは、単純なルールに基づく交換・挿入・削除といった手法が主流であり、これは系列ラベリングにおいて単語の並びの構造的整合性を保持する必要があるためである。本手法の目的は、既存手法のルールベースを発展させ、固有表現抽出のデータ拡張において新たな置換可能条件を明らかにすることである。

#### [研究の内容. 成果]



既存手法の交換対象は同種のトークン・単語境界範囲内か、同一文中に出現する他のセグメントに限定される。本研究では NLP で伝統的に用いられる構文木と格フレームを手掛かりと

し. より広範囲の境界線を探索する。前者の構 文木は部分木ごとに文構造上のまとまりを取得 でき、後者は固有表現と関連する規則性とみな されている。

#### 着眼点・目標

- グの交換はより制約を追加して行われるべきという仮定
- 文法上の機能が類似した単語同士での交換拡張により、拡張データの 文法的規則上の破綻を抑制

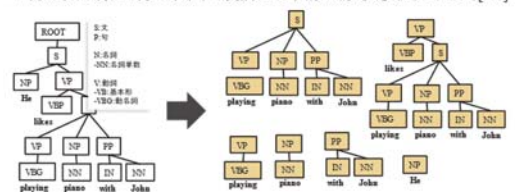
#### ① POSタグを用いた手法

ひとまとまりの固有表現箇所・またはOタグを持つ単語に対し、以下の交換規則を設定



#### ② SubTreeを用いた手法

- 法構造を表現する構文木より部分木 (SubTree)を取得
- 同じ機能を持つ部分木同士を交換
- ➡ 同じ深さと属性を持つ部分木の交換による拡張は構造・意味的に合理的[6-8]



構文木の検証では子ノードを二つ以上もつよ うな部分木を交換対象とする。図の例では計3 パタンの部分木が得られる。元データ全体の整 合性を担保するため、そこから得られた用法の 近い部分木、あるいは名詞同士を置換候補とし た。これにより、固有表現箇所以外の交換につ いても実現が可能となる。上記の両手法につい て, 既存の置換手法と置換候補の幅, データ品 質を比較し検証する。

我々の実験において比較に採用する既存手法 および提案手法の略字表記と簡単な説明を以下 に記す。

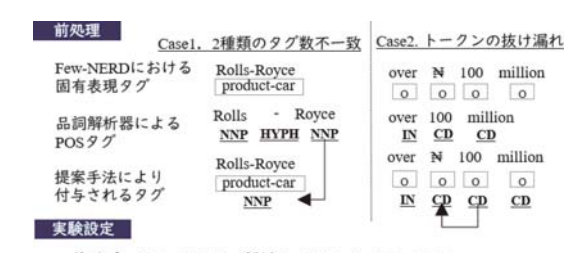
MR:既存手法。固有表現を同種固有表現と交

MR+POS: MR において, 交換条件に POS タグが同じことを追加

OLwTR: ○ タグを持つ個々の単語同士を交換 **OLwTR+POS**: において交換条件に POS タ グが同じことを追加

MR+OLwTR: MR と OLwRT を同時に適用 MR+OLwTR+POS: MR+OLwTR におい て交換条件に POS タグが同じことを追加 TreePos: 交換条件に TreePos の深さ属性を

なお、解析器の違いなどによるセグメントの 差に関する取扱い、使用データ、使用ツール、 データ拡張時の実験設定については. 以下の図 に記す。



- ・使用データ:Few-NERD 解析ツール:Stanford CoreNLP
- NLP 夕を作成 <sup>== 後</sup>データ=1:10 ・元のデータセットと同じタグ比率の3/167スケールデータを作 ・単語・固有表現の交換発生確率0.7 元データ:拡張後ラ

実験の結果、交換に POS タグを考慮した手 法群では、もともとのデータセットにおいて、 複数のトークンから成立する固有表現が多く含 まれるカテゴリの Recall が向上した。使用し たデータセットでは、主に紛争名、災害名など のカテゴリがこれにあたる。一方で、〇タグ にあたるトークンを変更した手法では. 固有表 現・一般名詞両方の用途がある単語に対する正 答率が低下した。

具体的な例としては,「民主党」あるいは「民 主的な(形容詞)]」)の両方の意味を持つ Democratic という固有名詞がこれに該当する。一般 名詞として使用される場合には、特定の文脈の みに出現していたが、ルールを設定したランダ ムな交換によりその規則性が無くなり、文脈情 報が失われたと考えられる。こうした傾向は, とりわけ MR+OlwRT+POS を用いた場合に. Democratic のような複数の意味を持つ単語を 含んだ固有表現箇所で頻繁に発生した。以下の 表は、本研究の結果、得られた成果である。

提案手法は、ごく少数のデータを使用するよ うなカテゴリの分類では、既存手法よりわずか に精度が向上した。一方, オリジナルのデータ が数十件程度確保できる場合には、既存手法に よるデータ拡張のほうがより高精度であった。

proposed macro-AC macro-F1 macro-P macro-R method Original-small 0.915 0.626 0.604 0.650 0.902 0.562 0.528 0.601 MR MR+POS 0.9020.562 0.527 0.602 OLwTR 0.902 0.570 0.545 0.597 OLwTR+POS 0.903 0.578 0.552 0.606 0.529 MR+OLwTR 0.901 0.560 0.594 MR+OLwTR+POS 0.902 0.569 0.603 SubTree 0.900 0.536 0.540 0.593

また、100 件程度の正解データを確保できる場合、提案手法・既存手法ともにデータ拡張はかえって精度の低下につながるということが明らかになった。このことから、生成系モデルなどである程度のデータ量が確保できる一般的なドメインの固有表現抽出タスクでは、現時点では

データ拡張そのものがあまり現実的ではない可能性がある。一方で提案手法は、歴史的な書籍など少数のデータの利活用が必要なドメインにおいて有効である可能性が示唆される。

#### 「成果の発表、論文など]

青本優香,駒水孝裕,波多野賢治: "固有表現タグおよび POS タグによる交換制約付きデータ拡張手法",第 15 回データ工学と情報マネジメントに関するフォーラム予稿集, No. 1b−6−4, March 2023. (学生プレゼンテーション賞 受賞)

青本優香, 駒水孝裕, 波多野賢治: "POS タグおよび 構文木の SubTree を用いた NER 向けデータ拡張手 法", 東海関西データベースワークショップ 2023

# サービス動的個人適応に向けた対話型ユーザニーズ外化システムの研究開発

#### 2247014



研究代表者 神戸大学 大学院工学研究科 博士後期課程 中 田 匠 哉

#### [研究の目的]

情報社会では、ユーザ個々のニーズに応じた 適切なサービスの提供を目指す個人適応サービ ス技術が発展している。短期的・表層的なニー ズへの適応は進んでいるが、真に求められるの は本質的なニーズである個人の指向への適応で ある。しかし、指向の明確な認知や言語化が困 難であるため実現できていない。ユーザのある がままの在り方を尊重する次世代の人間中心社 会におけるサービスは、長期的・深層的な性質 を持つ個人の指向に寄り添うべきである。

本研究の長期的な目的は、本質的な人間の指向を尊重することで内面から人々の生活を豊かにするサービス提供の実現である。そのための短期目標として、本研究課題では AI エージェントとユーザ主導で対話を行うことで真の個人ニーズを外化する手法の実現に取り組む。将来研究におけるニーズ駆動の個人適応型サービス推薦・開発の足掛かりとする。

AIとの対話を通じた人間と機械(情報技術)の調和によって人間主体で人間のニーズの本質に迫るという、人間と機械の共創における大きな課題に挑戦する。これにより、人間だけ機械だけでは見落としがちなマイノリティを含む誰もが快適なサービス社会の実現を目指す。

提案手法は、図 1 に示す (1) ニーズを外化 する対話エージェント、(2) ニーズを表現する モデル、(3) ニーズ変化への動的適応、の 3 つの手法で構成される。



図1 真の個人ニーズ外化手法の全体図

#### 「研究の内容. 成果]

1年間の研究助成期間において、提案手法で挙げた (1) ~ (3) の 3 つの手法に取り組みその成果を国内の多くの学会で発表した。さらに、長期目標である (4) ニーズを用いたサービス提供、にも取り組むことで将来課題の解決に大きく躍進した。以下で (1) ~ (4) に関する計9件の研究成果を順に報告する。

#### (1) ニーズを外化する対話エージェント

#### [1] ユーザニーズを自動抽出するチャットボット

サービス利用の増加に伴って、サービス利用 形態もユーザごとに多様化している。エンド ユーザのサービス要求の聞き取りは主にアン ケートによって行われている。システムエンジ ニアのような専門家による個別の聞き取りは高 コストであまり行われていない。本研究では、 特定のサービスに関するユーザニーズを手軽に 収集する手法の構築に取り組んだ。既存 Web アプリケーション上に追加実装するチャットボットとして対話型ニーズ抽出システムを再構築した。

図2に提案手法のアーキテクチャを示した。 以下の2つのアプローチで既存Webアプリケーションの一部としてニーズ抽出チャットボットを構築した。(A1)特定サービスに関するニーズ抽出手法,(A2)実装容易なニーズ抽出チャットボット。

図3は、実際に既存Webアプリケーション上に追加実装した画面である。ユーザが入力フォームに要求を入力することでニーズ抽出できる。ニーズを解析するLLMのモデルにはgpt-4o-mini-2024-07-18を使用した。サービスの名称と概要を事前にデータベースに登録し、JSXコンポーネントを追加する簡単な作業工程によってチャットボットを実現した。

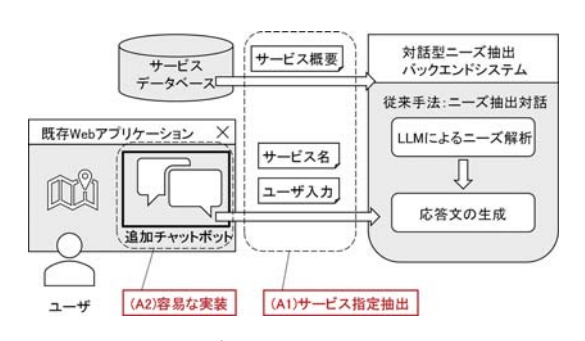


図2 ニーズ抽出チャットボットの設計

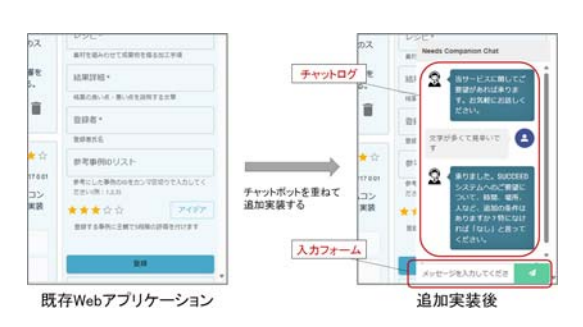


図3 ニーズ抽出チャットボットの実装

## [2] 画像認識と音声対話を用いたエージェントによる高齢者の忘れ物防止サービス

我々の研究グループでは仮想エージェントを 用いて、在宅高齢者が日常生活の中で感じる不 安や悩みを話すことで、心のケアを行う仮想 エージェント傾聴サービス (VA 傾聴サービス) を開発しており、VA 傾聴サービスでは、ユーザとの対話の中で多くのマイクロサービスを提供している。その中の予定リマインドサービスに着目し、従来は予定のみをリマインドしていたが、予定に必要な持ち物を追加でリマインドすることを目指す。

本研究では、一人暮らしの高齢者それぞれの予定に合わせた持ち物をリマインドすることで忘れ物を防ぐことができる「忘れ物防止サービス」の開発を行った。(A1) ユーザ登録及び予定に対する持ち物登録、(A2) 外出時、帰宅時の画像を取得し、持ち物判別、(A3) ユーザ IDと予定名から忘れ物リストを取得、(A4) VA傾聴サービスを通したリマインド、の4つの機能を提案した。

本研究によって、画像認識と音声対話を組み 合わせた忘れ物に関するユーザの状態および ニーズの取得が可能となった。

#### [3][4] 表情による感情認識を用いた体調推定手法

独居高齢者の日々の体調を把握することは病気やけがの早期発見の観点から重要である。しかしながら、既存の安否確認や見守りサービスでは高齢者が自ら体調不良を伝えるしかないという問題点が存在する。本研究では体調別の演技をした表情を撮影した画像の感情推論結果に主成分分析を適用し、得られた主成分得点を特徴量に機械学習で分類することで体調分類の精度が上がるかどうか評価する。

具体的には、(A1) 七つの感情値に対する主成分分析、(A2) 主成分分析結果から特徴量を選択、(A3) 個別モデルと全体モデルに分けて機械学習モデルを構築、(A4) happy のみか主成分分析結果を用いた個別モデルの比較、(A5) 個別モデルと全体モデルの比較、の5つのアプローチで研究に取り組んだ。また、体調分類モデルの構築を個人ごとに行う必要があるかを検討した。評価の結果、感情推論結果に個人ごとに主成分分析を適用することで図4に示す高精度モデルを構築できることが分かった。

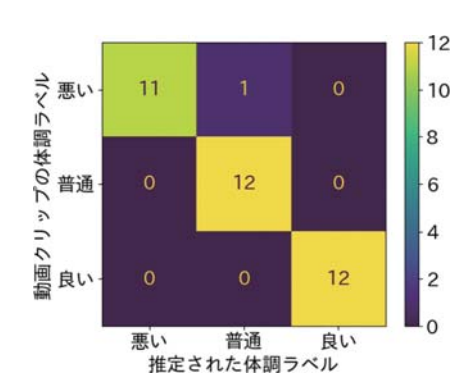


図4 個別モデルによる体調推定結果

本研究によって、ユーザニーズにおいて重要な 表情というリアルタイムコンテキストを VA で取得することが可能となった。

#### (2)ニーズを表現するモデル

### [5][6] 生成 AI との対話ログに基づく課題解決事例 の蓄積・共有サービス

近年の生成 AI の発達により、幅広い分野で問題解決の手法として生成 AI との対話が活用されている。しかし、その効果はユーザのプロンプト作成能力に大きく依存し、十分に生成 AI の威力を発揮できていない場面が多々ある。また、生成 AI との対話によって問題を解決した際、その対話ログは価値が高いものであるが、そのまま放置され再度見られることはない。

そこで、生成 AI との対話ログを点数付けや質問背景を含めて蓄積・共有し、集合知を醸成することができるアプリケーションを開発することによってこの問題を解決する手法を提案した。具体的には、集合知を醸成する Webアプリケーション; ChatHubAI (以下、略称CHAI) の開発を行った。本研究のアプローチとして、CHAI の機能を以下のように分類した。(A1) チャットインターフェイス (A2) コンテキストを含めた対話ログの保存 (A3) 保存された対話ログの閲覧・検索。

また、その有用性を評価するために、研究室を一組織として一週間 CHAI を配備し利用者の問題解決能力向上や組織内での知識共有の促進、生成 AI との対話内のハルシネーションに

対する対策の有効性に関するアンケートを行った。その結果、CHAIを利用することによって問題解決能力向上や組織内での知識共有の促進に寄与することが確認された。また、ハルシネーションに対する対策も有効であることが確認された。

本研究によって、ユーザの困りごとという ニーズを入力として LLM が出力したデータモ デルを用いて集合知を醸成する手法を構築した。 本成果はニーズによる個人ごとのニーズモデル の構築に大きく貢献した。

#### (3) ニーズ変化への動的適応

#### [7] 双方向対話による個人適応型スマートシステム

普及と複雑化が急速に進むスマートシステムにおいて、ユーザが要望通りに設定を構築することは容易ではない。我々の先行研究では、対話によってサービス設定を自動化することを目的として、対話型個人適応フレームワークSSIPの概念設計を行った。しかし、対話の技術的困難さから具体的なSSIPの実現には至っていなかった。

LLM の発展により対話技術が容易化されたことを受け、本研究では SSIP の具体的な技術設計に取り組む。SSIP の主要な要素として双方向対話・ニーズ抽出・機能決定アルゴリズム・サービス自動設定を切り出し、特定の技術によらない汎用的なフレームワークとして実現した。図 5 に SSIP フレームワーク設計アーキ

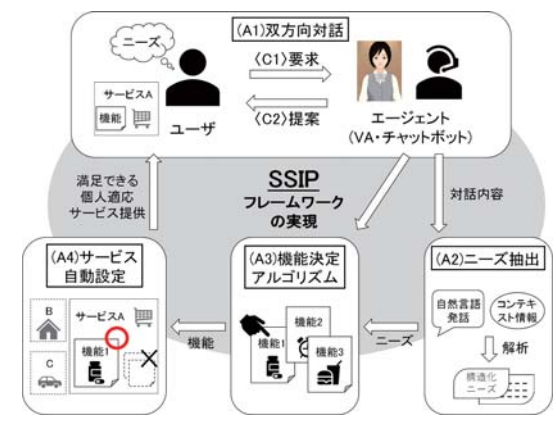


図5 SSIP フレームワーク設計アーキテクチャ

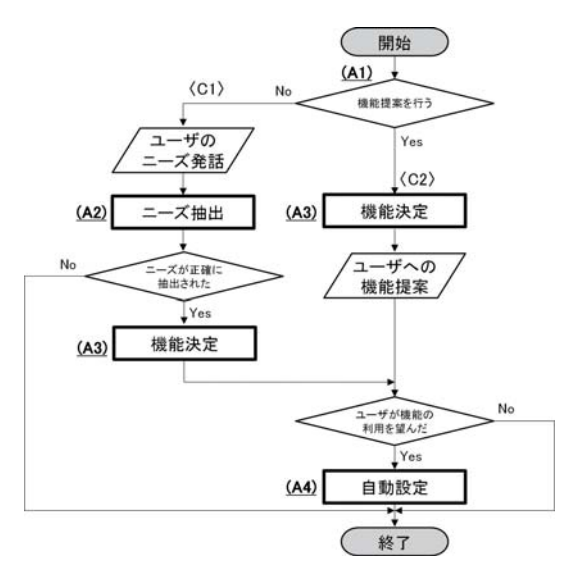


図6 SSIP 個人適応フロー

テクチャを示す。具体的には、(A1) 双方向対話、(A2) ニーズ抽出、(A3) 機能決定アルゴリズム、(A4) サービス自動設定、の4 つのモジュールで構成される。

さらに、対話による個人適応の流れを図6に示すフロー図として具体化した。ケーススタディでは提案した設計手法に従ってSSIPを実装した。

本研究によって、対話の中で動的にユーザニーズを取得するプロセスを具体的に設計した。特に、ユーザ主体の要求だけでなく、エージェント主体の提案型個人適応のフローを組み込んだ実用的なフレームワークとして実現したことが大きな貢献である。

#### (4) ニーズを用いたサービス提供

## [8] ソフトウェアアップサイクル事例自動蓄積手法

ソフトウェアアップサイクルとは、既存のソフトウェア資源を再利用することでソフトウェア開発プロセスの効率化を目指す手法である。 先行研究では、手入力でアップサイクルの実績を事例として共有する SUCCEED システムがある。共有された具体的なアップサイクルの実績を参考にして開発を行うことで、手軽にアップサイクルを行うことができるシステムである。本研究では、Stack Overflow の Q&A とアッ プサイクル事例の類似性に着目し、大規模言語モデル(LLM)を活用した事例自動蓄積手法を提案した。Web API を活用してデータ取得・変換・登録フローを全て自動化した。具体的には、以下の3つのアプローチで行った。(A1)Web API による開発知見の取得、(A2)LLM によるデータ形式の変換、(A3)SUC-CEEDシステムへの事例登録。提案手法は定期実行スクリプトを用いて図7に示す通り具体的に実装した。

ユーザ個人のサービス開発コストの低減は, ニーズを用いたサービス提供に向けた解決すべ き課題である。本研究は,自動蓄積によるアッ プサイクルの効率化によってサービス提供の効 率化に貢献した。

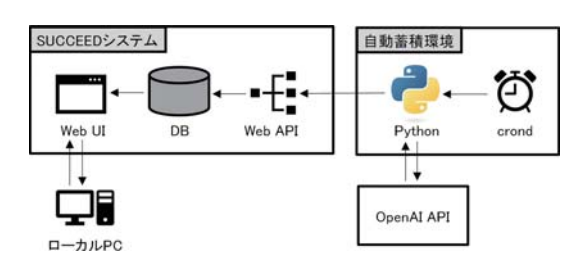


図7 自動蓄積手法の実装アーキテクチャ

#### [9] ニーズに基づくサービス開発の効率化手法

本研究では、ユーザの具体的なニーズを理解 し、それに基づいたサービス開発を可能にす る技術の開発に注力した。先行研究で開発され た VA を用いた対話型ニーズ抽出システムと SUCCEED システムの活用により、ユーザ ニーズの自動抽出と開発者への知見提供を実現 した。新規未開発サービスに対する対話型ニー ズ抽出手法とニーズに基づく開発事例取得手法 を提案した。具体的には、以下の3つのアプ ローチで研究を進めた。(A1) 新規サービス ニーズの抽出、(A2) ニーズの充足に役立つ アップサイクル事例の取得. (A3) ニーズと開 発アプローチの提示。提案手法の全体アーキテ クチャを図8に示す。また、ニーズ抽出から事 例の取得までの全体の流れを図9に示すアプリ ケーションとして具体的に実現した。本研究に



図8 ニーズベース開発アーキテクチャ



図9 ニーズ抽出対話の実装画面

よって、真のユーザニーズに基づくサービス提供フローのプロトタイプを具体的に実現した。

これらの研究成果は、ユーザー人ひとりが自身のニーズをサービスに反映させるための能動的な対話行動を可能にし、人間と機械の調和によるサービス社会の実現に大きく貢献するものである。

#### [成果の発表, 論文など]

#### 査読有り

[1] 中田匠哉, 佐伯幸郎, 中村匡秀: Web アプリケーション上でユーザニーズを自動抽出するチャットボットの実装, ソフトウェア工学の基礎ワークショップ FOSE2024, pp. 205-206, 2024

#### 査読なし

- [2]神谷岳,松川晃徳,岡本大,<u>中田匠哉</u>,陳思楠,安田清,中村匡秀:画像認識と音声対話を用いた高齢者の忘れ物防止サービスの提案,電子情報通信学会技術研究報告,vol.124,no.429:SS2024-64,pp.121-127,2025
- [3] 西山敦紀, <u>中田匠哉</u>, 陳思楠, 佐伯幸郎, 中村匡秀: 表情による感情認識を用いた体調推定手法の開発と評価, 電子情報通信学会技術研究報告, vol. 124, no. 444: LOIS2024-85, pp. 77-84, 2025
- [4] 西山敦紀, <u>中田匠哉</u>, 陳思楠, 佐伯幸郎, 中村匡秀: 表情による感情認識を用いた体調推定手法の検討, 電子情報通信学会技術研究報告, vol. 124, no. 245: SC2024-32, pp. 56-64, 2024
- [5] 日野翔天, 中田匠哉, 陳思楠, 佐伯幸郎, 中村匡秀: 生成 AI との対話ログに基づく課題解決事例の蓄積・共有サービスの評価, 電子情報通信学会技術研究報告, vol. 124, no. 444: LOIS2024-89, pp. 109-115, 2025
- [6] 日野翔天, <u>中田匠哉</u>, 陳思楠, 佐伯幸郎, 中村匡秀: 生成 AI との対話ログの蓄積・共有による組織 内集合知の醸成, 電子情報通信学会技術研究報告, vol. 124, no. 245: SC2024-23, pp. 1-6, 2024
- [7] <u>中田匠哉</u>, 佐伯幸郎, 中村匡秀: 双方向対話を活用した個人適応型スマートシステムの設計と実現, 電子情報通信学会技術研究報告, vol. 124, no. 245: SC2024-23, pp. 1-6, 2024
- [8] <u>中田匠哉</u>, 陳思楠, 佐伯幸郎, 中村匡秀: ソフトウェアアップサイクル事例自動蓄積手法の検討, 電子情報通信学会技術研究報告, vol. 124, no. 71: SC2024-12, pp. 65-70, 2024
- [9] 中田匠哉, 陳思楠, 佐伯幸郎, 中村匡秀: ニーズ に基づくサービス開発の効率化に向けたソフトウェ アアップサイクル手法の検討, 電子情報通信学会技 術研究報告, vol. 123, no. 414: SS2023-50, pp. 7-12, 2024

### 機械学習を用いた低侵襲かつ汎用的な腎臓病診断支援モデルの構築

#### 2237009

研究代表者 (助成金受領者) 共同研究者

聖マリアンナ医科大学 腎臓・高血圧内科 聖マリアンナ医科大学 腎臓・高血圧内科 聖マリアンナ医科大学 腎臓・高血圧内科  
 大学院生/ 診療助手
 野 田 竜之介

 准 教 授
 市 川 大 介

柴垣有吾

#### [研究の目的]

IgA 腎症は、世界で最も頻度の高い原発性糸球体腎炎の一つであり、診断後20年以内に30-40%の患者が末期腎不全に至る。早期発見と治療が重要であるが、確定診断には侵襲的な腎生検が必要であり、合併症のリスクもある。本研究の目的は、以下の2点である。

- 1. 腎生検に頼らず、血液検査や尿検査などの 一般的な臨床データを用いて IgA 腎症を非 侵襲的に診断予測する機械学習モデルを開 発し、検証すること。
- 2. 従来の統計モデル (ロジスティック回帰) と比較して、機械学習モデルが IgA 腎症の 診断において高い精度と信頼性を持つこと を示すこと。

#### [研究の内容,成果]

本研究は、聖マリアンナ医科大学病院で腎生検を受けた成人患者のレトロスペクティブなデータを用いたコホート研究である。2006年1月から2022年9月までに腎生検を受けた患者を対象とし、診断が不確かな患者、複数の主要な診断がある患者は除外した。最終的に1268名の患者が解析対象となり、2006年1月から2019年12月までのデータを開発コホート(n=1027)、2020年1月から2022年9月まで

のデータを検証コホート (n=241) とした。

主任教授

潜在的な予測変数として. 人口統計学的特徴 (年齢, 性別, 身長, 体重, BMI), 血液検査項目 (白血球数, ヘモグロビン, 総蛋白, アルブミ ン、BUN、クレアチニン、尿酸、AST、ALT、 ALP, LDH, CK, 総コレステロール, グルコー ス, HbAlc, CRP, IgG, IgA, IgM, C3, C4, IgA/C3 比, 抗核抗体), 尿検查項目 (尿蛋白/ クレアチニン比, 尿中赤血球) を収集した。欠 損値は k-最近傍法で補完し、4つの変数選択 手法 (LASSO, Random Forest-Recursive Feature Elimination, Random Forest-Filtering, SelectFromModel with Extra Trees) を組み合 わせて、最終的に14個の予測変数(年齢,へ モグロビン, 総蛋白, アルブミン, LDH, CK, CRP, IgG, IgA, C3, C4, IgA/C3 比, 尿中赤血 球, 尿蛋白/クレアチニン比) を選択し, 機械 学習モデルに組み入れた。

モデル開発には、5つの機械学習法 (XGBoost, LightGBM, Random Forest, Artificial Neural Network, 1D-CNN) とロジスティック回帰を適用した。開発コホートで5回 反復5分割交差検証とベイズ最適化を用いてハイパーパラメータを調整し、AUROC (Area Under the Receiver Operating Characteristic curve) と AUPRC (Area Under the Precision-Recall Curve) で識別能を評価した。また、95%信頼区間は1000回のブートストラップ反

a

0.9

0.8

復で推定し、Deep ROC 解析で識別能を詳細に 評価、キャリブレーションプロットと Brier ス コアでモデルの較正能と総合性能を評価した。

結果, 開発コホートでは LightGBM は 0.913 (95% CI 0.906-0.919) という最も高い AUROC を達成した。これは、ロジスティック回帰、 Artificial Neural Network, 1D-CNN よりも有 意に高く、XGBoost および Random Forest と は有意差はなかった(図1a)。検証コホートで は、XGBoost が 0.894 (95% CI 0.850-0.935) と いう最も高い AUROC を示したが、他のモデ ルと有意差は認めなかった(図 1b)。

AUPRC も同様の傾向を示し、開発コホート において、XGBoost の AUPRC は 0.779 (95% では、XGBoost が同様に 0.748 (95% CI 0.630-0.846) という最も高い AUPRC を記録したが、 他のモデルとの間に有意差は見られなかった (図 2b)。 キャリブレーションプロットは良好な較正能

CI 0.771-0.794) であり、ロジスティック回帰.

Artificial Neural Network, 1D-CNN よりも有 意に高く, LightGBM および Random Forest

とは有意差はなかった(図 2a)。検証コホート

を示し、Brier スコアは 0.107 から 0.131 の範 囲であった。Deep ROC 解析を用いて、開発コ ホートおよび検証コホートにおける各機械学習 モデルのグループ正規化 AUROC を確認した ところ, XGBoost と LightGBM は, 偽陽性率

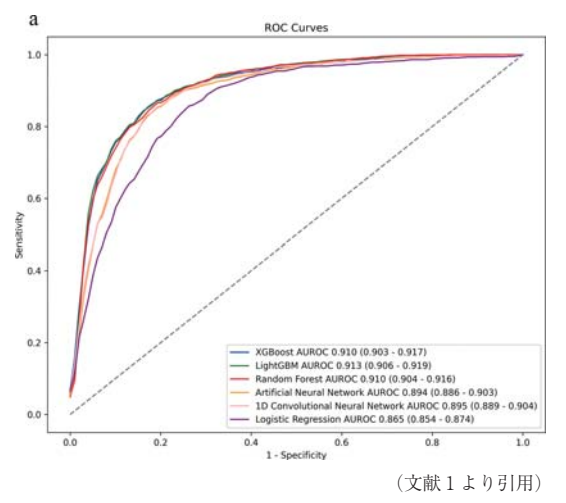
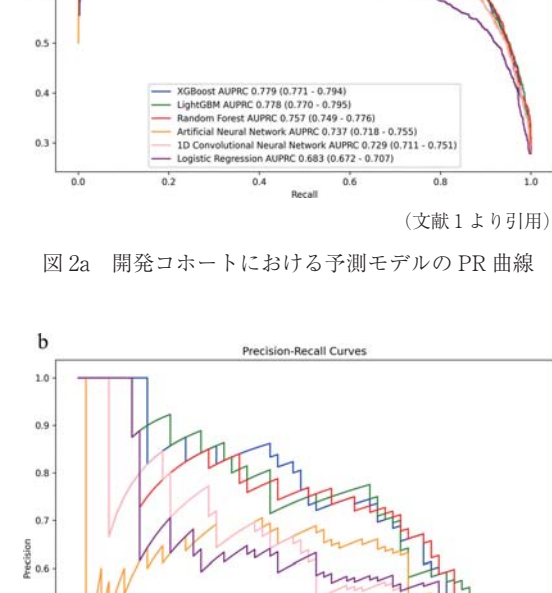


図 1a 開発コホートにおける予測モデルの ROC 曲線



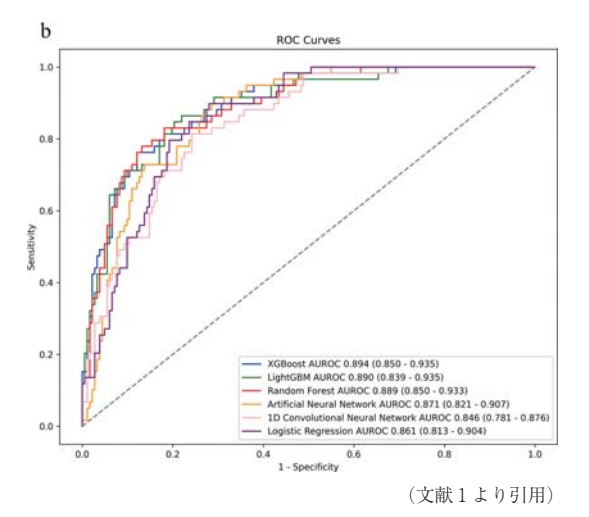


図 1b 検証コホートにおける予測モデルの ROC 曲線

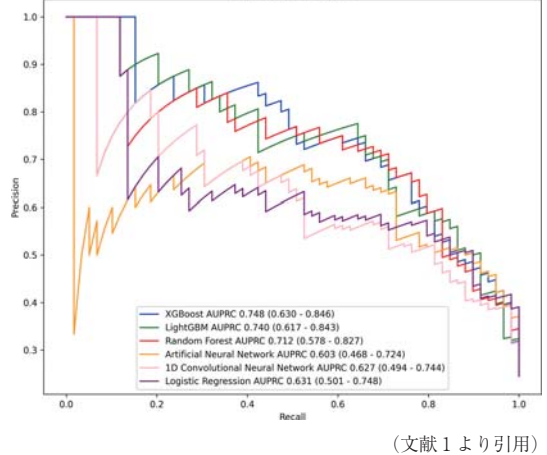


図 2b 検証コホートにおける予測モデルの PR 曲線

で分割された3つのグループすべてにおいて、 良好なグループ正規化AUROCを示した。

さらに、モデルの解釈のために SHAP (SHapley Additive exPlanations) 法を用い、予測に重要な変数を特定した。その結果、年齢、アルブミン、IgA/C3 比、R中赤血球が、予測に重要な変数であることが明らかになった。感度分析として、データを分割せずに 10 分割交差検証を行った結果でも、LightGBM が最も高い AUROC を示し、XGBoost と Random Forest とは有意差がないことを確認した。

本研究では、IgA 腎症の診断における機械学習モデルの有用性を検証した。複数の機械学習モデルを評価した結果、XGBoost、LightGBM、Random Forest が従来のロジスティック回帰モデルよりも高い予測性能を示すことが明らかになった。これらのモデルは、年齢、血清アルブミン値、血清 IgA/C3 比、尿中赤血球といった既知の重要な予測因子を捉え、さらに予測因子と IgA 腎症の関連が非線形である可能性を示唆した。これは、機械学習が IgA 腎症の非侵襲的診断に有用である可能性を示唆している。

先行研究と比較して、本研究はより大規模なデータで複数のモデルを統計的に比較評価した点に強みがある。特に、ツリーベースの機械学習モデルである XGBoost、LightGBM、Random Forest の優れた性能は、他の疾患予測研究とも一致しており、これらのモデルがIgA 腎症の非侵襲的診断に有用である可能性を裏付けている。SHAP 分析によってモデルの予測根拠を解釈した結果、年齢、アルブミン、IgA/C3 比、尿中赤血球が重要な予測因子であ

ることが改めて確認され、これらの因子と IgA 腎症の複雑な関係性が示唆された。

本研究の臨床的意義として、簡便で正確な非 侵襲的診断モデルが開発可能であること、日常 臨床で得られるデータのみでモデルが利用でき るため追加コストがかからないこと、重要な変 数の特定と関係性の可視化が新たな臨床的視 点を提供できることが挙げられる。一方で、単 一施設データであること、サンプルサイズに限 界があること、対象患者が広範であることなど が研究の限界として指摘され、今後の多施設共 同研究による検証が求められる。結論として、 機械学習モデルは IgA 腎症の診断予測に有用 であり、特に XGBoost、LightGBM、Random Forest は、従来の統計モデルよりも高性能で、 複雑なデータ構造も扱えることから、非侵襲的 かつ信頼性の高い診断法として期待される。

本原稿で使用した図は全て文献 1 Sci Rep. 2024 May 30: 14(1): 12426. から引用した。

#### [成果の発表, 論文など]

- Noda R, Ichikawa D, Shibagaki Y. Machine learning-based diagnostic prediction of IgA nephropathy: model development and validation study. Sci Rep. 2024 May 30; 14(1): 12426.
- Ryunosuke Noda, Daisuke Ichikawa, Yugo Shibagaki. Machine Learning Models for IgA Nephropathy Diagnosis: A Retrospective Study on Predictive Performance and Influential Variables. ASN Kidney Week. Nov 2023.
- 3. <u>野田竜之介</u>, 市川大介, 柴垣有吾. 機械学習による血液・尿検査を用いた IgA 腎症の診断予測. 第53回日本腎臓学会東部学術大会. 2023 年 9 月.

## 高 MHz 帯域の強力超音波を用いた小型光流体レンズの開発とマシンビジョンへの応用

#### 2247015



研究代表者 (助成金受領者) 共同研究者

同志社大学 研究開発推進機構 (理工学部)

日本学術振興会 特別研究員 PD

原田裕生

同志社大学 理工学部

教 授

小山大介

桐蔭横浜大学 医用工学部

講師

石 河 睦 生

#### [研究の目的]

近年、スマートフォンやウェアラブルデバイ ス, 医療用内視鏡などの様々な分野において, 高性能かつ小型な光学システムの需要が急速に 高まっている。従来の光学機器では、フォーカ シング特性や光軸調整を機械的可動部(アク チュエータやギア機構)によって行っており. これに伴う応答速度と耐久性の低下、装置の大 型化といった課題が存在する。これらの課題を 克服するためには、非機械的かつ高速応答が可 能な光制御技術の開発が不可欠である。光伝搬 を制御する手段として, 従来は可動式のガラス レンズやミラーが用いられてきたが、これらは 小型・薄型化が困難であり、応答速度の制約も 生じてしまう。そのような背景から近年、メタ レンズや液晶レンズといった超薄型レンズ等の 新技術が注目されているものの、これらは依然 として構造の複雑さや製造工程の難易度. 応答 の遅さといった問題を抱えている。

一方で、超音波によって光路媒質中の屈折率を変化させる音響光学(AO)効果は、高速に光を制御できる有望な手法である。しかし、従来の AO デバイスは超音波の時間周期や空間波長に同期した屈折率変化を利用しており、従来のレンズやミラーのように光を静的に屈折・反射させることができず、さらに得られる屈折率変化( $\Delta n = 10^{-5}$  から  $10^{-4}$  オーダ)は非常に

小さい。他方で,我々の研究グループは高周波強力超音波を液体中に照射することで,巨大な屈折率変化を誘起できる新現象を発見した(図1)。同現象によって,従来の光制御手法では困難であった屈折率変化領域( $\Delta n = 10^{-2}$  オーダ)の形成が可能となり,光の伝搬方向や集光特性の制御性能が飛躍的に向上させることが期待できる。





図1 高周波強力超音波照射によって誘起された屈折率 変化領域(Δn)を高速度カメラで撮影した画像

そこで本研究は、100 MHz 帯域の強力超音 波により液体中に生じる屈折率変化を利用し、小型・薄型化を実現した可変焦点光流体レンズ の開発を目的としている。さらにレンズ性能の 制御性の観点から、高周波強力超音波照射によって、液体中に屈折率変化が生じる物理メカニズムを明らかにすることを重要な課題として 位置付け、実験およびシミュレーションの両面 から検討を行った。

#### [研究の内容,成果]

本研究では、高周波強力超音波照射によって 液体中に誘起される屈折率変化現象の物理メカ ニズムの解明と小型光流体レンズの開発を目的 として,以下の多角的な手法を用いて実験・解 析を行った。

#### 1. 屈折率勾配中の光線追跡シミュレーション

高周波強力超音波照射によって,誘起された 屈折率勾配が光伝搬に与える影響を理論的に評価するため,光線追跡シミュレーションを実施 した。これは超音波照射によって誘起される屈 折率が空間的に不均一な領域において,入射光 がどのように屈折・偏向されるかを定量的に理 解するために重要である。

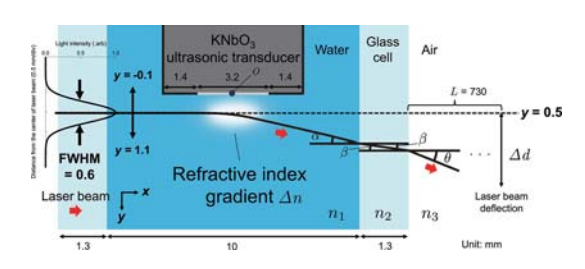


図2 高周波強力超音波照射により誘起された屈折率勾配 に対し,入射位置を変化させたレーザ光の光強度分 布のシミュレーション条件

超音波照射によって誘起される屈折率勾配は, 実験で得られたデータを基に、2次元ガウス関 数としてモデル化した。そして作成した屈折率 勾配モデルをもとに、水・ガラス・空気の境界 を考慮した光線追跡シミュレーションを行った (図2)。光線追跡シミュレーションでは、レー ザ光が水中を通過し、ガラス壁を抜けて空気中 に到達するまでの一連の光路を追跡し、スク リーン上に到達する位置のレーザ光の軌跡変化  $(\nu$ -ザ光の偏向量: $\Delta d$ ) を算出した。その結 果、屈折率勾配モデルの形状を最適化すること で、レーザ光の偏向量が最大で約69 mm に達 することが示され、これは実験で観測された偏 向量とよく一致した(図3)。この光線追跡シ ミュレーションの結果は、構築した屈折率勾配 モデルの妥当性を示すものであると同時に.本 手法により超音波照射によって生じる屈折率勾 配の空間的構造を視覚的・定量的に再現可能で あることを意味している。すなわち、本モデル

を用いることで、従来は定性的な観察にとど まっていた超音波照射によって誘起される屈折 率変化現象を、数値的に可視化・解析すること が可能となった。

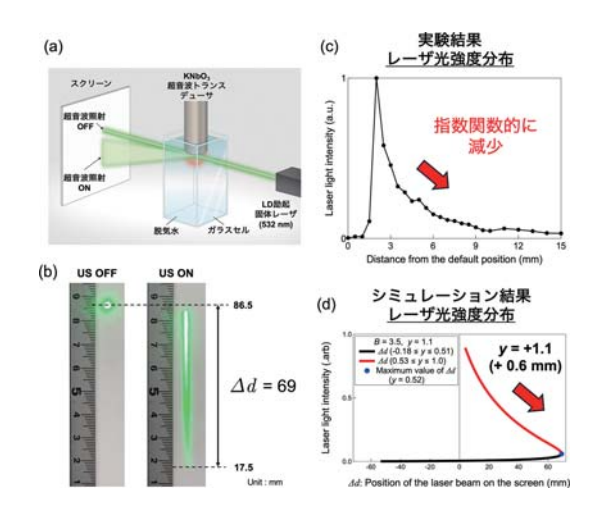


図3 (a) レーザ光の軌跡変化を評価するための実験系(b) 高周波強力超音波照射の有無によるスクリーン上に投影されたレーザ光の変化(c) 実験により得られた屈折率勾配を通過後のレーザ光の光強度分布の変化(d) シミュレーションにより得られた屈折率勾配を透過後のレーザ光の光強度分布の変化

## 2. 超音波照射によって誘起される屈折率変化 の物理メカニズム解明とナノバブルの特性 評価

超音波照射により液体中にどのような物理的 変化が生じ、それが屈折率変化とどのように関 係しているのかを明らかにすることは、本研究 の重要な課題である。そこで高速度カメラを用 いて高コントラスト比での撮影を行い、屈折率 変化現象の観測を行った。その結果、図4(a) より超音波照射によって誘起された屈折率変化 領域と同じ位置で輝度変化が生じ、その後、超 音波照射を継続した結果、図4(b) より超音波 トランスデューサ表面付近で、多数のマイクロ バブルが形成される様子が観測された。以上の ことから、超音波照射によって誘起される屈折 率変化には音響キャビテーション. 特にナノバ ブルが関与していると考えた。そこで動的光散 乱法(DLS)を用いて、高周波強力超音波照射 によって超純水中で生成されたナノバブルの粒 径分布を評価した。実験では KNbO3 圧電薄膜

を用いて作製した超音波トランスデューサに よって高周波強力超音波を水中に照射した。測 定サンプルとして, ガラスセル内に超純水を注 入し. 高周波強力超音波(周波数:160 MHz. 入力電圧:101 V<sub>pp</sub>) を 60 秒間連続で照射した。 そして超音波照射を合計50サイクル繰り返し 行い、各サイクルにてガラスセル内で発生した ナノバブルの粒径分布を DLS システムで測定 した。その結果、高周波強力超音波照射によっ て, 平均粒径が 100 nm 程度のナノバブルの形 成が確認できた。さらに超音波照射のサイクル 数の増加に伴って、平均粒径が増大していく傾 向が観測された(図4c)。以上より、高周波強 力超音波照射のサイクル数の増加によって. よ り大きなナノバブルが生成される可能性が示唆 された。

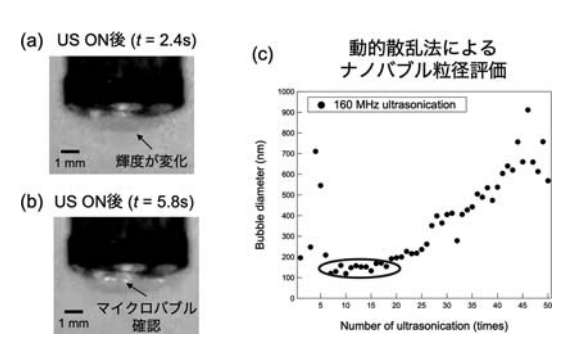


図 4 高周波強力超音波照射後 (t=0 s) に、超音波トランスデューサ表面付近にて観察された高周波キャビテーションの撮影写真 (a: t=2.4 s, b: t=5.8 s) (c) 高周波強力超音波照射 (B波数: 160 MHz, 入力電圧: 101 Vpp) のサイクル数 (50 サイクル) と測定サンプル中のナノバブルの平均粒径の関係

こちらの理由としては、現時点では第2ビヤークネス力によるナノバブル間の凝集または合体が影響している可能性について考えている。

さらに超音波照射によって発生したナノバブルの安定性を評価するため、ゼータ電位、溶存酸素量(DO)等の測定を行った。これらの評価は、バブルの表面特性や周囲環境との相互作用を把握する上で重要である。まずゼータ電位の測定結果では、超音波照射後のサンプル内の微粒子(ナノバブル)のゼータ電位は-10から-30 mV の範囲で分布し、またその平均値は-25.2 mV であった(図 5)。一般的にナノ

バブルは -10 から -50 mV 程度の負の電荷を帯び,液体中で安定的に存在していることが知られており、今回の測定値はその範囲内にあることから、本実験で発生したナノバブルが高い安定性を有している可能性が示唆された。

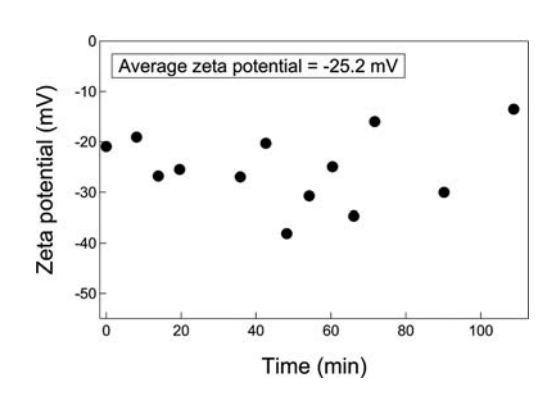


図 5 超音波照射 (超音波周波数: 160 MHz, 入力電圧:  $101 \text{ V}_{pp}$ ) を  $50 \text{ サイクル実施後に測定したサンプル 内の微粒子 (ナノバブル) のゼータ電位の経時変化$ 

次に溶存酸素量(DO)の測定においては、超音波照射のサイクル数の増加に伴い、DO値が減少する傾向が確認された。この傾向は、上述の超音波照射の平均粒径の増大と同様に、生成されたナノバブルやマイクロバブルが凝集または合体によって、より大きなバブルとなり、それらが水面から大気中に放出されることで、DO値が減少したと考えている。

## 3. 有効媒質近似モデルによるナノバブル体積 分率の算出

超音波トランスデューサ表面付近のナノバブル密度分布を求めるために、Bruggeman の有効媒質近似(EMA)モデルを適用して屈折率勾配モデルから見かけの体積分率を算出した。同モデルを用いることで光線追跡シミュレーションによって得られた屈折率勾配モデルから、超音波トランスデューサ表面付近に分布するナノバブルの体積分率を推定することが可能となる。具体的には、光線追跡シミュレーションにより得られた屈折率変化モデルn(x,y)を誘電率変化モデル $\varepsilon(x,y)$ へと変換し、その後、Bruggeman モデルを利用して、体積分率

モデル $f_b(x,y)$  へと変換することで、各座標におけるナノバブルの局所的な体積分率を導出した。解析の結果、屈折率変化が最大となる位置 ( $\Delta n = 0.04$ ) における見かけの体積分率は 0.12 であった。また算出したナノバブル体積分率分布の幅は、屈折率変化の観測結果と比較してやや狭いという結果が得られたが、これは用いた屈折率勾配モデルが 2 次元ガウス関数に基づいているためと考えられる。以上より、屈折率変化モデルと有効媒質近似モデルを用いることで体積分率を 2 次元モデル化し、屈折率変化分布とナノバブル密度分布の空間的対応関係を評価することができた。

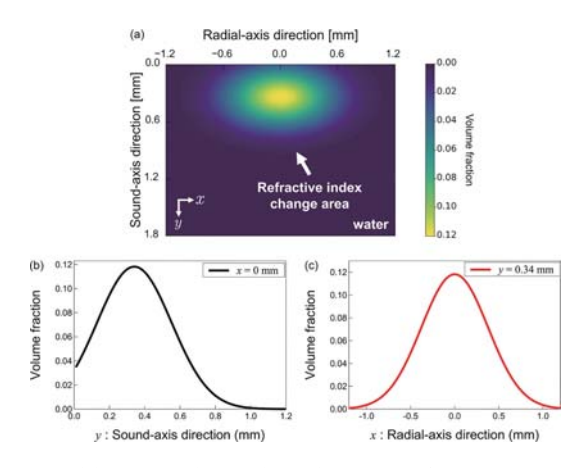


図 6 (a) 有効媒質近似 (EMA) を用いて算出したナノバブルの見かけの体積分率分布 (b) x=0 mm における超音波伝搬方向の見かけ体積分率の変化 (c) y=0.34 mm における超音波トランスデューサの半径方向の見かけの体積分率の変化

#### 4. 円環形状の KNbO<sub>3</sub>圧電材料の作製

小型可変焦点光流体レンズの開発に向けて、 円環形状の圧電材料を作製した。圧電材料の成膜方法としては水熱合成法を採用した。オートクレーブ内に(100)c Nb-SrTiO₃基板を設置し、240℃で処理することで、厚さ数 10 μm 程度の KNbO₃圧電薄膜を基板上に成膜した。その後、UV レーザマーカを利用して成膜した KNbO₃ 圧電材料を円環形状に加工した。以上より、小型可変焦点光流体レンズの基盤となる円環形状圧電材料の作製に成功した。



図7 水熱合成法で成膜した KNbO<sub>3</sub>圧電薄膜を 円環形状に加工した試料の写真

#### [まとめと今後の展望]

本研究では、高周波強力超音波照射によって 液体中に生じる屈折率変化を小型光流体レンズ として応用するため、その物理メカニズムの解 明とデバイス構築の基礎検討を行った。まず光 線追跡シミュレーションにより、超音波照射に よって誘起される屈折率勾配がレーザ光の偏向 に与える影響を定量的に評価し、実験結果と良 好な一致を示した。次にナノバブルの生成が屈 折率変化と関係する可能性に着目し. 動的光散 乱法やゼータ電位・溶存酸素量の測定を通じて. ナノバブルの粒径やその安定性を評価した。さ らに有効媒質近似モデルを適用することで、屈 折率変化モデルからナノバブル体積分率分布を 算出し, 両者の空間的対応関係を明確に示した。 加えて、小型光流体レンズの基盤となる円環形 状の KNbO3 圧電材料を, 水熱合成法および UV レーザ加工によって試作し、その加工に成 功した。今後は、さらなるモデルの高度化、三 次元的な屈折率制御、異なる液体媒体や周囲環 境条件における性能評価を行う。そして将来的 に開発する小型可変焦点光流体レンズは、機械 的可動部を有しない光学デバイスとして. マシ ンビジョンをはじめとする広範な分野への展開 が期待される。

#### [成果の発表, 論文など]

#### 【学術雑誌 (査読あり)】

- Y. Harada, M. Ishikawa, M. Matsukawa, D. Koyama, Ultrasonically induced microscopic refractive index gradient and the relationship with high-frequency ultrasonic cavitation, J. Appl. Phys., 137, Issue. 11, p. 113102 (2025).
- Y. Harada, M. Ishikawa, Y. Kuroda, M. Matsukawa, D. Koyama, Simulation of light propagation in medium with an ultrasonically induced refractive index gradient, J. Appl. Phys., Vol. 135, Issue. 19, p. 193104 (2024).

#### 【国際学会】

- Y. Harada, M. Ishikawa, M. Matsukawa, D. Koyama, Refractive Index Change and Nanobubble Cluster Induced by 100-Megahertz-Range, High-Intensity Ultrasonic Irradiation, 2024 IEEE Ultrasonics, Ferroelectrics, and Frequency Control joint Symposium (2024.9)
- Y. Harada, M. Ishikawa, Y. Kuroda, M. Matsukawa,
   D. Koyama, Light Propagation in a Refractive Index
   Gradient Induced by High-Intensity Ultrasound in the

100-Megahertz Range, 21st International Workshop on Piezoelectric Materials and Applications (2024.7)

#### 【国内学会】

- 1. 原田裕生, 石河睦生, 松川真美, 小山大介, 100 MHz 帯の高強度超音波によって誘起される不均一 屈折率場中の光伝搬解析, 2024 年第 85 回応用物理 学会秋季学術講演会 (2024.9)
- 2. 原田裕生, 石河睦生, 松川真美, 小山大介, 高周 波強力超音波照射によって誘起される屈折率変化と ナノバブル密度分布の関係, 日本音響学会第 152 回 (2024 年秋季) 研究発表会 (2024.9)
- 3. 原田裕生, 石河睦生, 松川真美, 小山大介, 高周 波強力超音波による屈折率制御技術と超音波光デバ イスへの展開, 弾性波素子技術コンソーシアム研究 会 (2024.8)
- 4. 原田裕生, 石河睦生, 松川真美, 小山大介, VHF 帯域の強力超音波照射によって誘起される屈折率勾 配中の光伝搬シミュレーション, 電子情報通信学会 超音波研究会 (2024.6)

## 対人間同期が走パフォーマンスに及ぼす影響とその影響範囲の解明

#### 2227010



研究代表者 (助成金受領者) 共同研究者 東京大学 大学院総合文化研究科 博

博士課程

古川大晃

東京大学 大学院総合文化研究科 教 授 工 藤 和 俊

#### [研究の目的]

アスリートが発揮するパフォーマンスは、各 個人の能力のみではなく. 他者との相互作用 (例:他の選手, 観客)を含む環境条件にも依 存する。例えば、陸上走種目では、60 m, 1500 m. 3000 m のタイムトライアルにおいて、1人 で走るよりも2人で走ることでパフォーマンス が向上することが示されている(Kakehata et al., 2022; Tomazini et al., 2015; Yamaji et al., 2019)。先行研究において、空気力学的影響 (Hirata et al., 2012; Pugh, 1971), 覚醒水準の変 化 (Triplett, 1898; Zajonc et al., 1969), 注意の 焦点の変化 (Williams et al., 2015) やそれらに 伴うペース方略の変化などの様々な要因がこの パフォーマンスの変化をもたらすことが示され ている。さらに、その要因の1つとして、他者 と動作テンポが近づく「対人間同期」も挙げら れている。2009年にベルリンで開催された世 界陸上 100 m 決勝では、ウサイン・ボルトが 世界新記録を樹立し、2位のタイソン・ゲイが 世界歴代2位の記録を達成した。この2人のス テップタイミングが分析された結果. 別組を 走った準決勝ではステップ頻度(単位時間あた りの歩数)が異なっていたものの、隣のレーン を走った決勝では一時的に接近し、同期の可能 性が示唆された (Varlet & Richardson, 2015)。 走動作が最適化されたトップアスリートにおい ても、同期現象が生じる可能性が開かれたこと から、同期とパフォーマンスの関係や、その発

生メカニズムについての研究が求められている。 本研究では、対人間同期が生じる知覚的条件 と同期とパフォーマンスの関連を明らかにする ことを目的とした。

#### [研究の内容,成果]

#### 方法

#### 実験参加者

本研究では、大学の陸上競技部に所属する 13名の健康な男子長距離ランナーを対象とした。

#### 実験手順とセットアップ

参加者には「1人で走ったときと2人で走ったときのHRを調べる実験」が目的であることが示され、本来の目的は明らかにされなかった。胸部にHR計測センサー(HRM-Run、Garmin)を、体の背面のウェアのウエスト部分(仙骨付近)に加速度センサー(Running Dynamics Pod、GARMIN)を装着し、心拍数とステップ頻度のデータを5秒ごとに毎分拍数(bpm)と毎分ステップ数(spm)として取得した。2台のトレッドミルのうち1台(前方)で10分間のウォームアップ走を行った。5分間の休憩の後、実験の最初の試行が開始された。ウォームアップ走中に参加者が自己選択の快適なペースを規定し、その走速度で本実験における全ての試行を行った。

#### 条件

参加者に対して、他走者からの視覚情報の有

無を操作する視覚条件と、他走者が SF を -3 spm, 0 spm, +3 spm するテンポ条件の 2 つの被験者内要因を組み合わせた被験者内 2 要因計画とした。いずれの条件においても彼らは設定速度で 5 分 30 秒間,自由に走行するだけであった。一方,他走者は参加者と同じ速度で同じ時間走りながら,ステップ頻度を操作した。テンポ条件に関する各条件の手順は下記のとおりである。

#### 刺激

2台のトレッドミルは前後に整列させて配置し、2人のランナー間の距離は約 1.6 m であった。前方のランナーの頭部から約 1.5 m 前方、約 20 cm 下方に注視点を設けた。1試行あたりの走行時間は 5分 30 秒と,走速度はウォームアップ時に規定された自己選択の快適なペース(以下「設定速度」)を設定した。同じ設定速度で計7回の試行を行った。以下7つの条件は無作為に設定され、1回ずつ,カウンターバランスをとった順序で実施された。試行と試行の間の休息時間は 5分間であった。聴覚情報とランナーのステップ頻度の関連を示した研究(Van Dyck et al., 2015)を参考に,隣接走者のテンポの変化は  $\pm 3$  bpm(約  $\pm 2$  % に相当)とした。

#### テンポ条件

最初の3分間、他走者はワイヤレスイヤホンを通じて参加者のステップ頻度(1分間に両足の歩数)と同じテンポで鳴るメトロノーム音を聞き、その音を自分のステップと同期させた。メトロノーム音のテンポを調整するために、加速度計で測定した参加者のステップ頻度をmulti-functional watch(ForeAthlete245、GARMIN)に表示し、メトロノームのテンポをこの値に調整した。したがって、参加者は自分の足音と、それとほぼ同じテンポで鳴る他走者の足音の両方を聞くことになる。隣接走者は、2分40秒から3分までの参加者の平均ステップ頻度(「基準時間」)に基づき、各試験の開始3分後からステップ頻度を3spm増加(+3

spm 条件)/3 spm 減少 (-3 spm 条件)/一定に維持 (0 spm 条件) させた。それらを隣接走者が前方を走る場合 (視聴覚条件) と後方を走る場合 (聴覚のみ条件) で1回ずつ行った。これらの6条件に加え,1人で走る場合でもステップ頻度の変化が異常に大きい特性を持つ参加者がいないかを確認するため,参加者が前方のトレッドミルを単独で走る単独条件を加えた。したがって計7条件をランダム化しカウンターバランスをとった順序で行った。

#### 計測

#### ステップ頻度変化率

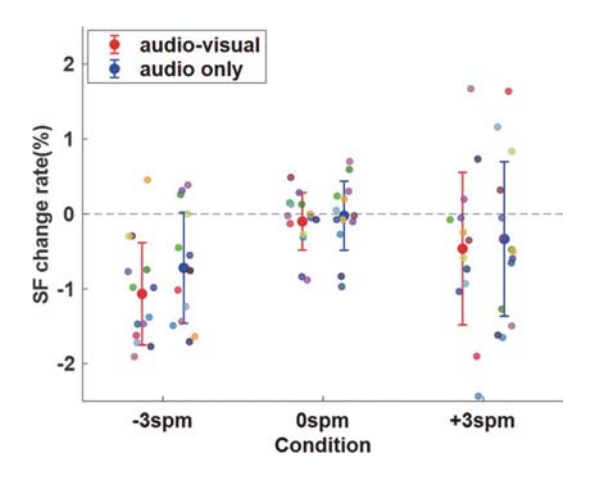
基準時刻のステップ頻度を"基準ステップ頻度", 基準時刻以降のステップ頻度を"変化後ステップ頻度"と定義した。参加者のステップのテンポ変化によるステップ頻度の増減の程度を確認するため、基準ステップ頻度の平均値に対する変化量の割合を「ステップ頻度変化率(step frequency change rate: SF change rate)」として算出した。

#### データ分析

統計データ分析は、IBM SPSS Statistics version 25.0 (IBM Corp)を用いて行った。2 要因反復測定分散分析は、ステップ頻度変化率、心拍数について、テンポ条件(+3 spm、-3 spm、0 spm 条件)と視覚条件(視聴覚、聴覚のみ条件)を因子として用いた。有意な主効果または交互作用が認められた場合、一対比較の評価にはボンフェローニ法を用いた多重比較検定を用いた。球面性に違反した場合にはGreenhouse-Geisser補正を適用した。有意水準は5%とした。すべての結果は平均値±SDで示した。

#### 結果

各試験開始 3 分後から終了までの平均ステップ頻度変化率をまとめたものを図 1 に示す。2 要因分散分析(テンポ条件×視覚条件)の結果、テンポ条件と視覚条件の間に交互作用は見られなかった(F [2, 24] =0.228, p=0.80,  $\eta_p^2$ =



各プロットは1人の参加者のデータを示し、データは各試行開始3分後から終了までのステップ頻度変化率の平均である。同じ参加者のデータは同じ色でプロットされている。各条件の平均値は線で結ばれており、エラーバーは参加者間のSDを表す。0 spm 条件に対し、-3 spm 条件ではステップ頻度変化率が有意に低下した。

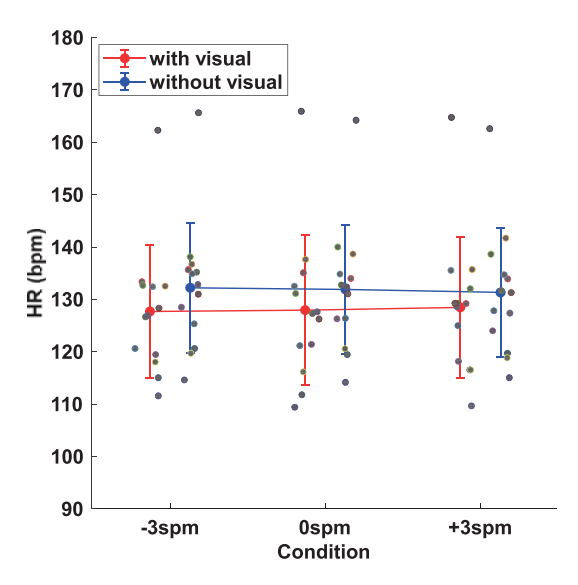
図1 各条件における平均ステップ頻度変化率

0.019)。テンポ条件はステップ頻度変化率に有意な主効果を示した(F[2, 24]=11.29, p<0.001, $\eta_{\rho}^2=0.49$ )。Bonferonni 法を用いた多重比較の結果,-3 spm 条件と 0 spm 条件の間に有意差が認められた(p<0.001)。視覚条件はステップ頻度変化率に有意な主効果を示さなかった(F[1, 12]=1.08, p=0.32, $\eta_{\rho}^2=0.083$ )。 心拍数

図 2 は、各条件における 3 分以降の平均心拍数を示している。心拍数について 2 要因分散分析(テンポ条件×視覚条件)を行った結果、交互作用は認められず(F[2, 24] =1.89, p=0.17,  $\eta_p^2$ =0.14),心拍数に対するテンポ条件の主効果はなかった(F[2, 24] =0.048, p=0.95, $\eta_p^2$ =0.004)。しかし,心拍数に対する視覚条件の主効果は有意であった(F[1, 12] =45.43,p<0.001, $\eta_p^2$ =0.79)。

#### 考察

本研究では走者間の知覚情報(視覚および聴覚)が走者のステップ頻度や生理的負荷(心拍数に及ぼす影響について検討した。前後に並べた2台のトレッドミル上を2人が一定の速度で5分30秒間走行した。最初の3分間では、隣接走者は参加者とステップ頻度を合わせるよう



データは各試行開始3分後から終了までの心拍数の平均である。同じ参加者のデータは同じ色でプロットされている。各条件の平均値は線で結ばれており、エラーバーは参加者間のSDを表す。他者の視覚情報がある条件では、他者の視覚情報が無い条件と比べて心拍数が有意に低かった。

図2 各条件における平均心拍数

に走った。3分経過後,隣接走者はステップ頻度を3 spm 速く(+3 spm 条件)または3 spm 遅く(-3 spm 条件)した。その結果,テンポ条件において有意な主効果が見られ,特に-3 spm 条件ではステップ頻度が有意に低下することが確認された。また,心拍数に対して,視覚条件の有意な主効果があった。主観的運動強度に関してはテンポ条件も視覚条件も有意な主効果を示さなかった。

ステップ頻度に関し、0 spm 条件において、ステップ頻度は0%付近に局在しており、対照条件として機能していたことに留意したい。その0 spm 条件に対して、一3 spm 条件ではステップ頻度が有意に低下した。この結果は並走するランナーの足音テンポを操作することで、ステップ頻度が低下する方向に同期が生じるとという先行研究の結果を再現しており、隣接走者間に同期に生じるという仮説(Furukawa et al., 2024; Varlet & Richardson, 2015)を支持するものであった。

さらに隣接走者の視覚情報の影響を検討する ため、我々は視覚と聴覚を組み合わせた条件 (視聴覚条件)と聴覚のみで視覚なし(聴覚の み条件)を設定した。その結果、視覚条件には 主効果がみられず、視覚の追加効果があるとは 言えなかった。すなわち、主走者は隣接走者の ステップ頻度変化に影響を受けるものの、その 影響は視覚というより主に聴覚情報に起因する 可能性を示している。

これまで、視覚情報が運動の対人間同期を 引き起こす主因の1つであることが示されて きた(Schmidt & O'Brien, 1997)。そのため、 互いの視覚情報がランナー間の同期引き起こ す可能性が提案されてきたものの(Varlet & Richardson, 2015)、実証的な研究は不足してい た。これらの背景に対し、本研究はランナー間 の同期における聴覚情報の重要性を強調し、視 覚情報の追加効果が大きくないことを示した点 で、新たな示唆を与えるものである。

心拍数に対するテンポ条件の主効果はみら れなかった。これまでの研究において、ラン ナーのステップ頻度に対して同期的な聴覚情 報は生理的負荷を軽減し (Terry et al., 2012), パフォーマンスに好影響を与えることが示 されている (Bood et al., 2013; Simpson & Karageorghis, 2006; Terry et al., 2012)。本研究 においては、隣接走者のステップ頻度が同期的 である 0 spm 条件と非同期的である ±3 spm 条件の間に心拍数の差はみられなかった。今回. ステップ頻度に主に注目しており、疲労が生じ にくい低強度の走行とした。本研究と実験状況 が類似した我々の先行研究においても、隣接走 者の足音と心拍数の関連は確認されておらず (Furukawa et al., 2023), 低強度走行中の心拍 数に対する足音の効果は重要でないと考えられ

一方,心拍数に対する視覚条件の主効果は有意であった。このことは,前の走者からの視覚情報を受けることにより,心拍数の低下が生じた可能性を示唆している。

#### 参考文献

- · Bood, R. J., Nijssen, M., van der Kamp, J., & Roerdink, M. (2013). PLoS ONE, 8(8).
- Borg, G. A. (1973). Med. Sci. Sports, 5(2), 90-93.
- Borg, G. A. (1982). Med. Sci. Sports Exerc., 14 (5), 377-381.
- Furukawa, H., Kudo, K., Kubo, K., Ding, J., & Saito, A.
   (2023). PLoS ONE, 1–19.
- Furukawa, H., Miyata, K., Richardson, M. J., Varlet, M., & Kudo, K. (2024).
- Hirata, K., Okayama, T., Teraoka, T., & Funaki, J.
   (2012). Procedia Eng., 34(1), 32–37.
- Kakehata, G., Tsukamoto, H., Goto, Y., Iso, S., & Kanosue, K. (2022). Sci. J. Sport Perform., 1(2), 94– 102.
- · Pugh, L. G. C. E. (1971). J. Physiol., 213, 255-276.
- Schmidt, R. C., & O'Brien, B. (1997). Ecol. Psychol., 9(3), 189–206.
- Simpson, S. D., & Karageorghis, C. I. (2006). J.
   Sports Sci., 24(10), 1095–1102.
- Terry, P. C., Karageorghis, C. I., Saha, A. M., &
   D'Auria, S. (2012). J. Sci. Med. Sport, 15(1), 52-57.
- Tomazini, F., Pasqua, L. A., Damasceno, M. V., Silva-Cavalcante, M. D., de Oliveira, F. R., Lima-Silva, A. E., & Bertuzzi, Rô. (2015). Physiol. Behav., 149, 39-44
- · Triplett, N. (1898). Am. J. Psychol., 9(4), 507-533.
- Van Dyck, E., Moens, B., Buhmann, J., Demey, M.,
   Coorevits, E., Dalla Bella, S., & Leman, M. (2015).
   Sports Med. Open, 1(1).
- · Varlet, M., & Richardson, M. J. (2015). J. Exp. Psychol. Hum. Percept. Perform., 41(1), 36-40.
- Williams, E. L., Jones, H. S., Andy Sparks, S., Marchant, D. C., Midgley, A. W., & Mc Naughton, L. R. (2015). J. Sci. Med. Sport, 18(4), 486–491.
- Yamaji, K., Kawai, K., & Nabekura, Y. (2019). Jpn.
   Soc. Sports Perform. Res., 11.
   Zajonc, R.B., Heingartner, A., & Herman, E.M.
  - Zajonc, R. B., Heingartner, A., & Herman, E. M (1969). J. Pers. Soc. Psychol., 13(2), 83–92.

#### [成果の発表, 論文など]

#### 学術誌等に発表した論文

- Furukawa H., Kudo K., Kubo K., Ding J., Saito A. Auditory interaction between runners: Does footstep sound affect step frequency of neighboring runners? PLOS ONE, 18(1), e0280147, 2023.
- 2. 古川大晃, 西川優, 斉藤篤司, 工藤和俊, 走者間 にピッチの同期現象を生じさせる知覚情報の検討. ランニング学研究, 第36巻1号, 2024.

#### 国際会議における発表

- 3. <u>Furukawa H.</u>, Kudo K., Saito A. The footsteps of a neighboring runner affect the step frequency of the main runner. European College of Sport Science (ECSS), Sevilla, Spain, August, 2022. (ポスター)
- 4. <u>Furukawa H.</u>, Miyata K., Richardson M. J., Varlet M., Kudo K. Interpersonal Synchronization between Sprinters: An Observational Study of the Japanese 100-m Record Racer. European College of Sport Science (ECSS), Paris, France, July, 2023. (ポスター)

5. <u>Furukawa</u>, H., Kudo, K. Interpersonal synchronization among top marathon runners. Symposium: Adaptive behavior and its ecological foundations, Kobe, Japan, March, 2025. (ポスター)

#### 国内会議における発表

6. 古川大晃, 西川優, 斉藤篤司, 工藤和俊. 視聴覚を介したランナー間の協調. 科学研究費助成事業学術変革領域研究 (A)「階層的生物ナビ学」2024年度領域会議, 名古屋, 愛知. 2024年6月. (ポスター)

## 原子ビームとねじり振り子による気体原子から 固体へのスピン移行の汎用的な検出

#### 2237011



研究代表者 (助成金受領者) 共同研究者

東京農工大学 大学院工学府 博士後期課程

安田瑠奈

東京農工大学 大学院工学研究院 教 授

畠 山 温

#### [研究の目的]

現在、量子コンピュータをはじめとした量子 技術は我々の生活をより豊かにすると期待され ている。量子技術において特に活躍するのがス ピンである。スピンとは量子力学で記述される 物理量で、量子技術で有用な二価性や磁性を持 つとともに、古典力学における角運動量の性質 も持ち合わせている。近年、スピントロニクス と呼ばれる分野では、スピンとエレクトロニク スを融合させた固体中のスピンのやりとりに着 目して盛んに研究され、超省エネルギーな次世 代デバイスの技術となることが期待されている。 また、原子物理の分野ではスピン偏極気体原子 を用いた周波数や磁場計測の精密計測に利があ る。スピントロニクスを気体スピンにまで拡張 できれば、スピン偏極気体原子を用いた実験の 精密計測の強みをデバイス開発へ還元できる。 そこで本研究が目指すのはスピントロニクス拡 張のため、気体-固体間でのスピン移行過程を 調べることである。気体一固体間でのスピン移 行過程探索のため、まず、気体からの固体への スピン移行の検出を行う。気体から固体へのス ピン移行は 2007 年に限定的な範囲で Ishikawa ら「Phys. Rev. Lett. **98**, 183004 (2007)] によっ て実証されているが、本研究では一般的な固体、 物質によって制限のない手法での観測を目指す。

#### [研究の内容,成果]

固体に移行したスピンを(古典力学的な)古 典回転による観測をすることで、あらゆる物質 に対するスピン移行を観測する技術の開拓を見 込んでいる。本研究では、気体原子から固体へ のスピン移行に誘起された古典回転の検出を目 指す。スピン移行量を定量的に測定するにはス ピン移行前後の正味の角運動量の大きさを測定 する必要がある。スピン移行前の正味のスピン の大きさの測定として気体原子のスピン偏極度、 スピン移行後の角運動量の測定としてトルクの 測定が必要である。そこで、本研究では以下の 2つのサブテーマに取り組んだ。

- (1) 気体原子スピン (気体原子が蓄えるスピンの大きさ) の定量的な測定
- (2) 光の角運動量が固体へ移行することで誘起されるトルクの定量的な測定

#### (1) 気体原子スピンの定量的な測定

気体原子のもつ正味のスピンの大きさの測定のため、気体原子全スピンの大きさ $\langle F_z \rangle$ の測定方法の提案し、実際に測定を行った。

まず、原子全スピンFの構成を図1に示す。 閉殻の電子は角運動量を持たないので、本研究で用いたアルカリ金属原子では、1個の荷電子のみが電子の角運動量を担う。電子スピンSと電子の軌道角運動量Lが合成されてJに、核スピンIとJが合成されて、全スピンFとなる。

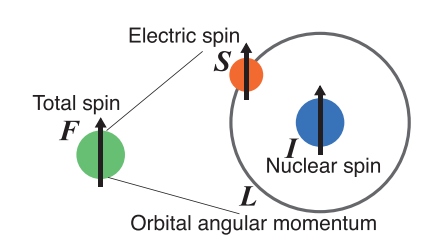


図1 原子スピンの構成の模式図

気体原子のスピンの1成分の大きさ(偏極度)を測定する方法はこれまでにいくつか提案されているが、本研究で重要な全スピンの大きさ $\langle F_z \rangle$ の測定方法は我々の知る限り存在しない。そこで本研究では、測定手法を提案し、実際に測定を行った。提案した方法は、Beerの法則が成り立つ気体に対して広く使える手法である。

図2のように、セルと呼ばれるガラス容器を 真空に引き、アルカリ金属原子のセシウム (Cs) を封入したものを用いて測定を行った。 アルカリ金属原子は価電子が1個で理論との比 較がしやすいこと、共鳴するレーザーの波長は 赤外線で、比較的蒸気圧が高く信号を得やすい ことから、原子物理の分野で広く利用されてい る。気体原子は円偏光の光を吸収することで、 気体原子はスピン偏極をする。また偏極気体原 子はガラス表面などに衝突することで、スピン を失う (スピン緩和)。

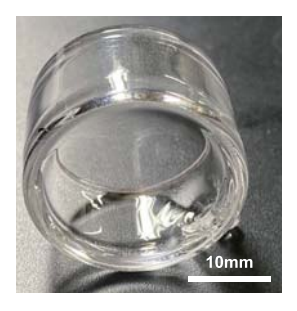


図2 セシウムセル

提案した手法は、基本的に原子が吸収する光のパワーが、原子が占有するエネルギー準位に依存する(図 3、赤線の太さが光の吸収強度に比例)ことを利用している。レーザーの周波数をドップラー広がりよりも広く挿引することで、

原子のもつ速度によらず、全ての原子を観測する。また、 $\sigma^+$ と $\sigma^-$ 偏光でそれぞれ測定し、無偏極状態の時の吸収量で規格化することで様々な定数を取り除き、ゼーマン偏極度のみを取り出した。測定は、一般的なガラス製のセル(無コーティングセル)と、スピン緩和防止コーティングを施すことで高いスピン偏極が見込めるコーティングセルに対して行った。

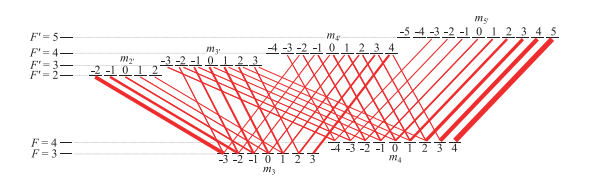


図3 Csのエネルギー準位と光の吸収強度

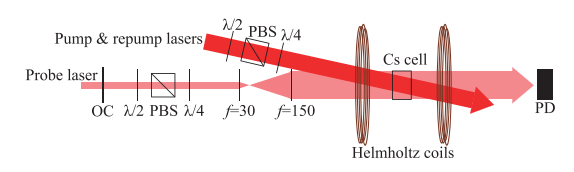


図4 スピン偏極度測定の装置図

図4に測定システムを示す。ポンプ光でCsのスピン偏極を誘起し、プローブ光でスピン偏極度の測定を行った。プローブ光のセル透過後のパワーの変化をフォトダイオードで検出することで、原子によって吸収された光のパワーを測定した。組み合わせレンズを用いてプローブ光の直径を広げ、セル内の原子をより多くプローブした。また、光学チョッパーを利用してロックイン測定を行うことで透過光パワーの微小な変化も検出できる。量子化軸の定義のため、ヘルムホルツコイルで地磁気よりやや大きい磁場(0.3 mT 程度)を印加した。以下に結果の一部を示す。

図5に、ポンプ光パワーと $\langle F_z \rangle$  (左軸)、占有率 (右軸) の関係を示す。ポンプ光パワーが強くなると、スピン偏極度が単調増加している様子が分かる。また、 $6\,\mathrm{mW}$  程度で $\langle F_z \rangle$  が飽和していることが分かる。さらに、図 $6\,\mathrm{kg}$  によ、ポンプ光の偏光を変化させた時の $\langle F_z \rangle$  と占有率を示す。ポンプ光を直線偏光にしたとき横軸

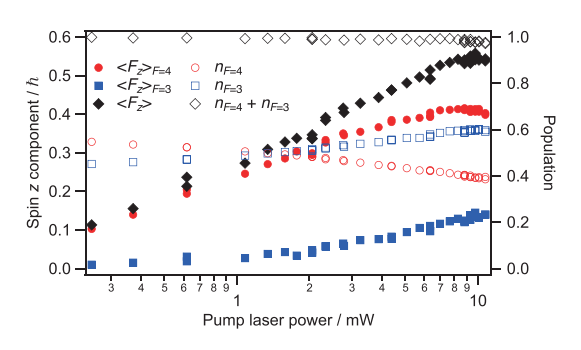


図5 ポンプ光パワー依存性

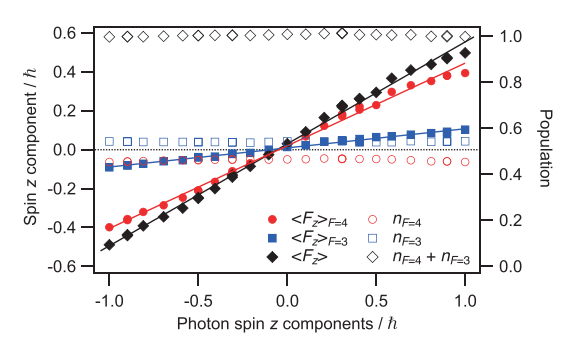


図6 ポンプ光偏光依存性

の値が 0 で,検出される  $\langle F_z \rangle$  も 0 となっている。一方で占有率はポンプ光の偏光に依存せず,一定の値をとっている。

これらは定性的に理論と一致し、適切に測定が行われていると考えられる。さらに測定の確からしさを評価するために、簡単なモデル(図7)を立ててスピン収支の見積もりを行った。

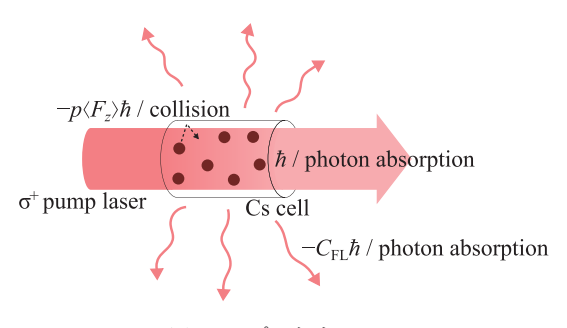


図7 スピン収支モデル

このモデルでは、気体原子が光を吸収することで気体原子がスピンを得る。また、気体原子がセル壁面に衝突することでスピンを失う。壁面との衝突によるスピンの損失は、気体原子のセル壁面との衝突頻度と $\langle F_z \rangle$ から計算し、衝突頻度は気体原子の速度と原子密度、セルの形

状から計算することができる。

光の吸収によるスピン注入レートは  $4\times10^{15}$   $\hbar/s$  であり、1 回の衝突で 100% スピンが崩れると仮定した場合の衝突による損失レートは  $2\times10^{15}$   $\hbar/s$  である。蛍光による損失や不確かさを含めると今回の測定は妥当で、提案した手法は  $\langle F_z \rangle$  を正しく測定通りに測定出来ていると考えられる。

この成果は学術論文誌<sup>[1]</sup>, 国内学会<sup>[2]</sup>にて発 表済みである。

#### (2) トルクの定量的な測定

ここでは、2重ねじり振り子を開発し、光の 角運動量によって誘起されたトルクの測定を行 うことで、開発したねじり振り子がトルクを正 確に測定できるかどうか、を確認した。

光の角運動量が固体へ移行すると、結果として古典回転が誘起されることは、Bethの実験や近年盛んに行われている光のスピン角運動量や軌道角運動量を用いて微粒子を回転させる実験からよく知られている。しかし、誘起された回転のトルクを定量的に測った例は少ない。特に、光の軌道角運動量について直接かつ定量的に測った例はなく、Angular Doppler 効果を利用して間接的な測定が行われたのみである。ここでは、光のスピン角運動量の誘起するトルクの測定をベンチマーク実験として行い、軌道角運動量が誘起するトルクの測定を行った。ねじり振り子の評価のための実験であるが、光の軌道角運動量の誘起するトルクの定量的な測定は個別の研究としても十分に意味がある。

開発した2重ねじり振り子(図8)は、1段目の共鳴周波数を小さく、2段目の共鳴周波数を大きくなっている。振動特性から、1段目は外部からのノイズ振動を遮断するアイソレータとして働き、2段目がトルクセンサとして働くこと狙っている。また、空気による減衰や、擾乱などを除くため、ねじり振り子は真空チャンバー内に吊られており、その圧力は  $10^{-5}$  Pa 程度である。トルクを注入する光(緑)は振り子

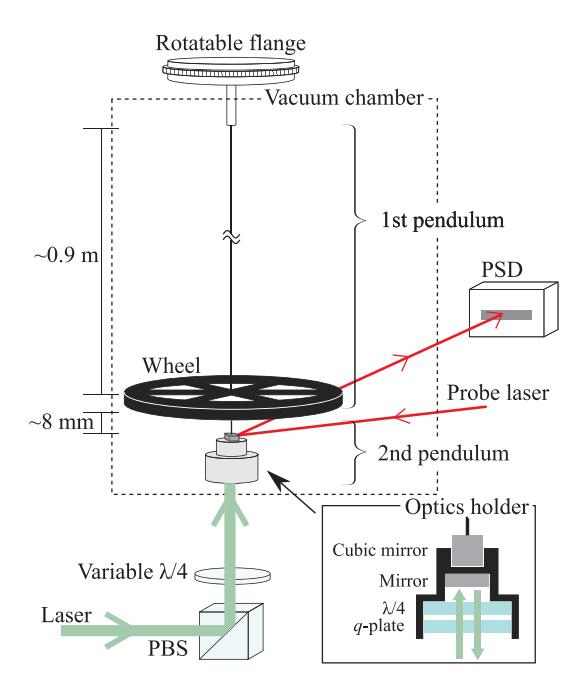


図8 開発した2重ねじり振り子

に対して下から入射し、光テコ(赤)によって振り子の回転角を測定した。入射する光の角運動量の向きを周期的に切り替えることで、強制振動によって回転振幅を増幅し、ロックイン検出によって小さな回転振幅を検出した。

本実験は今後論文に投稿予定のため,詳細は 公開できないが,概要を以下に示す。

まず、1 光子あたり  $2\hbar$  の角運動量移行が期待される 1/4 波長板を用いて測定をベンチマーク実験として行った。この時の測定によって得られたトルクの大きさは  $(9.0\pm1.4)\times10^{-16}$  Nmである。入射光の波長とパワーと偏光から予想されるトルクの大きさは  $7.5\times10^{-16}$  Nmであるので、不確かさのなかに僅かに入らないが、矛盾がなく測定できている。次に入射光の波長とパワーをそのままに、偏光のみを変えて測定を行い、予想トルクと検出トルクは一致し、光のスピン由来のトルクが測定できていることがわかった。

この装置を用いて、スピン角運動量を持つ光に軌道角運動量を付与する(スピンー軌道相互作用のある)光学素子が受けるトルクの測定を行った。用いた光学素子はq-plate と呼ばれるもので、1/2波長のリターダンスを持つが、光

学軸の向きが一様でない(図 9(a)-(c))。これら 3 つの q-plate は共同研究先が作製した [Nature photonics  $\mathbf{8}$ , 610 (2014))]。図 9(d)-(f) は直交する偏光板の間に q-plate を置き,透過光の撮影を行った写真である。光学素子によって付与される軌道角運動量が q の大きさに依存し,2q である。スピン角運動量の変化も含めると,円偏光の光が q-plate を透過することによって変化する角運動量の大きさは、 $2(q-1)\hbar$ /photon であるので,角運動量保存則から,光学素子が受け取る角運動量の大きさは  $2(1-q)\hbar$ /photon である。

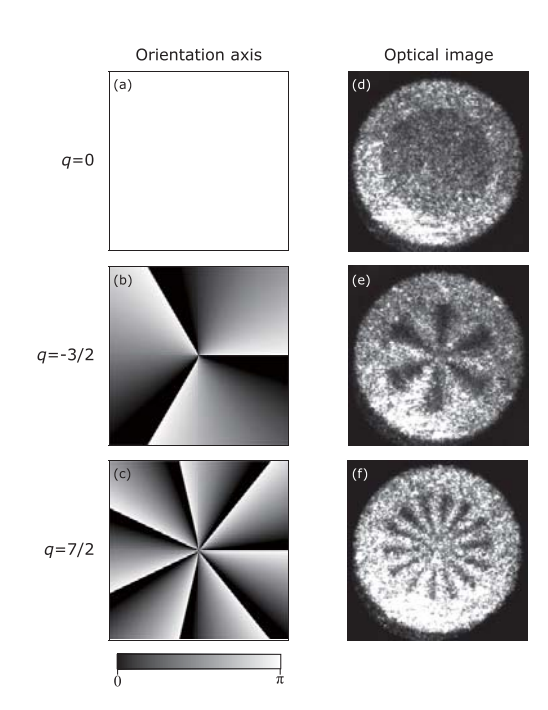


図9 q-plate の光学軸の空間分布と写真

q=0 の q-plate に生じたトルクの大きさは  $(7.9\pm0.8)\times10^{-16}$  Nm である。入射光の波長と パワーと 偏光からの予想トルクは  $7.2\times10^{-16}$  Nm で不確かさの範囲内で測定結果に一致する。

また、q=-3/2 の q-plate に生じたトルクの 大きさは  $(2.6\pm0.3)\times10^{-15}$  Nm であった。入射 光の波長とパワーと偏光からの予想トルクは  $2.9\times10^{-15}$  Nm で不確かさの範囲内で測定結果 に一致する。

この成果に関しては、実験セットアップが難しい都合上実験に時間がかかり、a=7/2のa-

に関する測定の完了後、論文にまとめて投稿予 定である。

#### [今後の研究の方向, 課題]

本研究で、気体原子スピンの正味の大きさ  $\langle F_z \rangle$  の測定が行えるようになった。また、開 発したねじり振り子が微小なトルクを正確に測 れることもわかった。今後、原子スピンから固

plate の測定はまだ行えていない。3つの素子 体へのスピン移行量を測定するために、原子 ビームを作製しビーム流量を評価する。その後、 スピン偏極気体原子から固体へのスピン移行に 誘起されたトルクの検出を行う。

#### [成果の発表, 論文など]

- [1] Phys. Rev. A 111, 033111 (2025).
- [2] 安田瑠奈, 畠山温, "スピン偏極セシウム原子の 全角運動量 z 成分の測定," 日本物理学会 2023 年年 次大会, 東北大学, 18aB204-1, 9月, 2023年.

## 荷重制御した周期的圧縮刺激を印加可能な 骨ー癌共培養装置の開発

#### 2247016



京都大学 医生物学研究所/ 研究代表者

京都大学 大学院生命科学研究科 博士後期課程

吉本昂希

#### [研究の目的]

日常生活において、歩行などの運動などによ り、健康な人々の骨は周期的に圧縮刺激を受け ている。このような刺激により骨は骨密度を調 節しているだけではなく、他臓器の健康状態に も影響を及ぼすことが明らかになっている。そ の中で近年,運動により周期的圧縮刺激が負荷 された骨組織では、人々の生活の質を著しく低 下させるがんの骨転移が抑制されることが医学 的経験則から着目されている。しかし、そのメ カニズムは明らかになっておらず、骨転移が悪 化した骨肉腫を治療する有効な方法がない。

そこで本研究では、生体内において生じる骨 転移の抑制メカニズムを解明するために、3D プリンター技術やマイクロ流体デバイス技術な どの機械技術を用いて, 骨組織と上皮間葉転換 後のがん細胞を周期的圧縮刺激条件下共培養か つライブイメージングできる装置とその共培養 法を開発する。

将来的に開発した装置を用いて、周期的圧縮 刺激条件下で骨組織と共培養したがん細胞の遺 伝子・タンパク質を網羅的に解析する。そして 骨転移抑制因子の解明、抑制因子の機能的な実 証を経て、医薬品開発による骨転移治療法を確 立する (図1)。

本研究では、以下の2つの研究項目を実施し た。

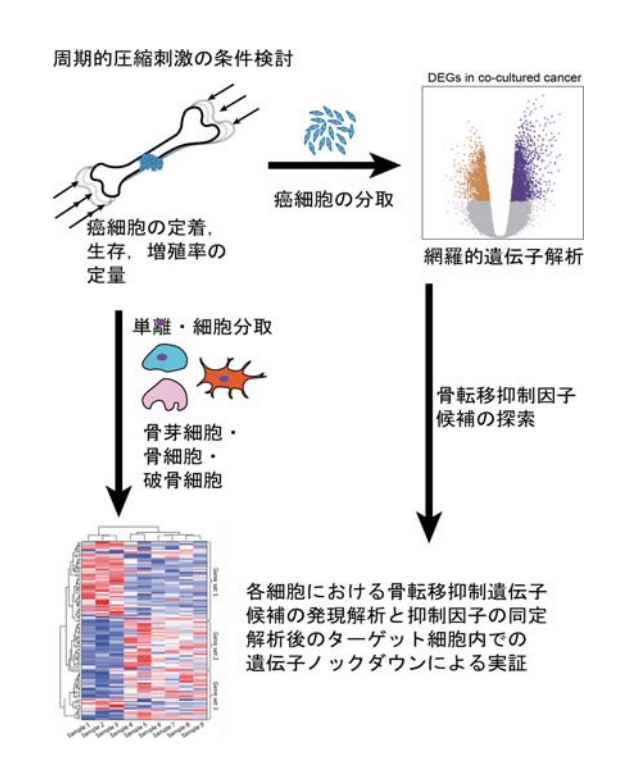


図1 開発した骨組織に周期的圧縮刺激を印加可能な装置

## 研究項目1:エアシリンダの原理を用いた圧縮 刺激の動力システムの開発(図2)

従来のモーター駆動型の動力を用いて骨組織 に周期的圧縮刺激を印加するシステムでは. モーターの発熱により、骨転移に必要な1週間 以上の培養の間、適切な培養室の温度を保つこ とができない。また、リアルタイムで観察しな がら骨に刺激を与えるために顕微鏡一体型培養 室サイズに設計する必要があった。





周期的圧縮刺激の印加 開発する装置 (CG 図 )

図 2 骨転移抑制因子候補探索・生成細胞同定から 抑制因子の同定までの研究

## 研究項目 2:生体由来の骨組織とがん細胞の共 培養チップの開発(図3)

生体外で骨と転移能を持つがん細胞を圧縮刺激条件下で共培養した事例は確認されていない。そこで、3次元組織中の骨構成細胞と上皮間葉転換後の細胞の機能を保つことができる培養条件を構築する必要がある。そのために圧縮刺激の動力システムに設置可能で、適切な培地条件や灌流条件を検討できるように共培養チップを設計する。

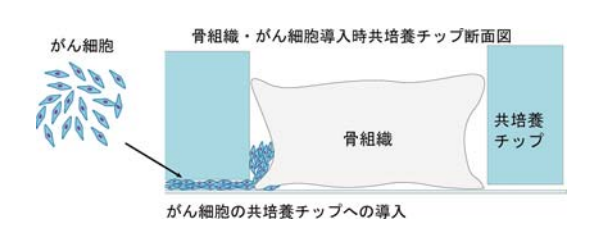


図3 骨組織・がん細胞共培養のための戦略

#### [研究の内容,成果]

#### 研究項目1

まず、本研究ではエアシリンダによる圧縮刺激動力システムを開発するために、CADソフトである OpenSCAD を用いて必要となる部品(押し子、キャップ、基盤)を設計した。設計したモデルを stl ファイルに変換し、高精度3Dプリンター(AGILISTA 3000)で印刷した。印刷した部品の表面は99.5% エタノールにより処理し、細胞培養に使用可能にした。さらに市販のバネとシリンジを購入し、シリンジを適切な長さに切断した。

これらの部品を組み合わせることで、圧縮刺激動力システムを作製した(図4)。

次に、圧縮刺激動力システムに搭載するため

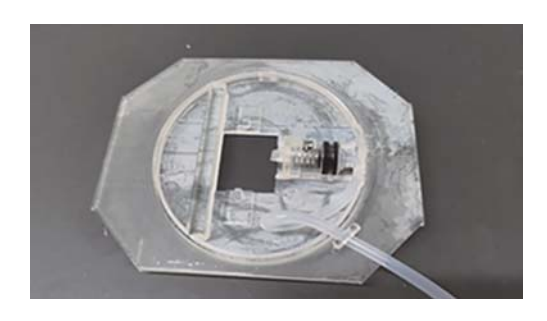


図4 作製した圧縮刺激動力システム

の骨組織とがん細胞を共培養するためのチップを開発した。本研究では、チップ作製のために3Dプリンターにより作製したモールドへPolydimethylsiloxane (PDMS)を流し込み固めるリソグラフィ法を用いた。圧縮刺激動力システム作製時と同様にOpenSCADを用いて2種類のモールドをデザインし、3Dプリンターにより印刷した(図5)。



図5 チップ作製用のモールド

チップに PDMS を流し込み、80℃のオーブンで 4 時間以上固めた。固めた PDMS をモールドから剥がした後、PDMS 表面をプラズマ処理し、それぞれのパーツを組み合わせ貼り付け、80℃で 24 時間処理した。さらに、親水化したシリコーンウェハー上に PDMS を垂らし、500 rpm で 30 秒間スピンコートし、PDMS 薄膜を作製した。この PDMS 薄膜をシリコーンウェハーから切り出し、PDMS パーツに貼り付けることで、骨組織に圧縮刺激を与えながら培養し、がん細胞も培養可能な構造に仕上げた(図 6)。

作製した圧縮刺激動力システムに骨組織とが ん細胞共培養チップを搭載した(図7)。

作製した本装置へ圧力を加え、変位テストを 行った(図8)。



図6 骨組織とがん細胞共培養チップ

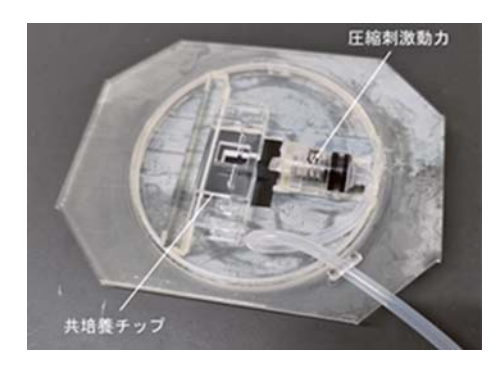


図7 動力システムに搭載した共培養チップ

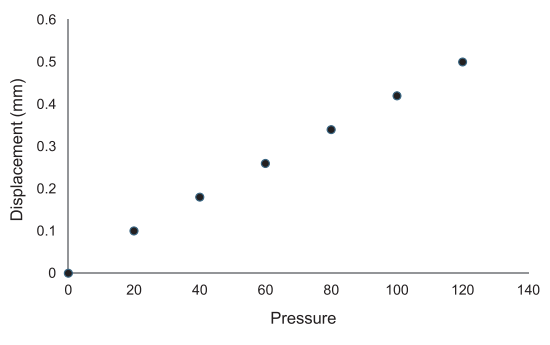


図8 動力システムにおける変位

#### 研究項目 2

本項目では、チップでのがん細胞の培養条件を検討した。将来的に骨組織への圧縮刺激を付与した際に放出される因子ががん細胞へ与える影響を明らかにする。そのため、がん細胞培養に通常使用される Fetal Bovine Serum (FBS)には、ウシ胎児由来の骨に圧縮刺激が加わった際に放出された様々な因子が含まれており、FBSの使用は本研究には適さない。

そこで、本研究では FBS を用いない培養条件を検討した。培養にはマウス由来の上皮系乳がん細胞の EO771 を用いた。

まず. EO771 をチップ上で接着培養させる

ために、FBS 入りの培地を用いて培養した。 チップ表面を細胞培養のための足場でコーティングしていない状態では、EO0771 は接着しなかった。そこで、マウス肉腫細胞から抽出した細胞外基質マトリゲルによりチップ表面をコーティングした。その結果、EO771 はチップに底面に接着した。

次に、FBS を用いない培地条件を検討した。 FBS を用いない iPS 細胞などの幹細胞の培 地組成を参考とし、培地を作製した。本培地 は Iscove's Modified Dulbecco's Medium を基 礎培地として MEM 非必須アミノ酸溶液, グルタミン酸, Pipecolic Acid, Bovine serum albumin, monothioglycerol solution, Ascorbic acid. Dexamethasone. Insulin-Transferrin-Selenium-Ethanolamine (ITS-X) をそれぞれ 加えて調整した。EO771 培養当初は FBS 入り DMEM 培地で培養し、徐々に FBS 非含有培地 に毎日置き換えていった。最終的に、FBS 非 含有培地で完全に培養することができた。また. EO771 の継代についても、Trypsin/EDTA を 用いて細胞剥がした後、Trypsin inhibitor と FBS 非含有培地で回収し、マトリゲルコー ティングしたディッシュ/デバイスに播種する ことで接着培養を引き続き達成することができ た。

用いた EO771 細胞は上皮系のがん細胞であるため、骨組織へ転移させるために上皮間葉転換を誘導し、間葉系のがん細胞にする必要がある。そこで、先行研究に従いマウスリコンビナントの上皮細胞成長因子(EGF)を用いたデバイス上で上皮間葉転換の誘導を実証した。上皮間葉転換を誘導した指標として細胞の遊走能を評価した。評価手法としてスクラッチによって作られたギャップを横切る細胞の遊走を観察するスクラッチアッセイを行った。細胞をそれぞれの条件で24時間培養した結果、EGFを加えた細胞では、明らかに遊走した距離が長くギャップの面積が小さくなっていた(図9)。これにより、EGFを加えた本培養条件により

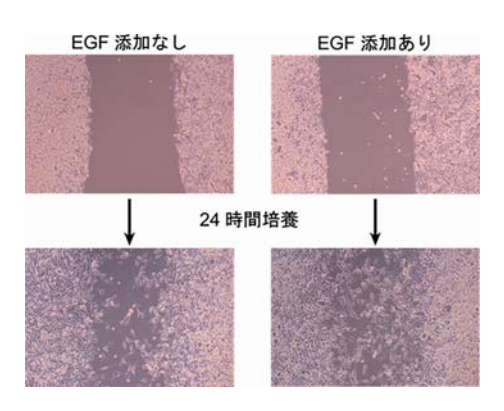


図9 本研究で行ったスクラッチアッセイ

上皮間葉転換を引き起こした状態に近い細胞を 誘導できたと考えられる。今後はさらに遺伝子 発現解析などを用いて詳細に解析する。

#### [今後の研究計画]

今年度までに開発したチップでがん細胞を培養し、上皮間葉転換に近い状態を誘導することが可能になった。次のステップとして、マウスから取り出した骨組織を取り出し、実際にチップ上で培養可能であることを実証する。そのために、チップ上で灌流を行い、細胞の生死染色やTRACP&ALP Assay Kit を用いて酸性ホスファターゼ(ACP)およびアルカリ性ホスファターゼ(ACP)およびアルカリ性ホスファターゼ(ALP)の活性を調べ、骨細胞の機能を調べる。その後、実際にがん細胞と骨組織を共培養し、がん細胞が骨組織へ浸潤することを実証する。さらに、圧縮刺激を加えることで、刺激を付与した骨組織から放出された因子ががん細胞の浸潤に与える影響やそのメカニズムを解析する。

## 国際交流助成一覧



## 国際交流助成一覧

[抄録は https://www.tateisi-f.org/research\_r/books/list.html からご覧いただけます]

#### [国際交流助成(国際会議発表)]

1. 神 野 莉衣奈 東京大学 大学院 助 教 (2242005)

国際会議名: International Workshop on Gallium Oxide and Related Materials (IWGO)

発表論文名:Selective Area Growth of α-Ga<sub>2</sub>O<sub>3</sub> on Sapphire Substrates by Mist-CVD and its Thermal Stability

開催地(市・国):ベルリン/ドイツ

2 藤崎貴也 島根大学 材料エネルギー学部 助 教 (2242009)

国際会議名: The 2nd Annual CEMDI Symposium 2024

発表論文名: Investigating Ni nanoparticles on CeO2 for methane dissociation: a comparative study of

theoretical calculations and experimental insights

開催地(市・国):モントリオール/カナダ

3 市川修平 大阪大学 大学院工学研究科 准教授 (2242101)

国際会議名: 12<sup>th</sup> International Workshop on Nitride Semiconductors (IWN2024)

発表論文名: Surface Carrier Dynamics of Nitride Semiconductors Evaluated by Time-resolved Photoemission Spectroscopy

開催地(市・国):ホノルル/アメリカ合衆国

4. 岡田 長岡技術科学大学 博士後期課程 (2242102)

国際会議名: The 28th International Conference on Miniaturized Systems for Chemistry and Life

Sciences - Micro-Total Analysis Systems

発表論文名: Magnetically-driven Liposome Assemblies

開催地(市・国):モントリオール/カナダ

5. 倉 元 昭 季 東京科学大学 工学院システム制御系 助 教 (2242103)

国際会議名: 2025 IEEE/SICE Internaitonal Symposium on System Intergration (SII 2025)

発表論文名: Development of the extraction method of LiDAR intensity map of road markings

開催地(市・国): ミュンヘン/ドイツ

6. 小 林 勇 斗 秋田工業高等専門学校 助 教 (2242104)

国際会議名: 50th Annual Conference of the IEEE Industrial Electronics Society (IECON2024)

発表論文名: Fine Sinusoidal Voltage Modulation Inverter Driven AC Motor System Implementing Extremely Few Influences on Common-Mode Noise and Switching Loss

開催地(市・国):シカゴ/アメリカ合衆国

7. 鄭 仁 赫 東京大学 大学院総合文化研究科 博士後期課程 (2242105)

国際会議名: Esports Research Network Conference 2024

発表論文名: Does biofeedback training improve the performance of esports players?; Development of

training methods based on gaze movements and cortical theta-alpha activity

開催地(市・国):ロンドン/イギリス

8. 鈴木 玲和那 東京大学 大学院 博士後期課程 (2242106)

国際会議名: PRiME 2024

発表論文名: Stability investigation on NiFeOx electrocatalysts during on and off cycles in harsh

alkaline conditions

開催地(市・国):ホノルル/アメリカ合衆国

9. 田野直輝 東京科学大学 総合研究院 後期博士課程 (2242107)

国際会議名: International Tissue Elasticity Conference (ITEC)

発表論文名:1. High-resolutional shear wave phase estimation within small ROI and its application in multi-layered elastic structures evaluation

2. Adaptive filter for removal of subordinal shear waves in continuous shear wave elastography for liver imaging

開催地(市·国):Lyon/France

10. 田 原 弘 宣 長崎大学 助 教 (2242108)

> 国際会議名: Pacific Rim Meeting on Electrochemical and Solid State Science 2024 (PRiME 2024) 発表論文名: Electrochromism of Redox-Active Ionic Liquids and the Kinetics of the Colorations 開催地(市・国):ホノルル/アメリカ合衆国

奈良先端科学技術大学院大学 博士後期課程 (2242109) 11. PROMKING ARPHORN

国際会議名: 2024 IEEE Biomedical Circuits and Systems Conference (BioCAS)

発表論文名: Effects of Excitation Light Polarization with Front-Light Structure on Lensless Fluorescence Imaging

開催地(市・国):西安市/中国

12. 村 松 淳 平 慶應義塾大学 大学院 後期博士課程 (2242110)

国際会議名: The 28th International Conference on Miniaturized Systems for Chemistry and Life Sciences µTotal Analysis Systems (µTAS 2024)

発表論文名: LIVE-CELL IMAGING SYSTEM FOR ECM-BASED BRANCHING VASCULAR MODEL IN PERFUSION AND STRETCHING CULTURE

開催地(市・国):モントリオール/カナダ

13. 兪 東京大学 大学院工学系研究科建築学専攻 助 教 (2242111)

国際会議名: IEEE Sustainable Smart Lighting Conference (LS2024)

発表論文名: The Effects of Natural Landscape Images Using Projector Display on Human Psychophysiology in a Rest Space

開催地(市・国):アイントフォーヘン/オランダ

山梨大学 大学院 後期博士課程 (2242112) 14. Wang Xinfeng

国際会議名: The 2024 Conference on Empirical Methods in Natural Language Processing (EMNLP)

発表論文名: Enhancing High-order Interaction Awareness in LLM-based Recommender Model

開催地(市・国):マイアミ/アメリカ合衆国

#### [国際交流助成(短期在外研究)]

1. 末 満 堅 人 長岡技術科学大学 5年一貫博士課程 (2246001)

研究課題名:運動学習補助に向けた人間-機械の相互作用神経メカニズムの解明

在留地域:ロンドン/イギリス

[抄録は https://www.tateisi-f.org/research\_r/books/list.html からご覧いただけます]

2. Surantha Nico 東京都市大学 講 師 (2246002)

研究課題名:IoT ベースのヘルスケアシステムにおけるサイバーセキュリティの課題の緩和に関する

研究

在 留 地 域:シドニー/オーストラリア

3. 加 藤 萌 結 北海道大学 博士後期課程 (2246101)

研究課題名:新しい量子カゴメ反強磁性体の開発と単結晶育成

在 留 地 域:Stuttgart/ドイツ

#### [国際会議開催助成]

1. 伊 達 央 Sponsorship and Exhibition Chair (筑波大学 准教授) (2235003)

8th IFAC Conference on Nonlinear Model Predictive Control (NMPC2024)

会場:京都大学百周年時計台記念館 開催期間:2024年8月21日~8月24日

2. 淡野公一 実行委員長(宮崎大学教授)(2235005)

The International Conference on Machine Learning and Cybernetics & The International Conference on Wavelet Analysis and Pattern Recognition 2024 (ICMLC&ICWAPR2024)

会場:宮崎観光ホテル 開催期間:2024年9月20日~9月23日

3. 仲 地 孝 之 組織委員長(琉球大学情報基盤センター 教 授)(2235006)

The 39<sup>th</sup> International Technical Conference on Circuits/Systems, Computers and Communications (ITC-CSCC2024)

会場:沖縄科学技術大学院大学(OIST) 開催期間:2024年7月2日~7月5日

4 甲 藤 二 郎 IEEE VCIP 2024 組織委員会委員長(早稲田大学 理工学術院 教 授)(2245001)

IEEE Visual Communications and Image Processing (IEEE VCIP 2024) 会場:早稲田大学国際会議場 開催期間:2024年12月8日~12月11日

5 小 橋 昌 司 現地実行委員長(兵庫県立大学 教 授)(2245002)

Joint  $13^{rd}$  International Conference on Soft Computing and Intelligent Systems and  $25^{th}$  International Symposium on Advanced Intelligent Systems (SCIS&ISIS2024)

会場:アクリエひめじ 開催期間:2024年11月9日~11月12日

6. 志村 努 組織委員長 (東京大学 教 授) (2245004)

光メモリ・画像・計測国際シンポジウム 2024

会場: 姫路市文化コンベンションセンター アクリエひめじ 開催期間: 2024年10月20日~10月23日

7. 本 谷 秀 堅 General Chair (名古屋工業大学 教 授) (2245005)

International Forum on Medical Imaging in Asia 2025 (IFMIA2025)

会場:かがわ国際会議場 開催期間:2025年3月20日~3月21日

8. 室 屋 晃 子 SRC& ポスター実行委員長(国立情報学研究所 特任研究員)(2245006)

The 22nd Asian Symposium on Programming Languages and Systems (APLAS 2024)

会場:京都大学医学部・芝蘭会館 開催期間:2024年10月22日~10月25日

[抄録は https://www.tateisi-f.org/research\_r/books/list.html からご覧いただけます]

9. 柳 井 啓 司 実行責任者(電気通信大学 教 授)(2245008)

International Conference on Multimedia Modeling

会場: 奈良春日野国際フォーラム 甍~I·RA·KA~ 開催期間: 2025 年 1 月 8 日~1 月 10 日

10. 山 田 繁 PVSEC-35 運営委員会 幹事(岐阜大学 工学部電気電子·情報工学科 助 教)(2245009)

35<sup>th</sup> International Photovoltaic Science and Engineering Conference

会場: プラザヴェルデ 開催期間: 2024年11月10日~11月15日

11. 山 本 裕 紹 プログラム委員長 (宇都宮大学 教 授) (2245010)

第31回ディスプレイ国際ワークショップ (IDW '24)

会場: 札幌コンベンションセンター 開催期間: 2024年12月4日~12月6日

## 公益財団法人 立石科学技術振興財団 Tateisi Science and Technology Foundation 助成研究成果集 第 34 号 2025 年(令和 7 年)

発 行 公益財団法人 立石科学技術振興財団

〒 600-8234 京都市下京区油小路通塩小路下る南不動堂町 11 番地

TEL 075-365-4771

E-mail: info@tateisi-f.org

https://www.tateisi-f.org/

印 刷 明文舎印刷株式会社

〒 601-8316 京都市南区吉祥院池ノ内町 10

TEL 075-681-2741

(本紙の一部又は全文の掲載を希望される時は、当財団と研究代表者の許可を得てください。)

